



Vlaanderen
is wetenschap



Trends op basis van de Algemene Broedvogelmonitoring Vlaanderen (ABV)

Technisch achtergrondrapport voor de periode
2007-2021

Thierry Onkelinx, Glenn Vermeersch, Koen Devos

**INSTITUUT
NATUUR- EN BOSONDERZOEK**

Auteurs:

Thierry Onkelinx , Glenn Vermeersch , Koen Devos 

Reviewers:

Hans Van Calster 

Het INBO is het onafhankelijk onderzoeksinstituut van de Vlaamse overheid dat via toegepast wetenschappelijk onderzoek, data- en kennisontsluiting het biodiversiteitsbeleid en -beheer onderbouwt en evalueert.

Vestiging:

INBO Brussel

Herman Teirlinckgebouw, Havenlaan 88 bus 73, 1000 Brussel

vlaanderen.be/inbo

e-mail:

thierry.onkelinx@inbo.be

Wijze van citeren:

Onkelinx, T. *et al.* (2022). Trends op basis van de Algemene Broedvogelmonitoring Vlaanderen (ABV). Technisch achtergrondrapport voor de periode 2007-2021. Rapporten van het Instituut voor Natuur- en Bosonderzoek 2022 (9). Instituut voor Natuur- en Bosonderzoek, Brussel. DOI: 10.21436/inbor.73009782

D/2022/3241/087

Rapporten van het Instituut voor Natuur- en Bosonderzoek 2022 (9)

ISSN: 1782-9054

Verantwoordelijke uitgever:

Maurice Hoffmann

Foto cover:

Geelgorzen (*Emberiza citrinella*) op een stuk hout tijdens de winter. (© Yves Adams, Vildaphoto)

Dit onderzoek werd uitgevoerd in samenwerking met:

Natuurpunt Studie vzw

Coxiestraat 11, 2800 Mechelen

<https://www.natuurpunt.be>



TRENDS OP BASIS VAN DE ALGEMENE
BROEDVOGELMONITORING VLAANDEREN (ABV)

**Technisch achtergrondrapport voor de periode
2007-2021**

Thierry Onkelinx, Glenn Vermeersch, Koen Devos

10.21436/inbor.73009782

Samenvatting

Dit rapport publiceert de meest recente analyses op basis van het telwerk voor het project "Algemene Broedvogelmonitoring Vlaanderen" of kortweg ABV. Dit project is een gezamenlijk initiatief van het Instituut voor Natuur- en Bosonderzoek (INBO) en Natuurpunt Studie in samenwerking met de lokale vogelwerkgroepen. De samenwerking tussen deze organisaties staat garant voor een goede ondersteuning van en communicatie naar het vrijwilligersnetwerk door Natuurpunt Studie, en een degelijke professionele wetenschappelijke ondersteuning en dataverwerking door het INBO.

Het project werd opgestart in 2007 en heeft als doelstelling het beschrijven van aantalsontwikkelingen van een set van ca. 80 algemene broedvogelsoorten in Vlaanderen. Zowel jaarlijkse schommelingen als meerjarige trends zijn daarbij interessante resultaten in functie van lokaal, regionaal en internationaal beleid.

Dit rapport is bedoeld als een technisch achtergrondrapport. Het bestaat uit drie delen: het eerste deel beschrijft de methodiek van de verwerking en de weergave van de resultaten; het tweede deel geeft een aantal indicatoren gebaseerd op trends van meerdere soorten; het derde deel beschrijft de tijdreeks van individuele soorten. We beperken ons in delen twee en drie tot een droge, gestandaardiseerde weergave van de cijfers zonder ecologische interpretatie. Voor een ecologische interpretatie van de resultaten verwijzen we naar andere publicaties zoals [INBO Vogelnieuws](#).

English abstract

This report publishes the most recent analyses based on the census work carried out for the project “Common Breeding Bird Survey Flanders”. This project is a joint initiative of the Research Institute for Nature and Forest (INBO) and Natuurpunt Studie in cooperation with the local bird working groups. The cooperation between these organisations guarantees a good support of and communication to the volunteer network by Natuurpunt Studie, and solid professional scientific support and data processing by INBO.

The project was started in 2007 and aims at describing the number trends of a set of ca. 80 general breeding bird species in Flanders. Both annual fluctuations and multi-annual trends are interesting results in function of local, regional and international policy.

This report is meant as a technical background report. It consists of three parts: the first part describes the methodology of processing and presenting the results; the second part presents a number of indicators based on trends of several types; the third part describes the time series of individual species. In parts two and three, we limit ourselves to a dry, standardised representation of the figures without an ecological interpretation. For an ecological interpretation of the results we refer to other publications such as [INBO Vogelnieuws](#)).

Inhoudsopgave

Samenvatting	1
English abstract	2
Inhoudsopgave	3
I Methodologie	7
1 Inzameling van de tellingen in het veld	8
1.1 Steekproef	8
1.2 Steekproefeenheid	8
1.3 Tellingen	8
2 Verwerking van de gegevens	11
2.1 Selectie van relevante gegevens per soort	11
2.2 Trendberekening	12
2.2.1 Niet-lineaire trends	12
2.2.2 Statistische verdelingen	13
2.2.3 Lineaire trends	13
2.2.4 Resultaten per driejarige cyclus	14
2.2.5 Modellen fitten	14
2.3 Gemiddeld aantal dieren per meetpunt	15
2.4 Vergelijken van jaren	15
2.5 Gewicht van de strata	16
2.6 Samengestelde indices	16
3 Voorstelling van de gegevens	18
3.1 Onzekerheid	18
3.2 Opdeling van de effecten in een aantal klassen	18
3.3 Overzicht van de lineaire trends	20
3.4 Evolutie van gemiddelde aantallen per soort	20
3.5 Paarsgewijze vergelijking van jaren	20
4 Reproduceerbaarheid en traceerbaarheid van de gegevensverwerking	22
4.1 Versiebeheer	22
4.2 Reproduceerbaarheid	22
4.3 Traceerbaarheid	22
4.4 Downloadbaar cijfermateriaal	23
II Indicatoren	24
5 Bos	25
6 Generalist	27
7 Landbouw	29
8 NARA2020	31
9 Standvogel	34

10	SubSaharaMigrant	36
11	Watervogel	38
III	Resultaten per soort	40
12	Overzicht van de trends	41
13	Aalscholver	46
14	Bergeend	49
15	Blauwborst	52
16	Blauwe reiger	55
17	Boerenzwaluw	58
18	Bonte vliegenvanger	61
19	Boomklever	65
20	Boomkruiper	68
21	Boomleeuwerik	71
22	Boompieper	74
23	Bosrietzanger	77
24	Bruine kiekendief	80
25	Buizerd	83
26	Canadese gans	86
27	Cetti's zanger	89
28	Dodaars	92
29	Ekster	95
30	Fazant	98
31	Fitis	101
32	Fuut	104
33	Gaai	107
34	Geelgors	110
35	Gekraagde roodstaart	113
36	Gele kwikstaart	117
37	Gierzwaluw	120
38	Glanskop	123
39	Goudhaan	126
40	Grasmus	129
41	Graspieper	132
42	Grauwe gans	135
43	Groene specht	138
44	Groenling	141
45	Grote bonte specht	144
46	Grote lijster	148
47	Grutto	151
48	Halsbandparkiet	154
49	Havik	157

50	Heggenmus	160
51	Holenduif	163
52	Houtduif	166
53	Huismus	169
54	Huiswaluw	172
55	Kauw	175
56	Kievit	178
57	Kleine karekiet	181
58	Kleine mantelmeeuw	184
59	Kneu	188
60	Knobbelzwaan	191
61	Koekoek	194
62	Kokmeeuw	197
63	Koolmees	200
64	Krakeend	203
65	Kuifeend	206
66	Kuifmees	209
67	Matkop	212
68	Meerkoet	215
69	Merel	218
70	Middelste Bonte Specht	221
71	Nachtegaal	225
72	Nijlgans	228
73	Patrijs	231
74	Pimpelmees	234
75	Putter	237
76	Rietgors	240
77	Rietzanger	243
78	Ringmus	246
79	Roek	249
80	Roodborst	252
81	Roodborsttapuit	255
82	Scholekster	258
83	Sperwer	261
84	Spotvogel	264
85	Spreeuw	267
86	Sprinkhaanzanger	270
87	Staartmees	273
88	Stadsduif	276
89	Tafeleend	279
90	Tjiftjaf	282



91	Torenvalk	285
92	Tuinfluitier	288
93	Turkse tortel	291
94	Veldleeuwerik	294
95	Vink	297
96	Waterhoen	300
97	Wielewaal	303
98	Wilde eend	306
99	Winterkoning	309
100	Witte kwikstaart	312
101	Wulp	315
102	Zanglijster	318
103	Zilvermeeuw	321
104	Zwarte kraai	324
105	Zwarte mees	327
106	Zwarte roodstaart	330
107	Zwarte specht	334
108	Zwartkop	337
	Referenties	340

Deel I

METHODOLOGIE

1 INZAMELING VAN DE TELLINGEN IN HET VELD

Hier beschrijven we beknopt het veldwerk, voor de details verwijzen we naar Vermeersch *et al.* (2018b).

1.1 STEEKPROEF

De UTM 1 x 1 km hokken vormen de basis waaruit de steekproef getrokken is. Bij de start van het meetnet hebben we de hokken opgedeeld in een aantal strata. De regels zijn gebaseerd op het oppervlaktaandeel van een bepaald landgebruik op basis van de Biologische Waarderingkaart (Vriens *et al.*, 2011).

1. Landbouw: minstens 80% landbouw. 6311 hokken.
2. Urbaan: minstens 80% urbaan. 416 hokken.
3. Bos: minstens 80% bos. 319 hokken.
4. Suburbaan: minstens 80% suburbaan. 201 hokken.
5. Heide en duin: minstens 20% heide of duin. 199 hokken.
6. Moeras en water: minstens 20% moeras en water. 137 hokken.

Uit deze set trekken we een aselechte, gestratificeerde steekproef van 1200 hokken waarbij zeldzamere habitats overbemonsterd worden. We streven er naar om jaarlijks 300 hokken te bemonsteren in een driejarige rotatie. De waarnemers mochten in het eerste jaar 300 hokken kiezen uit de set van 1200. Deze set van hokken komen in principe opnieuw aan bod in jaren 4, 7, 10, ... In jaar 2 kiezen ze 300 hokken uit de overgebleven 900 hokken. Deze set komt opnieuw aan bod in jaren 5, 8, 11, ... Tenslotte kiezen de waarnemers in het derde jaar een laatste set van 300 hokken uit de laatste 900 hokken. Deze set hokken bemonsteren we in de jaren 3, 6, 9, 12, ...

Figuur 1.1 geeft de effectieve monitoringsinspanning weer. In deze figuur hebben we de hokken gesorteerd volgens 1) het eerste jaar met gegevens, 2) het laatste jaar met gegevens, 3) het tweede jaar met gegevens, 4) het derde jaar met gegevens, ... Hierdoor staan hokken met een meer gelijkende onderzoeksgeschiedenis dicht bij elkaar. Merk op dat de driejarige cyclus voor de meest hokken wordt gerespecteerd. Voor sommige hokken is de inspanning variabel, soms frequenter dan om de drie jaar, soms zit er meer tijd tussen. Sommige hokken werden slechts in een of twee jaar onderzocht (fig. 1.2). Voor het onderscheid tussen mogelijk bruikbaar en voorlopig niet bruikbaar verwijzen we naar §2.1.

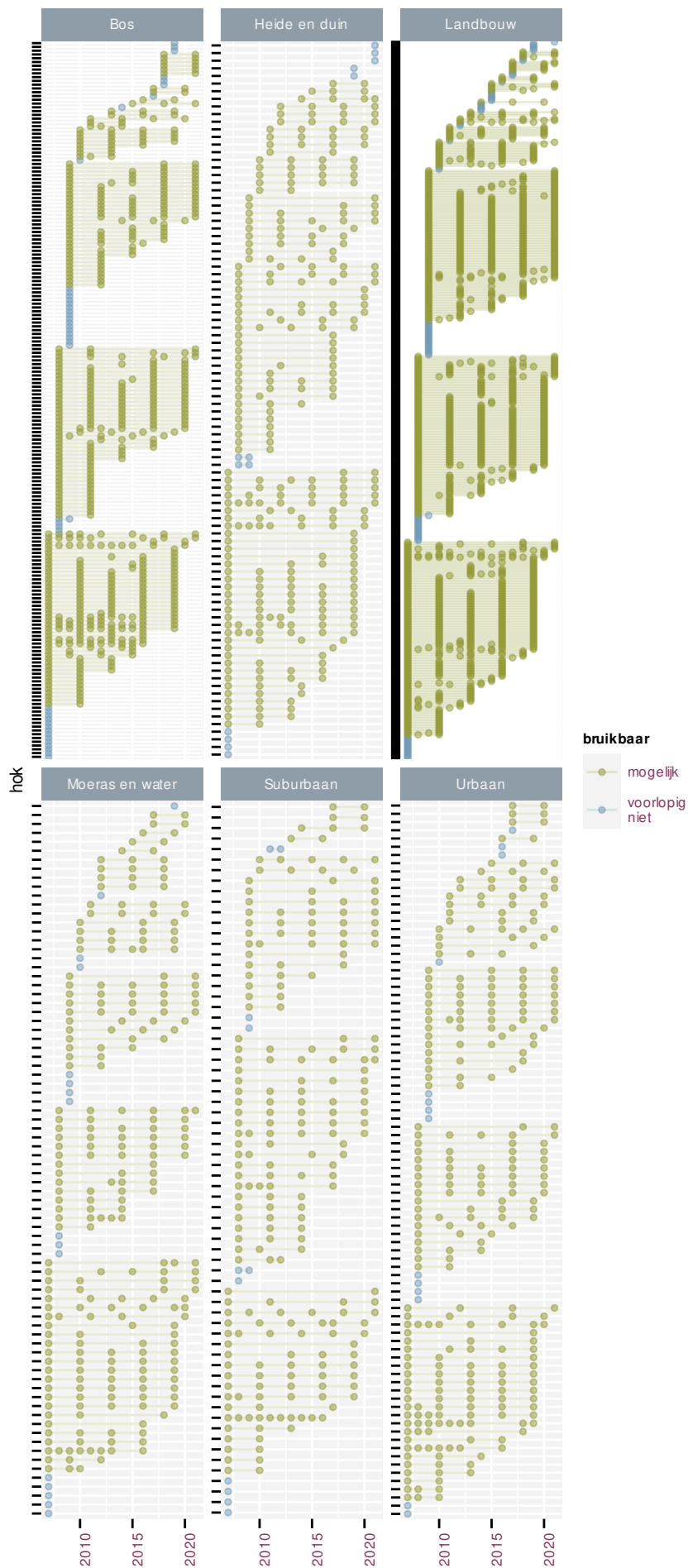
1.2 STEEKPROEFEENHEID

De steekproefeenschap bestaat uit een hok van 1 x 1 km. Binnen dit hok worden zes punten vastgelegd in een vaste patroon (fig. 1.3). Indien de punten in de praktijk niet bereikbaar zijn, mag de waarnemer ze verplaatsen naar het dichtstbijzijnde bereikbare punt. De waarnemer documenteert deze wijziging zodat we in de toekomst steeds op dezelfde punten blijven waarnemen.

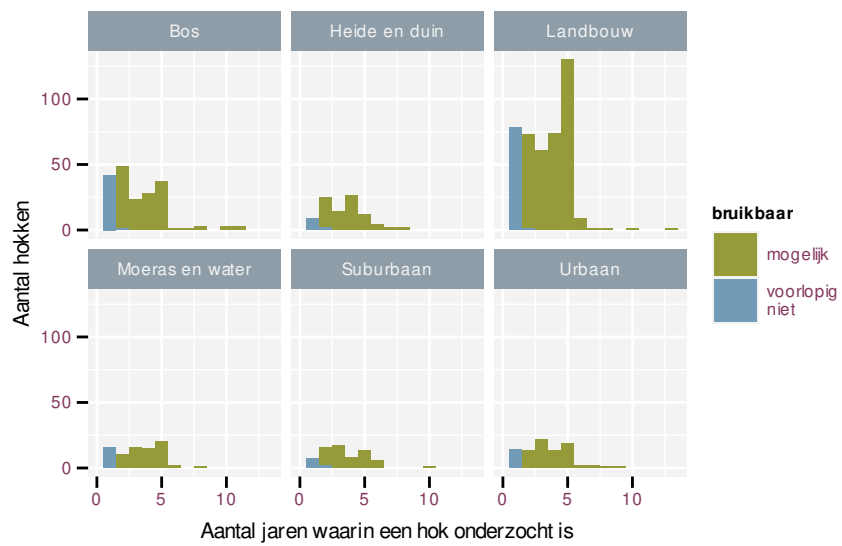
1.3 TELLINGEN

In het jaar dat we een hok bemonsteren zal de waarnemer het hok in drie periodes bezoeken: 1 maart - 15 april, 16 april - 31 mei, 1 juni - 15 juli. Tussen twee opeenvolgende bezoeken moet er minstens twee weken liggen. Alle meetpunten van een hok worden op dezelfde dag onderzocht tussen zonsopgang en 4 uur na zonsopgang. Op elk meetpunt telt de waarnemer gedurende 5 minuten het aantal volwassen vogels per soort. Overvliegende groepen vogels worden hierbij niet meegeteld.

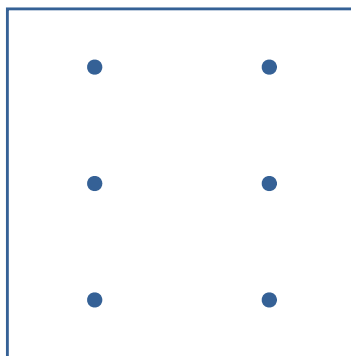




Figuur 1.1: Overzicht van de effectieve monitoringsinspanning. Elk punt is een hok dat onderzocht is in een bepaald jaar. De horizontale lijnen verbinden het eerste en meest recente bezoek aan eenzelfde hok.



Figuur 1.2: Histogram van het aantal jaren waarin een hok onderzocht is opgesplitst per stratum.



Figuur 1.3: Standaardlocatie van meetpunten binnen een km hok.

2 VERWERKING VAN DE GEGEVENS

2.1 SELECTIE VAN RELEVANTE GEGEVENS PER SOORT

Hoewel we alle waargenomen vogelsoorten op een meetpunt noteren, toch zijn niet alle hokken even relevant voor een bepaalde soort. Om de redenering op te bouwen, beschouwen we een fictieve soort die enkel op een afgelegen eiland voorkomt. Alle vogeltellingen buiten dit eiland zijn uiteraard niet informatief voor wijzigingen in de aantallen van deze fictieve soort. Buiten het eiland zullen de getelde aantallen immers per definitie nul zijn. Wanneer we deze tellingen toch zouden in rekening brengen, dan zullen ze de globale trend afvlakken. De globale trend is min of meer equivalent met een “gemiddelde” trend over de verschillende locaties. Als een locatie steeds nul geeft, dan zijn lokaal de aantallen wiskundig “stabiel” (geen lokale trend). Daarom is het noodzakelijk om de locaties die niet relevant zijn voor een soort buiten beschouwing te houden.

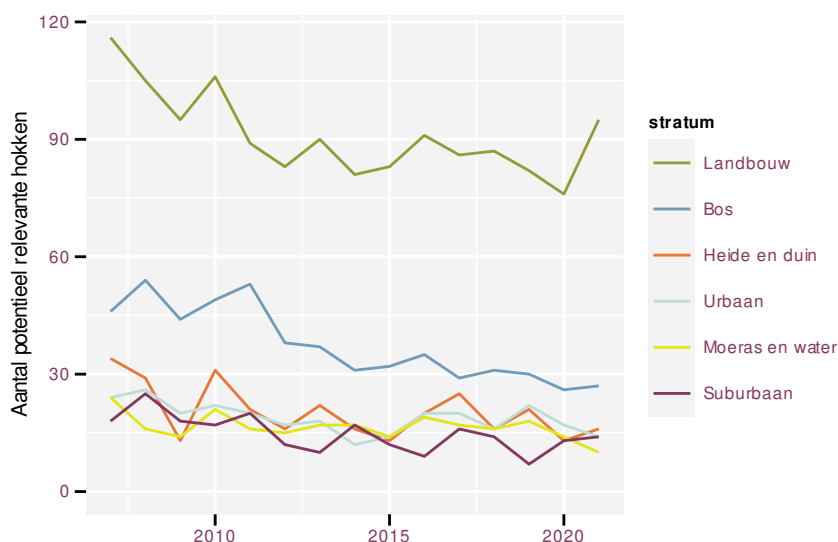
In Vlaanderen is de situatie niet zo zwart-wit als bij het voorbeeld met het afgelegen eiland. Daarom hebben we nood aan een set regels die we toepassen op de beschikbare gegevens.

1. We beschouwen een hok als relevant voor een soort wanneer we deze soort tijdens minstens twee verschillende driejarige cycli waarnemen. Op deze manier sluiten we hokken uit waar de soort nooit of slechts toevallig waargenomen is. Hokken die slechts binnen één driejarige cyclus onderzocht zijn, kunnen we hierdoor voorlopig niet gebruiken. Figuur 2.1 geeft een overzicht van het aantal hokken die gedurende minstens twee cycli onderzocht zijn.
2. Binnen een hok is een meetpunt pas relevant wanneer we de soort er minstens eenmaal waarnemen.
3. Een stratum is relevant voor een soort wanneer het minstens drie relevante hokken bevat.
4. Op basis van de overblijvende gegevens berekenen we het (meetkundig¹) gemiddelde van de aantallen in elk van de drie perioden. De periode met het hoogste gemiddelde gebruiken we als referentieperiode. We houden enkel de periodes waarbij het gemiddelde minstens 15% van de referentieperiode bedraagt. Op deze manier sluiten we periodes uit waarbij de soort zelden gezien wordt. Bijvoorbeeld een trekvogel die pas in de loop van de tweede periode toekomt en waarvoor de eerste periode bijgevolg niet relevant is.
5. We passen de regels voor relevante hokken en strata opnieuw toe. Het negeren van een of twee irrelevante periodes kan er voor zorgen dat een hok niet langer relevant is.

Na het toepassen van deze regels gaan we na of we minstens 100 waarnemingen van de soort hebben. Hierbij is een waarneming de telling van minstens één dier in een combinatie van jaar, periode, hok en meetpunt. Stel dat we een soort hebben waarbij we de drie periodes weerhouden en de waarnemer ziet de soort op elk van de zes meetpunten tijdens alle periodes van een bepaald jaar, dan hebben we $3 \times 6 = 18$ waarnemingen voor dat hok in dat jaar.

¹Het meetkundig gemiddelde of geometrisch gemiddelde van n getallen wordt verkregen door de getallen met elkaar te vermenigvuldigen en vervolgens van het product de n^{de} machtswortel te nemen.

$$m = \left(\prod_{i=1}^n a_i \right)^{1/n}$$



Figuur 2.1: Aantal onderzochte hokken per stratum en per jaar waarbij we enkel rekening houden met hokken die in minstens twee verschillende driejarige cycli onderzocht zijn.

Als we minder dan 100 waarnemingen voorhouden voor een soort, dan stopt voorlopig het verhaal voor deze soort. We hebben dan te weinig waarnemingen voor een betrouwbare trendberekening. Dit wil niet zeggen dat we deze soort permanent afschrijven! Wanneer we deze regels in de toekomst opnieuw toepassen hebben we mogelijk wel voldoende waarnemingen. Ook hokken of strata in de toekomst gekoloniseerd worden, worden dan opgepikt.

2.2 TRENDBEREKENING

2.2.1 Niet-lineaire trends

Om de trends te berekenen, voorspellen we de waargenomen aantallen aan de hand van een statistisch model. $Y_{jpsh m}$ is de voorspelling voor jaar j , periode p , stratum s , hok h en meetpunt m . Veronderstellen dat deze aantallen uit een zero-inflated negative binomial² verdeling komen met parameters $\mu_{jpsh m}$, ν en π .

$$Y_{jpsh m} \sim ZINB(\mu_{jpsh m}, \nu, \pi)$$

Laat ons eerst focussen op $\mu_{jpsh m}$. Deze parameter is via een log link gerelateerd aan de lineaire predictor $\eta_{jpsh m}$. Door deze log link kunnen we de individuele termen van de lineaire predictor interpreteren als relatieve effecten.

$$\log \mu_{jpsh m} = \eta_{jpsh m}$$

En nu wordt het interessant want deze lineaire predictor hangt af van vijf termen:

- β_s : het effect van stratum s .
- β_p : het verschil tussen periode p en de referentieperiode.
- b_h : het effect van hok h . Deze effecten komen uit een Gaussiaanse verdeling met gemiddelde 0 en variantie σ_h^2 .

²Een negatief binomiale verdeling met een overmaat aan nullen.

- b_m : het effect van meetpunt m . Deze effecten komen uit een Gaussiaanse verdeling met gemiddelde 0 en variantie σ_m^2 .
- $b_{j,s}$: het effect van jaar j in stratum s . Dit effect modelleert een eerste orde random walk per stratum. Het verschil tussen twee opeenvolgende jaren komt uit een Gaussiaanse verdeling met gemiddelde 0 en variantie σ_j^2 .

$$\begin{aligned} \eta_{jps hm} &= \beta_s + \beta_p + b_h + b_m + b_{j,s} \\ b_h &\sim \mathcal{N}(0, \sigma_h^2) \\ b_m &\sim \mathcal{N}(0, \sigma_m^2) \\ b_{j,s} - b_{j-1,s} &= \Delta b_{j,s} \sim \mathcal{N}(0, \sigma_j^2) \end{aligned}$$

De random walk $b_{j,s}$ is de term die ons het meest interesseert aangezien deze modelleert hoe de aantallen in de tijd wijzigen. Het komt er op neer dat de aantallen in jaar j en stratum s een factor $e^{\Delta b_{j,s}}$ verschillen van het voorgaande jaar in datzelfde stratum. De variantie σ_j^2 bepaalt hoe groot de sterkste schommelingen tussen de opeenvolgende jaren kunnen zijn. Het model laat toe dat elk stratum zijn eigen trend heeft.

2.2.2 Statistische verdelingen

Een standaard distributie voor aantallen is de Poisson verdeling. Deze heeft als kenmerk dat de variantie gelijk is aan het gemiddelde ($\sigma^2 = \mu$). Bij veel ecologisch gegevens zien we dat de variantie in de praktijk groter is dan het gemiddelde, een fenomeen dat we overdispersie noemen. In dat geval kunnen we een negatief binomiale verdeling gebruiken. Deze heeft als variantie $\sigma^2 = \mu + \mu^2/\nu$, waarbij de parameter ν is een maat voor overdispersie. Merk op dat als de overdispersieparameter zeer groot wordt ($\nu = \infty$), dan wordt de term $\mu/\nu = 0$ en bijgevolg reduceert de negatief binomiale verdeling dan tot een Poisson verdeling.

Sommige ecologische gegevens vertonen een “overmaat” aan nullen, dat zijn meer nulwaarnemingen dan de Poisson of negatief binomiale verdeling kan modelleren. In dergelijke gevallen kunnen we overschakelen naar de zero-inflated versie van deze verdelingen. Deze hebben een parameter π die een maat is voor de kans op een overmatige nul.

Bij het modelleren zullen we in eerste instantie deze twee parameters instellen op $\nu = \infty$ en $\pi = 0$, m.a.w. geen overdispersie en geen overmaat aan nullen zodat we een Poisson verdeling krijgen. Vervolgens gaan we na of er voldoende aanwijzingen zijn voor overdispersie of een overmaat aan nullen. In het geval van overdispersie laten we ν door het model schatten waardoor we overgaan van een Poisson naar een negatief binomiaal. In het geval van een overmaat aan nullen laten we π door het model schatten waardoor we overgaan van een Poisson naar een zero-inflated Poisson. Soms hebben we zowel aanwijzingen voor overdispersie als een overmaat aan nullen. In die gevallen kiezen we de negatief binomiaal of zero-inflated Poisson naargelang welke de sterkste aanwijzingen heeft. Vervolgens gaan we na of we de andere parameter ook nog een probleem vormt. Zo ja, gaan we over naar een zero-inflated negatief binomiaal waarbij het model zowel ν als π zal schatten.

2.2.3 Lineaire trends

Lineaire trends veronderstellen dat er een constante wijziging is over de volledige looptijd. Het model dat we hiervoor gebruiken is nagenoeg identiek aan het niet-lineaire model. Het enige verschil zit in de lineaire predictor waar we de first order random walk ($b_{j,s}$) vervangen door een lineaire trend per stratum (β_{s1j}).

$$\eta_{jps hm} = \beta_s + \beta_p + b_h + b_m + \beta_{s1j}$$

Het lineaire model is een vereenvoudiging van het niet-lineaire model. We kunnen deze modellen met elkaar vergelijken op basis van het Wantanabe-Akaike Information Criterion (WAIC) (Gelman *et al.*, 2014). De WAIC waarde daalt naarmate het model de gegevens beter kan beschrijven en stijgt wanneer het model complexer wordt. Als we modellen met elkaar vergelijken op basis van WAIC, zal het model met de laagste WAIC de beste mix zijn tussen een goede beschrijving van de gegevens en een zo eenvoudig mogelijk model. We beschouwen de trend als **lineair** wanneer het lineaire model de laagste WAIC heeft. Wanneer de WAIC van het niet-lineaire model minder dan 2 eenheden lager is dan deze van het lineaire model, beschouwen de trend als **mogelijk niet-lineair**. Pas wanneer de WAIC van het niet-lineaire model duidelijk lager is dan het lineaire model, stellen we dat de trend **niet-lineair** is. In dat geval de gebruiker moet de gerapporteerde lineaire trend met de nodige voorzichtigheid interpreteren. Kijk zeker naar de bijhorende niet-lineaire trend vooraleer de cijfers te interpreteren.

2.2.4 Resultaten per driejarige cyclus

Zoals aangegeven in §1.1 zullen we een bepaald hok in principe om de drie jaar herbezoeken. Hierdoor krijgen we drie sets van hokken. Er bestaat een kans dat de schatting voor een bepaald jaar beïnvloed is door de set van hokken die in dat jaar onderzocht worden. Om dit effect uit te schakelen, analyseren we de gegevens tevens op basis van de driejarige cyclus c i.p.v. jaar j .

De eerste cyclus omvat de eerste drie jaar sinds de start van het meetnet (2007-2009). De volgende cyclus omvat telkens de volgende drie jaar aansluitend op de vorige cyclus. Aangezien we alle beschikbare gegevens gebruiken bij de analyse bevat de laatste cyclus mogelijk minder dan drie jaar. Dit is duidelijk zichtbaar doordat het laatste jaar van de cyclus op dat ogenblik in de toekomst ligt. Als bijvoorbeeld 2019 het meest recente jaar met gegevens is, dan is de laatste cyclus 2019-2021.

Hieronder geven we aan op welke manier we de eerste beschreven modellen aanpassen.

$$Y_{cpshm} \sim ZINB(\mu_{cpshm}, \nu, \pi)$$

$$\log \mu_{cpshm} = \eta_{cpshm}$$

Niet-lineaire trend

$$\eta_{cpshm} = \beta_s + \beta_p + b_h + b_m + b_{c,s}$$

$$b_{c,s} - b_{c-1,s} = \Delta b_{c,s} \sim \mathcal{N}(0, \sigma_c^2)$$

$b_{c,s}$: het effect van driejarige cyclus c in stratum s . Dit effect modelleert een eerste orde random walk per stratum. Het verschil tussen twee opeenvolgende driejarige cycli komt uit een Gaussiaanse verdeling met gemiddelde 0 en variantie σ_c^2 .

Lineaire trend

$$\eta_{cpshm} = \beta_s + \beta_p + b_h + b_m + \beta_{s1}c$$

2.2.5 Modellen fitten

We fitten de statische modellen in R (R Core Team, 2022) met het INLA package (Rue *et al.*, 2009). INLA gebruikt een Bayesiaanse benadering om de modellen te fitten. Daarom moeten we priors specificeren voor de parameters en hyperparameters.

- β_s, β_p en β_{s1} krijgen een Gaussiaanse prior $\mathcal{N}(0, 5)$.
- σ_h^2 krijgt een penalised complexity prior (Simpson *et al.*, 2017) zodat $Prob(\sigma_h > 1) = 0.01$.

- σ_m^2 krijgt een penalised complexity prior zodat $Prob(\sigma_m > 1) = 0.01$.
- σ_j^2 krijgt een penalised complexity prior zodat $Prob(\sigma_j > 0.5) = 0.01$.
- σ_c^2 krijgt een penalised complexity prior zodat $Prob(\sigma_c > 0.5) = 0.01$.
- ν krijgt een Gamma prior zodat $\nu \sim \Gamma(1/7, 1/7)$.
- π wordt intern geparametriseerd als $\theta = \log \frac{\pi}{1-\pi}$ met Gaussiaanse prior $\theta \sim \mathcal{N}(-1, 5)$.

2.3 GEMIDDELD AANTAL DIEREN PER MEETPUNT

Een gemiddeld hok heeft als effect $b_h = 0$ en een gemiddeld meetpunt $b_m = 0$. In de referentieperiode is $\beta_p = 0$. In deze gevallen vereenvoudigt de lineaire predictor tot het effect van stratum s en de trend in dat stratum:

$$\eta_{js} = \beta_s + b_{j,s}$$

Door de effecten van de strata te vermenigvuldigen met hun stratumgewicht (γ_s) krijgen we een schatting voor Vlaanderen.

$$\eta_j = \sum_s (\gamma_s \beta_s + \gamma_s b_{j,s})$$

Om de schatting van het gemiddelde aantal in Vlaanderen te krijgen, moeten we de lineaire predictor terug omzetten van de log schaal naar de natuurlijke schaal en corrigeren voor de eventuele overmaat aan nullen. We krijgen dan:

$$E[Y_j] = (1 - \pi) e^{\eta_j} \prod_s (e^{\gamma_s \beta_s} e^{\gamma_s b_{j,s}})$$

2.4 VERGELIJKEN VAN JAREN

We kunnen twee jaren a en b met elkaar vergelijken door hun lineaire predictoren voor het gemiddeld aantal dieren van elkaar af te trekken.

$$\eta_a - \eta_b = \sum_s (\gamma_s \beta_s + \gamma_s b_{a,s}) - \sum_s (\gamma_s \beta_s + \gamma_s b_{b,s})$$

Aangezien het globale stratumeffecten en de stratumgewichten niet wijzigen in de tijd, kunnen we dit vereenvoudigen tot

$$\eta_a - \eta_b = \sum_s \gamma_s (b_{a,s} - b_{b,s})$$

De wijziging in Vlaanderen is het gewogen gemiddelde van de wijzigingen in de strata. Na omzetting van de log schaal naar de natuurlijke schaal krijgen we het relatieve aantal $I_{a|b}$ van jaar a t.o.v. jaar b

$$I_{a|b} = \frac{e^{\nu_a}}{e^{\nu_b}} = \prod_s \left(\frac{e^{\gamma_s b_{a,s}}}{e^{\gamma_s b_{b,s}}} \right)$$

Wanneer we een jaar met zichzelf vergelijken krijgen we per definitie $I_{a|a} = 1 = 100\%$. Wanneer we meerdere jaren met eenzelfde referentiejaar vergelijken krijgen we een indexwaarde: het relatieve verschil van elk jaar t.o.v. van een bepaald referentiejaar.



2.5 GEWICHT VAN DE STRATA

In het vorige onderdeel hebben gebruikt gemaakt van stratumgewichten γ_s zonder deze te definiëren. We bepalen het gewicht van een stratum op basis van drie kenmerken: het totaal aantal hokken van het stratum in Vlaanderen (N_s), het aantal onderzochte hokken in het stratum (T_s) ongeacht of ze al dan niet relevant zijn voor de soort en het aantal relevante hokken voor de soort in het stratum (R_s).

Het aandeel relevante hokken per stratum (R_s/T_s) is een goede maat van de frequentie waarmee een soort aanwezig is binnen een stratum. Wanneer een soort in nagenoeg alle onderzochte hokken van het stratum waargenomen wordt is $R_s/T_s \simeq 1$. Is de soort zeer zeldzaam (komt slechts in een paar van de onderzochte hokken voor) dan is $R_s/T_s \simeq 0$.

Het basisgewicht γ_{sb} voor stratum s is het aandeel relevante hokken vermenigvuldigd met het totaal aantal hokken in het stratum. Dit is een schatting van het totaal aantal hokken in het stratum waar de soort voldoende frequent voorkomt.

$$\gamma_{sb} = \frac{R_s}{T_s} N_s$$

Om makkelijker te kunnen rekenen delen we de basisgewichten door hun som zodat de stratumgewichten sommeren tot 1.

$$\gamma_s = \frac{\gamma_{sb}}{\sum_s \gamma_{sb}}$$

Merk op dat het aantal relevante hokken per stratum (R_s) soortafhankelijk is. Bijgevolg zijn de stratumgewichten eveneens soortafhankelijk.

2.6 SAMENGESTELDE INDICES

We berekenen een aantal samengestelde indices die de trends voor een groep van soorten aggregeren. Deze indices zijn het meetkundig gemiddelde van de verschillen tussen jaren voor alle soorten van de groep. Bij de berekening maken we gebruik van het trucje dat we een product kunnen schrijven als een som van logaritmes die we nadien terug exponentiëren. Een meetkundig gemiddelde in de natuurlijke schaal kunnen we dat schrijven als een rekenkundig gemiddelde in de log-schaal.

$$\sqrt[n]{\prod_{i=1}^n a_i} = \exp\left(\frac{\sum_{i=1}^n \log a_i}{n}\right)$$

Het voordeel aan deze techniek is dat de schattingen van de paarsgewijze verschillen tussen de jaren reeds beschikbaar zijn in de log-schaal. Bovendien beschikken we tevens over hun variantie in de log-schaal. Dit laat ons toe om makkelijk het betrouwbaarheidsinterval te berekenen aan de hand van een paar vuistregels.

1. Bij onafhankelijke variabelen geldt dat de variantie van hun som gelijk is aan de som van de varianties.
 $\sigma_{\sum X_i}^2 = \sum \sigma_{X_i}^2$
2. De variantie van het product van een variabele en een constante is gelijk aan de variantie van de variabele vermenigvuldigd met die constante. $\sigma_{aX}^2 = a\sigma_X^2$
3. Het model veronderstelt dat de individuele modelparameters een Gaussiaanse verdeling volgen. Hierdoor volgen de paarsgewijze verschillen tussen de jaren en hun gemiddelde (telkens in de log-schaal) een Gaussiaanse verdeling. Aangezien we zowel het gemiddeld als de variantie van deze verdeling kennen, kunnen we hieruit de gewenste kwantielen voor de betrouwbaarheidsintervallen berekenen (nog steeds in de log-schaal).

4. De log-transformatie is een monotoon stijgende functie aangezien $\log(x)$ steeds groter wordt wanneer x groter wordt. Een kenmerk van een monotoon stijgende transformatie is dat ze de volgorde behouden: het 5% kleinste element zal ook na de transformatie het 5% kleinste element zijn. Waardoor we de kwantilen van de betrouwbaarheidsintervallen zonder probleem kunnen terugrekenen naar de natuurlijke schaal.

3 VOORSTELLING VAN DE GEGEVENS

3.1 ONZEKERHEID

Alle resultaten zijn gebaseerd op een steekproef en op de waarnemingen zit onvermijdelijk een zekere meetfout. Vandaar dat we bij de puntschattingen tevens een betrouwbaarheidsinterval weergeven. In de tekst gebruiken we het 90% (5%; 95%) interval waarbij er 5% kans is dat de werkelijke waarde kleiner is dan de ondergrens en 5% dat ze groter is dan de bovengrens. Het 90% interval is iets smaller dan het traditionele 95% (2.5%; 97.5%) interval. Door een smaller interval te kiezen zullen we sneller uitspraken kunnen doen, waardoor de kans kleiner wordt dat we ten onrechte stellen dat er geen effect is. De prijs die we hiervoor betalen is dat de kans dat we ten onrechte stellen dat er een significant effect is, stijgt van 5% naar 10%. De doelstelling van de algemene broedvogelmonitoring is zo spoedig mogelijk detecteren wanneer er iets aan de hand is de broedvogels. Vanuit dat oogpunt is het vermijden van vals negatieve signalen (ten onrechte stellen dat er niets aan de hand is) belangrijker dan het vermijden van vals positieve signalen (ten onrechte stellen dat er iets aan de hand is).

Wanneer we het interval op een figuur (bijvoorbeeld fig. 3.1) weergeven, vullen we het 90% interval aan met een 60% (20%; 80%) interval en een 30% (35%; 65%) interval. Britton *et al.* (1998) waren de inspiratie voor deze manier van weergeven. Het 30% interval vormt het donkerste deel van het interval en geeft de meeste waarschijnlijke locatie van de werkelijke waarde weer. Naarmate het interval lichter wordt, neemt de onzekerheid toe.

3.2 OPDELING VAN DE EFFECTEN IN EEN AANTAL KLASSEN

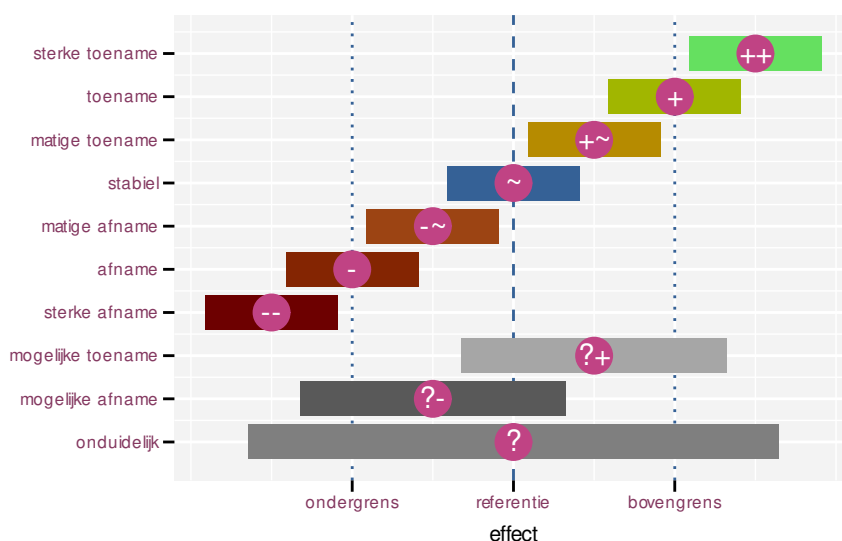
Bij het niet-lineaire model berekenen we alle paarsgewijze relatieve verschillen tussen de verschillende jaren. Bij het lineaire model hebben we de gemiddelde jaarlijkse relatieve verandering. Deze laatste rekenen we tevens om naar de totale wijziging over de looptijd van het meetnet omdat dit eenvoudiger te interpreteren is. Vergelijk een daling met -5% per jaar of een daling met -50% over 15 jaar. Deze laatste klinkt dramatischer door het grotere cijfer, terwijl -5% per jaar overeenkomt met -54% over 15 jaar. De totale wijziging over de looptijd van het lineaire model is tevens vergelijkbaar met de wijziging tussen het eerste en laatste jaar van het niet-lineaire model.

Om de interpretatie makkelijker te maken, delen we de wijzigingen op in tien klassen door hun 90% interval te vergelijken met een referentie, ondergrens en bovengrens. Een effect is significant wanneer de referentie buiten het 90% interval ligt. We spreken over een **toename (afname)** als het interval volledig boven (onder) de referentie ligt. Niet significante effect is ook informatief wanneer het bijhorende interval voldoende smal is. Bijvoorbeeld als het interval volledig tussen de ondergrens en bovengrens ligt. In dat geval kunnen we stellen dat het effect niet significant en klein is, het immers zeker minder sterk dan de ondergrens en minder sterk dan de bovengrens. Dergelijk effect krijgt de naam **stabiel**. Heeft het effect een breed interval dat zowel de boven- als ondergrens bevat, spreken we over een **onduidelijk** effect. Daarnaast is er nog de mogelijkheid dat het interval zowel de bovengrens (ondergrens) als de referentie bevat maar niet de ondergrens (bovengrens). Dan spreken we over een **mogelijke toename (mogelijke afname)**. We kunnen de boven- en ondergrens eveneens gebruiken om een verder onderscheid te maken binnen de significante effecten. Een interval volledig boven (onder) de bovengrens (ondergrens) wordt dan een **sterke toename (sterke afname)**. Een interval volledig tussen de referentie en de de bovengrens (ondergrens) wordt dan een **matige toename (matige afname)**. Een interval dat de referentie niet bevat maar wel de

bovengrens (ondergrens) blijft een **toename** (**afname**). Merk op dat de indeling volledig gebaseerd is op de onzekerheid rond het effect en niet op de puntschatting van het effect zelf. We vatten de opdeling met bijhorende afkortingen en regels samen in tabel 3.1. Figuur 3.1 geeft een grafische voorstelling waarbij we de afkortingen in combinatie met aangepaste symbolen gebruiken. De afkortingen zelf zijn te fijn om als symbool te gebruiken.

Tabel 3.1: Overzicht van de benamingen van de tien effectklassen met hun afkorting en de regels. *R*: referentie, *L*: ondergrens, *B*: bovengrens, *l*: ondergrens van het 90% interval, *b*: bovengrens van het 90% interval. $L < R < B$ en $l < b$.

benaming	afkorting	regels
sterke toename	++	$B < l$
toename	+	$R < l < B$ en $B < b$
matige toename	+~	$R < l < B$ en $b < B$
stabiel	~	$L < l < R$ en $R < b < B$
matige afname	--	$L < l < R$ en $b < R$
afname	-	$l < L$ en $L < b < R$
sterke afname	--	$l < L$
mogelijke toename	?+	$L < l < R$ en $B < b$
mogelijke afname	?-	$l < L$ en $R < b < B$
onduidelijk	?	$l < L$ en $B < b$



Figuur 3.1: Voorbeeld van de tien mogelijke interpretaties van een effect door het 90% interval te vergelijken met een referentie, ondergrens en bovengrens.

Uiteraard hangt de opdeling sterk af van de keuze van de boven- en ondergrens. De soortenmeetnetten voor de Natura 2000 monitoring streven er naar om een daling in populatiegrootte met -25% over 25 jaar tijd vast te kunnen stellen. Hierbij wordt een wijziging in de populatiegrootte van -25% als belangrijk aanzien. Daarom hanteren we voor de algemene broedvogelmonitoring ook -25% als ondergrens, zowel bij de paarsgewijze verschillen tussen de jaren als de lineaire wijziging over de looptijd van het meetnet. Een van daling van -25% komt overeen met aantallen die nog drie kwart van de uitgangssituatie bedragen. Een even sterke wijziging in de omgekeerde richting zorgt er voor dat de aantallen toenemen tot vier derde van de uitgangssituatie, of een toename met +33% wat we als bovengrens gebruiken.

Bij de samengestelde indices hebben we aangepaste grenswaarden nodig. Veronderstel een samengestelde index op basis van n soorten. We berekenen het rekenkundig gemiddelde in de log-schaal, dan is de variantie van dit gemiddelde een factor n kleiner dan de som van de varianties. De breedte van een betrouwbaarheidsinterval hangt samen met de standaard afwijking, wat de vierkantswortel van de variantie is. Hierdoor zullen de breedtes van de betrouwbaarheidsintervallen van de samengestelde index een factor \sqrt{n} kleiner zijn. Vandaar dat we de grenswaarden van de indices tevens aanpassen door ze met een factor \sqrt{n} te verkleinen. Elke samengestelde index heeft zijn eigen soortenlijst met een variabele aantal soorten. Daarom zullen we bij elke samengestelde index zijn aangepaste grenswaarden vermelden.

3.3 OVERZICHT VAN DE LINEAIRE TRENDS

Tabellen 12.1 en 12.2 geven een overzicht van de lineaire trends voor elke soort. We hebben de trends gesorteerd volgens opdeling van de klassen en binnen de klasse volgens puntschatting van de trend. Hierdoor start de tabel met de soorten met de sterkste positieve trends. Bij de volgende soorten zal de trend minder sterk worden tot we aan de soorten met een stabiele trend komen. Daarna volgen de soorten met een negatieve trend waarbij de trend steeds sterker negatief wordt. We sluiten de tabel af met de soorten met een mogelijke of onduidelijke trend. De tabel bevat de trend uitgedrukt als een jaarlijkse wijziging en als een wijziging over de volledige looptijd van het meetnet. Verder bevat de tabel de opdeling van de trend in klassen en een indicatie of de trend al dan niet lineair is (zie §2.2.3). De naam van de soort is een snelkoppeling naar de detail van de soort zelf. We raden aan om hiervan gebruikt te maken bij de interpretatie van niet-lineaire trends.

3.4 EVOLUTIE VAN GEMIDDELTE AANTALLEN PER SOORT

Deze figuur geeft de evolutie van de gemiddelde aantallen per meetpunt weer volgens het niet-lineair model. Indien het model lineair is, zal het patroon van de niet-lineaire trend dicht bij een lineaire trend liggen. De lijn bevat de puntschatting van het gemiddelde aantal in elk jaar. Rond de lijn tonen we het 30%, 60% en 90% interval (zie §3.1). In de online versie van het rapport is de figuur interactief. Wanneer de gebruiker met de muis over de figuur gaat verschijnt er in de buurt van de lijn een pop-up met de exacte schatting van dat jaar inclusief het 90% betrouwbaarheidsinterval en het jaartal.

3.5 PAARSGEWIJZE VERGELIJKING VAN JAREN

Deze informatie hebben we telkens in twee figuren samengevat. De eerste figuur geeft het verschil van elk jaar t.o.v. 2007, het jaar waarin de metingen gestart zijn. Voor 2007 geven we geen cijfer omdat het per definitie 1 is en geen informatie bevat. Het symbool geeft de puntschatting van het relatieve verschil t.o.v. 2007 weer. De vorm van het symbool geeft de opdeling van de sterkte van het effect weer (zie fig. 3.1). Rond elke puntschatting tonen we het 30%, 60% en 90% interval (zie §3.1). De horizontale streepjeslijn geeft de referentie van 0% verschil weer. De horizontale puntlijnen geven de bovengrens (+33%) en ondergrens (-25%) weer. Deze laten toe om de vlot zelf de betrouwbaarheidsintervallen te vergelijken met de referentie, boven- en ondergrens. De figuur heeft twee y-assen. Beide assen geven dezelfde informatie weer, enkel de formattering van de labels is anders. De linkeras toont procentuele verschillen terwijl de rechteras de relatieve verschillen toont. Een procentueel verschil van +50% is equivalent met een relatieve verschil (verhouding) met een factor 1,5.

We stellen vast dat veel gebruikers ook andere jaren met elkaar willen vergelijken. Een correcte vergelijking is enkel mogelijk indien we een van deze jaren als referentie gebruiken. Voor elk jaar een afzonderlijke figuur maken, zou het rapport onoverzichtelijk groot maken. Om de vergelijkingen toch mogelijk te maken hebben we alle paarsgewijze verschillen tussen de jaren in een raster weergegeven. Elke rij in het raster staat voor een ander referentiejaar. De kolommen geven de verschillen van een bepaald jaar weer t.o.v. de verschillende referentie jaren. Op de diagonaal staan geen waarden omdat we daar een jaar met zichzelf vergelijken. De kleur van de symbolen geeft de sterkte van het verschil (gebaseerd op de puntschatting). Zwakke verschillen

zijn grijs, sterke positieve verschillen rood, sterke negatieve verschillen blauw. De vorm van de symbolen geeft zicht op de sterkte en onzekerheid van het effect (zie tab. 3.1). Wanneer een rij volledig rood (blauw) is, zijn alle verschillen met dit referentiejaar positief (negatief) m.a.w. dit is het referentiejaar met de laagste (hoogste) aantallen. Wanneer een kolom volledig rood (blauw) is, zijn alle verschillen van dit jaar t.o.v. alle referentie jaren negatief (positief) m.a.w. dit is het jaar met de hoogste (laagste) aantallen. Clusters van punten met een gelijkaardige kleur geven periodes aan waarin de aantallen geleidelijk wijzigen. In de online versie van dit rapport is deze figuur interactief. Wanneer de gebruiker met de muis over de figuur gaat verschijnt er in de buurt van de lijn een pop-up met de exacte schatting van dat punt inclusief het 90% betrouwbaarheidsinterval en het jaartal en referentiejaar.

4 REPRODUCEERBAARHEID EN TRACEERBAARHEID VAN DE GEGEVENSVERWERKING

4.1 VERSIEBEHEER

De waarnemers voeren hun waarnemingen via een webapplicatie toe aan de databank. De analyse start met het importeren van de relevante gegevens uit de databank aan de hand van een R-script. De bekomen dataset bewaren we als een collectie van tekstbestanden met behulp van het `git2rdata` package (Onkelinx, 2022a). Zowel deze code als de tekstbestanden bewaren we onze versiebeheer met `git`. Git is een gratis en open source gedistribueerd versiebeheersysteem dat is ontworpen om alles van kleine tot zeer grote projecten snel en efficiëntie te beheren. De code zit vervat in het `abvanalysis` package (Onkelinx, 2022b), dat vrij online beschikbaar is. De tekstbestanden met de gegevens zijn momenteel niet publiek toegankelijk. De ruwe gegevens worden geaggregeerd per hok en met drie jaar vertraging publiek ontsloten via GBIF (Vermeersch *et al.*, 2018a).

4.2 REPRODUCEERBAARHEID

Om de reproduceerbaarheid te garanderen starten we de analyses steeds vanaf de tekstbestanden. Aan de hand van code in het `abvanalysis` package definiëren we hoe we de tekstbestanden omzetten naar de verschillende analyses (§2.2). Dit resulteert in een resem op zichzelf staande analyseobjecten van het `n2kanalysis` package (Onkelinx, 2022c). Dergelijk analyseobject bevat naast de nodige gegevens en de modeldefinitie tevens de nodige metadata zoals alle gebruikte R packages, inclusief hun versie, en een verwijzing naar de voorafgaande analyses waarvan deze analyse afhangt. Zo verwijst de analyse van een samengestelde index (§2.6) naar de trendberekening van de bijhorende soorten (§2.2). De individuele trendberekeningen verwijzen naar de “analyse” die de gegevens importeerde uit de databank. Deze laatste bevat de nodige links naar de tekstbestanden en hun versie.

4.3 TRACEERBAARHEID

De `n2kanalysis` objecten hebben elk twee data hashes. Elk data hash is een reeks van 40 hexadecimale¹ cijfers die het resultaat zijn van de cryptografische `hashfunctie` `SHA-1`. Deze hashfunctie heeft een aantal belangrijke eigenschappen:

1. Ze zetten elke invoer om naar een uitvoer met vaste lengte (40 hexadecimale cijfers).
2. De uitvoer is stabiel: als je de hash van een bepaalde invoer opnieuw berekent krijg je steeds dezelfde uitvoer.
3. Het is niet mogelijk om de invoer te reconstrueren op basis van de uitvoer.
4. Eender welke kleine wijziging aan de invoer resulteert in een sterke wijziging van de uitvoer.
5. De kans dat twee verschillende invoeren dezelfde uitvoer opleveren is zeer klein.

¹Hexadecimaal betekent letterlijk zestientallig. Het is een talstelsel waarbij niet, zoals gebruikelijk, met tien cijfers wordt gewerkt, maar met zestien cijfers. De cijfers 0 t.e.m. 9 worden daarom uitgebreid met a (=10) t.e.m. f (=15).

De eerste data hash van het analyseobject is gebaseerd op alle informatie die gekend is op het moment dat we het analyseobject definiëren en die nooit zal wijzigen tijdens de analyse. Denk hierbij aan de definitie van de analyse, de gegevens, de soort, ... Gezien de eigenschappen van de hashfunctie kunnen we deze data hash gebruiken om ondubbelzinnig te verwijzen naar een specifieke analyse (inclusief de gebruikte gegevens.)

De tweede data hash van het analyseobject baseren we enerzijds op de eerste data hash en anderzijds van alle onderdelen van het analyseobject die wijzigen in de loop van de analyse. Dit is o.a. het resultaat van de statistische analyse, de gebruikte software, ... De analyse opnieuw uitrekenen met software van een andere versie zal de tweede data hash aanpassen.

De combinatie van deze twee data hashes laat enerzijds toe om naar een specifieke versie van de analyse te verwijzen. Anderzijds bieden ze een garantie over de inhoud van het analyseobject. In het geval van twijfel over een analyse kunnen we teruggrijpen naar de analyseobject in kwestie. De data hashes bewijzen dan dat we het correcte analyseobject hebben.

4.4 DOWNLOADBAAR CIJFERMATERIAAL

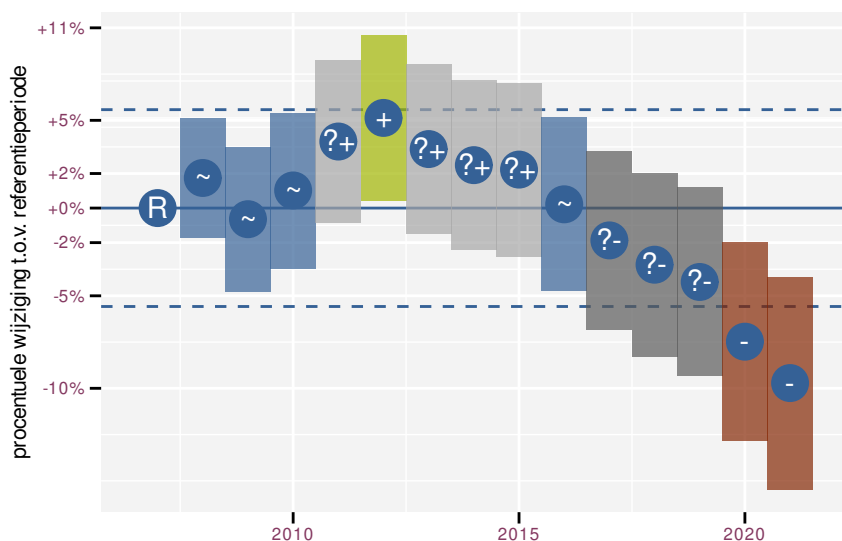
We stellen het cijfermateriaal om de figuren te genereren beschikbaar in de online versie van dit rapport: 10.21436/inbor.73009782.

Deel II

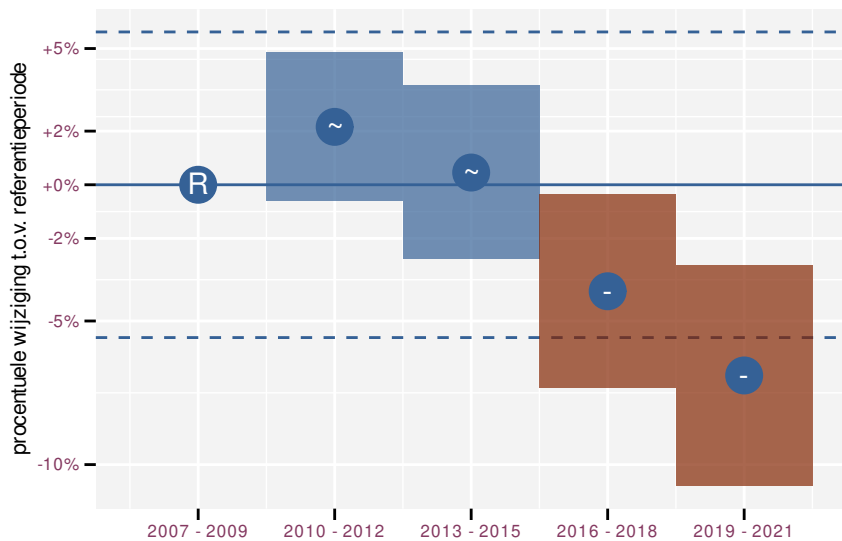
INDICATOREN

5 BOS

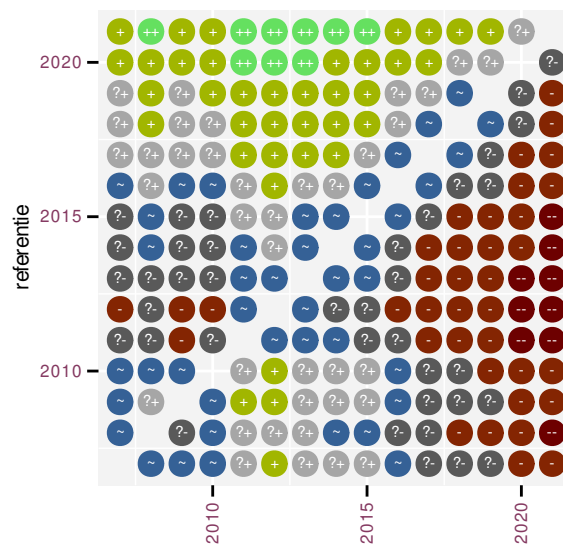
Deze indicator is gebaseerd op volgende soorten: Bonte vliegenvanger, Boomklever, Boomkruiper, Boompieper, Buizerd, Fitis, Gaai, Gekraagde roodstaart, Goudhaan, Groene specht, Groenling, Grote bonte specht, Grote lijster, Holenduif, Koekoek, Kuifmees, Matkop, Nachtegaal, Sperwer, Tjiftjaf, Tuinfluitier, Wielewaal, Zwarte mees, Zwarte specht, Zwartkop. De indicator bestaat uit 25 soorten. De aangepaste grenswaarden zijn -5.6% en +5.9%.



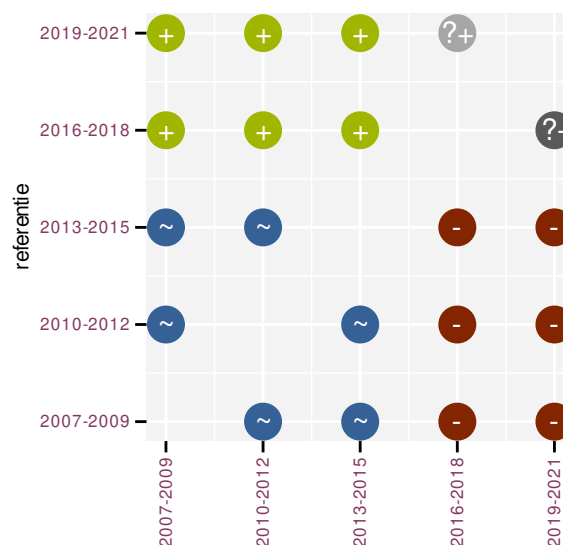
Figuur 5.1: Wijzigingen t.o.v. de start van het meetnet voor Bos. Zie §3.1 voor een verklaring van de intervallen en §3.2 voor uitleg over de symbolen en referentielijnen.



Figuur 5.2: Wijzigingen per driejarige cyclus voor Bos. Zie §3.1 voor een verklaring van de intervallen en §3.2 voor uitleg over de symbolen en referentielijnen.



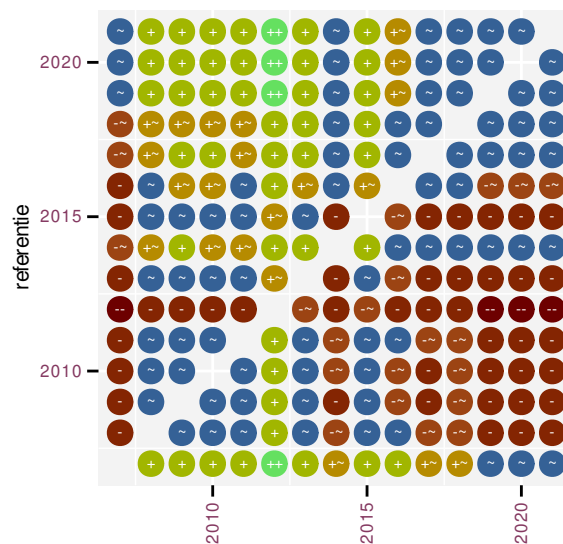
Figuur 5.3: Paarsgewijze vergelijking tussen jaren voor Bos.



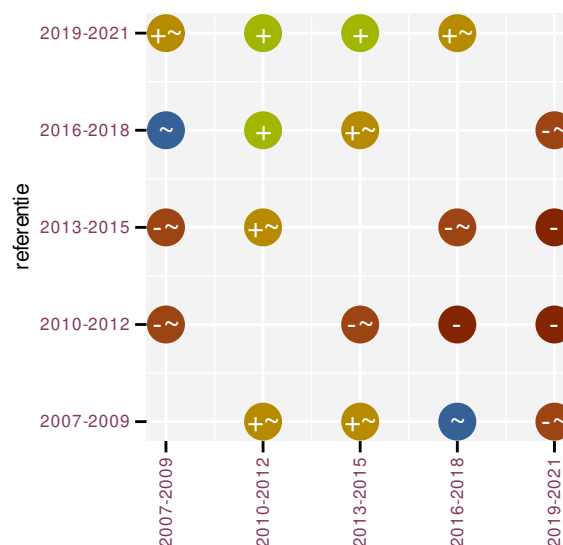
Figuur 5.4: Paarsgewijze vergelijking tussen driejarige cycli voor Bos.

Tabel 5.1: Data-hashes van de analyse in het kader van traceerbaarheid (zie §4.3).

frequentie	model	analyse	status
jaarlijks	niet-lineair	065435d795c0670ce503 9ac3e5256f0191ff158c	c00b31dd245d39debafe b8980402a9cf40c30637
jaarlijks	lineair	0318779586c0daaf0deb 2ffb7589e4be1943cec0	ac538cc5090394b9e4f7 fc588032ce4b5ecd277e
driejaarlijks	niet-lineair	593eb6fb0c4fd3dd7f15 89aae4c3f8fb9037e2f3	7d5282f5f62a6b39d757 fc01252b3ea59bb29f0c
driejaarlijks	lineair	98bff1e787047fd0541d b9312e21d78b141e4bd4	2e07473e378cfe62a284 b9b0ff2d8355e5fe0922



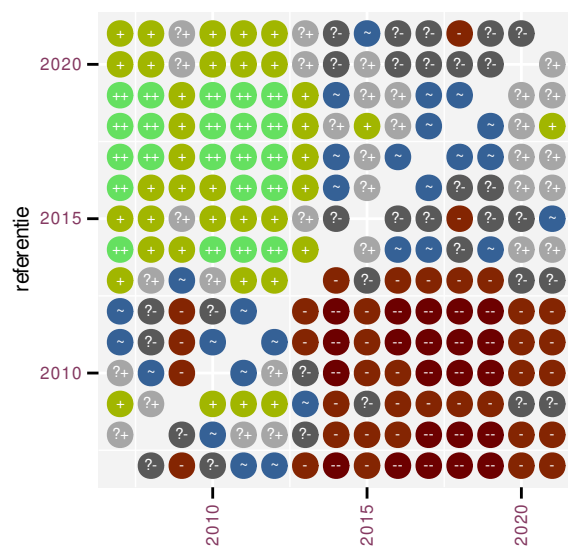
Figuur 6.3: Paarsgewijze vergelijking tussen jaren voor Generalist.



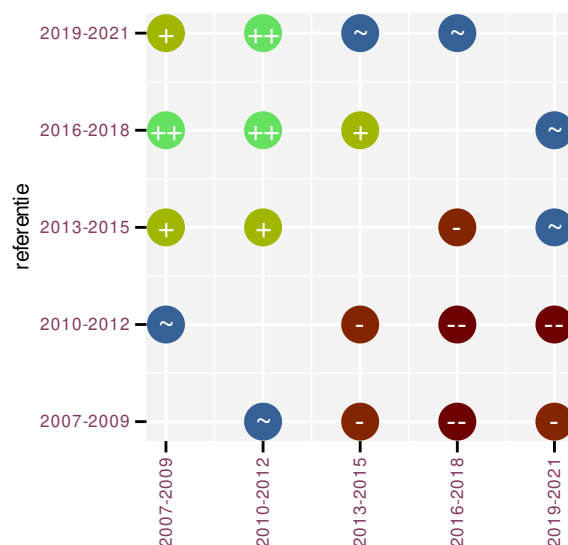
Figuur 6.4: Paarsgewijze vergelijking tussen driejarige cycli voor Generalist.

Tabel 6.1: Data-hashes van de analyse in het kader van traceerbaarheid (zie §4.3).

frequentie	model	analyse	status
jaarlijks	niet-lineair	7de2fb5569c605361a44 48a1cc8bd0cc8620bf98	6cae4eaa6afcae027052 b737f4731a0961903bb0
jaarlijks	lineair	0f80967e642a972f6182 a97b4639423444d26d84	b53623efbe8837a33ef4 74c04259e723a6eb7b7c
driejaarlijks	niet-lineair	6ade7b159cc06f6bf36a 2ec2eabd79b9a221f0f0	d62bae213c5f16b7070b 013189132bde3e590681
driejaarlijks	lineair	a57e361972641b731cd5 5a729f7eb70981e7af15	153f284a693c0e5bd0d2 b863b77427b0d1213683



Figuur 7.3: Paarsgewijze vergelijking tussen jaren voor Landbouw.



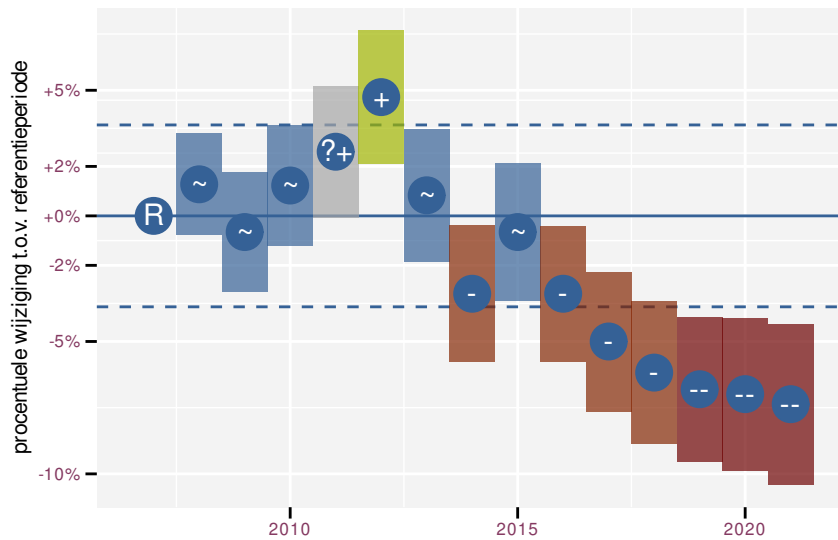
Figuur 7.4: Paarsgewijze vergelijking tussen driejarige cycli voor Landbouw.

Tabel 7.1: Data-hashes van de analyse in het kader van traceerbaarheid (zie §4.3).

frequentie	model	analyse	status
jaarlijks	niet-lineair	c9e6386fa4d39c2dc28a f7775b3badf100b90235	516a9016732a2b5928f9 ae38316fd8dd80aac060
jaarlijks	lineair	dc32825c858b1b7a06ea 1965c70654dcec434985	bb4757921327ec5f7111 8d778a816e0faf12c08b
driejaarlijks	niet-lineair	5c768b1b3225a54e92a6 ec71495ac6e9182d6c7f	ad5c5ad288e68fd7c7e7 23c7b5f07417416cb045
driejaarlijks	lineair	81fed6518e71162fd880 83a2da50330f310f6f1c	13c128c0562fd3846a1b 07bb9439f08e6279a96e

8 NARA2020

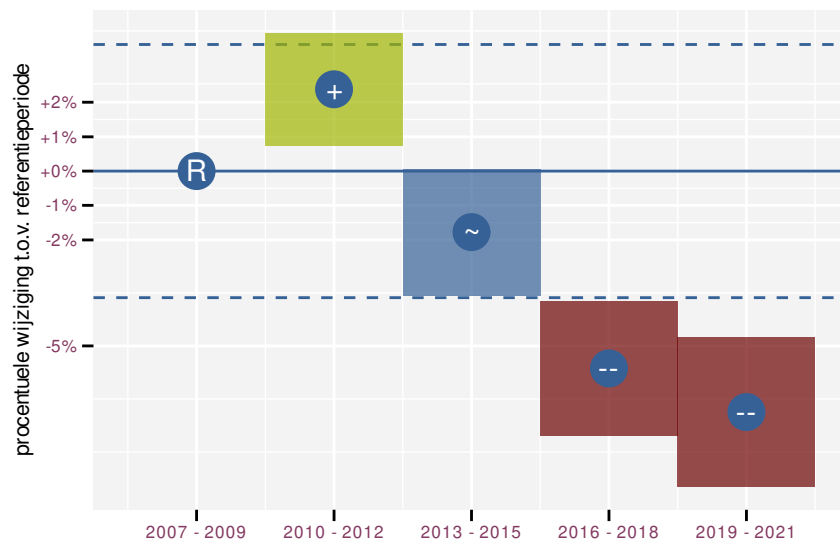
Deze indicator is gebaseerd op volgende soorten: Boerenzwaluw, Bonte vliegenvanger, Boomklover, Boomkruiper, Boompieper, Buizerd, Ekster, Fazant, Fitis, Gaai, Geelgors, Gekraagde roodstaart, Gele kwikstaart, Goudhaan, Grasmus, Graspieper, Groene specht, Groenling, Grote bonte specht, Grote lijster, Grutto, Heggenmus, Holenduif, Houtduif, Huismus, Kauw, Kievit, Kneu, Koekoek, Koolmees, Kuifmees, Matkop, Merel, Nachtegaal, Patrijs, Pimpelmees, Ringmus, Roodborst, Roodborsttapuit, Scholekster, Sperwer, Spotvogel, Spreeuw, Staartmees, Tjiftjaf, Torenavalk, Tuinfluiter, Turkse tortel, Veldleeuwerik, Vink, Wielewaal, Winterkoning, Witte kwikstaart, Wulp, Zanglijster, Zwarte kraai, Zwarte mees, Zwarte roodstaart, Zwarte specht, Zwartkop. De indicator bestaat uit 60 soorten. De aangepaste grenswaarden zijn -3.6% en +3.8%.



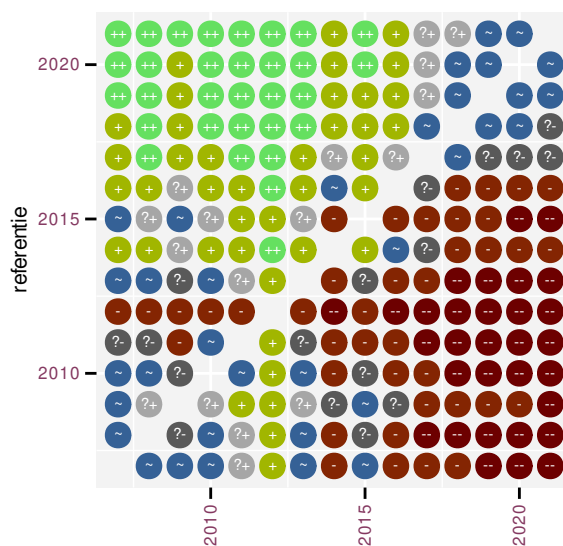
Figuur 8.1: Wijzigingen t.o.v. de start van het meetnet voor NARA2020. Zie §3.1 voor een verklaring van de intervallen en §3.2 voor uitleg over de symbolen en referentielijnen.

Tabel 8.1: Data-hashes van de analyse in het kader van traceerbaarheid (zie §4.3).

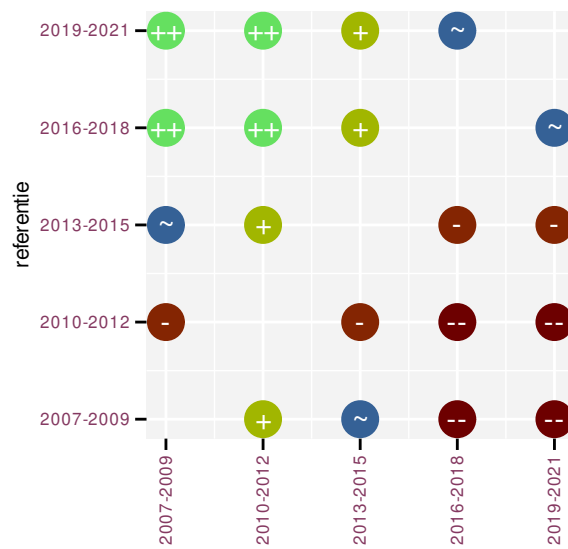
frequentie	model	analyse	status
jaarlijks	niet-lineair	b482fae1586cb229f7a7 f81021ed4292a1ba4527	17963c721b422aacf115 e81f7e9735fd7d98fb3b
jaarlijks	lineair	267bb3b06ea9e19ca417 4d3aa8bef8f2ad18f68d	7c3a4142868b48a1bc91 f8101f9cfe2f5fcdb4e1
driejaarlijks	niet-lineair	c035733ae7b98af78ce6 7c149ed93f974259ed7c	ae5b48823220e20a2377 39995aa1a48fe6820d8f
driejaarlijks	lineair	95207bf52b710d4804a3 d9ecbaa197d19bf6a746	d7a17b9abd9e91cff5c1 e3e57c91961678edd73b



Figuur 8.2: Wijzigingen per driejarige cyclus voor NARA2020. Zie §3.1 voor een verklaring van de intervallen en §3.2 voor uitleg over de symbolen en referentielijnen.



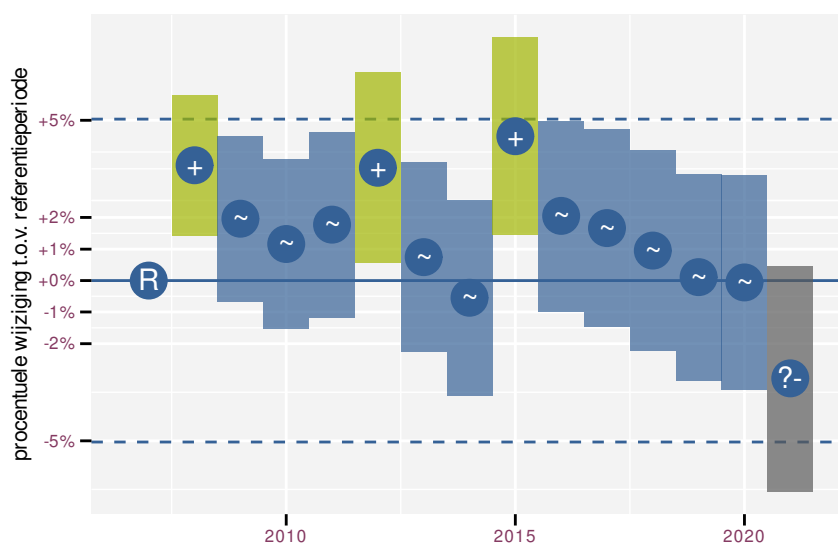
Figuur 8.3: Paarsgewijze vergelijking tussen jaren voor NARA2020.



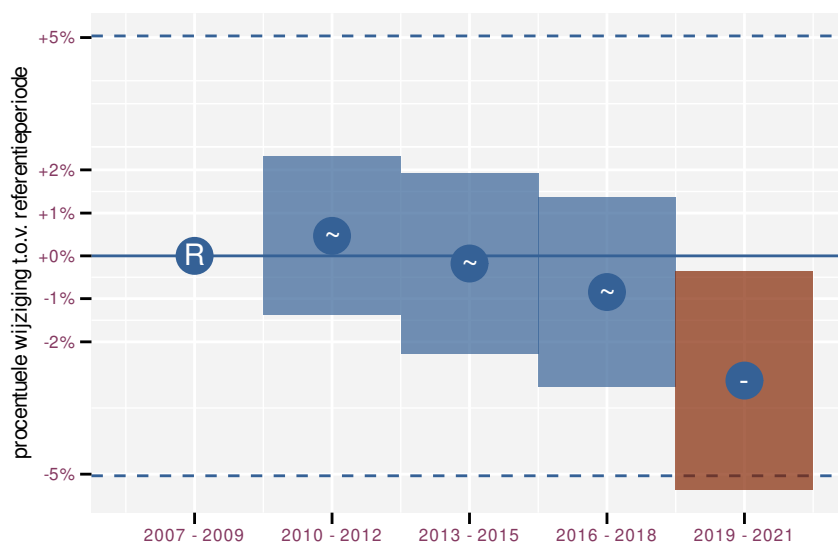
Figuur 8.4: Paarsgewijze vergelijking tussen driejarige cycli voor NARA2020.

9 STANDVOGEL

Deze indicator is gebaseerd op volgende soorten: Boomklever, Boomkruiper, Buizerd, Ekster, Fazant, Gaai, Goudhaan, Groene specht, Grote bonte specht, Heggenmus, Holenduif, Houtduif, Huismus, Kauw, Koolmees, Kuifmees, Matkop, Merel, Patrijs, Pimpelmees, Ringmus, Roodborst, Sperwer, Staartmees, Torenvalk, Turkse tortel, Vink, Winterkoning, Zwarte kraai, Zwarte mees, Zwarte specht. De indicator bestaat uit 31 soorten. De aangepaste grenswaarden zijn -5.0% en +5.3%.



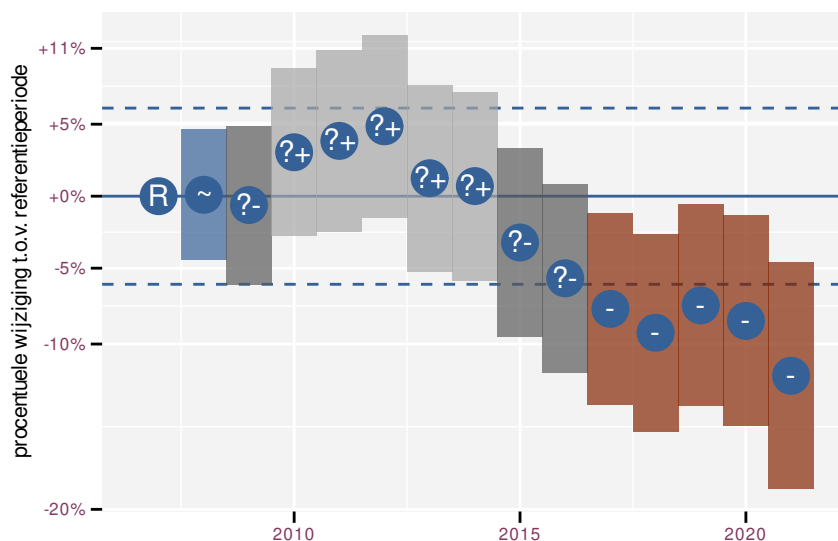
Figuur 9.1: Wijzigingen t.o.v. de start van het meetnet voor Standvogel. Zie §3.1 voor een verklaring van de intervallen en §3.2 voor uitleg over de symbolen en referentielijnen.



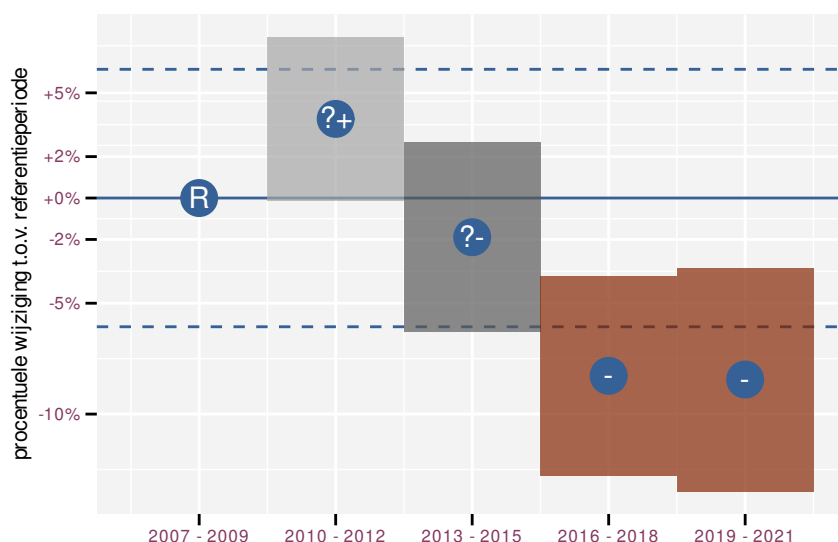
Figuur 9.2: Wijzigingen per driejarige cyclus voor Standvogel. Zie §3.1 voor een verklaring van de intervallen en §3.2 voor uitleg over de symbolen en referentielijnen.

10 SUBSAHARAMIGRANT

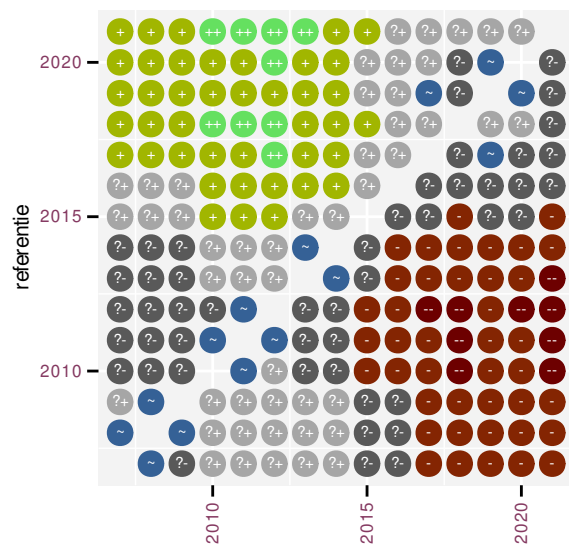
Deze indicator is gebaseerd op volgende soorten: Blauwborst, Boerenwaluw, Bonte vliegenvanger, Boom-
pieper, Bosrietzanger, Fitis, Gekraagde roodstaart, Gele kwikstaart, Gierzwaluw, Grasmus, Grutto, Huiszwa-
luw, Kleine karekiet, Koekoek, Nachtegaal, Rietzanger, Spotvogel, Sprinkhaanzanger, Tjiftjaf, Tuinfluiter,
Wielewaal. De indicator bestaat uit 21 soorten. De aangepaste grenswaarden zijn -6.1% en +6.5%.



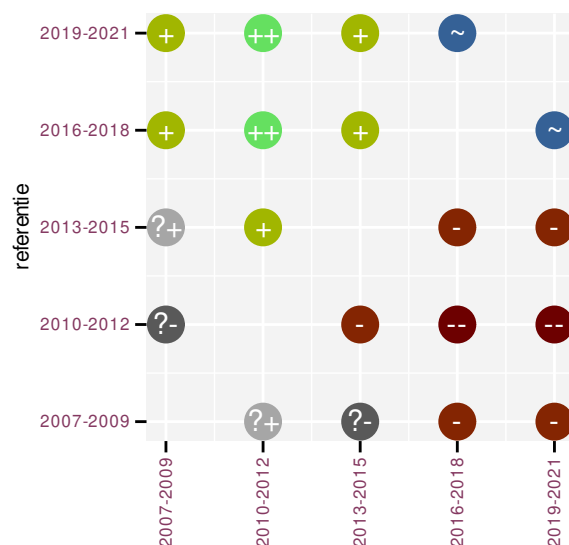
Figuur 10.1: Wijzigingen t.o.v. de start van het meetnet voor SubSaharaMigrant. Zie §3.1 voor een verklaring van de intervallen en §3.2 voor uitleg over de symbolen en referentielijnen.



Figuur 10.2: Wijzigingen per driejarige cyclus voor SubSaharaMigrant. Zie §3.1 voor een verklaring van de intervallen en §3.2 voor uitleg over de symbolen en referentielijnen.



Figuur 10.3: Paarsgewijze vergelijking tussen jaren voor SubSaharaMigrant.



Figuur 10.4: Paarsgewijze vergelijking tussen driejarige cycli voor SubSaharaMigrant.

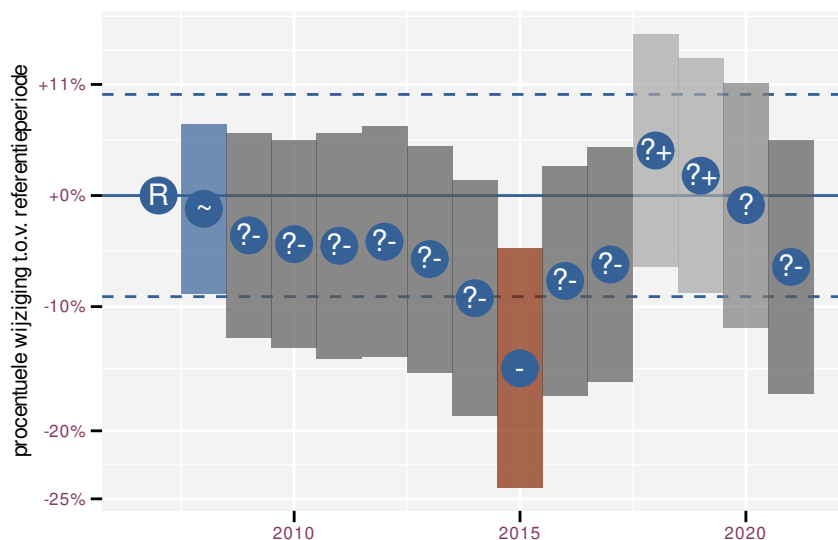
Tabel 10.1: Data-hashes van de analyse in het kader van traceerbaarheid (zie §4.3).

frequentie	model	analyse	status
jaarlijks	niet-lineair	72c6c284e0c0e33b4043 cd8323728d150d712013	3abe25dd48567e547ec4 d604e98d8f21f61e49b3
jaarlijks	lineair	cdfb5adb7fb4e874836a 26a33c64722de5e78c11	d17a44c913c36fe4a789 725df65e242599424e19
driejaarlijks	niet-lineair	fdedf450a47913ea876d 233e655a6dce63fc61f4	07cb39270989383f5379 8f8d5293bef32bea9abc
driejaarlijks	lineair	129824ba4d8a8115aa2e fca6a0e3ef0485242f89	38f69c4a54f741d2f966 e8b55022cf7c94ab0ab9

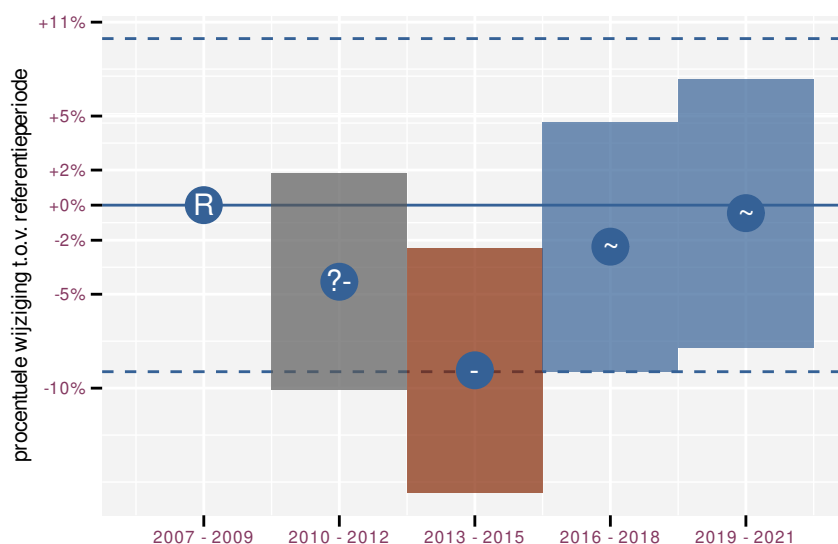


11 WATERVOGEL

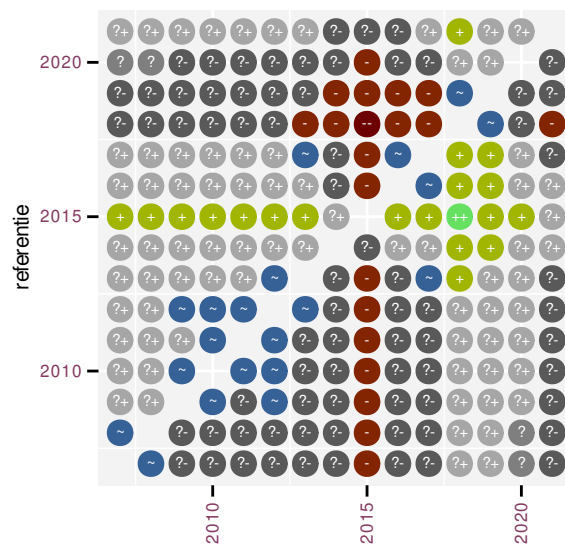
Deze indicator is gebaseerd op volgende soorten: *Bergeend*, *Canadese gans*, *Dodaars*, *Fuut*, *Grauwe gans*, *Meerkoet*, *Nijlgans*, *Waterhoen*, *Wilde eend*. De indicator bestaat uit 9 soorten. De aangepaste grenswaarden zijn -9.1% en +10.1%.



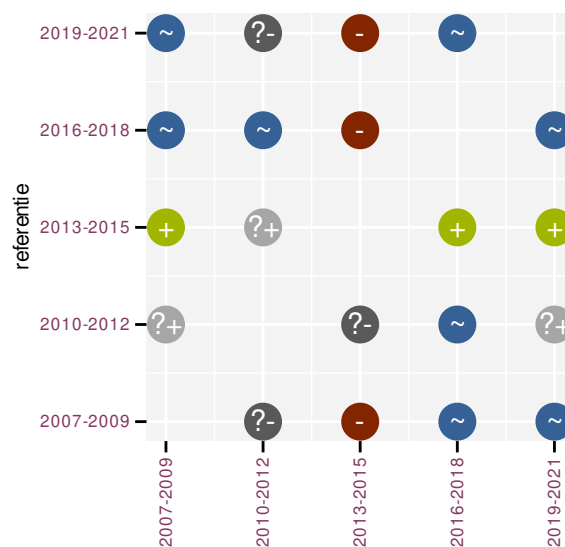
Figuur 11.1: Wijzigingen t.o.v. de start van het meetnet voor Watervogel. Zie §3.1 voor een verklaring van de intervallen en §3.2 voor uitleg over de symbolen en referentielijnen.



Figuur 11.2: Wijzigingen per driejarige cyclus voor Watervogel. Zie §3.1 voor een verklaring van de intervallen en §3.2 voor uitleg over de symbolen en referentielijnen.



Figuur 11.3: Paarsgewijze vergelijking tussen jaren voor Watervogel.



Figuur 11.4: Paarsgewijze vergelijking tussen driejarige cycli voor Watervogel.

Tabel 11.1: Data-hashes van de analyse in het kader van traceerbaarheid (zie §4.3).

frequentie	model	analyse	status
jaarlijks	niet-lineair	78f60d32e602167f6906 ebb509792a8298a58d1b	7c68ba2dc9aa3bfbeb96 bcbe9d9be79076e61f5e
jaarlijks	lineair	2dd7388d2977ad1ea447 b6a28e4dceac2c1e0103	fd6074a62828ac056fa0 85ec1fc1e8b36441306d
driejaarlijks	niet-lineair	723a683c2943df4cd52e 6d803c9d301bb3b47f26	836b86cbf54dd29fb268 df1a6d4216ac01fd7476
driejaarlijks	lineair	8b290f5e75248afd29a9 f61d2c649b571bd21e66	8ad68fb617c99e8b2b5c 483d4ece91a7056a0f5d

Deel III

RESULTATEN PER SOORT

soort	klasse	interpretatie	jaarlijkse wijziging	wijziging over de looptijd
Boomkruiper	+	mogelijk niet-lineair	+2.1% (+1.0%; +3.2%)	+34% (+16%; +55%)
Zwarte roodstaart	+	niet-lineair	+2.0% (+1.0%; +3.0%)	+33% (+16%; +52%)
Canadese gans	+	lineair	+2.0% (+0.8%; +3.3%)	+32% (+11%; +57%)
Kneu	+	lineair	+1.6% (+0.3%; +3.0%)	+25% (+4%; +51%)
Grasmus	+	niet-lineair	+1.6% (+0.8%; +2.4%)	+25% (+12%; +39%)
Witte kwikstaart	+	niet-lineair	+1.6% (+0.9%; +2.3%)	+25% (+13%; +38%)
Zwarte kraai	+~	niet-lineair	+1.515% (+1.173%; +1.857%)	+23% (+18%; +29%)
Pimpelmees	+~	niet-lineair	+1.19% (+0.65%; +1.73%)	+18% (+9%; +27%)
Vink	+~	niet-lineair	+1.029% (+0.739%; +1.319%)	+15.4% (+10.9%; +20.1%)
Boerenzwaluw	+~	niet-lineair	+0.94% (+0.16%; +1.73%)	+14% (+2%; +27%)
Tijftjaf	+~	niet-lineair	+0.887% (+0.525%; +1.251%)	+13.2% (+7.6%; +19.0%)
Rietzanger	~	niet-lineair	+0.39% (-1.05%; +1.85%)	+6% (-14%; +29%)
Boompieper	~	lineair	+0.27% (-1.40%; +1.96%)	+4% (-18%; +31%)
Kleine karekiet	~	mogelijk niet-lineair	+0.26% (-1.02%; +1.56%)	+4% (-13%; +24%)
Houtduif	~	niet-lineair	+0.13% (-0.13%; +0.38%)	+1.8% (-1.8%; +5.5%)
Ekster	~	niet-lineair	-0.15% (-0.56%; +0.25%)	-2% (-7%; +4%)
Gaai	~	niet-lineair	-0.70% (-1.59%; +0.21%)	-9% (-20%; +3%)
Scholekster	~	mogelijk niet-lineair	-0.86% (-1.85%; +0.13%)	-11% (-23%; +2%)
Fazant	--	niet-lineair	-0.724% (-1.180%; -0.266%)	-9.7% (-15.3%; -3.7%)
Koolmees	--	niet-lineair	-0.751% (-1.091%; -0.409%)	-10.01% (-14.23%; -5.58%)
Groene specht	--	niet-lineair	-0.76% (-1.38%; -0.13%)	-10.1% (-17.7%; -1.8%)
Groenling	--	niet-lineair	-0.83% (-1.62%; -0.04%)	-11% (-20%; -1%)
Holenduif	--	niet-lineair	-0.95% (-1.56%; -0.33%)	-12.5% (-19.7%; -4.6%)
Winterkoning	--	niet-lineair	-0.982% (-1.259%; -0.704%)	-12.90% (-16.25%; -9.42%)
Graspieper	-	niet-lineair	-1.2% (-2.3%; -0.0%)	-15% (-27%; -1%)
Turkse tortel	-	lineair	-1.72% (-2.06%; -1.37%)	-21.5% (-25.3%; -17.6%)
Gele kwikstaart	-	niet-lineair	-1.9% (-2.7%; -1.2%)	-24% (-32%; -15%)
Heggenmus	-	lineair	-1.95% (-2.41%; -1.49%)	-24% (-29%; -19%)
Koekoek	-	lineair	-2.1% (-3.5%; -0.7%)	-26% (-39%; -10%)
Geelgors	-	niet-lineair	-2.1% (-3.3%; -1.0%)	-26% (-38%; -13%)
Goudhaan	-	niet-lineair	-2.2% (-3.9%; -0.5%)	-27% (-43%; -6%)
Spreeuw	-	lineair	-2.2% (-2.9%; -1.6%)	-27% (-34%; -20%)
Grutto	-	lineair	-3.2% (-4.8%; -1.7%)	-37% (-50%; -21%)
Stadsduif	-	niet-lineair	-3.8% (-6.4%; -1.2%)	-42% (-61%; -15%)
Zilvermeeuw	-	niet-lineair	-3.9% (-7.5%; -0.1%)	-43% (-66%; -2%)
Dodaars	-	niet-lineair	-6.33% (-11.10%; -1.30%)	-60% (-81%; -17%)
Huismus	--	niet-lineair	-2.52% (-2.91%; -2.12%)	-30.0% (-33.9%; -26.0%)
Veldleeuwerik	--	lineair	-2.6% (-3.2%; -2.0%)	-31% (-37%; -25%)
Wilde eend	--	lineair	-2.8% (-3.5%; -2.1%)	-33% (-39%; -26%)
Waterhoen	--	niet-lineair	-3.1% (-4.0%; -2.1%)	-35% (-43%; -26%)
Zanglijster	--	niet-lineair	-3.3% (-3.9%; -2.8%)	-37.9% (-42.4%; -33.0%)
Merel	--	niet-lineair	-3.85% (-4.08%; -3.62%)	-42.3% (-44.2%; -40.3%)
Patrijs	--	niet-lineair	-3.9% (-5.2%; -2.6%)	-43% (-53%; -31%)
Fitis	--	lineair	-5.1% (-6.6%; -3.5%)	-52% (-62%; -39%)
Ringmus	--	niet-lineair	-5.3% (-6.7%; -3.8%)	-53% (-62%; -42%)
Tuinfluit	--	lineair	-5.6% (-7.2%; -4.0%)	-56% (-65%; -44%)
Wielewaal	--	niet-lineair	-5.9% (-9.3%; -2.5%)	-58% (-74%; -30%)
Zwarte mees	--	lineair	-7.5% (-10.0%; -4.8%)	-66% (-77%; -50%)
Havik	--	lineair	-7.46% (-10.40%; -4.44%)	-66% (-78%; -47%)
Grote lijster	--	lineair	-8.0% (-9.9%; -6.2%)	-69% (-77%; -59%)

////////////////////////////////////

soort	klasse	interpretatie	jaarlijkse wijziging	wijziging over de looptijd
Kievit	--	lineair	-8.4% (-9.0%; -7.8%)	-70.8% (-73.4%; -67.9%)
Sprinkhaanzanger	--	lineair	-10.60% (-13.94%; -7.15%)	-79% (-88%; -65%)
Kuifeend	?+	niet-lineair	+3.0% (-1.6%; +7.7%)	+51% (-20%; +183%)
Middelste Bonte Specht	?+	mogelijk niet-lineair	+2.4% (-0.9%; +5.8%)	+40% (-11%; +121%)
Gekraagde roodstaart	?+	niet-lineair	+2.4% (-0.2%; +5.0%)	+39% (-3%; +97%)
Grauwe gans	?+	niet-lineair	+1.8% (-1.2%; +4.9%)	+30% (-20%; +100%)
Huiszwaluw	?+	niet-lineair	+1.6% (-1.7%; +5.0%)	+20% (-20%; +100%)
Blauwborst	?+	niet-lineair	+1.3% (-0.4%; +3.1%)	+20% (-6%; +54%)
Rietgors	?-	niet-lineair	-0.4% (-2.3%; +1.5%)	-5% (-28%; +24%)
Wulp	?-	niet-lineair	-0.8% (-2.7%; +1.2%)	-11% (-32%; +17%)
Fuut	?-	niet-lineair	-0.8% (-3.0%; +1.5%)	-11% (-35%; +22%)
Zwarte specht	?-	niet-lineair	-0.8% (-3.5%; +1.9%)	-11% (-39%; +30%)
Kuifmees	?-	lineair	-1.6% (-3.1%; +0.0%)	-20% (-36%; +0%)
Startmees	?-	niet-lineair	-2.0% (-4.4%; +0.5%)	-24% (-47%; +7%)
Nachtegaal	?-	mogelijk niet-lineair	-2.0% (-4.7%; +0.7%)	-25% (-49%; +11%)
Matkop	?-	lineair	-4.8% (-10.2%; +0.8%)	-50% (-78%; +12%)
Bruine kiekendief	?	lineair	+0.7% (-2.4%; +3.8%)	+10% (-29%; +69%)
Tafeleend	?	niet-lineair	+0.5% (-3.2%; +4.3%)	+10% (-40%; +80%)
Glanskop	?	mogelijk niet-lineair	+0.2% (-4.1%; +4.7%)	+0% (-40%; +90%)
Bosrietzanger	?	mogelijk niet-lineair	-0.5% (-3.4%; +2.5%)	-7% (-38%; +41%)
Spotvogel	?	niet-lineair	-0.9% (-4.2%; +2.6%)	-11% (-45%; +44%)

Tabel 12.2: Gemiddelde wijziging in veronderstelling van een lineaire trend gebaseerd op jaarlijkse gegevens. ++: sterke toename, +: toename, +~: matige toename, ~: stabiel, ~-: matige afname, -: afname, --: sterke afname, ?+: mogelijke toename, ?-: mogelijke afname, ?: onduidelijke trend. Referentie: 0%, ondergrens: -25% over de looptijd, bovengrens: +33% over de looptijd.

soort	klasse	interpretatie	jaarlijkse wijziging	wijziging over de looptijd
Kleine mantelmeeuw	++	niet-lineair	+16% (+11%; +23%)	+740% (+310%; +1620%)
Roek	++	niet-lineair	+13.42% (+9.61%; +17.36%)	+480% (+260%; +840%)
Cetti's zanger	++	niet-lineair	+13.1% (+8.0%; +18.5%)	+460% (+200%; +970%)
Aalscholver	++	niet-lineair	+12.3% (+7.3%; +17.6%)	+410% (+170%; +860%)
Krakeend	++	niet-lineair	+8.9% (+3.7%; +14.2%)	+230% (+70%; +550%)
Putter	++	niet-lineair	+8.73% (+5.06%; +12.51%)	+220% (+100%; +420%)
Halsbandparkiet	++	niet-lineair	+7.13% (+3.12%; +11.30%)	+160% (+50%; +350%)
Knobbelzwaan	++	niet-lineair	+6.99% (+3.96%; +10.12%)	+160% (+70%; +290%)
Kauw	++	niet-lineair	+5.32% (+4.82%; +5.81%)	+106.5% (+93.4%; +120.6%)
Boomklever	++	niet-lineair	+4.4% (+3.1%; +5.8%)	+82.8% (+52.8%; +119.0%)
Buizerd	++	niet-lineair	+4.1% (+3.1%; +5.1%)	+74.8% (+52.6%; +100.3%)
Kokmeeuw	+	niet-lineair	+6.9% (+1.5%; +12.6%)	+150% (+20%; +420%)
Boomleeuwerik	+	niet-lineair	+6.10% (+2.03%; +10.32%)	+130% (+30%; +300%)
Sperwer	+	niet-lineair	+4.2% (+1.1%; +7.3%)	+77% (+16%; +170%)
Bonte vliegenvanger	+	lineair	+3.8% (+0.9%; +6.8%)	+69% (+14%; +151%)
Roodborsttapuit	+	niet-lineair	+3.5% (+1.8%; +5.2%)	+61.6% (+27.8%; +104.5%)
Meerkoet	+	lineair	+3.0% (+1.5%; +4.6%)	+51% (+22%; +87%)
Torenvalk	+	niet-lineair	+2.7% (+1.3%; +4.2%)	+46% (+20%; +78%)
Gierzwaluw	+	niet-lineair	+2.6% (+0.3%; +5.0%)	+44% (+5%; +97%)



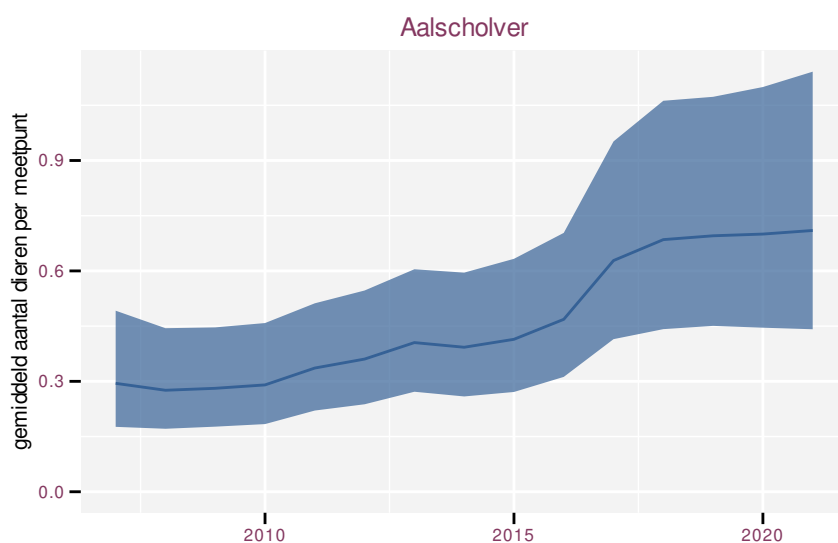
soort	klasse	interpretatie	jaarlijkse wijziging	wijziging over de looptijd
Grote bonte specht	+	niet-lineair	+2.6% (+1.8%; +3.4%)	+42% (+28%; +59%)
Zwartkop	+	niet-lineair	+2.46% (+2.03%; +2.88%)	+41% (+32%; +49%)
Canadese gans	+	niet-lineair	+2.2% (+1.0%; +3.5%)	+36% (+14%; +62%)
Roodborst	+	niet-lineair	+2.2% (+1.7%; +2.8%)	+36% (+26%; +47%)
Bergeend	+	niet-lineair	+2.1% (+0.7%; +3.6%)	+35% (+10%; +65%)
Boomkruiper	+	niet-lineair	+2.0% (+1.0%; +3.1%)	+32% (+15%; +53%)
Zwarte roodstaart	+	niet-lineair	+1.9% (+1.0%; +2.9%)	+31% (+15%; +50%)
Nijlgans	+	lineair	+1.9% (+0.4%; +3.3%)	+29% (+6%; +58%)
Grasmus	+	niet-lineair	+1.6% (+0.9%; +2.4%)	+25% (+13%; +39%)
Witte kwikstaart	+	niet-lineair	+1.5% (+0.8%; +2.3%)	+24% (+12%; +37%)
Zwarte kraai	+~	niet-lineair	+1.491% (+1.147%; +1.826%)	+23% (+17%; +29%)
Pimpelmees	+~	niet-lineair	+1.26% (+0.72%; +1.81%)	+19% (+11%; +28%)
Vink	+~	niet-lineair	+1.045% (+0.753%; +1.329%)	+15.7% (+11.1%; +20.3%)
Tijftjaf	+~	niet-lineair	+0.934% (+0.582%; +1.298%)	+13.9% (+8.5%; +19.8%)
Boerenzwaluw	~	niet-lineair	+0.77% (+0.00%; +1.55%)	+11% (+0%; +24%)
Rietzanger	~	niet-lineair	+0.34% (-1.06%; +1.77%)	+5% (-14%; +28%)
Boompieper	~	niet-lineair	+0.23% (-1.43%; +1.91%)	+3% (-18%; +30%)
Kleine karekiet	~	niet-lineair	+0.12% (-1.14%; +1.40%)	+2% (-15%; +21%)
Houtduif	~	niet-lineair	+0.12% (-0.13%; +0.37%)	+1.7% (-1.8%; +5.3%)
Ekster	~	niet-lineair	-0.12% (-0.52%; +0.28%)	-2% (-7%; +4%)
Gaai	~	niet-lineair	-0.56% (-1.44%; +0.33%)	-7.5% (-18.4%; +4.7%)
Groenling	~	niet-lineair	-0.79% (-1.56%; +0.00%)	-10.5% (-19.7%; +0.0%)
Fazant	--	niet-lineair	-0.698% (-1.143%; -0.240%)	-9.3% (-14.9%; -3.3%)
Koolmees	--	niet-lineair	-0.707% (-1.045%; -0.369%)	-9.46% (-13.67%; -5.05%)
Groene specht	--	niet-lineair	-0.72% (-1.33%; -0.10%)	-9.6% (-17.1%; -1.4%)
Winterkoning	--	niet-lineair	-0.866% (-1.143%; -0.598%)	-11.47% (-14.87%; -8.06%)
Holenduif	--	niet-lineair	-1.01% (-1.63%; -0.41%)	-13% (-21%; -6%)
Scholekster	--	niet-lineair	-1.0% (-2.0%; -0.1%)	-14% (-25%; -1%)
Turkse tortel	--	lineair	-1.68% (-2.02%; -1.33%)	-21.1% (-24.8%; -17.1%)
Heggenmus	-	niet-lineair	-1.88% (-2.33%; -1.42%)	-23.4% (-28.1%; -18.1%)
Gele kwikstaart	-	niet-lineair	-1.9% (-2.7%; -1.2%)	-24% (-31%; -15%)
Koekoek	-	niet-lineair	-2.1% (-3.4%; -0.7%)	-26% (-39%; -10%)
Geelgors	-	niet-lineair	-2.1% (-3.3%; -0.9%)	-26% (-37%; -12%)
Goudhaan	-	niet-lineair	-2.2% (-3.9%; -0.4%)	-27% (-43%; -6%)
Spreeuw	-	lineair	-2.3% (-2.9%; -1.6%)	-28% (-34%; -21%)
Grutto	-	lineair	-3.2% (-4.7%; -1.6%)	-37% (-49%; -21%)
Stadsduif	-	niet-lineair	-3.7% (-6.2%; -1.1%)	-41% (-59%; -14%)
Dodaars	-	niet-lineair	-6.50% (-11.27%; -1.48%)	-61% (-81%; -19%)
Huismus	--	niet-lineair	-2.48% (-2.87%; -2.09%)	-29.6% (-33.5%; -25.6%)
Veldleeuwerik	--	niet-lineair	-2.6% (-3.2%; -2.1%)	-31% (-37%; -25%)
Wilde eend	--	niet-lineair	-2.7% (-3.4%; -2.1%)	-32% (-38%; -25%)
Waterhoen	--	niet-lineair	-3.0% (-3.9%; -2.1%)	-35% (-43%; -25%)
Zanglijster	--	niet-lineair	-3.2% (-3.7%; -2.7%)	-36.7% (-41.3%; -31.9%)
Merel	--	niet-lineair	-3.78% (-4.01%; -3.55%)	-41.7% (-43.6%; -39.7%)
Patrijs	--	niet-lineair	-3.8% (-5.0%; -2.6%)	-42% (-52%; -30%)
Fitis	--	niet-lineair	-5.2% (-6.8%; -3.6%)	-53% (-63%; -40%)
Ringmus	--	niet-lineair	-5.3% (-6.7%; -3.8%)	-53% (-62%; -42%)
Tuinfluitier	--	niet-lineair	-5.7% (-7.3%; -4.0%)	-56% (-65%; -44%)
Wielewaal	--	niet-lineair	-5.9% (-9.2%; -2.6%)	-58% (-74%; -31%)
Zwarte mees	--	mogelijk niet-lineair	-7.0% (-9.6%; -4.5%)	-64% (-76%; -47%)

////////////////////////////////////

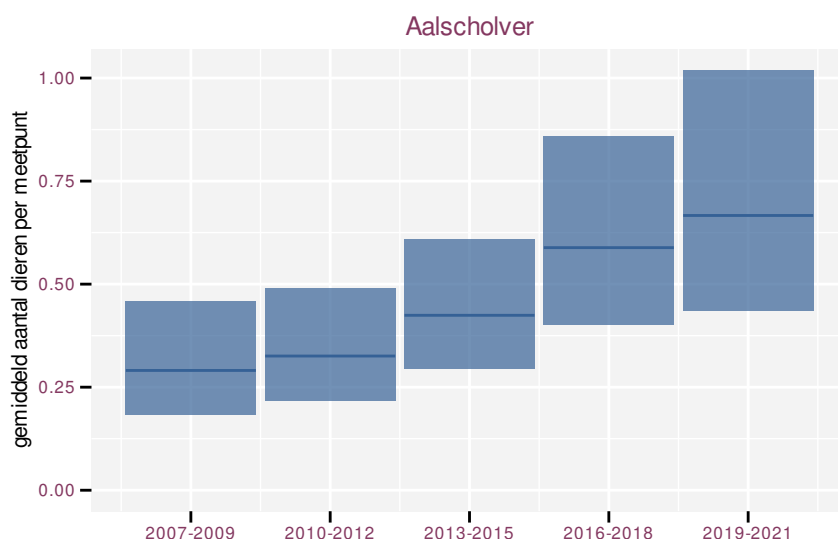
13 AALSCHOLVER

Op basis van jaarlijkse gegevens zien we gemiddeld sterke toename +12.3% (+7.3%; +17.6%) per jaar of +410% (+170%; +860%) over de volledige looptijd van het meetnet. Deze trend is niet-lineair.

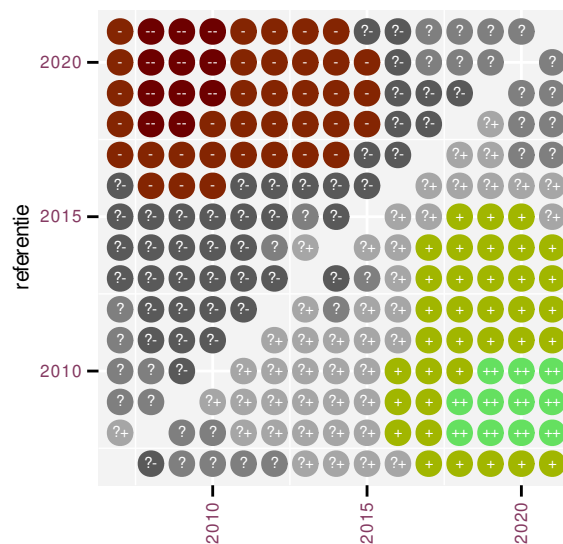
Op basis van driejaarlijkse gegevens zien we gemiddeld sterke toename +12.5% (+7.4%; +17.9%) per jaar of +420% (+170%; +900%) over de volledige looptijd van het meetnet. Deze trend is lineair.



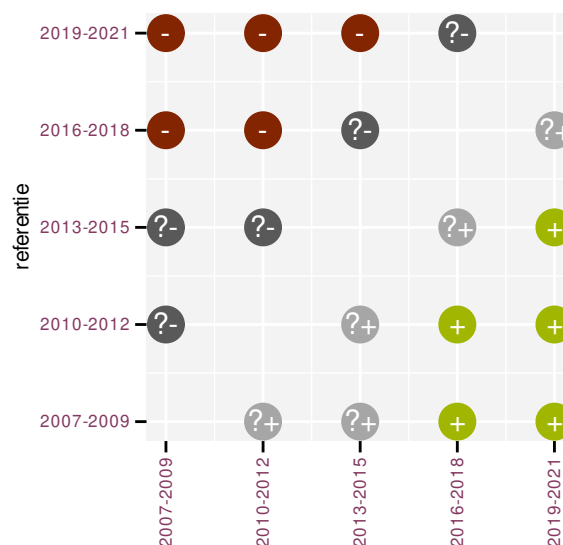
Figuur 13.1: Evolutie van het gemodelleerde gemiddeld aantal waargenomen dieren op een meetpunt voor Aalscholver tijdens de referentieperiode. Zie §3.1 voor een verklaring van de intervallen.



Figuur 13.2: Evolutie van het gemodelleerde gemiddeld aantal waargenomen dieren op een meetpunt voor Aalscholver tijdens de referentieperiode. Zie §3.1 voor een verklaring van de intervallen.



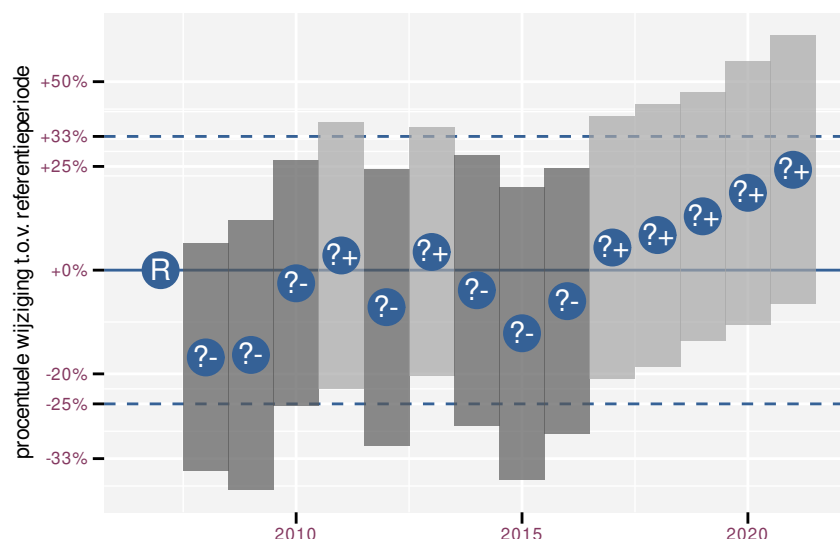
Figuur 13.5: Paarsgewijze vergelijking tussen jaren voor Aalscholver. Uitleg van de symbolen in tabel 3.1.



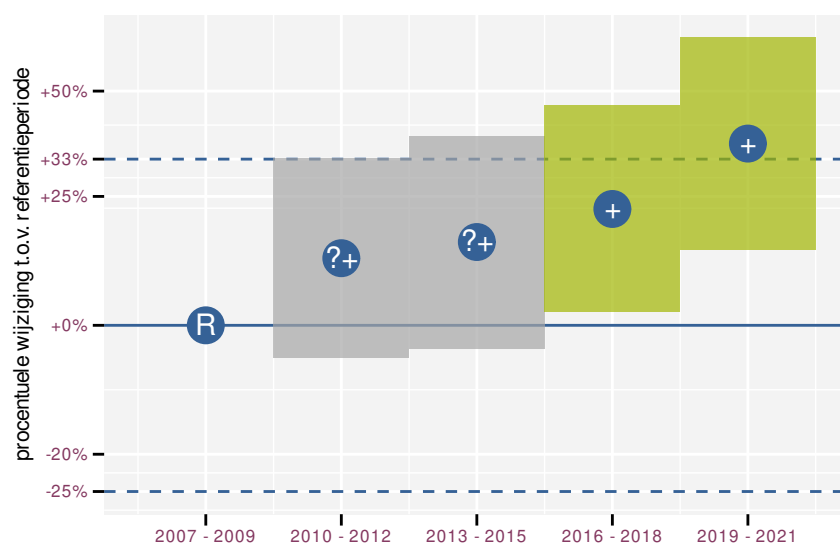
Figuur 13.6: Paarsgewijze vergelijking tussen driejarige cycli voor Aalscholver. Uitleg van de symbolen in tabel 3.1.

Tabel 13.2: Data-hashes van de analyses in het kader van traceerbaarheid (zie §4.3).

frequentie	model	analyse	status
jaarlijks	niet-lineair	289fd501760fb9f46ae2 f794b655003c383d52fd	ca33c1a741ed83782dde 2514391e19d18f208380
jaarlijks	lineair	0acfd2a5ed18cf1fc83f 3caeb43b9dc028c9aff6	5aafb03f4e673bbc6155 40cf5d176f594198fcf3
driejaarlijks	niet-lineair	c5af6d9566518bb38d97 11811f4e37a9b1cdd6d8	01bfc779c2abfc936abd 4050189d4827074159ae
driejaarlijks	lineair	a6cb66db5efbdfa9e83e 34f3834d990f409e3ff9	deec5023db613d1d8b0d ca85ca15a83a266615d0



Figuur 14.3: Wijzigingen tussen jaren voor Bergend. Zie §3.1 voor een verklaring van de intervallen en §3.2 voor uitleg over de symbolen en referentielijnen.



Figuur 14.4: Wijzigingen per driejarige cyclus voor Bergend. Zie §3.1 voor een verklaring van de intervallen en §3.2 voor uitleg over de symbolen en referentielijnen.

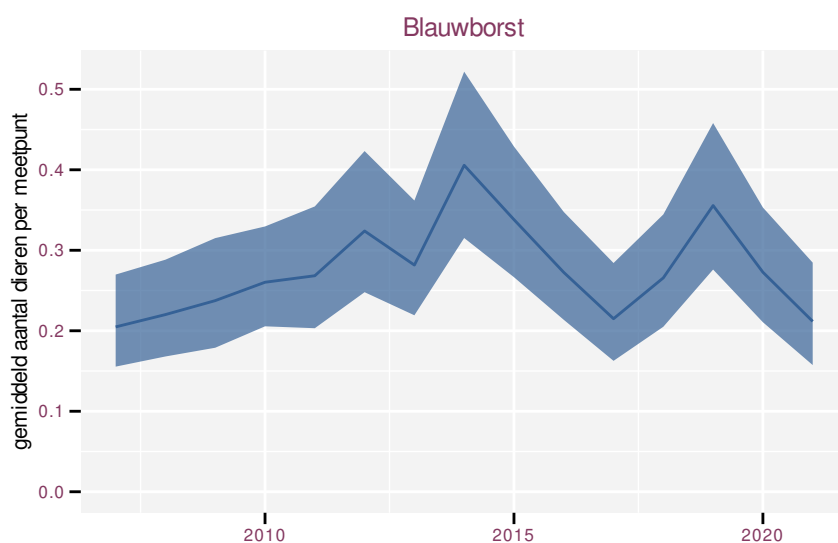
Tabel 14.1: Stratumgewicht, raming aan het aantal hokken waarin de soort aanwezig is, aantal relevant hokken voor de analyse, aantal onderzochte hokken in het stratum, totaal aantal hokken van het stratum in Vlaanderen, aantal bezoeken aan een meetpunt en het gemiddeld aandeel relevante punten per hok voor Bergend (zie §2.5).

stratum	gewicht	aanwezig	relevant	onderzocht	totaal	bezoeken	punten
Landbouw	90.4%	809.1	55	429	6311	2352	59.1%
Moeras en water	4.6%	41.1	24	80	137	858	55.6%
Suburbaan	2.3%	23.6	8	68	201	256	54.2%
Heide en duin	2.1%	21.2	10	94	199	412	56.7%
Bos	0.6%	6.7	4	190	319	122	41.7%

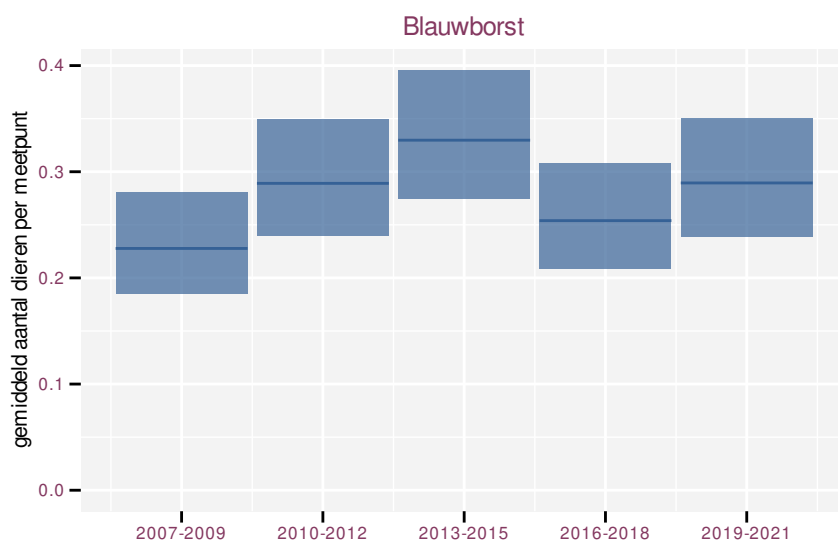
15 BLAUWBORST

Op basis van jaarlijkse gegevens zien we gemiddeld mogelijke toename +1.2% (-0.5%; +3.0%) per jaar of +19% (-6%; +51%) over de volledige looptijd van het meetnet. Deze trend is niet-lineair.

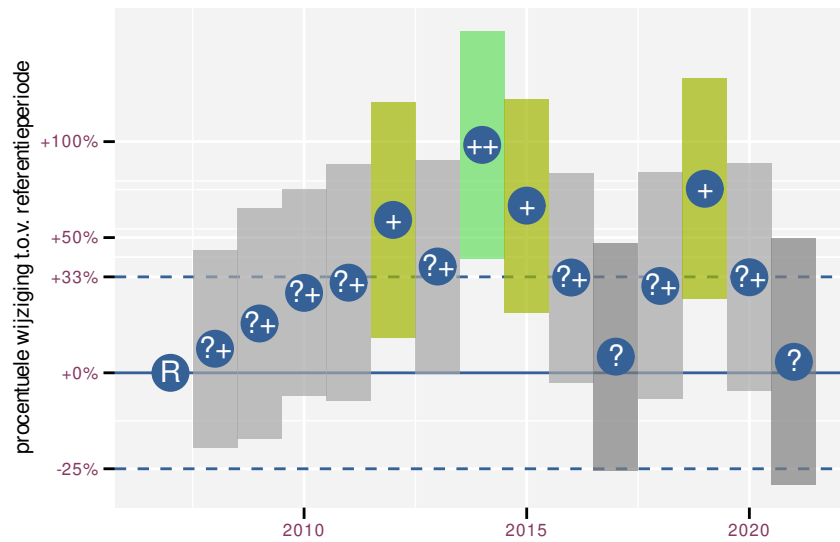
Op basis van driejaarlijkse gegevens zien we gemiddeld mogelijke toename +1.3% (-0.4%; +3.1%) per jaar of +20% (-6%; +54%) over de volledige looptijd van het meetnet. Deze trend is niet-lineair.



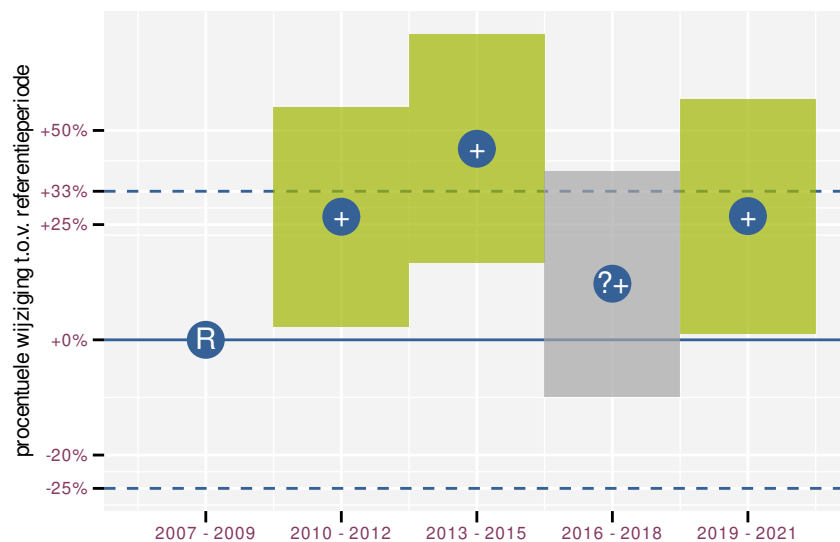
Figuur 15.1: Evolutie van het gemodelleerde gemiddeld aantal waargenomen dieren op een meetpunt voor Blauwborst tijdens de referentieperiode. Zie §3.1 voor een verklaring van de intervallen.



Figuur 15.2: Evolutie van het gemodelleerde gemiddeld aantal waargenomen dieren op een meetpunt voor Blauwborst tijdens de referentieperiode. Zie §3.1 voor een verklaring van de intervallen.



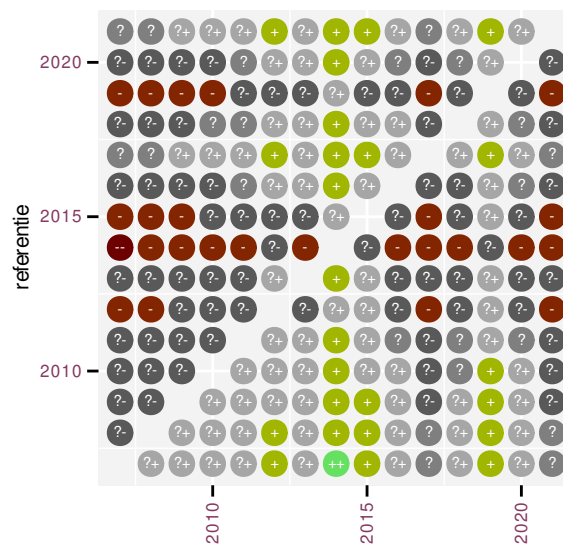
Figuur 15.3: Wijzigingen tussen jaren voor Blauwborst. Zie §3.1 voor een verklaring van de intervallen en §3.2 voor uitleg over de symbolen en referentielijnen.



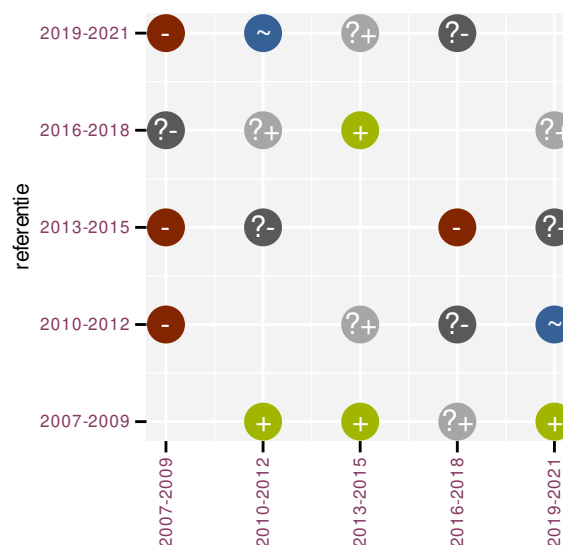
Figuur 15.4: Wijzigingen per driejarige cyclus voor Blauwborst. Zie §3.1 voor een verklaring van de intervallen en §3.2 voor uitleg over de symbolen en referentielijnen.

Tabel 15.1: Stratumgewicht, raming aan het aantal hokken waarin de soort aanwezig is, aantal relevant hokken voor de analyse, aantal onderzochte hokken in het stratum, totaal aantal hokken van het stratum in Vlaanderen, aantal bezoeken aan een meetpunt en het gemiddeld aandeel relevante punten per hok voor Blauwborst (zie §2.5).

stratum	gewicht	aanwezig	relevant	onderzocht	totaal	bezoeken	punten
Landbouw	93.7%	779.7	53	429	6311	2028	50.3%
Moeras en water	3.1%	25.7	15	80	137	656	58.9%
Heide en duin	1.8%	16.9	8	94	199	212	37.5%
Suburbaan	1.4%	14.8	5	68	201	108	50.0%



Figuur 15.5: Paarsgewijze vergelijking tussen jaren voor Blauwborst. Uitleg van de symbolen in tabel 3.1.



Figuur 15.6: Paarsgewijze vergelijking tussen driejarige cycli voor Blauwborst. Uitleg van de symbolen in tabel 3.1.

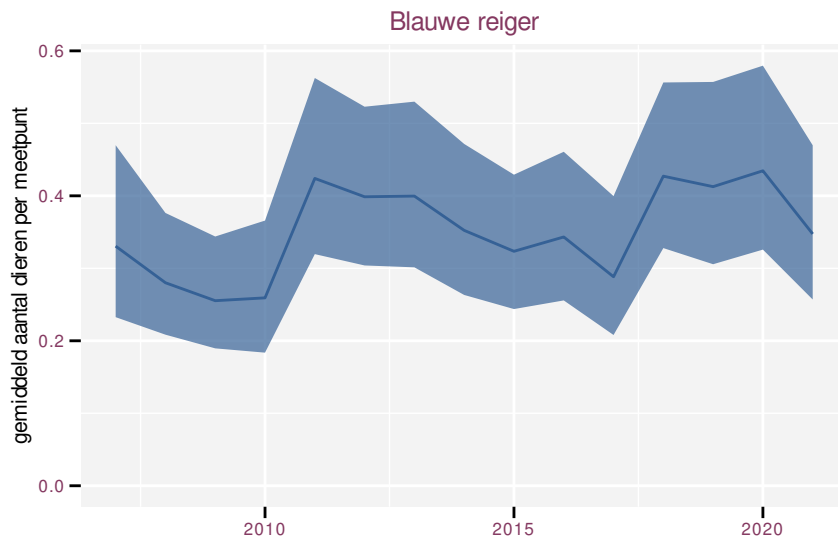
Tabel 15.2: Data-hashes van de analyses in het kader van traceerbaarheid (zie §4.3).

frequentie	model	analyse	status
jaarlijks	niet-lineair	0a1e979c3e3d7ac48f7e 103284105ddee0cfefb6	fabd8caf47291bb26926 1ea6a96027a65d11b398
jaarlijks	lineair	a6e0620c4eee9081d30d 0cf12b7775f46a7c81fe	3fdab52d38623ebd6ac5 d32f6cc197bf761dd31e
driejaarlijks	niet-lineair	7697cb9bea71952b41be 05e7332c6fe27648e9ab	c0a5f04fdf0e6389b61f 7ab1886c73cd20405bf6
driejaarlijks	lineair	14e0eac2efd1613e814 2c193f46cb3419396eed	afd3776bcb9d955e4c277 9dbb570c49c7c79d8056

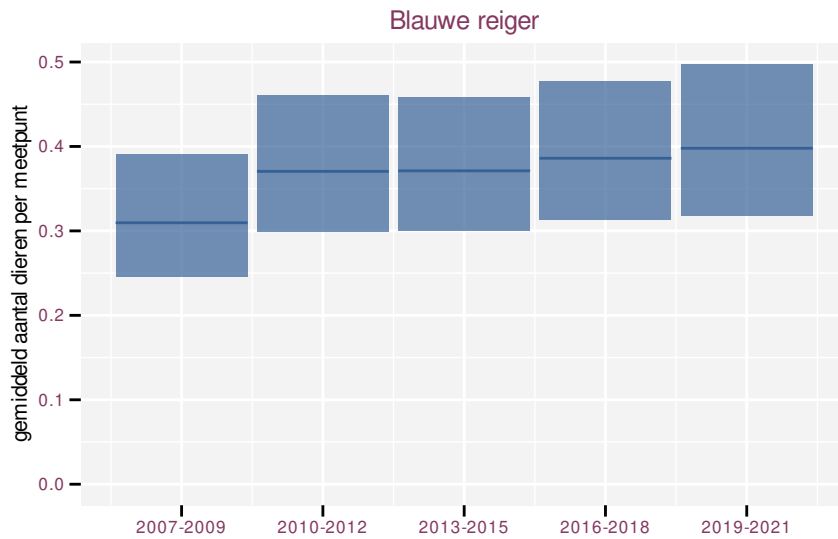
16 BLAUWE REIGER

Op basis van jaarlijkse gegevens zien we gemiddeld mogelijke toename +2.1% (-0.0%; +4.2%) per jaar of +34% (-0%; +79%) over de volledige looptijd van het meetnet. Deze trend is niet-lineair.

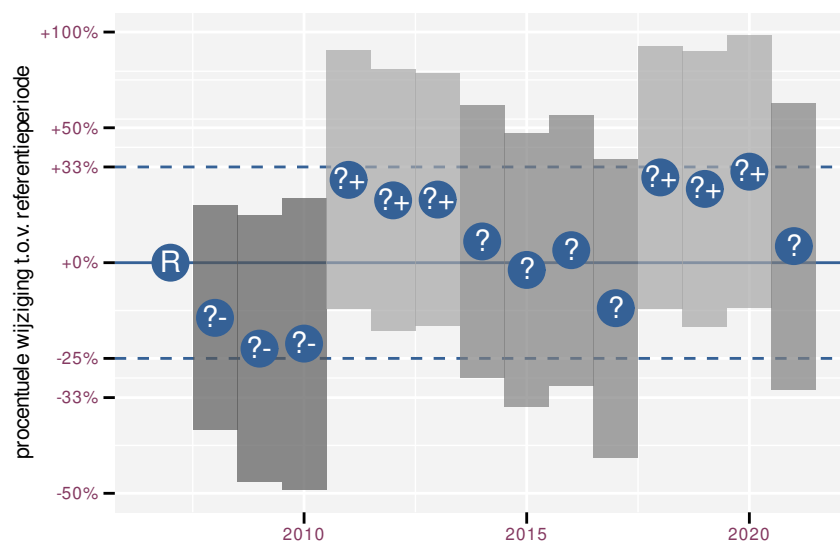
Op basis van driejaarlijkse gegevens zien we gemiddeld toename +2.1% (+0.0%; +4.3%) per jaar of +34% (+0%; +79%) over de volledige looptijd van het meetnet. Deze trend is niet-lineair.



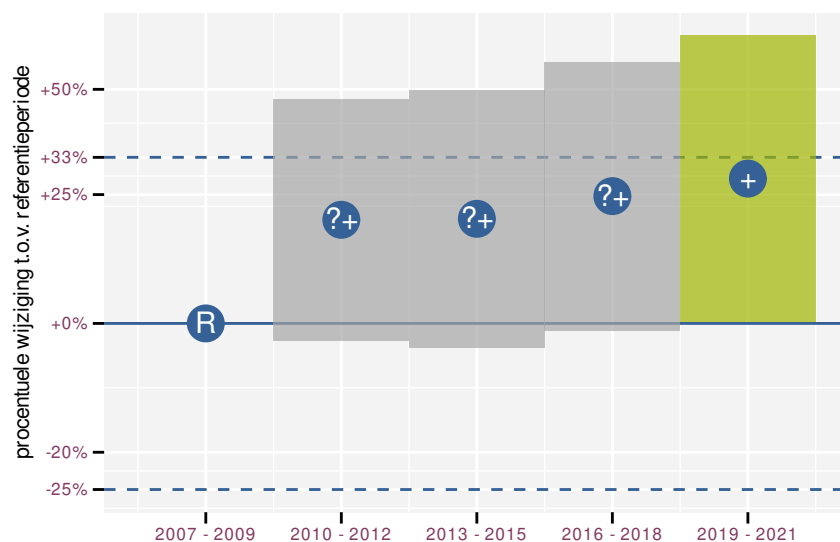
Figuur 16.1: Evolutie van het gemodelleerde gemiddeld aantal waargenomen dieren op een meetpunt voor Blauwe reiger tijdens de referentieperiode. Zie §3.1 voor een verklaring van de intervallen.



Figuur 16.2: Evolutie van het gemodelleerde gemiddeld aantal waargenomen dieren op een meetpunt voor Blauwe reiger tijdens de referentieperiode. Zie §3.1 voor een verklaring van de intervallen.



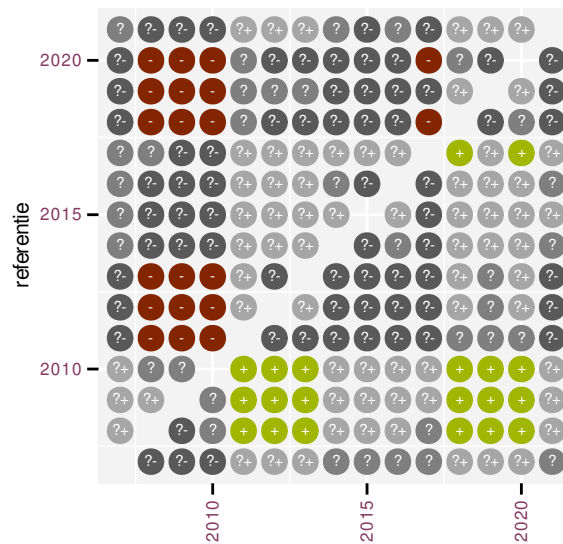
Figuur 16.3: Wijzigingen tussen jaren voor Blauwe reiger. Zie §3.1 voor een verklaring van de intervallen en §3.2 voor uitleg over de symbolen en referentielijnen.



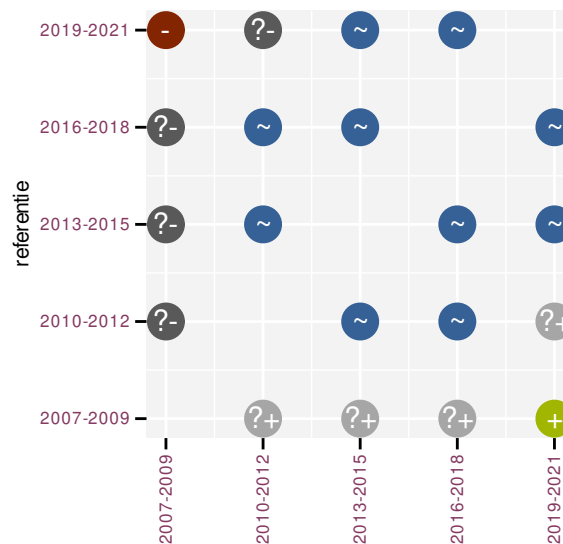
Figuur 16.4: Wijzigingen per driejarige cyclus voor Blauwe reiger. Zie §3.1 voor een verklaring van de intervallen en §3.2 voor uitleg over de symbolen en referentielijnen.

Tabel 16.1: Stratumgewicht, raming aan het aantal hokken waarin de soort aanwezig is, aantal relevant hokken voor de analyse, aantal onderzochte hokken in het stratum, totaal aantal hokken van het stratum in Vlaanderen, aantal bezoeken aan een meetpunt en het gemiddeld aandeel relevante punten per hok voor Blauwe reiger (zie §2.5).

stratum	gewicht	aanwezig	relevant	onderzocht	totaal	bezoeken	punten
Landbouw	90.4%	970.9	66	429	6311	2583	51.8%
Moeras en water	4.1%	44.5	26	80	137	1242	69.2%
Heide en duin	2.8%	29.6	14	94	199	369	36.9%
Bos	1.9%	20.1	12	190	319	542	58.3%
Suburbaan	0.8%	11.8	4	68	201	156	33.3%



Figuur 16.5: Paarsgewijze vergelijking tussen jaren voor Blauwe reiger. Uitleg van de symbolen in tabel 3.1.



Figuur 16.6: Paarsgewijze vergelijking tussen driejarige cycli voor Blauwe reiger. Uitleg van de symbolen in tabel 3.1.

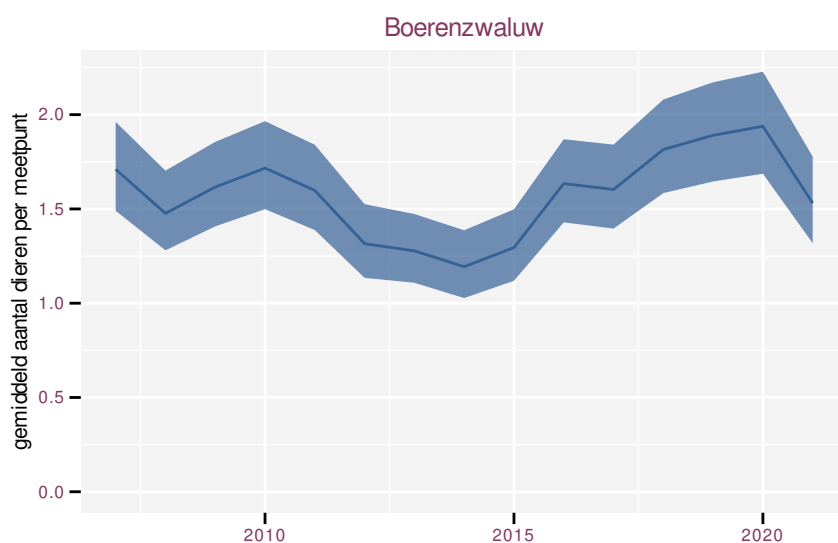
Tabel 16.2: Data-hashes van de analyses in het kader van traceerbaarheid (zie §4.3).

frequentie	model	analyse	status
jaarlijks	niet-lineair	37c3f20d89e3113d30b5 1c45e436604efb112f51	98afb6005a3f748ca77f ec62f7619e9deffbeac8
jaarlijks	lineair	42013e2aafb7b0e06dd2 c0c662b3b94a9ccad700	9b57f7a0581aef09effc c01c4aeb54f675dc137c
driejaarlijks	niet-lineair	1d7e07f9d6ee6587be56 193fed9cd96387514fac	b122a8d0872f30e02709 0a9d343a9d98748a71dd
driejaarlijks	lineair	0485a31d97f13c6ca8be bd2cf90dd49ef088b5ba	6cf084b3a913c9e22c8c 02c5d2b4d61354487af7

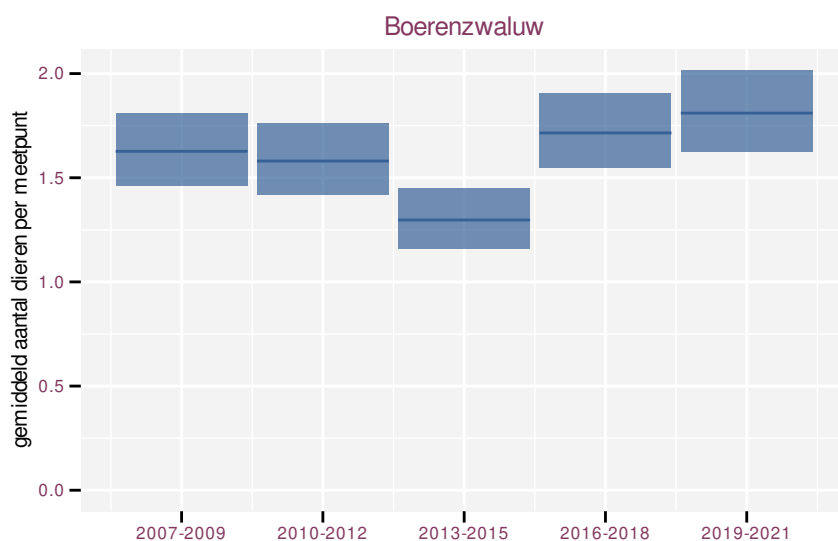
17 BOERENZWALUW

Op basis van jaarlijkse gegevens zien we gemiddeld stabiel +0.77% (+0.00%; +1.55%) per jaar of +11% (+0%; +24%) over de volledige looptijd van het meetnet. Deze trend is niet-lineair.

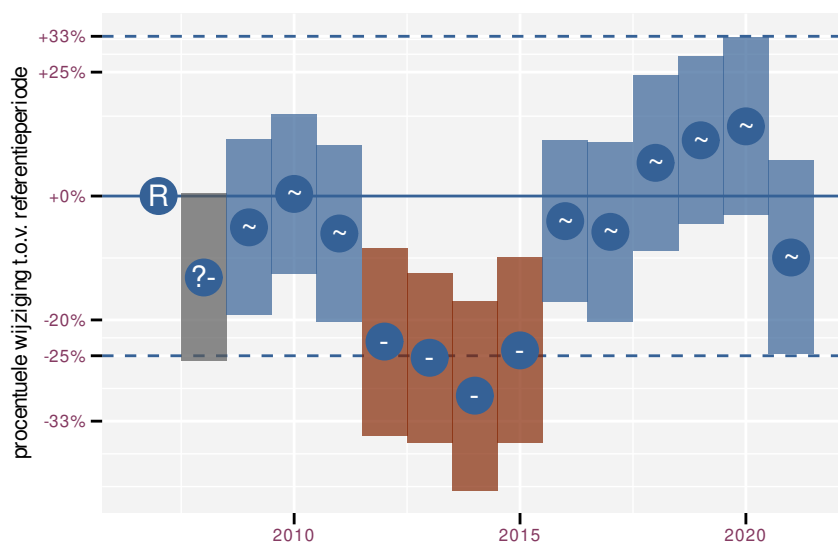
Op basis van driejaarlijkse gegevens zien we gemiddeld matige toename +0.94% (+0.16%; +1.73%) per jaar of +14% (+2%; +27%) over de volledige looptijd van het meetnet. Deze trend is niet-lineair.



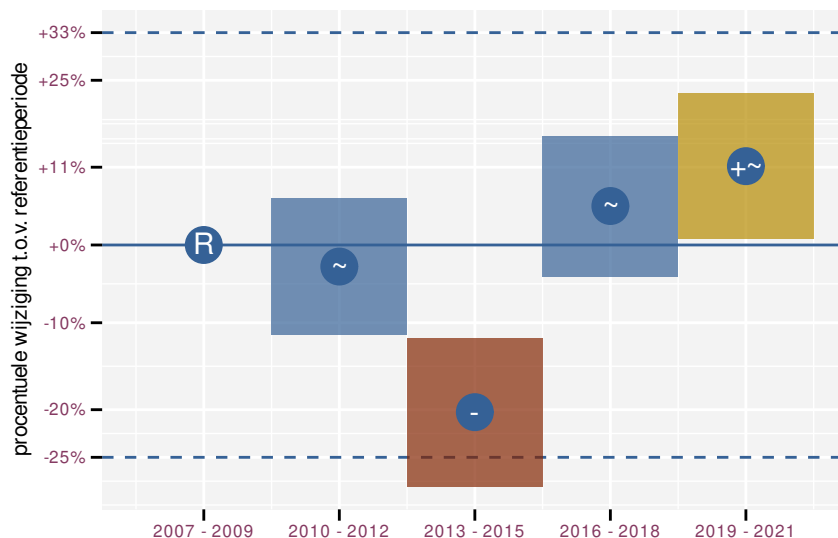
Figuur 17.1: Evolutie van het gemodelleerde gemiddeld aantal waargenomen dieren op een meetpunt voor Boerenzwaluw tijdens de referentieperiode. Zie §3.1 voor een verklaring van de intervallen.



Figuur 17.2: Evolutie van het gemodelleerde gemiddeld aantal waargenomen dieren op een meetpunt voor Boerenzwaluw tijdens de referentieperiode. Zie §3.1 voor een verklaring van de intervallen.



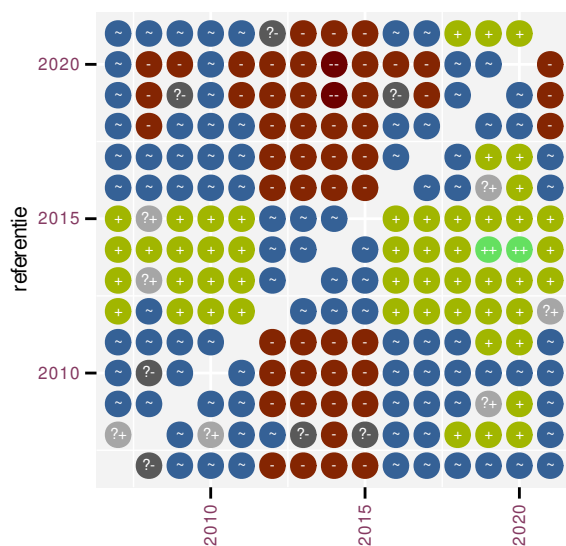
Figuur 17.3: Wijzigingen tussen jaren voor Boerenzwaluw. Zie §3.1 voor een verklaring van de intervallen en §3.2 voor uitleg over de symbolen en referentielijnen.



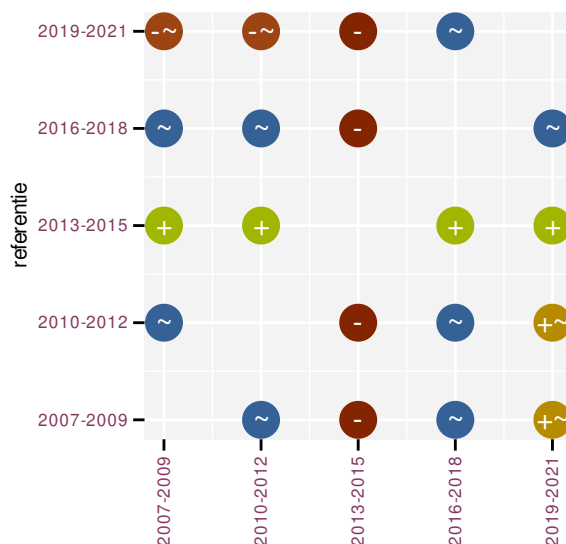
Figuur 17.4: Wijzigingen per driejarige cyclus voor Boerenzwaluw. Zie §3.1 voor een verklaring van de intervallen en §3.2 voor uitleg over de symbolen en referentielijnen.

Tabel 17.1: Stratumgewicht, raming aan het aantal hokken waarin de soort aanwezig is, aantal relevant hokken voor de analyse, aantal onderzochte hokken in het stratum, totaal aantal hokken van het stratum in Vlaanderen, aantal bezoeken aan een meetpunt en het gemiddeld aandeel relevante punten per hok voor Boerenzwaluw (zie §2.5).

stratum	gewicht	aanwezig	relevant	onderzocht	totaal	bezoeken	punten
Landbouw	94.9%	4089.6	278	429	6311	9374	73.1%
Urbaan	1.4%	62.2	13	87	416	325	48.7%
Heide en duin	1.2%	50.8	24	94	199	585	51.4%
Moeras en water	1.1%	46.2	27	80	137	692	57.4%
Suburbaan	0.9%	41.4	14	68	201	208	40.5%
Bos	0.5%	21.8	13	190	319	293	47.4%



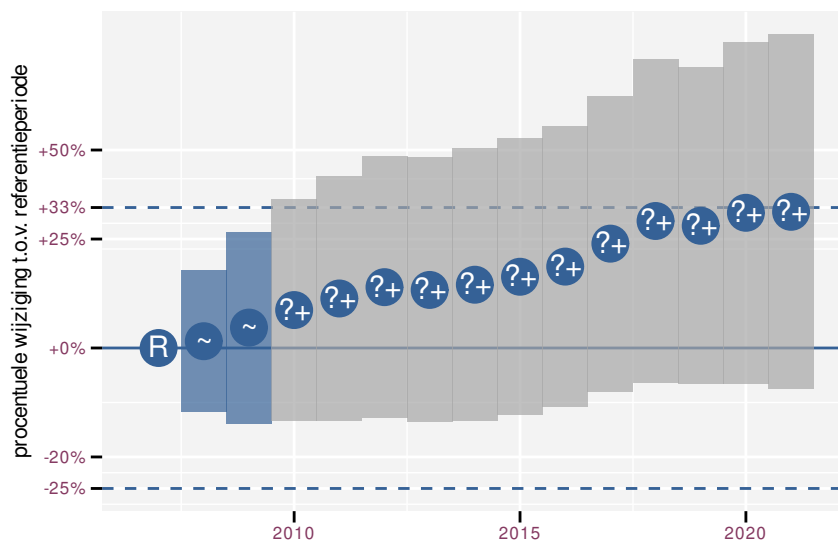
Figuur 17.5: Paarsgewijze vergelijking tussen jaren voor Boerenzwaluw. Uitleg van de symbolen in tabel 3.1.



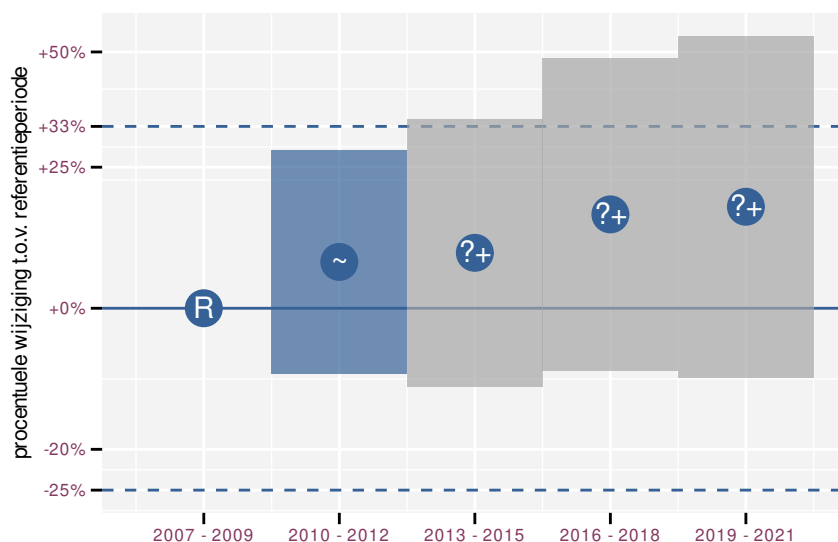
Figuur 17.6: Paarsgewijze vergelijking tussen driejarige cycli voor Boerenzwaluw. Uitleg van de symbolen in tabel 3.1.

Tabel 17.2: Data-hashes van de analyses in het kader van traceerbaarheid (zie §4.3).

frequentie	model	analyse	status
jaarlijks	niet-lineair	da84d077d5a3e0280713 0aaac6b4072fdc7b842b	74b301264b74462bf9e5 26b370c5758b906741e4
jaarlijks	lineair	322f8a0dc80c3e7689c2 145cf9dd93e676393e23	8bc4f14334486d232a2 21fb2669931976d02bf8
driejaarlijks	niet-lineair	990a032148eb620848e6 df60748397fbef054f4	704601ceafacd052db84 a6ceb18d397b32602f44
driejaarlijks	lineair	93775c7d5e3da697ee33 cebb8f22e4cf6b69a3d7	8106b836f927cd8b511b 108f1f1bd98fa6a5c72e



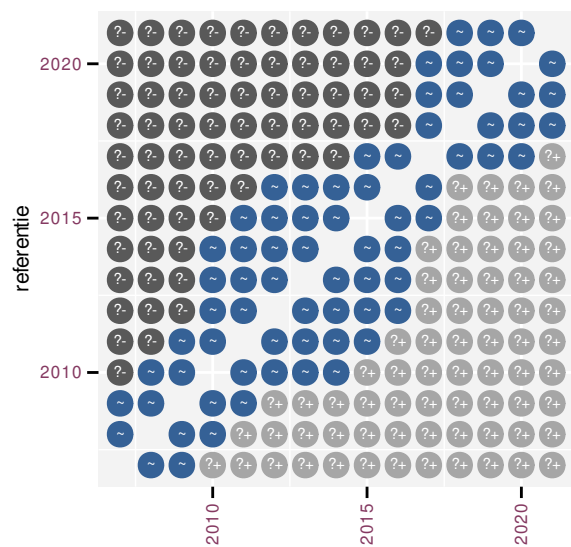
Figuur 18.3: Wijzigingen tussen jaren voor Bonte vliegenvanger. Zie §3.1 voor een verklaring van de intervallen en §3.2 voor uitleg over de symbolen en referentielijnen.



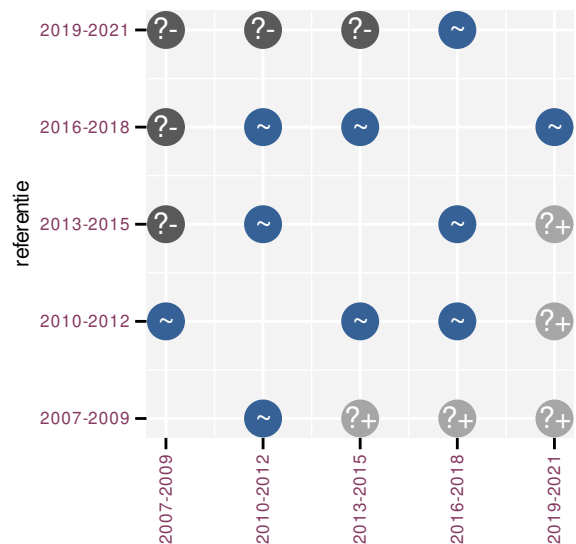
Figuur 18.4: Wijzigingen per driejarige cyclus voor Bonte vliegenvanger. Zie §3.1 voor een verklaring van de intervallen en §3.2 voor uitleg over de symbolen en referentielijnen.

Tabel 18.1: Stratumgewicht, raming aan het aantal hokken waarin de soort aanwezig is, aantal relevant hokken voor de analyse, aantal onderzochte hokken in het stratum, totaal aantal hokken van het stratum in Vlaanderen, aantal bezoeken aan een meetpunt en het gemiddeld aandeel relevante punten per hok voor Bonte vliegenvanger (zie §2.5).

stratum	gewicht	aanwezig	relevant	onderzocht	totaal	bezoeken	punten
Bos	60.1%	31.9	19	190	319	387	43.0%
Heide en duin	39.9%	21.2	10	94	199	399	50.0%



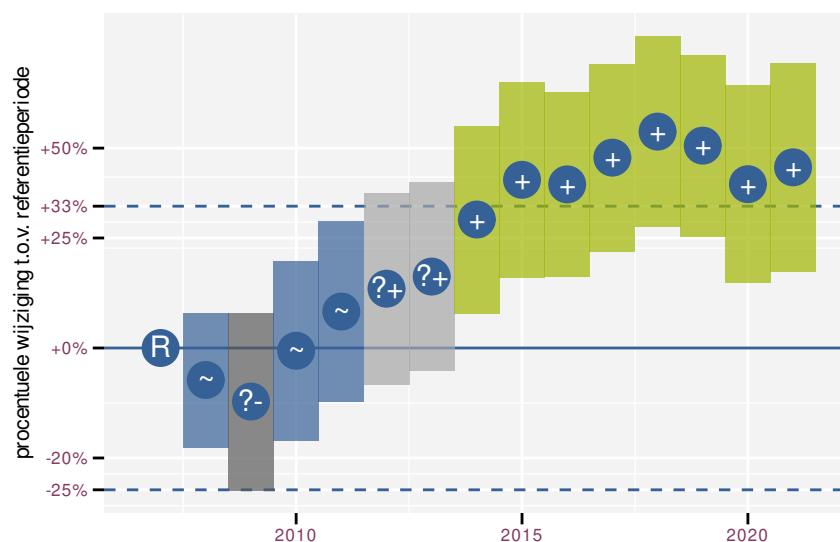
Figuur 18.5: Paarsgewijze vergelijking tussen jaren voor Bonte vliegvanger. Uitleg van de symbolen in tabel 3.1.



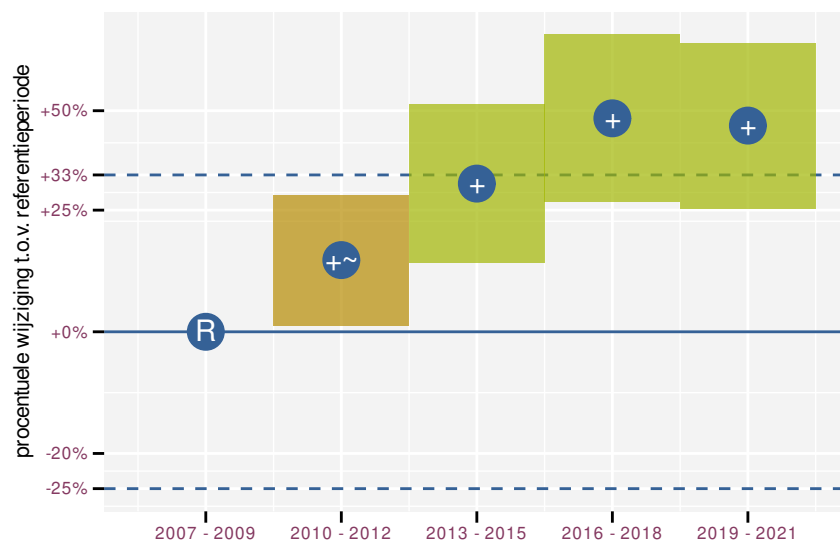
Figuur 18.6: Paarsgewijze vergelijking tussen driejarige cycli voor Bonte vliegvanger. Uitleg van de symbolen in tabel 3.1.

Tabel 18.2: Data-hashes van de analyses in het kader van traceerbaarheid (zie §4.3).

frequentie	model	analyse	status
jaarlijks	niet-lineair	ddfd1ea912ffea5f6c88 74cfd7a00474e3c828c	f87bed240c9a6b3d3e4f e5669f141978643b6628
jaarlijks	lineair	2e339b89e18577271484 9e1caa30d0a674e79ab6	ce6177e3b030032b88b8 e16af1088c08f34cf4bf
driejaarlijks	niet-lineair	0063be7d33a4363e6be8 e7cdea88ab1c6c8e67ea	060c421b929fbc2bc6d8 b7bb3559c8f2114b054c
driejaarlijks	lineair	e5547680c1865fb53753 1849857d00607f90a41e	7d3c008a4ba659e60932 d9e76fb7248948f079e0



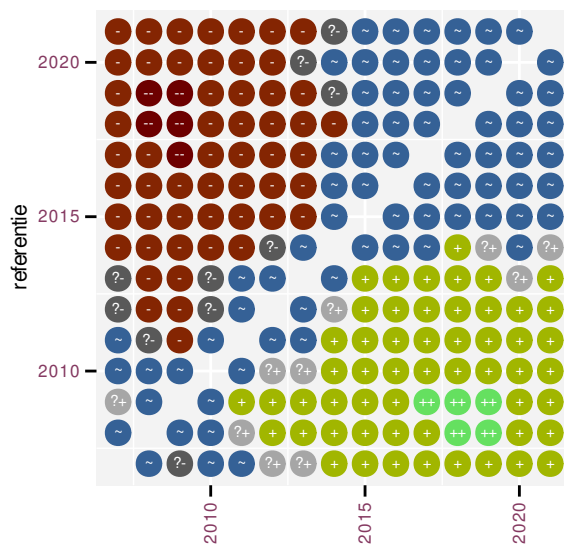
Figuur 19.3: Wijzigingen tussen jaren voor Boomklever. Zie §3.1 voor een verklaring van de intervallen en §3.2 voor uitleg over de symbolen en referentielijnen.



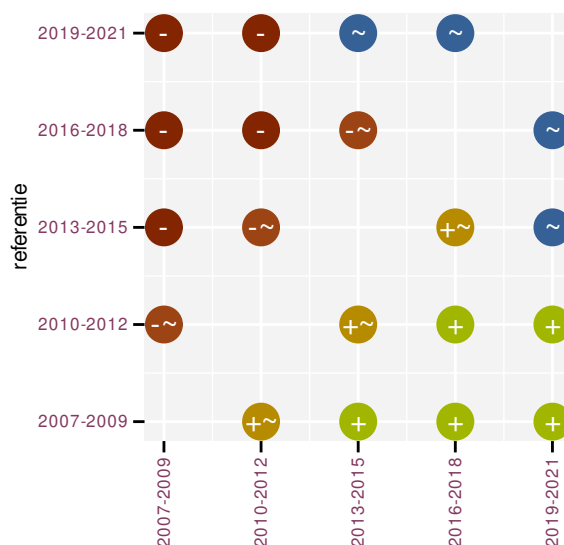
Figuur 19.4: Wijzigingen per driejarige cyclus voor Boomklever. Zie §3.1 voor een verklaring van de intervallen en §3.2 voor uitleg over de symbolen en referentielijnen.

Tabel 19.1: Stratumgewicht, raming aan het aantal hokken waarin de soort aanwezig is, aantal relevant hokken voor de analyse, aantal onderzochte hokken in het stratum, totaal aantal hokken van het stratum in Vlaanderen, aantal bezoeken aan een meetpunt en het gemiddeld aandeel relevante punten per hok voor Boomklever (zie §2.5).

stratum	gewicht	aanwezig	relevant	onderzocht	totaal	bezoeken	punten
Landbouw	58.0%	588.4	40	429	6311	1400	48.8%
Bos	20.7%	209.9	125	190	319	6943	84.7%
Heide en duin	7.1%	72.0	34	94	199	1630	59.3%
Urbaan	6.1%	66.9	14	87	416	335	36.9%
Suburbaan	4.7%	47.3	16	68	201	691	66.7%
Moeras en water	3.4%	34.2	20	80	137	745	56.7%



Figuur 19.5: Paarsgewijze vergelijking tussen jaren voor Boomklever. Uitleg van de symbolen in tabel 3.1.



Figuur 19.6: Paarsgewijze vergelijking tussen driejarige cycli voor Boomklever. Uitleg van de symbolen in tabel 3.1.

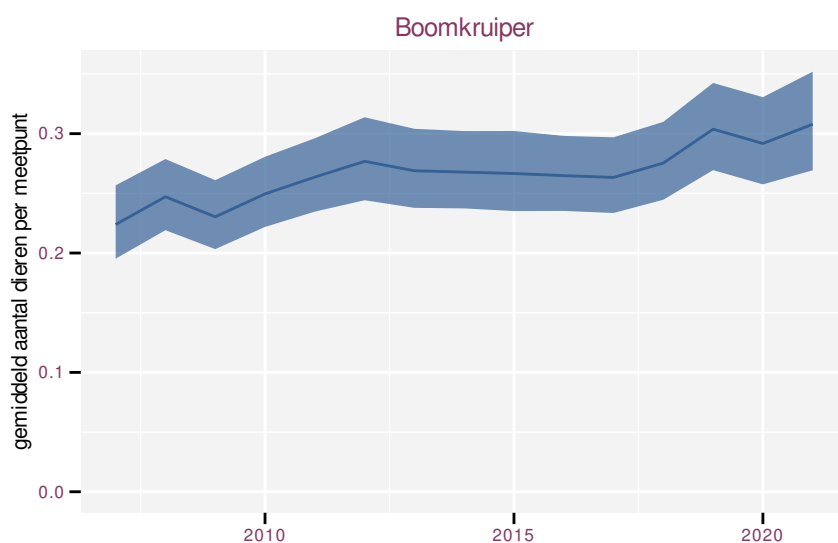
Tabel 19.2: Data-hashes van de analyses in het kader van traceerbaarheid (zie §4.3).

frequentie	model	analyse	status
jaarlijks	niet-lineair	ca32f2f604d93fd2c6e4 e46acfd742a4a49496aa	40532a27c28e4ba792f9 42d6d4440409b0153847
jaarlijks	lineair	e567cbf77633ff186bd3 dbf90494622c1f8a82e5	e9ac7a82c7e4cacce4aa e8ef2adb09485184de54
driejaarlijks	niet-lineair	654fb4db262532ba44b4 d823b0e8e6962aecdf4c	53b44fb5b01d99e3780f 3b580545bd5860afd80f
driejaarlijks	lineair	1481ad68628a68fc999e bae28d3aff74e4e3a477	519fbc4704307e39f5ed 42bd11d591330f1d081c

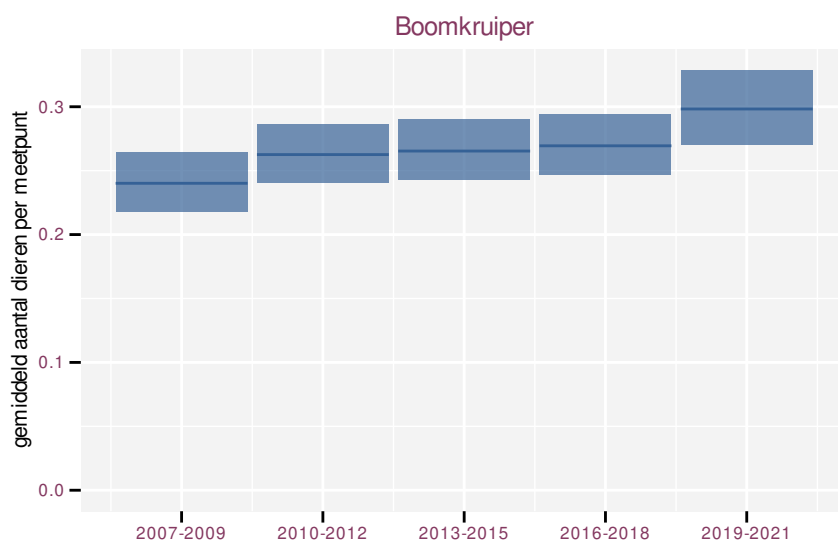
20 BOOMKRUIPER

Op basis van jaarlijkse gegevens zien we gemiddeld toename +2.0% (+1.0%; +3.1%) per jaar of +32% (+15%; +53%) over de volledige looptijd van het meetnet. Deze trend is niet-lineair.

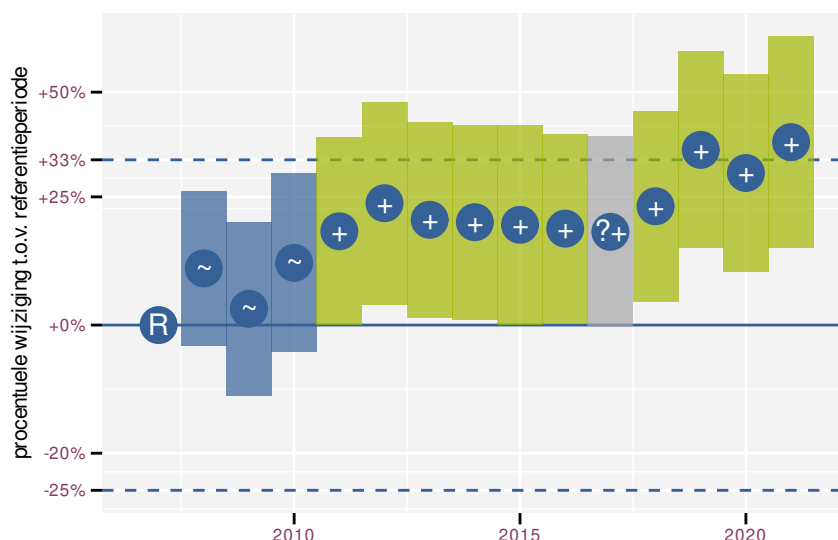
Op basis van driejaarlijkse gegevens zien we gemiddeld toename +2.1% (+1.0%; +3.2%) per jaar of +34% (+16%; +55%) over de volledige looptijd van het meetnet. Deze trend is mogelijk niet-lineair.



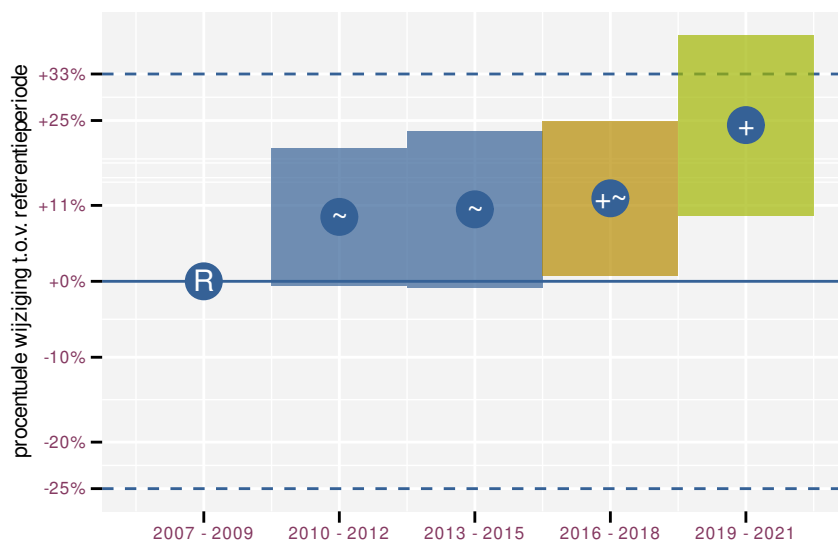
Figuur 20.1: Evolutie van het gemodelleerde gemiddeld aantal waargenomen dieren op een meetpunt voor Boomkruiper tijdens de referentieperiode. Zie §3.1 voor een verklaring van de intervallen.



Figuur 20.2: Evolutie van het gemodelleerde gemiddeld aantal waargenomen dieren op een meetpunt voor Boomkruiper tijdens de referentieperiode. Zie §3.1 voor een verklaring van de intervallen.



Figuur 20.3: Wijzigingen tussen jaren voor Boomkruiper. Zie §3.1 voor een verklaring van de intervallen en §3.2 voor uitleg over de symbolen en referentielijnen.

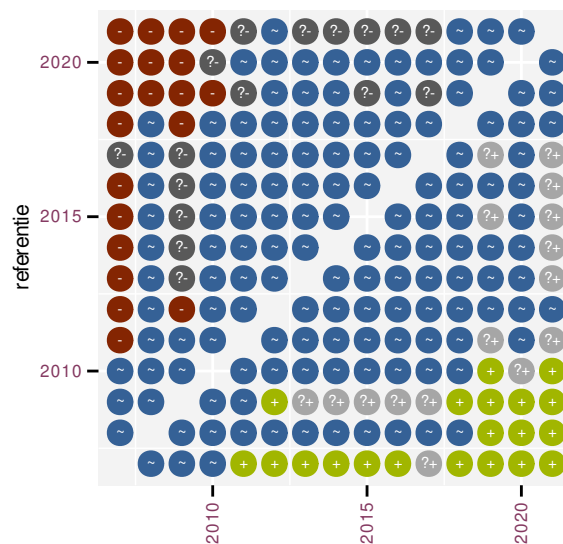


Figuur 20.4: Wijzigingen per driejarige cyclus voor Boomkruiper. Zie §3.1 voor een verklaring van de intervallen en §3.2 voor uitleg over de symbolen en referentielijnen.

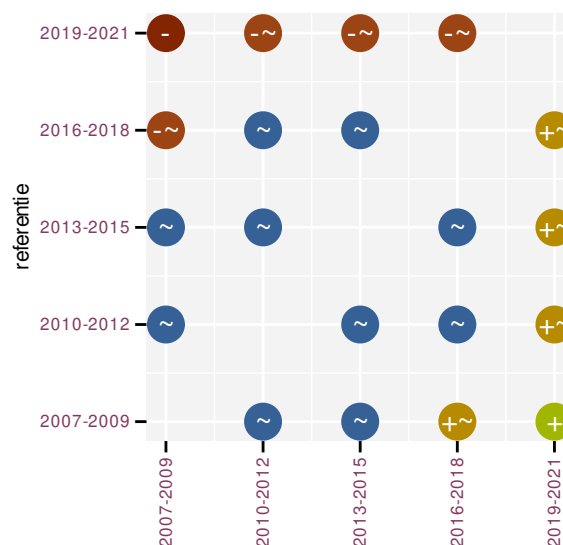
Tabel 20.1: Stratumgewicht, raming aan het aantal hokken waarin de soort aanwezig is, aantal relevant hokken voor de analyse, aantal onderzochte hokken in het stratum, totaal aantal hokken van het stratum in Vlaanderen, aantal bezoeken aan een meetpunt en het gemiddeld aandeel relevante punten per hok voor Boomkruiper (zie §2.5).

stratum	gewicht	aanwezig	relevant	onderzocht	totaal	bezoeken	punten
Landbouw	70.7%	1309.3	89	429	6311	3463	55.1%
Bos	11.1%	204.8	122	190	319	7251	85.2%
Urbaan	6.7%	124.3	26	87	416	763	41.0%
Heide en duin	5.7%	105.9	50	94	199	2420	64.7%
Suburbaan	3.4%	62.1	21	68	201	808	57.9%
Moeras en water	2.5%	46.2	27	80	137	1358	69.1%





Figuur 20.5: Paarsgewijze vergelijking tussen jaren voor Boomkruiper. Uitleg van de symbolen in tabel 3.1.



Figuur 20.6: Paarsgewijze vergelijking tussen driejarige cycli voor Boomkruiper. Uitleg van de symbolen in tabel 3.1.

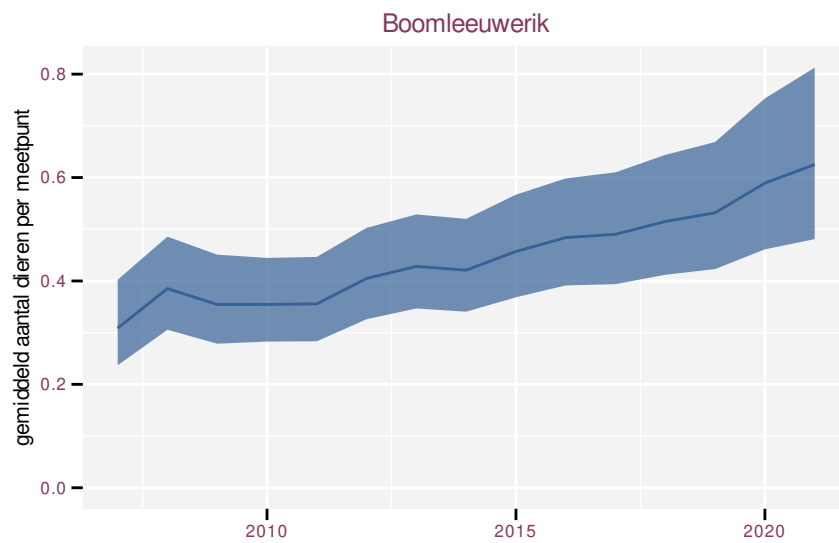
Tabel 20.2: Data-hashes van de analyses in het kader van traceerbaarheid (zie §4.3).

frequentie	model	analyse	status
jaarlijks	niet-lineair	5ae14718f25ff0eefb16 fcb7021e8c722b556b07	61523f0a3a8be61ba2dc 93da87857fddfd1144b
jaarlijks	lineair	334410b58678226107fa 7ad8ad832991fad40610	320b7944e2b1d3fc9d27 8859a4c39c84377ec28d
driejaarlijks	niet-lineair	b233e78165b451374f1e c4dd52380c40ebd50865	37b0b0166b4a68afed2a ed19ed6e5b9d496b1814
driejaarlijks	lineair	cc28778252445cda7f40 27a41225a68480400eac	7eb166743dd1447247fe d6a880252766063063ad

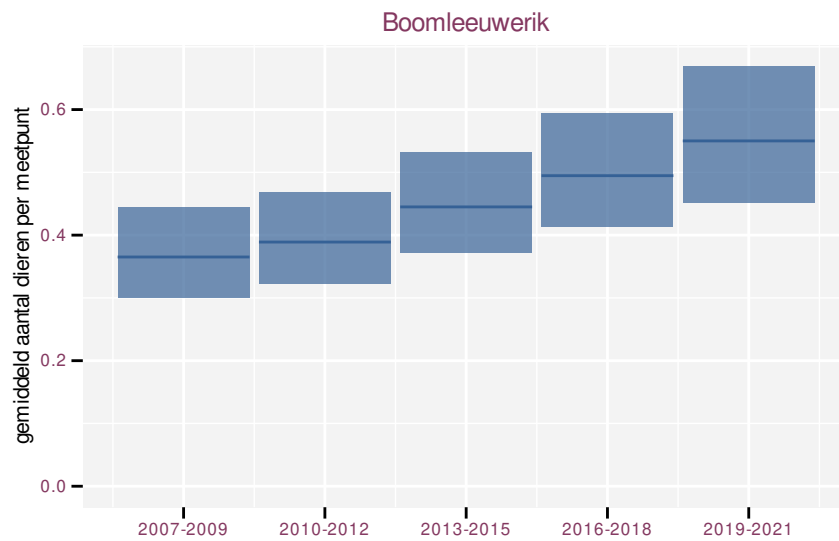
21 BOOMLEEUWERIK

Op basis van jaarlijkse gegevens zien we gemiddeld toename +6.10% (+2.03%; +10.32%) per jaar of +130% (+30%; +300%) over de volledige looptijd van het meetnet. Deze trend is niet-lineair.

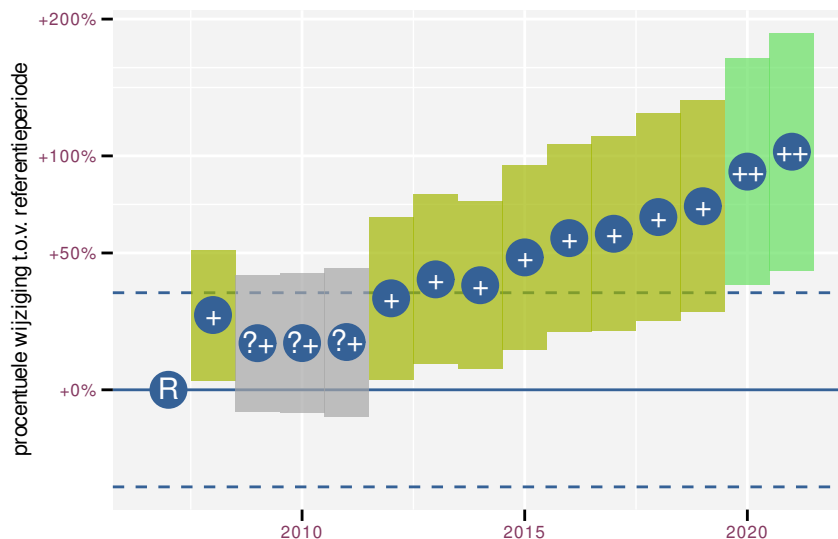
Op basis van driejaarlijkse gegevens zien we gemiddeld toename +5.96% (+2.00%; +10.08%) per jaar of +120% (+30%; +280%) over de volledige looptijd van het meetnet. Deze trend is lineair.



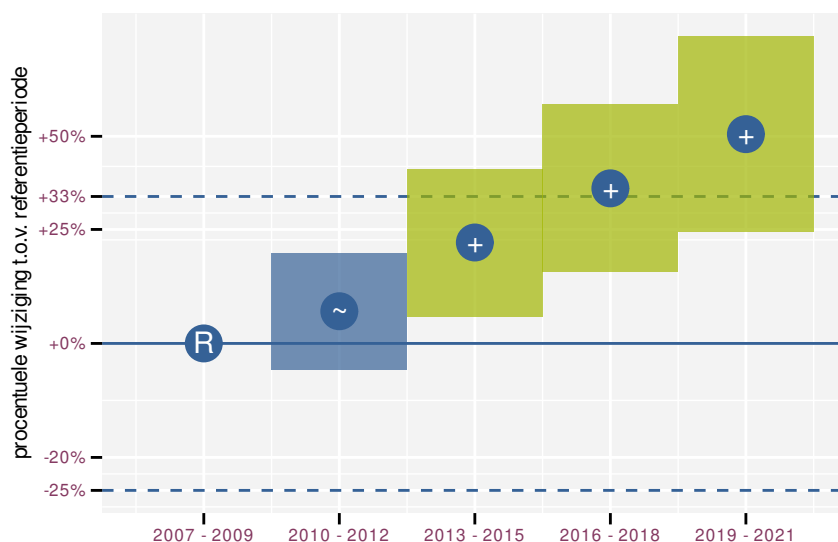
Figuur 21.1: Evolutie van het gemodelleerde gemiddeld aantal waargenomen dieren op een meetpunt voor Boomleeuwerik tijdens de referentieperiode. Zie §3.1 voor een verklaring van de intervallen.



Figuur 21.2: Evolutie van het gemodelleerde gemiddeld aantal waargenomen dieren op een meetpunt voor Boomleeuwerik tijdens de referentieperiode. Zie §3.1 voor een verklaring van de intervallen.



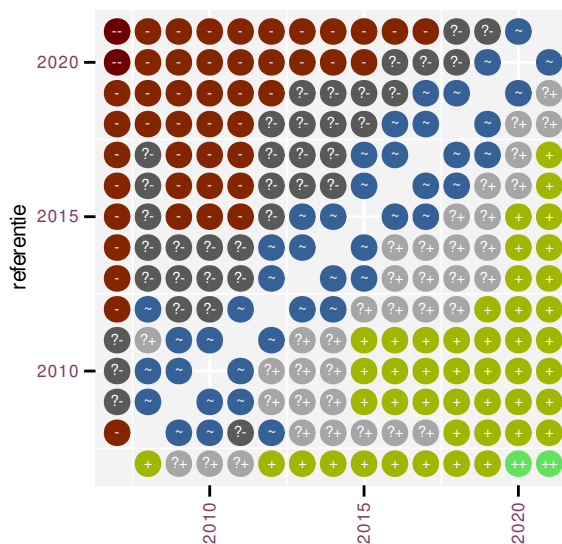
Figuur 21.3: Wijzigingen tussen jaren voor Boomleeuwerik. Zie §3.1 voor een verklaring van de intervallen en §3.2 voor uitleg over de symbolen en referentielijnen.



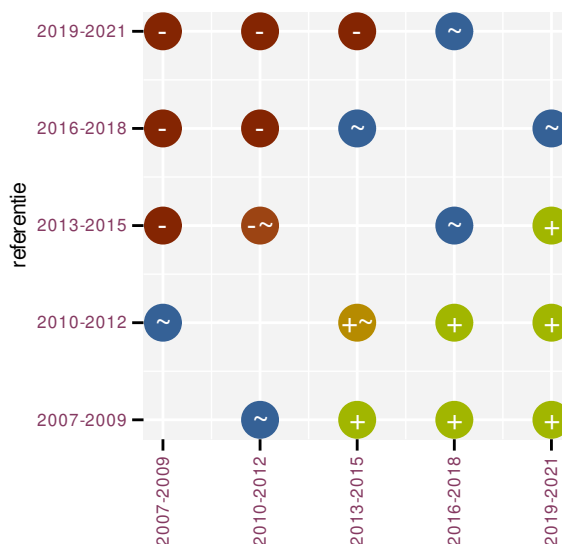
Figuur 21.4: Wijzigingen per driejarige cyclus voor Boomleeuwerik. Zie §3.1 voor een verklaring van de intervallen en §3.2 voor uitleg over de symbolen en referentielijnen.

Tabel 21.1: Stratumgewicht, raming aan het aantal hokken waarin de soort aanwezig is, aantal relevant hokken voor de analyse, aantal onderzochte hokken in het stratum, totaal aantal hokken van het stratum in Vlaanderen, aantal bezoeken aan een meetpunt en het gemiddeld aandeel relevante punten per hok voor Boomleeuwerik (zie §2.5).

stratum	gewicht	aanwezig	relevant	onderzocht	totaal	bezoeken	punten
Heide en duin	50.1%	93.1	44	94	199	2173	65.2%
Landbouw	23.7%	58.8	4	429	6311	59	29.2%
Bos	22.6%	42.0	25	190	319	1384	62.7%
Moeras en water	3.7%	8.6	5	80	137	113	30.0%



Figuur 21.5: Paarsgewijze vergelijking tussen jaren voor Boomleeuwerik. Uitleg van de symbolen in tabel 3.1.



Figuur 21.6: Paarsgewijze vergelijking tussen driejarige cycli voor Boomleeuwerik. Uitleg van de symbolen in tabel 3.1.

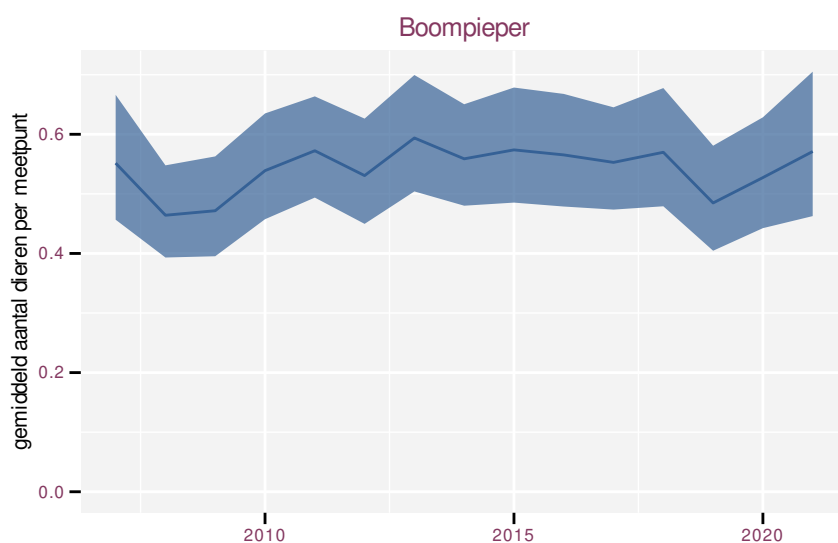
Tabel 21.2: Data-hashes van de analyses in het kader van traceerbaarheid (zie §4.3).

frequentie	model	analyse	status
jaarlijks	niet-lineair	d8bc6a7f10b9104a4584 fb5ba9a3d78b8949d8ec	d45cb32a5f7431b3f150 e6b37670c19f51c0fa0d
jaarlijks	lineair	851359058370b58b2ccf 1c96da5837ca5df706f5	76d4c79cae45d3b62d80 0735d8d4d1bde2bcd65a
driejaarlijks	niet-lineair	1f57b5a07943605ca47e 1377e056c007f675bd56	318e1bb293966eae73 406ec8ba2c9e827ce2ca
driejaarlijks	lineair	68648c68776bd6929af5 d0a6cb60dc2e235531f3	d488ec95bb5e109da44e b7a67848fba082ce5487

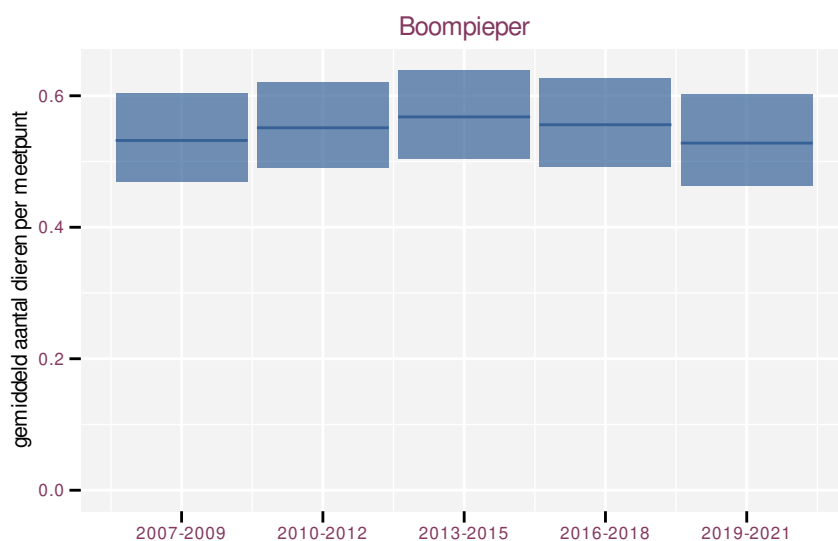
22 BOOMPIEPER

Op basis van jaarlijkse gegevens zien we gemiddeld stabiel +0.23% (-1.43%; +1.91%) per jaar of +3% (-18%; +30%) over de volledige looptijd van het meetnet. Deze trend is niet-lineair.

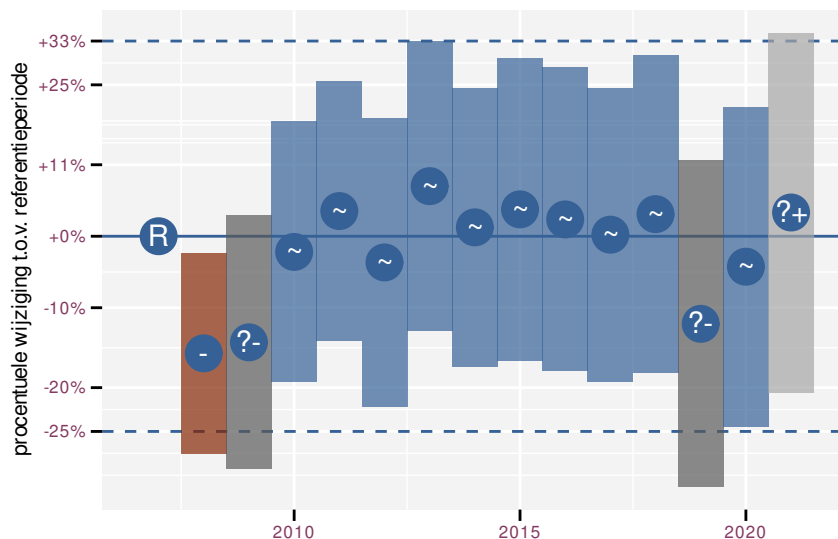
Op basis van driejaarlijkse gegevens zien we gemiddeld stabiel +0.27% (-1.40%; +1.96%) per jaar of +4% (-18%; +31%) over de volledige looptijd van het meetnet. Deze trend is lineair.



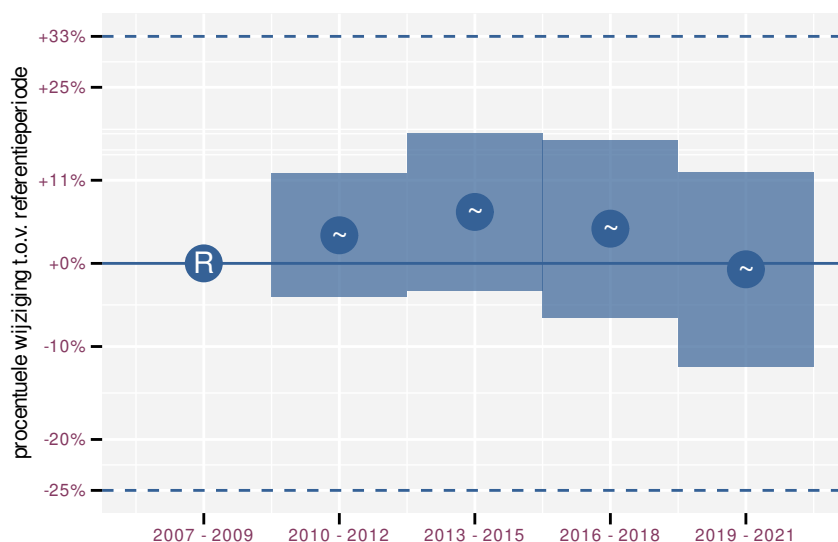
Figuur 22.1: Evolutie van het gemodelleerde gemiddeld aantal waargenomen dieren op een meetpunt voor Boompieper tijdens de referentieperiode. Zie §3.1 voor een verklaring van de intervallen.



Figuur 22.2: Evolutie van het gemodelleerde gemiddeld aantal waargenomen dieren op een meetpunt voor Boompieper tijdens de referentieperiode. Zie §3.1 voor een verklaring van de intervallen.



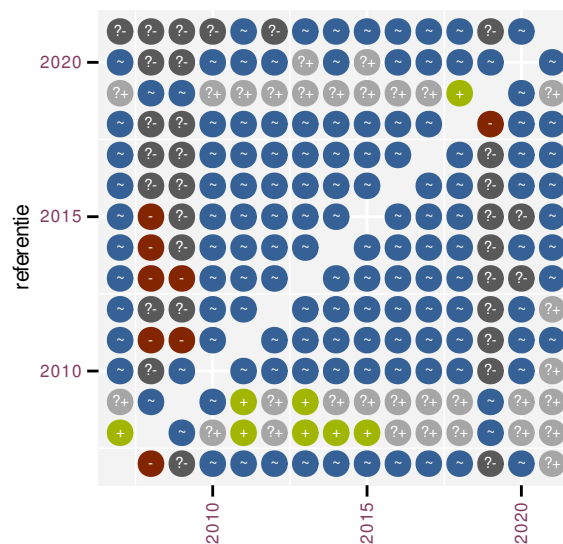
Figuur 22.3: Wijzigingen tussen jaren voor Boompieper. Zie §3.1 voor een verklaring van de intervallen en §3.2 voor uitleg over de symbolen en referentielijnen.



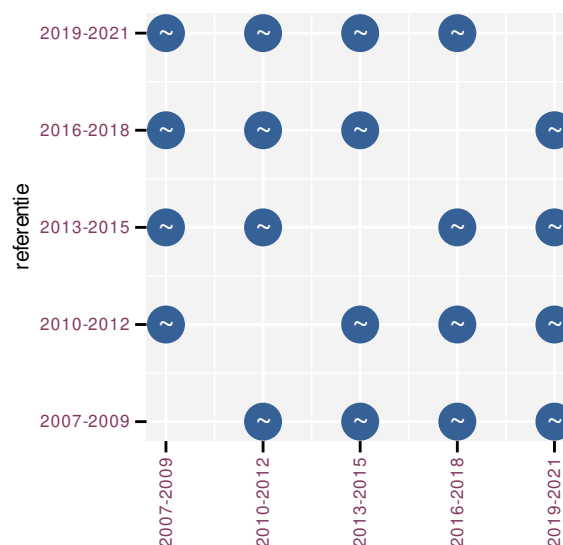
Figuur 22.4: Wijzigingen per driejarige cyclus voor Boompieper. Zie §3.1 voor een verklaring van de intervallen en §3.2 voor uitleg over de symbolen en referentielijnen.

Tabel 22.1: Stratumgewicht, raming aan het aantal hokken waarin de soort aanwezig is, aantal relevant hokken voor de analyse, aantal onderzochte hokken in het stratum, totaal aantal hokken van het stratum in Vlaanderen, aantal bezoeken aan een meetpunt en het gemiddeld aandeel relevante punten per hok voor Boompieper (zie §2.5).

stratum	gewicht	aanwezig	relevant	onderzocht	totaal	bezoeken	punten
Landbouw	37.1%	132.4	9	429	6311	430	55.6%
Heide en duin	32.7%	116.4	55	94	199	3183	80.6%
Bos	26.8%	95.7	57	190	319	2804	62.6%
Moeras en water	3.4%	12.0	7	80	137	297	54.8%



Figuur 22.5: Paarsgewijze vergelijking tussen jaren voor Boompieper. Uitleg van de symbolen in tabel 3.1.



Figuur 22.6: Paarsgewijze vergelijking tussen driejarige cycli voor Boompieper. Uitleg van de symbolen in tabel 3.1.

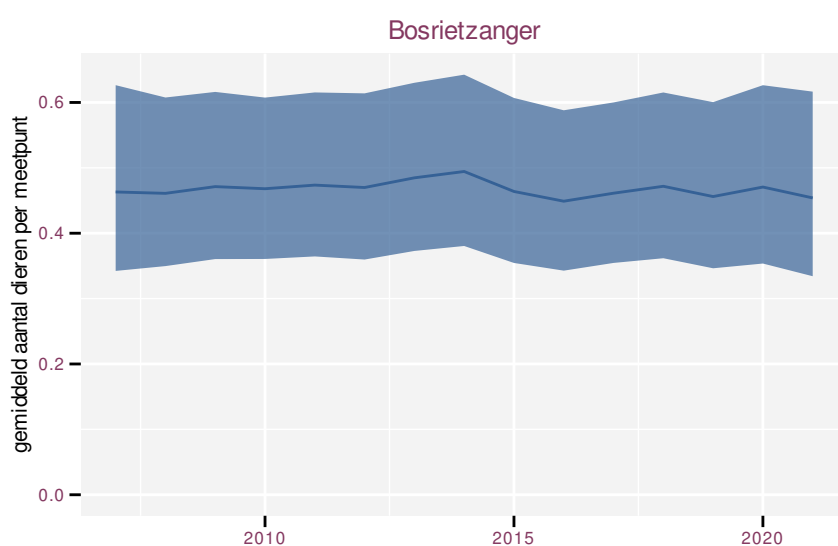
Tabel 22.2: Data-hashes van de analyses in het kader van traceerbaarheid (zie §4.3).

frequentie	model	analyse	status
jaarlijks	niet-lineair	7a386c6d21127964adaf ce4a1ebdd4794cfa0d28	6ebb0e2e902ba5d10ff0 f25ef93f3415b8bb6727
jaarlijks	lineair	a64c062cdf14a4c527f4 d56c7aa3bbc08b946f40	1bef6e1ac546f3f1336a 97fa0c7cb095b52dcef4
driejaarlijks	niet-lineair	d2224eb045707b97fc52 fa819181a4670307592c	ae2729f482bae73abf59 1bacaaeb1f56f6020d2c
driejaarlijks	lineair	ae4d77922d8e0700af25 a2db5072574e27d103c2	151dc9aa3a8e47c2f9bd 6bc8e972b5e6ed2598ec

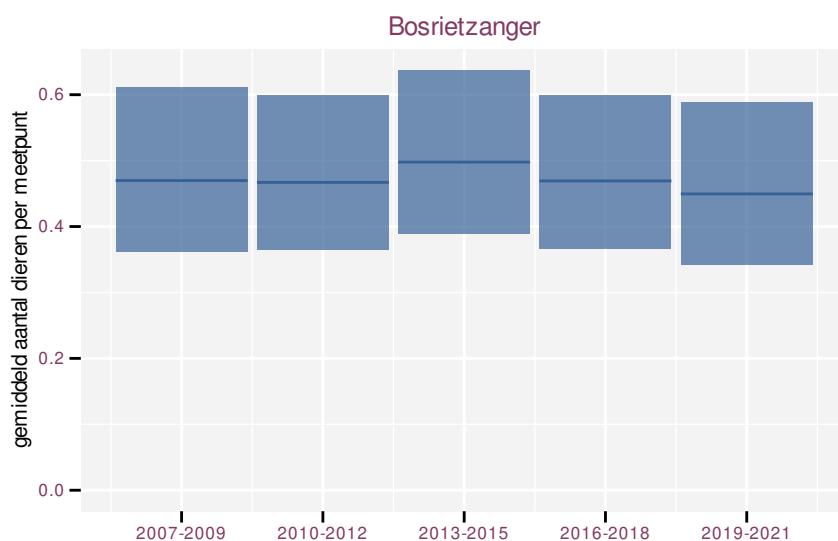
23 BOSRIETZANGER

Op basis van jaarlijkse gegevens zien we gemiddeld onduidelijk -0.2% (-3.0% ; $+2.7\%$) per jaar of -3% (-35% ; $+44\%$) over de volledige looptijd van het meetnet. Deze trend is mogelijk niet-lineair.

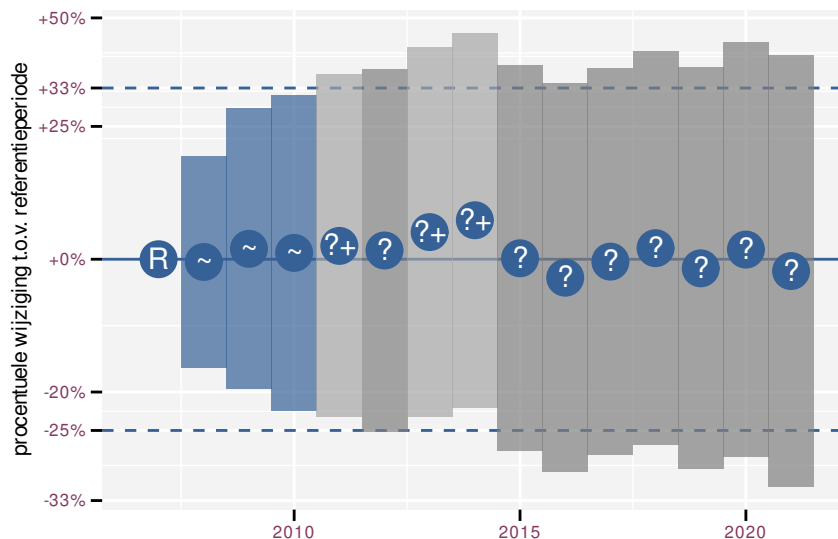
Op basis van driejaarlijkse gegevens zien we gemiddeld onduidelijk -0.5% (-3.4% ; $+2.5\%$) per jaar of -7% (-38% ; $+41\%$) over de volledige looptijd van het meetnet. Deze trend is mogelijk niet-lineair.



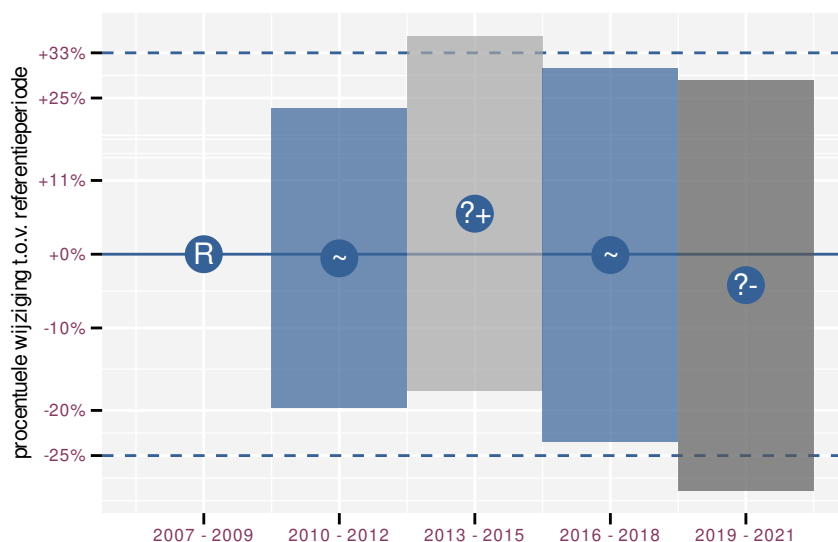
Figuur 23.1: Evolutie van het gemodelleerde gemiddeld aantal waargenomen dieren op een meetpunt voor Bosrietzanger tijdens de referentieperiode. Zie §3.1 voor een verklaring van de intervallen.



Figuur 23.2: Evolutie van het gemodelleerde gemiddeld aantal waargenomen dieren op een meetpunt voor Bosrietzanger tijdens de referentieperiode. Zie §3.1 voor een verklaring van de intervallen.



Figuur 23.3: Wijzigingen tussen jaren voor Bosrietzanger. Zie §3.1 voor een verklaring van de intervallen en §3.2 voor uitleg over de symbolen en referentielijnen.



Figuur 23.4: Wijzigingen per driejarige cyclus voor Bosrietzanger. Zie §3.1 voor een verklaring van de intervallen en §3.2 voor uitleg over de symbolen en referentielijnen.

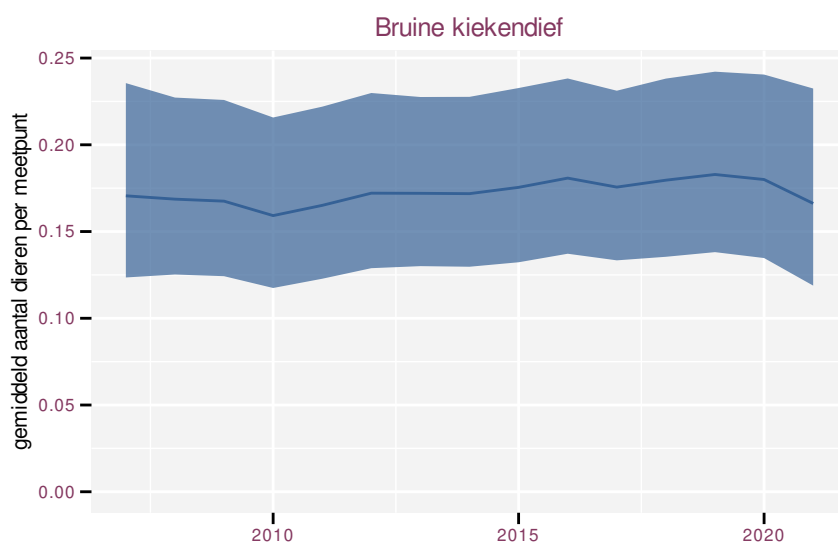
Tabel 23.1: Stratumgewicht, raming aan het aantal hokken waarin de soort aanwezig is, aantal relevant hokken voor de analyse, aantal onderzochte hokken in het stratum, totaal aantal hokken van het stratum in Vlaanderen, aantal bezoeken aan een meetpunt en het gemiddeld aandeel relevante punten per hok voor Bosrietzanger (zie §2.5).

stratum	gewicht	aanwezig	relevant	onderzocht	totaal	bezoeken	punten
Landbouw	88.2%	470.8	32	429	6311	663	40.6%
Moeras en water	6.7%	36.0	21	80	137	579	56.3%
Suburbaan	3.9%	20.7	7	68	201	137	35.7%
Heide en duin	1.2%	8.5	4	94	199	62	33.3%

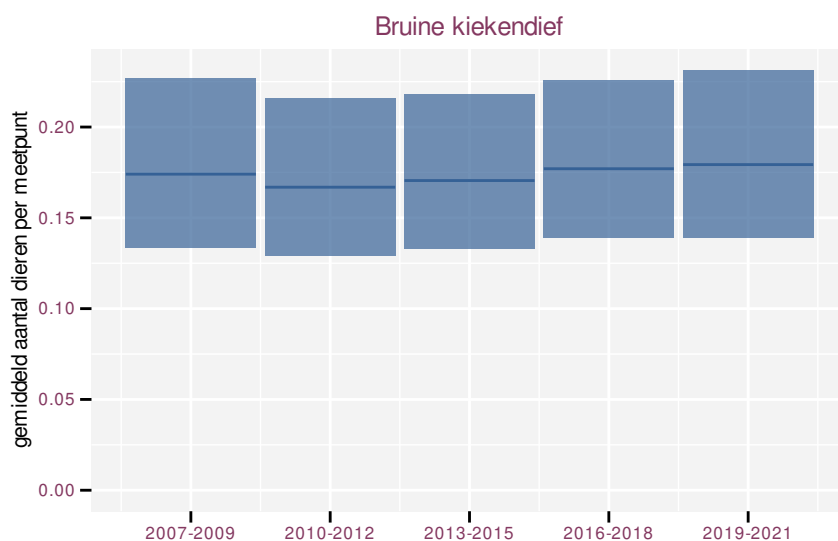
24 BRUINE KIEKENDIEF

Op basis van jaarlijkse gegevens zien we gemiddeld onduidelijk +0.5% (-2.5%; +3.6%) per jaar of +8% (-30%; +65%) over de volledige looptijd van het meetnet. Deze trend is lineair.

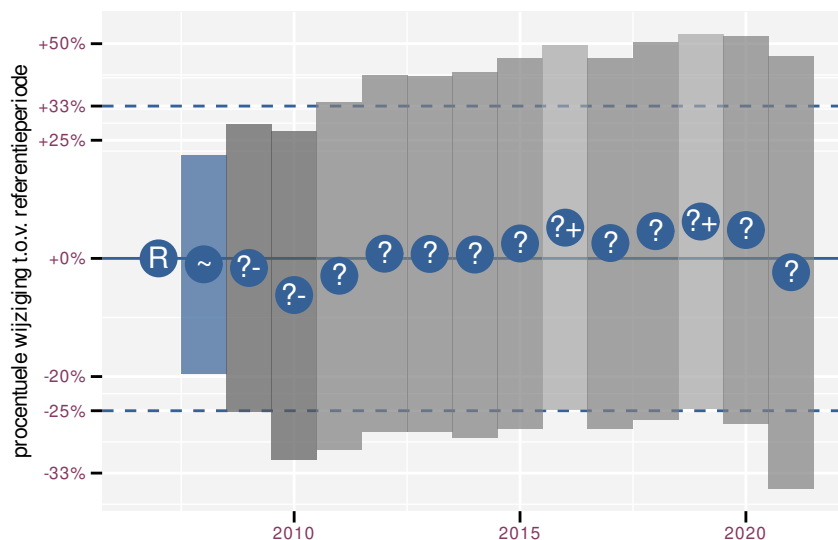
Op basis van driejaarlijkse gegevens zien we gemiddeld onduidelijk +0.7% (-2.4%; +3.8%) per jaar of +10% (-29%; +69%) over de volledige looptijd van het meetnet. Deze trend is lineair.



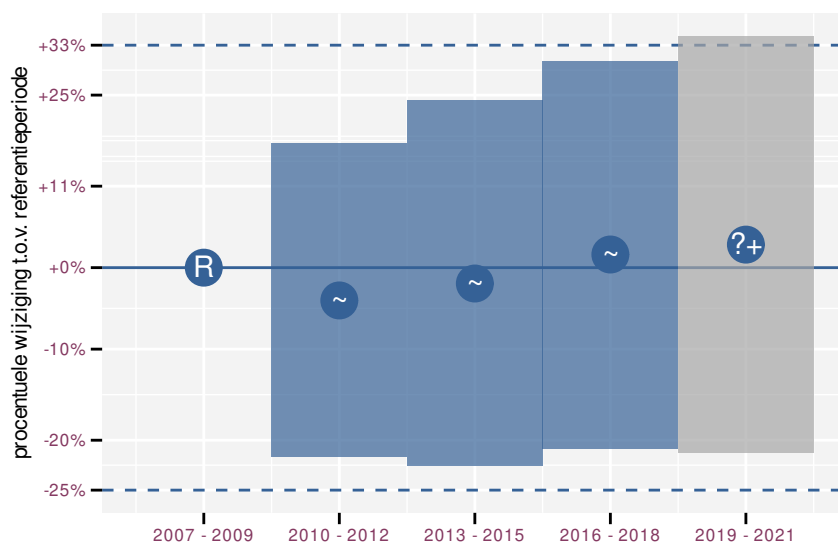
Figuur 24.1: Evolutie van het gemodelleerde gemiddeld aantal waargenomen dieren op een meetpunt voor Bruine kiekendief tijdens de referentieperiode. Zie §3.1 voor een verklaring van de intervallen.



Figuur 24.2: Evolutie van het gemodelleerde gemiddeld aantal waargenomen dieren op een meetpunt voor Bruine kiekendief tijdens de referentieperiode. Zie §3.1 voor een verklaring van de intervallen.



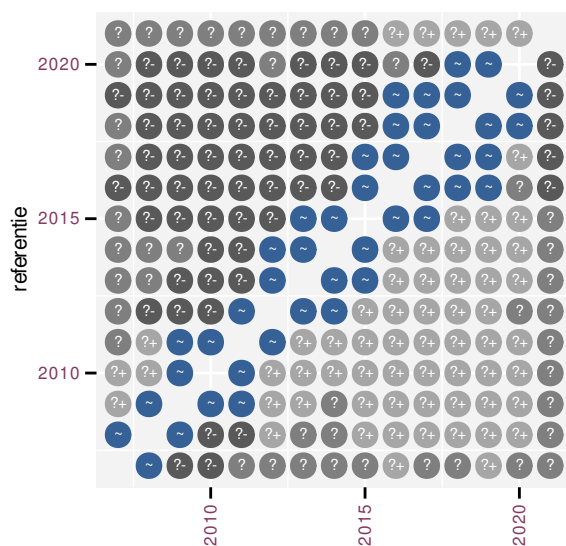
Figuur 24.3: Wijzigingen tussen jaren voor Bruine kiekendief. Zie §3.1 voor een verklaring van de intervallen en §3.2 voor uitleg over de symbolen en referentielijnen.



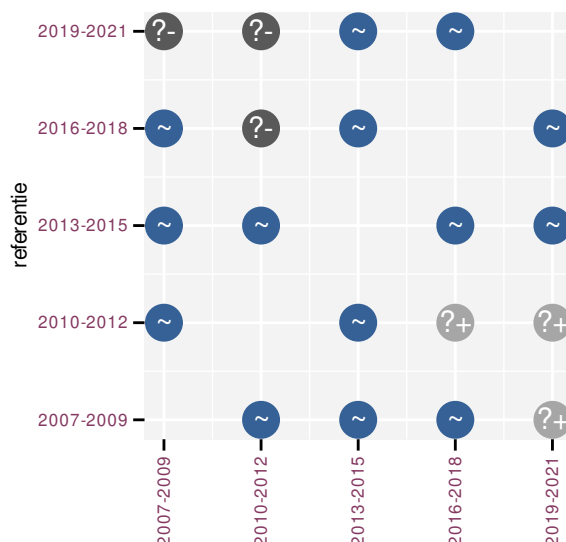
Figuur 24.4: Wijzigingen per driejarige cyclus voor Bruine kiekendief. Zie §3.1 voor een verklaring van de intervallen en §3.2 voor uitleg over de symbolen en referentielijnen.

Tabel 24.1: Stratumgewicht, raming aan het aantal hokken waarin de soort aanwezig is, aantal relevant hokken voor de analyse, aantal onderzochte hokken in het stratum, totaal aantal hokken van het stratum in Vlaanderen, aantal bezoeken aan een meetpunt en het gemiddeld aandeel relevante punten per hok voor Bruine kiekendief (zie §2.5).

stratum	gewicht	aanwezig	relevant	onderzocht	totaal	bezoeken	punten
Landbouw	97.2%	353.1	24	429	6311	959	48.6%
Moeras en water	2.8%	12.0	7	80	137	249	57.1%



Figuur 24.5: Paarsgewijze vergelijking tussen jaren voor Bruine kiekendief. Uitleg van de symbolen in tabel 3.1.



Figuur 24.6: Paarsgewijze vergelijking tussen driejarige cycli voor Bruine kiekendief. Uitleg van de symbolen in tabel 3.1.

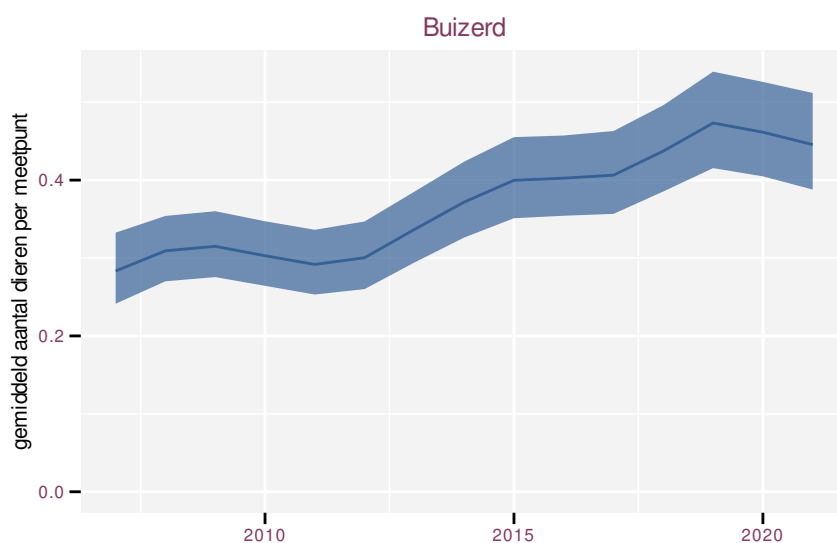
Tabel 24.2: Data-hashes van de analyses in het kader van traceerbaarheid (zie §4.3).

frequentie	model	analyse	status
jaarlijks	niet-lineair	ff3d7a7b510517e35997 67e0c9eddc288dde26b3	b294705275fad1742361 1359e8c7c26f8884bef2
jaarlijks	lineair	6755d0e38b318e8030dd 998d04cabbadfa2c803a	400b026feb555f88c83 73ca58ef01acd01fcdee
driejaarlijks	niet-lineair	f41c6d26dd2e1c55d326 a4c8f936489944663500	0828a42f9473bb2b2655 c0c5168dfc434c2039ac
driejaarlijks	lineair	bcf7f2313d1af8b53e79 bdfe19e3e94162ac3101	f86514c4364f3e90e504 a98644b6b215bc42b3b5

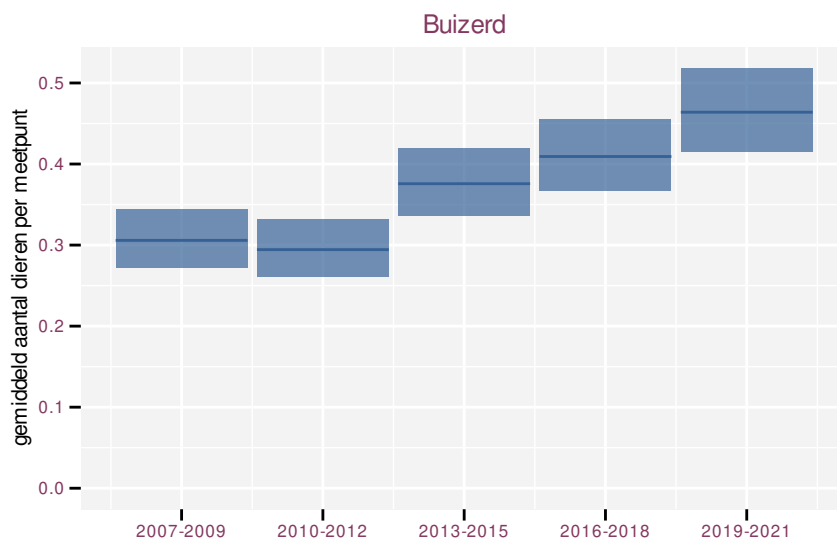
25 BUIZERD

Op basis van jaarlijkse gegevens zien we gemiddeld sterke toename +4.1% (+3.1%; +5.1%) per jaar of +74.8% (+52.6%; +100.3%) over de volledige looptijd van het meetnet. Deze trend is niet-lineair.

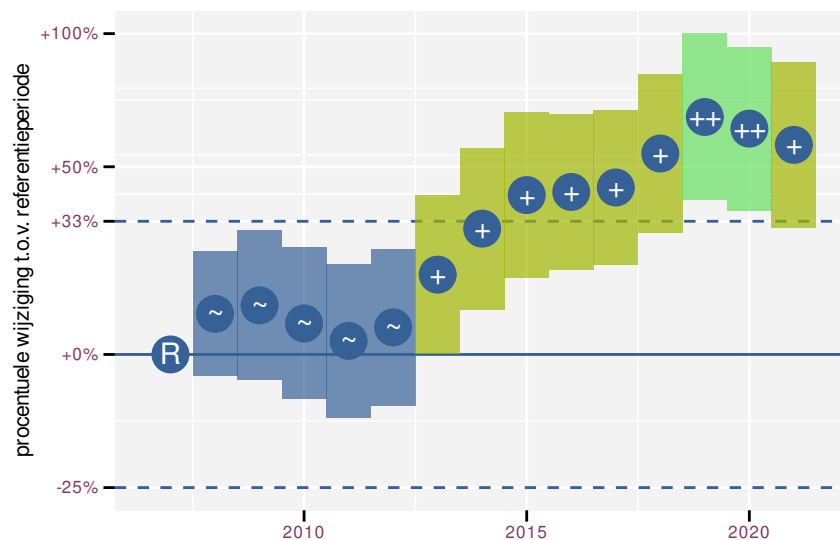
Op basis van driejaarlijkse gegevens zien we gemiddeld sterke toename +4.1% (+3.1%; +5.1%) per jaar of +76.0% (+53.3%; +101.9%) over de volledige looptijd van het meetnet. Deze trend is niet-lineair.



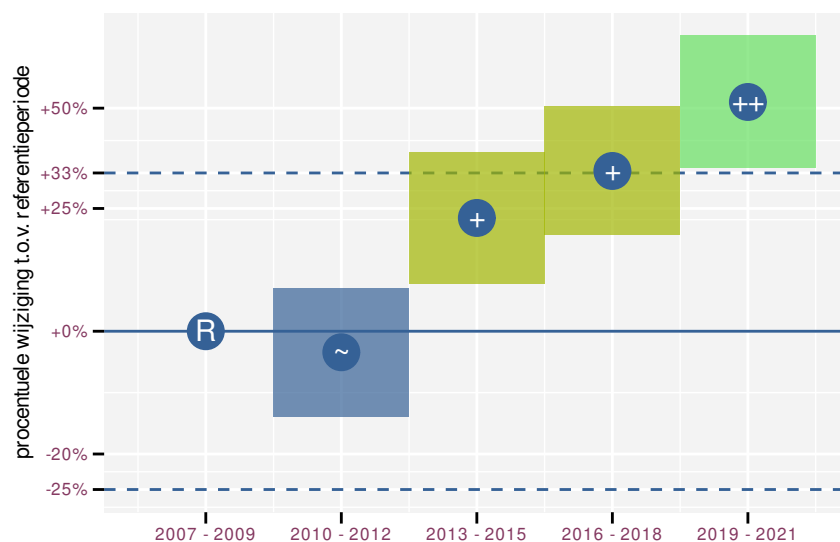
Figuur 25.1: Evolutie van het gemodelleerde gemiddeld aantal waargenomen dieren op een meetpunt voor Buizerd tijdens de referentieperiode. Zie §3.1 voor een verklaring van de intervallen.



Figuur 25.2: Evolutie van het gemodelleerde gemiddeld aantal waargenomen dieren op een meetpunt voor Buizerd tijdens de referentieperiode. Zie §3.1 voor een verklaring van de intervallen.



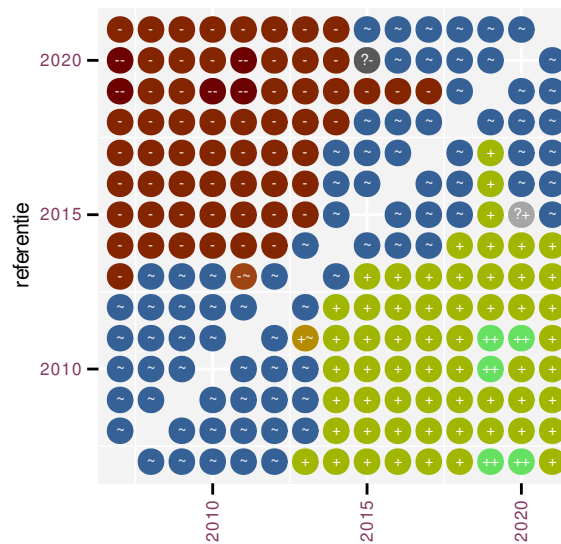
Figuur 25.3: Wijzigingen tussen jaren voor Buizerd. Zie §3.1 voor een verklaring van de intervallen en §3.2 voor uitleg over de symbolen en referentielijnen.



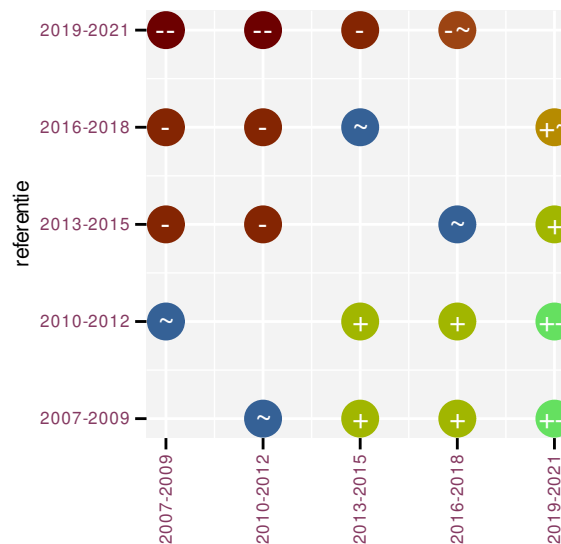
Figuur 25.4: Wijzigingen per driejarige cyclus voor Buizerd. Zie §3.1 voor een verklaring van de intervallen en §3.2 voor uitleg over de symbolen en referentielijnen.

Tabel 25.1: Stratumgewicht, raming aan het aantal hokken waarin de soort aanwezig is, aantal relevant hokken voor de analyse, aantal onderzochte hokken in het stratum, totaal aantal hokken van het stratum in Vlaanderen, aantal bezoeken aan een meetpunt en het gemiddeld aandeel relevante punten per hok voor Buizerd (zie §2.5).

stratum	gewicht	aanwezig	relevant	onderzocht	totaal	bezoeken	punten
Landbouw	88.8%	2736.2	186	429	6311	8047	58.6%
Bos	6.0%	186.4	111	190	319	5144	63.8%
Heide en duin	2.7%	84.7	40	94	199	1664	53.3%
Moeras en water	1.7%	51.4	30	80	137	1175	55.0%
Suburbaan	0.8%	26.6	9	68	201	220	44.4%



Figuur 25.5: Paarsgewijze vergelijking tussen jaren voor Buizerd. Uitleg van de symbolen in tabel 3.1.



Figuur 25.6: Paarsgewijze vergelijking tussen driejarige cycli voor Buizerd. Uitleg van de symbolen in tabel 3.1.

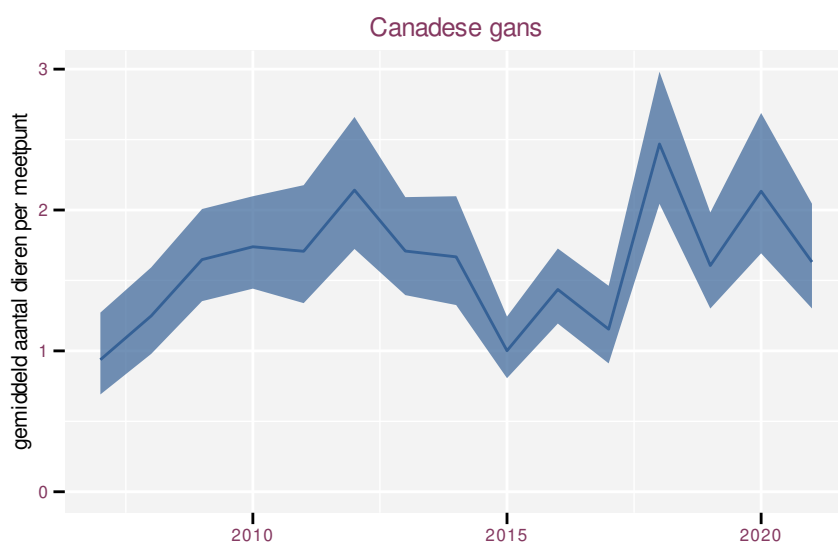
Tabel 25.2: Data-hashes van de analyses in het kader van traceerbaarheid (zie §4.3).

frequentie	model	analyse	status
jaarlijks	niet-lineair	335a2188f44b73cba759 d960a98094ce4387356a	67e5d1f96915a55b2223 b6d94f1285e9a6104eaa
jaarlijks	lineair	b74c21cf3fbbc2987c34 5de707b7d659cc6ad64f	b763cf6b4623ee51fb82 9f1723536f50097da57d
driejaarlijks	niet-lineair	547b6c3a36675a0ded30 84fa2a790f3d6d2dba85	e12b739b6c59be759de5 3680beea18d613644395
driejaarlijks	lineair	a1139aa35f2c0e3407bc cacc0c9e7d169835e954	108473467c92f1b2bdc8 0aeab2f638601741307d

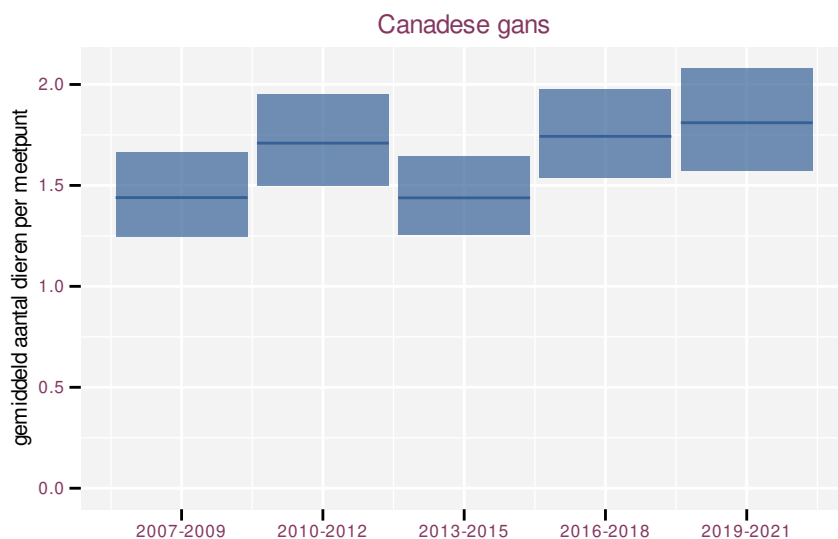
26 CANADESE GANS

Op basis van jaarlijkse gegevens zien we gemiddeld toename +2.2% (+1.0%; +3.5%) per jaar of +36% (+14%; +62%) over de volledige looptijd van het meetnet. Deze trend is niet-lineair.

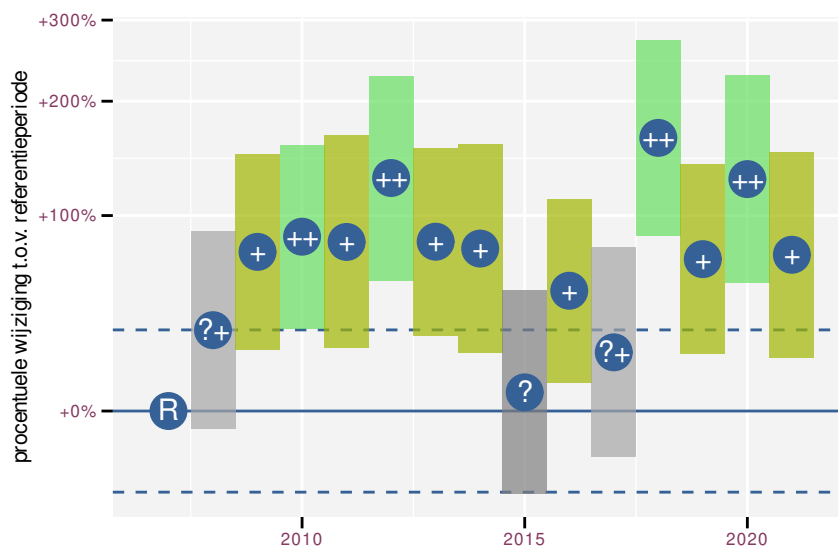
Op basis van driejaarlijkse gegevens zien we gemiddeld toename +2.0% (+0.8%; +3.3%) per jaar of +32% (+11%; +57%) over de volledige looptijd van het meetnet. Deze trend is lineair.



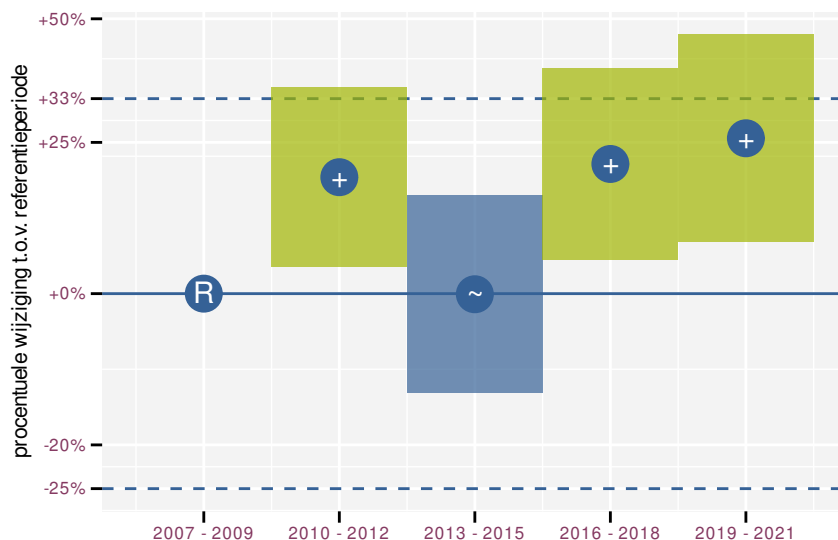
Figuur 26.1: Evolutie van het gemodelleerde gemiddeld aantal waargenomen dieren op een meetpunt voor Canadese gans tijdens de referentieperiode. Zie §3.1 voor een verklaring van de intervallen.



Figuur 26.2: Evolutie van het gemodelleerde gemiddeld aantal waargenomen dieren op een meetpunt voor Canadese gans tijdens de referentieperiode. Zie §3.1 voor een verklaring van de intervallen.



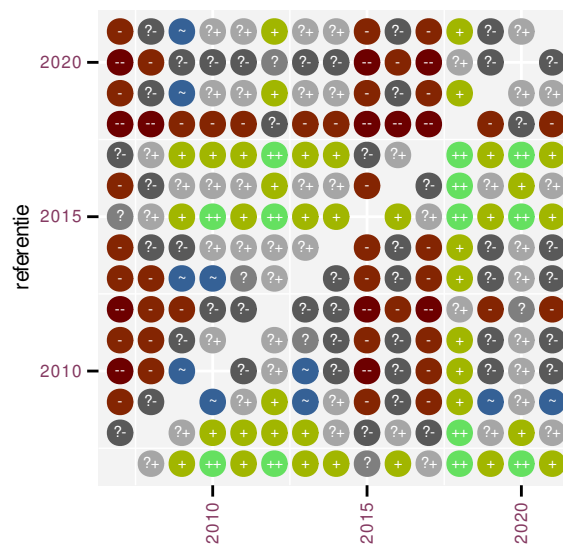
Figuur 26.3: Wijzigingen tussen jaren voor Canadese gans. Zie §3.1 voor een verklaring van de intervallen en §3.2 voor uitleg over de symbolen en referentielijnen.



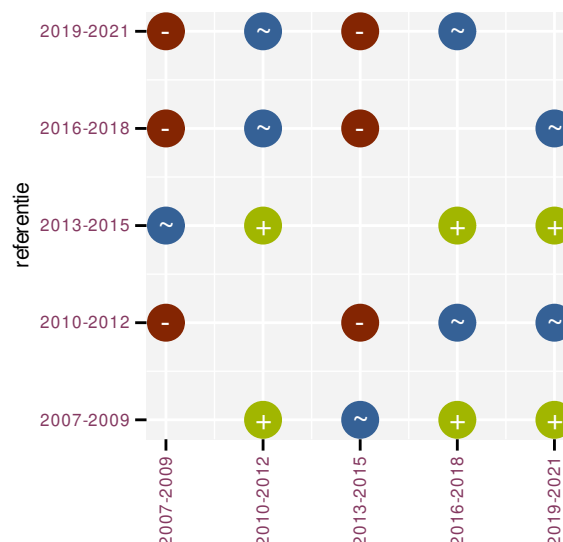
Figuur 26.4: Wijzigingen per driejarige cyclus voor Canadese gans. Zie §3.1 voor een verklaring van de intervallen en §3.2 voor uitleg over de symbolen en referentielijnen.

Tabel 26.1: Stratumgewicht, raming aan het aantal hokken waarin de soort aanwezig is, aantal relevant hokken voor de analyse, aantal onderzochte hokken in het stratum, totaal aantal hokken van het stratum in Vlaanderen, aantal bezoeken aan een meetpunt en het gemiddeld aandeel relevante punten per hok voor Canadese gans (zie §2.5).

stratum	gewicht	aanwezig	relevant	onderzocht	totaal	bezoeken	punten
Landbouw	86.7%	1427.0	97	429	6311	4195	58.9%
Moeras en water	4.3%	70.2	41	80	137	1785	61.4%
Heide en duin	3.7%	61.4	29	94	199	1250	59.8%
Suburbaan	2.0%	32.5	11	68	201	452	51.5%
Urbaan	1.7%	33.5	7	87	416	118	28.6%
Bos	1.6%	26.9	16	190	319	545	47.9%



Figuur 26.5: Paarsgewijze vergelijking tussen jaren voor Canadese gans. Uitleg van de symbolen in tabel 3.1.



Figuur 26.6: Paarsgewijze vergelijking tussen driejarige cycli voor Canadese gans. Uitleg van de symbolen in tabel 3.1.

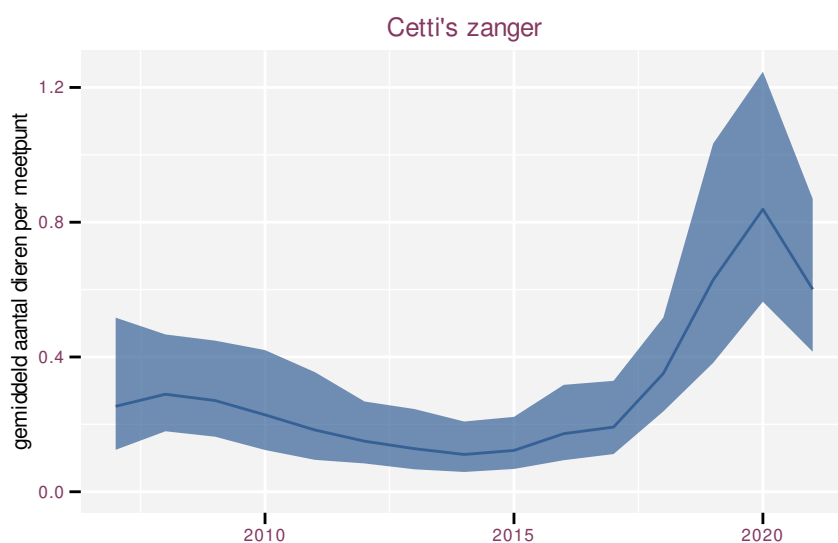
Tabel 26.2: Data-hashes van de analyses in het kader van traceerbaarheid (zie §4.3).

frequentie	model	analyse	status
jaarlijks	niet-lineair	55d369c947d027293a90 c404f2b52d0bf9dae784	510a854dff146f0a29d6 062a2384d1b4fc79c08a
jaarlijks	lineair	ab5d0ccf8d2757056c3b 6be863169bbc04a39957	50084e664b12587d0c40 218ecc2fbb900899a25a
driejaarlijks	niet-lineair	ffeb82413c4fab7e5d3b 742529de4af3cf88ce13	fbae1b194fb227d50521 7ef5c496405c81808590
driejaarlijks	lineair	613557925e81c2e09d98 32e0910dd6a68d1a76af	b17f75c8e4692c355e94 771b3ffc0f61c9105826

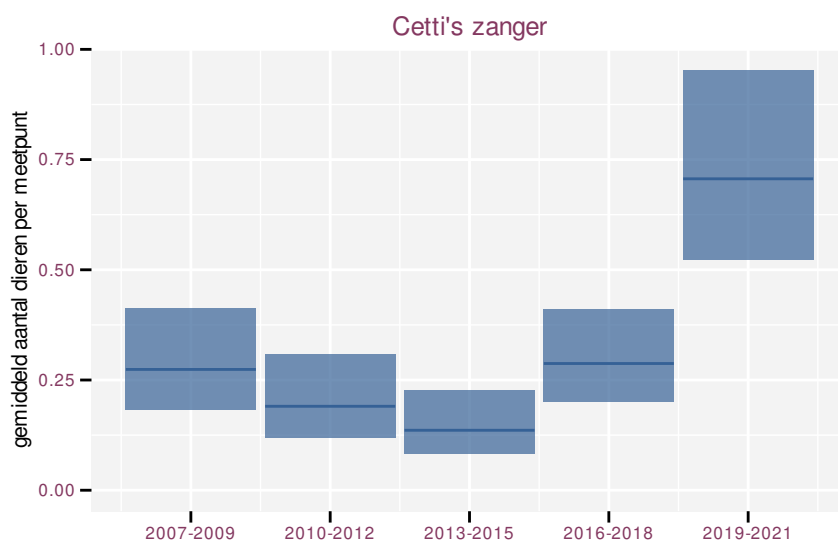
27 CETTI'S ZANGER

Op basis van jaarlijkse gegevens zien we gemiddeld sterke toename +13.1% (+8.0%; +18.5%) per jaar of +460% (+200%; +970%) over de volledige looptijd van het meetnet. Deze trend is niet-lineair.

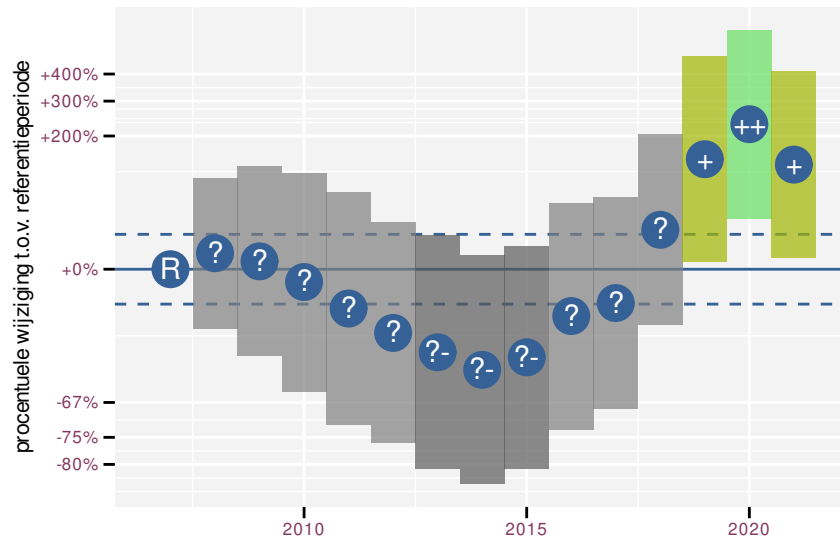
Op basis van driejaarlijkse gegevens zien we gemiddeld sterke toename +13.9% (+8.7%; +19.4%) per jaar of +517% (+219%; +1091%) over de volledige looptijd van het meetnet. Deze trend is niet-lineair.



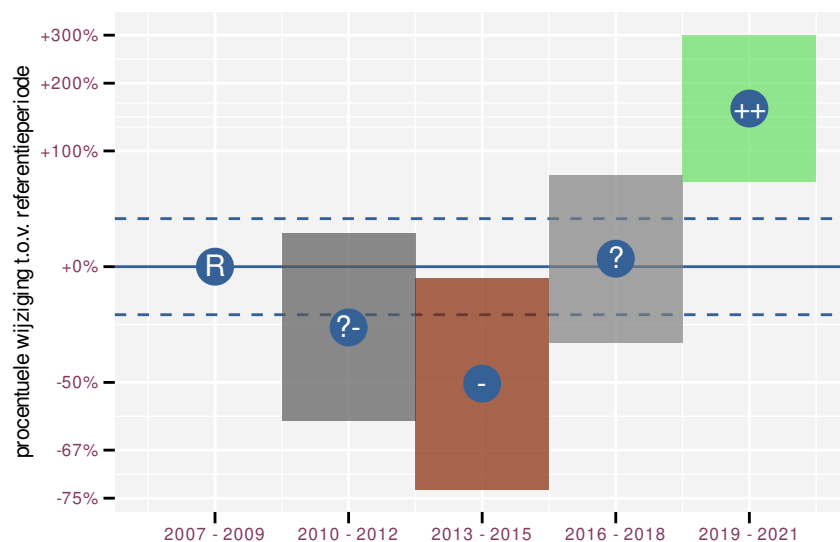
Figuur 27.1: Evolutie van het gemodelleerde gemiddeld aantal waargenomen dieren op een meetpunt voor Cetti's zanger tijdens de referentieperiode. Zie §3.1 voor een verklaring van de intervallen.



Figuur 27.2: Evolutie van het gemodelleerde gemiddeld aantal waargenomen dieren op een meetpunt voor Cetti's zanger tijdens de referentieperiode. Zie §3.1 voor een verklaring van de intervallen.



Figuur 27.3: Wijzigingen tussen jaren voor Cetti's zanger. Zie §3.1 voor een verklaring van de intervallen en §3.2 voor uitleg over de symbolen en referentielijnen.



Figuur 27.4: Wijzigingen per driejarige cyclus voor Cetti's zanger. Zie §3.1 voor een verklaring van de intervallen en §3.2 voor uitleg over de symbolen en referentielijnen.

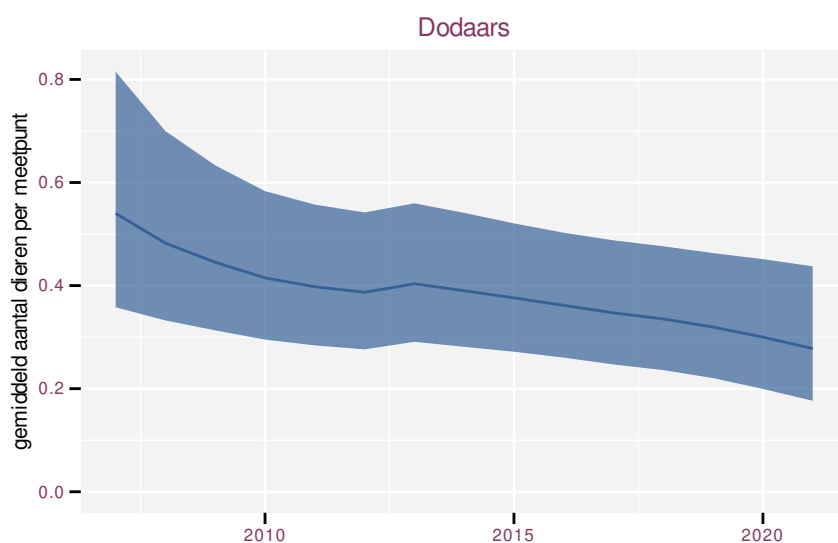
Tabel 27.1: Stratumgewicht, raming aan het aantal hokken waarin de soort aanwezig is, aantal relevant hokken voor de analyse, aantal onderzochte hokken in het stratum, totaal aantal hokken van het stratum in Vlaanderen, aantal bezoeken aan een meetpunt en het gemiddeld aandeel relevante punten per hok voor Cetti's zanger (zie §2.5).

stratum	gewicht	aanwezig	relevant	onderzocht	totaal	bezoeken	punten
Landbouw	76.1%	103.0	7	429	6311	225	47.6%
Moeras en water	14.8%	17.1	10	80	137	347	53.3%
Heide en duin	9.1%	12.7	6	94	199	120	52.8%

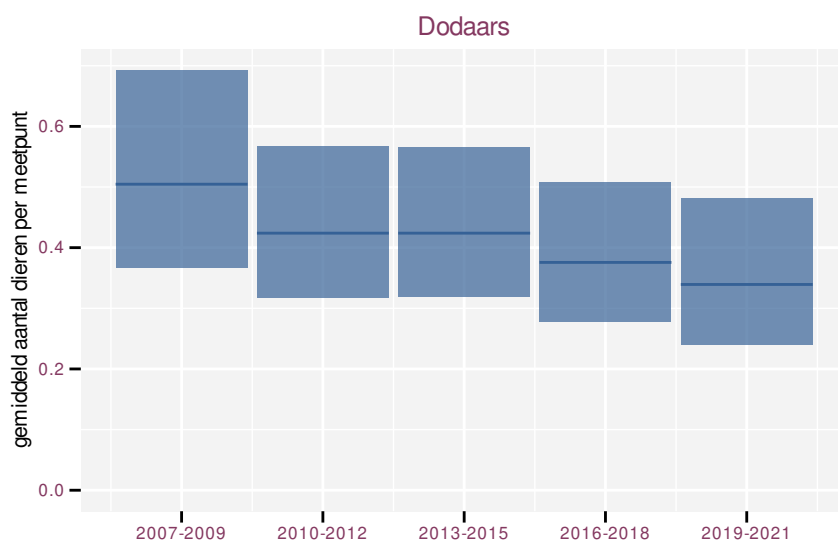
28 DODAARS

Op basis van jaarlijkse gegevens zien we gemiddeld afname -6.50% (-11.27%; -1.48%) per jaar of -61% (-81%; -19%) over de volledige looptijd van het meetnet. Deze trend is niet-lineair.

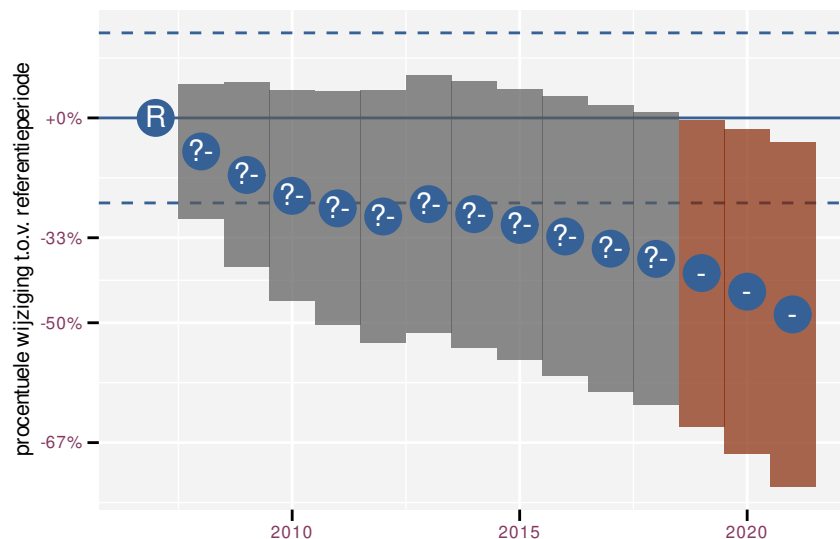
Op basis van driejaarlijkse gegevens zien we gemiddeld afname -6.33% (-11.10%; -1.30%) per jaar of -60% (-81%; -17%) over de volledige looptijd van het meetnet. Deze trend is niet-lineair.



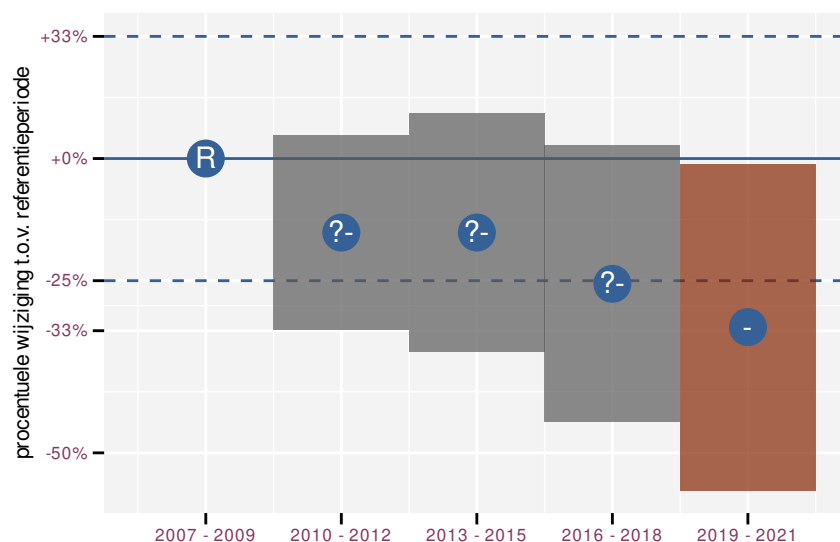
Figuur 28.1: Evolutie van het gemodelleerde gemiddeld aantal waargenomen dieren op een meetpunt voor Dodaars tijdens de referentieperiode. Zie §3.1 voor een verklaring van de intervallen.



Figuur 28.2: Evolutie van het gemodelleerde gemiddeld aantal waargenomen dieren op een meetpunt voor Dodaars tijdens de referentieperiode. Zie §3.1 voor een verklaring van de intervallen.



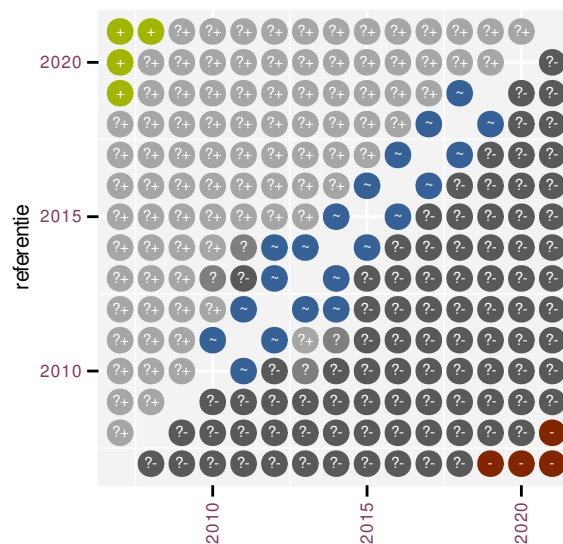
Figuur 28.3: Wijzigingen tussen jaren voor Dodaars. Zie §3.1 voor een verklaring van de intervallen en §3.2 voor uitleg over de symbolen en referentielijnen.



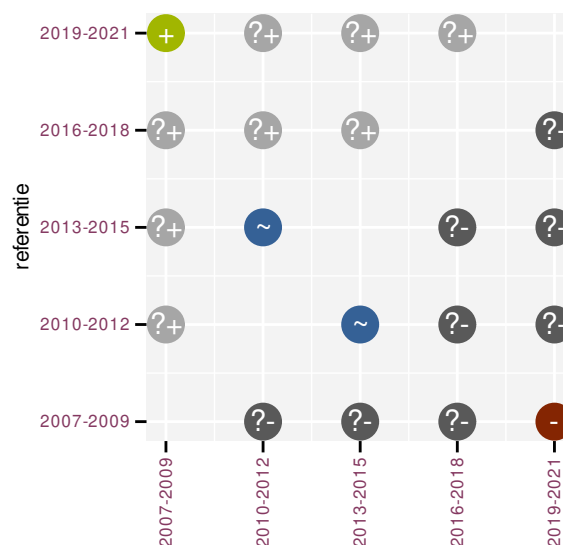
Figuur 28.4: Wijzigingen per driejarige cyclus voor Dodaars. Zie §3.1 voor een verklaring van de intervallen en §3.2 voor uitleg over de symbolen en referentielijnen.

Tabel 28.1: Stratumgewicht, raming aan het aantal hokken waarin de soort aanwezig is, aantal relevant hokken voor de analyse, aantal onderzochte hokken in het stratum, totaal aantal hokken van het stratum in Vlaanderen, aantal bezoeken aan een meetpunt en het gemiddeld aandeel relevante punten per hok voor Dodaars (zie §2.5).

stratum	gewicht	aanwezig	relevant	onderzocht	totaal	bezoeken	punten
Landbouw	39.8%	58.8	4	429	6311	76	25.0%
Moeras en water	26.3%	29.1	17	80	137	551	45.1%
Heide en duin	24.8%	27.5	13	94	199	427	47.4%
Bos	9.1%	11.8	7	190	319	173	28.6%



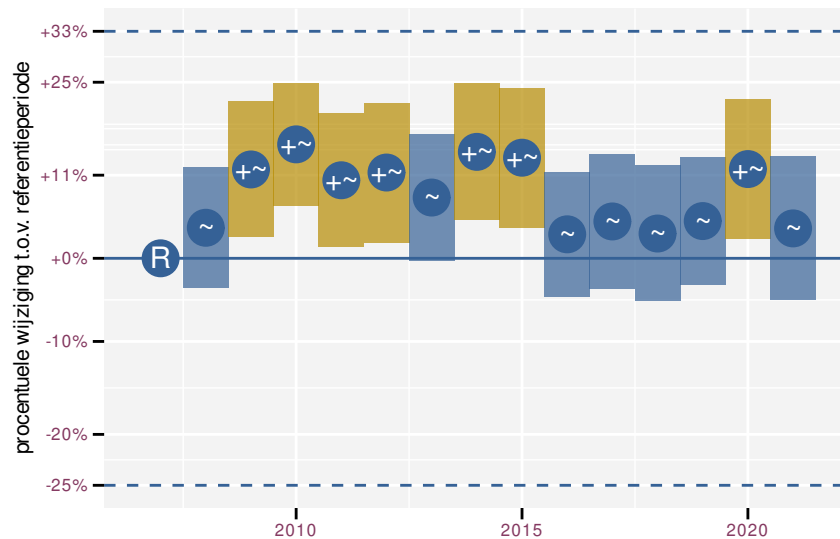
Figuur 28.5: Paarsgewijze vergelijking tussen jaren voor Dodaars. Uitleg van de symbolen in tabel 3.1.



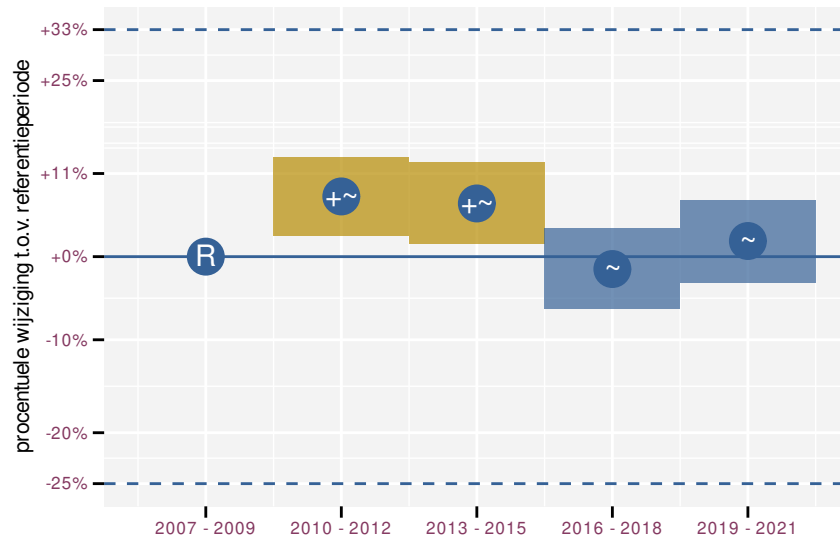
Figuur 28.6: Paarsgewijze vergelijking tussen driejarige cycli voor Dodaars. Uitleg van de symbolen in tabel 3.1.

Tabel 28.2: Data-hashes van de analyses in het kader van traceerbaarheid (zie §4.3).

frequentie	model	analyse	status
jaarlijks	niet-lineair	c956ea2358368fc9894f 5720041ce412f2320134	5271d9bcb641a7c406f5 45130ea0ac45e9af5392
jaarlijks	lineair	b5106574572523bf4dec a363f0d5f70ae267a364	68f1c0c40f1e47e4d355 a977fe0bce891f967912
driejaarlijks	niet-lineair	b2b4b385763127798324 d1b27b9faeb707b63685	e63a51a1766f98be25d1 58c860b235715442cfcb
driejaarlijks	lineair	b34f52b903a758e85d93 886ed6884249a231eb2d	f4446c460073485bec6f 5e78a6fffc8dc0a0d3f3



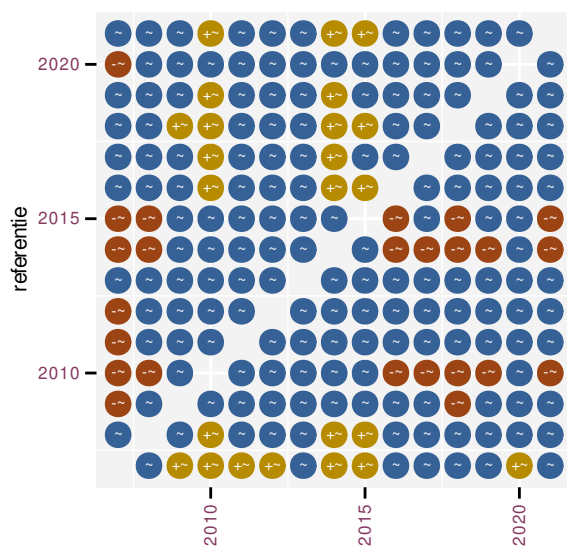
Figuur 29.3: Wijzigingen tussen jaren voor Ekster. Zie §3.1 voor een verklaring van de intervallen en §3.2 voor uitleg over de symbolen en referentielijnen.



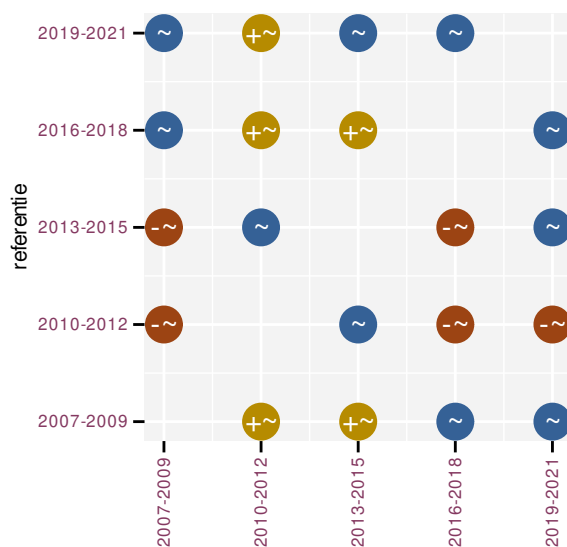
Figuur 29.4: Wijzigingen per driejarige cyclus voor Ekster. Zie §3.1 voor een verklaring van de intervallen en §3.2 voor uitleg over de symbolen en referentielijnen.

Tabel 29.1: Stratumgewicht, raming aan het aantal hokken waarin de soort aanwezig is, aantal relevant hokken voor de analyse, aantal onderzochte hokken in het stratum, totaal aantal hokken van het stratum in Vlaanderen, aantal bezoeken aan een meetpunt en het gemiddeld aandeel relevante punten per hok voor Ekster (zie §2.5).

stratum	gewicht	aanwezig	relevant	onderzocht	totaal	bezoeken	punten
Landbouw	85.7%	4501.6	306	429	6311	16675	81.5%
Urbaan	6.6%	344.3	72	87	416	4401	93.5%
Suburbaan	3.2%	168.5	57	68	201	3219	87.7%
Moeras en water	1.8%	92.5	54	80	137	2679	77.8%
Heide en duin	1.5%	78.3	37	94	199	1466	65.8%
Bos	1.3%	67.2	40	190	319	1929	60.4%



Figuur 29.5: Paarsgewijze vergelijking tussen jaren voor Ekster. Uitleg van de symbolen in tabel 3.1.



Figuur 29.6: Paarsgewijze vergelijking tussen driejarige cycli voor Ekster. Uitleg van de symbolen in tabel 3.1.

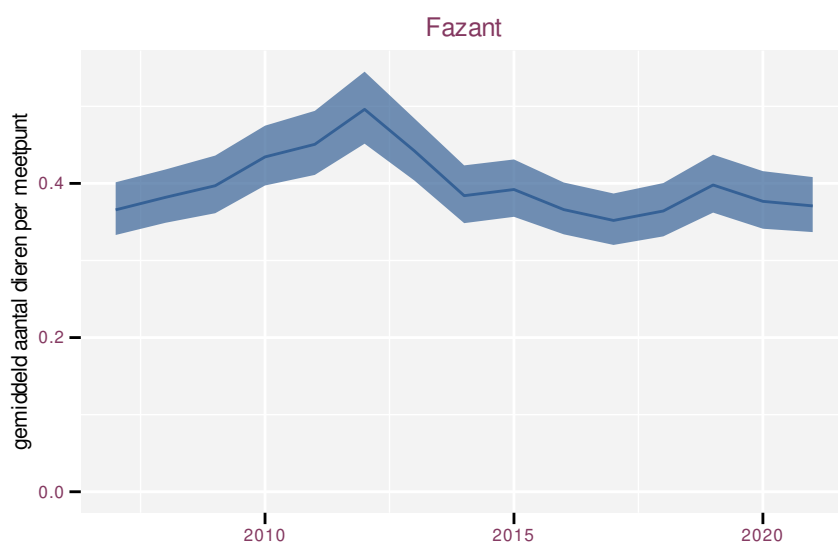
Tabel 29.2: Data-hashes van de analyses in het kader van traceerbaarheid (zie §4.3).

frequentie	model	analyse	status
jaarlijks	niet-lineair	5d04339e0c4781f7d2b0 437d0f6ad98342a8cdd0	f36095d634b00118eb2e 62359ad4592f92b67214
jaarlijks	lineair	81e8fe79995c3c238773 8f6926dc69452c44b22c	f9fc422d74cc36907c49 6a8f303eb6faf03807f3
driejaarlijks	niet-lineair	026519ad8ce73ee6f12a 65711bfcf1db0e0707b6	43bf8ae478ddaace83a1 7e674956a902e95c77ba
driejaarlijks	lineair	4b2bce400628bd8a2551 87deee5705e857a7feb1	512c2e10978c93299065 c6b4cb6008b5a6d0c0a7

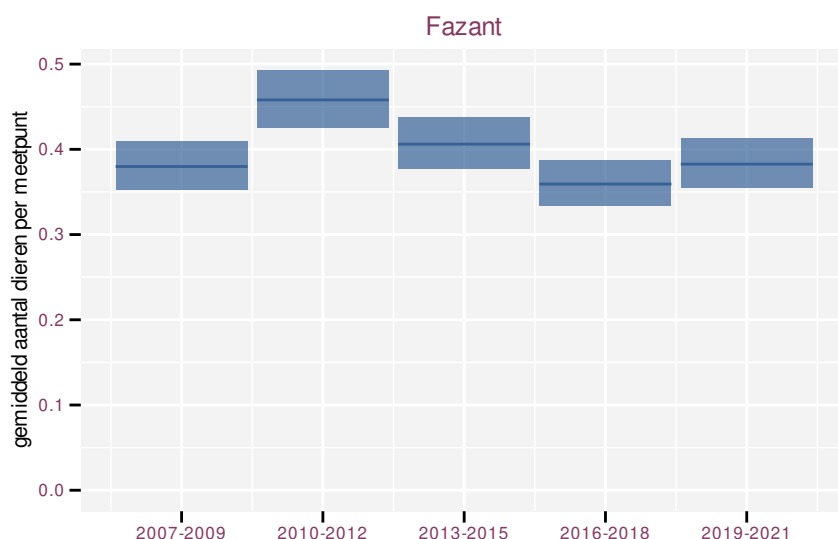
30 FAZANT

Op basis van jaarlijkse gegevens zien we gemiddeld matige afname -0.698% (-1.143%; -0.240%) per jaar of -9.3% (-14.9%; -3.3%) over de volledige looptijd van het meetnet. Deze trend is niet-lineair.

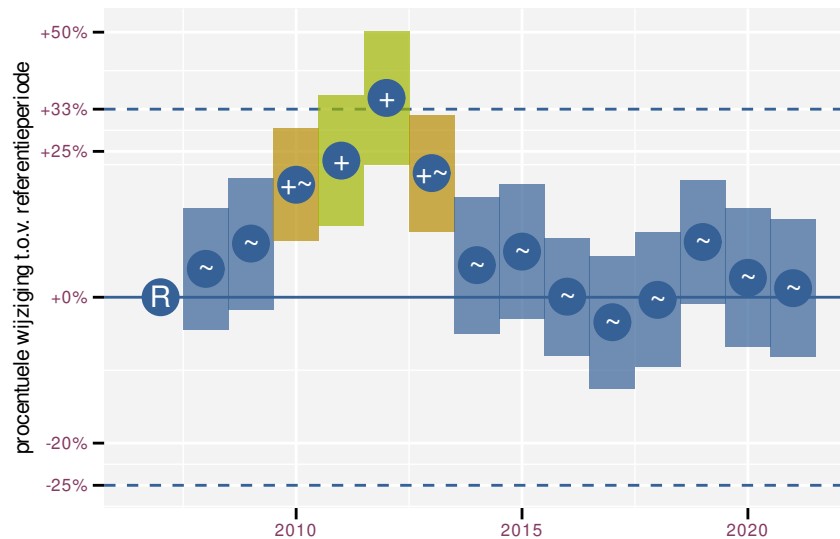
Op basis van driejaarlijkse gegevens zien we gemiddeld matige afname -0.724% (-1.180%; -0.266%) per jaar of -9.7% (-15.3%; -3.7%) over de volledige looptijd van het meetnet. Deze trend is niet-lineair.



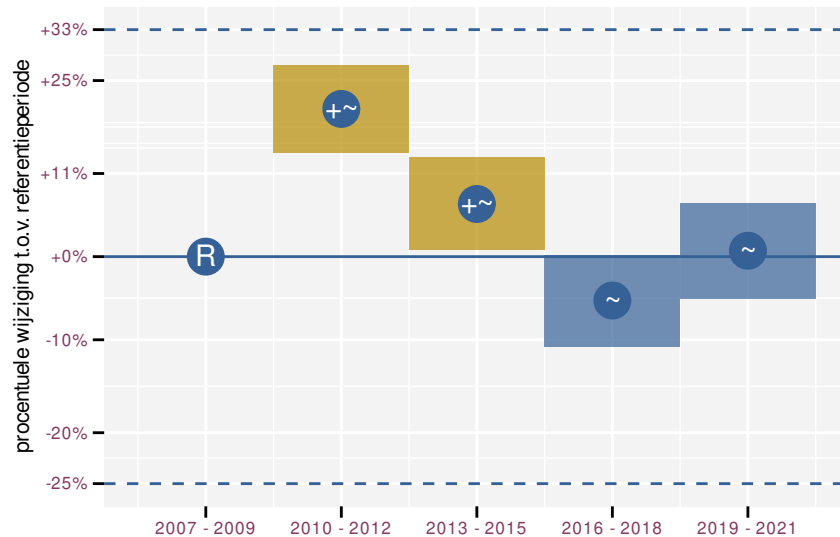
Figuur 30.1: Evolutie van het gemodelleerde gemiddeld aantal waargenomen dieren op een meetpunt voor Fazant tijdens de referentieperiode. Zie §3.1 voor een verklaring van de intervallen.



Figuur 30.2: Evolutie van het gemodelleerde gemiddeld aantal waargenomen dieren op een meetpunt voor Fazant tijdens de referentieperiode. Zie §3.1 voor een verklaring van de intervallen.



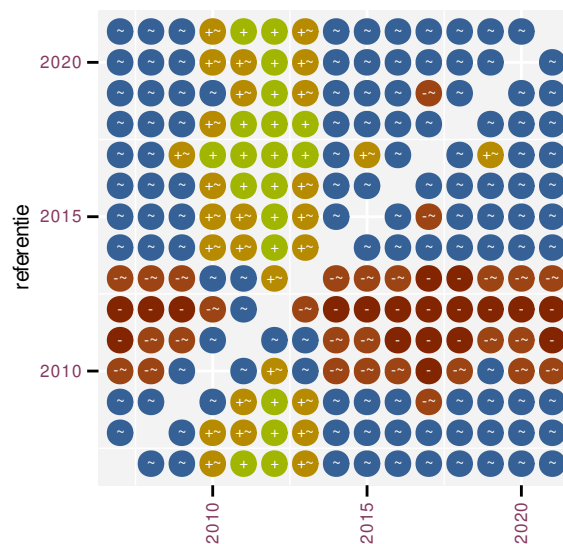
Figuur 30.3: Wijzigingen tussen jaren voor Fazant. Zie §3.1 voor een verklaring van de intervallen en §3.2 voor uitleg over de symbolen en referentielijnen.



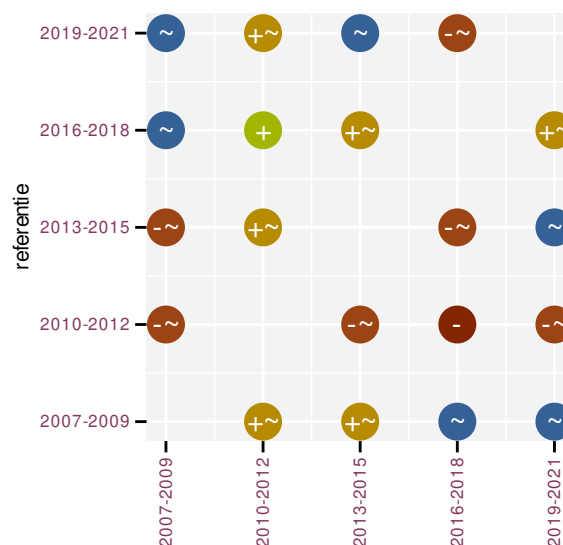
Figuur 30.4: Wijzigingen per driejarige cyclus voor Fazant. Zie §3.1 voor een verklaring van de intervallen en §3.2 voor uitleg over de symbolen en referentielijnen.

Tabel 30.1: Stratumgewicht, raming aan het aantal hokken waarin de soort aanwezig is, aantal relevant hokken voor de analyse, aantal onderzochte hokken in het stratum, totaal aantal hokken van het stratum in Vlaanderen, aantal bezoeken aan een meetpunt en het gemiddeld aandeel relevante punten per hok voor Fazant (zie §2.5).

stratum	gewicht	aanwezig	relevant	onderzocht	totaal	bezoeken	punten
Landbouw	93.3%	4177.9	284	429	6311	15569	81.2%
Heide en duin	1.7%	78.3	37	94	199	1751	64.0%
Moeras en water	1.5%	68.5	40	80	137	2125	77.9%
Bos	1.4%	63.8	38	190	319	2024	69.3%
Suburbaan	1.1%	47.3	16	68	201	600	61.5%
Urbaan	1.0%	47.8	10	87	416	307	38.3%



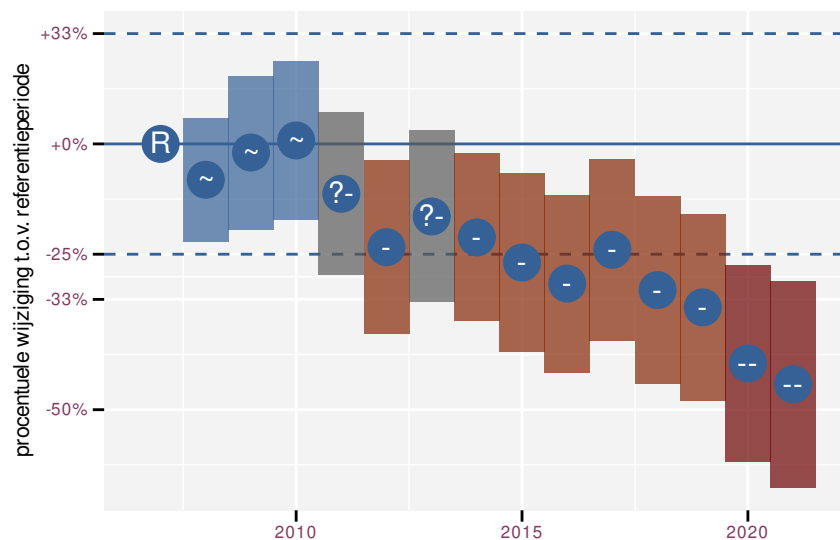
Figuur 30.5: Paarsgewijze vergelijking tussen jaren voor Fazant. Uitleg van de symbolen in tabel 3.1.



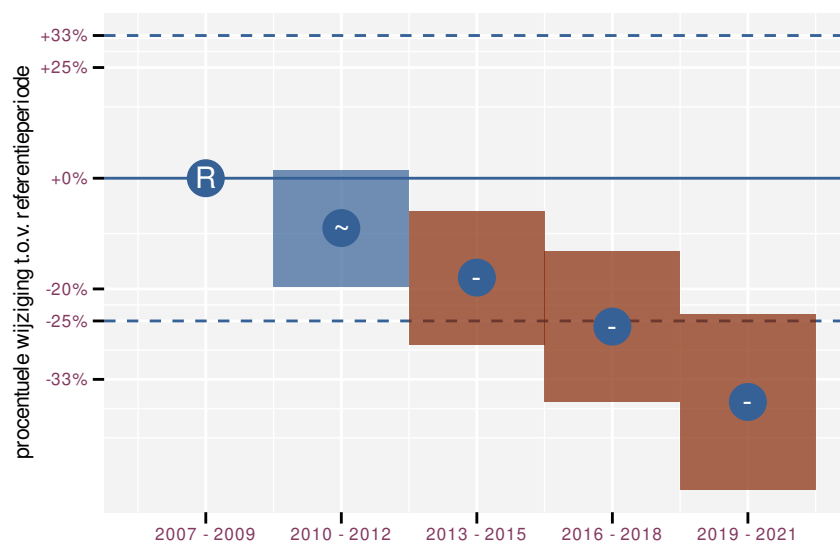
Figuur 30.6: Paarsgewijze vergelijking tussen driejarige cycli voor Fazant. Uitleg van de symbolen in tabel 3.1.

Tabel 30.2: Data-hashes van de analyses in het kader van traceerbaarheid (zie §4.3).

frequentie	model	analyse	status
jaarlijks	niet-lineair	3a4923b1e7314fa00427 afaa8cea94b4ed512ae1	6544f77b2f280cef2be e10d21ce5fab160a745c
jaarlijks	lineair	55452ea05a0236915922 931e7ce237e003e9270c	c33ea40d4afa4e314b4c c33c77d42c2f7a1fae45
driejaarlijks	niet-lineair	a74d1467169463a8a439 2b160f2351c04238039d	d9d4ade3b399cae350d1 18875197a0b374877e1d
driejaarlijks	lineair	20732b259d9d1efc40ae e83d66243f9ab70ba662	80e8fe702637a41f3bcd 68a6cb1d1c9b6cceac8a



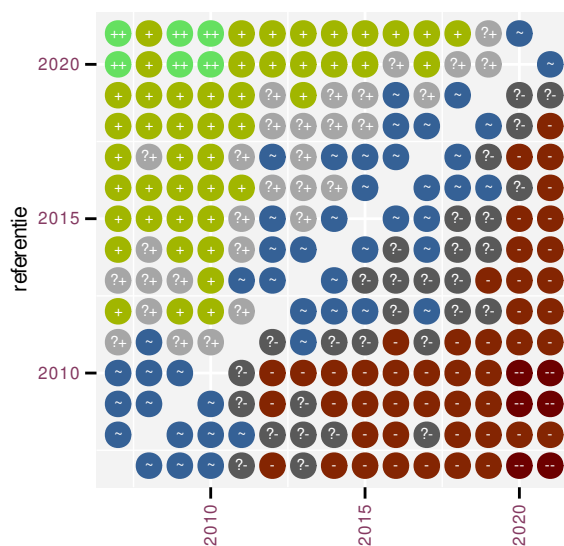
Figuur 31.3: Wijzigingen tussen jaren voor Fitis. Zie §3.1 voor een verklaring van de intervallen en §3.2 voor uitleg over de symbolen en referentielijnen.



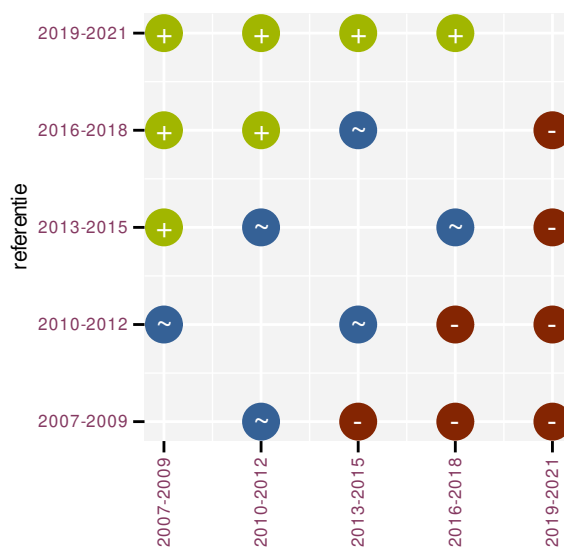
Figuur 31.4: Wijzigingen per driejarige cyclus voor Fitis. Zie §3.1 voor een verklaring van de intervallen en §3.2 voor uitleg over de symbolen en referentielijnen.

Tabel 31.1: Stratumgewicht, raming aan het aantal hokken waarin de soort aanwezig is, aantal relevant hokken voor de analyse, aantal onderzochte hokken in het stratum, totaal aantal hokken van het stratum in Vlaanderen, aantal bezoeken aan een meetpunt en het gemiddeld aandeel relevante punten per hok voor Fitis (zie §2.5).

stratum	gewicht	aanwezig	relevant	onderzocht	totaal	bezoeken	punten
Landbouw	49.2%	338.4	23	429	6311	914	52.9%
Heide en duin	23.4%	160.9	76	94	199	4055	81.1%
Bos	14.6%	100.7	60	190	319	3092	68.1%
Moeras en water	6.7%	46.2	27	80	137	1542	75.9%
Suburbaan	6.0%	41.4	14	68	201	380	61.9%



Figuur 31.5: Paarsgewijze vergelijking tussen jaren voor Fitis. Uitleg van de symbolen in tabel 3.1.



Figuur 31.6: Paarsgewijze vergelijking tussen driejarige cycli voor Fitis. Uitleg van de symbolen in tabel 3.1.

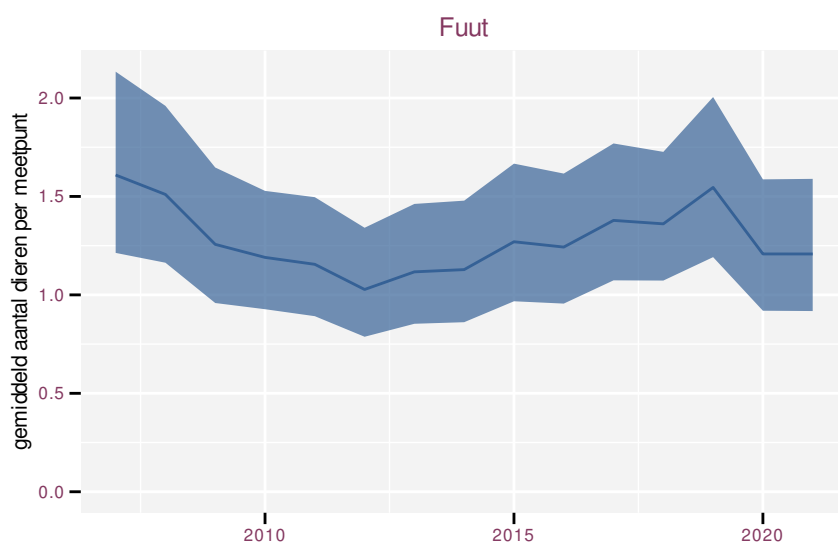
Tabel 31.2: Data-hashes van de analyses in het kader van traceerbaarheid (zie §4.3).

frequentie	model	analyse	status
jaarlijks	niet-lineair	2a03a0ef483f7563a957 98711fa55f6933cdcb8d	c49aed4343228304993f 8af76cc036d8648fb978
jaarlijks	lineair	0f8e0a8b4ad5db3c22bf fcd0ee1f541c2567623a	453bbde8be853a85f605 fcc06764cd484412ccbe
driejaarlijks	niet-lineair	2d65c232c9c0eca626f9 aca1cc3282b56477c3b2	bc12d73e6ebb33a37bf8 2e01c82316c04f348ce8
driejaarlijks	lineair	57a3c734ef21607d9e0a 90d46a04b0edf3233b08	ffcae70c0bc3401e5cc8 49821f7107dfdb4cacb6

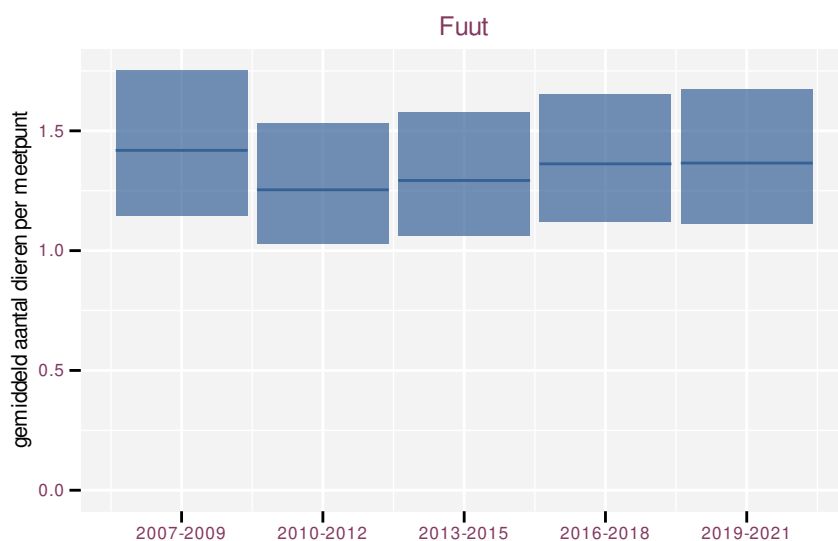
32 FUUT

Op basis van jaarlijkse gegevens zien we gemiddeld mogelijke afname -0.9% (-3.0%; +1.1%) per jaar of -12% (-34%; +17%) over de volledige looptijd van het meetnet. Deze trend is niet-lineair.

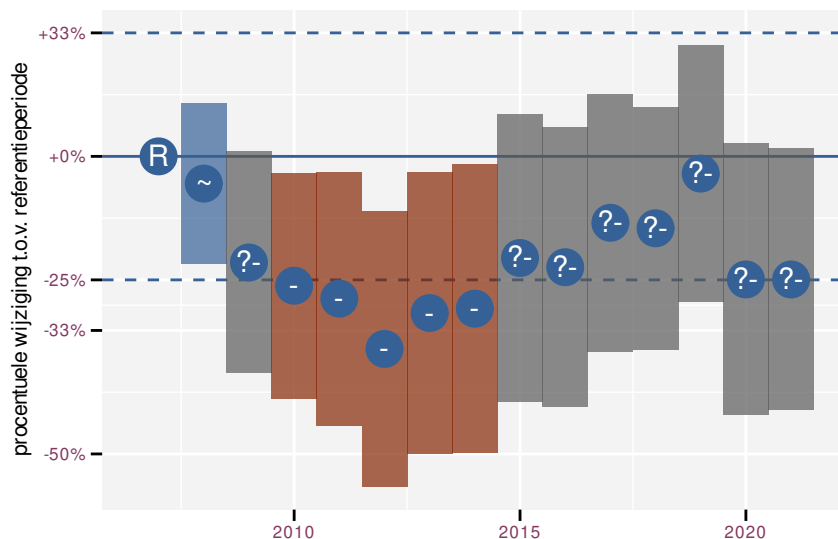
Op basis van driejaarlijkse gegevens zien we gemiddeld mogelijke afname -0.8% (-3.0%; +1.5%) per jaar of -11% (-35%; +22%) over de volledige looptijd van het meetnet. Deze trend is niet-lineair.



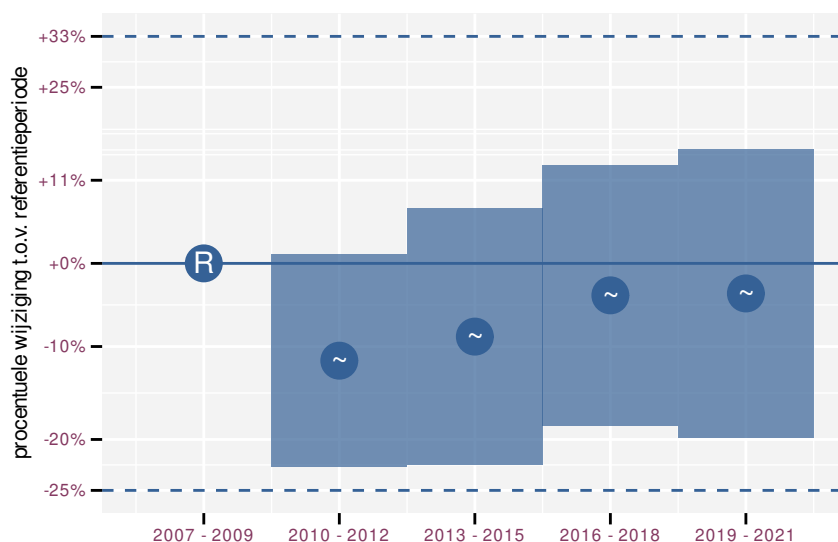
Figuur 32.1: Evolutie van het gemodelleerde gemiddeld aantal waargenomen dieren op een meetpunt voor Fuut tijdens de referentieperiode. Zie §3.1 voor een verklaring van de intervallen.



Figuur 32.2: Evolutie van het gemodelleerde gemiddeld aantal waargenomen dieren op een meetpunt voor Fuut tijdens de referentieperiode. Zie §3.1 voor een verklaring van de intervallen.



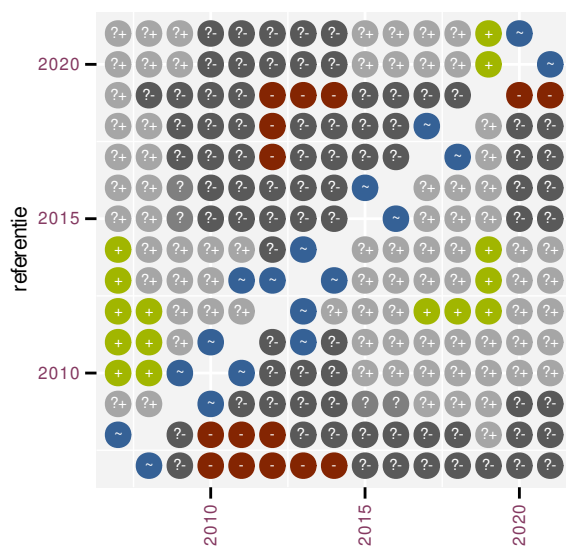
Figuur 32.3: Wijzigingen tussen jaren voor Fuut. Zie §3.1 voor een verklaring van de intervallen en §3.2 voor uitleg over de symbolen en referentielijnen.



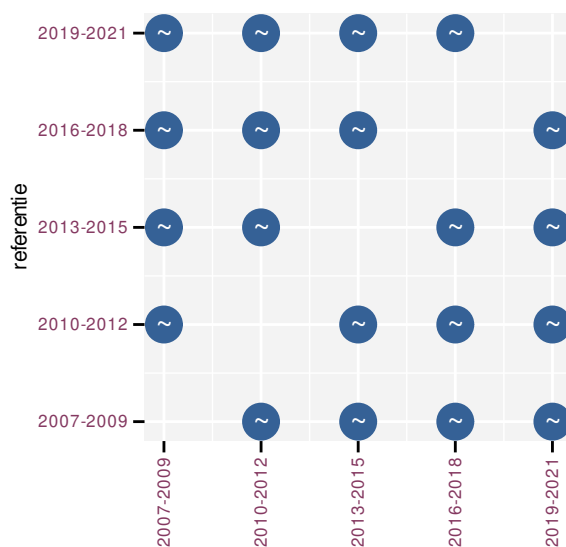
Figuur 32.4: Wijzigingen per driejarige cyclus voor Fuut. Zie §3.1 voor een verklaring van de intervallen en §3.2 voor uitleg over de symbolen en referentielijnen.

Tabel 32.1: Stratumgewicht, raming aan het aantal hokken waarin de soort aanwezig is, aantal relevant hokken voor de analyse, aantal onderzochte hokken in het stratum, totaal aantal hokken van het stratum in Vlaanderen, aantal bezoeken aan een meetpunt en het gemiddeld aandeel relevante punten per hok voor Fuut (zie §2.5).

stratum	gewicht	aanwezig	relevant	onderzocht	totaal	bezoeken	punten
Landbouw	47.0%	88.3	6	429	6311	154	38.9%
Moeras en water	37.4%	70.2	41	80	137	1538	56.1%
Heide en duin	10.2%	19.1	9	94	199	176	31.5%
Bos	5.4%	11.8	7	190	319	143	26.2%



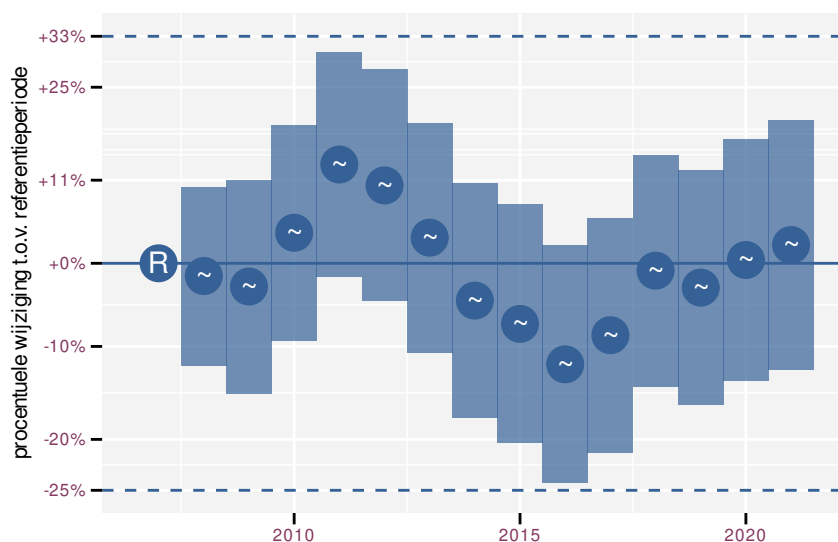
Figuur 32.5: Paarsgewijze vergelijking tussen jaren voor Fuut. Uitleg van de symbolen in tabel 3.1.



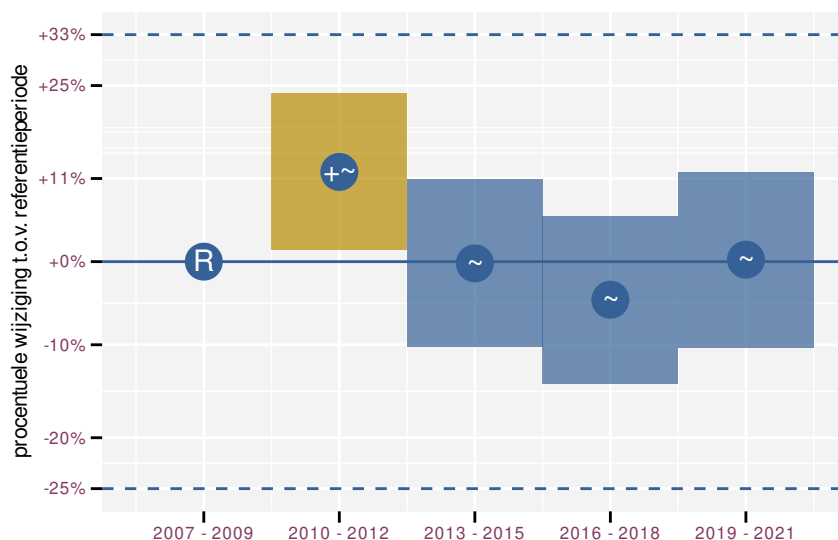
Figuur 32.6: Paarsgewijze vergelijking tussen driejarige cycli voor Fuut. Uitleg van de symbolen in tabel 3.1.

Tabel 32.2: Data-hashes van de analyses in het kader van traceerbaarheid (zie §4.3).

frequentie	model	analyse	status
jaarlijks	niet-lineair	35f80a7d9911dfd07111 aae21afe9754555ea2a	d49b2ac15dbc6c73216e 96455135cbe379e8313d
jaarlijks	lineair	adf4a2322dda65413cf8 1cff3baae2805c81b0a	9049ff5d8f5a7fb2b784 72250e6c3b7b12199469
driejaarlijks	niet-lineair	a0a3bd608617ce8d0a27 15290f2b5244f88aca41	48ec78c60fba8e3817c9 62d9227bea605c6685ba
driejaarlijks	lineair	3708c04bce781792e68c 2022fedd834d08ff2a50	ef6ef1373a9c11a46929 3da22c3236ba5eba846b



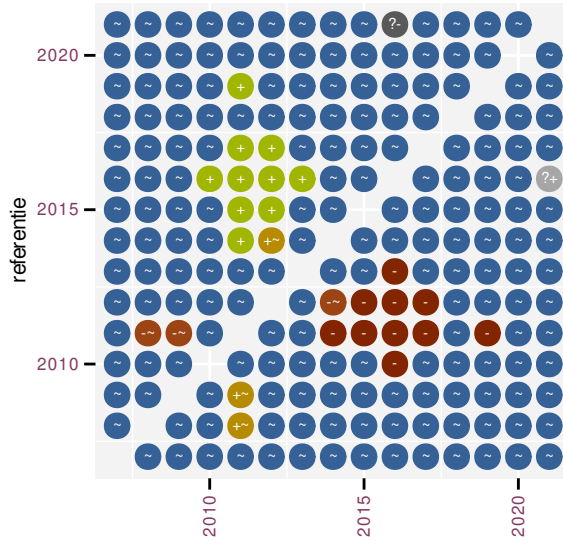
Figuur 33.3: Wijzigingen tussen jaren voor Gaai. Zie §3.1 voor een verklaring van de intervallen en §3.2 voor uitleg over de symbolen en referentielijnen.



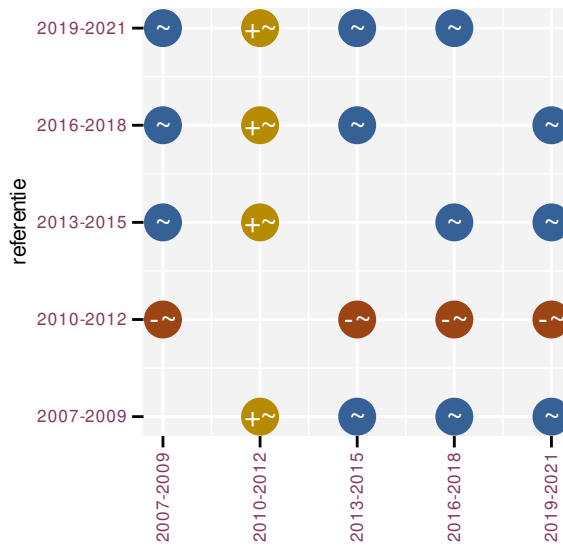
Figuur 33.4: Wijzigingen per driejarige cyclus voor Gaai. Zie §3.1 voor een verklaring van de intervallen en §3.2 voor uitleg over de symbolen en referentielijnen.

Tabel 33.1: Stratumgewicht, raming aan het aantal hokken waarin de soort aanwezig is, aantal relevant hokken voor de analyse, aantal onderzochte hokken in het stratum, totaal aantal hokken van het stratum in Vlaanderen, aantal bezoeken aan een meetpunt en het gemiddeld aandeel relevante punten per hok voor Gaai (zie §2.5).

stratum	gewicht	aanwezig	relevant	onderzocht	totaal	bezoeken	punten
Landbouw	79.7%	2765.7	188	429	6311	8069	60.2%
Bos	6.5%	225.0	134	190	319	7544	79.5%
Urbaan	5.6%	196.0	41	87	416	1631	52.4%
Heide en duin	3.6%	124.9	59	94	199	2985	70.1%
Suburbaan	2.4%	82.8	28	68	201	1178	64.9%
Moeras en water	2.2%	77.1	45	80	137	2175	70.7%



Figuur 33.5: Paarsgewijze vergelijking tussen jaren voor Gaai. Uitleg van de symbolen in tabel 3.1.



Figuur 33.6: Paarsgewijze vergelijking tussen driejarige cycli voor Gaai. Uitleg van de symbolen in tabel 3.1.

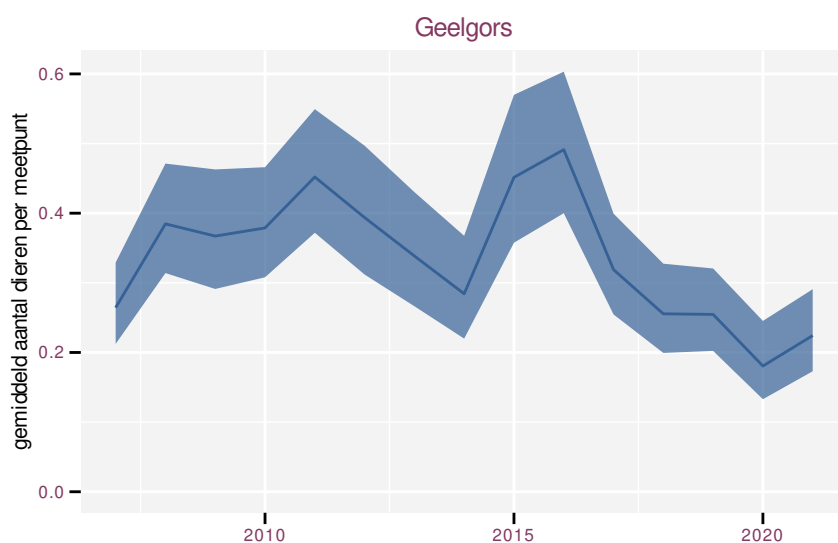
Tabel 33.2: Data-hashes van de analyses in het kader van traceerbaarheid (zie §4.3).

frequentie	model	analyse	status
jaarlijks	niet-lineair	e4cd70c61211b5ef569d e3654a888d1d5ef4b278	d1b2915d066020e823e1 f94e842d26d71d1ecb57
jaarlijks	lineair	f89b1ff86d86e8e0d118 e9da2d96e4716d137ef4	1ae267edc3132c997eb9 d8313eba87adce1fdde8
driejaarlijks	niet-lineair	08ec05e37d328ca7544a b9d7900a40cbfa10b1a3	13513c6fe841418eb7f2 c0d8386a22d1e585bad5
driejaarlijks	lineair	dd84f0348f5755d9dc1d c38c93d140bedc5f5042	bf235e3b374f189e15c1 58b3959f5d35fcd87083

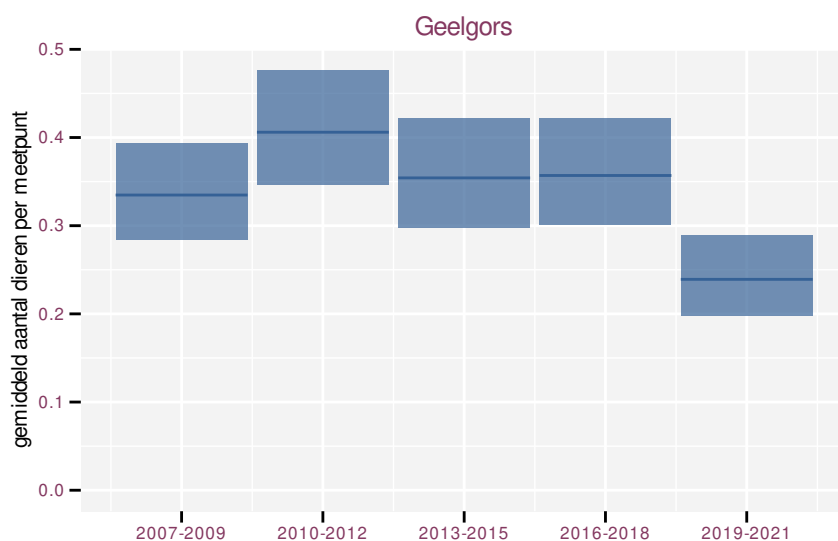
34 GEELGORS

Op basis van jaarlijkse gegevens zien we gemiddeld afname -2.1% (-3.3%; -0.9%) per jaar of -26% (-37%; -12%) over de volledige looptijd van het meetnet. Deze trend is niet-lineair.

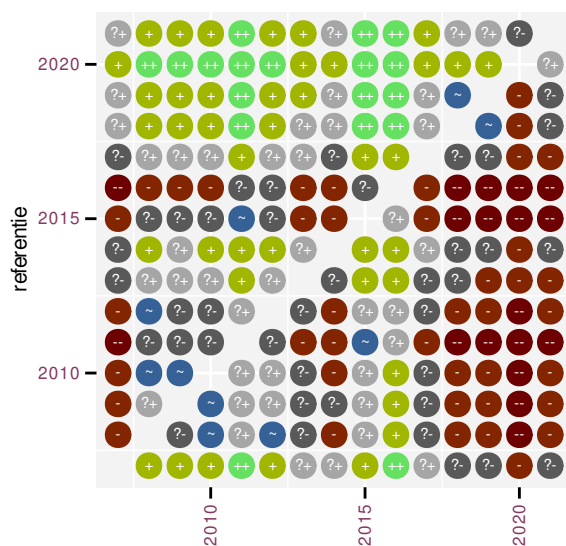
Op basis van driejaarlijkse gegevens zien we gemiddeld afname -2.1% (-3.3%; -1.0%) per jaar of -26% (-38%; -13%) over de volledige looptijd van het meetnet. Deze trend is niet-lineair.



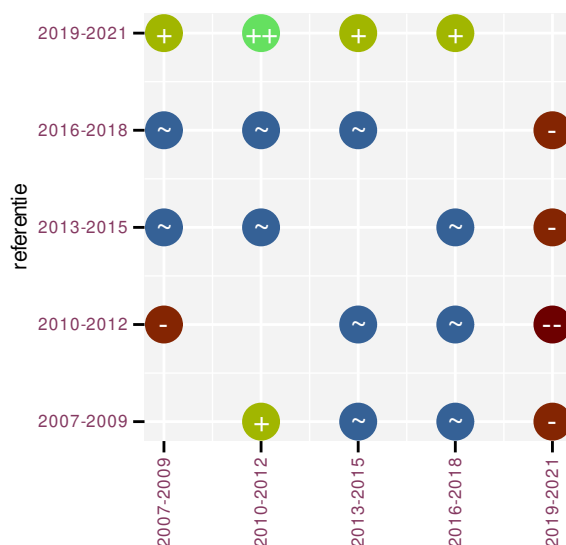
Figuur 34.1: Evolutie van het gemodelleerde gemiddeld aantal waargenomen dieren op een meetpunt voor Geelgors tijdens de referentieperiode. Zie §3.1 voor een verklaring van de intervallen.



Figuur 34.2: Evolutie van het gemodelleerde gemiddeld aantal waargenomen dieren op een meetpunt voor Geelgors tijdens de referentieperiode. Zie §3.1 voor een verklaring van de intervallen.



Figuur 34.5: Paarsgewijze vergelijking tussen jaren voor Geelgors. Uitleg van de symbolen in tabel 3.1.



Figuur 34.6: Paarsgewijze vergelijking tussen driejarige cycli voor Geelgors. Uitleg van de symbolen in tabel 3.1.

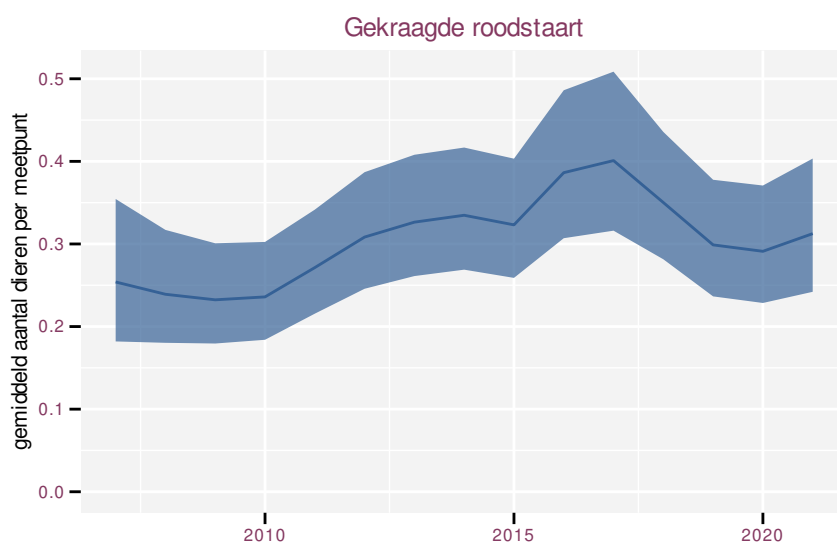
Tabel 34.2: Data-hashes van de analyses in het kader van traceerbaarheid (zie §4.3).

frequentie	model	analyse	status
jaarlijks	niet-lineair	2cd4f5dd3afa025a519c f437504004a7dd7780da	b0aee69115e82df42a34 c9e6c1283871a37d0c49
jaarlijks	lineair	804df4b250984cf2a57f 479ad4bcf79d73ac68bb	fb716df76123435af4b2 7c76959ccdc5f92f13bd
driejaarlijks	niet-lineair	1e3fa1d19580a1f119a3 da26a43fa302b00f2ec3	f362ff5ea7744aed06db a0ccd56aeb8ddc0be8b5
driejaarlijks	lineair	850dffeca2ce88422c69 19f3d8bb9e90eb137fd9	dfc69f881746ad51f803 3afcd0107f45a6f6b8a5

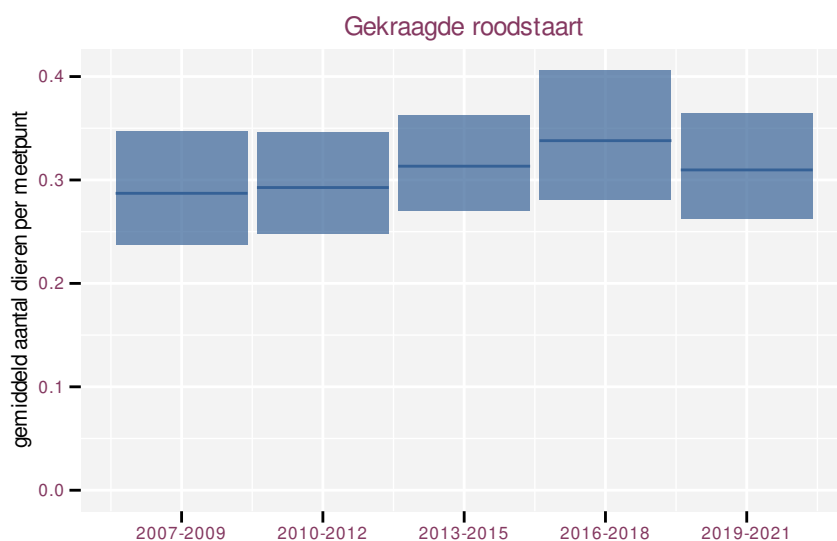
35 GEKRAAGDE ROODSTAART

Op basis van jaarlijkse gegevens zien we gemiddeld mogelijke toename +2.2% (-0.3%; +4.8%) per jaar of +35% (-5%; +92%) over de volledige looptijd van het meetnet. Deze trend is niet-lineair.

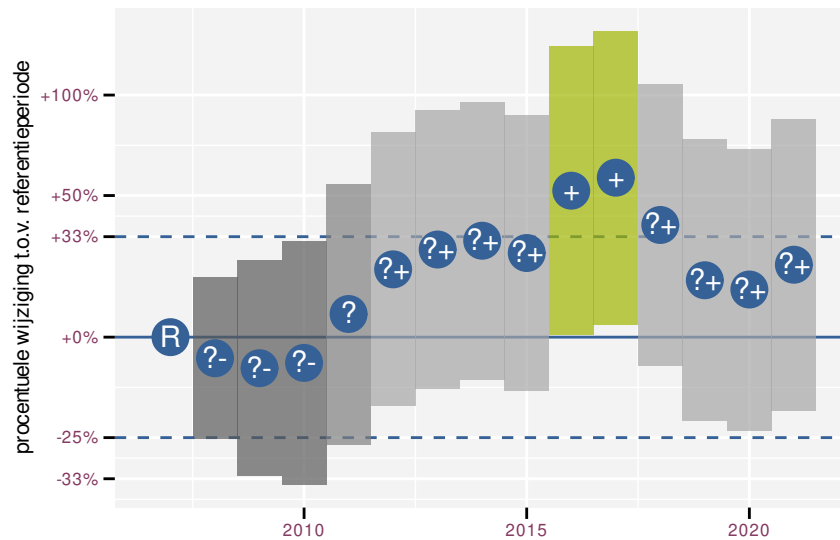
Op basis van driejaarlijkse gegevens zien we gemiddeld mogelijke toename +2.4% (-0.2%; +5.0%) per jaar of +39% (-3%; +97%) over de volledige looptijd van het meetnet. Deze trend is niet-lineair.



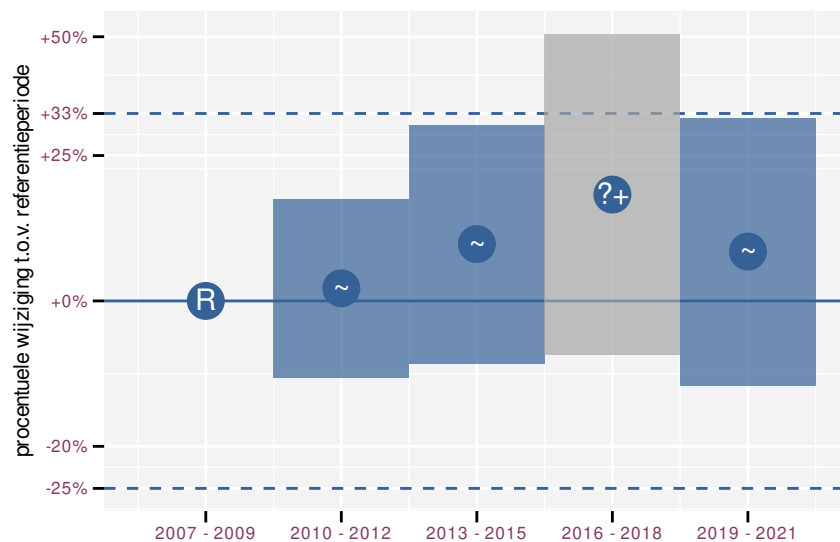
Figuur 35.1: Evolutie van het gemodelleerde gemiddeld aantal waargenomen dieren op een meetpunt voor Gekraagde roodstaart tijdens de referentieperiode. Zie §3.1 voor een verklaring van de intervallen.



Figuur 35.2: Evolutie van het gemodelleerde gemiddeld aantal waargenomen dieren op een meetpunt voor Gekraagde roodstaart tijdens de referentieperiode. Zie §3.1 voor een verklaring van de intervallen.



Figuur 35.3: Wijzigingen tussen jaren voor Gekraagde roodstaart. Zie §3.1 voor een verklaring van de intervallen en §3.2 voor uitleg over de symbolen en referentielijnen.



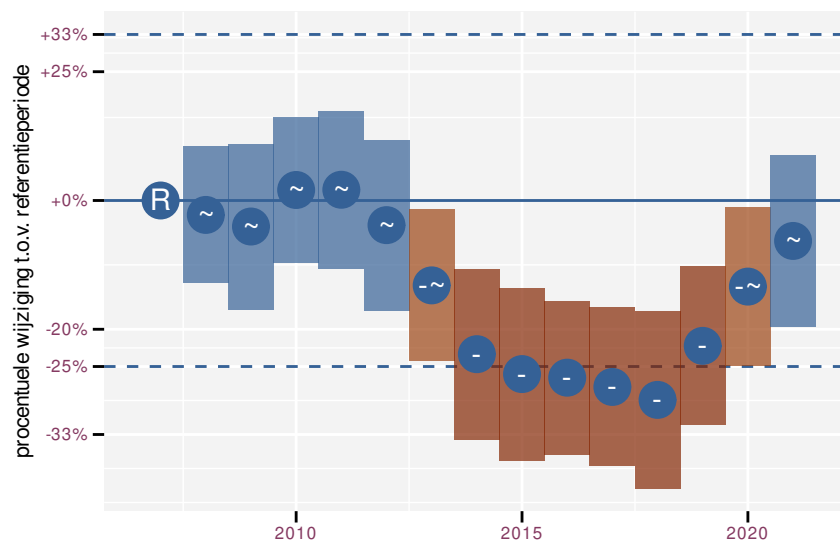
Figuur 35.4: Wijzigingen per driejarige cyclus voor Gekraagde roodstaart. Zie §3.1 voor een verklaring van de intervallen en §3.2 voor uitleg over de symbolen en referentielijnen.

Tabel 35.1: Stratumgewicht, raming aan het aantal hokken waarin de soort aanwezig is, aantal relevant hokken voor de analyse, aantal onderzochte hokken in het stratum, totaal aantal hokken van het stratum in Vlaanderen, aantal bezoeken aan een meetpunt en het gemiddeld aandeel relevante punten per hok voor Gekraagde roodstaart (zie §2.5).

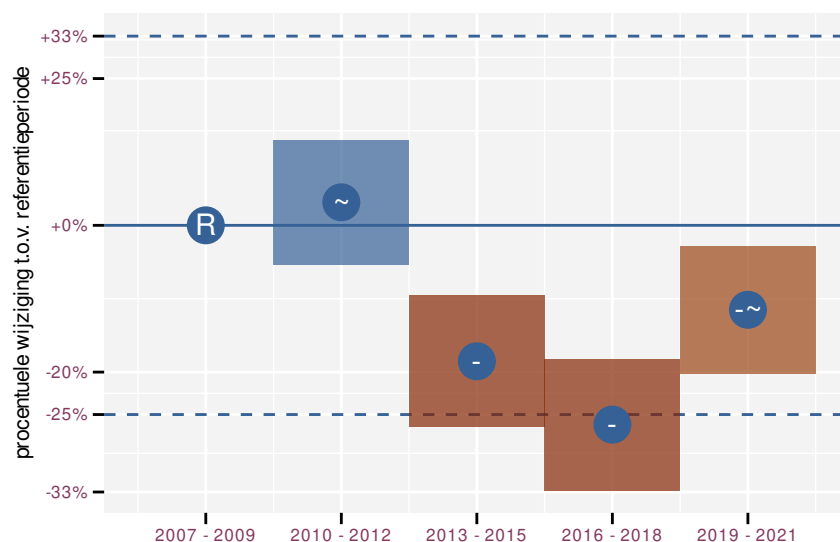
stratum	gewicht	aanwezig	relevant	onderzocht	totaal	bezoeken	punten
Landbouw	50.8%	147.1	10	429	6311	267	51.7%
Heide en duin	29.2%	76.2	36	94	199	1176	59.7%
Bos	18.0%	47.0	28	190	319	946	58.9%
Moeras en water	2.0%	6.8	4	80	137	101	45.8%

Tabel 35.2: Data-hashes van de analyses in het kader van traceerbaarheid (zie §4.3).

frequentie	model	analyse	status
jaarlijks	niet-lineair	66f94db69c14a66034a2 14ea2db253ecaf5629c7	7769b5f8e2f6f33e81eb 6d5df81076ec8a73bf2d
jaarlijks	lineair	f81d04f348e6266cff4f a0ced80d31192d4fd6b8	9e44944a7d8f7979f8ce d97cb5711c6b23dc7746
driejaarlijks	niet-lineair	bb40ecd760e1ec1843c7 f628615a2aad6d49061e	41f17a78ef90e12e9de9 d50eadb45d19197a7650
driejaarlijks	lineair	e950c9fa827f22fd3b6d f0cc25eb7d5d8ceadb9	4ba42de1486deb1dc3d5 7b9f825e2132fb996e66



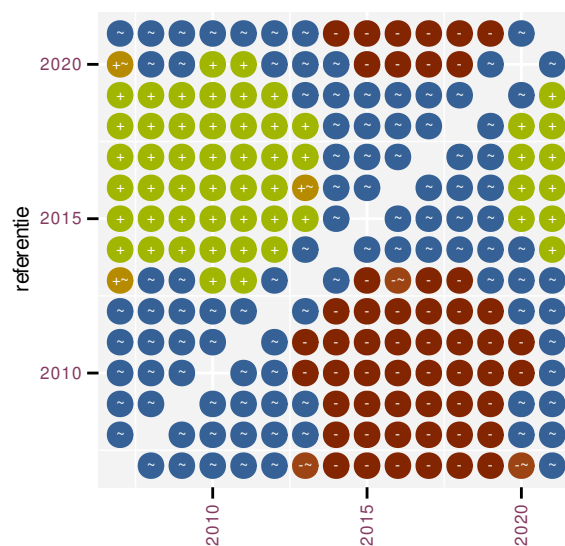
Figuur 36.3: Wijzigingen tussen jaren voor Gele kwikstaart. Zie §3.1 voor een verklaring van de intervallen en §3.2 voor uitleg over de symbolen en referentielijnen.



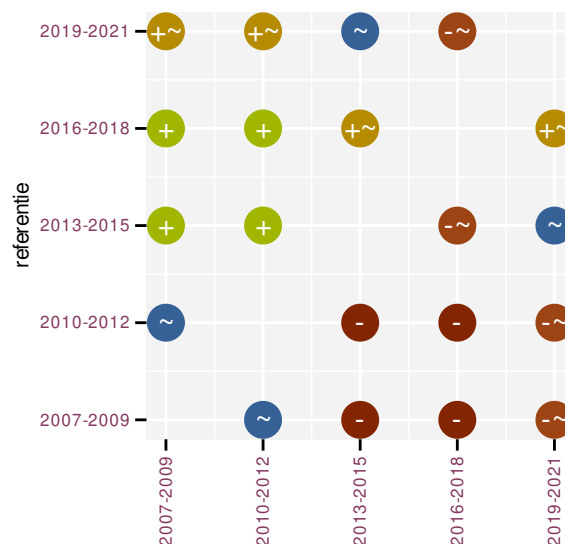
Figuur 36.4: Wijzigingen per driejarige cyclus voor Gele kwikstaart. Zie §3.1 voor een verklaring van de intervallen en §3.2 voor uitleg over de symbolen en referentielijnen.

Tabel 36.1: Stratungewicht, raming aan het aantal hokken waarin de soort aanwezig is, aantal relevant hokken voor de analyse, aantal onderzochte hokken in het stratum, totaal aantal hokken van het stratum in Vlaanderen, aantal bezoeken aan een meetpunt en het gemiddeld aandeel relevante punten per hok voor Gele kwikstaart (zie §2.5).

stratum	gewicht	aanwezig	relevant	onderzocht	totaal	bezoeken	punten
Landbouw	99.5%	2589.1	176	429	6311	7566	61.1%
Moeras en water	0.5%	13.7	8	80	137	283	56.2%



Figuur 36.5: Paarsgewijze vergelijking tussen jaren voor Gele kwikstaart. Uitleg van de symbolen in tabel 3.1.



Figuur 36.6: Paarsgewijze vergelijking tussen driejarige cycli voor Gele kwikstaart. Uitleg van de symbolen in tabel 3.1.

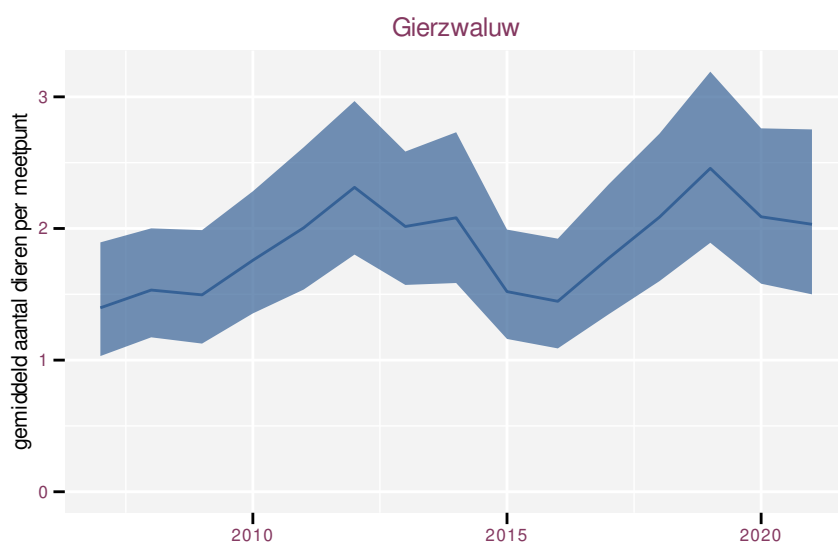
Tabel 36.2: Data-hashes van de analyses in het kader van traceerbaarheid (zie §4.3).

frequentie	model	analyse	status
jaarlijks	niet-lineair	544685a14a51f19c4ab3 bf57230e7fe74d4879d4	d702cb249c2d0c411af4 e2b1493483c8f0d1695b
jaarlijks	lineair	d27831c7a4d3343639c2 e594bde749076f1a5ae2	db3c7c3c22b1b3c3c695 32149f4ea0d08531a901
driejaarlijks	niet-lineair	db5d6bdfcf7cb02d3e1f 098b9dc4ec9f6e6dfc07	24b2537b77ee635afc8b 8a8a80c527610e9878a2
driejaarlijks	lineair	564ca052433e32a72d50 9e613a6e0a875d944092	9f95088554577f8ebaae 7e05588d9fa0b2726ec0

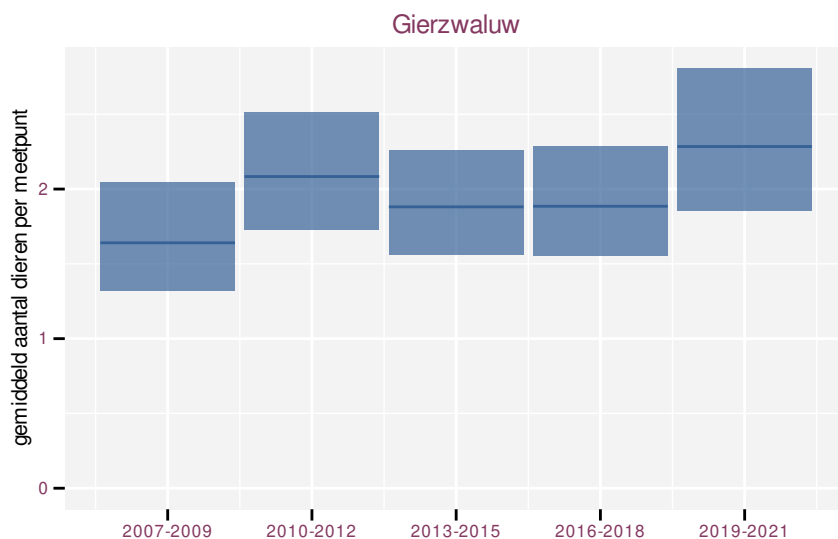
37 GIERZWALUW

Op basis van jaarlijkse gegevens zien we gemiddeld toename +2.6% (+0.3%; +5.0%) per jaar of +44% (+5%; +97%) over de volledige looptijd van het meetnet. Deze trend is niet-lineair.

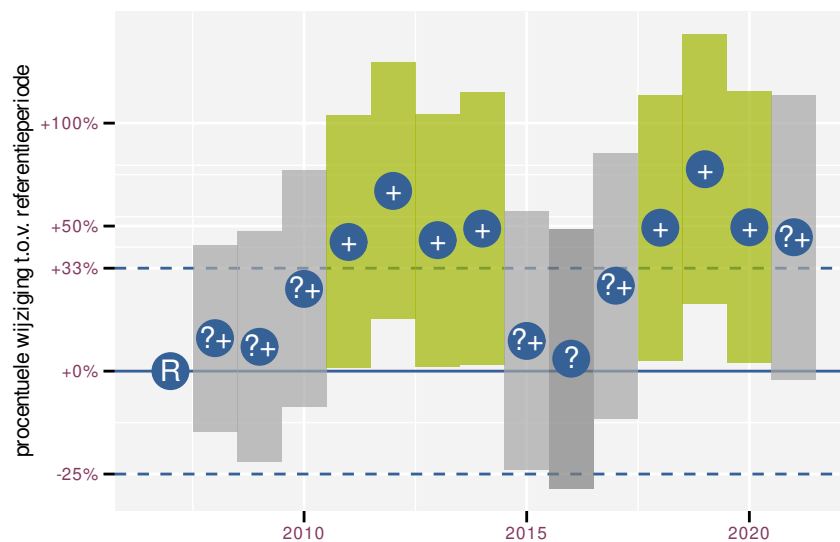
Op basis van driejaarlijkse gegevens zien we gemiddeld toename +3.0% (+0.7%; +5.4%) per jaar of +51.1% (+9.8%; +108.0%) over de volledige looptijd van het meetnet. Deze trend is niet-lineair.



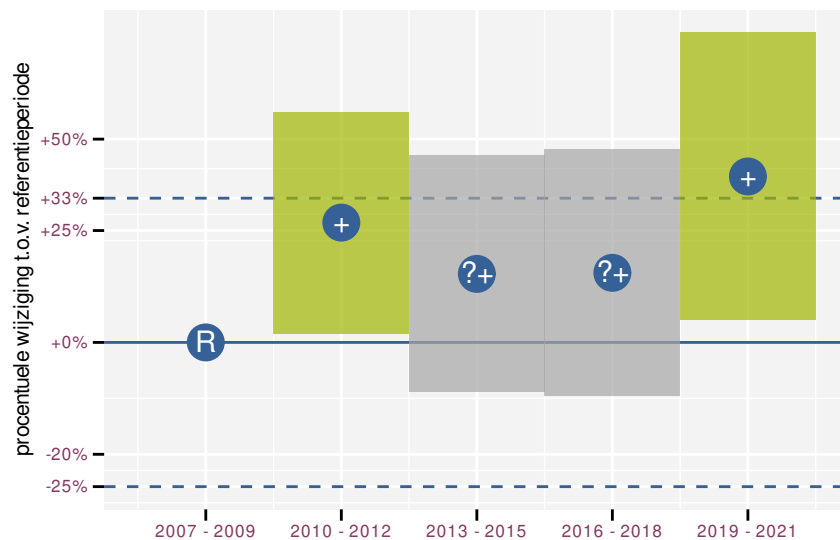
Figuur 37.1: Evolutie van het gemodelleerde gemiddeld aantal waargenomen dieren op een meetpunt voor Gierzwaluw tijdens de referentieperiode. Zie §3.1 voor een verklaring van de intervallen.



Figuur 37.2: Evolutie van het gemodelleerde gemiddeld aantal waargenomen dieren op een meetpunt voor Gierzwaluw tijdens de referentieperiode. Zie §3.1 voor een verklaring van de intervallen.



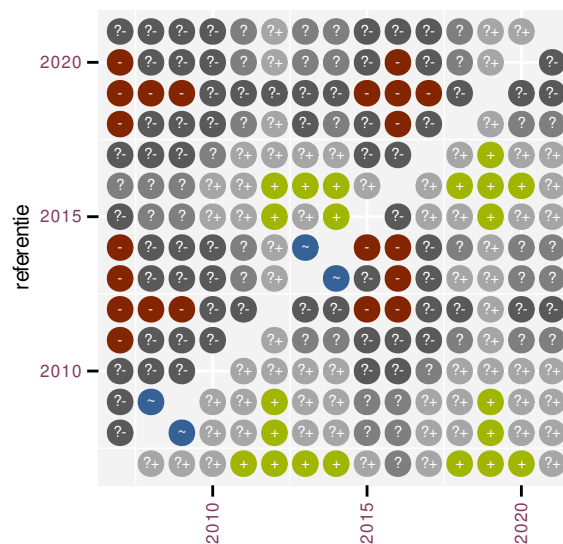
Figuur 37.3: Wijzigingen tussen jaren voor Gierzwaluw. Zie §3.1 voor een verklaring van de intervallen en §3.2 voor uitleg over de symbolen en referentielijnen.



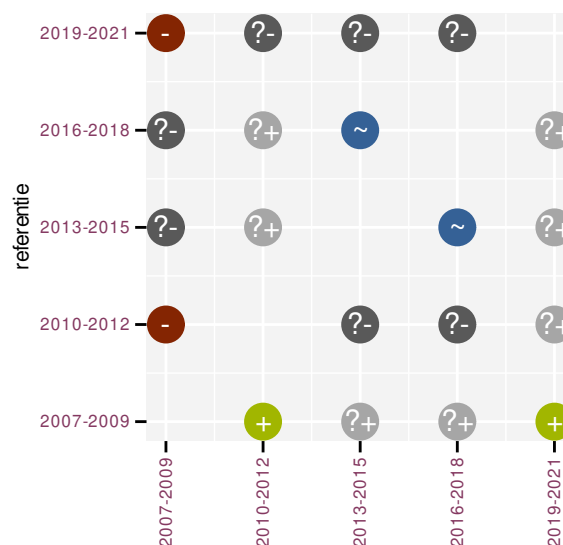
Figuur 37.4: Wijzigingen per driejarige cyclus voor Gierzwaluw. Zie §3.1 voor een verklaring van de intervallen en §3.2 voor uitleg over de symbolen en referentielijnen.

Tabel 37.1: Stratumgewicht, raming aan het aantal hokken waarin de soort aanwezig is, aantal relevant hokken voor de analyse, aantal onderzochte hokken in het stratum, totaal aantal hokken van het stratum in Vlaanderen, aantal bezoeken aan een meetpunt en het gemiddeld aandeel relevante punten per hok voor Gierzwaluw (zie §2.5).

stratum	gewicht	aanwezig	relevant	onderzocht	totaal	bezoeken	punten
Landbouw	58.1%	559.0	38	429	6311	804	42.1%
Urbaan	28.3%	272.6	57	87	416	1933	80.7%
Suburbaan	6.1%	59.1	20	68	201	713	69.2%
Moeras en water	3.6%	34.2	20	80	137	597	60.0%
Heide en duin	2.9%	27.5	13	94	199	301	55.1%
Bos	1.0%	11.8	7	190	319	146	40.5%



Figuur 37.5: Paarsgewijze vergelijking tussen jaren voor Gierzwaluw. Uitleg van de symbolen in tabel 3.1.



Figuur 37.6: Paarsgewijze vergelijking tussen driejarige cycli voor Gierzwaluw. Uitleg van de symbolen in tabel 3.1.

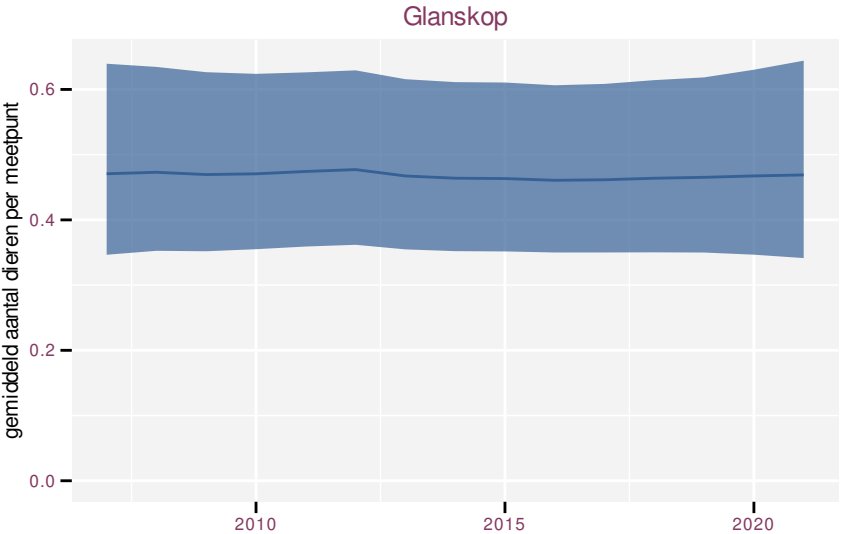
Tabel 37.2: Data-hashes van de analyses in het kader van traceerbaarheid (zie §4.3).

frequentie	model	analyse	status
jaarlijks	niet-lineair	c1ac4b2f5aab42b7299 722e6844d07ef9cd1c69	4ac16703c1102cc2b13b 1aab09710edc337d17e6
jaarlijks	lineair	94a531f9de008dba14ec 492cffb3f2767ff4c63a	6d60bca4ca6b5e014a4d 4c65383491b2a25d55ac
driejaarlijks	niet-lineair	957f312f9df677460565 7ee88023109c84c1cb38	51e8c1970626a17836e0 3ec0ba68a9c2d8473024
driejaarlijks	lineair	66279b3723d3a68478b7 31aab7872c75baccfcfb	7b3874141a98859fe929 4c1048e8e5d709f4a9bb

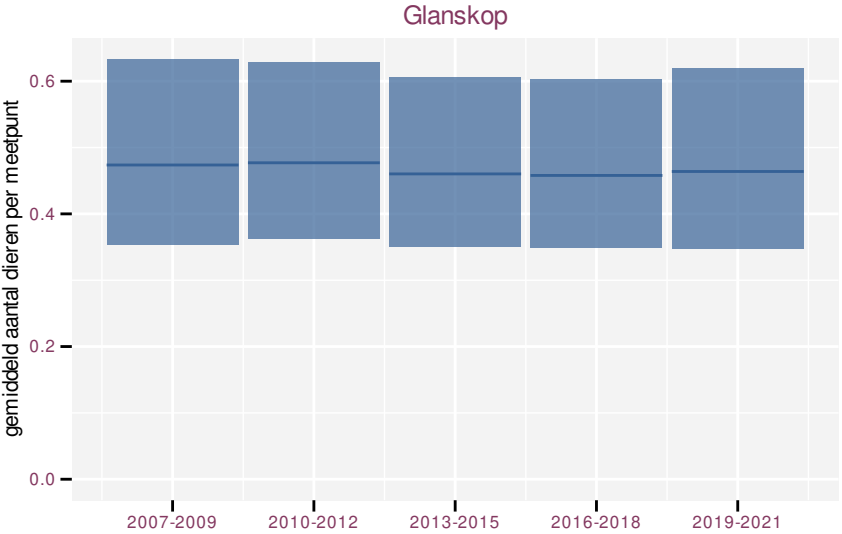
38 GLANSKOP

Op basis van jaarlijkse gegevens zien we gemiddeld onduidelijk +0.4% (-4.0%; +5.0%) per jaar of +10% (-40%; +100%) over de volledige looptijd van het meetnet. Deze trend is mogelijk niet-lineair.

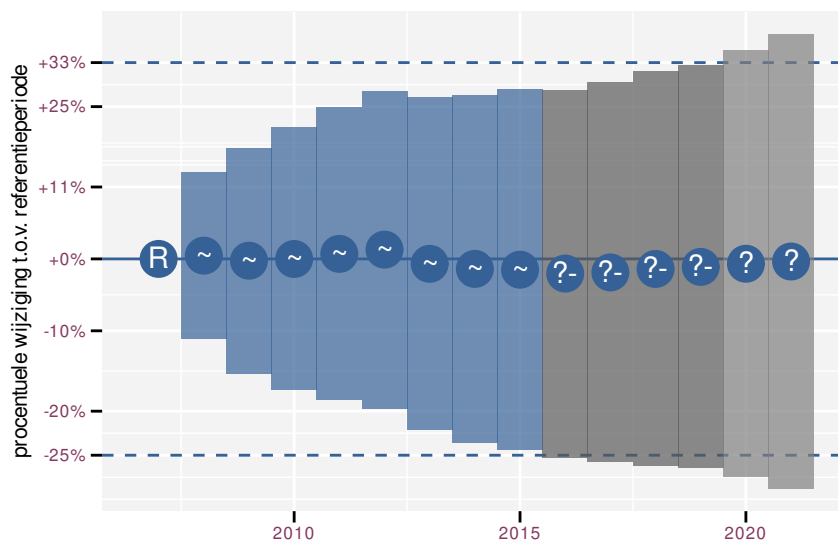
Op basis van driejaarlijkse gegevens zien we gemiddeld onduidelijk +0.2% (-4.1%; +4.7%) per jaar of +0% (-40%; +90%) over de volledige looptijd van het meetnet. Deze trend is mogelijk niet-lineair.



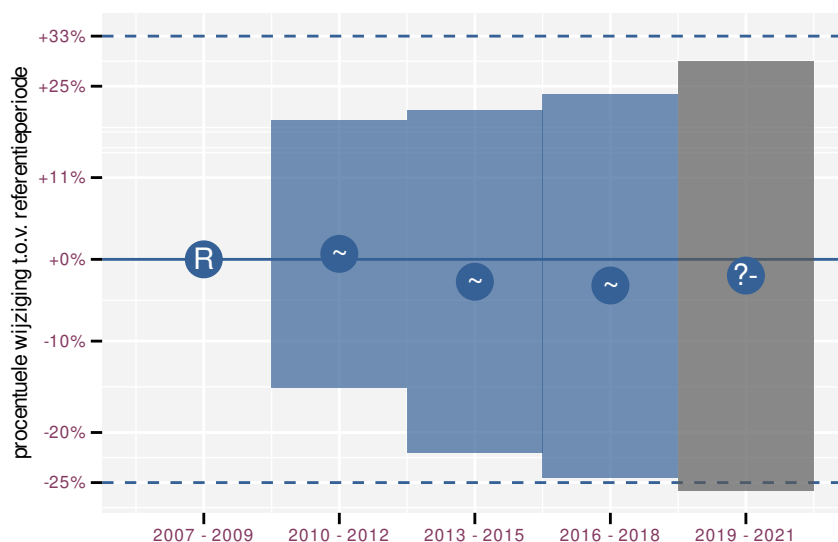
Figuur 38.1: Evolutie van het gemodelleerde gemiddeld aantal waargenomen dieren op een meetpunt voor Glanskop tijdens de referentieperiode. Zie §3.1 voor een verklaring van de intervallen.



Figuur 38.2: Evolutie van het gemodelleerde gemiddeld aantal waargenomen dieren op een meetpunt voor Glanskop tijdens de referentieperiode. Zie §3.1 voor een verklaring van de intervallen.



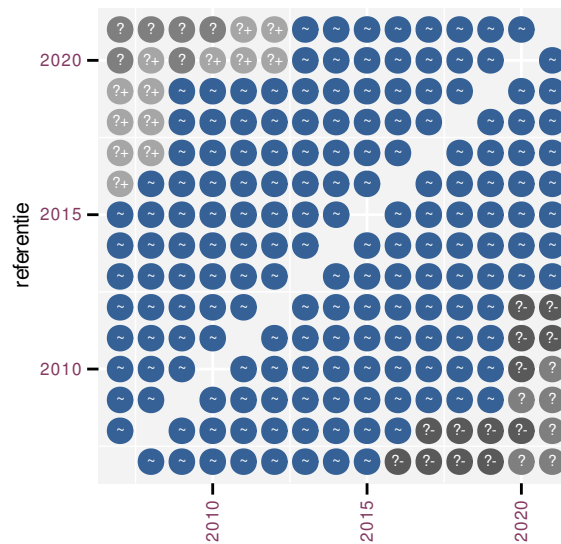
Figuur 38.3: Wijzigingen tussen jaren voor Glanskop. Zie §3.1 voor een verklaring van de intervallen en §3.2 voor uitleg over de symbolen en referentielijnen.



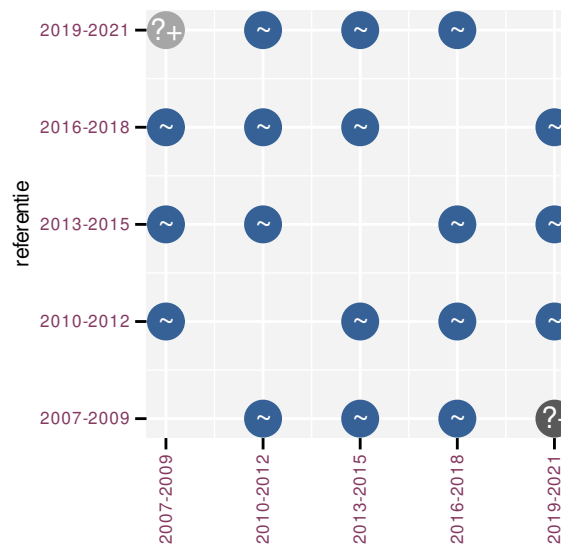
Figuur 38.4: Wijzigingen per driejarige cyclus voor Glanskop. Zie §3.1 voor een verklaring van de intervallen en §3.2 voor uitleg over de symbolen en referentielijnen.

Tabel 38.1: Stratumgewicht, raming aan het aantal hokken waarin de soort aanwezig is, aantal relevant hokken voor de analyse, aantal onderzochte hokken in het stratum, totaal aantal hokken van het stratum in Vlaanderen, aantal bezoeken aan een meetpunt en het gemiddeld aandeel relevante punten per hok voor Glanskop (zie §2.5).

stratum	gewicht	aanwezig	relevant	onderzocht	totaal	bezoeken	punten
Landbouw	62.8%	88.3	6	429	6311	217	50.0%
Bos	37.2%	43.7	26	190	319	1250	65.4%



Figuur 38.5: Paarsgewijze vergelijking tussen jaren voor Glanskop. Uitleg van de symbolen in tabel 3.1.



Figuur 38.6: Paarsgewijze vergelijking tussen driejarige cycli voor Glanskop. Uitleg van de symbolen in tabel 3.1.

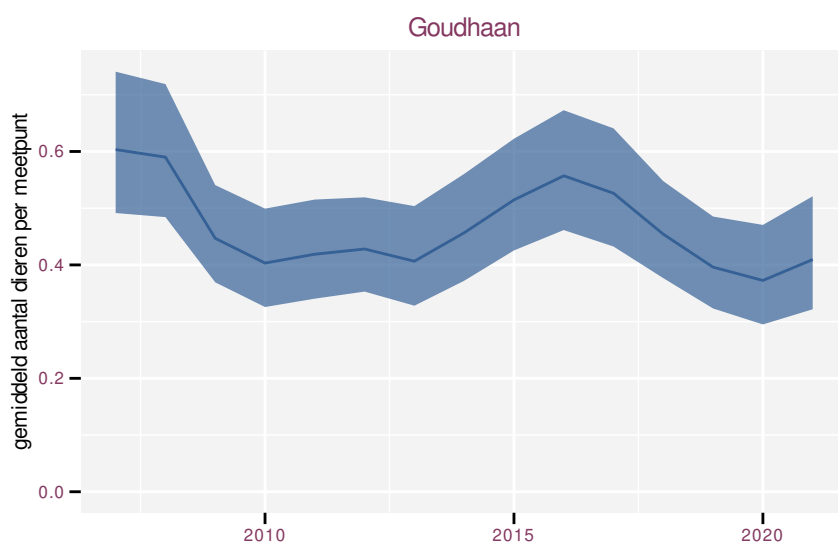
Tabel 38.2: Data-hashes van de analyses in het kader van traceerbaarheid (zie §4.3).

frequentie	model	analyse	status
jaarlijks	niet-lineair	08e3484203c239bd9f8d f6631229e2a23bb969f9	5fe6be88e724e0d3490d 369eedbc1cb05442e352
jaarlijks	lineair	00d0e7963fbe57c5981c be59f584539a8203f940	025ecaab5695150956a7 853762db46d7f72e69b1
driejaarlijks	niet-lineair	749fc66da35f4d270a59 e82d634c092041732ba9	9790dd37ec8d4233384c 4e748a6066f52cdae599
driejaarlijks	lineair	7fd9260e36f92e058a69 af18d2f8f1c7941b34e9	0c3c33a175bde98c8475 ac36a9f297d14f48976b

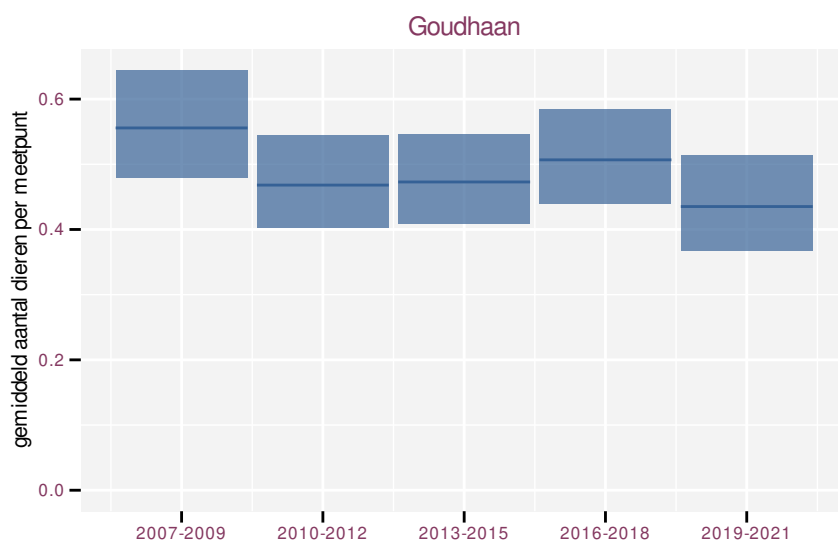
39 GOUDHAAN

Op basis van jaarlijkse gegevens zien we gemiddeld afname -2.2% (-3.9%; -0.4%) per jaar of -27% (-43%; -6%) over de volledige looptijd van het meetnet. Deze trend is niet-lineair.

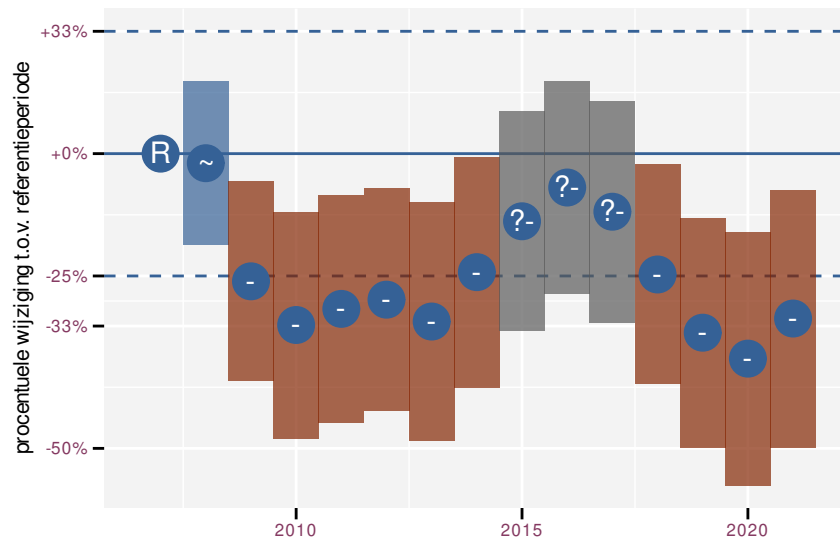
Op basis van driejaarlijkse gegevens zien we gemiddeld afname -2.2% (-3.9%; -0.5%) per jaar of -27% (-43%; -6%) over de volledige looptijd van het meetnet. Deze trend is niet-lineair.



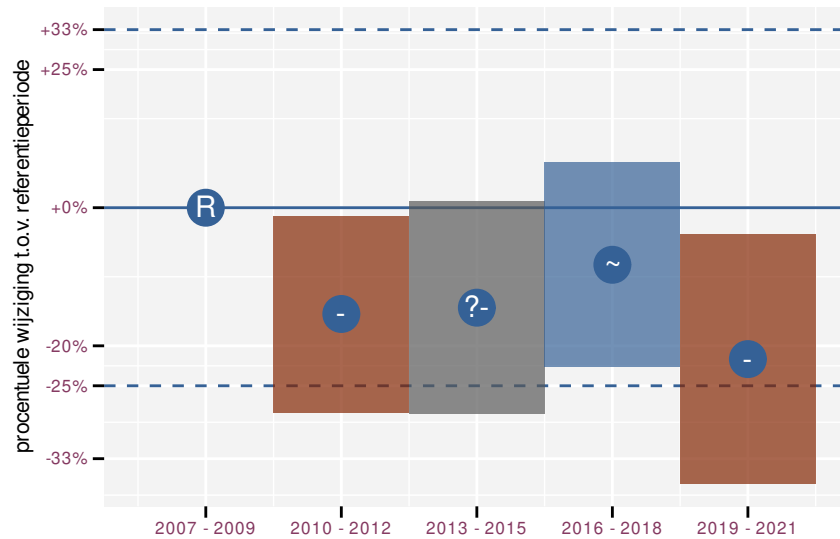
Figuur 39.1: Evolutie van het gemodelleerde gemiddeld aantal waargenomen dieren op een meetpunt voor Goudhaan tijdens de referentieperiode. Zie §3.1 voor een verklaring van de intervallen.



Figuur 39.2: Evolutie van het gemodelleerde gemiddeld aantal waargenomen dieren op een meetpunt voor Goudhaan tijdens de referentieperiode. Zie §3.1 voor een verklaring van de intervallen.



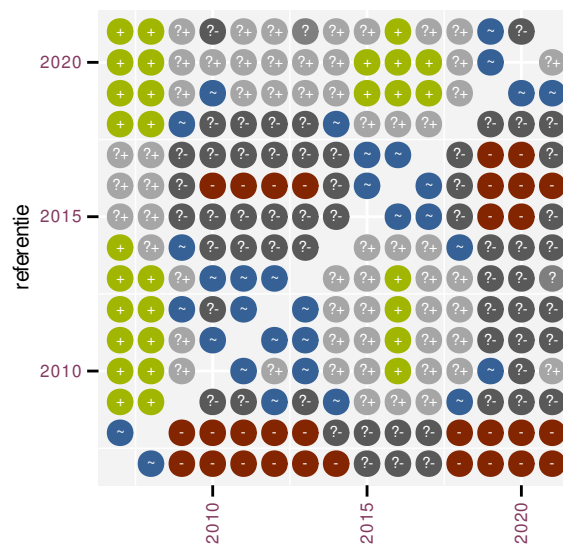
Figuur 39.3: Wijzigingen tussen jaren voor Goudhaan. Zie §3.1 voor een verklaring van de intervallen en §3.2 voor uitleg over de symbolen en referentielijnen.



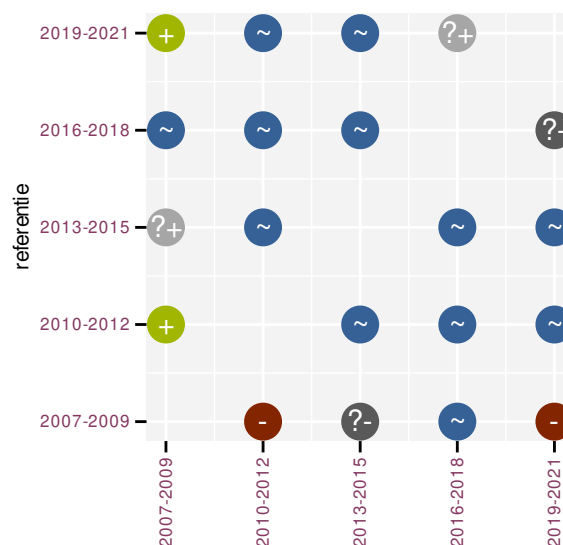
Figuur 39.4: Wijzigingen per driejarige cyclus voor Goudhaan. Zie §3.1 voor een verklaring van de intervallen en §3.2 voor uitleg over de symbolen en referentielijnen.

Tabel 39.1: Stratumgewicht, raming aan het aantal hokken waarin de soort aanwezig is, aantal relevant hokken voor de analyse, aantal onderzochte hokken in het stratum, totaal aantal hokken van het stratum in Vlaanderen, aantal bezoeken aan een meetpunt en het gemiddeld aandeel relevante punten per hok voor Goudhaan (zie §2.5).

stratum	gewicht	aanwezig	relevant	onderzocht	totaal	bezoeken	punten
Landbouw	56.5%	485.5	33	429	6311	916	33.8%
Bos	18.2%	156.1	93	190	319	4857	70.6%
Urbaan	10.0%	86.1	18	87	416	765	48.1%
Heide en duin	7.4%	63.5	30	94	199	1194	49.4%
Suburbaan	5.2%	44.3	15	68	201	683	65.6%
Moeras en water	2.8%	24.0	14	80	137	433	46.4%



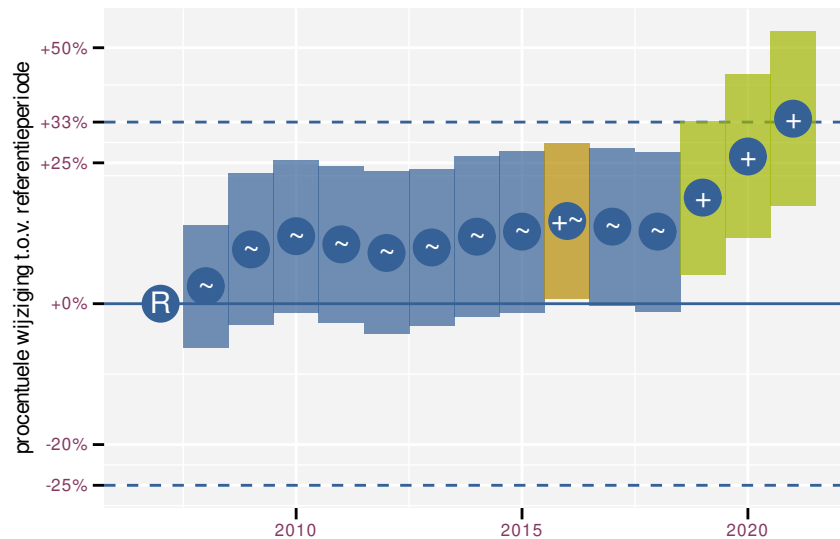
Figuur 39.5: Paarsgewijze vergelijking tussen jaren voor Goudhaan. Uitleg van de symbolen in tabel 3.1.



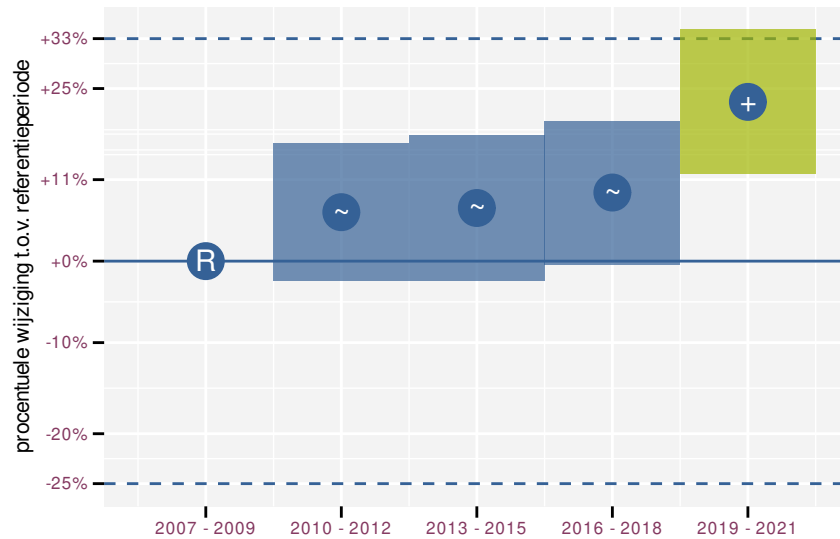
Figuur 39.6: Paarsgewijze vergelijking tussen driejarige cycli voor Goudhaan. Uitleg van de symbolen in tabel 3.1.

Tabel 39.2: Data-hashes van de analyses in het kader van traceerbaarheid (zie §4.3).

frequentie	model	analyse	status
jaarlijks	niet-lineair	a3555d3977e05d0dfcc dd738edd308e00ce5141	9afcd3f5d61605e3c908 083021f3ea397f1f63ea
jaarlijks	lineair	2ec3cd83c69dc4244f1c 78e09065aea5f1144265	df2810b716c8dbbf2a42 84a5a7e7151a5bea9637
driejaarlijks	niet-lineair	0502dd01591d80d97519 3236ec417812c5142972	79aa081364d63fd4e68c ec55f7b5864a2425b8bf
driejaarlijks	lineair	d677450c99148e632b07 a1bf01d3f7c677649aea	c431d38750d2609d2ad5 85792aeae24b199da654



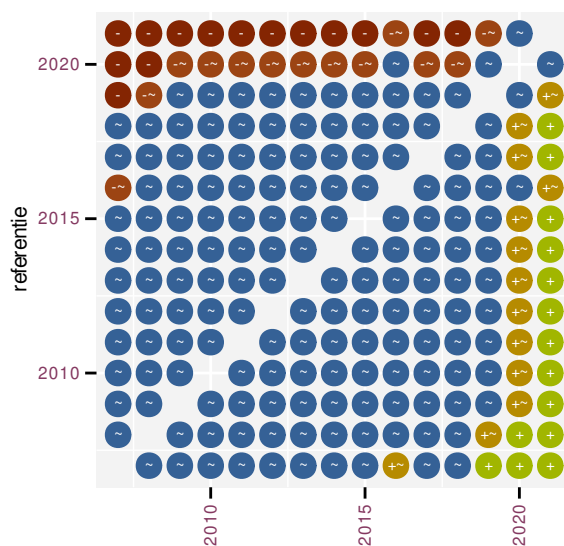
Figuur 40.3: Wijzigingen tussen jaren voor Grasmus. Zie §3.1 voor een verklaring van de intervallen en §3.2 voor uitleg over de symbolen en referentielijnen.



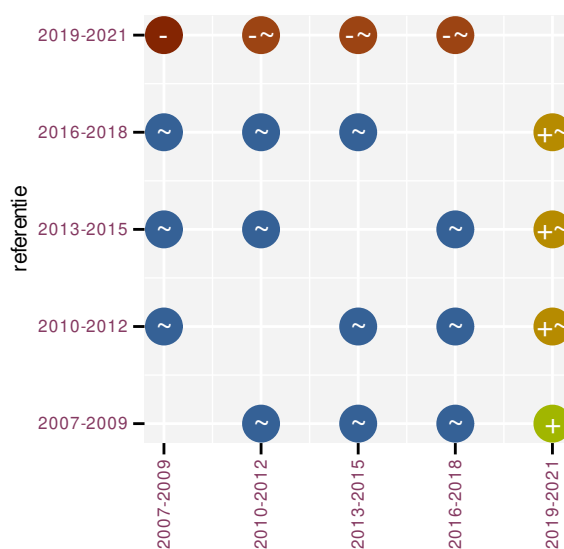
Figuur 40.4: Wijzigingen per driejarige cyclus voor Grasmus. Zie §3.1 voor een verklaring van de intervallen en §3.2 voor uitleg over de symbolen en referentielijnen.

Tabel 40.1: Stratumgewicht, raming aan het aantal hokken waarin de soort aanwezig is, aantal relevant hokken voor de analyse, aantal onderzochte hokken in het stratum, totaal aantal hokken van het stratum in Vlaanderen, aantal bezoeken aan een meetpunt en het gemiddeld aandeel relevante punten per hok voor Grasmus (zie §2.5).

stratum	gewicht	aanwezig	relevant	onderzocht	totaal	bezoeken	punten
Landbouw	92.9%	3133.4	213	429	6311	6512	65.6%
Heide en duin	2.2%	74.1	35	94	199	942	69.0%
Moeras en water	1.9%	65.1	38	80	137	1246	73.2%
Suburbaan	1.3%	44.3	15	68	201	382	53.3%
Urbaan	0.9%	33.5	7	87	416	94	28.6%
Bos	0.8%	26.9	16	190	319	400	53.1%



Figuur 40.5: Paarsgewijze vergelijking tussen jaren voor Grasmus. Uitleg van de symbolen in tabel 3.1.



Figuur 40.6: Paarsgewijze vergelijking tussen driejarige cycli voor Grasmus. Uitleg van de symbolen in tabel 3.1.

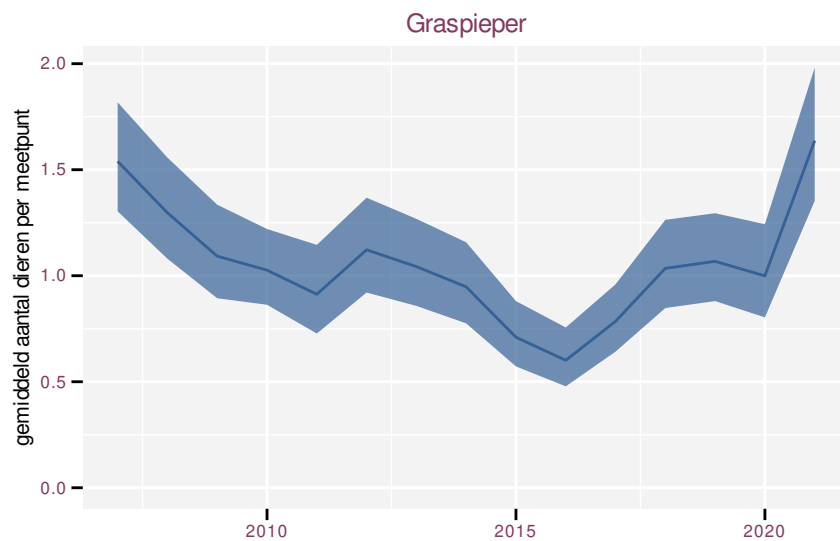
Tabel 40.2: Data-hashes van de analyses in het kader van traceerbaarheid (zie §4.3).

frequentie	model	analyse	status
jaarlijks	niet-lineair	f882cd14ab5895cb2bb5	780ae6dfa6b621fa2880
		cc30ffe0f996d59eee75	84667910f377c8c839ac
jaarlijks	lineair	73ae612d0f4a96747029	7960ef83468ee72cf1b4
		145d7a9cb0065f5617e1	5c97455e4767668d03af
driejaarlijks	niet-lineair	f2649a0727b3b3fe6777	b042bc8348d211e9a747
		99e04da467c5cec98f6b	44d09ba621d64b5ab062
driejaarlijks	lineair	13e409fc15432390bee7	d2095b750cb375ea20b3
		68d0847cd1ace7795b91	759ae766fbe2713a0c92

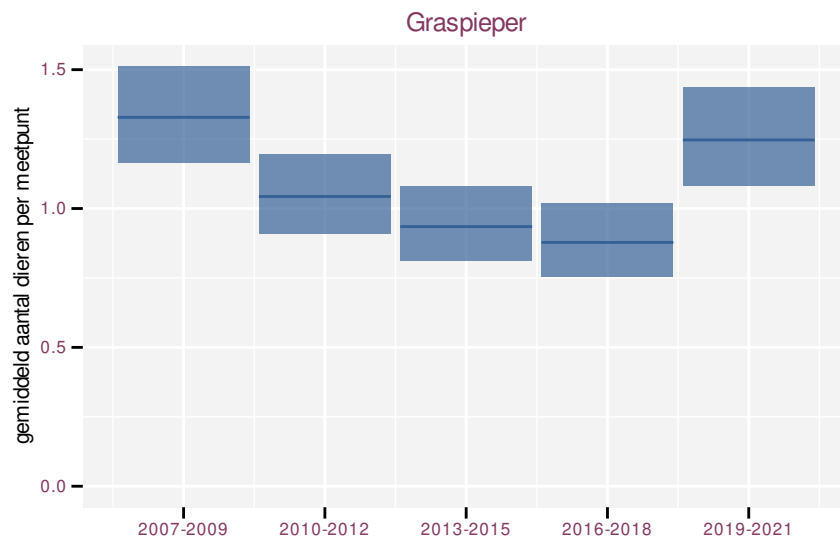
41 GRASPIEPER

Op basis van jaarlijkse gegevens zien we gemiddeld mogelijke afname -1.0% (-2.1%; +0.1%) per jaar of -13% (-26%; +1%) over de volledige looptijd van het meetnet. Deze trend is niet-lineair.

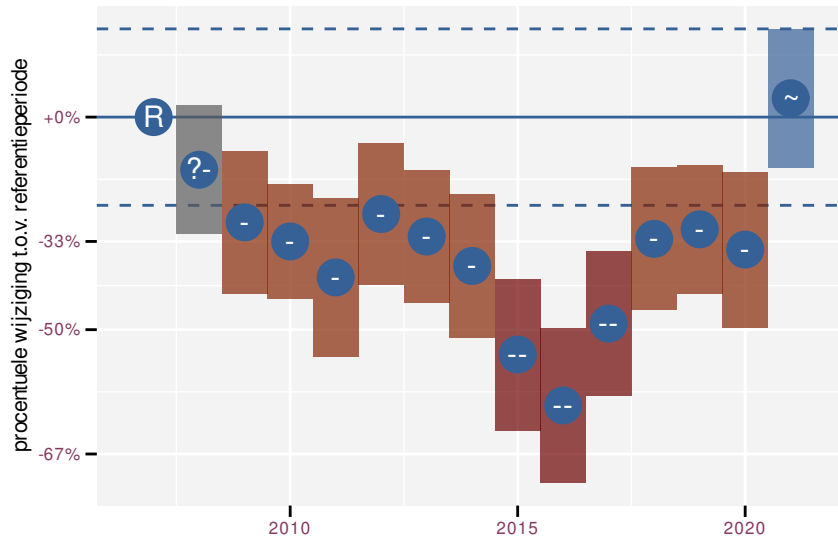
Op basis van driejaarlijkse gegevens zien we gemiddeld afname -1.2% (-2.3%; -0.0%) per jaar of -15% (-27%; -1%) over de volledige looptijd van het meetnet. Deze trend is niet-lineair.



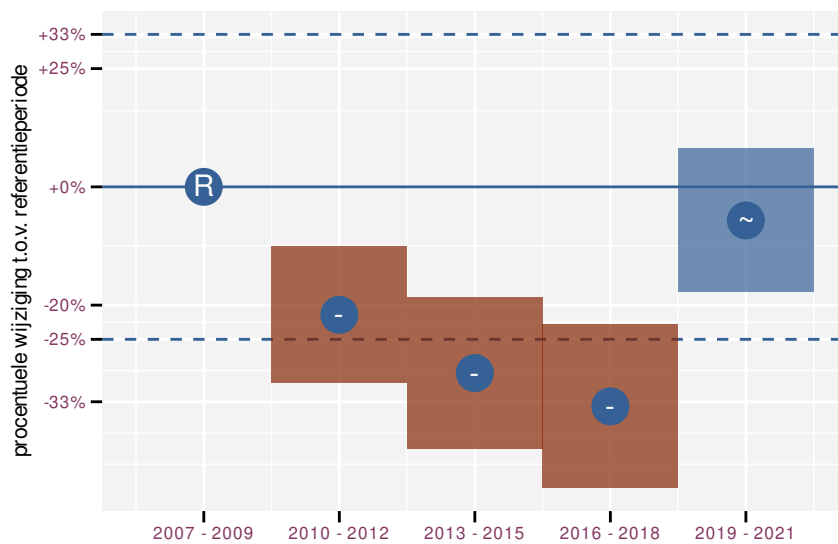
Figuur 41.1: Evolutie van het gemodelleerde gemiddeld aantal waargenomen dieren op een meetpunt voor Graspieper tijdens de referentieperiode. Zie §3.1 voor een verklaring van de intervallen.



Figuur 41.2: Evolutie van het gemodelleerde gemiddeld aantal waargenomen dieren op een meetpunt voor Graspieper tijdens de referentieperiode. Zie §3.1 voor een verklaring van de intervallen.



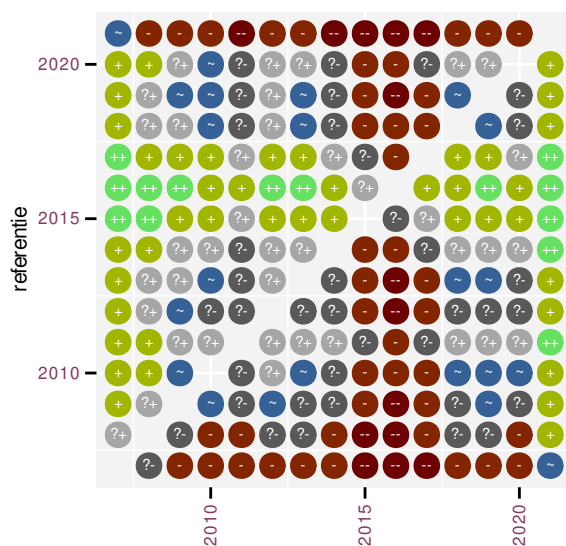
Figuur 41.3: Wijzigingen tussen jaren voor Graspieper. Zie §3.1 voor een verklaring van de intervallen en §3.2 voor uitleg over de symbolen en referentielijnen.



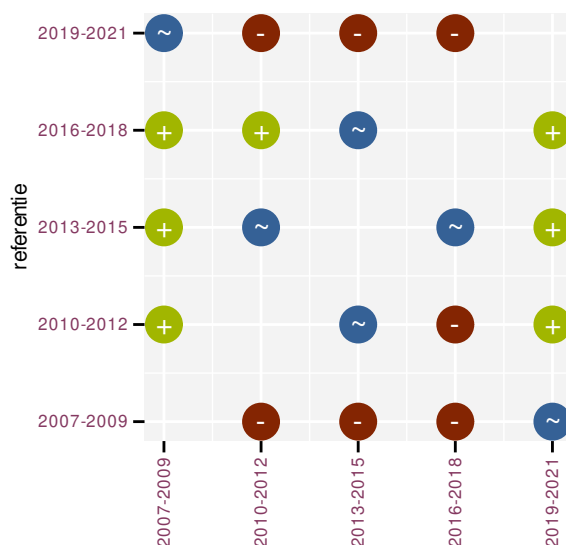
Figuur 41.4: Wijzigingen per driejarige cyclus voor Graspieper. Zie §3.1 voor een verklaring van de intervallen en §3.2 voor uitleg over de symbolen en referentielijnen.

Tabel 41.1: Stratumgewicht, raming aan het aantal hokken waarin de soort aanwezig is, aantal relevant hokken voor de analyse, aantal onderzochte hokken in het stratum, totaal aantal hokken van het stratum in Vlaanderen, aantal bezoeken aan een meetpunt en het gemiddeld aandeel relevante punten per hok voor Graspieper (zie §2.5).

stratum	gewicht	aanwezig	relevant	onderzocht	totaal	bezoeken	punten
Landbouw	93.6%	1647.6	112	429	6311	4694	57.7%
Heide en duin	4.8%	84.7	40	94	199	1508	58.8%
Suburbaan	0.8%	17.7	6	68	201	106	52.8%
Moeras en water	0.8%	13.7	8	80	137	262	47.9%



Figuur 41.5: Paarsgewijze vergelijking tussen jaren voor Graspieper. Uitleg van de symbolen in tabel 3.1.



Figuur 41.6: Paarsgewijze vergelijking tussen driejarige cycli voor Graspieper. Uitleg van de symbolen in tabel 3.1.

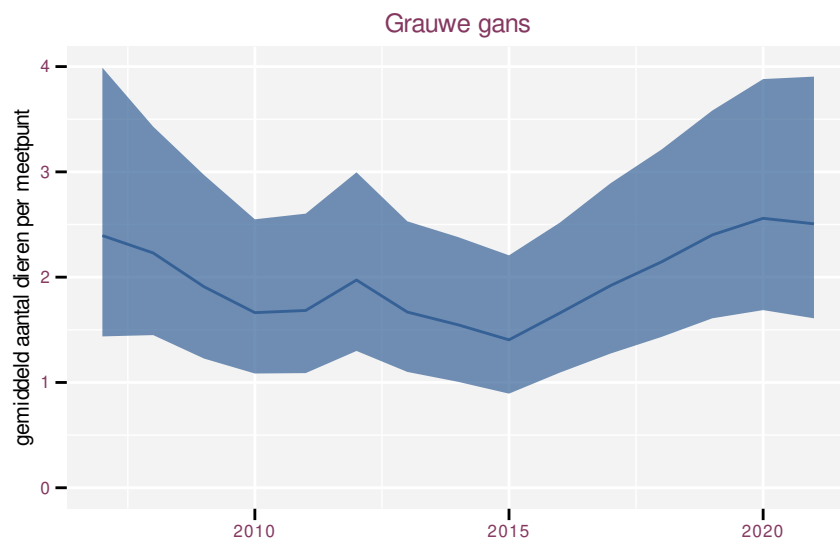
Tabel 41.2: Data-hashes van de analyses in het kader van traceerbaarheid (zie §4.3).

frequentie	model	analyse	status
jaarlijks	niet-lineair	7f7c64da2e1666681bfa ce78d9e74f8a101066ef	ec38c3787934d09e01e0 39254a06de8d53fc7208
jaarlijks	lineair	c13a8ba14df3906000fe 21e70be86e2cccb92c41	eeba30a485ba87ed444c 3062dc4db56e9b073769
driejaarlijks	niet-lineair	4c21e64afc48d868e8d5 82cd6947748fd6f3a245	acf88fe936352eda30f8 bbc10e23abae70bd9d9d
driejaarlijks	lineair	d28824dd2314623143a4 32ef5e8823819b9b7b62	54ce73bb4e3b2a1cb72a 3c565dc6053ee9881d99

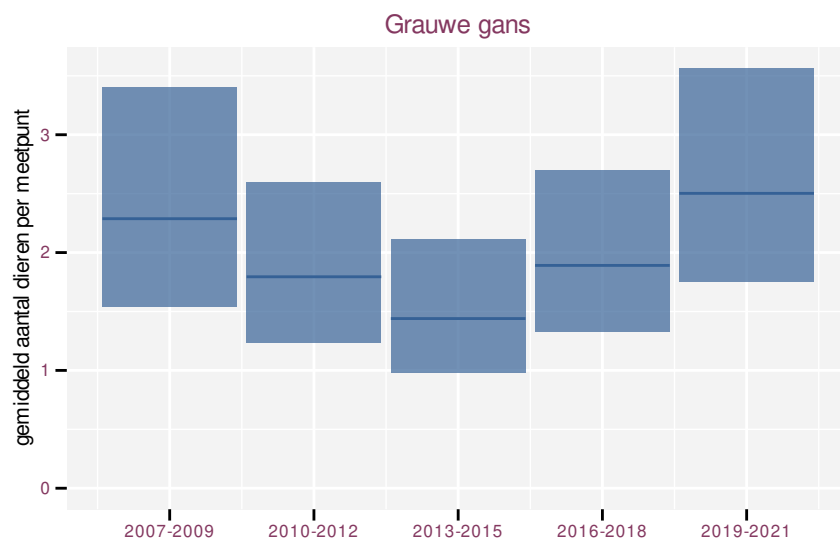
42 GRAUWE GANS

Op basis van jaarlijkse gegevens zien we gemiddeld mogelijke toename +1.9% (-1.1%; +5.0%) per jaar of +30% (-10%; +100%) over de volledige looptijd van het meetnet. Deze trend is niet-lineair.

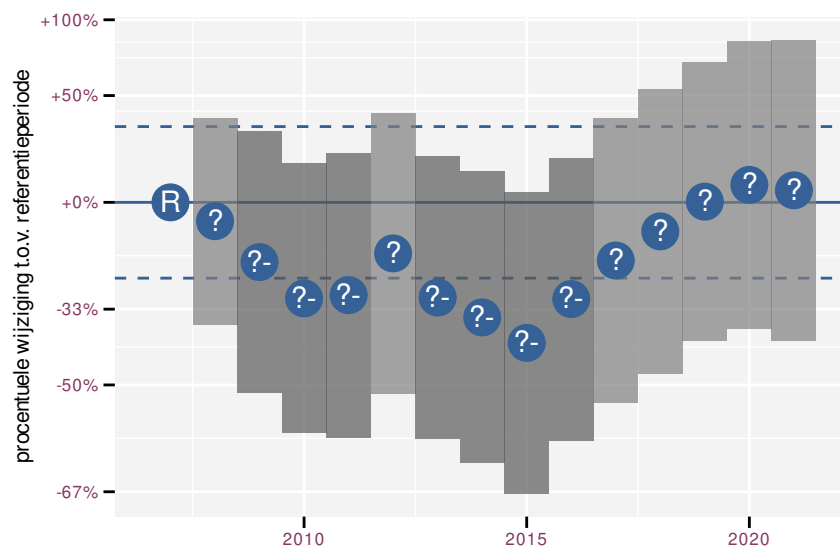
Op basis van driejaarlijkse gegevens zien we gemiddeld mogelijke toename +1.8% (-1.2%; +4.9%) per jaar of +30% (-20%; +100%) over de volledige looptijd van het meetnet. Deze trend is niet-lineair.



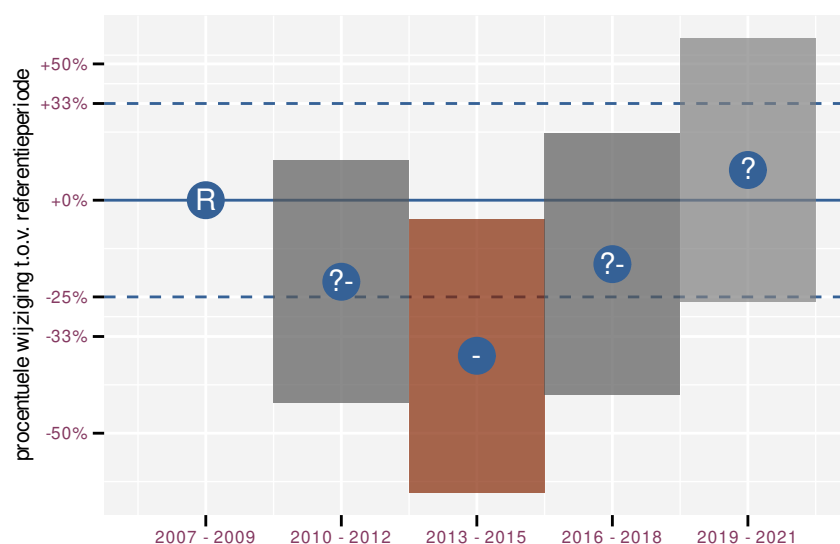
Figuur 42.1: Evolutie van het gemodelleerde gemiddeld aantal waargenomen dieren op een meetpunt voor Grauwe gans tijdens de referentieperiode. Zie §3.1 voor een verklaring van de intervallen.



Figuur 42.2: Evolutie van het gemodelleerde gemiddeld aantal waargenomen dieren op een meetpunt voor Grauwe gans tijdens de referentieperiode. Zie §3.1 voor een verklaring van de intervallen.



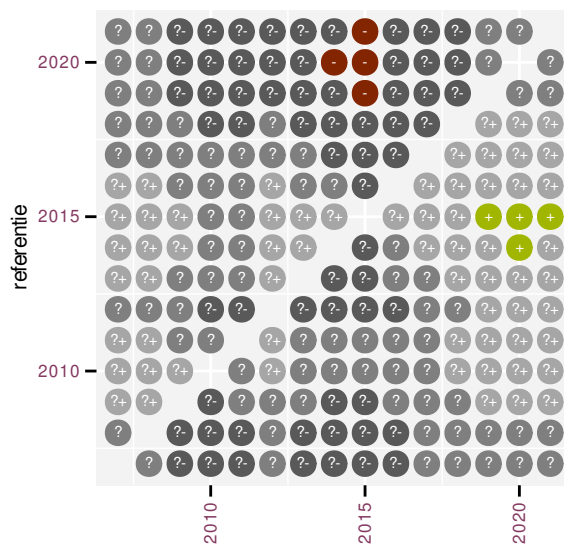
Figuur 42.3: Wijzigingen tussen jaren voor Grauwe gans. Zie §3.1 voor een verklaring van de intervallen en §3.2 voor uitleg over de symbolen en referentielijnen.



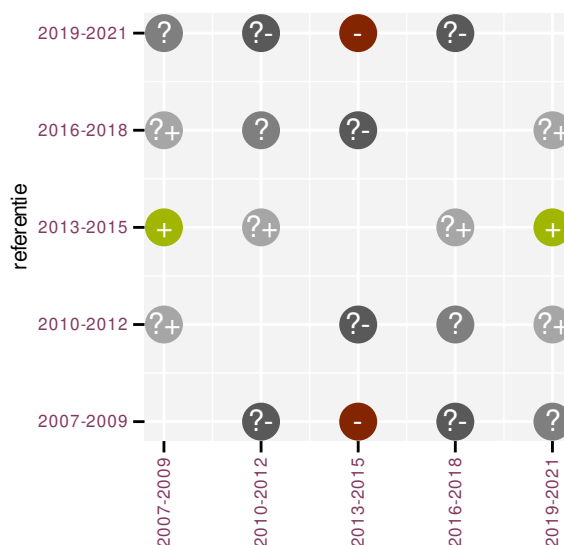
Figuur 42.4: Wijzigingen per driejarige cyclus voor Grauwe gans. Zie §3.1 voor een verklaring van de intervallen en §3.2 voor uitleg over de symbolen en referentielijnen.

Tabel 42.1: Stratumgewicht, raming aan het aantal hokken waarin de soort aanwezig is, aantal relevant hokken voor de analyse, aantal onderzochte hokken in het stratum, totaal aantal hokken van het stratum in Vlaanderen, aantal bezoeken aan een meetpunt en het gemiddeld aandeel relevante punten per hok voor Grauwe gans (zie §2.5).

stratum	gewicht	aanwezig	relevant	onderzocht	totaal	bezoeken	punten
Landbouw	85.7%	456.0	31	429	6311	1307	53.8%
Moeras en water	7.7%	41.1	24	80	137	1052	64.6%
Heide en duin	4.4%	23.3	11	94	199	370	50.0%
Bos	2.2%	13.4	8	190	319	244	54.2%



Figuur 42.5: Paarsgewijze vergelijking tussen jaren voor Grauwe gans. Uitleg van de symbolen in tabel 3.1.



Figuur 42.6: Paarsgewijze vergelijking tussen driejarige cycli voor Grauwe gans. Uitleg van de symbolen in tabel 3.1.

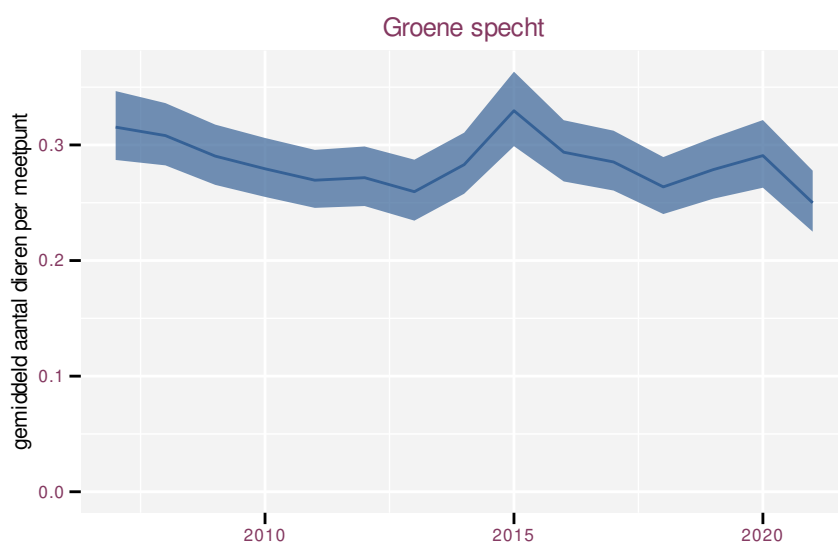
Tabel 42.2: Data-hashes van de analyses in het kader van traceerbaarheid (zie §4.3).

frequentie	model	analyse	status
jaarlijks	niet-lineair	3c255a6fc8fa6247f426 f09d5ff0614e1810690e	2168d8b63101c7bfde3d fa6b9872c6fae6379d3e
jaarlijks	lineair	4225abc20c2765296df5 ce371f898d57689ab370	e5d5d97e48344839c7d9 642bd5d430f2b76c6554
driejaarlijks	niet-lineair	6163fe70974590c81c29 a0729c9710c9ea1a3f86	3767651b3787eba0b8f7 2922176b726ef2b342ac
driejaarlijks	lineair	7bdbaaf205a386359546 f22a6ff289b9b31f52ab	dbc42f90870c05d99f79 113f7384980bc76a51a9

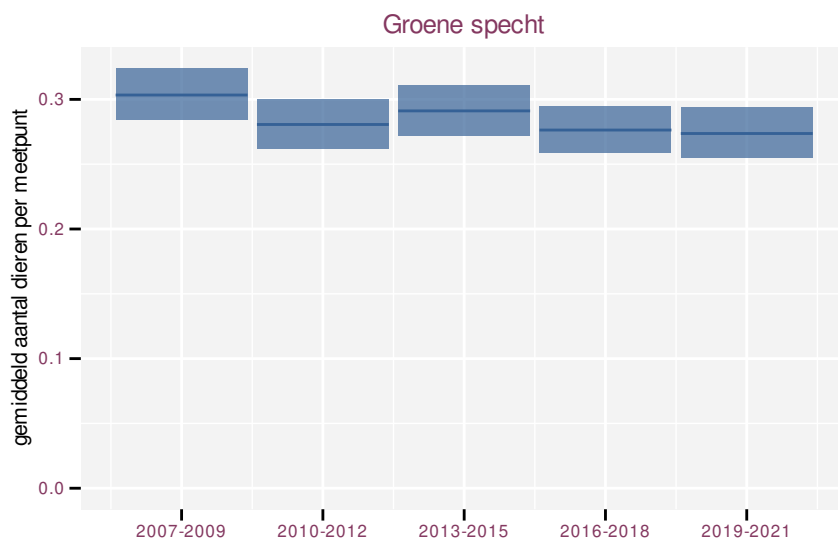
43 GROENE SPECHT

Op basis van jaarlijkse gegevens zien we gemiddeld matige afname -0.72% (-1.33%; -0.10%) per jaar of -9.6% (-17.1%; -1.4%) over de volledige looptijd van het meetnet. Deze trend is niet-lineair.

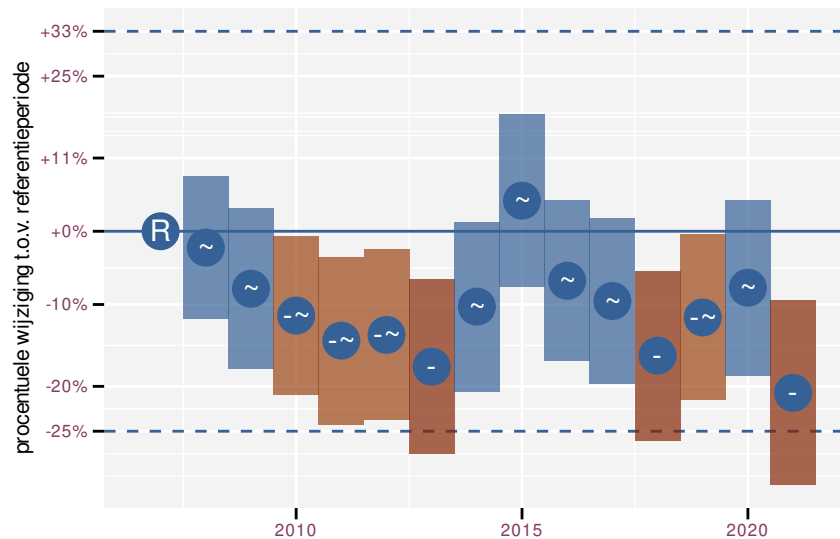
Op basis van driejaarlijkse gegevens zien we gemiddeld matige afname -0.76% (-1.38%; -0.13%) per jaar of -10.1% (-17.7%; -1.8%) over de volledige looptijd van het meetnet. Deze trend is niet-lineair.



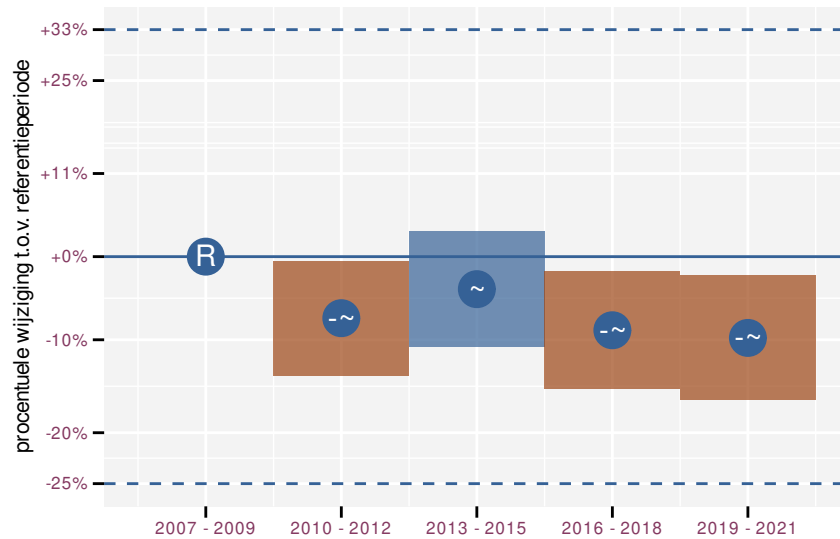
Figuur 43.1: Evolutie van het gemodelleerde gemiddeld aantal waargenomen dieren op een meetpunt voor Groene specht tijdens de referentieperiode. Zie §3.1 voor een verklaring van de intervallen.



Figuur 43.2: Evolutie van het gemodelleerde gemiddeld aantal waargenomen dieren op een meetpunt voor Groene specht tijdens de referentieperiode. Zie §3.1 voor een verklaring van de intervallen.



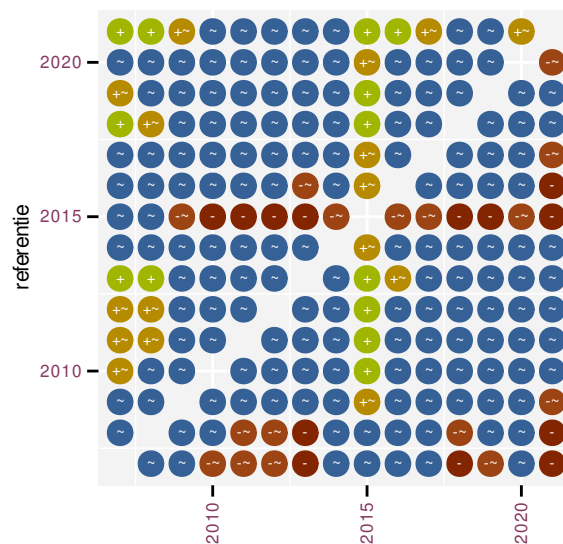
Figuur 43.3: Wijzigingen tussen jaren voor Groene specht. Zie §3.1 voor een verklaring van de intervallen en §3.2 voor uitleg over de symbolen en referentielijnen.



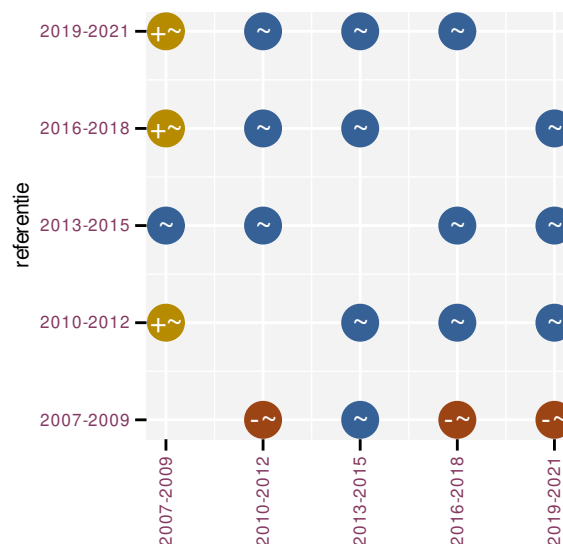
Figuur 43.4: Wijzigingen per driejarige cyclus voor Groene specht. Zie §3.1 voor een verklaring van de intervallen en §3.2 voor uitleg over de symbolen en referentielijnen.

Tabel 43.1: Stratumgewicht, raming aan het aantal hokken waarin de soort aanwezig is, aantal relevant hokken voor de analyse, aantal onderzochte hokken in het stratum, totaal aantal hokken van het stratum in Vlaanderen, aantal bezoeken aan een meetpunt en het gemiddeld aandeel relevante punten per hok voor Groene specht (zie §2.5).

stratum	gewicht	aanwezig	relevant	onderzocht	totaal	bezoeken	punten
Landbouw	86.9%	3574.8	243	429	6311	12839	76.1%
Urbaan	3.6%	148.2	31	87	416	1264	55.9%
Bos	3.1%	129.3	77	190	319	4051	68.4%
Suburbaan	2.4%	100.5	34	68	201	1407	63.7%
Heide en duin	2.2%	91.0	43	94	199	2117	64.3%
Moeras en water	1.7%	71.9	42	80	137	1864	64.7%



Figuur 43.5: Paarsgewijze vergelijking tussen jaren voor Groene specht. Uitleg van de symbolen in tabel 3.1.



Figuur 43.6: Paarsgewijze vergelijking tussen driejarige cycli voor Groene specht. Uitleg van de symbolen in tabel 3.1.

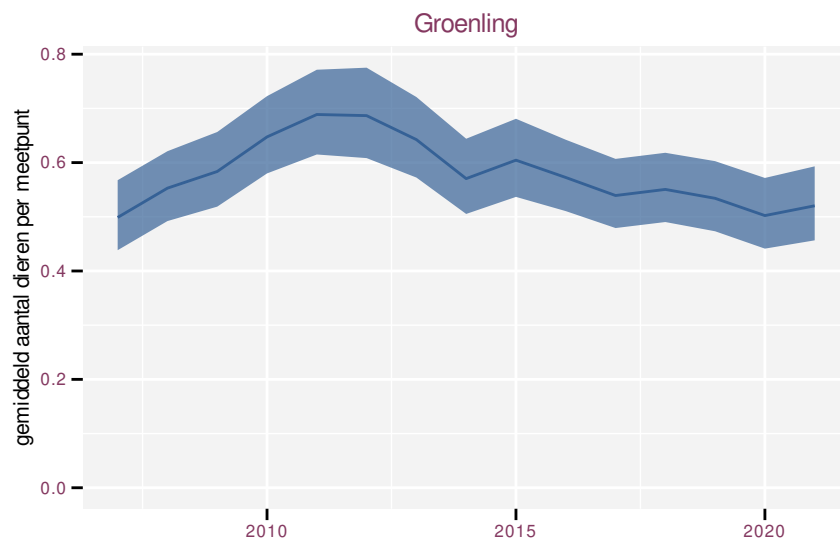
Tabel 43.2: Data-hashes van de analyses in het kader van traceerbaarheid (zie §4.3).

frequentie	model	analyse	status
jaarlijks	niet-lineair	3fd4a6948259036f377b	c8de1ba71653935b0115
		812204959d166a40c14c	6ade5cb7de7591b62108
jaarlijks	lineair	e573af01c2ed7c4b4b2f	5f172186b84297ed1f01
		421e1cb05834a6ec5e40	3c54778b5b1e07edd5e4
driejaarlijks	niet-lineair	7952dc80d6f1752937a2	94e664905006b8fd115e
		47b3773f64af780143e4	252e3f5a648125948030
driejaarlijks	lineair	c885580170ea38fb9632	1e3941c649523e0815c0
		11ee6f151aa06280c62c	98c88a3f4f23c3e0541f

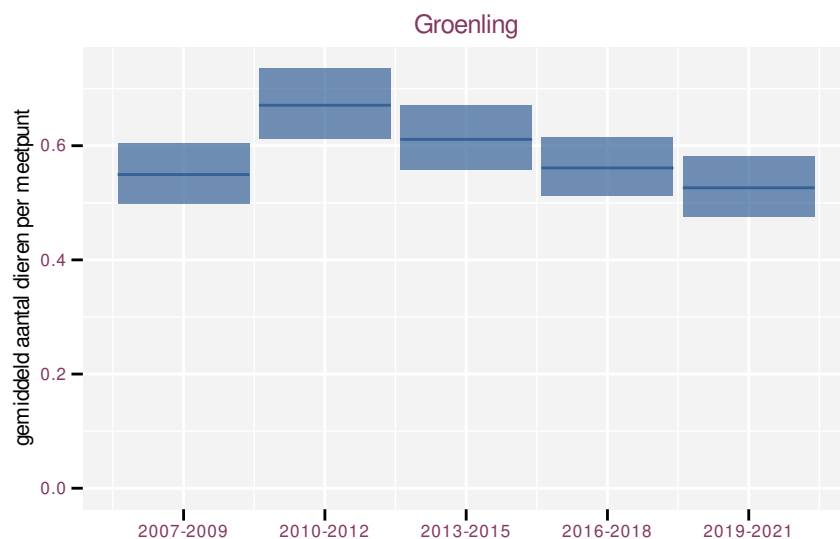
44 GROENLING

Op basis van jaarlijkse gegevens zien we gemiddeld stabiel -0.79% (-1.56% ; $+0.00\%$) per jaar of -10.5% (-19.7% ; $+0.0\%$) over de volledige looptijd van het meetnet. Deze trend is niet-lineair.

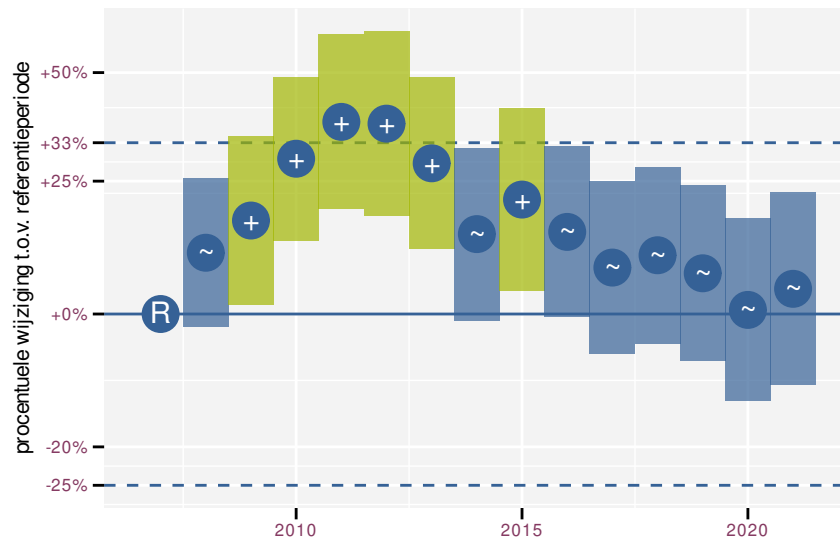
Op basis van driejaarlijkse gegevens zien we gemiddeld matige afname -0.83% (-1.62% ; -0.04%) per jaar of -11% (-20% ; -1%) over de volledige looptijd van het meetnet. Deze trend is niet-lineair.



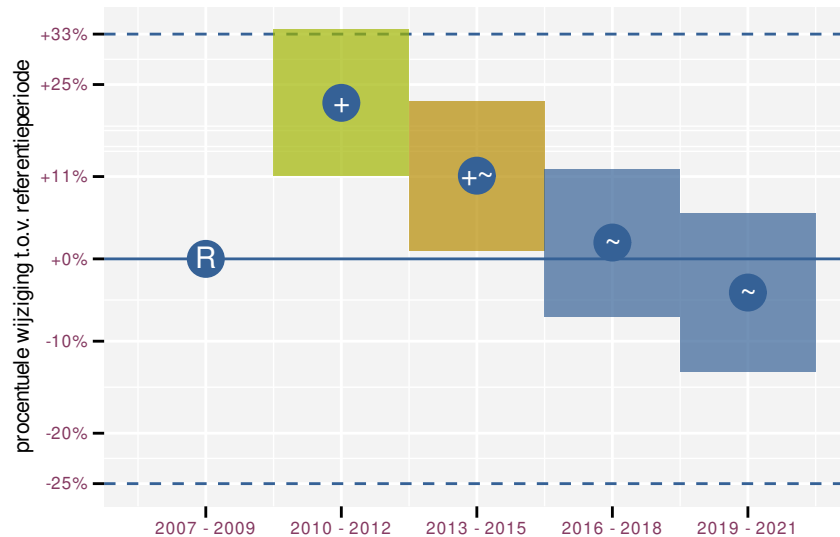
Figuur 44.1: Evolutie van het gemodelleerde gemiddeld aantal waargenomen dieren op een meetpunt voor Groenling tijdens de referentieperiode. Zie §3.1 voor een verklaring van de intervallen.



Figuur 44.2: Evolutie van het gemodelleerde gemiddeld aantal waargenomen dieren op een meetpunt voor Groenling tijdens de referentieperiode. Zie §3.1 voor een verklaring van de intervallen.



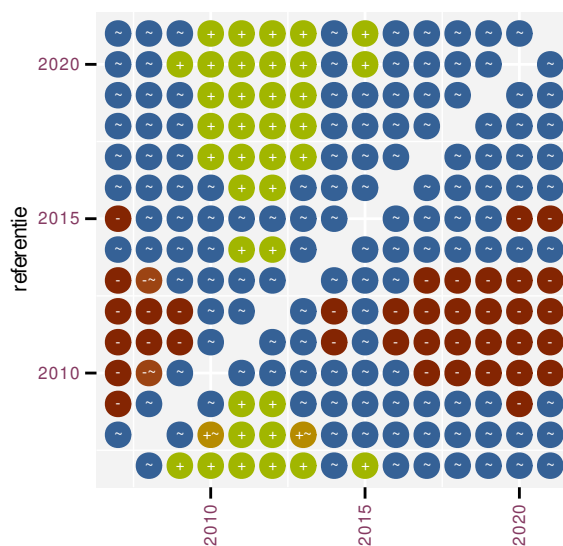
Figuur 44.3: Wijzigingen tussen jaren voor Groenling. Zie §3.1 voor een verklaring van de intervallen en §3.2 voor uitleg over de symbolen en referentielijnen.



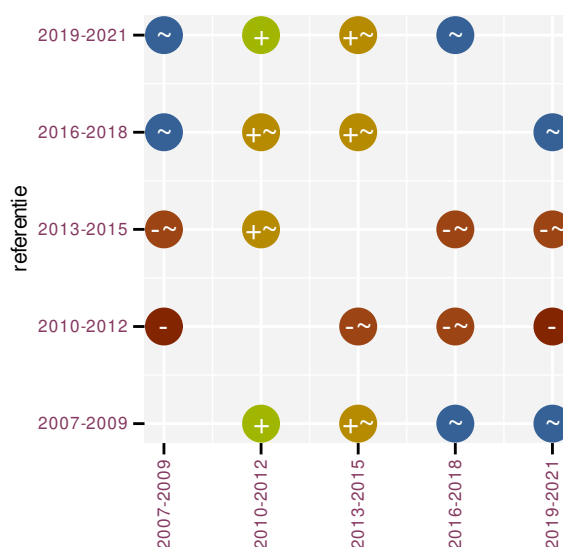
Figuur 44.4: Wijzigingen per driejarige cyclus voor Groenling. Zie §3.1 voor een verklaring van de intervallen en §3.2 voor uitleg over de symbolen en referentielijnen.

Tabel 44.1: Stratumgewicht, raming aan het aantal hokken waarin de soort aanwezig is, aantal relevant hokken voor de analyse, aantal onderzochte hokken in het stratum, totaal aantal hokken van het stratum in Vlaanderen, aantal bezoeken aan een meetpunt en het gemiddeld aandeel relevante punten per hok voor Groenling (zie §2.5).

stratum	gewicht	aanwezig	relevant	onderzocht	totaal	bezoeken	punten
Landbouw	85.7%	3074.6	209	429	6311	9063	62.3%
Urbaan	7.5%	267.8	56	87	416	2827	75.0%
Suburbaan	2.9%	103.5	35	68	201	2067	80.5%
Bos	1.7%	60.4	36	190	319	1314	45.8%
Moeras en water	1.2%	42.8	25	80	137	999	56.0%
Heide en duin	1.1%	38.1	18	94	199	621	47.2%



Figuur 44.5: Paarsgewijze vergelijking tussen jaren voor Groenling. Uitleg van de symbolen in tabel 3.1.



Figuur 44.6: Paarsgewijze vergelijking tussen driejarige cycli voor Groenling. Uitleg van de symbolen in tabel 3.1.

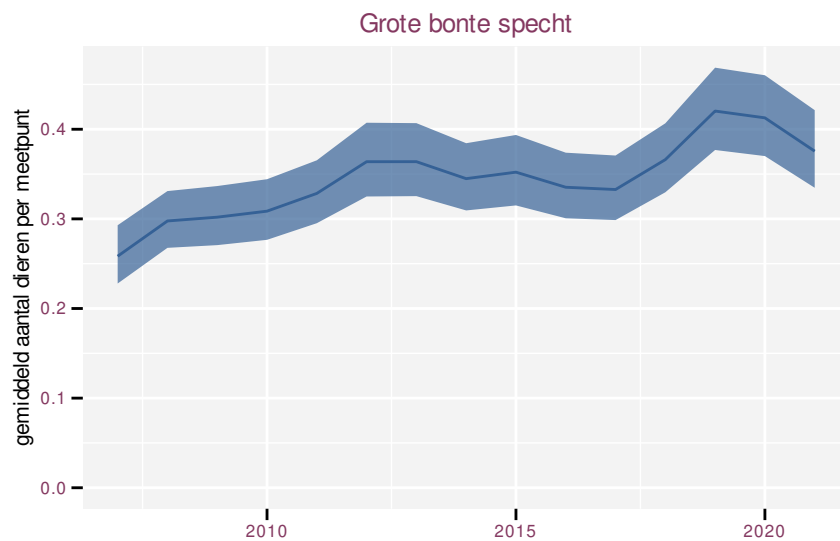
Tabel 44.2: Data-hashes van de analyses in het kader van traceerbaarheid (zie §4.3).

frequentie	model	analyse	status
jaarlijks	niet-lineair	c97b60a16f3809c838fd	7a3579ca4fee57fb54b2
		a466df36f2f891a769a7	24474dff86811e9c8c00
jaarlijks	lineair	a104bbdfbf19b4cf5ff3	4d5fef247082bf4fe49c
		017c41d76e02a3746850	176915cacd4389a90080
driejaarlijks	niet-lineair	9794ce79434ac067f2ab	7d45d5390923d7ff37bf
		6c418909fb4a3d0b2b7a	5cde3cecccc1b53d8b3b
driejaarlijks	lineair	1d4830a014605be4a7c6	05a0db3aa9b3d48cc55f
		2e8719a949951fcdd227	e43cee79b54cf9637473

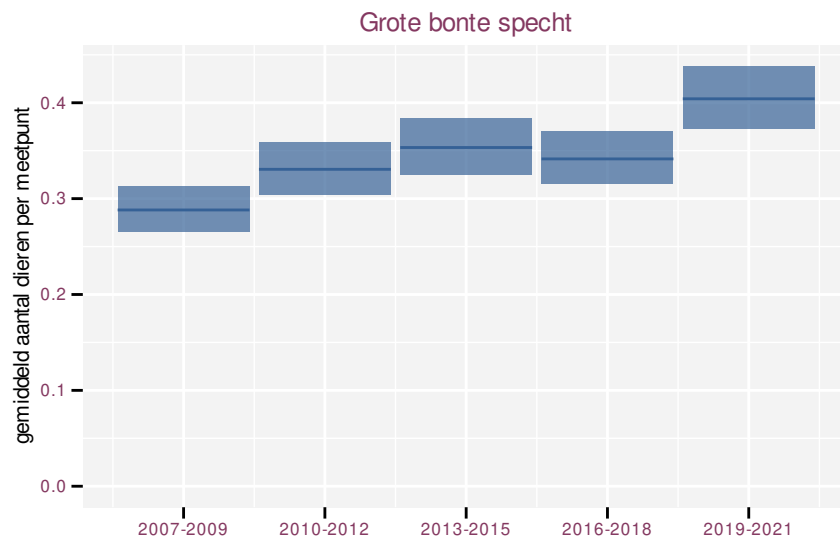
45 GROTE BONTE SPECHT

Op basis van jaarlijkse gegevens zien we gemiddeld toename +2.6% (+1.8%; +3.4%) per jaar of +42% (+28%; +59%) over de volledige looptijd van het meetnet. Deze trend is niet-lineair.

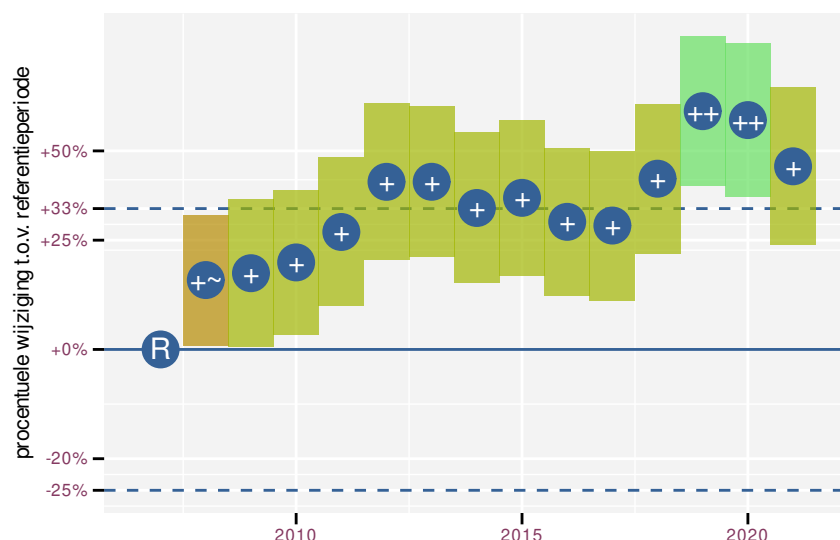
Op basis van driejaarlijkse gegevens zien we gemiddeld toename +2.6% (+1.8%; +3.4%) per jaar of +42% (+28%; +59%) over de volledige looptijd van het meetnet. Deze trend is lineair.



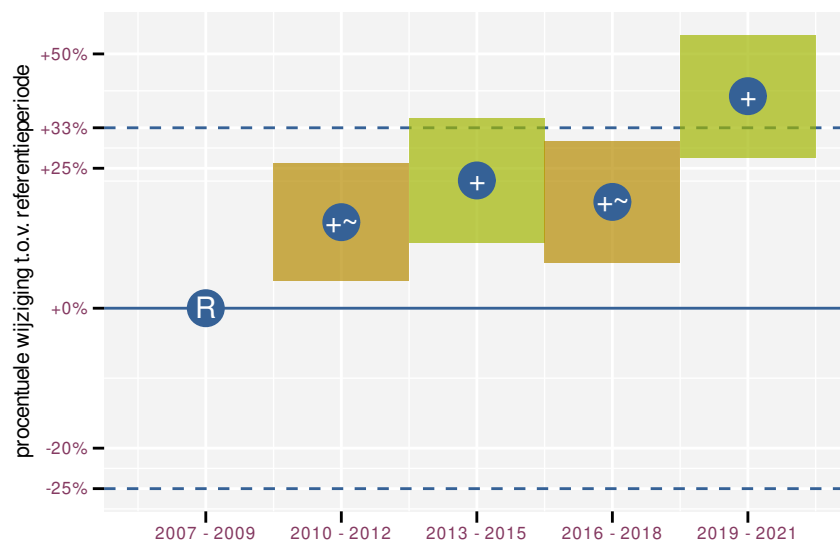
Figuur 45.1: Evolutie van het gemodelleerde gemiddeld aantal waargenomen dieren op een meetpunt voor Grote bonte specht tijdens de referentieperiode. Zie §3.1 voor een verklaring van de intervallen.



Figuur 45.2: Evolutie van het gemodelleerde gemiddeld aantal waargenomen dieren op een meetpunt voor Grote bonte specht tijdens de referentieperiode. Zie §3.1 voor een verklaring van de intervallen.



Figuur 45.3: Wijzigingen tussen jaren voor Grote bonte specht. Zie §3.1 voor een verklaring van de intervallen en §3.2 voor uitleg over de symbolen en referentielijnen.



Figuur 45.4: Wijzigingen per driejarige cyclus voor Grote bonte specht. Zie §3.1 voor een verklaring van de intervallen en §3.2 voor uitleg over de symbolen en referentielijnen.

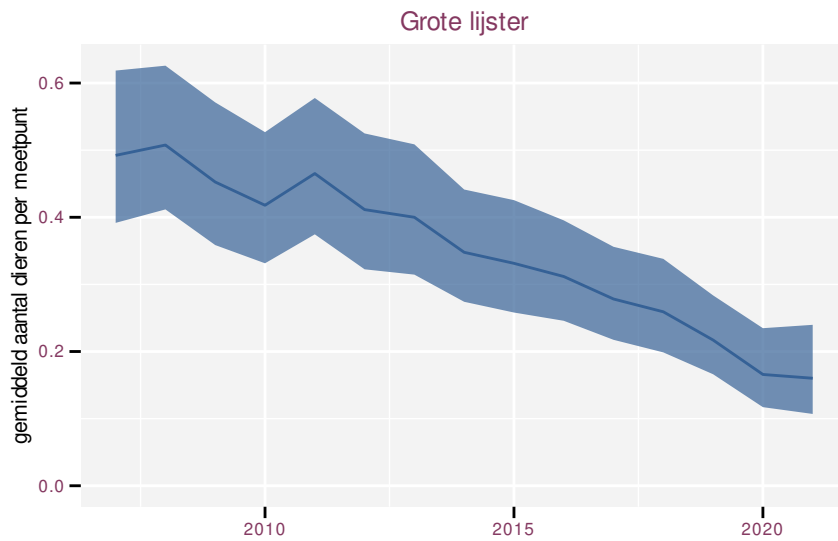
Tabel 45.1: Stratungewicht, raming aan het aantal hokken waarin de soort aanwezig is, aantal relevant hokken voor de analyse, aantal onderzochte hokken in het stratum, totaal aantal hokken van het stratum in Vlaanderen, aantal bezoeken aan een meetpunt en het gemiddeld aandeel relevante punten per hok voor Grote bonte specht (zie §2.5).

stratum	gewicht	aanwezig	relevant	onderzocht	totaal	bezoeken	punten
Landbouw	80.8%	2942.2	200	429	6311	8928	63.7%
Bos	6.5%	236.7	141	190	319	8607	92.0%
Urbaan	4.9%	176.9	37	87	416	1570	56.8%
Heide en duin	3.8%	137.6	65	94	199	3701	77.7%
Moeras en water	2.1%	75.3	44	80	137	2198	72.0%
Suburbaan	1.9%	70.9	24	68	201	1177	71.5%

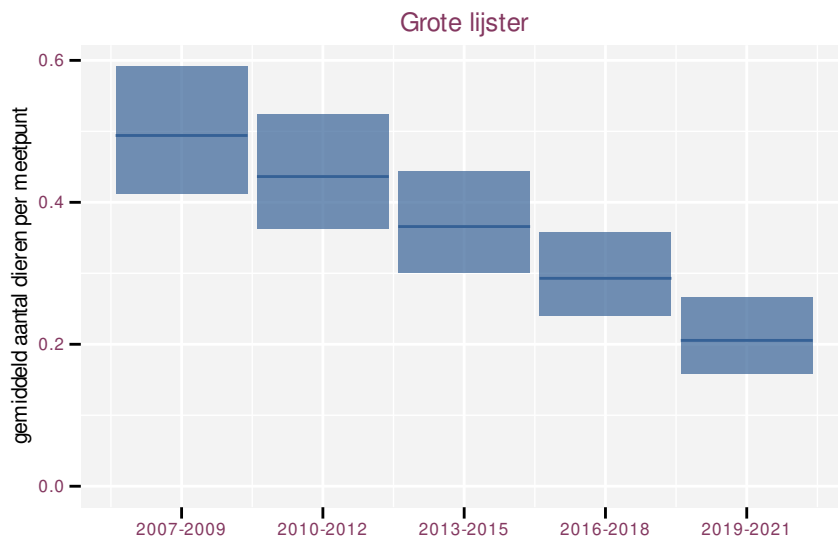
46 GROTE LIJSTER

Op basis van jaarlijkse gegevens zien we gemiddeld sterke afname -8.1% (-9.9%; -6.3%) per jaar of -69% (-77%; -60%) over de volledige looptijd van het meetnet. Deze trend is niet-lineair.

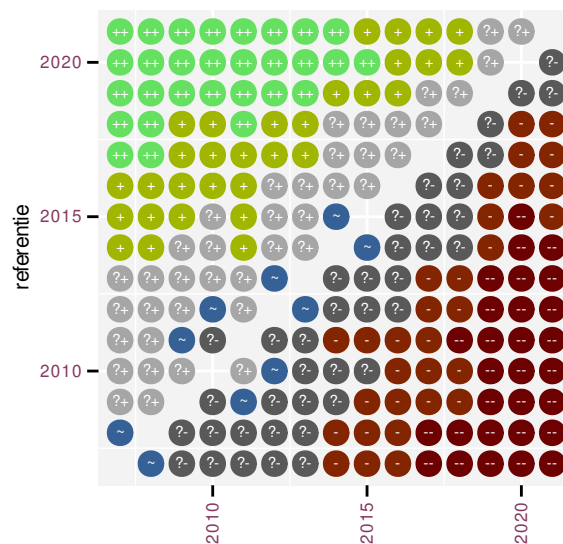
Op basis van driejaarlijkse gegevens zien we gemiddeld sterke afname -8.0% (-9.9%; -6.2%) per jaar of -69% (-77%; -59%) over de volledige looptijd van het meetnet. Deze trend is lineair.



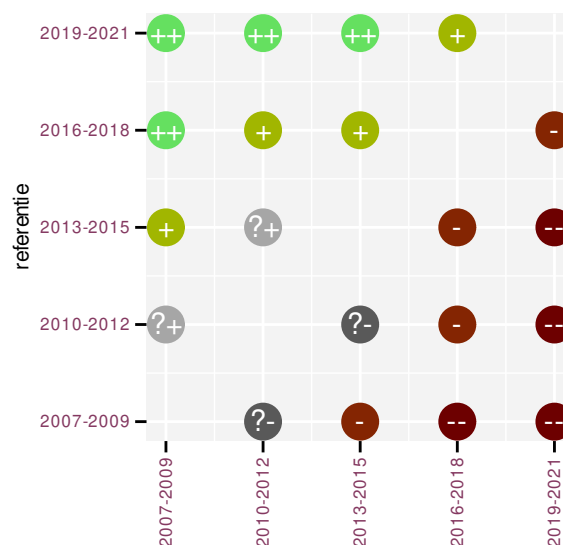
Figuur 46.1: Evolutie van het gemodelleerde gemiddeld aantal waargenomen dieren op een meetpunt voor Grote lijster tijdens de referentieperiode. Zie §3.1 voor een verklaring van de intervallen.



Figuur 46.2: Evolutie van het gemodelleerde gemiddeld aantal waargenomen dieren op een meetpunt voor Grote lijster tijdens de referentieperiode. Zie §3.1 voor een verklaring van de intervallen.



Figuur 46.5: Paarsgewijze vergelijking tussen jaren voor Grote lijst. Uitleg van de symbolen in tabel 3.1.



Figuur 46.6: Paarsgewijze vergelijking tussen driejarige cycli voor Grote lijst. Uitleg van de symbolen in tabel 3.1.

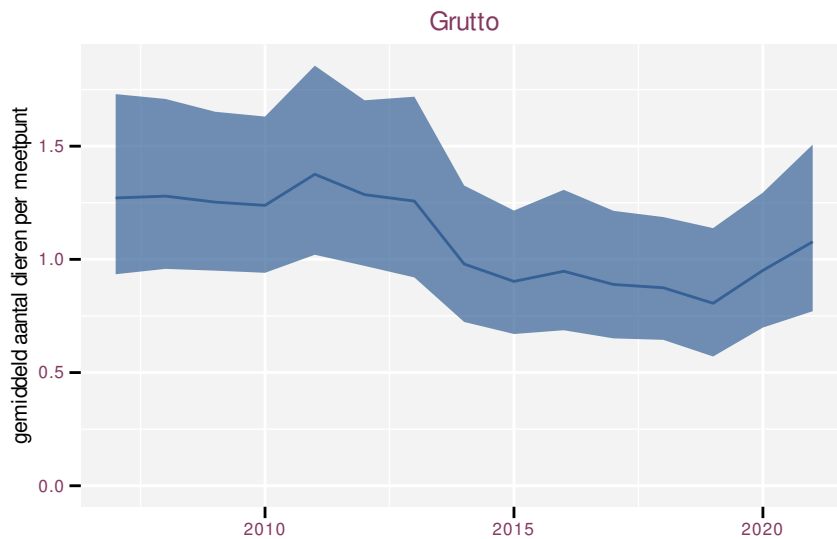
Tabel 46.2: Data-hashes van de analyses in het kader van traceerbaarheid (zie §4.3).

frequentie	model	analyse	status
jaarlijks	niet-lineair	9c231b889065905a666f cba0524f4700537c43d5	321a8a9aa0908e24e423 f5d844d5d18184bde7d2
jaarlijks	lineair	a1c9546eefd59c8a17bf 017f846b35063b13da12	3d899430f72702b74aee 0306c84341bbb9e9dbee
driejaarlijks	niet-lineair	09717284134a91fb6e79 925c256ba3d54226b910	dc39297bbc527b4d1c6b edada5b95c5724c5e1ba
driejaarlijks	lineair	06e40412167af75ba80f 51a164da30f0a7586ff9	1e69c15fbce4a54fcd44 1df33ce62763ecd64777

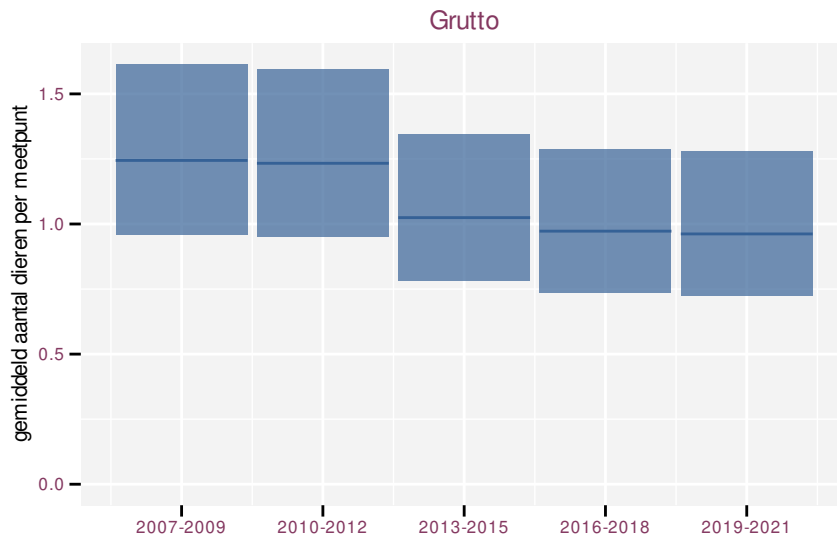
47 GRUTTO

Op basis van jaarlijkse gegevens zien we gemiddeld afname -3.2% (-4.7%; -1.6%) per jaar of -37% (-49%; -21%) over de volledige looptijd van het meetnet. Deze trend is lineair.

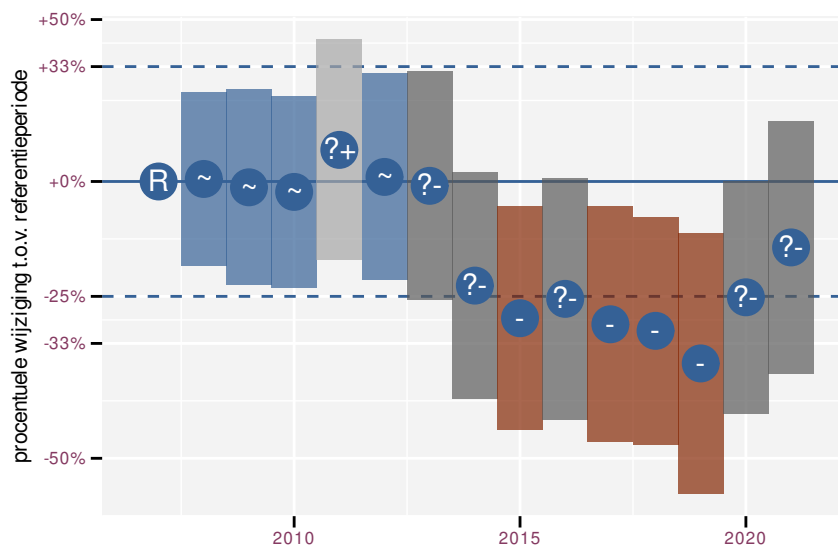
Op basis van driejaarlijkse gegevens zien we gemiddeld afname -3.2% (-4.8%; -1.7%) per jaar of -37% (-50%; -21%) over de volledige looptijd van het meetnet. Deze trend is lineair.



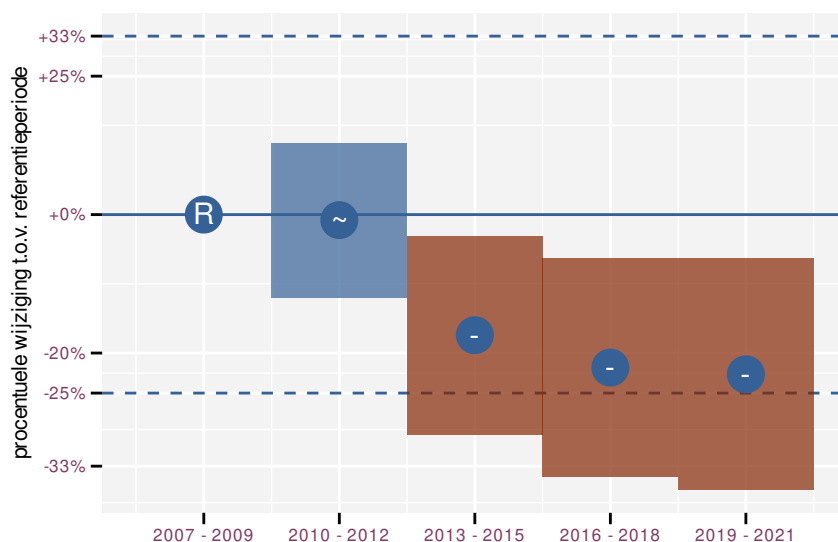
Figuur 47.1: Evolutie van het gemodelleerde gemiddeld aantal waargenomen dieren op een meetpunt voor Grutto tijdens de referentieperiode. Zie §3.1 voor een verklaring van de intervallen.



Figuur 47.2: Evolutie van het gemodelleerde gemiddeld aantal waargenomen dieren op een meetpunt voor Grutto tijdens de referentieperiode. Zie §3.1 voor een verklaring van de intervallen.



Figuur 47.3: Wijzigingen tussen jaren voor Grutto. Zie §3.1 voor een verklaring van de intervallen en §3.2 voor uitleg over de symbolen en referentielijnen.



Figuur 47.4: Wijzigingen per driejarige cyclus voor Grutto. Zie §3.1 voor een verklaring van de intervallen en §3.2 voor uitleg over de symbolen en referentielijnen.

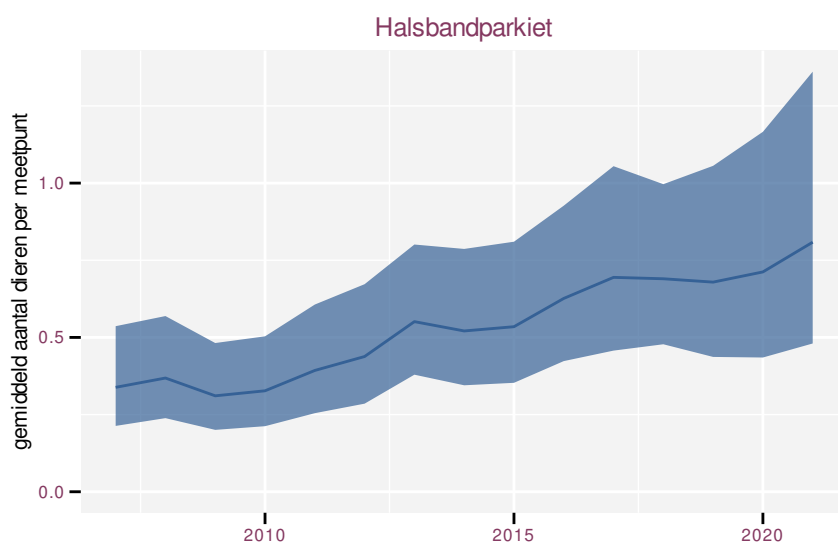
Tabel 47.1: Stratumgewicht, raming aan het aantal hokken waarin de soort aanwezig is, aantal relevant hokken voor de analyse, aantal onderzochte hokken in het stratum, totaal aantal hokken van het stratum in Vlaanderen, aantal bezoeken aan een meetpunt en het gemiddeld aandeel relevante punten per hok voor Grutto (zie §2.5).

stratum	gewicht	aanwezig	relevant	onderzocht	totaal	bezoeken	punten
Landbouw	98.8%	411.9	28	429	6311	1332	61.3%
Moeras en water	1.2%	6.8	4	80	137	75	29.2%

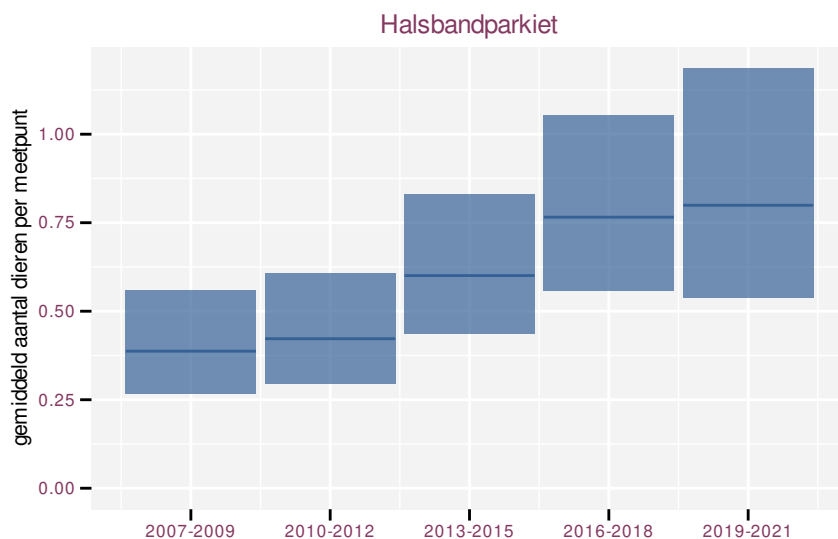
48 HALSBANDPARKIET

Op basis van jaarlijkse gegevens zien we gemiddeld sterke toename +7.13% (+3.12%; +11.30%) per jaar of +160% (+50%; +350%) over de volledige looptijd van het meetnet. Deze trend is niet-lineair.

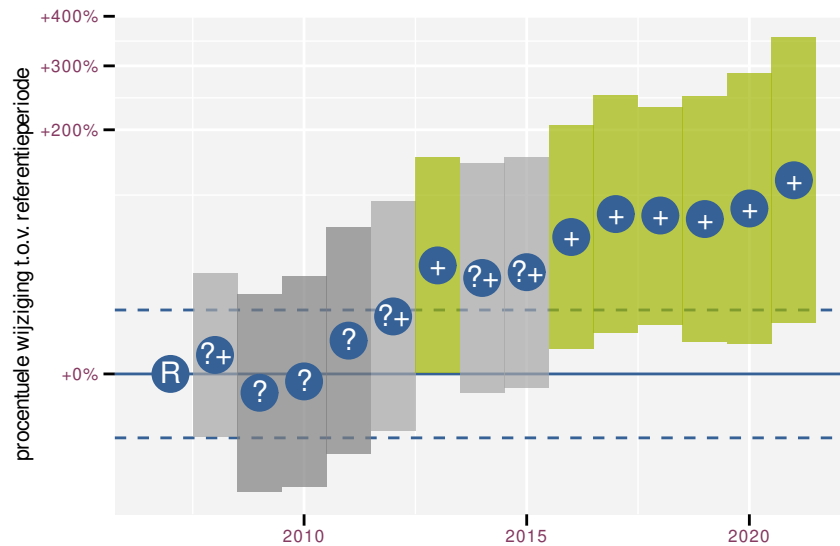
Op basis van driejaarlijkse gegevens zien we gemiddeld sterke toename +7.62% (+3.34%; +12.07%) per jaar of +180% (+60%; +390%) over de volledige looptijd van het meetnet. Deze trend is niet-lineair.



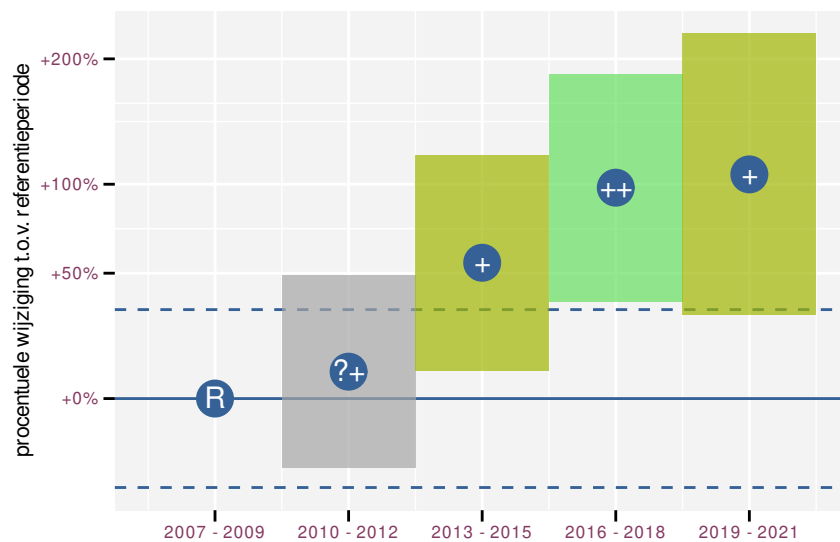
Figuur 48.1: Evolutie van het gemodelleerde gemiddeld aantal waargenomen dieren op een meetpunt voor Halsbandparkiet tijdens de referentieperiode. Zie §3.1 voor een verklaring van de intervallen.



Figuur 48.2: Evolutie van het gemodelleerde gemiddeld aantal waargenomen dieren op een meetpunt voor Halsbandparkiet tijdens de referentieperiode. Zie §3.1 voor een verklaring van de intervallen.



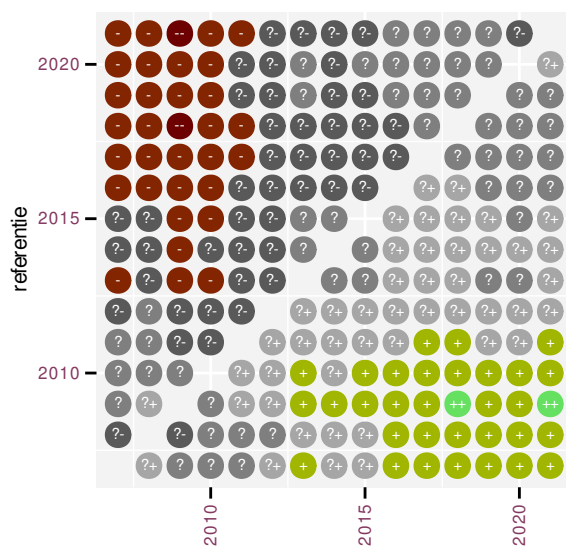
Figuur 48.3: Wijzigingen tussen jaren voor Halsbandparkiet. Zie §3.1 voor een verklaring van de intervallen en §3.2 voor uitleg over de symbolen en referentielijnen.



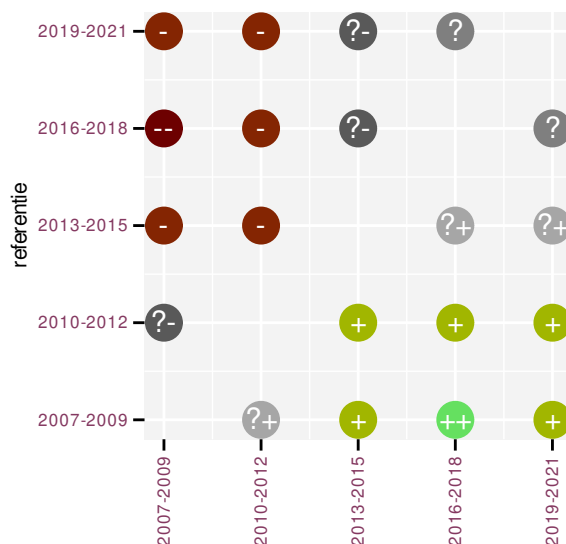
Figuur 48.4: Wijzigingen per driejarige cyclus voor Halsbandparkiet. Zie §3.1 voor een verklaring van de intervallen en §3.2 voor uitleg over de symbolen en referentielijnen.

Tabel 48.1: Stratumgewicht, raming aan het aantal hokken waarin de soort aanwezig is, aantal relevant hokken voor de analyse, aantal onderzochte hokken in het stratum, totaal aantal hokken van het stratum in Vlaanderen, aantal bezoeken aan een meetpunt en het gemiddeld aandeel relevante punten per hok voor Halsbandparkiet (zie §2.5).

stratum	gewicht	aanwezig	relevant	onderzocht	totaal	bezoeken	punten
Landbouw	54.8%	103.0	7	429	6311	220	50.0%
Urbaan	17.8%	28.7	6	87	416	279	61.1%
Suburbaan	14.7%	26.6	9	68	201	534	74.1%
Moeras en water	6.4%	10.3	6	80	137	198	52.8%
Bos	6.3%	10.1	6	190	319	195	61.1%



Figuur 48.5: Paarsgewijze vergelijking tussen jaren voor Halsbandparkiet. Uitleg van de symbolen in tabel 3.1.



Figuur 48.6: Paarsgewijze vergelijking tussen driejarige cycli voor Halsbandparkiet. Uitleg van de symbolen in tabel 3.1.

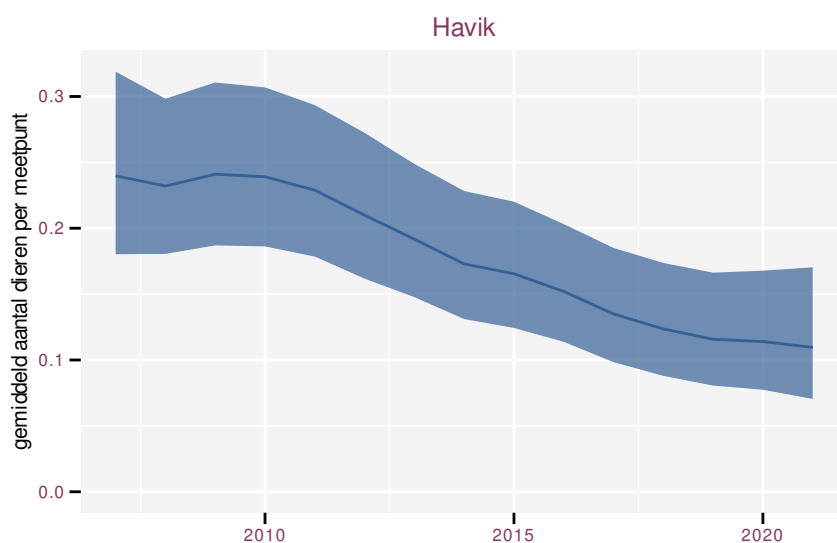
Tabel 48.2: Data-hashes van de analyses in het kader van traceerbaarheid (zie §4.3).

frequentie	model	analyse	status
jaarlijks	niet-lineair	a60863156c749f8d4650 d5ad4b305c66f8474b98	de3582966e99a1ef9505 e4ac4333d361de8e1926
jaarlijks	lineair	a8e2075cb617d2a9836e a5996ef48659132c7033	d7a88e8154e017560cc1 8456820b604c468f2c27
driejaarlijks	niet-lineair	25cd9b23314901d19d50 ff8fd5156e21131cc109	720b57d283245d7f6543 20f219495e8a36a73aa4
driejaarlijks	lineair	4aba884d941fe44836a4 37c94515733a1c28c0dc	bdd90821f9698354e3cb 97db2459407f2760cc9d

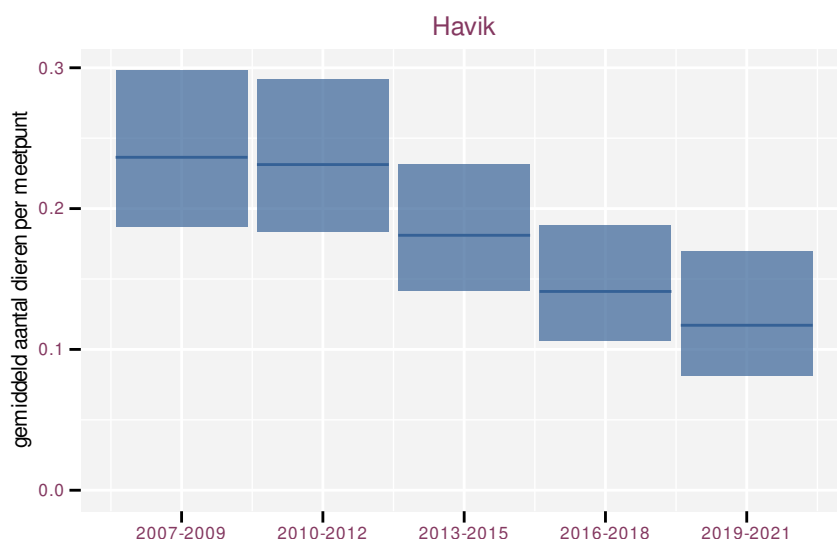
49 HAVIK

Op basis van jaarlijkse gegevens zien we gemiddeld sterke afname -7.64% (-10.54%; -4.65%) per jaar of -67% (-79%; -49%) over de volledige looptijd van het meetnet. Deze trend is lineair.

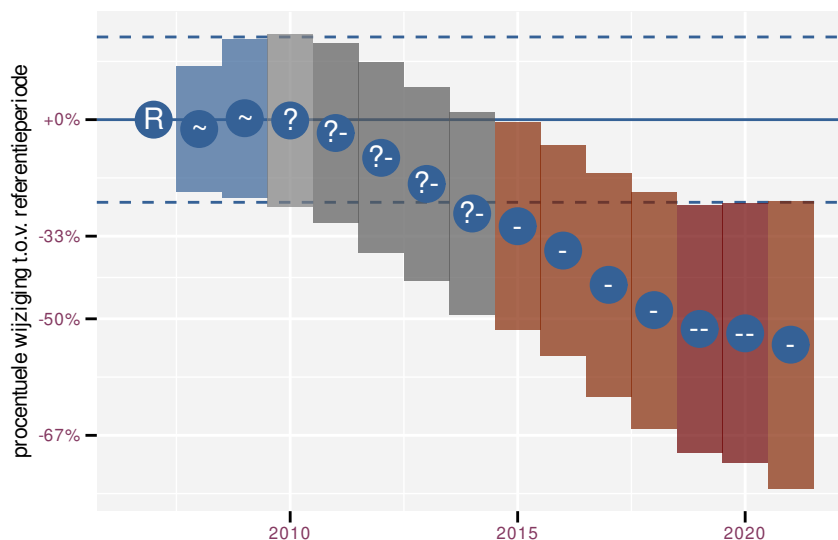
Op basis van driejaarlijkse gegevens zien we gemiddeld sterke afname -7.46% (-10.40%; -4.44%) per jaar of -66% (-78%; -47%) over de volledige looptijd van het meetnet. Deze trend is lineair.



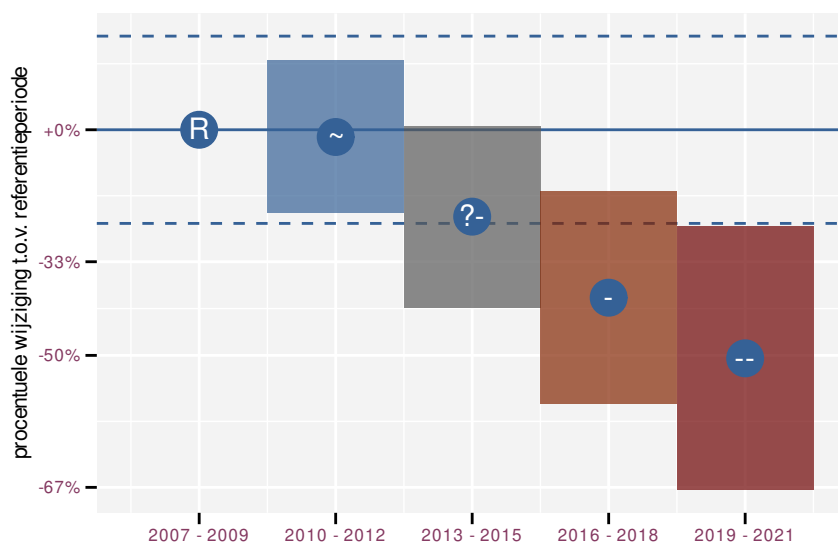
Figuur 49.1: Evolutie van het gemodelleerde gemiddeld aantal waargenomen dieren op een meetpunt voor Havik tijdens de referentieperiode. Zie §3.1 voor een verklaring van de intervallen.



Figuur 49.2: Evolutie van het gemodelleerde gemiddeld aantal waargenomen dieren op een meetpunt voor Havik tijdens de referentieperiode. Zie §3.1 voor een verklaring van de intervallen.



Figuur 49.3: Wijzigingen tussen jaren voor Havik. Zie §3.1 voor een verklaring van de intervallen en §3.2 voor uitleg over de symbolen en referentielijnen.



Figuur 49.4: Wijzigingen per driejarige cyclus voor Havik. Zie §3.1 voor een verklaring van de intervallen en §3.2 voor uitleg over de symbolen en referentielijnen.

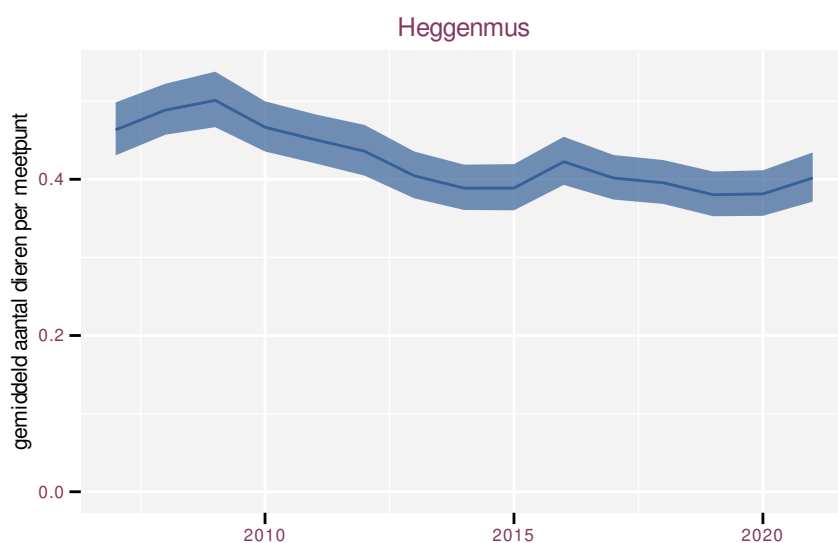
Tabel 49.1: Stratumgewicht, raming aan het aantal hokken waarin de soort aanwezig is, aantal relevant hokken voor de analyse, aantal onderzochte hokken in het stratum, totaal aantal hokken van het stratum in Vlaanderen, aantal bezoeken aan een meetpunt en het gemiddeld aandeel relevante punten per hok voor Havik (zie §2.5).

stratum	gewicht	aanwezig	relevant	onderzocht	totaal	bezoeken	punten
Bos	61.3%	43.7	26	190	319	883	42.9%
Heide en duin	38.7%	27.5	13	94	199	594	52.6%

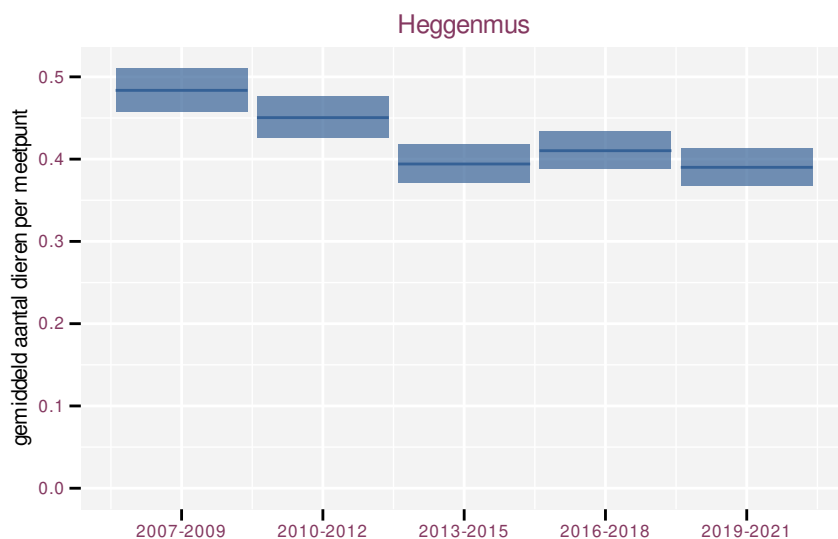
50 HEGGENMUS

Op basis van jaarlijkse gegevens zien we gemiddeld afname -1.88% (-2.33%; -1.42%) per jaar of -23.4% (-28.1%; -18.1%) over de volledige looptijd van het meetnet. Deze trend is niet-lineair.

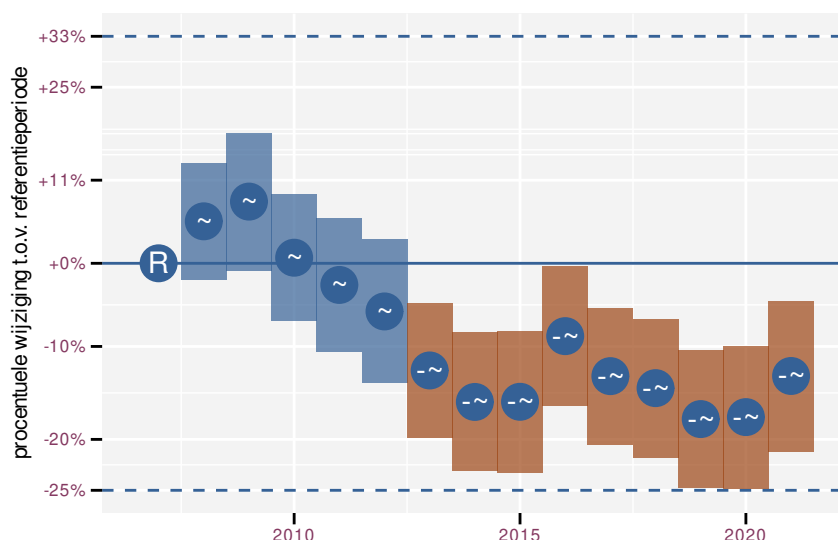
Op basis van driejaarlijkse gegevens zien we gemiddeld afname -1.95% (-2.41%; -1.49%) per jaar of -24% (-29%; -19%) over de volledige looptijd van het meetnet. Deze trend is lineair.



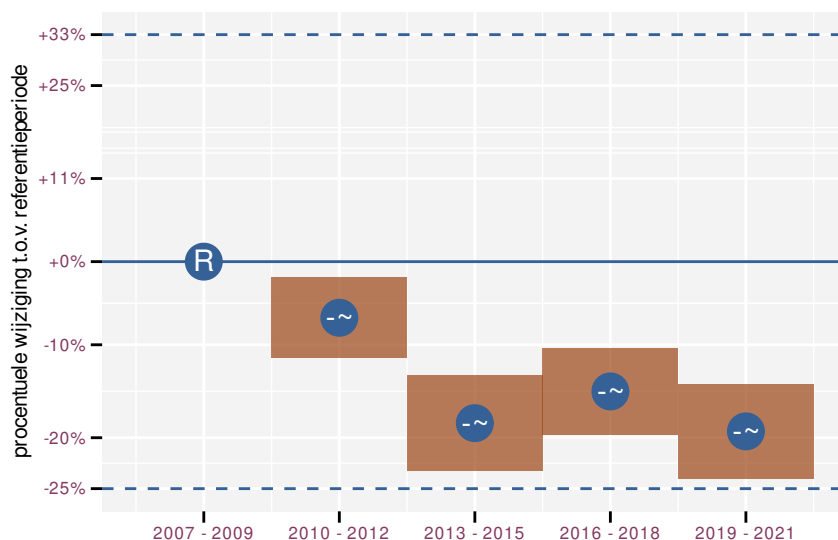
Figuur 50.1: Evolutie van het gemodelleerde gemiddeld aantal waargenomen dieren op een meetpunt voor Heggenmus tijdens de referentieperiode. Zie §3.1 voor een verklaring van de intervallen.



Figuur 50.2: Evolutie van het gemodelleerde gemiddeld aantal waargenomen dieren op een meetpunt voor Heggenmus tijdens de referentieperiode. Zie §3.1 voor een verklaring van de intervallen.



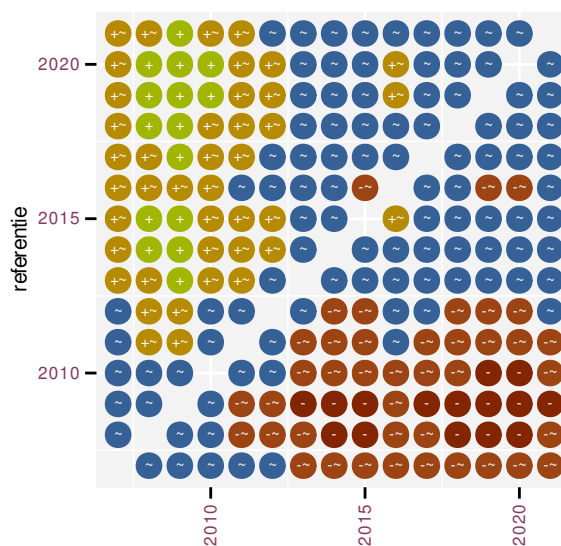
Figuur 50.3: Wijzigingen tussen jaren voor Heggenmus. Zie §3.1 voor een verklaring van de intervallen en §3.2 voor uitleg over de symbolen en referentielijnen.



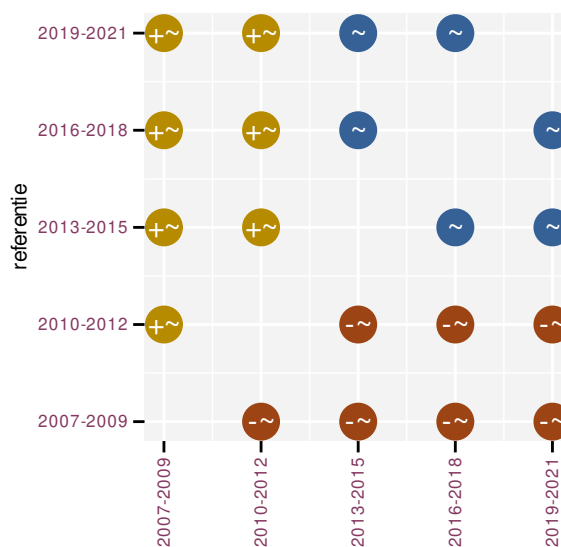
Figuur 50.4: Wijzigingen per driejarige cyclus voor Heggenmus. Zie §3.1 voor een verklaring van de intervallen en §3.2 voor uitleg over de symbolen en referentielijnen.

Tabel 50.1: Stratumgewicht, raming aan het aantal hokken waarin de soort aanwezig is, aantal relevant hokken voor de analyse, aantal onderzochte hokken in het stratum, totaal aantal hokken van het stratum in Vlaanderen, aantal bezoeken aan een meetpunt en het gemiddeld aandeel relevante punten per hok voor Heggenmus (zie §2.5).

stratum	gewicht	aanwezig	relevant	onderzocht	totaal	bezoeken	punten
Landbouw	85.7%	4457.4	303	429	6311	15805	78.3%
Urbaan	6.3%	325.1	68	87	416	3976	89.2%
Suburbaan	2.9%	150.8	51	68	201	3025	88.6%
Bos	1.8%	92.3	55	190	319	2438	56.7%
Heide en duin	1.7%	88.9	42	94	199	1819	66.7%
Moeras en water	1.6%	83.9	49	80	137	2223	66.3%



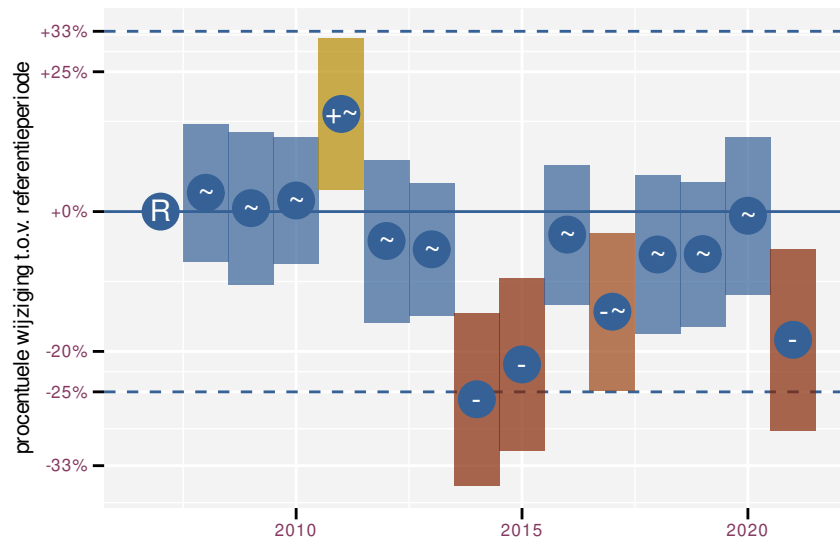
Figuur 50.5: Paarsgewijze vergelijking tussen jaren voor Heggenmus. Uitleg van de symbolen in tabel 3.1.



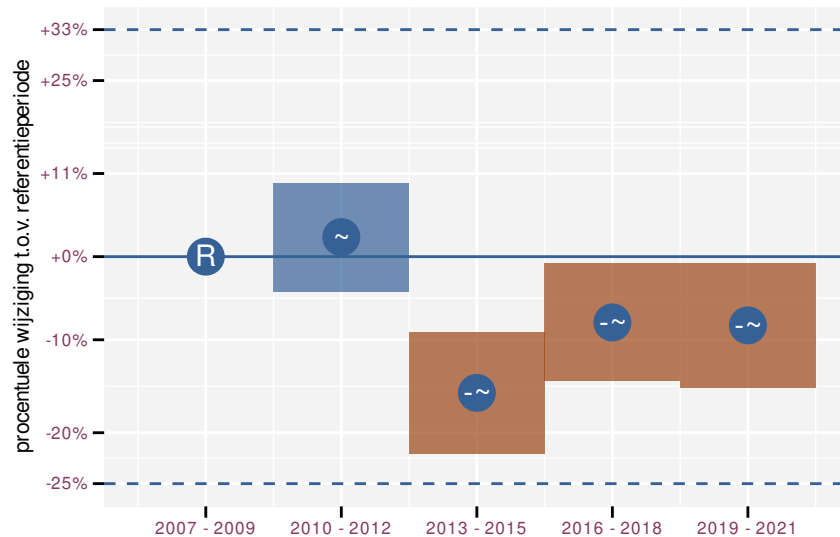
Figuur 50.6: Paarsgewijze vergelijking tussen driejarige cycli voor Heggenmus. Uitleg van de symbolen in tabel 3.1.

Tabel 50.2: Data-hashes van de analyses in het kader van traceerbaarheid (zie §4.3).

frequentie	model	analyse	status
jaarlijks	niet-lineair	f7b73e362f7f5acbefda 4969dde8f09c2d3c06d5	74a47a57518b273d2024 2dd8d5fc9a690d0af87f
jaarlijks	lineair	ae056eafc42582b8be95 c32b79732001cb856920	4b35f4c783109abe260d ad68c716c1628f7f1bfb
driejaarlijks	niet-lineair	1fb42511c1d98b378264 6aacca59fdb3fb09d64c	e12663daeff162302f77 9a5c2473cd8d0abff5b1
driejaarlijks	lineair	1922a92842ef1698bd53 d5f6686ee04f06ae4394	c006c32d13ee347eee65 94832a0eea39f4d5ef53



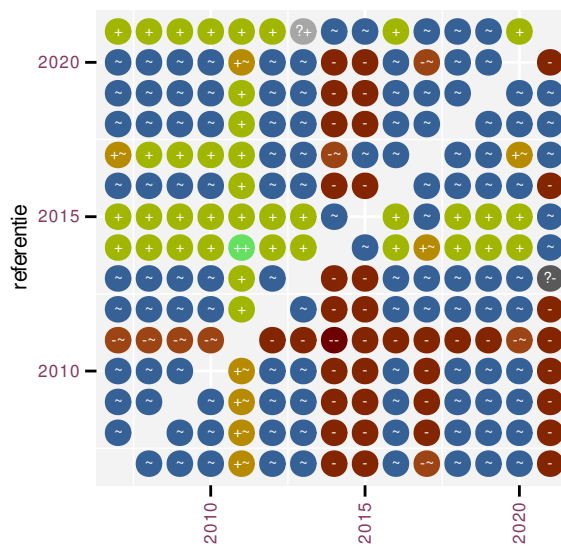
Figuur 51.3: Wijzigingen tussen jaren voor Holenduif. Zie §3.1 voor een verklaring van de intervallen en §3.2 voor uitleg over de symbolen en referentielijnen.



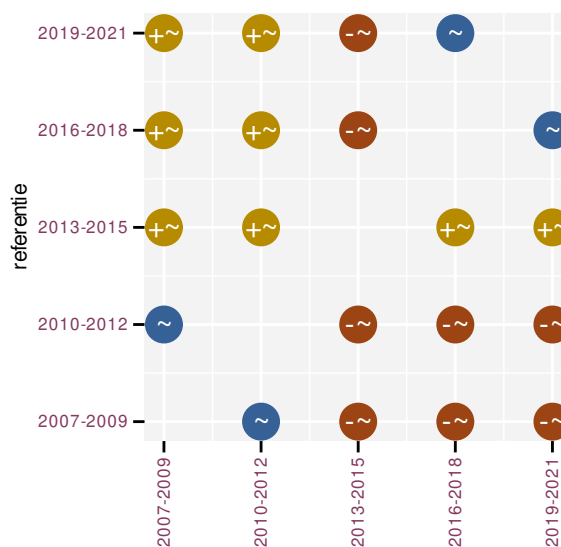
Figuur 51.4: Wijzigingen per driejarige cyclus voor Holenduif. Zie §3.1 voor een verklaring van de intervallen en §3.2 voor uitleg over de symbolen en referentielijnen.

Tabel 51.1: Stratumgewicht, raming aan het aantal hokken waarin de soort aanwezig is, aantal relevant hokken voor de analyse, aantal onderzochte hokken in het stratum, totaal aantal hokken van het stratum in Vlaanderen, aantal bezoeken aan een meetpunt en het gemiddeld aandeel relevante punten per hok voor Holenduif (zie §2.5).

stratum	gewicht	aanwezig	relevant	onderzocht	totaal	bezoeken	punten
Landbouw	89.4%	3663.0	249	429	6311	13322	75.1%
Bos	3.2%	132.6	79	190	319	4074	65.8%
Urbaan	2.5%	100.4	21	87	416	604	43.7%
Suburbaan	2.2%	88.7	30	68	201	995	51.1%
Moeras en water	1.5%	63.4	37	80	137	1483	58.6%
Heide en duin	1.2%	48.7	23	94	199	1297	63.8%



Figuur 51.5: Paarsgewijze vergelijking tussen jaren voor Holenduif. Uitleg van de symbolen in tabel 3.1.



Figuur 51.6: Paarsgewijze vergelijking tussen driejarige cycli voor Holenduif. Uitleg van de symbolen in tabel 3.1.

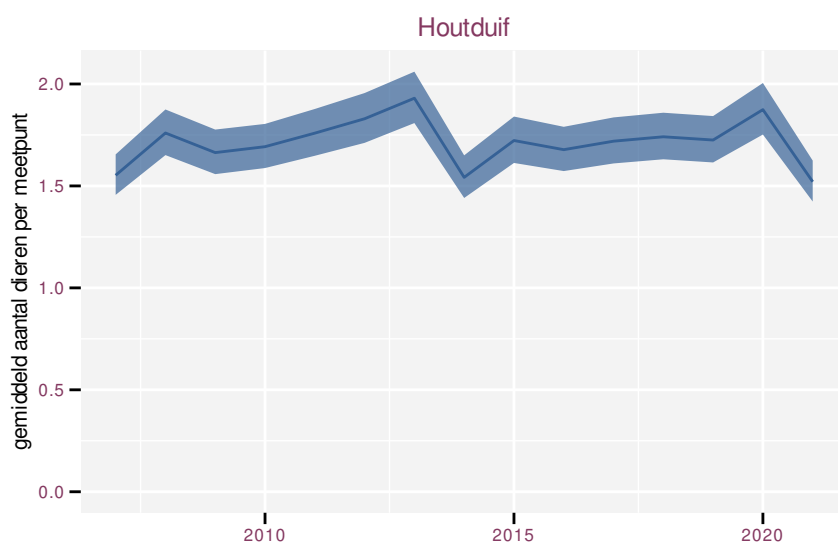
Tabel 51.2: Data-hashes van de analyses in het kader van traceerbaarheid (zie §4.3).

frequentie	model	analyse	status
jaarlijks	niet-lineair	1a8aab75f78c05556825	cd789fc2bda518a5f3a8
		e4ca984028241262f8c0	71fe28e6647da93781c5
jaarlijks	lineair	6f3133f50350f884ced2	68a098db36394c06f19f
		af3fb5aef026bd9ae74b	b9bc51eb844a84016308
driejaarlijks	niet-lineair	3283e7d506b030f6c785	f131f0b0851dc0494d6f
		09fd19a51fd8d40fd43f	f7b21206938280b8364e
driejaarlijks	lineair	3867b586c0f68c938554	8ebfd5caf3f3a238a64e
		3272465af3d99b934c97	f61cffc2920a4701dab2

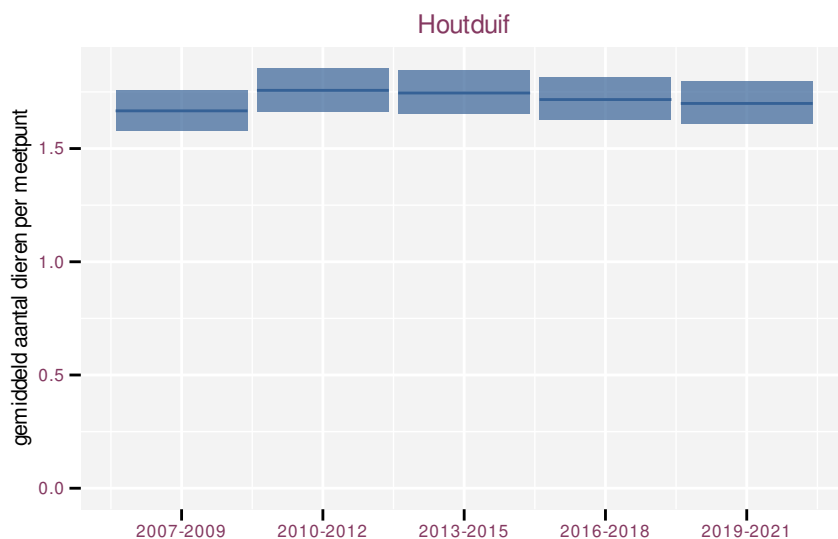
52 HOUTDUIF

Op basis van jaarlijkse gegevens zien we gemiddeld stabiel +0.12% (-0.13%; +0.37%) per jaar of +1.7% (-1.8%; +5.3%) over de volledige looptijd van het meetnet. Deze trend is niet-lineair.

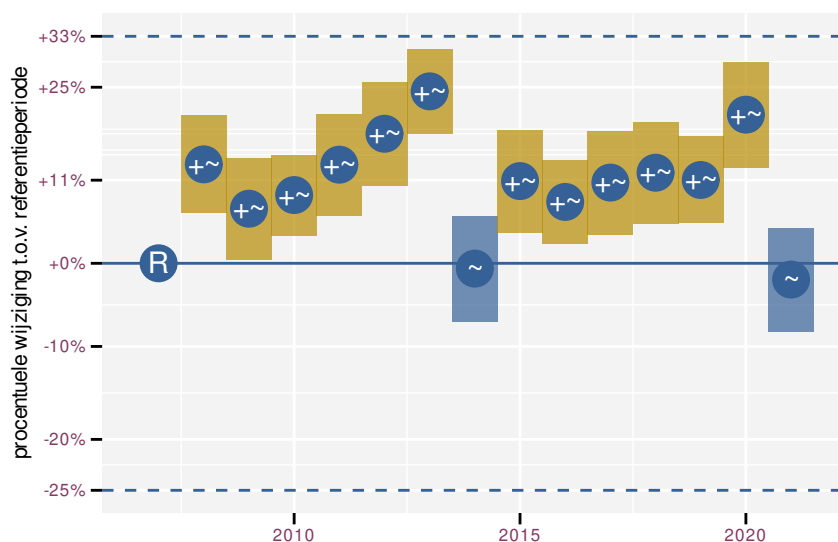
Op basis van driejaarlijkse gegevens zien we gemiddeld stabiel +0.13% (-0.13%; +0.38%) per jaar of +1.8% (-1.8%; +5.5%) over de volledige looptijd van het meetnet. Deze trend is niet-lineair.



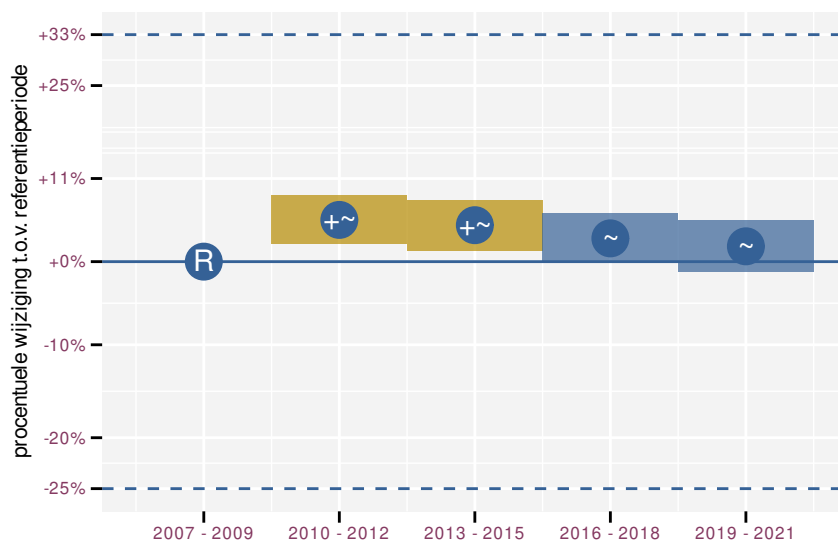
Figuur 52.1: Evolutie van het gemodelleerde gemiddeld aantal waargenomen dieren op een meetpunt voor Houtduif tijdens de referentieperiode. Zie §3.1 voor een verklaring van de intervallen.



Figuur 52.2: Evolutie van het gemodelleerde gemiddeld aantal waargenomen dieren op een meetpunt voor Houtduif tijdens de referentieperiode. Zie §3.1 voor een verklaring van de intervallen.



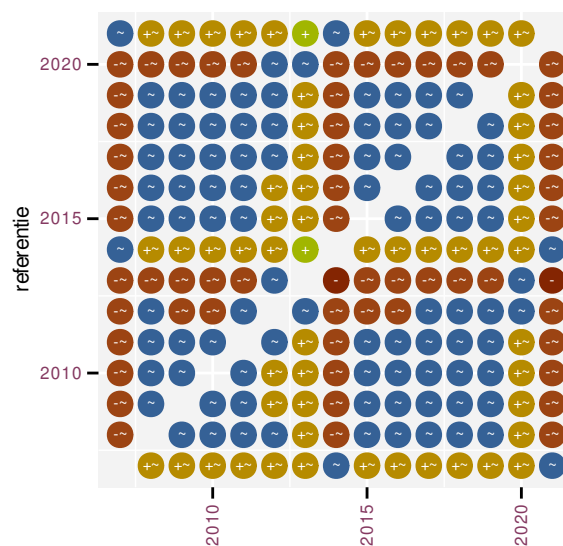
Figuur 52.3: Wijzigingen tussen jaren voor Houtduif. Zie §3.1 voor een verklaring van de intervallen en §3.2 voor uitleg over de symbolen en referentielijnen.



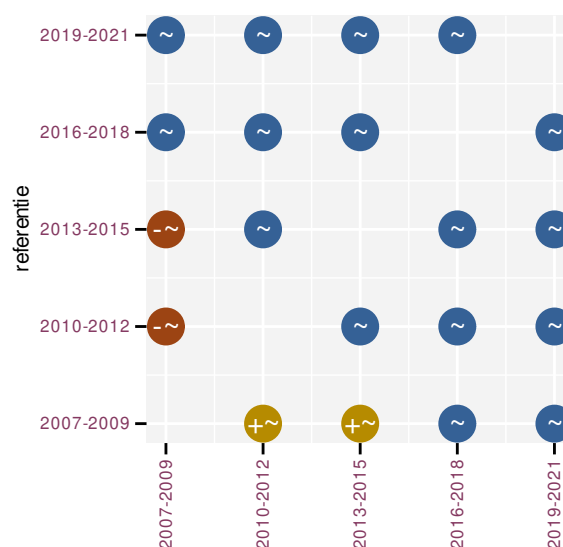
Figuur 52.4: Wijzigingen per driejarige cyclus voor Houtduif. Zie §3.1 voor een verklaring van de intervallen en §3.2 voor uitleg over de symbolen en referentielijnen.

Tabel 52.1: Stratumgewicht, raming aan het aantal hokken waarin de soort aanwezig is, aantal relevant hokken voor de analyse, aantal onderzochte hokken in het stratum, totaal aantal hokken van het stratum in Vlaanderen, aantal bezoeken aan een meetpunt en het gemiddeld aandeel relevante punten per hok voor Houtduif (zie §2.5).

stratum	gewicht	aanwezig	relevant	onderzocht	totaal	bezoeken	punten
Landbouw	83.2%	5104.7	347	429	6311	21882	98.2%
Urbaan	5.6%	344.3	72	87	416	4560	99.1%
Bos	4.0%	243.4	145	190	319	9026	95.3%
Heide en duin	2.8%	171.5	81	94	199	4769	91.2%
Suburbaan	2.7%	168.5	57	68	201	3403	96.2%
Moeras en water	1.7%	106.2	62	80	137	3753	94.9%



Figuur 52.5: Paarsgewijze vergelijking tussen jaren voor Houtduif. Uitleg van de symbolen in tabel 3.1.



Figuur 52.6: Paarsgewijze vergelijking tussen driejarige cycli voor Houtduif. Uitleg van de symbolen in tabel 3.1.

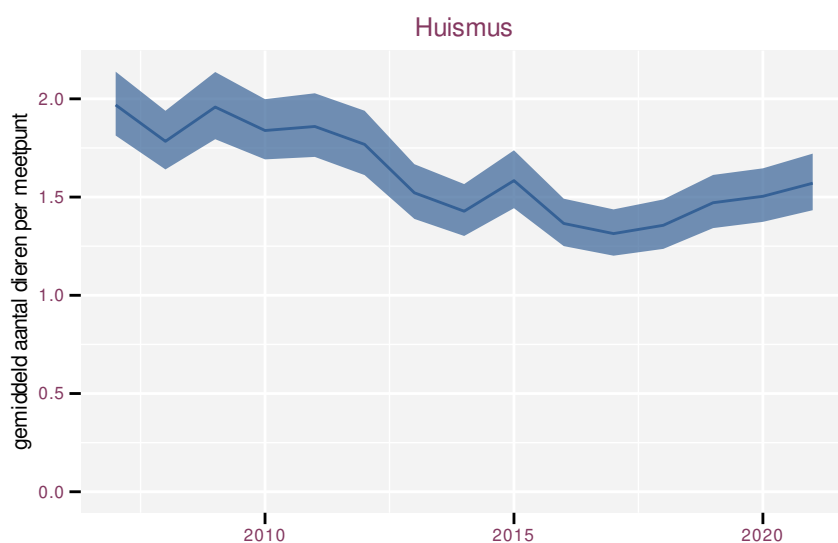
Tabel 52.2: Data-hashes van de analyses in het kader van traceerbaarheid (zie §4.3).

frequentie	model	analyse	status
jaarlijks	niet-lineair	4ba42487ebcdbae5c0ef	3b7e4c20234906189292
		3bea11bd623f5cc6b842	87328e1bd7cecd4d12cb
jaarlijks	lineair	fda7cc140433b43342bd	83fa0e00f9096d8fe9f6
		ae85e79721c57e124cf8	60f1aca766e4712db65a
driejaarlijks	niet-lineair	a313be54dbb2082d0265	7b2267dbd318e62bec5d
		c2f1a6368569f38e0eff	b4be0d6f83d20a4268cb
driejaarlijks	lineair	81e1649d944e2abaafed	5b925ee5d0264c59dc34
		a31edfa2355035efde5b	1868ea8f422f7c5c9f85

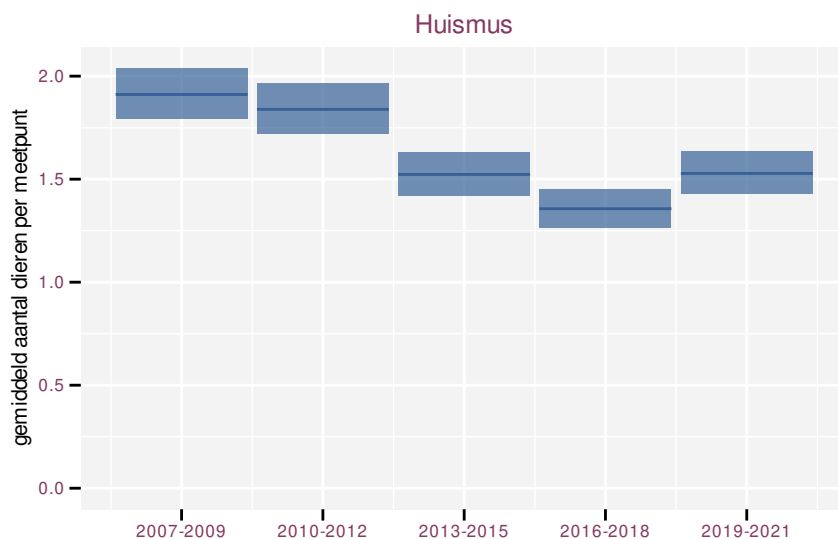
53 HUISMUS

Op basis van jaarlijkse gegevens zien we gemiddeld sterke afname -2.48% (-2.87%; -2.09%) per jaar of -29.6% (-33.5%; -25.6%) over de volledige looptijd van het meetnet. Deze trend is niet-lineair.

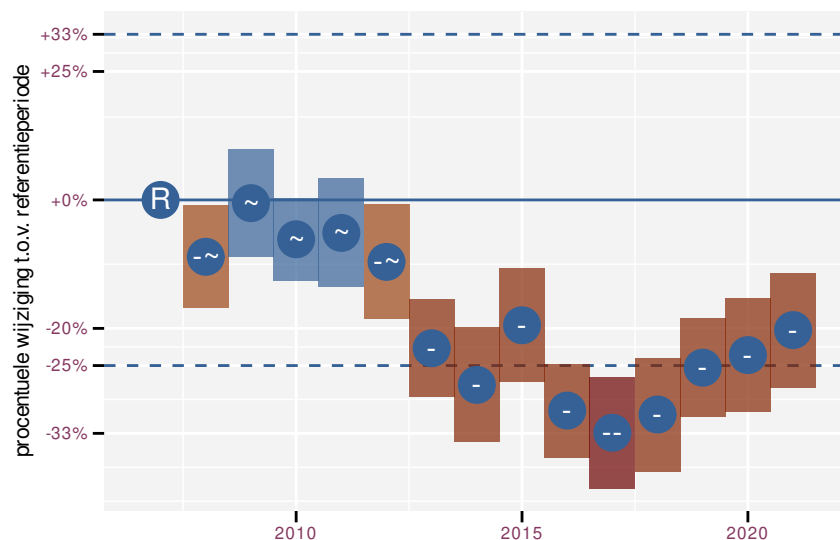
Op basis van driejaarlijkse gegevens zien we gemiddeld sterke afname -2.52% (-2.91%; -2.12%) per jaar of -30.0% (-33.9%; -26.0%) over de volledige looptijd van het meetnet. Deze trend is niet-lineair.



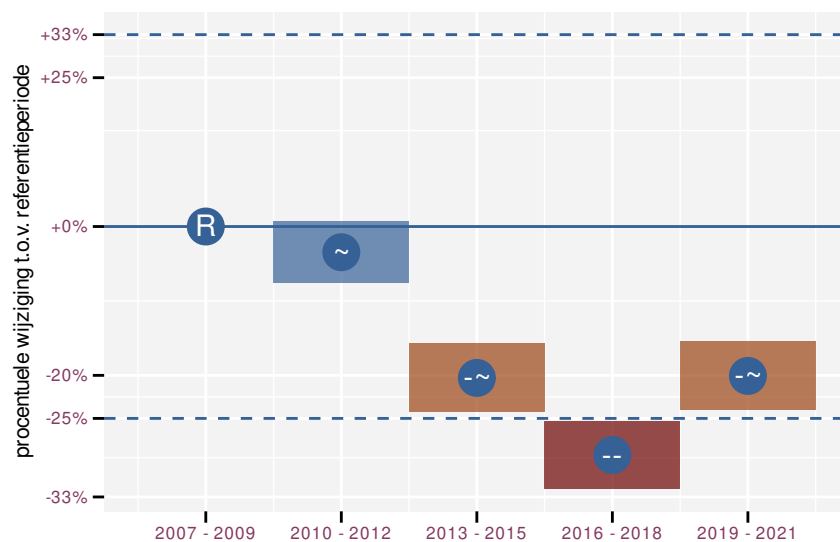
Figuur 53.1: Evolutie van het gemodelleerde gemiddeld aantal waargenomen dieren op een meetpunt voor Huisumus tijdens de referentieperiode. Zie §3.1 voor een verklaring van de intervallen.



Figuur 53.2: Evolutie van het gemodelleerde gemiddeld aantal waargenomen dieren op een meetpunt voor Huisumus tijdens de referentieperiode. Zie §3.1 voor een verklaring van de intervallen.



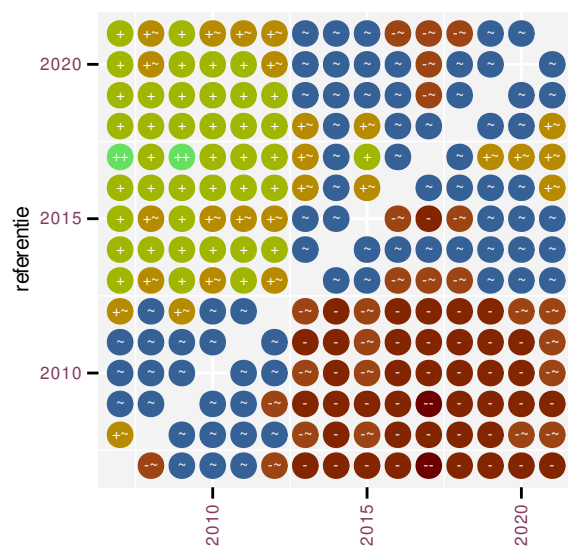
Figuur 53.3: Wijzigingen tussen jaren voor Huismus. Zie §3.1 voor een verklaring van de intervallen en §3.2 voor uitleg over de symbolen en referentielijnen.



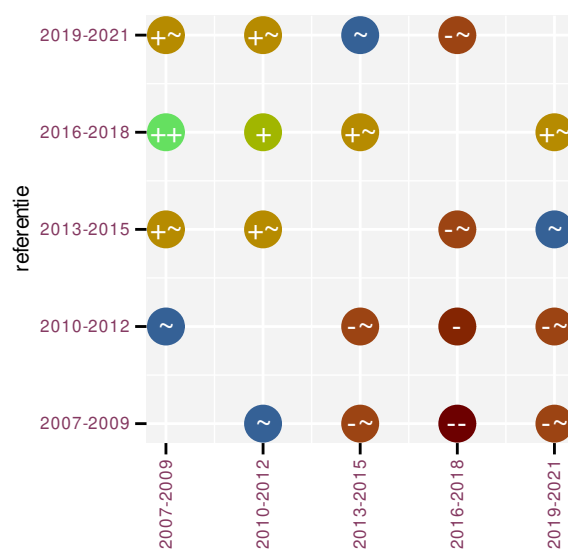
Figuur 53.4: Wijzigingen per driejarige cyclus voor Huismus. Zie §3.1 voor een verklaring van de intervallen en §3.2 voor uitleg over de symbolen en referentielijnen.

Tabel 53.1: Stratumgewicht, raming aan het aantal hokken waarin de soort aanwezig is, aantal relevant hokken voor de analyse, aantal onderzochte hokken in het stratum, totaal aantal hokken van het stratum in Vlaanderen, aantal bezoeken aan een meetpunt en het gemiddeld aandeel relevante punten per hok voor Huismus (zie §2.5).

stratum	gewicht	aanwezig	relevant	onderzocht	totaal	bezoeken	punten
Landbouw	88.7%	4339.7	295	429	6311	13883	72.2%
Urbaan	6.9%	339.5	71	87	416	4030	88.0%
Suburbaan	2.3%	112.3	38	68	201	1985	76.3%
Moeras en water	0.9%	42.8	25	80	137	892	55.3%
Heide en duin	0.8%	40.2	19	94	199	667	59.6%
Bos	0.3%	16.8	10	190	319	293	40.0%



Figuur 53.5: Paarsgewijze vergelijking tussen jaren voor Huismus. Uitleg van de symbolen in tabel 3.1.



Figuur 53.6: Paarsgewijze vergelijking tussen driejarige cycli voor Huismus. Uitleg van de symbolen in tabel 3.1.

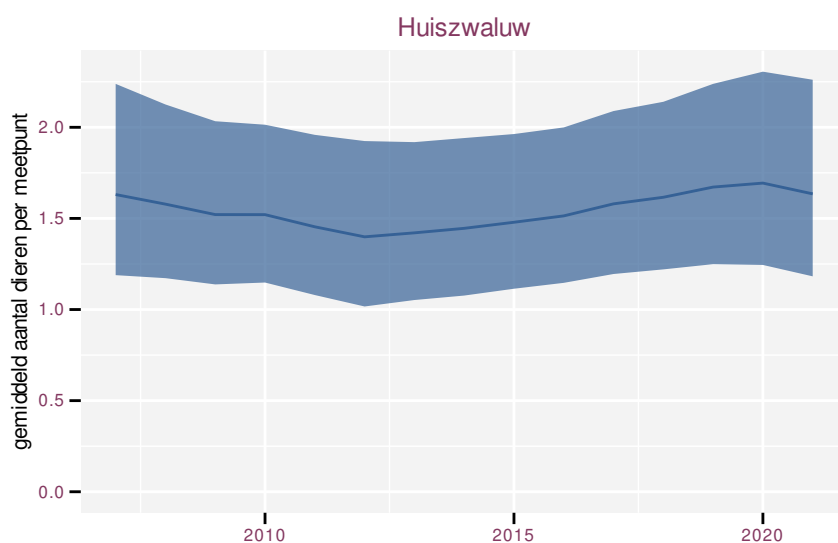
Tabel 53.2: Data-hashes van de analyses in het kader van traceerbaarheid (zie §4.3).

frequentie	model	analyse	status
jaarlijks	niet-lineair	368a10e0c0a46d003a6d fb2b0b668cd50c8dc49d	77698c40073b9ed31706 1d64f83343a8ea5b7641
jaarlijks	lineair	baf121e0b8656d1eb972 610b535cbb44209d7a4d	c068e21d5f793810e2df c28023ead57db60751a8
driejaarlijks	niet-lineair	eae98b1e5742718a4fbb be4fe3b19296e80c4335	03943917fc1198ecac33 593664597061ca32a62d
driejaarlijks	lineair	2b513b4f5ad33d32bfa7 0f0370254a6ee1082b6f	08a8c8f9e952516b7017 971bac95c5cc1aaa950f

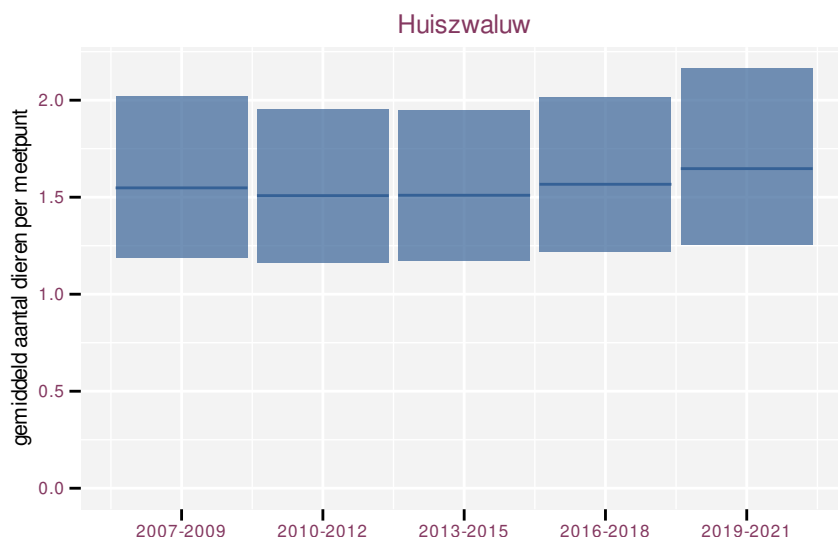
54 HUISZWALUW

Op basis van jaarlijkse gegevens zien we gemiddeld onduidelijk +0.7% (-2.4%; +4.0%) per jaar of +10% (-30%; +70%) over de volledige looptijd van het meetnet. Deze trend is niet-lineair.

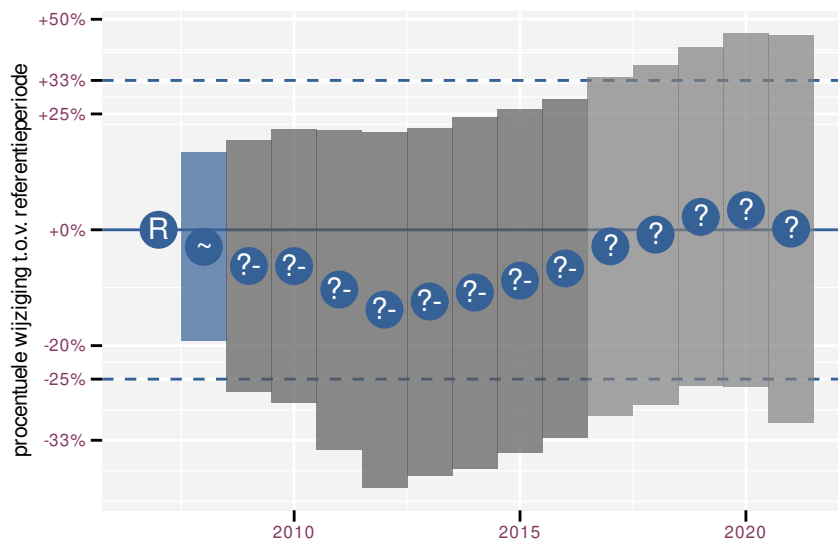
Op basis van driejaarlijkse gegevens zien we gemiddeld mogelijke toename +1.6% (-1.7%; +5.0%) per jaar of +20% (-20%; +100%) over de volledige looptijd van het meetnet. Deze trend is niet-lineair.



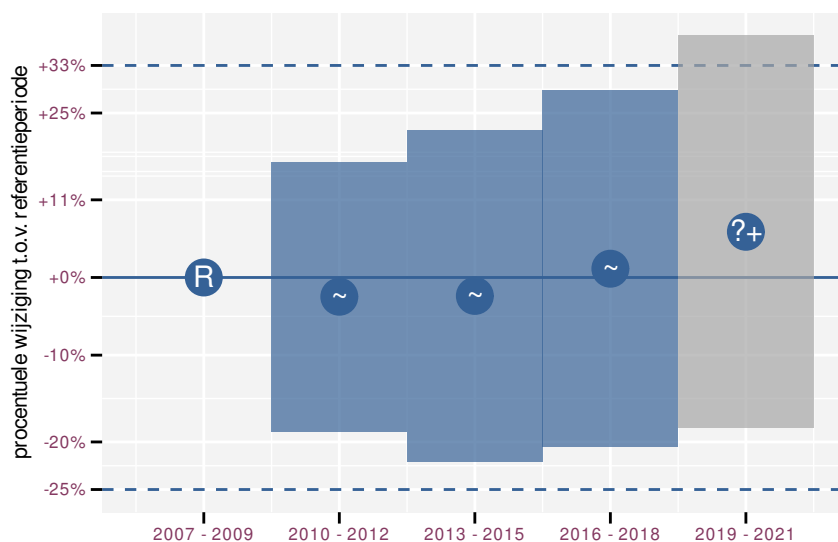
Figuur 54.1: Evolutie van het gemodelleerde gemiddeld aantal waargenomen dieren op een meetpunt voor Huiszwaluw tijdens de referentieperiode. Zie §3.1 voor een verklaring van de intervallen.



Figuur 54.2: Evolutie van het gemodelleerde gemiddeld aantal waargenomen dieren op een meetpunt voor Huiszwaluw tijdens de referentieperiode. Zie §3.1 voor een verklaring van de intervallen.



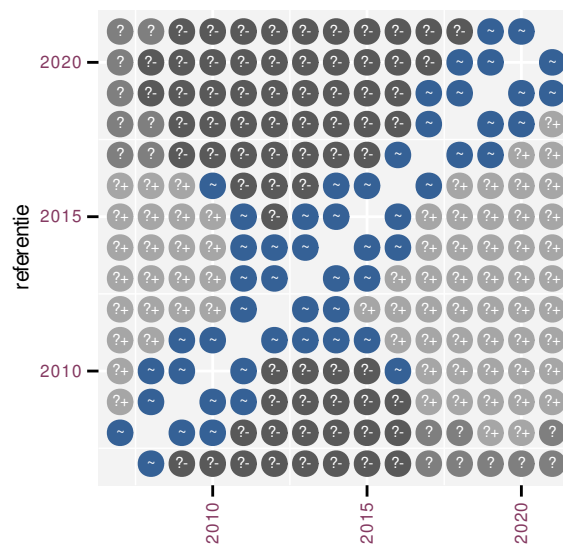
Figuur 54.3: Wijzigingen tussen jaren voor Huiszwaluw. Zie §3.1 voor een verklaring van de intervallen en §3.2 voor uitleg over de symbolen en referentielijnen.



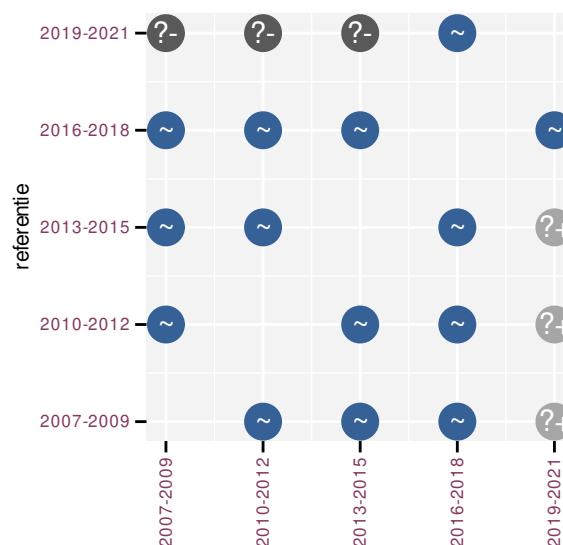
Figuur 54.4: Wijzigingen per driejarige cyclus voor Huiszwaluw. Zie §3.1 voor een verklaring van de intervallen en §3.2 voor uitleg over de symbolen en referentielijnen.

Tabel 54.1: Stratumgewicht, raming aan het aantal hokken waarin de soort aanwezig is, aantal relevant hokken voor de analyse, aantal onderzochte hokken in het stratum, totaal aantal hokken van het stratum in Vlaanderen, aantal bezoeken aan een meetpunt en het gemiddeld aandeel relevante punten per hok voor Huiszwaluw (zie §2.5).

stratum	gewicht	aanwezig	relevant	onderzocht	totaal	bezoeken	punten
Landbouw	93.6%	706.1	48	429	6311	1058	46.5%
Urbaan	3.2%	28.7	6	87	416	116	44.4%
Moeras en water	1.4%	12.0	7	80	137	160	54.8%
Suburbaan	1.2%	11.8	4	68	201	70	37.5%
Bos	0.7%	6.7	4	190	319	67	37.5%



Figuur 54.5: Paarsgewijze vergelijking tussen jaren voor Huiszwaluw. Uitleg van de symbolen in tabel 3.1.



Figuur 54.6: Paarsgewijze vergelijking tussen driejarige cycli voor Huiszwaluw. Uitleg van de symbolen in tabel 3.1.

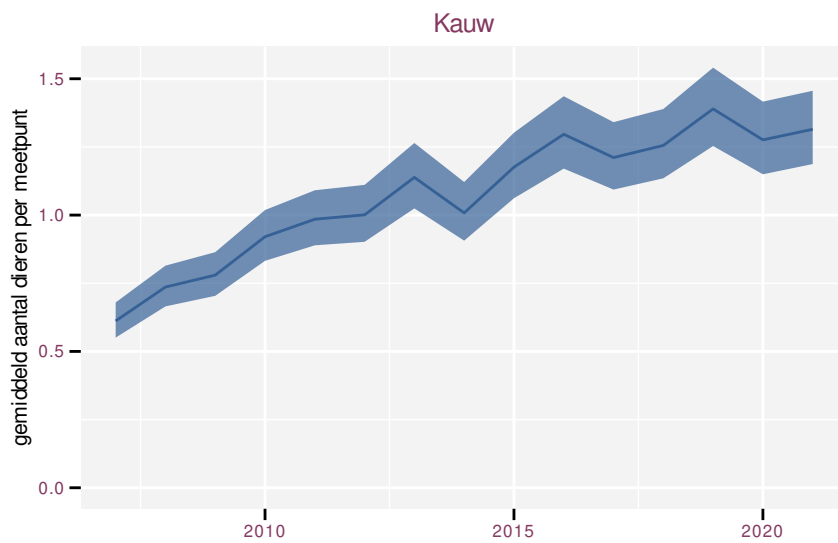
Tabel 54.2: Data-hashes van de analyses in het kader van traceerbaarheid (zie §4.3).

frequentie	model	analyse	status
jaarlijks	niet-lineair	497d63ec8c84253ffd49 d243a3b4e0705d0702e2	e886f7921b321794bb96 bb0a3be5e88fd53d8696
jaarlijks	lineair	e82a135fd22ec238ceb6 2a9b627ccd6ea404fcf4	3f37ee3e5c3d5b618527 214dd55b3448455ae927
driejaarlijks	niet-lineair	52b8047c6b4338981e8a 9de9f600cf782728c8eb	b3ea6e747efd901086e6 f55ea9093d20b9e4f5ad
driejaarlijks	lineair	224130efeb7e4b1f0968 94719ecf8bb707a2e286	174a17740b565697e7e8 7a25b6762a7e45505fad

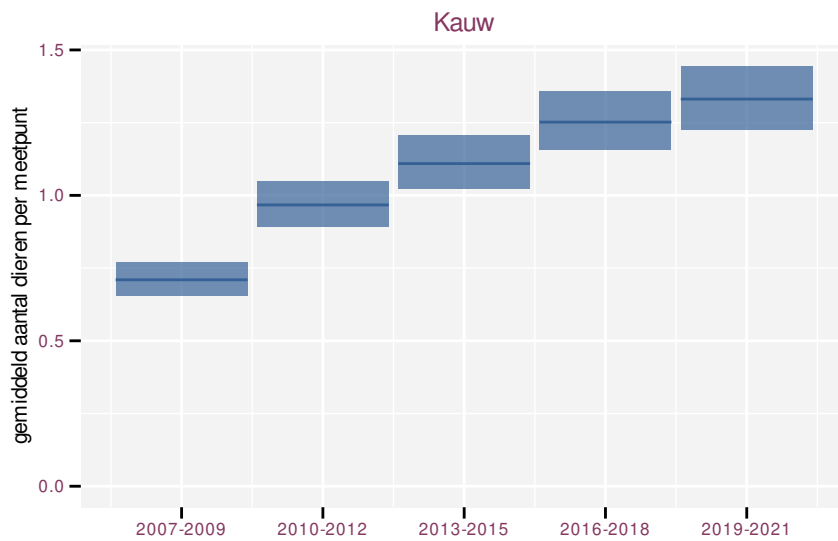
55 KAUW

Op basis van jaarlijkse gegevens zien we gemiddeld sterke toename +5.32% (+4.82%; +5.81%) per jaar of +106.5% (+93.4%; +120.6%) over de volledige looptijd van het meetnet. Deze trend is niet-lineair.

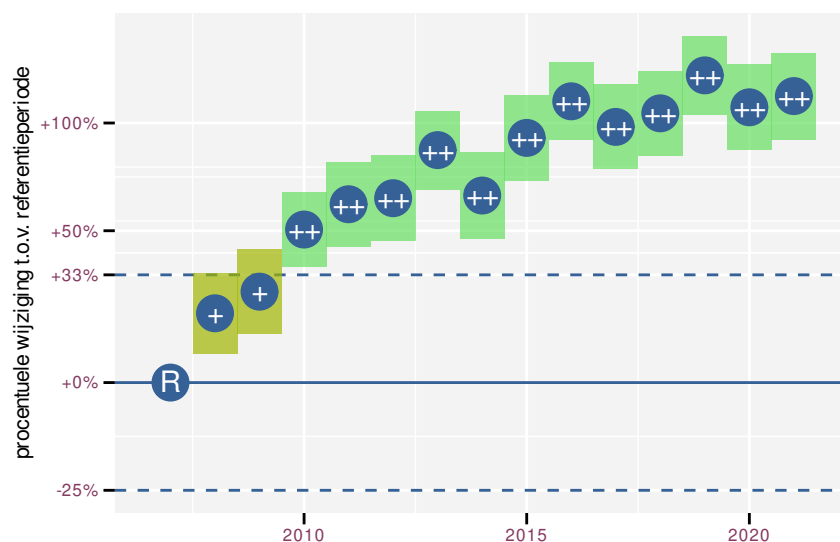
Op basis van driejaarlijkse gegevens zien we gemiddeld sterke toename +5.4% (+4.9%; +5.9%) per jaar of +107.8% (+94.4%; +122.1%) over de volledige looptijd van het meetnet. Deze trend is niet-lineair.



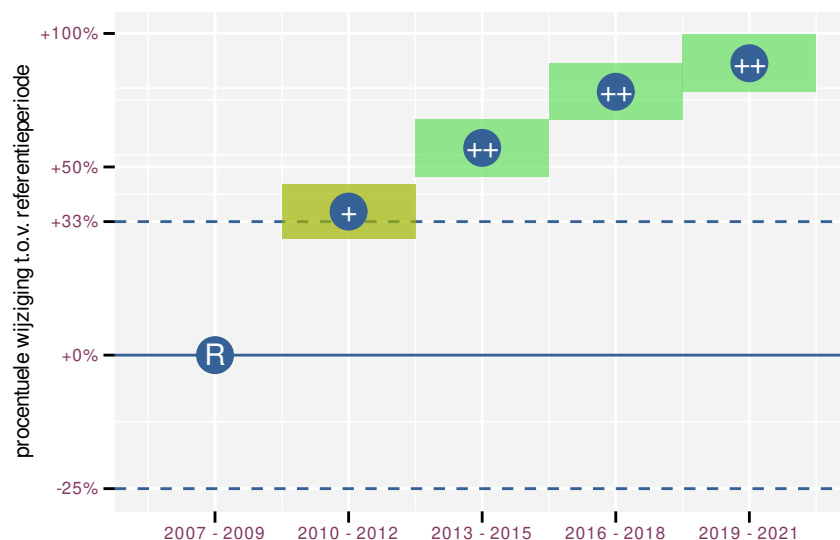
Figuur 55.1: Evolutive van het gemodelleerde gemiddeld aantal waargenomen dieren op een meetpunt voor Kauw tijdens de referentieperiode. Zie §3.1 voor een verklaring van de intervallen.



Figuur 55.2: Evolutive van het gemodelleerde gemiddeld aantal waargenomen dieren op een meetpunt voor Kauw tijdens de referentieperiode. Zie §3.1 voor een verklaring van de intervallen.



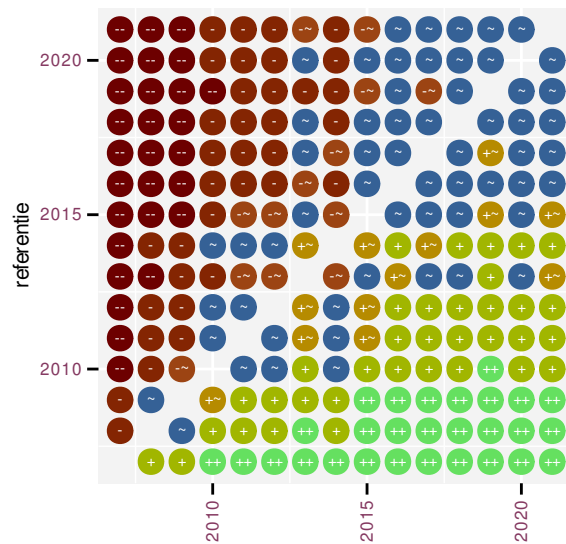
Figuur 55.3: Wijzigingen tussen jaren voor Kauw. Zie §3.1 voor een verklaring van de intervallen en §3.2 voor uitleg over de symbolen en referentielijnen.



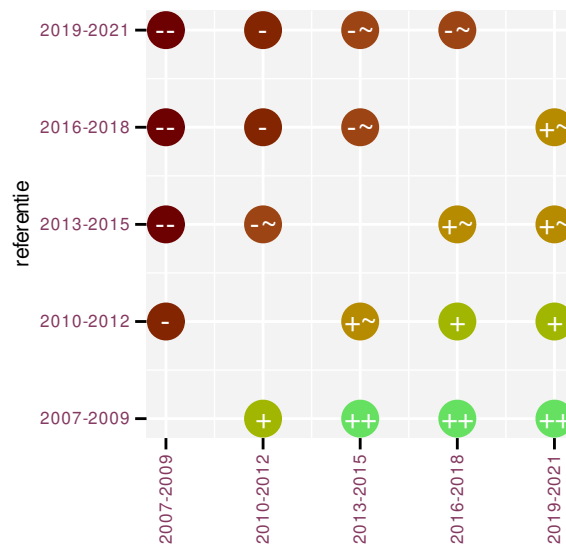
Figuur 55.4: Wijzigingen per driejarige cyclus voor Kauw. Zie §3.1 voor een verklaring van de intervallen en §3.2 voor uitleg over de symbolen en referentielijnen.

Tabel 55.1: Stratumgewicht, raming aan het aantal hokken waarin de soort aanwezig is, aantal relevant hokken voor de analyse, aantal onderzochte hokken in het stratum, totaal aantal hokken van het stratum in Vlaanderen, aantal bezoeken aan een meetpunt en het gemiddeld aandeel relevante punten per hok voor Kauw (zie §2.5).

stratum	gewicht	aanwezig	relevant	onderzocht	totaal	bezoeken	punten
Landbouw	86.5%	4604.5	313	429	6311	17998	87.0%
Urbaan	6.1%	325.1	68	87	416	4236	97.1%
Suburbaan	2.6%	136.0	46	68	201	2664	87.0%
Bos	1.7%	92.3	55	190	319	2627	63.0%
Heide en duin	1.6%	86.8	41	94	199	2049	70.7%
Moeras en water	1.4%	75.3	44	80	137	2036	68.6%



Figuur 55.5: Paarsgewijze vergelijking tussen jaren voor Kauw. Uitleg van de symbolen in tabel 3.1.



Figuur 55.6: Paarsgewijze vergelijking tussen driejarige cycli voor Kauw. Uitleg van de symbolen in tabel 3.1.

Tabel 55.2: Data-hashes van de analyses in het kader van traceerbaarheid (zie §4.3).

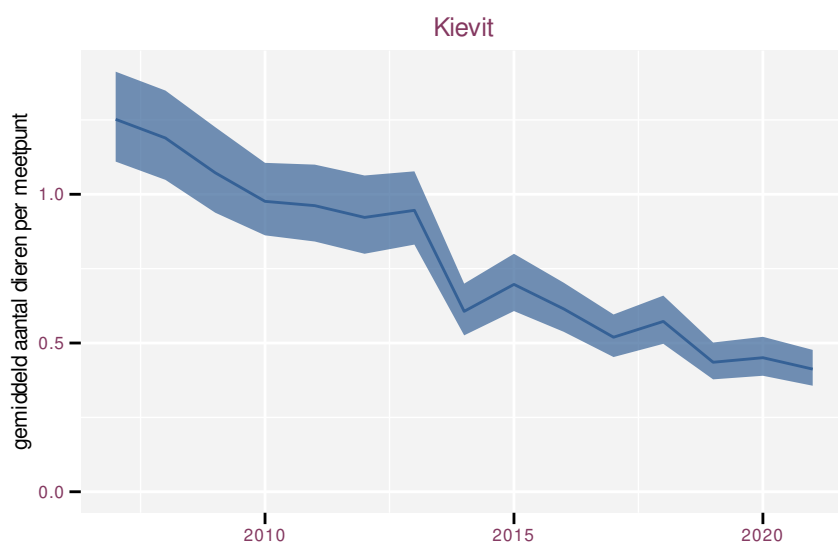
frequentie	model	analyse	status
jaarlijks	niet-lineair	412159e1ab23dc0c97f4	e3134937a413c111a57c
		8815a0a5d29d33bfe4e5	4356c1d00687a79e791b
jaarlijks	lineair	d4c77e1d14ae5b495796	13e54b5f09e2eba6c607
		7ca8c1c3e9728c916a7b	82fea237d76c77ec8383
driejaarlijks	niet-lineair	b757bdedeb2f7b32201c	bb9aa3324018599ef66e
		c35c7ecc86a4aea4d20a	53cecec8b6f952c7bd8d
driejaarlijks	lineair	517160df16265b89f9bb	9639f3b45c6682e191d8
		07e32a80c7b7ca668724	609459b3faac5e86d8cc



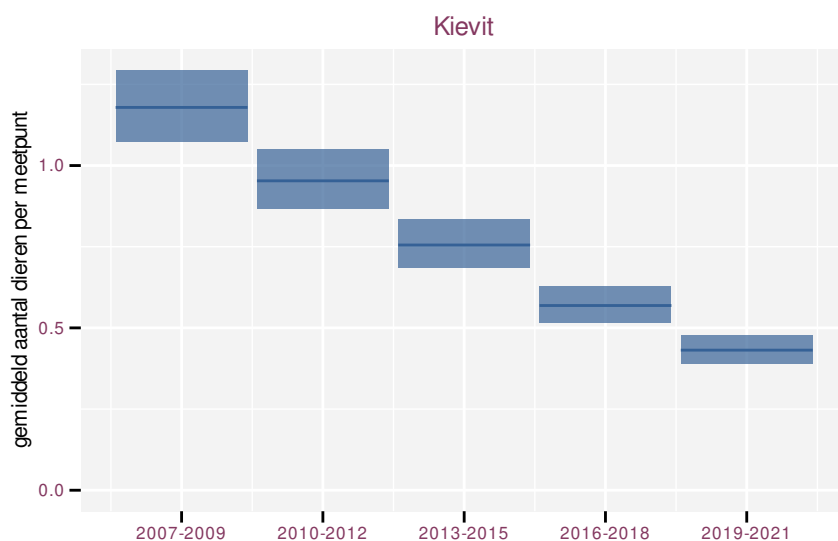
56 KIEVIT

Op basis van jaarlijkse gegevens zien we gemiddeld sterke afname -8.3% (-8.9%; -7.7%) per jaar of -70.4% (-73.0%; -67.5%) over de volledige looptijd van het meetnet. Deze trend is niet-lineair.

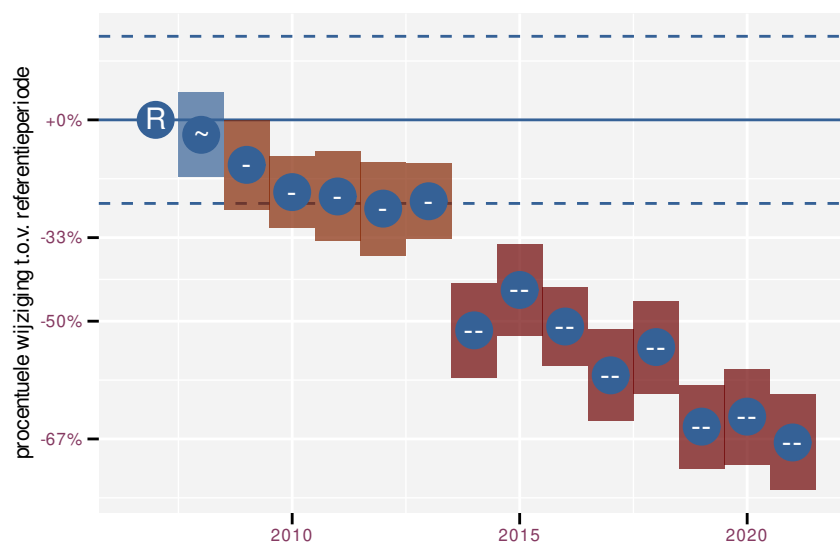
Op basis van driejaarlijkse gegevens zien we gemiddeld sterke afname -8.4% (-9.0%; -7.8%) per jaar of -70.8% (-73.4%; -67.9%) over de volledige looptijd van het meetnet. Deze trend is lineair.



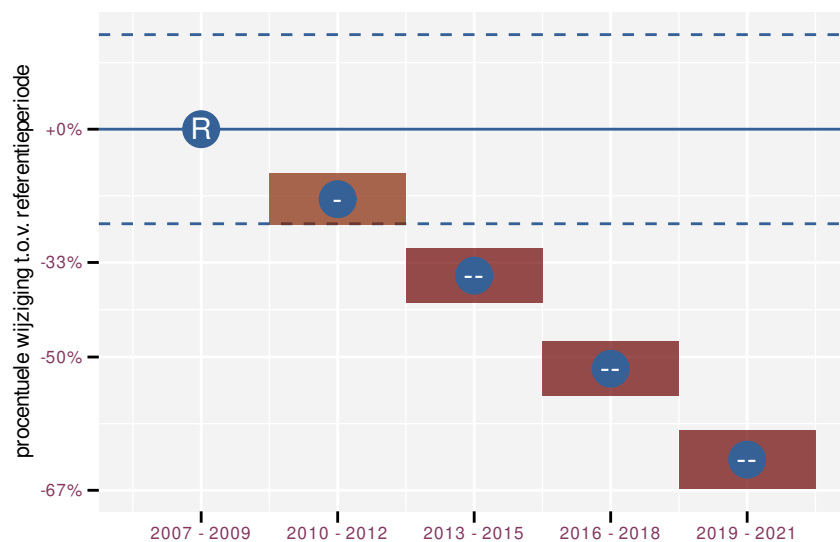
Figuur 56.1: Evolutie van het gemodelleerde gemiddeld aantal waargenomen dieren op een meetpunt voor Kievit tijdens de referentieperiode. Zie §3.1 voor een verklaring van de intervallen.



Figuur 56.2: Evolutie van het gemodelleerde gemiddeld aantal waargenomen dieren op een meetpunt voor Kievit tijdens de referentieperiode. Zie §3.1 voor een verklaring van de intervallen.



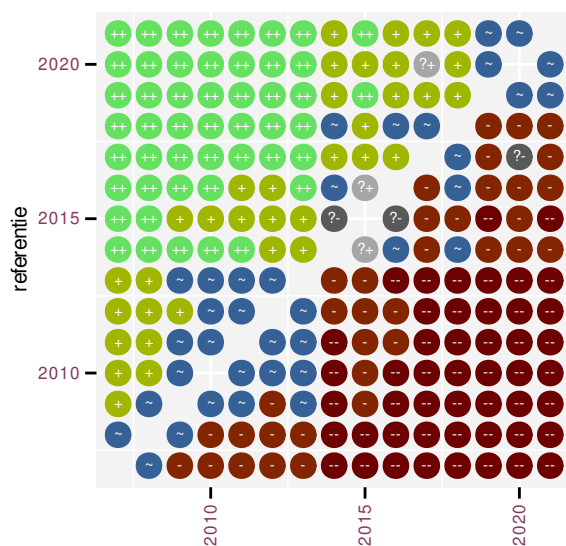
Figuur 56.3: Wijzigingen tussen jaren voor Kievit. Zie §3.1 voor een verklaring van de intervallen en §3.2 voor uitleg over de symbolen en referentielijnen.



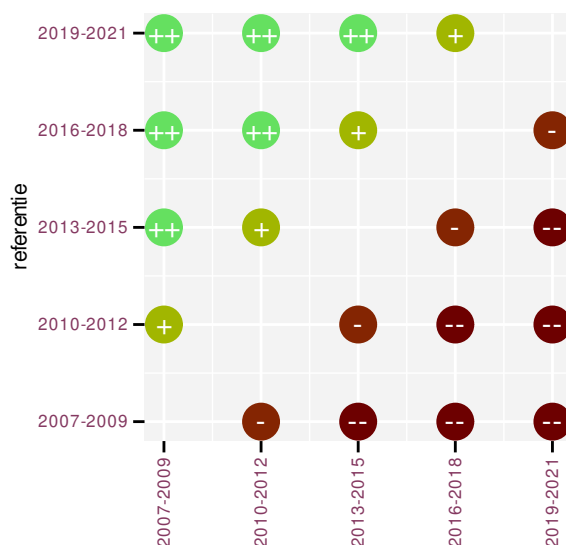
Figuur 56.4: Wijzigingen per driejarige cyclus voor Kievit. Zie §3.1 voor een verklaring van de intervallen en §3.2 voor uitleg over de symbolen en referentielijnen.

Tabel 56.1: Stratumgewicht, raming aan het aantal hokken waarin de soort aanwezig is, aantal relevant hokken voor de analyse, aantal onderzochte hokken in het stratum, totaal aantal hokken van het stratum in Vlaanderen, aantal bezoeken aan een meetpunt en het gemiddeld aandeel relevante punten per hok voor Kievit (zie §2.5).

stratum	gewicht	aanwezig	relevant	onderzocht	totaal	bezoeken	punten
Landbouw	96.8%	4486.8	305	429	6311	15431	76.3%
Moeras en water	0.9%	42.8	25	80	137	1170	66.7%
Urbaan	0.6%	33.5	7	87	416	123	26.2%
Heide en duin	0.6%	27.5	13	94	199	677	57.7%
Bos	0.6%	26.9	16	190	319	417	39.6%
Suburbaan	0.4%	23.6	8	68	201	236	56.2%



Figuur 56.5: Paarsgewijze vergelijking tussen jaren voor Kievit. Uitleg van de symbolen in tabel 3.1.



Figuur 56.6: Paarsgewijze vergelijking tussen driejarige cycli voor Kievit. Uitleg van de symbolen in tabel 3.1.

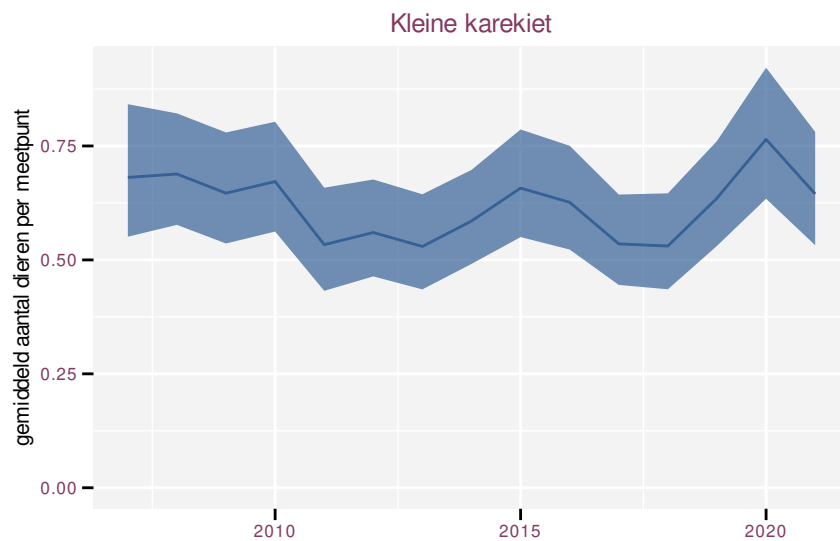
Tabel 56.2: Data-hashes van de analyses in het kader van traceerbaarheid (zie §4.3).

frequentie	model	analyse	status
jaarlijks	niet-lineair	0225ef2205b9c1c7cc14 7a530aa3c86b4d32d0d4	aa9cffc4ee8a2ac73fc0 66bc84c2a0ecf719d846
jaarlijks	lineair	6fffde3d3ca95fcb8748 15c64ff94b6c16955551	0d772dc4fc2a8d61711f e46f1cd402e45a3ae36a
driejaarlijks	niet-lineair	48bb1b2485c958731f7e a1980591c1629101eb6e	c67b597b36e9b74d07f9 ce7997d9950585099878
driejaarlijks	lineair	1590e8c7c6e311fefa6d 65246e7c70c9fb2effad	2461fdc8b5fd7423633c 0446cec2029abf6b23d0

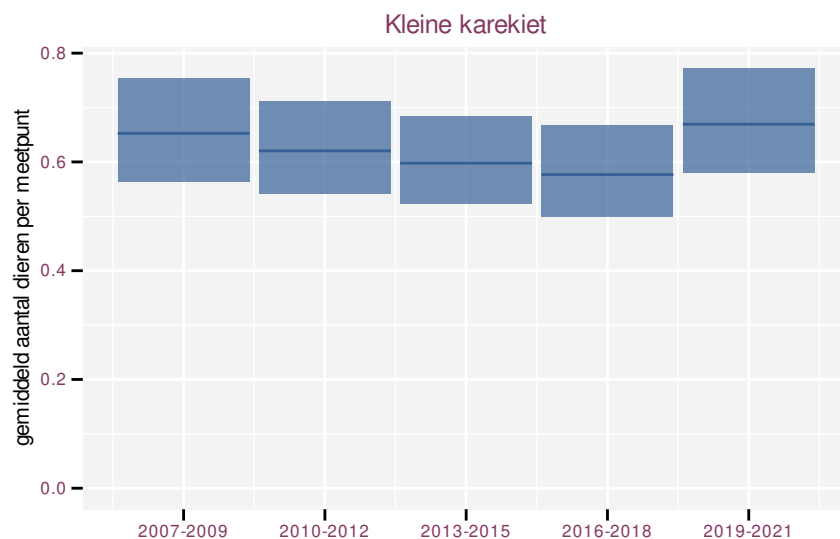
57 KLEINE KAREKIET

Op basis van jaarlijkse gegevens zien we gemiddeld stabiel +0.12% (-1.14%; +1.40%) per jaar of +2% (-15%; +21%) over de volledige looptijd van het meetnet. Deze trend is niet-lineair.

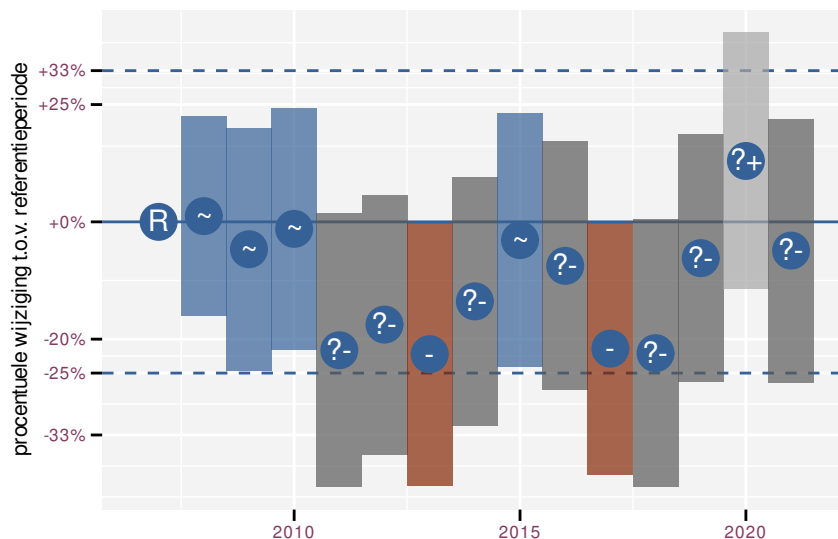
Op basis van driejaarlijkse gegevens zien we gemiddeld stabiel +0.26% (-1.02%; +1.56%) per jaar of +4% (-13%; +24%) over de volledige looptijd van het meetnet. Deze trend is mogelijk niet-lineair.



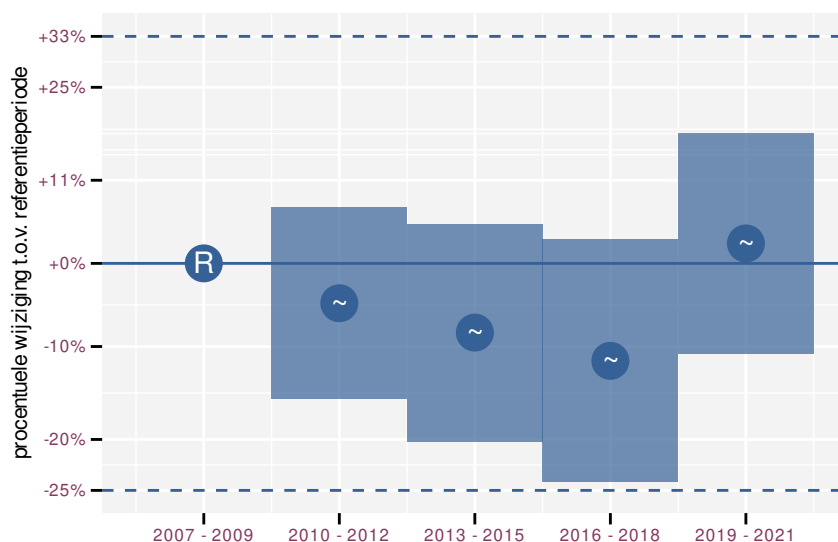
Figuur 57.1: Evolutie van het gemodelleerde gemiddeld aantal waargenomen dieren op een meetpunt voor Kleine karekiet tijdens de referentieperiode. Zie §3.1 voor een verklaring van de intervallen.



Figuur 57.2: Evolutie van het gemodelleerde gemiddeld aantal waargenomen dieren op een meetpunt voor Kleine karekiet tijdens de referentieperiode. Zie §3.1 voor een verklaring van de intervallen.



Figuur 57.3: Wijzigingen tussen jaren voor Kleine karekiet. Zie §3.1 voor een verklaring van de intervallen en §3.2 voor uitleg over de symbolen en referentielijnen.



Figuur 57.4: Wijzigingen per driejarige cyclus voor Kleine karekiet. Zie §3.1 voor een verklaring van de intervallen en §3.2 voor uitleg over de symbolen en referentielijnen.

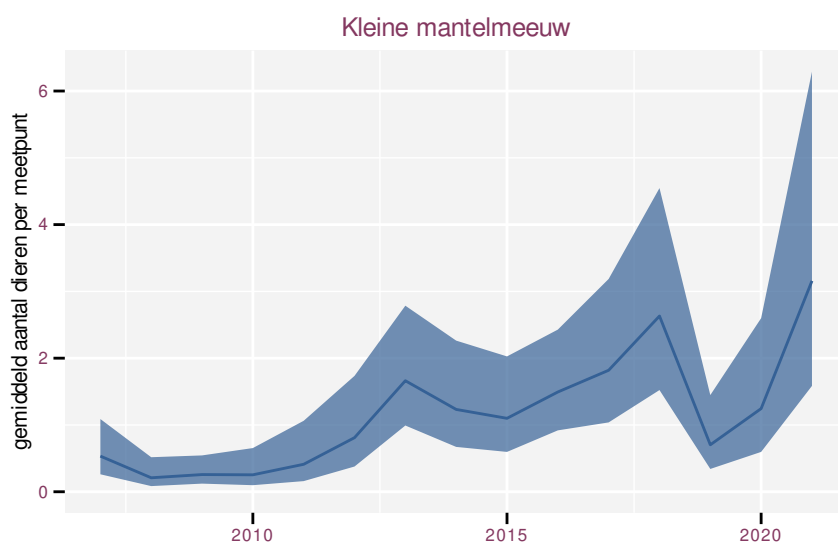
Tabel 57.1: Stratumgewicht, raming aan het aantal hokken waarin de soort aanwezig is, aantal relevant hokken voor de analyse, aantal onderzochte hokken in het stratum, totaal aantal hokken van het stratum in Vlaanderen, aantal bezoeken aan een meetpunt en het gemiddeld aandeel relevante punten per hok voor Kleine karekiet (zie §2.5).

stratum	gewicht	aanwezig	relevant	onderzocht	totaal	bezoeken	punten
Landbouw	89.1%	794.4	54	429	6311	1649	58.6%
Moeras en water	7.3%	65.1	38	80	137	1211	66.2%
Suburbaan	2.0%	20.7	7	68	201	112	50.0%
Heide en duin	1.7%	16.9	8	94	199	119	37.5%

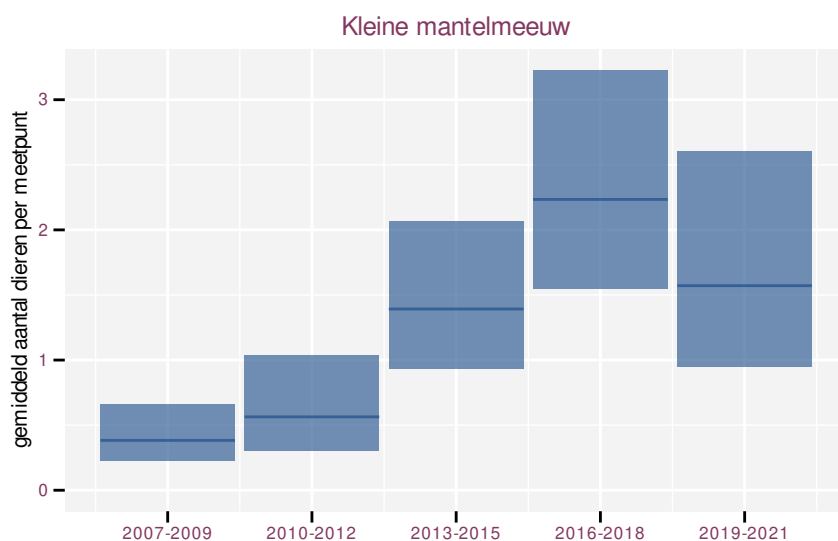
58 KLEINE MANTELMEEUW

Op basis van jaarlijkse gegevens zien we gemiddeld sterke toename +16% (+11%; +23%) per jaar of +740% (+310%; +1620%) over de volledige looptijd van het meetnet. Deze trend is niet-lineair.

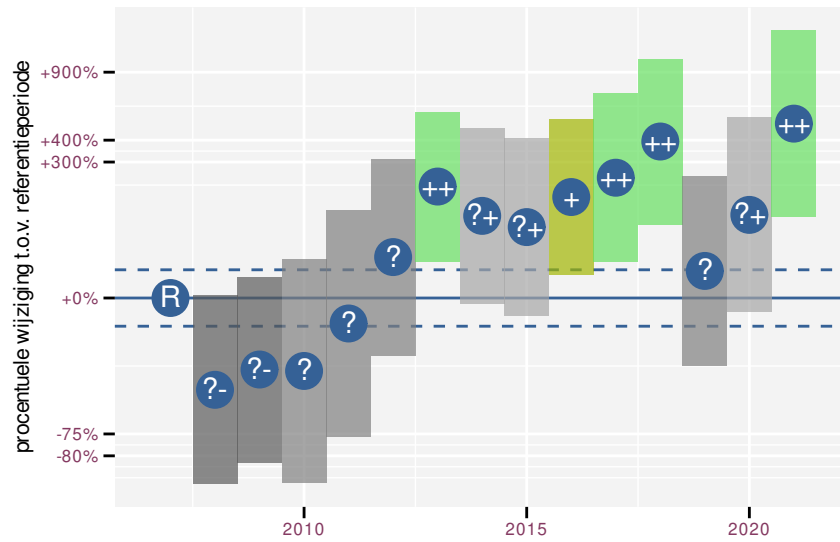
Op basis van driejaarlijkse gegevens zien we gemiddeld sterke toename +16% (+10%; +22%) per jaar of +720% (+290%; +1610%) over de volledige looptijd van het meetnet. Deze trend is niet-lineair.



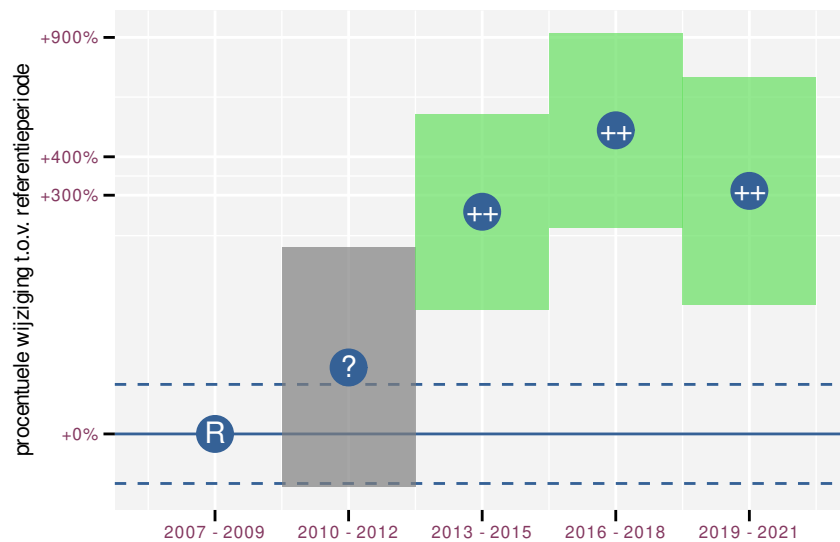
Figuur 58.1: Evolutie van het gemodelleerde gemiddeld aantal waargenomen dieren op een meetpunt voor Kleine mantelmeeuw tijdens de referentieperiode. Zie §3.1 voor een verklaring van de intervallen.



Figuur 58.2: Evolutie van het gemodelleerde gemiddeld aantal waargenomen dieren op een meetpunt voor Kleine mantelmeeuw tijdens de referentieperiode. Zie §3.1 voor een verklaring van de intervallen.



Figuur 58.3: Wijzigingen tussen jaren voor Kleine mantelmeeuw. Zie §3.1 voor een verklaring van de intervallen en §3.2 voor uitleg over de symbolen en referentielijnen.



Figuur 58.4: Wijzigingen per driejarige cyclus voor Kleine mantelmeeuw. Zie §3.1 voor een verklaring van de intervallen en §3.2 voor uitleg over de symbolen en referentielijnen.

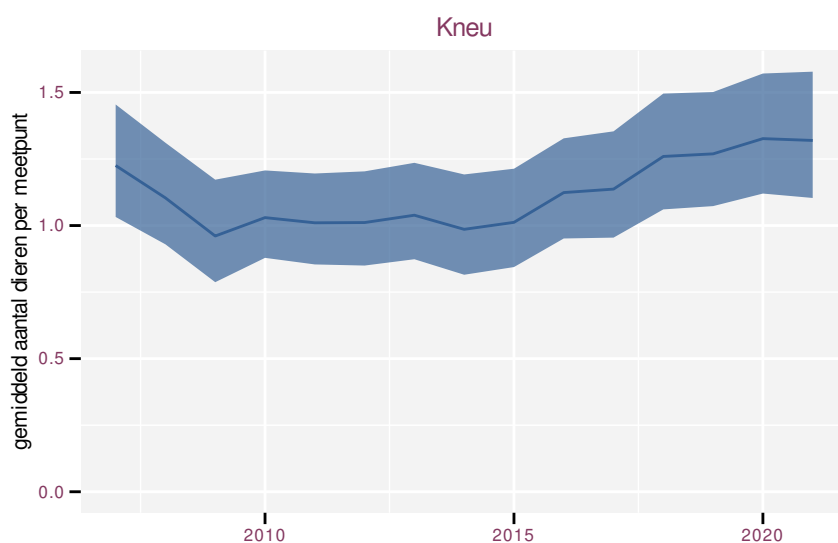
Tabel 58.1: Stratungewicht, raming aan het aantal hokken waarin de soort aanwezig is, aantal relevant hokken voor de analyse, aantal onderzochte hokken in het stratum, totaal aantal hokken van het stratum in Vlaanderen, aantal bezoeken aan een meetpunt en het gemiddeld aandeel relevante punten per hok voor Kleine mantelmeeuw (zie §2.5).

stratum	gewicht	aanwezig	relevant	onderzocht	totaal	bezoeken	punten
Landbouw	86.9%	191.2	13	429	6311	586	61.5%
Moeras en water	7.8%	17.1	10	80	137	369	48.3%
Suburbaan	5.4%	14.8	5	68	201	164	40.0%

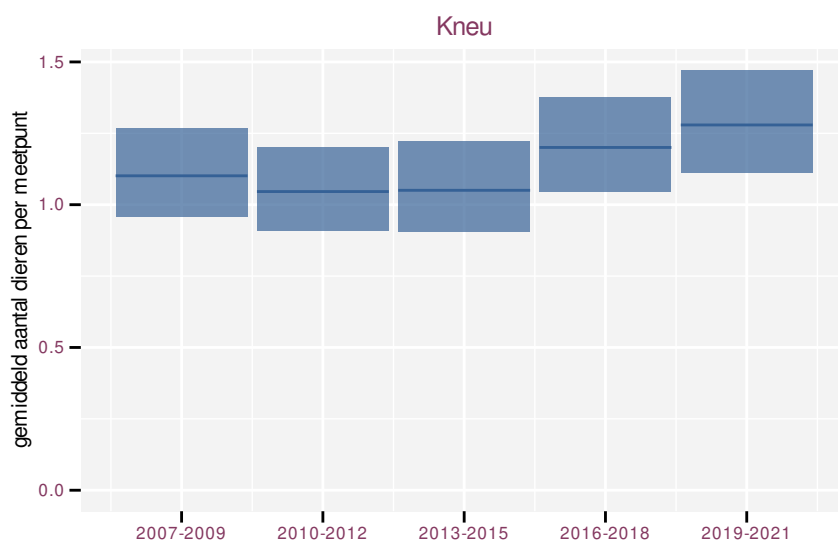
59 KNEU

Op basis van jaarlijkse gegevens zien we gemiddeld mogelijke toename +1.3% (-0.0%; +2.6%) per jaar of +19% (-1%; +44%) over de volledige looptijd van het meetnet. Deze trend is niet-lineair.

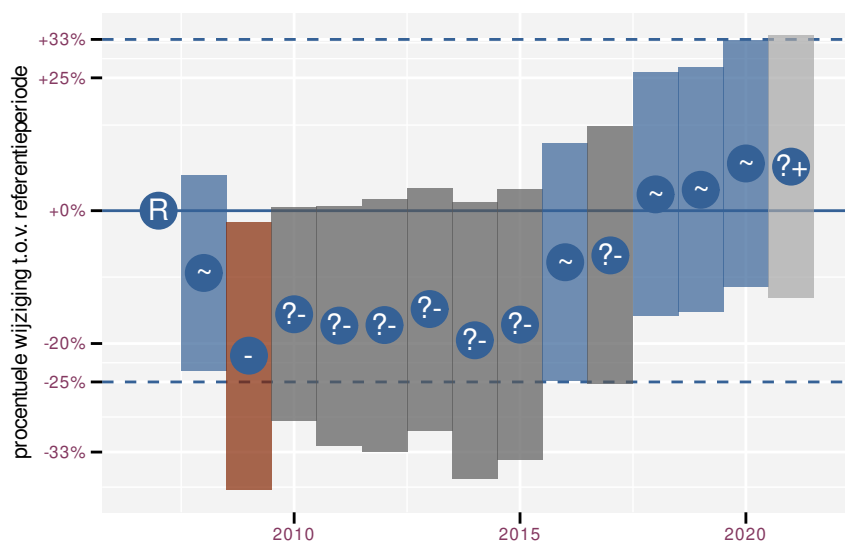
Op basis van driejaarlijkse gegevens zien we gemiddeld toename +1.6% (+0.3%; +3.0%) per jaar of +25% (+4%; +51%) over de volledige looptijd van het meetnet. Deze trend is lineair.



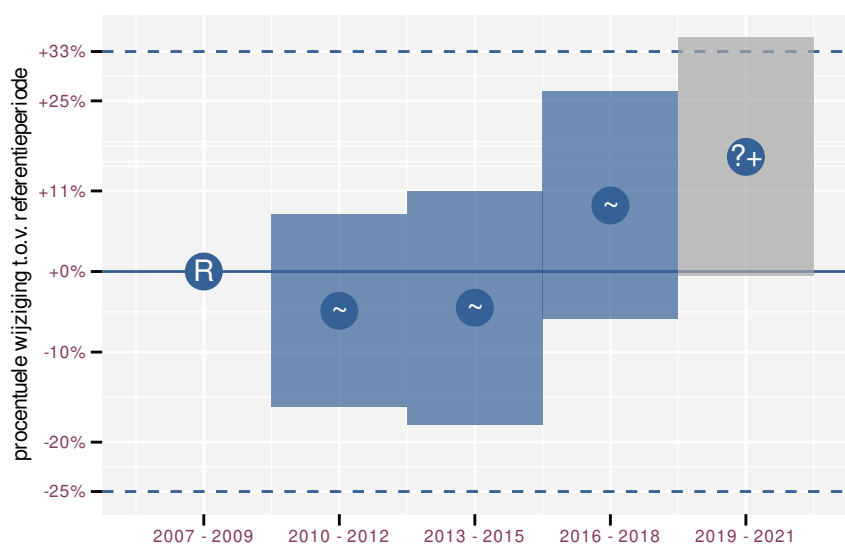
Figuur 59.1: Evolutie van het gemodelleerde gemiddeld aantal waargenomen dieren op een meetpunt voor Kneu tijdens de referentieperiode. Zie §3.1 voor een verklaring van de intervallen.



Figuur 59.2: Evolutie van het gemodelleerde gemiddeld aantal waargenomen dieren op een meetpunt voor Kneu tijdens de referentieperiode. Zie §3.1 voor een verklaring van de intervallen.



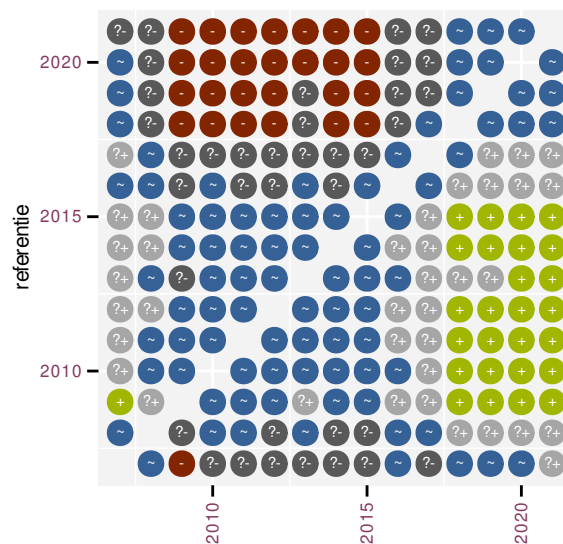
Figuur 59.3: Wijzigingen tussen jaren voor Kneu. Zie §3.1 voor een verklaring van de intervallen en §3.2 voor uitleg over de symbolen en referentielijnen.



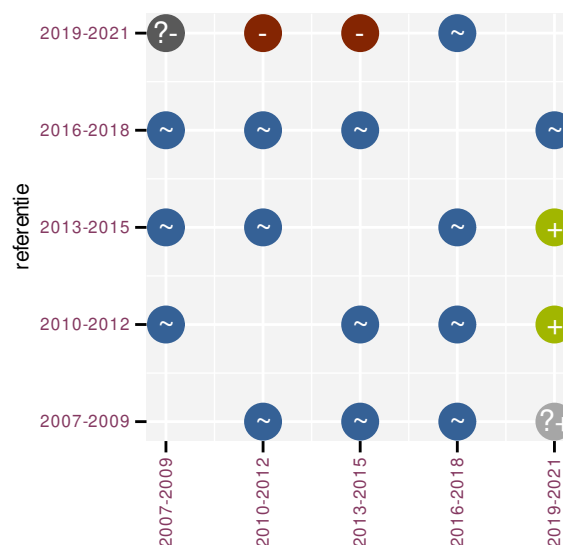
Figuur 59.4: Wijzigingen per driejarige cyclus voor Kneu. Zie §3.1 voor een verklaring van de intervallen en §3.2 voor uitleg over de symbolen en referentielijnen.

Tabel 59.1: Stratumgewicht, raming aan het aantal hokken waarin de soort aanwezig is, aantal relevant hokken voor de analyse, aantal onderzochte hokken in het stratum, totaal aantal hokken van het stratum in Vlaanderen, aantal bezoeken aan een meetpunt en het gemiddeld aandeel relevante punten per hok voor Kneu (zie §2.5).

stratum	gewicht	aanwezig	relevant	onderzocht	totaal	bezoeken	punten
Landbouw	91.8%	1765.3	120	429	6311	5253	59.3%
Heide en duin	4.5%	86.8	41	94	199	1516	61.4%
Suburbaan	1.7%	35.5	12	68	201	347	48.6%
Moeras en water	1.2%	22.3	13	80	137	395	46.2%
Bos	0.8%	15.1	9	190	319	383	38.9%



Figuur 59.5: Paarsgewijze vergelijking tussen jaren voor Kneu. Uitleg van de symbolen in tabel 3.1.



Figuur 59.6: Paarsgewijze vergelijking tussen driejarige cycli voor Kneu. Uitleg van de symbolen in tabel 3.1.

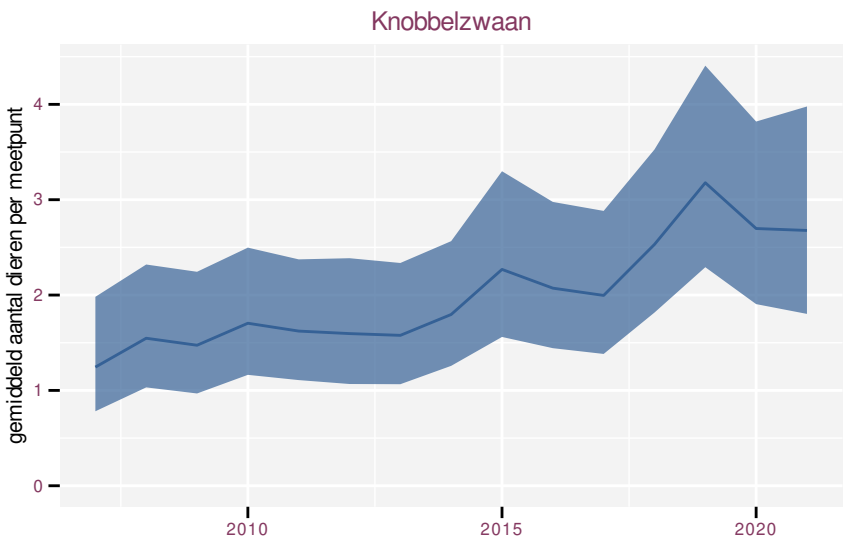
Tabel 59.2: Data-hashes van de analyses in het kader van traceerbaarheid (zie §4.3).

frequentie	model	analyse	status
jaarlijks	niet-lineair	10bdb0bfacffb33e8ff5 e95a7ff3112e9d534388	bfef6ff3d5c80394f7a8 2e9c74beab38306ac816
jaarlijks	lineair	d830ca1e139f1e7eec0e e00f9f09e9891d99accd	d8e333040c4214b2399d a31bd5f9b3ad24f6fdb4
driejaarlijks	niet-lineair	b1d89b445f7c61de71eb 53efa1194496ed76cab8	45d78a0e8ed42da70bcf ea645608f7aed2bf106a
driejaarlijks	lineair	0aabdf6d9db9029c7496 fbef1bc0fb0ae5b133f8	6d4dac807674c37fd0d0 f5659a8c9a71395c91ef

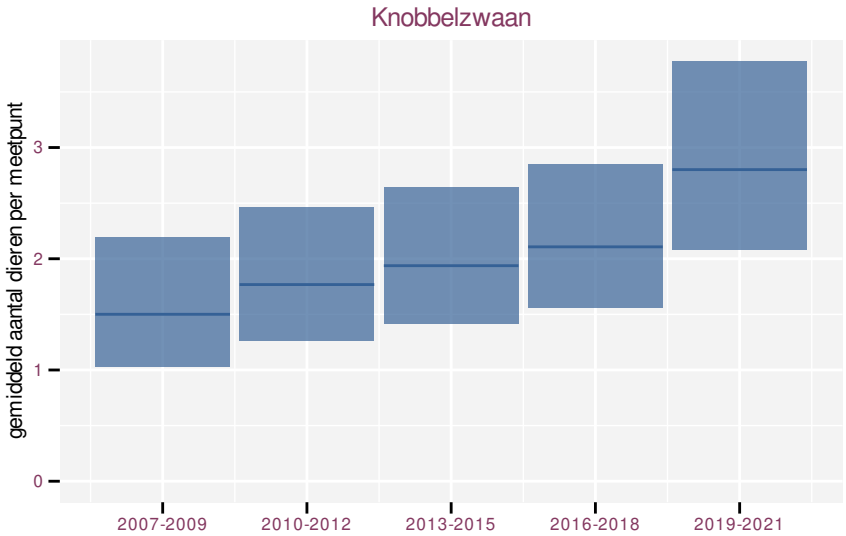
60 KNOBBELZWAAN

Op basis van jaarlijkse gegevens zien we gemiddeld sterke toename +6.99% (+3.96%; +10.12%) per jaar of +160% (+70%; +290%) over de volledige looptijd van het meetnet. Deze trend is niet-lineair.

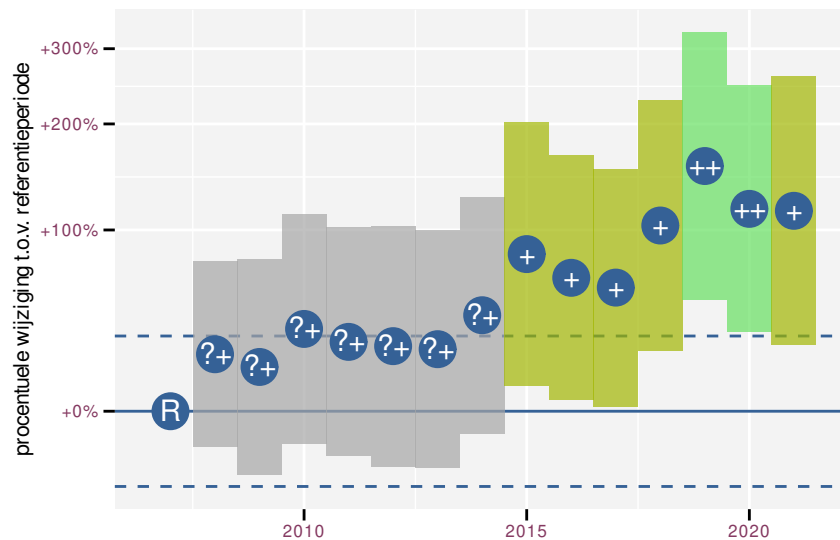
Op basis van driejaarlijkse gegevens zien we gemiddeld sterke toename +6.94% (+3.94%; +10.02%) per jaar of +160% (+70%; +280%) over de volledige looptijd van het meetnet. Deze trend is niet-lineair.



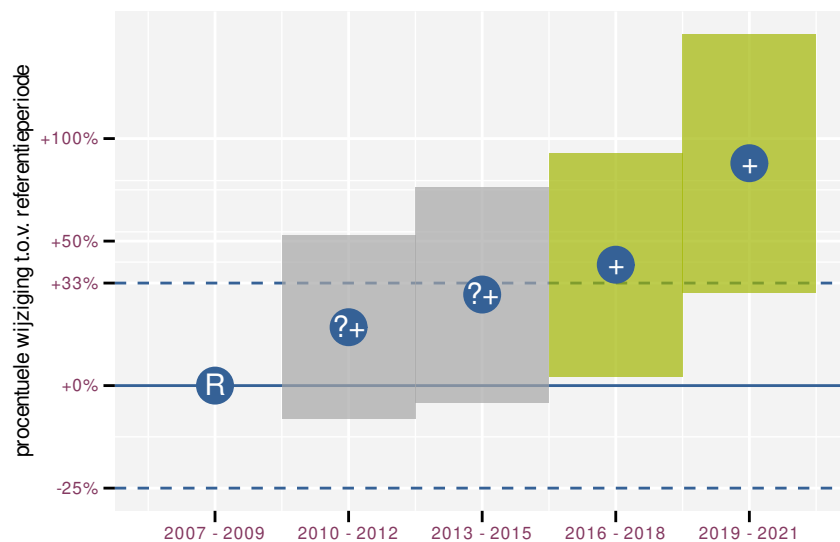
Figuur 60.1: Evolutie van het gemodelleerde gemiddeld aantal waargenomen dieren op een meetpunt voor Knobbelzwaan tijdens de referentieperiode. Zie §3.1 voor een verklaring van de intervallen.



Figuur 60.2: Evolutie van het gemodelleerde gemiddeld aantal waargenomen dieren op een meetpunt voor Knobbelzwaan tijdens de referentieperiode. Zie §3.1 voor een verklaring van de intervallen.



Figuur 60.3: Wijzigingen tussen jaren voor Knobbelzwaan. Zie §3.1 voor een verklaring van de intervallen en §3.2 voor uitleg over de symbolen en referentielijnen.



Figuur 60.4: Wijzigingen per driejarige cyclus voor Knobbelzwaan. Zie §3.1 voor een verklaring van de intervallen en §3.2 voor uitleg over de symbolen en referentielijnen.

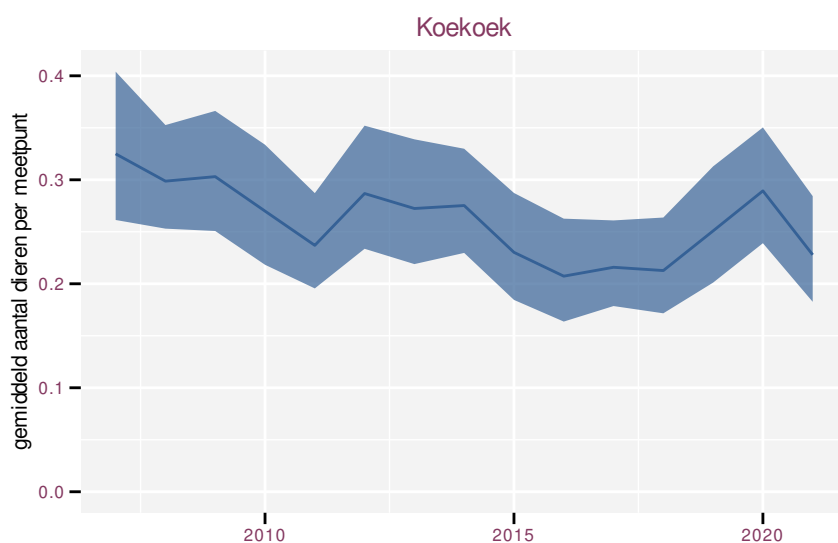
Tabel 60.1: Stratumgewicht, raming aan het aantal hokken waarin de soort aanwezig is, aantal relevant hokken voor de analyse, aantal onderzochte hokken in het stratum, totaal aantal hokken van het stratum in Vlaanderen, aantal bezoeken aan een meetpunt en het gemiddeld aandeel relevante punten per hok voor Knobbelzwaan (zie §2.5).

stratum	gewicht	aanwezig	relevant	onderzocht	totaal	bezoeken	punten
Moeras en water	76.4%	34.2	20	80	137	712	46.7%
Heide en duin	23.6%	12.7	6	94	199	143	36.1%

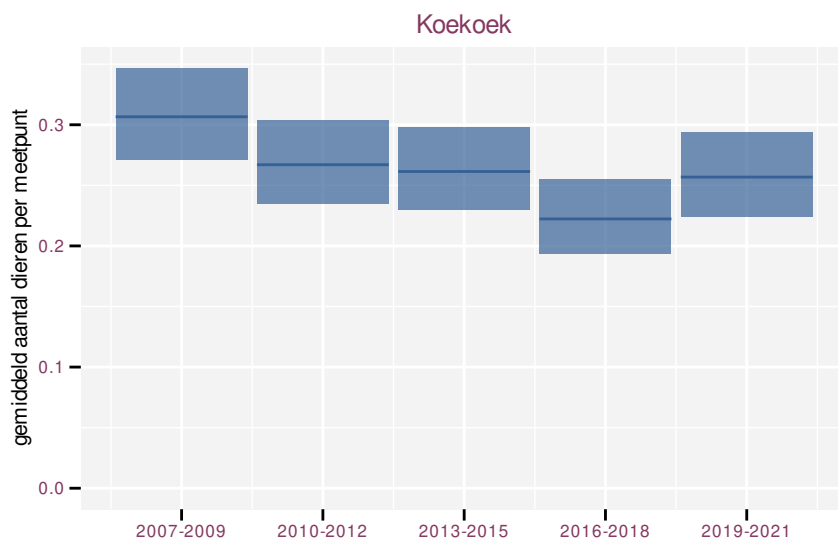
61 KOEKOEK

Op basis van jaarlijkse gegevens zien we gemiddeld afname -2.1% (-3.4%; -0.7%) per jaar of -26% (-39%; -10%) over de volledige looptijd van het meetnet. Deze trend is niet-lineair.

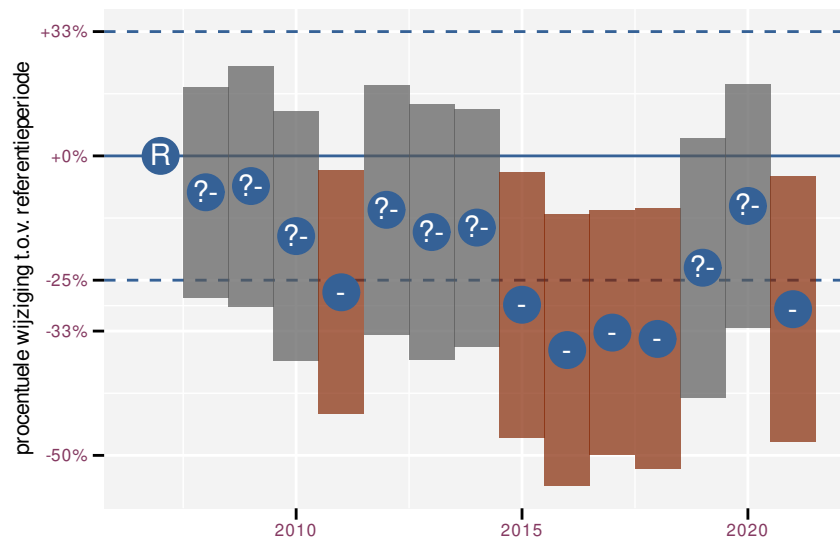
Op basis van driejaarlijkse gegevens zien we gemiddeld afname -2.1% (-3.5%; -0.7%) per jaar of -26% (-39%; -10%) over de volledige looptijd van het meetnet. Deze trend is lineair.



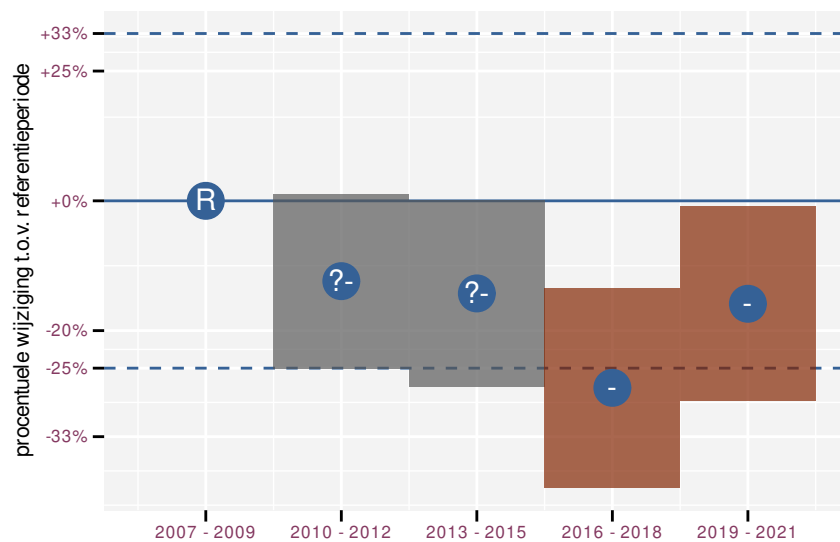
Figuur 61.1: Evolutie van het gemodelleerde gemiddeld aantal waargenomen dieren op een meetpunt voor Koekoek tijdens de referentieperiode. Zie §3.1 voor een verklaring van de intervallen.



Figuur 61.2: Evolutie van het gemodelleerde gemiddeld aantal waargenomen dieren op een meetpunt voor Koekoek tijdens de referentieperiode. Zie §3.1 voor een verklaring van de intervallen.



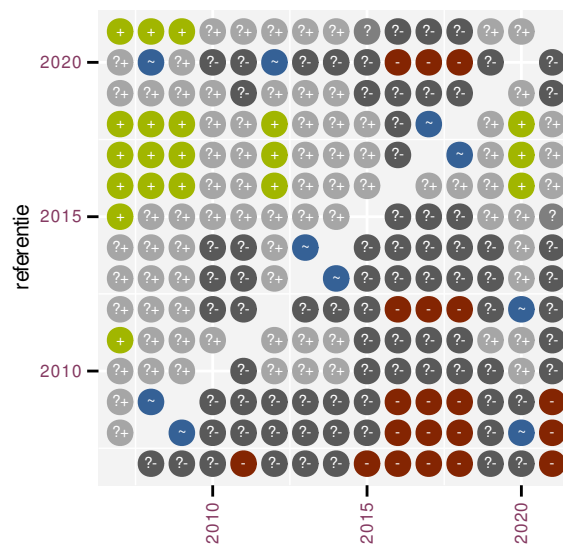
Figuur 61.3: Wijzigingen tussen jaren voor Koekoek. Zie §3.1 voor een verklaring van de intervallen en §3.2 voor uitleg over de symbolen en referentielijnen.



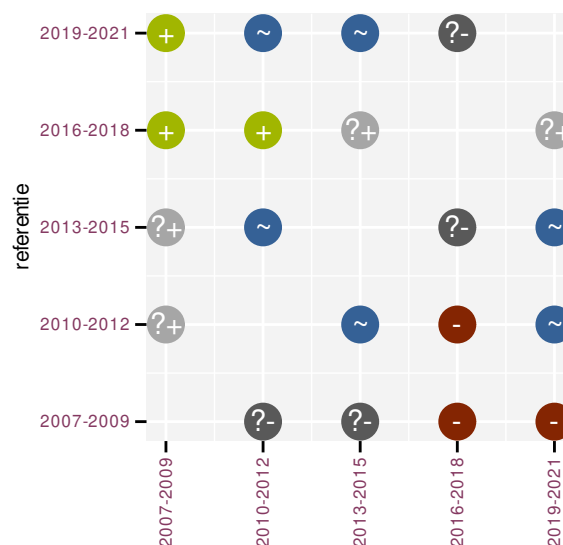
Figuur 61.4: Wijzigingen per driejarige cyclus voor Koekoek. Zie §3.1 voor een verklaring van de intervallen en §3.2 voor uitleg over de symbolen en referentielijnen.

Tabel 61.1: Stratumgewicht, raming aan het aantal hokken waarin de soort aanwezig is, aantal relevant hokken voor de analyse, aantal onderzochte hokken in het stratum, totaal aantal hokken van het stratum in Vlaanderen, aantal bezoeken aan een meetpunt en het gemiddeld aandeel relevante punten per hok voor Koekoek (zie §2.5).

stratum	gewicht	aanwezig	relevant	onderzocht	totaal	bezoeken	punten
Landbouw	87.6%	1456.4	99	429	6311	2937	59.9%
Heide en duin	5.3%	88.9	42	94	199	1138	56.0%
Moeras en water	3.4%	56.5	33	80	137	1074	68.7%
Bos	2.9%	48.7	29	190	319	984	63.8%
Suburbaan	0.7%	14.8	5	68	201	81	33.3%



Figuur 61.5: Paarsgewijze vergelijking tussen jaren voor Koekoek. Uitleg van de symbolen in tabel 3.1.



Figuur 61.6: Paarsgewijze vergelijking tussen driejarige cycli voor Koekoek. Uitleg van de symbolen in tabel 3.1.

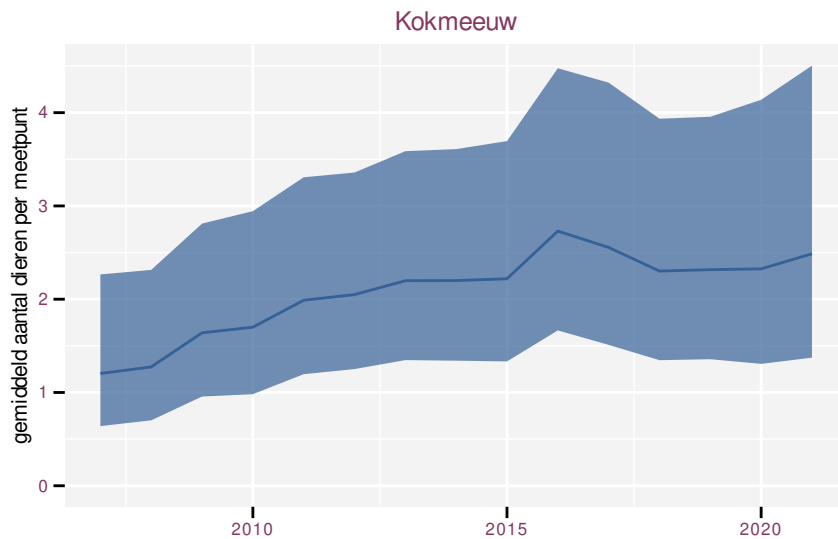
Tabel 61.2: Data-hashes van de analyses in het kader van traceerbaarheid (zie §4.3).

frequentie	model	analyse	status
jaarlijks	niet-lineair	afd7ed1036b433bbddb6 ce5f7d8f947b468f926a	d1028620a8fc116677ba 5bab3889b56d18e0a279
jaarlijks	lineair	d5af72a30ef411ccfb9c 9fca97c790119b3318be	44fc29dd2f83465562e7 a503afab9a73cfbac569
driejaarlijks	niet-lineair	96d37fd924406e17bbe3 4151ee7ea9cf3aa124c5	abe1177d845a1b2a499b 84077994d1c3ef75141f
driejaarlijks	lineair	866cc4402b0b232c9b4b e93e39801126dc4cc9f1	d18f5ef587bc5f0053d 575b621469b64bb23dbe

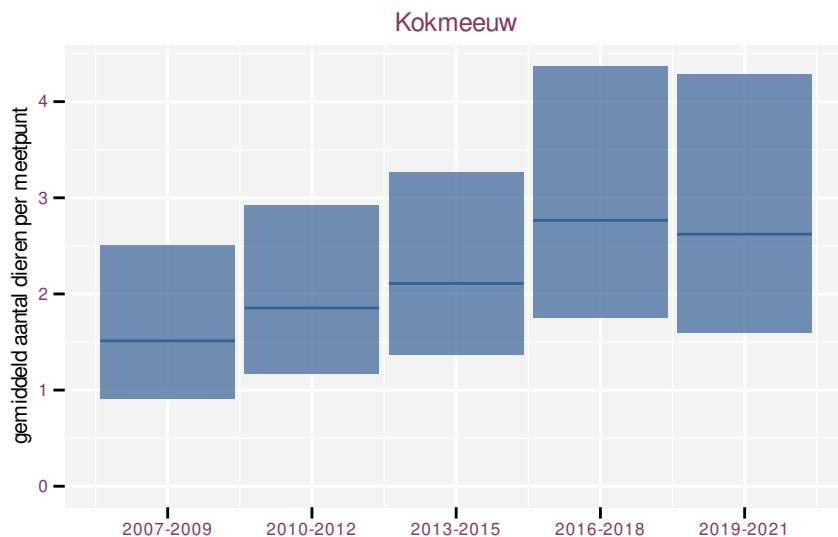
62 KOKMEEUW

Op basis van jaarlijkse gegevens zien we gemiddeld toename +6.9% (+1.5%; +12.6%) per jaar of +150% (+20%; +420%) over de volledige looptijd van het meetnet. Deze trend is niet-lineair.

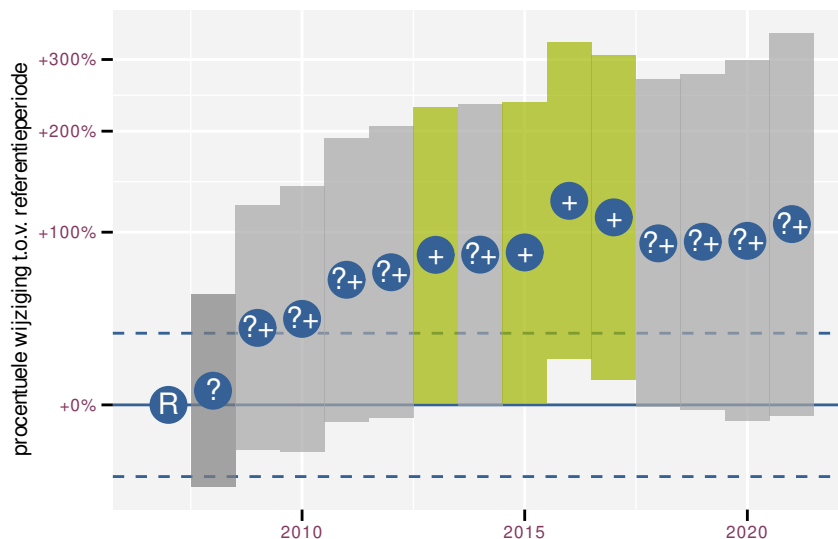
Op basis van driejaarlijkse gegevens zien we gemiddeld toename +7.1% (+1.8%; +12.7%) per jaar of +160% (+30%; +440%) over de volledige looptijd van het meetnet. Deze trend is mogelijk niet-lineair.



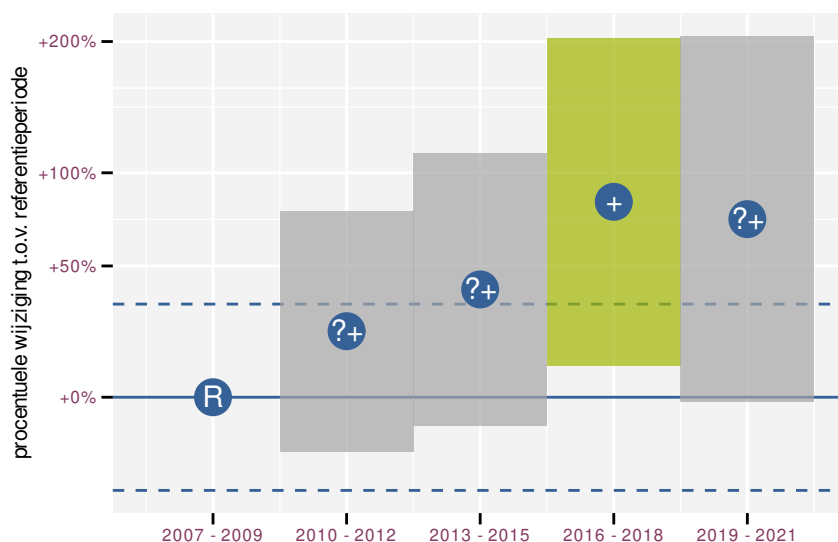
Figuur 62.1: Evolutie van het gemodelleerde gemiddeld aantal waargenomen dieren op een meetpunt voor Kokmeeuw tijdens de referentieperiode. Zie §3.1 voor een verklaring van de intervallen.



Figuur 62.2: Evolutie van het gemodelleerde gemiddeld aantal waargenomen dieren op een meetpunt voor Kokmeeuw tijdens de referentieperiode. Zie §3.1 voor een verklaring van de intervallen.



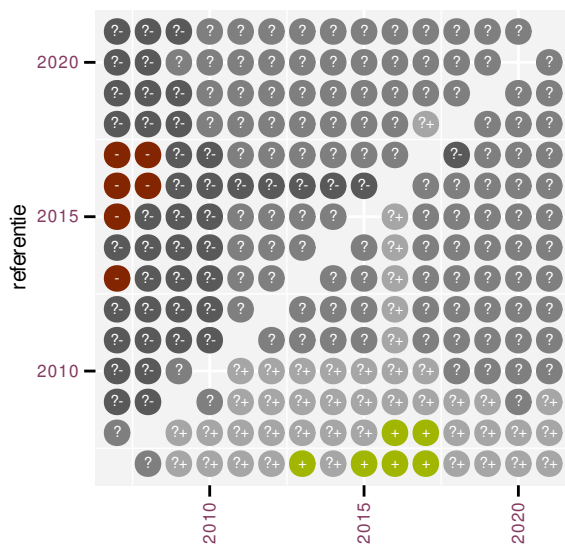
Figuur 62.3: Wijzigingen tussen jaren voor Kokmeeuw. Zie §3.1 voor een verklaring van de intervallen en §3.2 voor uitleg over de symbolen en referentielijnen.



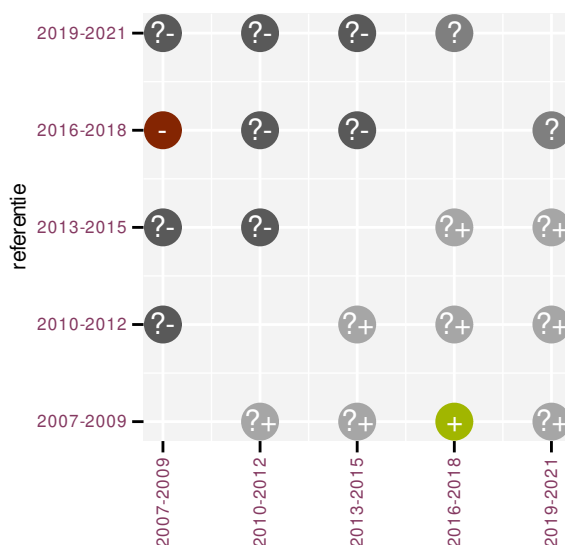
Figuur 62.4: Wijzigingen per driejarige cyclus voor Kokmeeuw. Zie §3.1 voor een verklaring van de intervallen en §3.2 voor uitleg over de symbolen en referentielijnen.

Tabel 62.1: Stratumgewicht, raming aan het aantal hokken waarin de soort aanwezig is, aantal relevant hokken voor de analyse, aantal onderzochte hokken in het stratum, totaal aantal hokken van het stratum in Vlaanderen, aantal bezoeken aan een meetpunt en het gemiddeld aandeel relevante punten per hok voor Kokmeeuw (zie §2.5).

stratum	gewicht	aanwezig	relevant	onderzocht	totaal	bezoeken	punten
Landbouw	85.7%	397.2	27	429	6311	1079	59.3%
Moeras en water	5.5%	27.4	16	80	137	639	60.4%
Suburbaan	5.1%	23.6	8	68	201	438	60.4%
Heide en duin	3.7%	16.9	8	94	199	352	62.5%



Figuur 62.5: Paarsgewijze vergelijking tussen jaren voor Kokmeeuw. Uitleg van de symbolen in tabel 3.1.



Figuur 62.6: Paarsgewijze vergelijking tussen driejarige cycli voor Kokmeeuw. Uitleg van de symbolen in tabel 3.1.

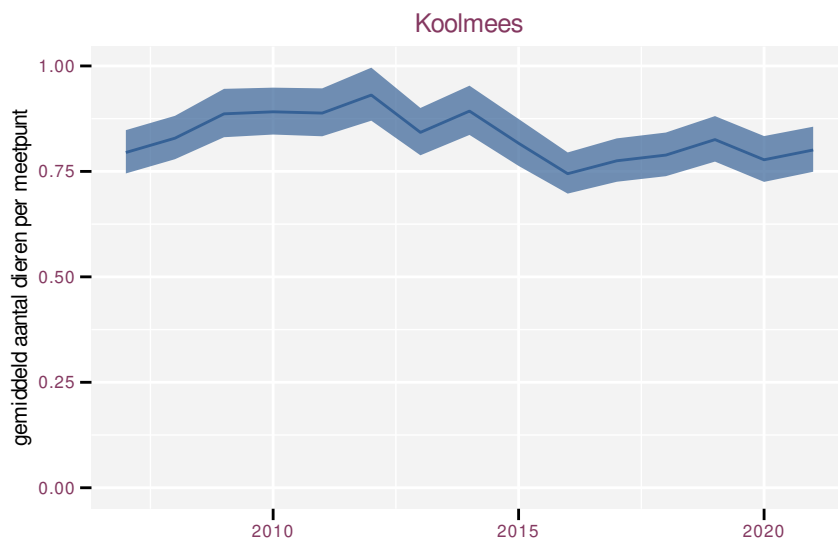
Tabel 62.2: Data-hashes van de analyses in het kader van traceerbaarheid (zie §4.3).

frequentie	model	analyse	status
jaarlijks	niet-lineair	e50e523ba3180f81f3b6	cb72c0fbeaa546c3aef2
		4b47681ca5f91d5d9674	f2987d7d131d40bd9736
jaarlijks	lineair	28f4e70524e0ca46aa95	e6991734c71c10fb30e4
		76656c12b4d840668324	c1655025de2b796911f2
driejaarlijks	niet-lineair	f738033e5ad00519343c	e2d9ec8f5f5d5ed1a496
		3b5eed9d5197853f4736	f88810ebe97bd60f59e1
driejaarlijks	lineair	f66f2854fa0b1d79d011	b7c8967529c332995392
		61ed316efad29e09b172	f17ac3eb8bb442cfa230

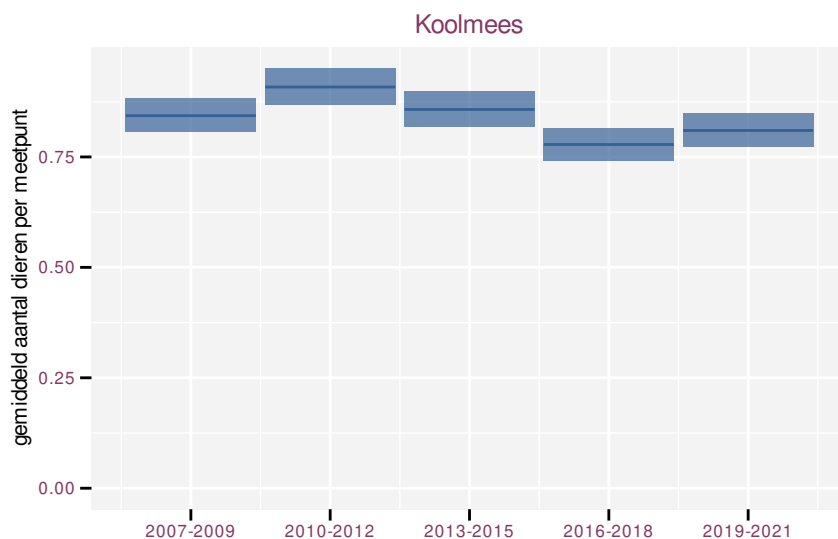
63 KOOLMEES

Op basis van jaarlijkse gegevens zien we gemiddeld matige afname -0.707% (-1.045%; -0.369%) per jaar of -9.46% (-13.67%; -5.05%) over de volledige looptijd van het meetnet. Deze trend is niet-lineair.

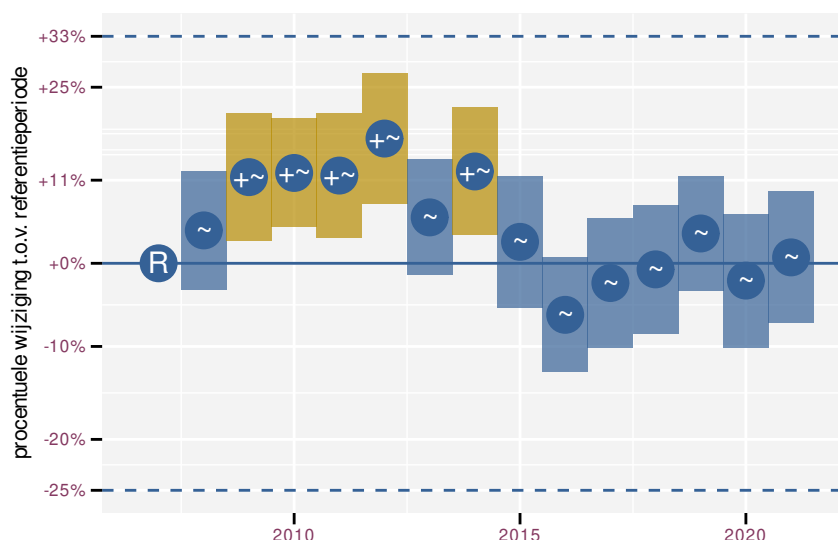
Op basis van driejaarlijkse gegevens zien we gemiddeld matige afname -0.751% (-1.091%; -0.409%) per jaar of -10.01% (-14.23%; -5.58%) over de volledige looptijd van het meetnet. Deze trend is niet-lineair.



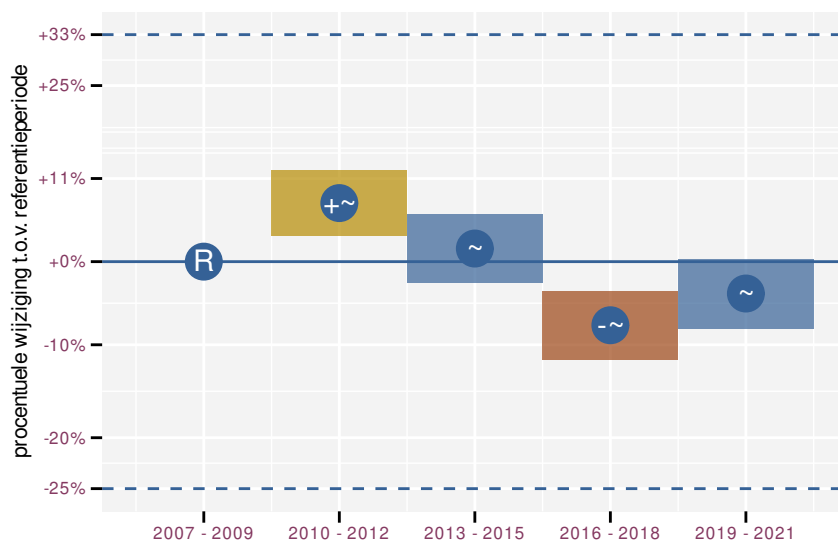
Figuur 63.1: Evolutie van het gemodelleerde gemiddeld aantal waargenomen dieren op een meetpunt voor Koolmees tijdens de referentieperiode. Zie §3.1 voor een verklaring van de intervallen.



Figuur 63.2: Evolutie van het gemodelleerde gemiddeld aantal waargenomen dieren op een meetpunt voor Koolmees tijdens de referentieperiode. Zie §3.1 voor een verklaring van de intervallen.



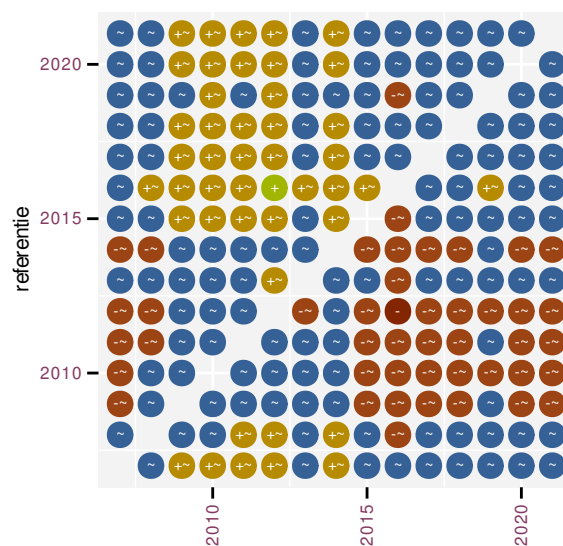
Figuur 63.3: Wijzigingen tussen jaren voor Koolmees. Zie §3.1 voor een verklaring van de intervallen en §3.2 voor uitleg over de symbolen en referentielijnen.



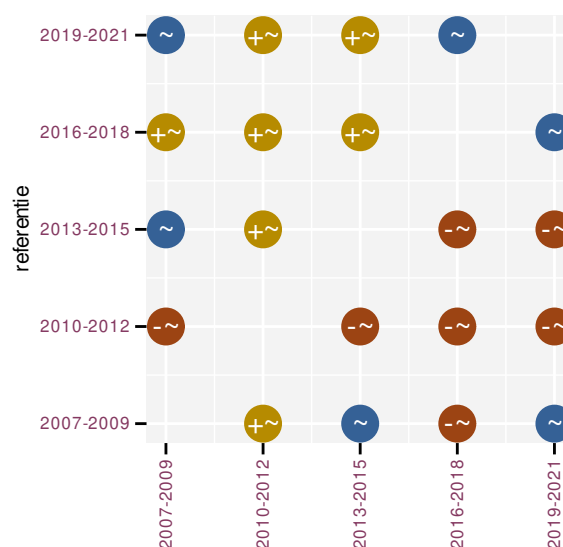
Figuur 63.4: Wijzigingen per driejarige cyclus voor Koolmees. Zie §3.1 voor een verklaring van de intervallen en §3.2 voor uitleg over de symbolen en referentielijnen.

Tabel 63.1: Stratumgewicht, raming aan het aantal hokken waarin de soort aanwezig is, aantal relevant hokken voor de analyse, aantal onderzochte hokken in het stratum, totaal aantal hokken van het stratum in Vlaanderen, aantal bezoeken aan een meetpunt en het gemiddeld aandeel relevante punten per hok voor Koolmees (zie §2.5).

stratum	gewicht	aanwezig	relevant	onderzocht	totaal	bezoeken	punten
Landbouw	82.1%	4722.2	321	429	6311	18174	85.6%
Urbaan	6.1%	349.1	73	87	416	4509	97.0%
Bos	4.3%	246.8	147	190	319	9194	96.9%
Heide en duin	3.0%	171.5	81	94	199	4634	87.9%
Suburbaan	2.8%	162.6	55	68	201	3183	91.2%
Moeras en water	1.8%	101.0	59	80	137	3356	88.7%



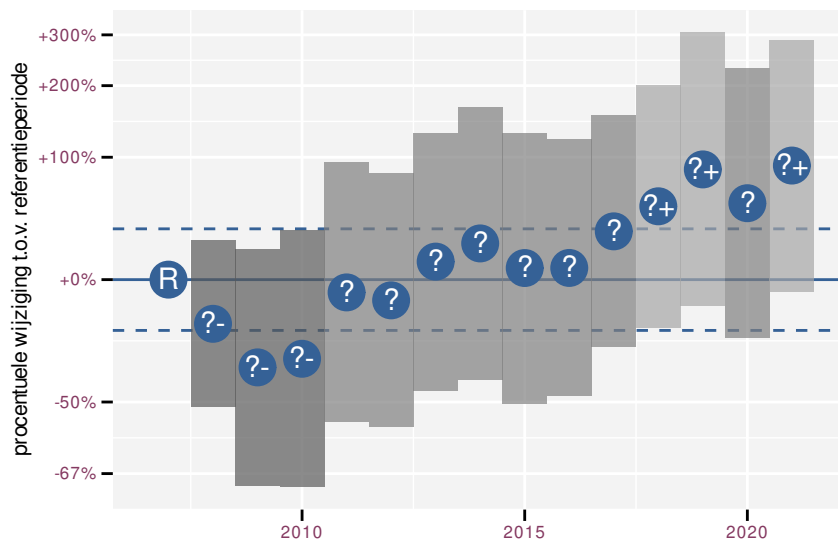
Figuur 63.5: Paarsgewijze vergelijking tussen jaren voor Koolmees. Uitleg van de symbolen in tabel 3.1.



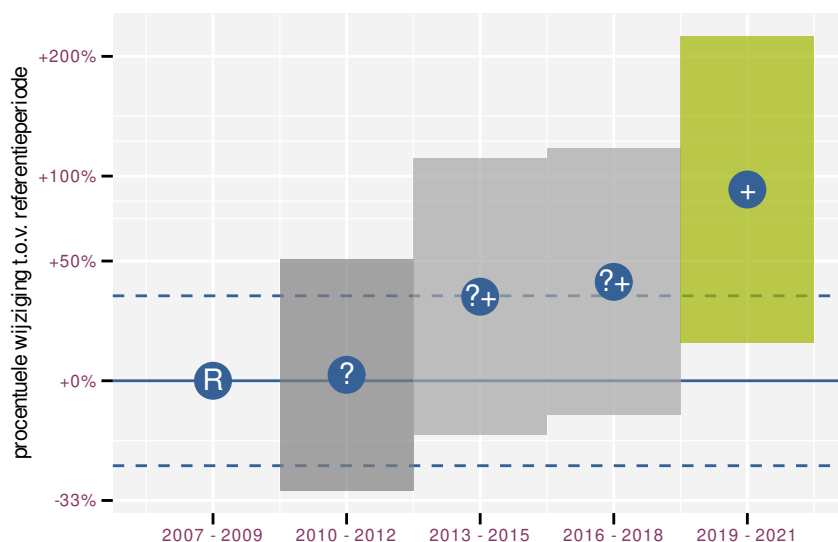
Figuur 63.6: Paarsgewijze vergelijking tussen driejarige cycli voor Koolmees. Uitleg van de symbolen in tabel 3.1.

Tabel 63.2: Data-hashes van de analyses in het kader van traceerbaarheid (zie §4.3).

frequentie	model	analyse	status
jaarlijks	niet-lineair	2b6a738cbdb5071ca069 8eb0d3a8539df2bca70f	e4874bec5c8f60166bcd faba44118f239a3d4659
jaarlijks	lineair	42109cd68c26d2ac4105 d14d03e4c2f1bfa7795a	ac503ecaee8adc671daf f32c7bcd7391988e0e09
driejaarlijks	niet-lineair	c42c84095455aa134089 e598bc3c1e5970d2e20e	b02b311ee7e9b1a7124e 63098b447659a21b384c
driejaarlijks	lineair	091dc08ff5990fe54f2d 9557974f02020bf13937	911a06090e17c8a6c1ba 71f2b38c0dc6b0234427



Figuur 64.3: Wijzigingen tussen jaren voor Krakeend. Zie §3.1 voor een verklaring van de intervallen en §3.2 voor uitleg over de symbolen en referentielijnen.



Figuur 64.4: Wijzigingen per driejarige cyclus voor Krakeend. Zie §3.1 voor een verklaring van de intervallen en §3.2 voor uitleg over de symbolen en referentielijnen.

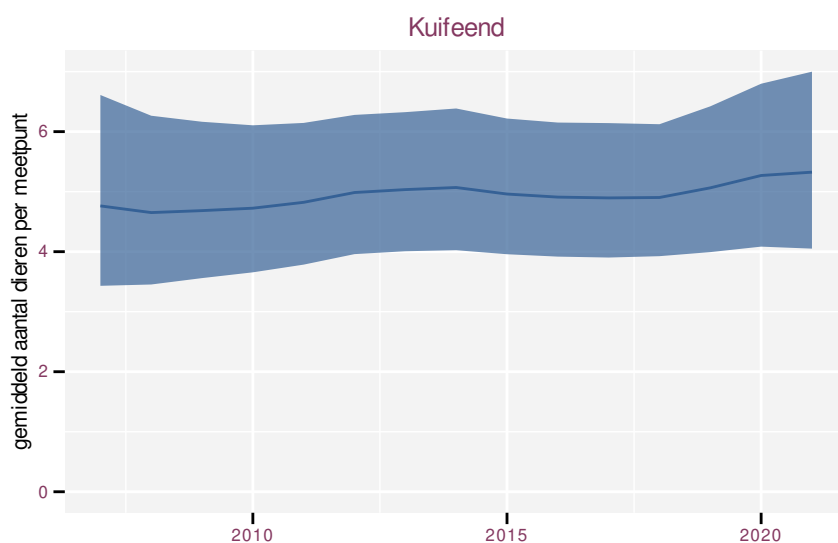
Tabel 64.1: Stratumgewicht, raming aan het aantal hokken waarin de soort aanwezig is, aantal relevant hokken voor de analyse, aantal onderzochte hokken in het stratum, totaal aantal hokken van het stratum in Vlaanderen, aantal bezoeken aan een meetpunt en het gemiddeld aandeel relevante punten per hok voor Krakeend (zie §2.5).

stratum	gewicht	aanwezig	relevant	onderzocht	totaal	bezoeken	punten
Landbouw	64.3%	147.1	10	429	6311	233	36.7%
Moeras en water	25.8%	53.1	31	80	137	1046	48.4%
Suburbaan	5.7%	14.8	5	68	201	142	40.0%
Heide en duin	4.1%	10.6	5	94	199	136	43.3%

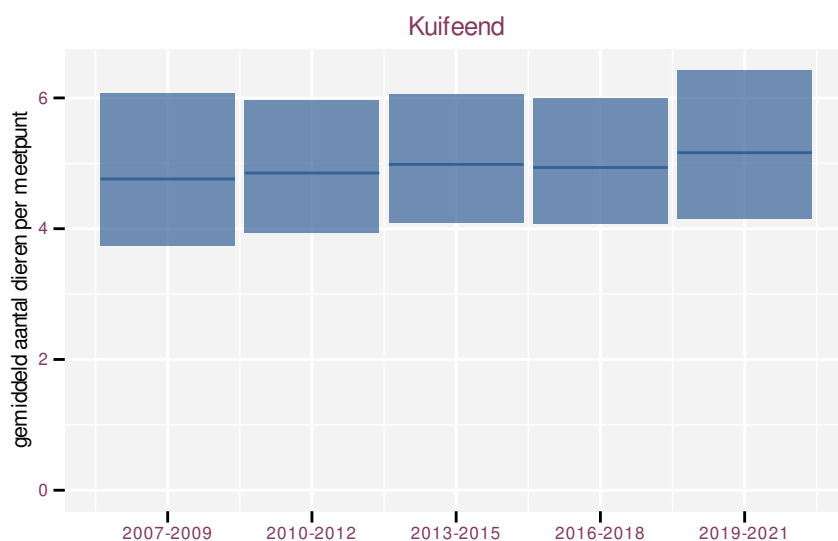
65 KUIFEEND

Op basis van jaarlijkse gegevens zien we gemiddeld mogelijke toename +3.2% (-1.2%; +7.8%) per jaar of +56% (-15%; +186%) over de volledige looptijd van het meetnet. Deze trend is niet-lineair.

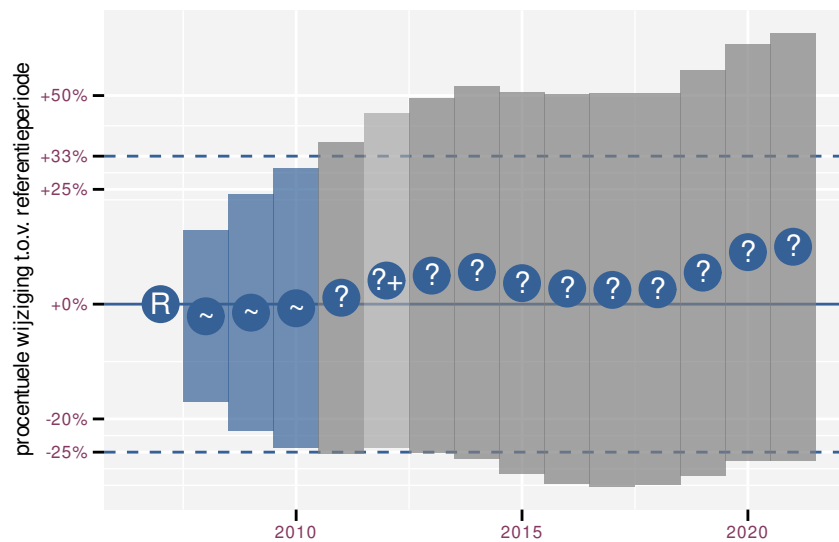
Op basis van driejaarlijkse gegevens zien we gemiddeld mogelijke toename +3.0% (-1.6%; +7.7%) per jaar of +51% (-20%; +183%) over de volledige looptijd van het meetnet. Deze trend is niet-lineair.



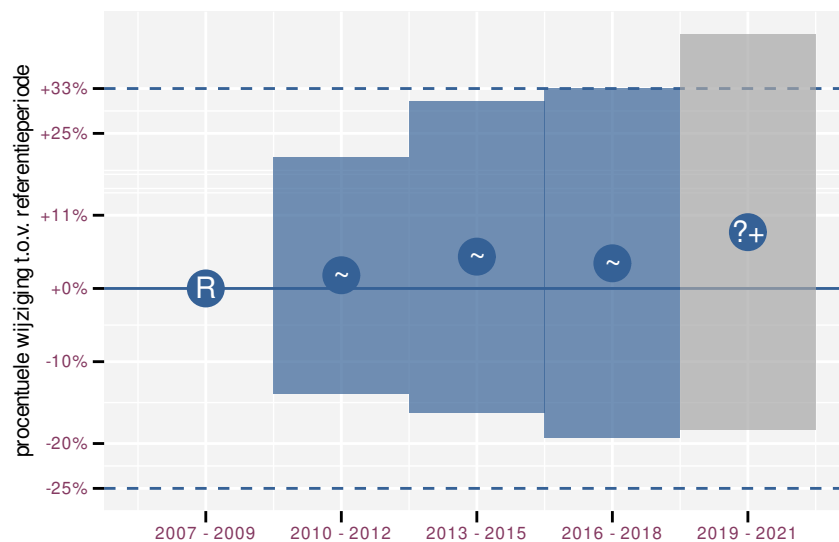
Figuur 65.1: Evolutie van het gemodelleerde gemiddeld aantal waargenomen dieren op een meetpunt voor Kuifeend tijdens de referentieperiode. Zie §3.1 voor een verklaring van de intervallen.



Figuur 65.2: Evolutie van het gemodelleerde gemiddeld aantal waargenomen dieren op een meetpunt voor Kuifeend tijdens de referentieperiode. Zie §3.1 voor een verklaring van de intervallen.



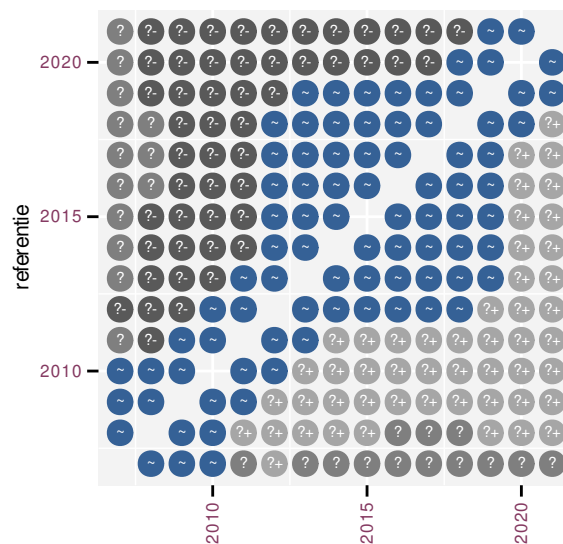
Figuur 65.3: Wijzigingen tussen jaren voor Kuifeend. Zie §3.1 voor een verklaring van de intervallen en §3.2 voor uitleg over de symbolen en referentielijnen.



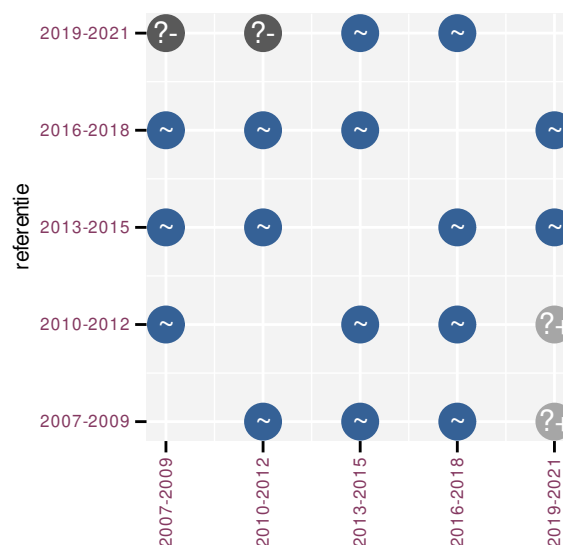
Figuur 65.4: Wijzigingen per driejarige cyclus voor Kuifeend. Zie §3.1 voor een verklaring van de intervallen en §3.2 voor uitleg over de symbolen en referentielijnen.

Tabel 65.1: Stratumgewicht, raming aan het aantal hokken waarin de soort aanwezig is, aantal relevant hokken voor de analyse, aantal onderzochte hokken in het stratum, totaal aantal hokken van het stratum in Vlaanderen, aantal bezoeken aan een meetpunt en het gemiddeld aandeel relevante punten per hok voor Kuifeend (zie §2.5).

stratum	gewicht	aanwezig	relevant	onderzocht	totaal	bezoeken	punten
Landbouw	67.6%	220.7	15	429	6311	478	38.9%
Moeras en water	21.5%	70.2	41	80	137	1472	51.6%
Heide en duin	7.8%	25.4	12	94	199	276	37.5%
Bos	3.1%	11.8	7	190	319	105	21.4%



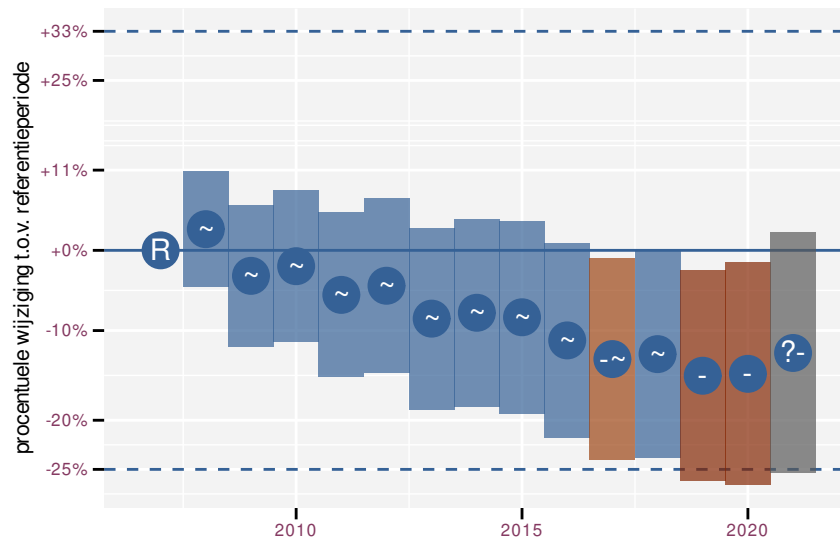
Figuur 65.5: Paarsgewijze vergelijking tussen jaren voor Kuifeend. Uitleg van de symbolen in tabel 3.1.



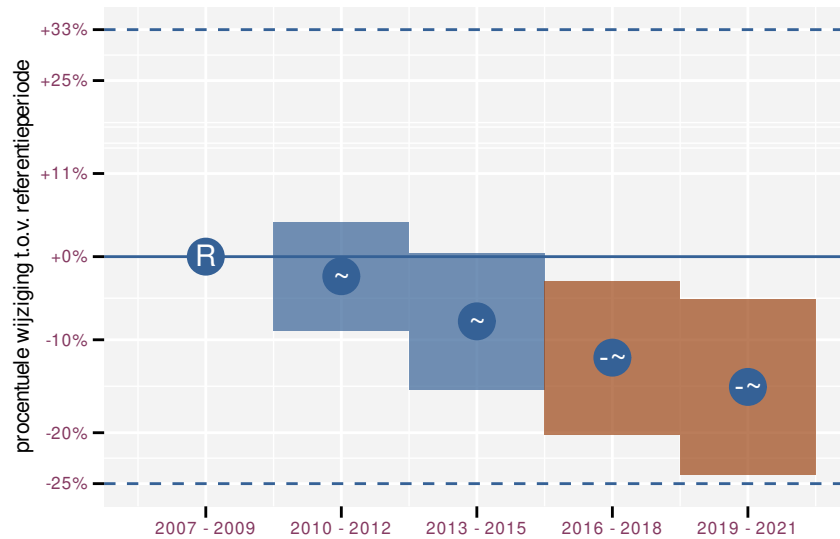
Figuur 65.6: Paarsgewijze vergelijking tussen driejarige cycli voor Kuifeend. Uitleg van de symbolen in tabel 3.1.

Tabel 65.2: Data-hashes van de analyses in het kader van traceerbaarheid (zie §4.3).

frequentie	model	analyse	status
jaarlijks	niet-lineair	99ef30a635dff5b518db	9428c3e75937c0a53ac7
		bc4db22b45bc68764b74	373a32344b5305b8c154
jaarlijks	lineair	58f2c3ea16d9d638b29d	19da4005c945714384bc
		829780757941203391cc	759415328c6bd1aea099
driejaarlijks	niet-lineair	f5b798ddf60e6f45a437	2fe295404bd2e03f5fc4
		a0bcf3199bc3cd0ca549	90dd19f43aaddf798e29
driejaarlijks	lineair	bf88a54371db73c26137	d9da4317de07ce87f1b8
		1fb2e637d13ce8206785	8e57b9e9c73d96073017



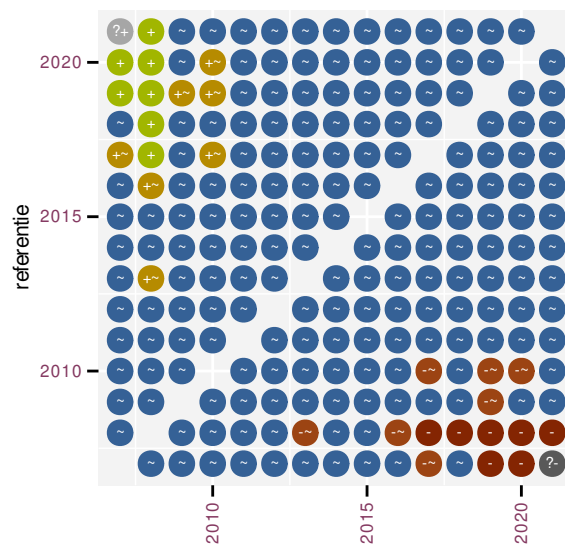
Figuur 66.3: Wijzigingen tussen jaren voor Kuifmees. Zie §3.1 voor een verklaring van de intervallen en §3.2 voor uitleg over de symbolen en referentielijnen.



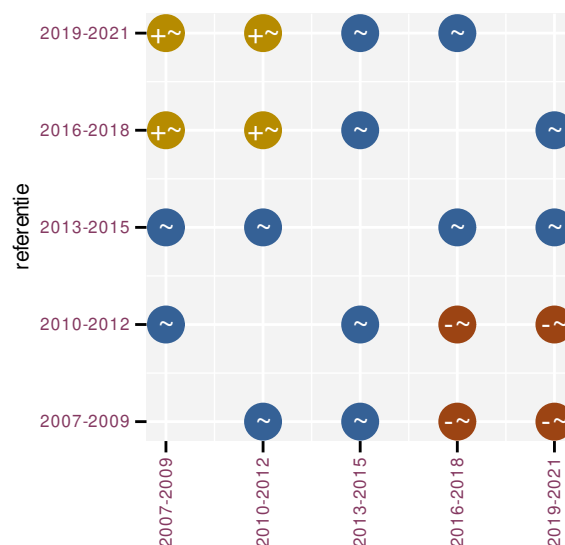
Figuur 66.4: Wijzigingen per driejarige cyclus voor Kuifmees. Zie §3.1 voor een verklaring van de intervallen en §3.2 voor uitleg over de symbolen en referentielijnen.

Tabel 66.1: Stratumgewicht, raming aan het aantal hokken waarin de soort aanwezig is, aantal relevant hokken voor de analyse, aantal onderzochte hokken in het stratum, totaal aantal hokken van het stratum in Vlaanderen, aantal bezoeken aan een meetpunt en het gemiddeld aandeel relevante punten per hok voor Kuifmees (zie §2.5).

stratum	gewicht	aanwezig	relevant	onderzocht	totaal	bezoeken	punten
Bos	39.1%	142.7	85	190	319	4653	72.4%
Heide en duin	23.2%	84.7	40	94	199	2058	63.3%
Landbouw	20.1%	73.6	5	429	6311	279	46.7%
Suburbaan	7.3%	29.6	10	68	201	237	38.3%
Urbaan	6.5%	28.7	6	87	416	183	38.9%
Moeras en water	3.8%	13.7	8	80	137	247	47.9%



Figuur 66.5: Paarsgewijze vergelijking tussen jaren voor Kuifmees. Uitleg van de symbolen in tabel 3.1.



Figuur 66.6: Paarsgewijze vergelijking tussen driejarige cycli voor Kuifmees. Uitleg van de symbolen in tabel 3.1.

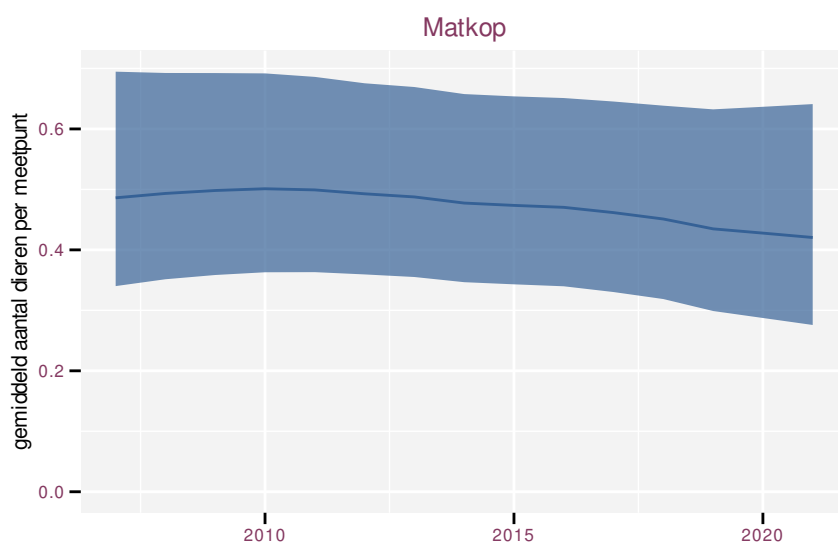
Tabel 66.2: Data-hashes van de analyses in het kader van traceerbaarheid (zie §4.3).

frequentie	model	analyse	status
jaarlijks	niet-lineair	b54f099b7b45ddafa19b 107a85bba0314e98bcd2	623787b747431d7fc101 56a988cc5a03df60e59e
jaarlijks	lineair	ade11034f3ed08c12958 da767b9b5dae6fd6fd6c	7f843af03eb1854e59ac 65c8b6fc62fc84d9567e
driejaarlijks	niet-lineair	7893b7337e4a39514ffe 56679ddbfa1f9e4e95e	ab6ac93f4a884a907e1e 60926f169bec7644eadc
driejaarlijks	lineair	f69b37ad8540a0dbfd3f c40c8d60aa5a6508f9f6	f86f67b11ad9ac27cd25 a47f2bfd9f27dd62b52e

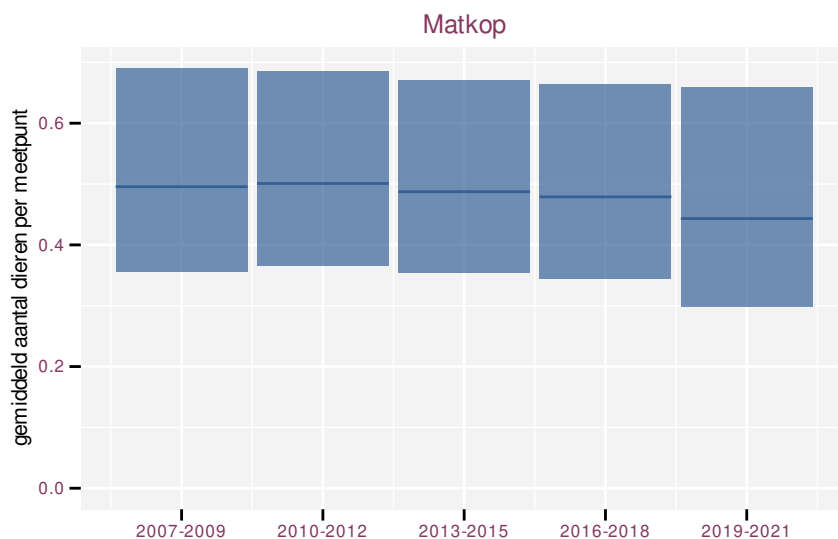
67 MATKOP

Op basis van jaarlijkse gegevens zien we gemiddeld mogelijke afname -5% (-10%; +1%) per jaar of -49% (-77%; +13%) over de volledige looptijd van het meetnet. Deze trend is lineair.

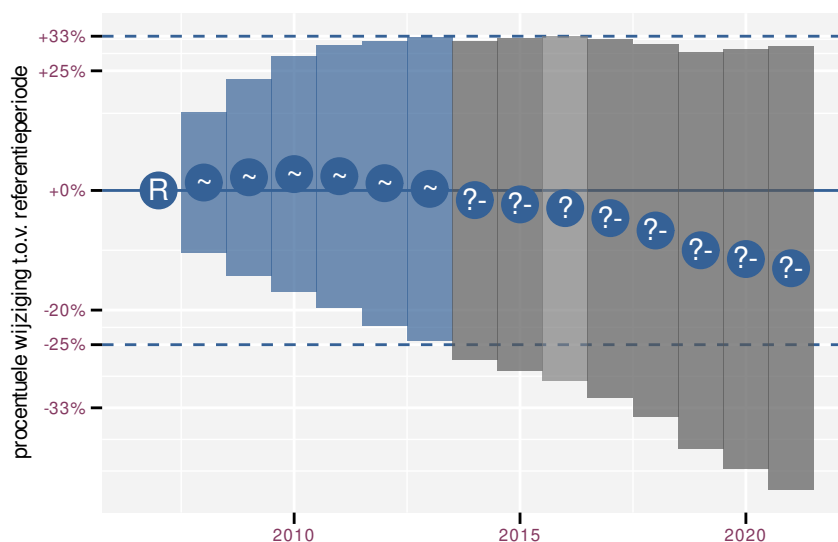
Op basis van driejaarlijkse gegevens zien we gemiddeld mogelijke afname -4.8% (-10.2%; +0.8%) per jaar of -50% (-78%; +12%) over de volledige looptijd van het meetnet. Deze trend is lineair.



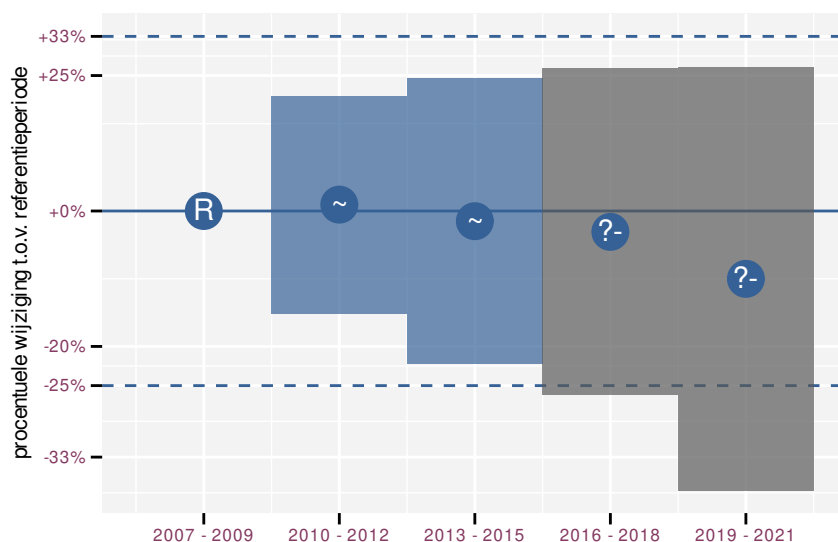
Figuur 67.1: Evolutie van het gemodelleerde gemiddeld aantal waargenomen dieren op een meetpunt voor Matkop tijdens de referentieperiode. Zie §3.1 voor een verklaring van de intervallen.



Figuur 67.2: Evolutie van het gemodelleerde gemiddeld aantal waargenomen dieren op een meetpunt voor Matkop tijdens de referentieperiode. Zie §3.1 voor een verklaring van de intervallen.



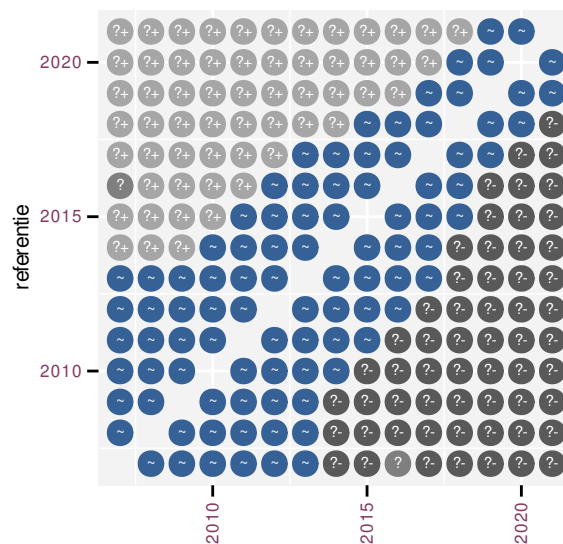
Figuur 67.3: Wijzigingen tussen jaren voor Matkop. Zie §3.1 voor een verklaring van de intervallen en §3.2 voor uitleg over de symbolen en referentielijnen.



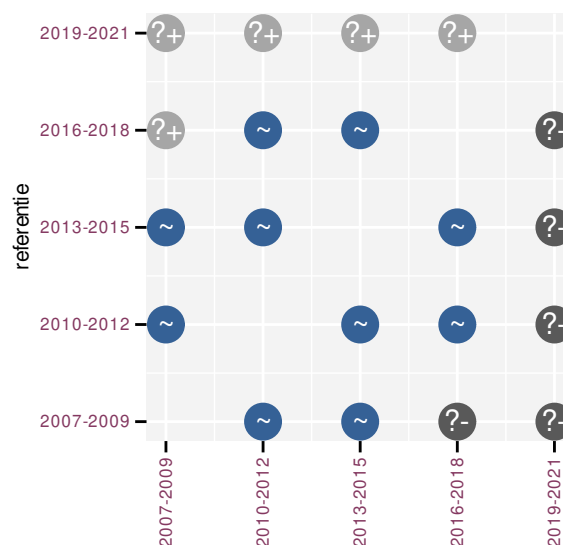
Figuur 67.4: Wijzigingen per driejarige cyclus voor Matkop. Zie §3.1 voor een verklaring van de intervallen en §3.2 voor uitleg over de symbolen en referentielijnen.

Tabel 67.1: Stratumgewicht, raming aan het aantal hokken waarin de soort aanwezig is, aantal relevant hokken voor de analyse, aantal onderzochte hokken in het stratum, totaal aantal hokken van het stratum in Vlaanderen, aantal bezoeken aan een meetpunt en het gemiddeld aandeel relevante punten per hok voor Matkop (zie §2.5).

stratum	gewicht	aanwezig	relevant	onderzocht	totaal	bezoeken	punten
Landbouw	62.6%	103.0	7	429	6311	154	33.3%
Bos	20.2%	28.5	17	190	319	851	49.0%
Moeras en water	9.7%	13.7	8	80	137	302	50.0%
Heide en duin	7.5%	12.7	6	94	199	154	33.3%



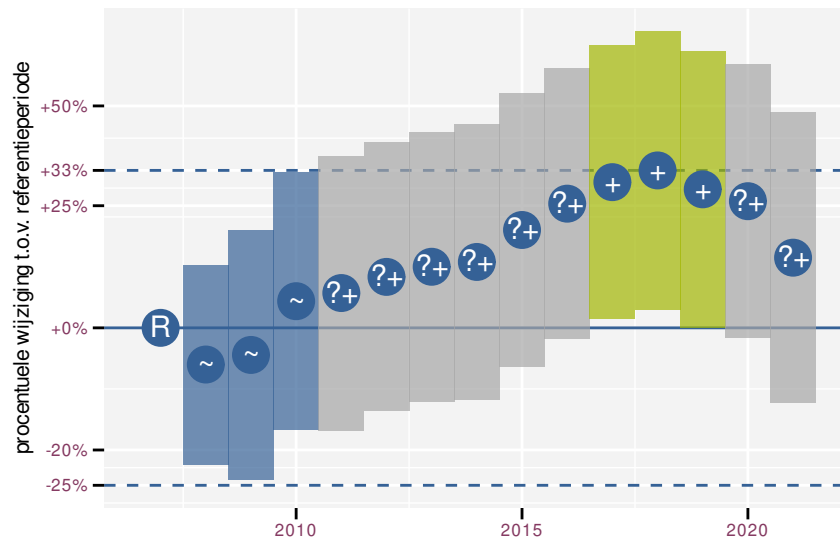
Figuur 67.5: Paarsgewijze vergelijking tussen jaren voor Matkop. Uitleg van de symbolen in tabel 3.1.



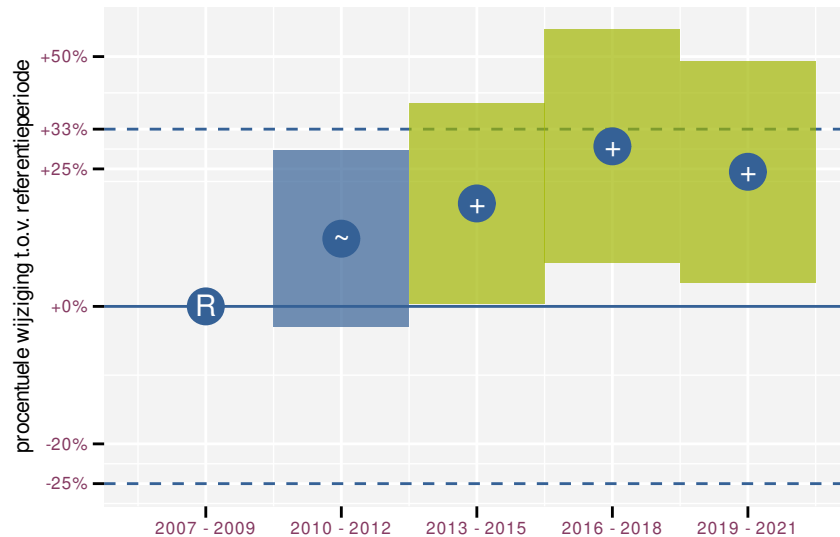
Figuur 67.6: Paarsgewijze vergelijking tussen driejarige cycli voor Matkop. Uitleg van de symbolen in tabel 3.1.

Tabel 67.2: Data-hashes van de analyses in het kader van traceerbaarheid (zie §4.3).

frequentie	model	analyse	status
jaarlijks	niet-lineair	e463415b50a130799828 8f5ef1f6da9f0fe41066	1f395f5d4322d0b9059c fcdb6b9646a5f4a997d5
jaarlijks	lineair	e91e8a340b20baa09995 46d810d5c4837eb591de	de9e22aee9ddb6b0acee c35f9dcee007a2a938fb
driejaarlijks	niet-lineair	0aa316bf10b1f245b766 53e7875c7169ad714cfe	203664394a896427deeb 9ac408f230919c02db7b
driejaarlijks	lineair	d5c3046a4f0f50583496 feb9ca310d52614e3c40	7520ef629b6566a684f4 0dbd8f50161391c82d28



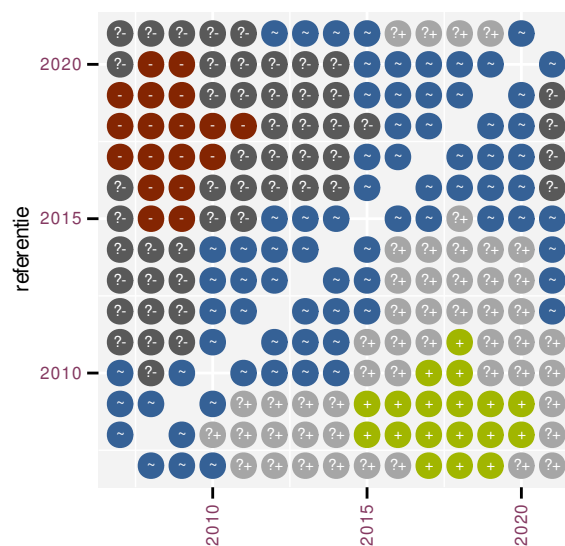
Figuur 68.3: Wijzigingen tussen jaren voor Meerkoet. Zie §3.1 voor een verklaring van de intervallen en §3.2 voor uitleg over de symbolen en referentielijnen.



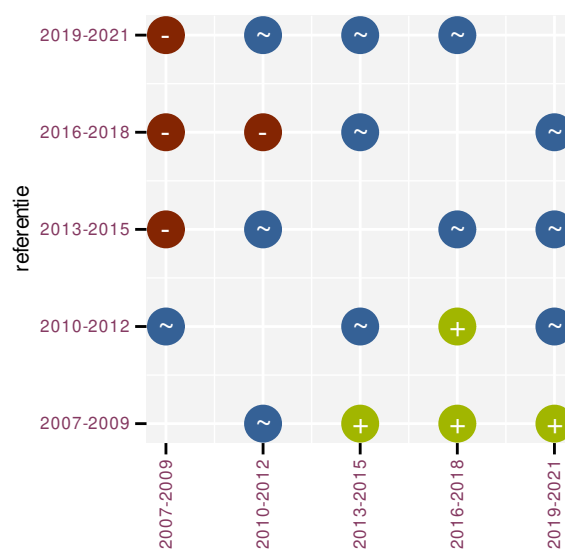
Figuur 68.4: Wijzigingen per driejarige cyclus voor Meerkoet. Zie §3.1 voor een verklaring van de intervallen en §3.2 voor uitleg over de symbolen en referentielijnen.

Tabel 68.1: Stratumgewicht, raming aan het aantal hokken waarin de soort aanwezig is, aantal relevant hokken voor de analyse, aantal onderzochte hokken in het stratum, totaal aantal hokken van het stratum in Vlaanderen, aantal bezoeken aan een meetpunt en het gemiddeld aandeel relevante punten per hok voor Meerkoet (zie §2.5).

stratum	gewicht	aanwezig	relevant	onderzocht	totaal	bezoeken	punten
Landbouw	81.0%	912.1	62	429	6311	2274	49.7%
Moeras en water	7.9%	89.0	52	80	137	2181	63.8%
Heide en duin	3.8%	42.3	20	94	199	581	43.3%
Urbaan	2.5%	33.5	7	87	416	78	19.0%
Bos	2.4%	26.9	16	190	319	478	38.5%
Suburbaan	2.4%	29.6	10	68	201	252	46.7%



Figuur 68.5: Paarsgewijze vergelijking tussen jaren voor Meerkoet. Uitleg van de symbolen in tabel 3.1.



Figuur 68.6: Paarsgewijze vergelijking tussen driejarige cycli voor Meerkoet. Uitleg van de symbolen in tabel 3.1.

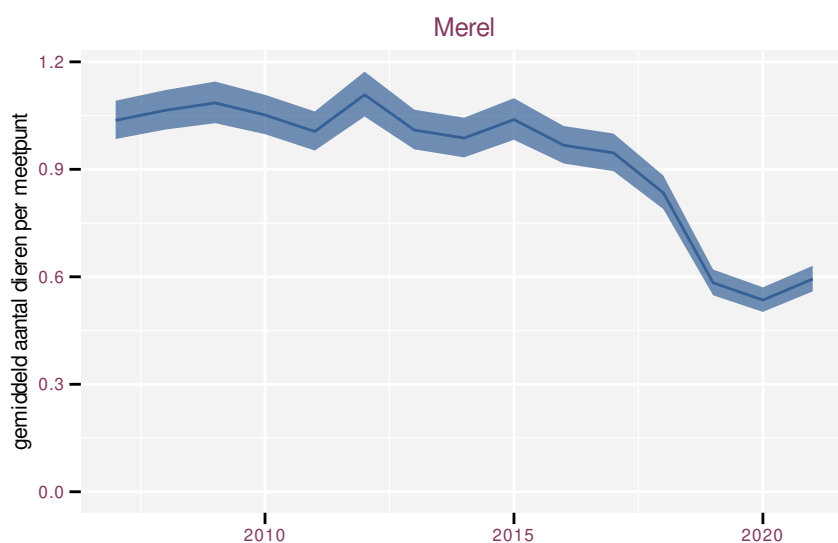
Tabel 68.2: Data-hashes van de analyses in het kader van traceerbaarheid (zie §4.3).

frequentie	model	analyse	status
jaarlijks	niet-lineair	52823961fb52253504b1	68b34ccaa38257f0324d
jaarlijks	lineair	cfdca7a8bdd008d88a66	9d58634a54e2d6cdd3ea
jaarlijks	lineair	6c3c99d1c8385b73c99a	847e1d2a1b7341a21bc9
jaarlijks	lineair	47a3015e0d41446c3748	893afac79fa63407d4bb
driejaarlijks	niet-lineair	55f4edcb8906ad900136	da2ba889162166b02599
driejaarlijks	niet-lineair	650ac456182e285fbd87	79d0cf2c1263d82d3783
driejaarlijks	lineair	dff9b2bb6367795ff0b9	d1c20ee0e5c7f24a6605
driejaarlijks	lineair	b35bb874c3e7cc7108b5	20f5b92e7c7968c14478

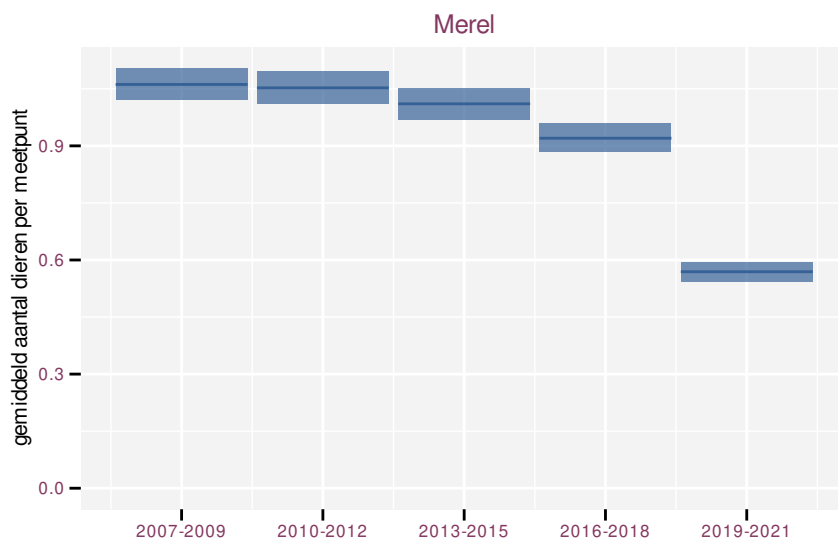
69 MEREL

Op basis van jaarlijkse gegevens zien we gemiddeld sterke afname -3.78% (-4.01%; -3.55%) per jaar of -41.7% (-43.6%; -39.7%) over de volledige looptijd van het meetnet. Deze trend is niet-lineair.

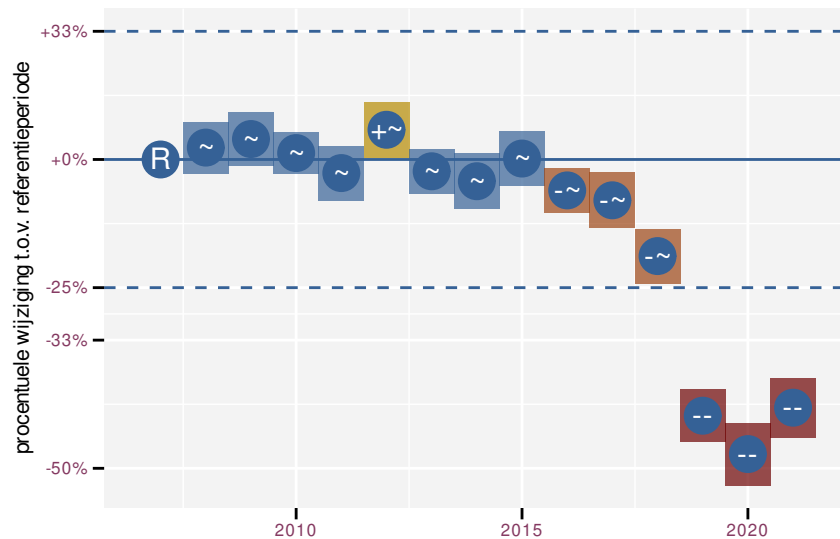
Op basis van driejaarlijkse gegevens zien we gemiddeld sterke afname -3.85% (-4.08%; -3.62%) per jaar of -42.3% (-44.2%; -40.3%) over de volledige looptijd van het meetnet. Deze trend is niet-lineair.



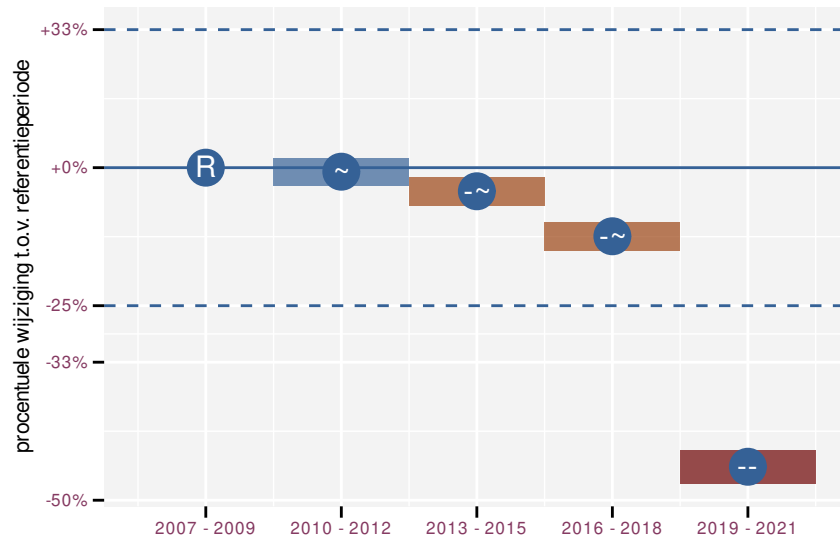
Figuur 69.1: Evolutie van het gemodelleerde gemiddeld aantal waargenomen dieren op een meetpunt voor Merel tijdens de referentieperiode. Zie §3.1 voor een verklaring van de intervallen.



Figuur 69.2: Evolutie van het gemodelleerde gemiddeld aantal waargenomen dieren op een meetpunt voor Merel tijdens de referentieperiode. Zie §3.1 voor een verklaring van de intervallen.



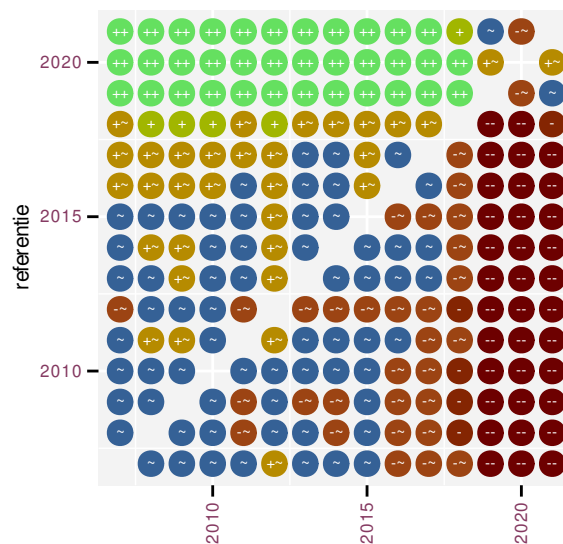
Figuur 69.3: Wijzigingen tussen jaren voor Merel. Zie §3.1 voor een verklaring van de intervallen en §3.2 voor uitleg over de symbolen en referentielijnen.



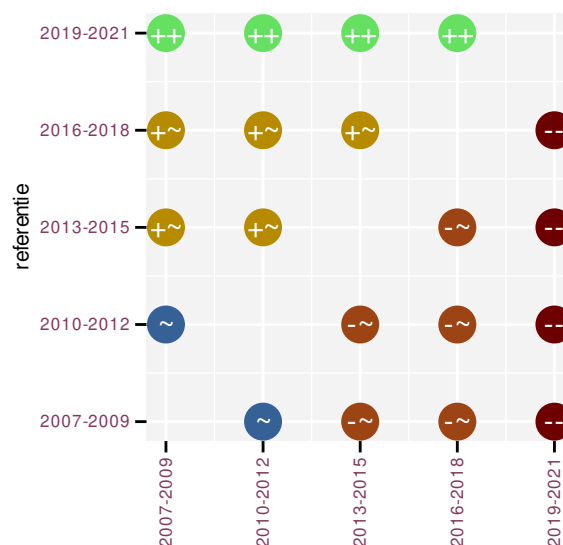
Figuur 69.4: Wijzigingen per driejarige cyclus voor Merel. Zie §3.1 voor een verklaring van de intervallen en §3.2 voor uitleg over de symbolen en referentielijnen.

Tabel 69.1: Stratumgewicht, raming aan het aantal hokken waarin de soort aanwezig is, aantal relevant hokken voor de analyse, aantal onderzochte hokken in het stratum, totaal aantal hokken van het stratum in Vlaanderen, aantal bezoeken aan een meetpunt en het gemiddeld aandeel relevante punten per hok voor Merel (zie §2.5).

stratum	gewicht	aanwezig	relevant	onderzocht	totaal	bezoeken	punten
Landbouw	83.0%	5060.6	344	429	6311	20958	94.9%
Urbaan	5.7%	349.1	73	87	416	4594	99.1%
Bos	4.0%	246.8	147	190	319	9139	96.4%
Suburbaan	2.8%	168.5	57	68	201	3351	94.7%
Heide en duin	2.7%	165.1	78	94	199	4639	90.6%
Moeras en water	1.8%	107.9	63	80	137	3651	91.0%



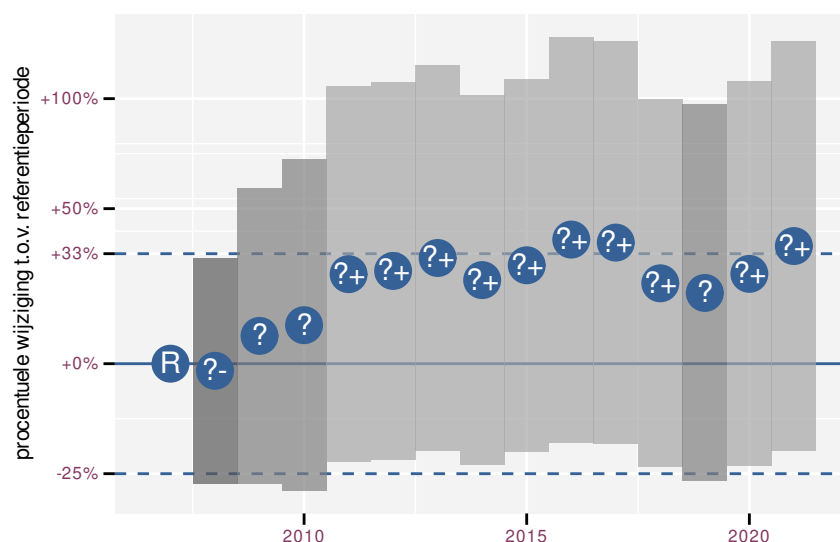
Figuur 69.5: Paarsgewijze vergelijking tussen jaren voor Merel. Uitleg van de symbolen in tabel 3.1.



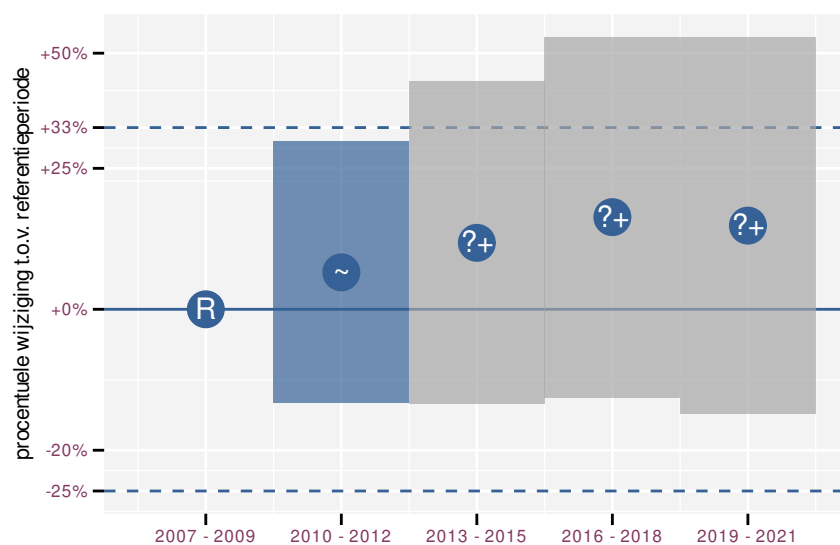
Figuur 69.6: Paarsgewijze vergelijking tussen driejarige cycli voor Merel. Uitleg van de symbolen in tabel 3.1.

Tabel 69.2: Data-hashes van de analyses in het kader van traceerbaarheid (zie §4.3).

frequentie	model	analyse	status
jaarlijks	niet-lineair	5feb62c5291dfc2429b0 79cc09e97cb4ea917028	a4bd5fc03df757e61493 caac77bab1261273fb19
jaarlijks	lineair	0ed5f6226ded6a490e2e 588dc9585e158c3c849f	02edc8c22b9d7f3abe76 935bb76dc3f84e42cf7f
driejaarlijks	niet-lineair	7fba2d78a2367310ac8b dce12ed1b3d21f6015bf	e821d1041c84e23085e8 048bce536d5539959bbf
driejaarlijks	lineair	b733258a64fc8382e6d9 2a4b8ebd4eb22cc9b553	11218dc721e71c6d4d00 8cbe90990e4d2ee9ea72



Figuur 70.3: Wijzigingen tussen jaren voor Middelste Bonte Specht. Zie §3.1 voor een verklaring van de intervallen en §3.2 voor uitleg over de symbolen en referentielijnen.



Figuur 70.4: Wijzigingen per driejarige cyclus voor Middelste Bonte Specht. Zie §3.1 voor een verklaring van de intervallen en §3.2 voor uitleg over de symbolen en referentielijnen.

Tabel 70.1: Stratumgewicht, raming aan het aantal hokken waarin de soort aanwezig is, aantal relevant hokken voor de analyse, aantal onderzochte hokken in het stratum, totaal aantal hokken van het stratum in Vlaanderen, aantal bezoeken aan een meetpunt en het gemiddeld aandeel relevante punten per hok voor Middelste Bonte Specht (zie §2.5).

stratum	gewicht	aanwezig	relevant	onderzocht	totaal	bezoeken	punten
Bos	100.0%	28.5	17	190	319	630	54.9%

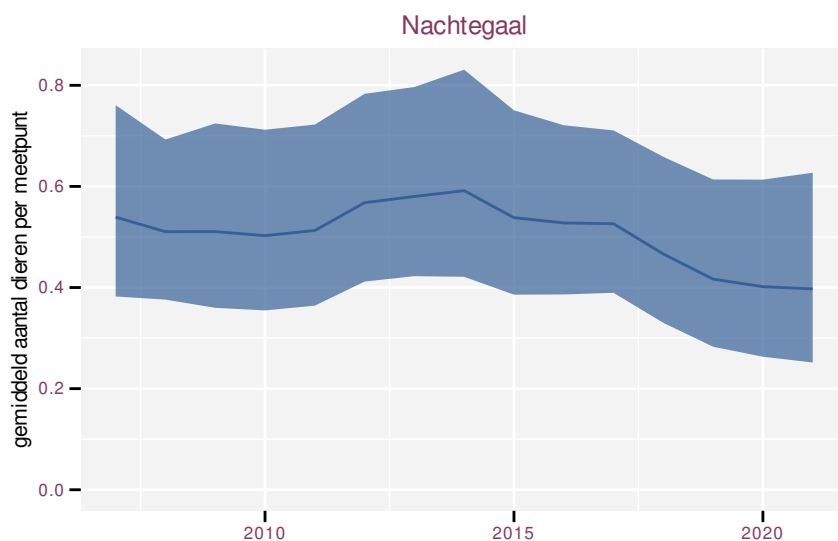
Tabel 70.2: Data-hashes van de analyses in het kader van traceerbaarheid (zie §4.3).

frequentie	model	analyse	status
jaarlijks	niet-lineair	10d0d455db0de7d652f6	7ea43e6a4984018ab85b
		250914638684b54a63f1	72e21cf453f3574fc062
jaarlijks	lineair	68c86a34f81324f8bee2	671ba2d8fffc0bd90d0d
		ec55258aa75fbd0a150	1e76293f262b0e45845b
driejaarlijks	niet-lineair	3bc901d3eabbd215621c	81ba6c80e5c06688b480
		8cf3ca6f331b7b56b847	0ec83e8d34f899bd9de2
driejaarlijks	lineair	60910bf41a458601dcc6	e87b537d2539774d876d
		f1e9451a2274744aa3f6	366a5f201eb4b4068607

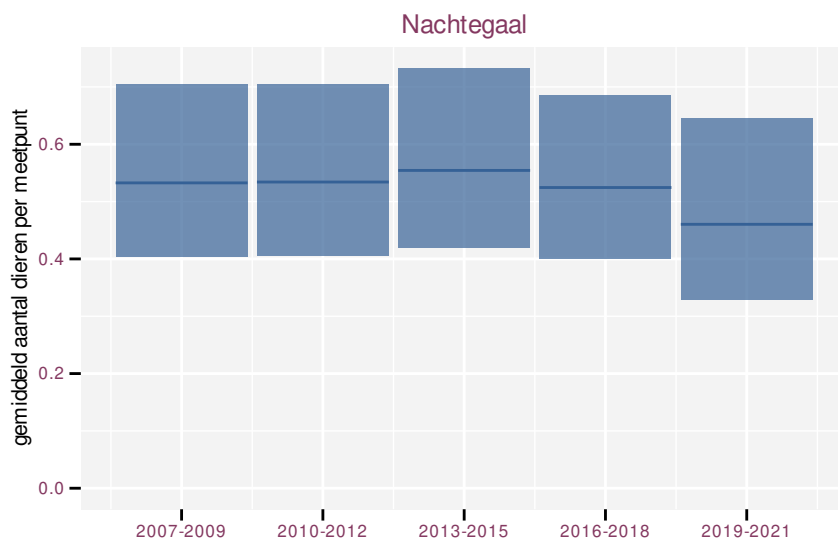
71 NACHTEGAAL

Op basis van jaarlijkse gegevens zien we gemiddeld mogelijke afname -2.0% (-4.6%; +0.8%) per jaar of -24% (-49%; +11%) over de volledige looptijd van het meetnet. Deze trend is niet-lineair.

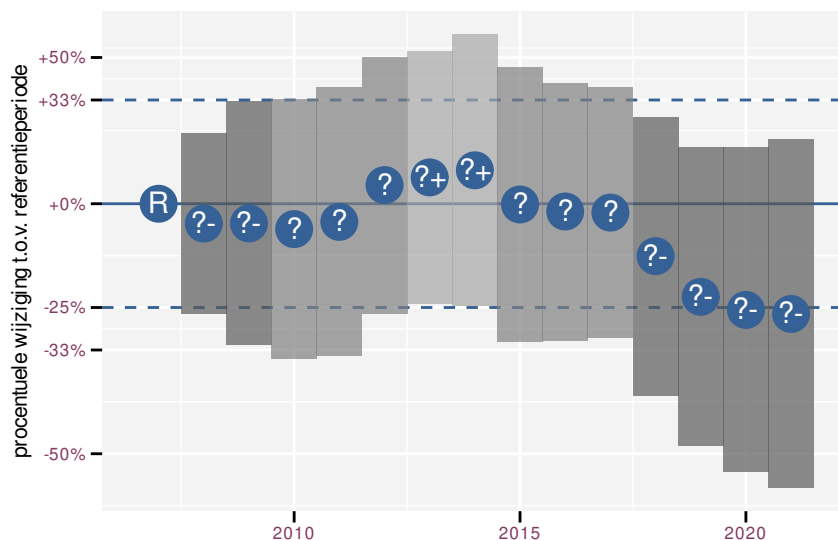
Op basis van driejaarlijkse gegevens zien we gemiddeld mogelijke afname -2.0% (-4.7%; +0.7%) per jaar of -25% (-49%; +11%) over de volledige looptijd van het meetnet. Deze trend is mogelijk niet-lineair.



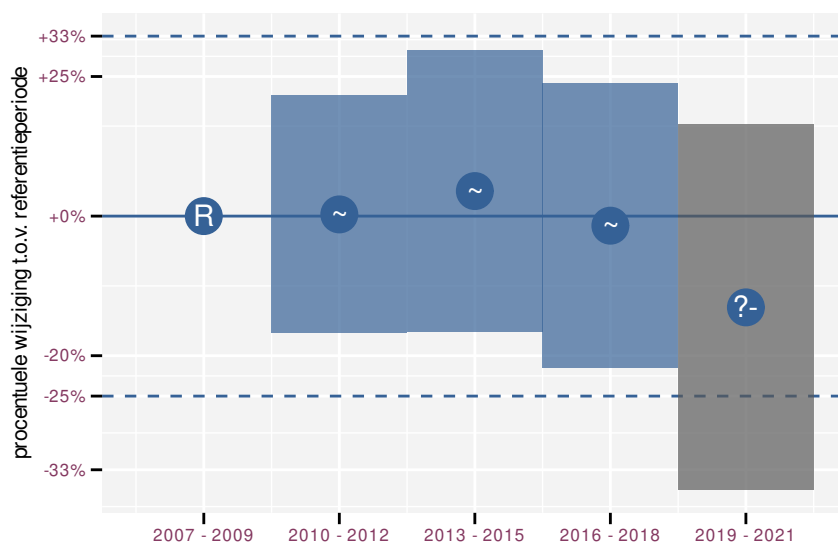
Figuur 71.1: Evolutie van het gemodelleerde gemiddeld aantal waargenomen dieren op een meetpunt voor Nachtegaal tijdens de referentieperiode. Zie §3.1 voor een verklaring van de intervallen.



Figuur 71.2: Evolutie van het gemodelleerde gemiddeld aantal waargenomen dieren op een meetpunt voor Nachtegaal tijdens de referentieperiode. Zie §3.1 voor een verklaring van de intervallen.



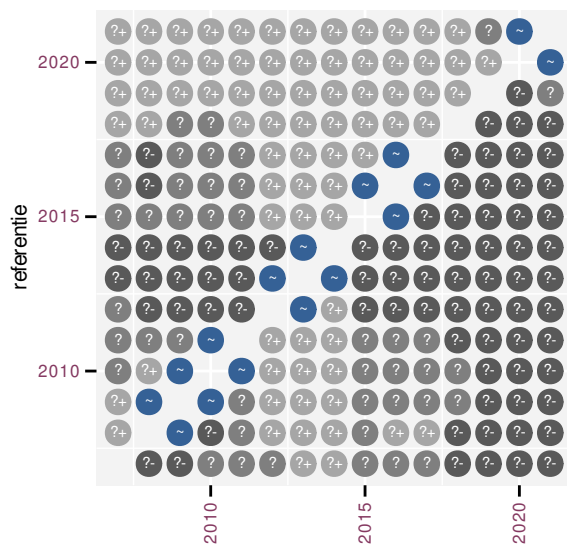
Figuur 71.3: Wijzigingen tussen jaren voor Nachtegaal. Zie §3.1 voor een verklaring van de intervallen en §3.2 voor uitleg over de symbolen en referentielijnen.



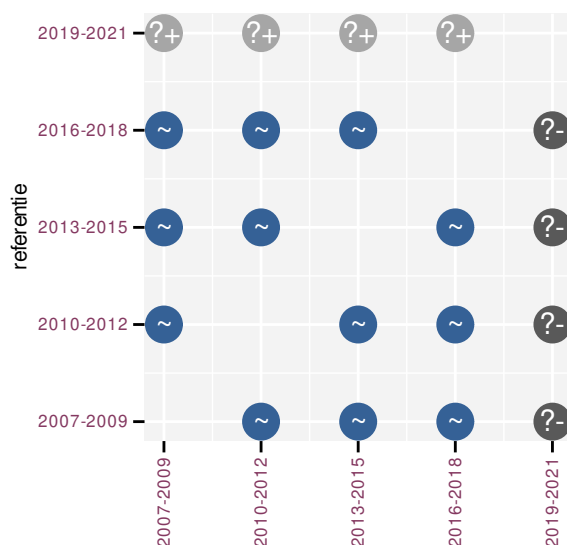
Figuur 71.4: Wijzigingen per driejarige cyclus voor Nachtegaal. Zie §3.1 voor een verklaring van de intervallen en §3.2 voor uitleg over de symbolen en referentielijnen.

Tabel 71.1: Stratumgewicht, raming aan het aantal hokken waarin de soort aanwezig is, aantal relevant hokken voor de analyse, aantal onderzochte hokken in het stratum, totaal aantal hokken van het stratum in Vlaanderen, aantal bezoeken aan een meetpunt en het gemiddeld aandeel relevante punten per hok voor Nachtegaal (zie §2.5).

stratum	gewicht	aanwezig	relevant	onderzocht	totaal	bezoeken	punten
Heide en duin	63.0%	25.4	12	94	199	257	62.5%
Moeras en water	37.0%	15.4	9	80	137	254	50.0%



Figuur 71.5: Paarsgewijze vergelijking tussen jaren voor Nachtegaal. Uitleg van de symbolen in tabel 3.1.



Figuur 71.6: Paarsgewijze vergelijking tussen driejarige cycli voor Nachtegaal. Uitleg van de symbolen in tabel 3.1.

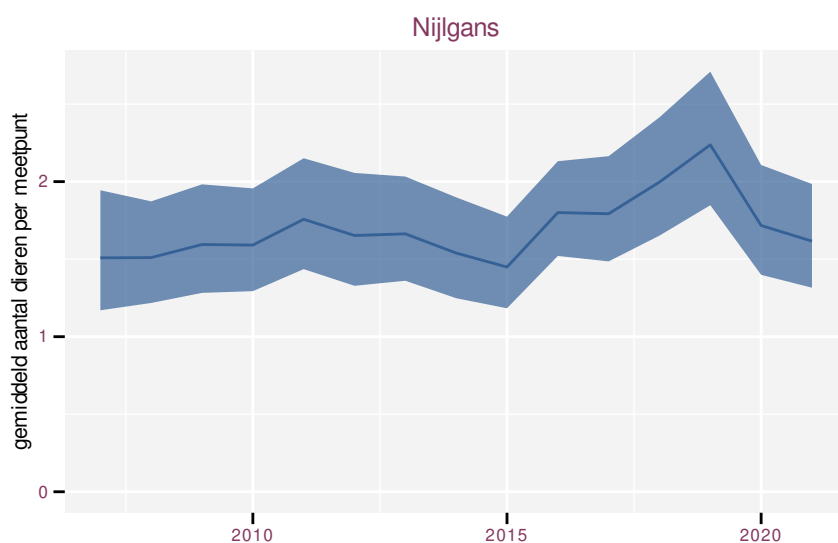
Tabel 71.2: Data-hashes van de analyses in het kader van traceerbaarheid (zie §4.3).

frequentie	model	analyse	status
jaarlijks	niet-lineair	fa62a689f5eb4798119075f5e931bca9e4a1b3a4	fb15af35240ba3d8975dd76da8c4199813ddd899
jaarlijks	lineair	e250206369c3105612b34aacfad73f9d3038d956	030189afdb801b96d90ca162bd5bb9462f48757d
driejaarlijks	niet-lineair	9cff4ca72779611c8436e76329dfa3f7b790dc98	74c0dbdb234b38661b974c0f1b290b919d0def03
driejaarlijks	lineair	6bad01a7fc3b87afbc4f551bfcdb8c2468cfcf91	c8bdaa98ca1fdf7c3af3dbda9e374b0d3ab5cfc6

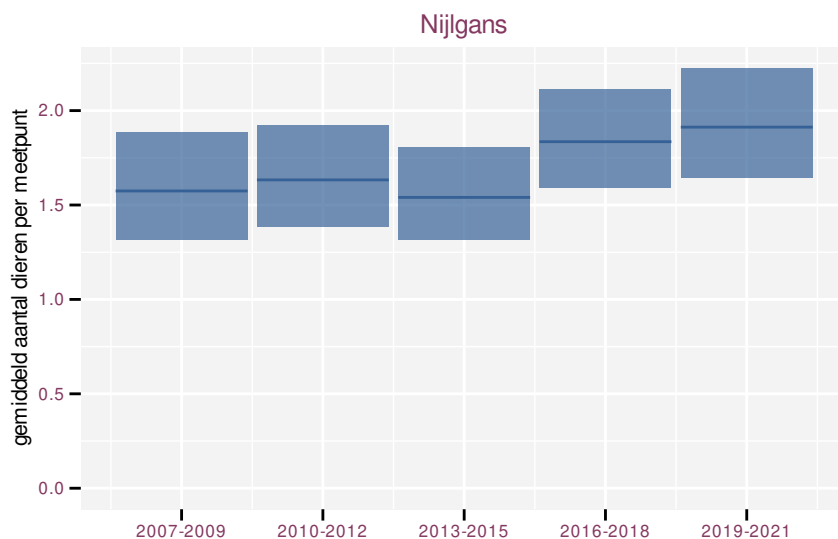
72 NIJLGANS

Op basis van jaarlijkse gegevens zien we gemiddeld toename +1.9% (+0.4%; +3.3%) per jaar of +29% (+6%; +58%) over de volledige looptijd van het meetnet. Deze trend is lineair.

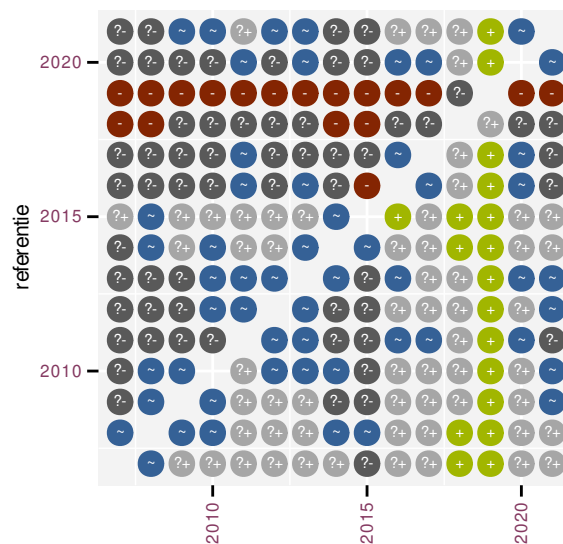
Op basis van driejaarlijkse gegevens zien we gemiddeld toename +2.3% (+0.8%; +3.8%) per jaar of +37% (+12%; +68%) over de volledige looptijd van het meetnet. Deze trend is lineair.



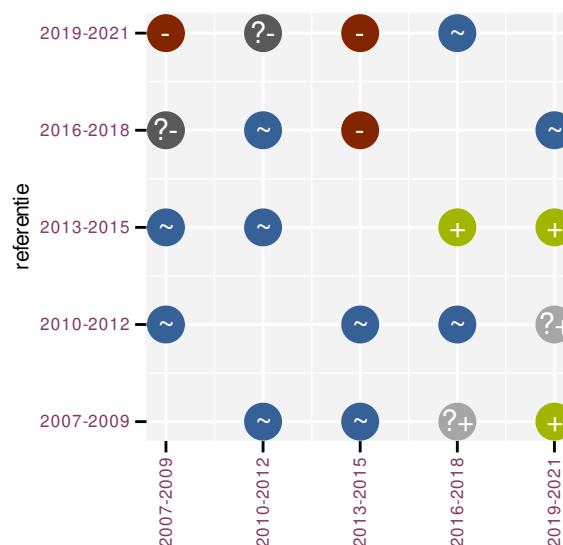
Figuur 72.1: Evolutie van het gemodelleerde gemiddeld aantal waargenomen dieren op een meetpunt voor Nijlgans tijdens de referentieperiode. Zie §3.1 voor een verklaring van de intervallen.



Figuur 72.2: Evolutie van het gemodelleerde gemiddeld aantal waargenomen dieren op een meetpunt voor Nijlgans tijdens de referentieperiode. Zie §3.1 voor een verklaring van de intervallen.



Figuur 72.5: Paarsgewijze vergelijking tussen jaren voor Nijlgans. Uitleg van de symbolen in tabel 3.1.



Figuur 72.6: Paarsgewijze vergelijking tussen driejarige cycli voor Nijlgans. Uitleg van de symbolen in tabel 3.1.

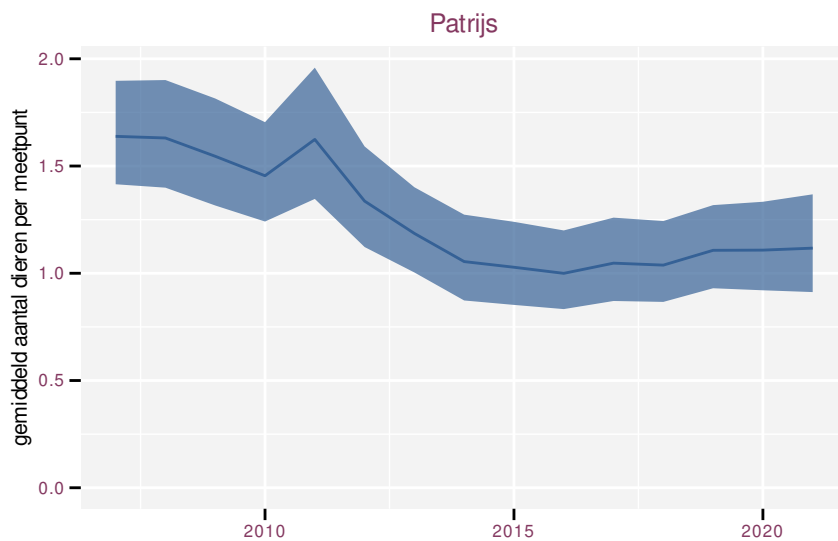
Tabel 72.2: Data-hashes van de analyses in het kader van traceerbaarheid (zie §4.3).

frequentie	model	analyse	status
jaarlijks	niet-lineair	a9c1c63627bbc8c080b1 e684f81ca09415f79f03	a8dca8ab68a1427f8c6a 5f7b7fc0996c528c1620
jaarlijks	lineair	b7ecae9284822c71c60b f71a393501572d539f00	bb9d53e06e8566f6d3ed d8935f99154c0f1ba15c
driejaarlijks	niet-lineair	6251f3b986053ffb4be0 c96baba5c7fd026e5129	519b3ddc6c4836c17117 0c607a7005d4448cdf6
driejaarlijks	lineair	b61434838e7343ea8f74 0e33b0791137e3ff78c2	83a506a71c8d241098c2 c232300f9345addb55f5

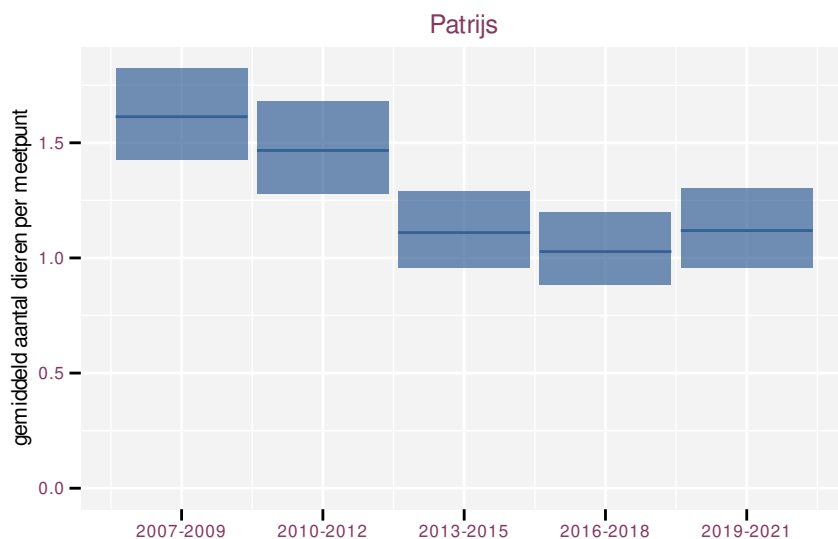
73 PATRIJS

Op basis van jaarlijkse gegevens zien we gemiddeld sterke afname -3.8% (-5.0%; -2.6%) per jaar of -42% (-52%; -30%) over de volledige looptijd van het meetnet. Deze trend is niet-lineair.

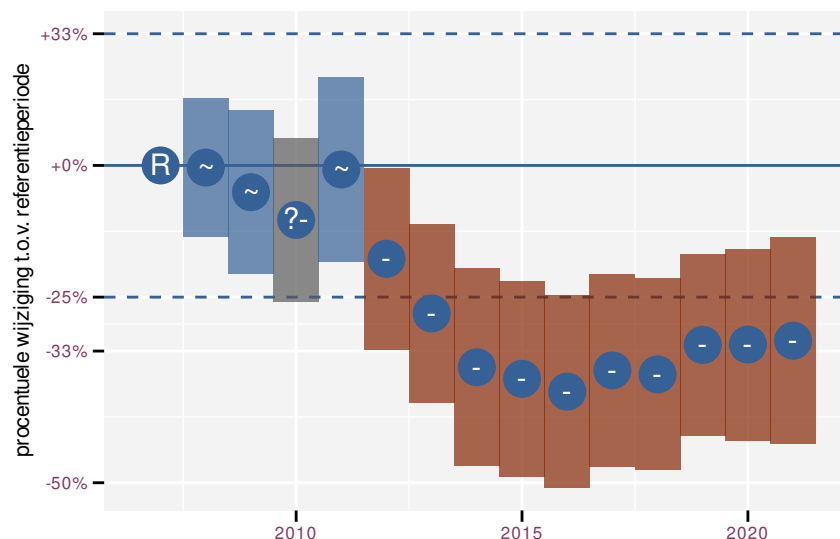
Op basis van driejaarlijkse gegevens zien we gemiddeld sterke afname -3.9% (-5.2%; -2.6%) per jaar of -43% (-53%; -31%) over de volledige looptijd van het meetnet. Deze trend is niet-lineair.



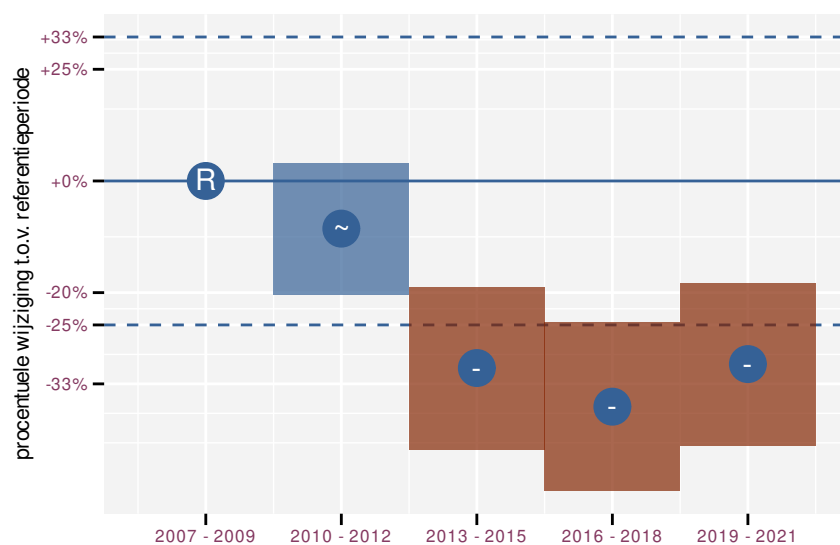
Figuur 73.1: Evolutie van het gemodelleerde gemiddeld aantal waargenomen dieren op een meetpunt voor Patrijs tijdens de referentieperiode. Zie §3.1 voor een verklaring van de intervallen.



Figuur 73.2: Evolutie van het gemodelleerde gemiddeld aantal waargenomen dieren op een meetpunt voor Patrijs tijdens de referentieperiode. Zie §3.1 voor een verklaring van de intervallen.



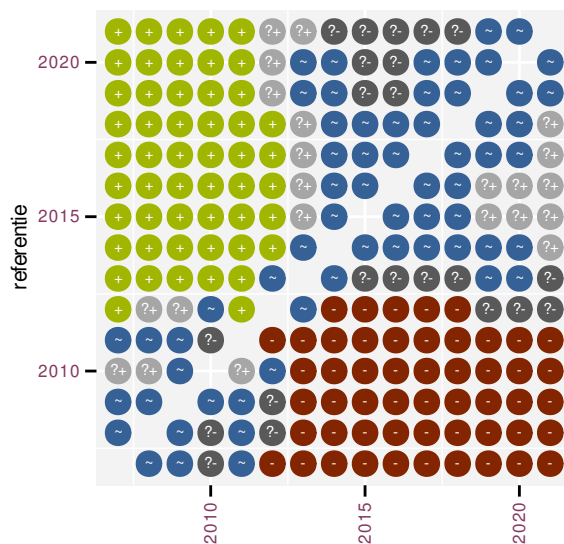
Figuur 73.3: Wijzigingen tussen jaren voor Patrijs. Zie §3.1 voor een verklaring van de intervallen en §3.2 voor uitleg over de symbolen en referentielijnen.



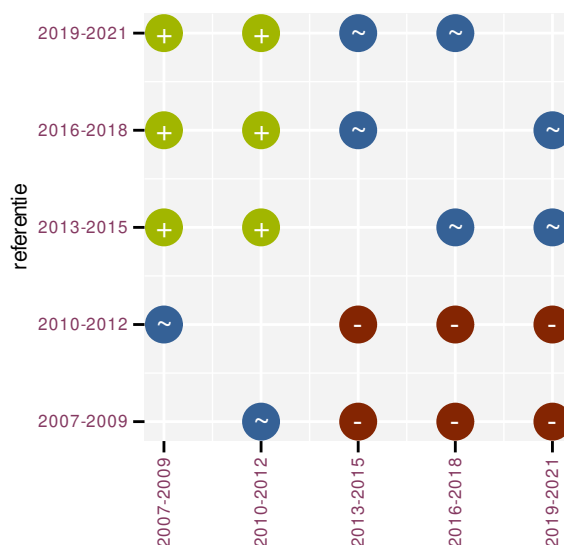
Figuur 73.4: Wijzigingen per driejarige cyclus voor Patrijs. Zie §3.1 voor een verklaring van de intervallen en §3.2 voor uitleg over de symbolen en referentielijnen.

Tabel 73.1: Stratumgewicht, raming aan het aantal hokken waarin de soort aanwezig is, aantal relevant hokken voor de analyse, aantal onderzochte hokken in het stratum, totaal aantal hokken van het stratum in Vlaanderen, aantal bezoeken aan een meetpunt en het gemiddeld aandeel relevante punten per hok voor Patrijs (zie §2.5).

stratum	gewicht	aanwezig	relevant	onderzocht	totaal	bezoeken	punten
Landbouw	100.0%	2074.2	141	429	6311	5463	53.4%



Figuur 73.5: Paarsgewijze vergelijking tussen jaren voor Patrijs. Uitleg van de symbolen in tabel 3.1.



Figuur 73.6: Paarsgewijze vergelijking tussen driejarige cycli voor Patrijs. Uitleg van de symbolen in tabel 3.1.

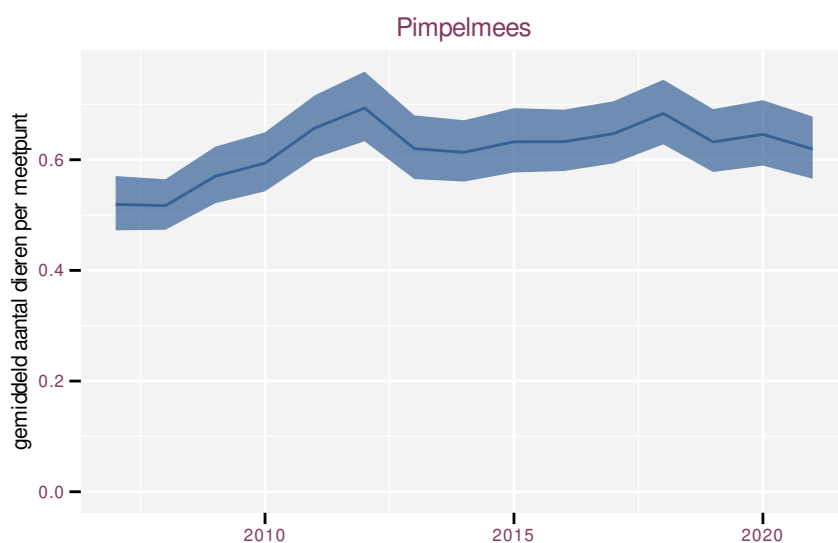
Tabel 73.2: Data-hashes van de analyses in het kader van traceerbaarheid (zie §4.3).

frequentie	model	analyse	status
jaarlijks	niet-lineair	17c07c3f99d15d68f7ff 029dde05f7eed906dd05	44b9e38fe126a457fc26 a3e952f9f0a18e0622d1
jaarlijks	lineair	df2757a210e992e41df4 2ffe60a060f3715713b4	0e74b59c6af4399f175f e4ee6435865ccad88b90
driejaarlijks	niet-lineair	b00011952a17e0fc8d9 75df9c38c52a53d3ae1f	a2cf0b2c4d6a10dcdacb e1dd250cd881af81b60f
driejaarlijks	lineair	2958a27e43afa783b4d5 596ef613dc24d93e2e80	69551dc9b42c27ca85c0 3c933ea8adeedbcd9fd6

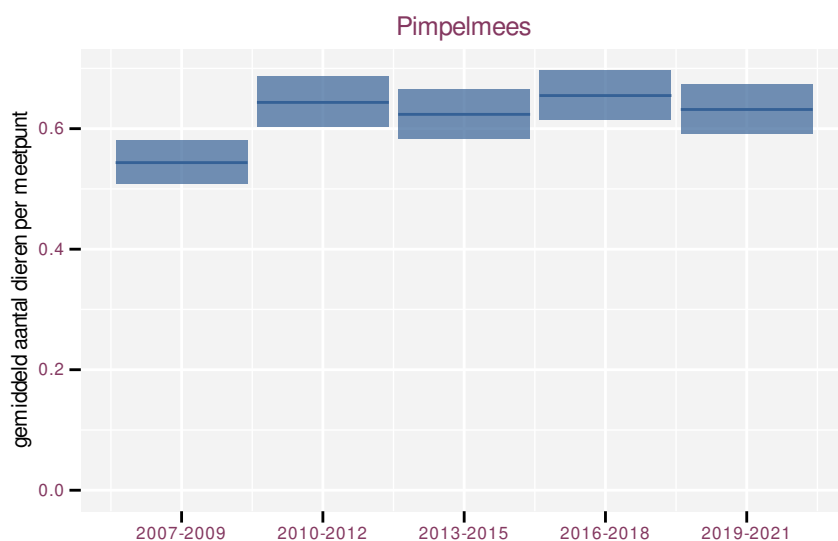
74 PIMPELMEES

Op basis van jaarlijkse gegevens zien we gemiddeld matige toename +1.26% (+0.72%; +1.81%) per jaar of +19% (+11%; +28%) over de volledige looptijd van het meetnet. Deze trend is niet-lineair.

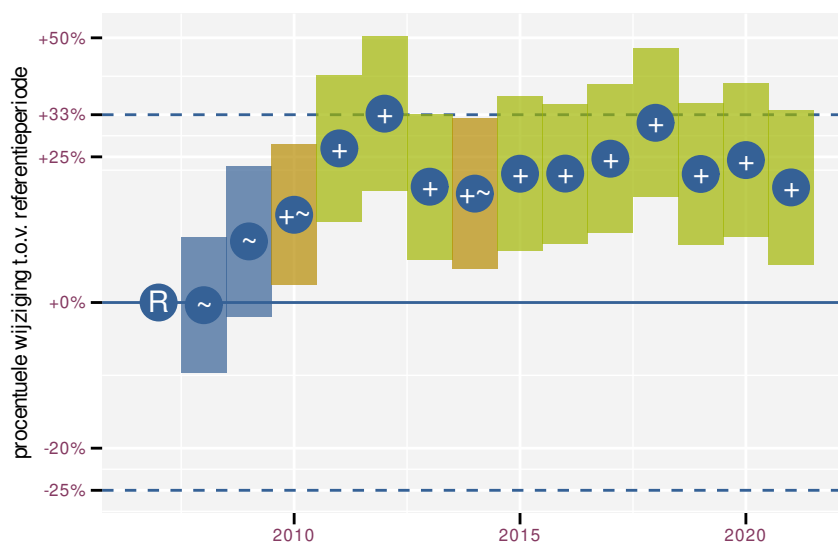
Op basis van driejaarlijkse gegevens zien we gemiddeld matige toename +1.19% (+0.65%; +1.73%) per jaar of +18% (+9%; +27%) over de volledige looptijd van het meetnet. Deze trend is niet-lineair.



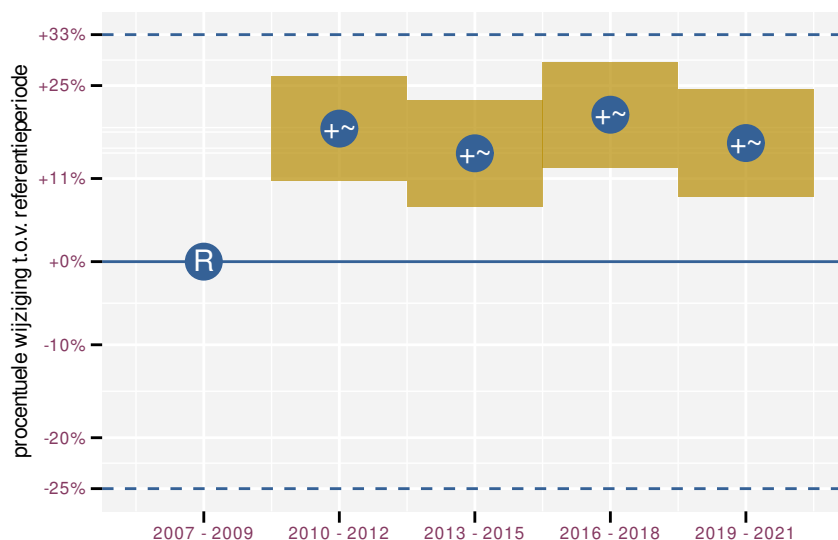
Figuur 74.1: Evolutie van het gemodelleerde gemiddeld aantal waargenomen dieren op een meetpunt voor Pimpelmees tijdens de referentieperiode. Zie §3.1 voor een verklaring van de intervallen.



Figuur 74.2: Evolutie van het gemodelleerde gemiddeld aantal waargenomen dieren op een meetpunt voor Pimpelmees tijdens de referentieperiode. Zie §3.1 voor een verklaring van de intervallen.



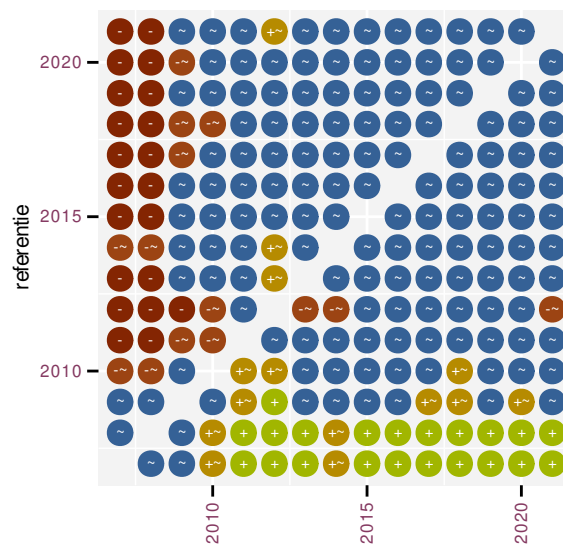
Figuur 74.3: Wijzigingen tussen jaren voor Pimpelmees. Zie §3.1 voor een verklaring van de intervallen en §3.2 voor uitleg over de symbolen en referentielijnen.



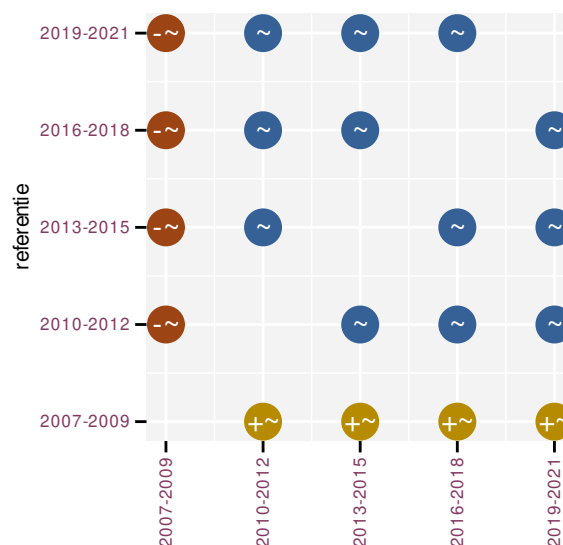
Figuur 74.4: Wijzigingen per driejarige cyclus voor Pimpelmees. Zie §3.1 voor een verklaring van de intervallen en §3.2 voor uitleg over de symbolen en referentielijnen.

Tabel 74.1: Stratumgewicht, raming aan het aantal hokken waarin de soort aanwezig is, aantal relevant hokken voor de analyse, aantal onderzochte hokken in het stratum, totaal aantal hokken van het stratum in Vlaanderen, aantal bezoeken aan een meetpunt en het gemiddeld aandeel relevante punten per hok voor Pimpelmees (zie §2.5).

stratum	gewicht	aanwezig	relevant	onderzocht	totaal	bezoeken	punten
Landbouw	81.2%	4030.8	274	429	6311	13619	72.3%
Urbaan	6.6%	325.1	68	87	416	3714	83.1%
Bos	4.5%	223.3	133	190	319	8059	89.1%
Heide en duin	2.9%	144.0	68	94	199	3606	77.0%
Suburbaan	2.9%	141.9	48	68	201	2508	79.9%
Moeras en water	2.0%	97.6	57	80	137	2927	76.6%



Figuur 74.5: Paarsgewijze vergelijking tussen jaren voor Pimpelmees. Uitleg van de symbolen in tabel 3.1.



Figuur 74.6: Paarsgewijze vergelijking tussen driejarige cycli voor Pimpelmees. Uitleg van de symbolen in tabel 3.1.

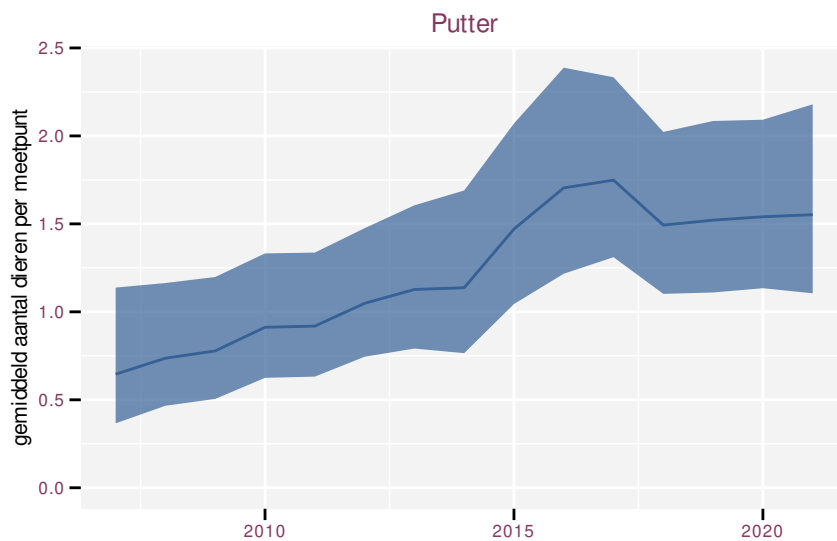
Tabel 74.2: Data-hashes van de analyses in het kader van traceerbaarheid (zie §4.3).

frequentie	model	analyse	status
jaarlijks	niet-lineair	3c3ed87501edad15cc3b ffe9b021ad2d49c140c5	4654b5aa2681365f02bd 8c9898754f505eebae38
jaarlijks	lineair	acec4470c8624de96342 39e2f4d5161d6a08020e	98350dc5343f8b8636fa 1343e19806522d31628c
driejaarlijks	niet-lineair	1107bb3c3d7f6f30333f 69b344a2d86c5b1753e9	9d988319d3b3fa66bcd8 350f2352b01b146e3808
driejaarlijks	lineair	385c7cc282bc74df15f0 87131effdb38e8e63d94	c3d3e2ded16b367c02aa 734553095c414635a638

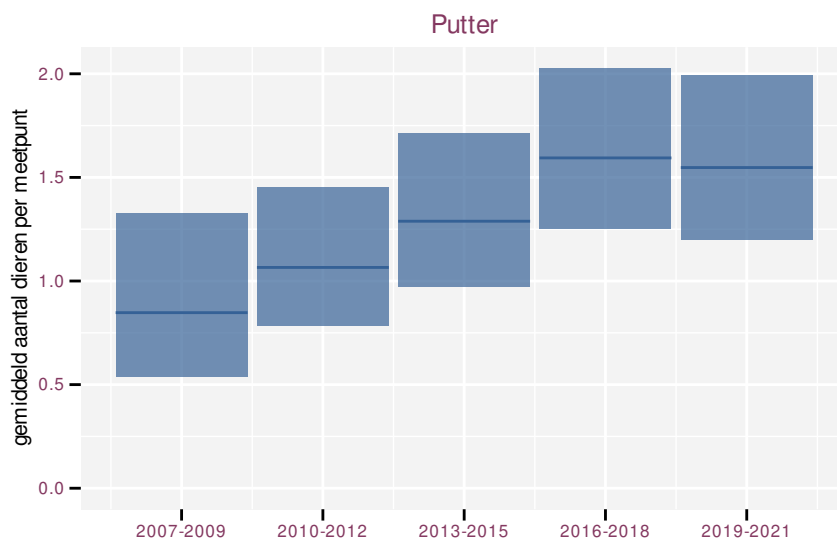
75 PUTTER

Op basis van jaarlijkse gegevens zien we gemiddeld sterke toename +8.73% (+5.06%; +12.51%) per jaar of +220% (+100%; +420%) over de volledige looptijd van het meetnet. Deze trend is niet-lineair.

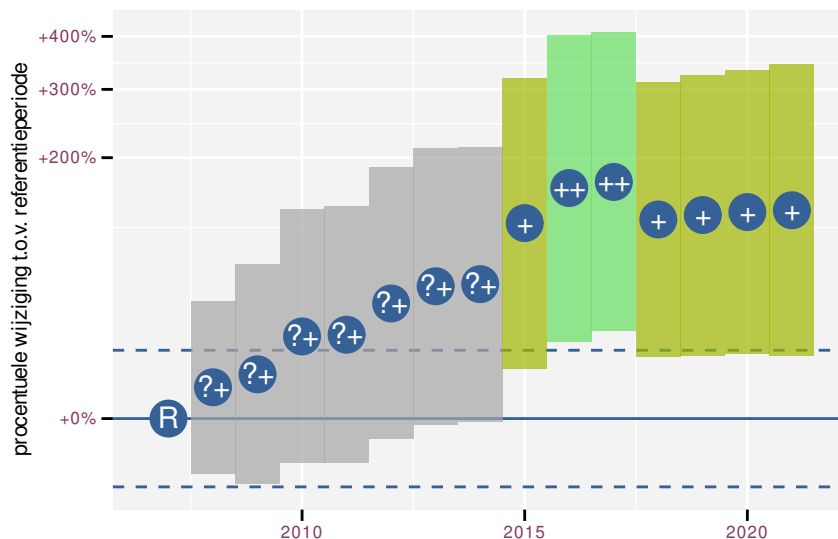
Op basis van driejaarlijkse gegevens zien we gemiddeld sterke toename +9.21% (+5.46%; +13.10%) per jaar of +240% (+110%; +460%) over de volledige looptijd van het meetnet. Deze trend is niet-lineair.



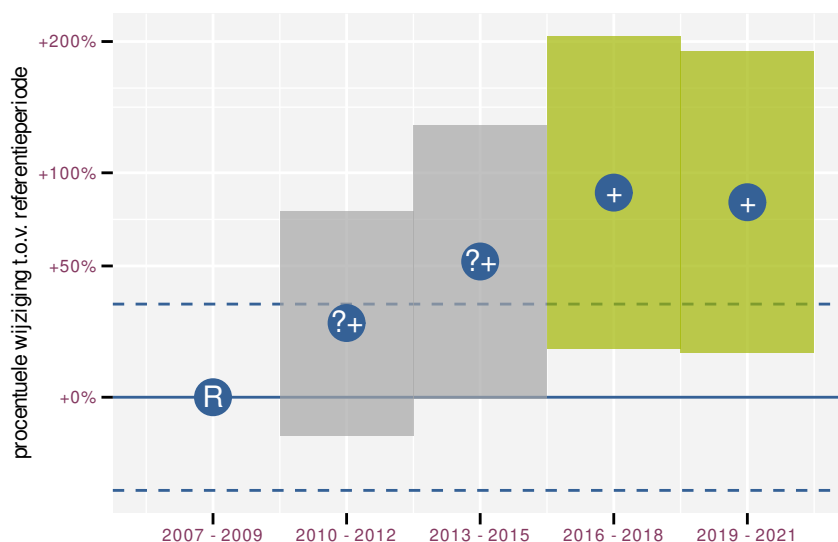
Figuur 75.1: Evolutie van het gemodelleerde gemiddeld aantal waargenomen dieren op een meetpunt voor Putter tijdens de referentieperiode. Zie §3.1 voor een verklaring van de intervallen.



Figuur 75.2: Evolutie van het gemodelleerde gemiddeld aantal waargenomen dieren op een meetpunt voor Putter tijdens de referentieperiode. Zie §3.1 voor een verklaring van de intervallen.



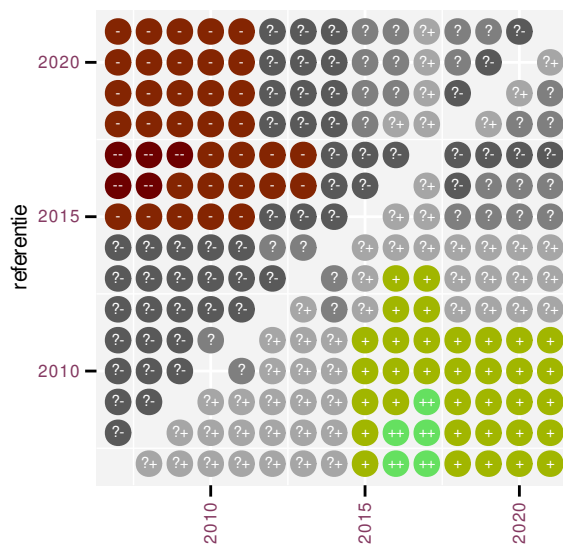
Figuur 75.3: Wijzigingen tussen jaren voor Putter. Zie §3.1 voor een verklaring van de intervallen en §3.2 voor uitleg over de symbolen en referentielijnen.



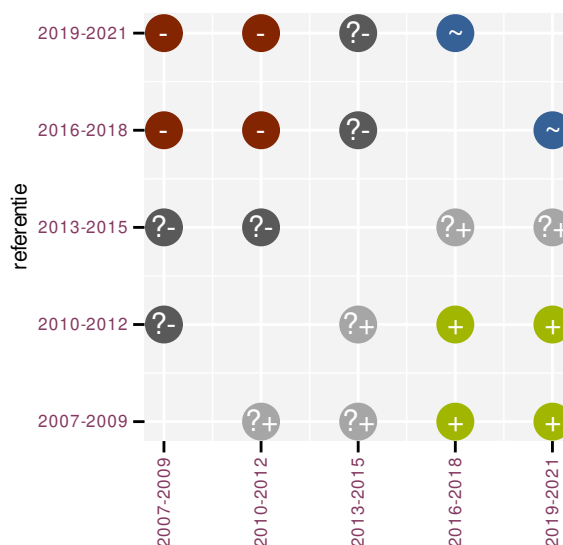
Figuur 75.4: Wijzigingen per driejarige cyclus voor Putter. Zie §3.1 voor een verklaring van de intervallen en §3.2 voor uitleg over de symbolen en referentielijnen.

Tabel 75.1: Stratumgewicht, raming aan het aantal hokken waarin de soort aanwezig is, aantal relevant hokken voor de analyse, aantal onderzochte hokken in het stratum, totaal aantal hokken van het stratum in Vlaanderen, aantal bezoeken aan een meetpunt en het gemiddeld aandeel relevante punten per hok voor Putter (zie §2.5).

stratum	gewicht	aanwezig	relevant	onderzocht	totaal	bezoeken	punten
Landbouw	89.7%	588.4	40	429	6311	1242	40.0%
Suburbaan	4.1%	26.6	9	68	201	368	57.4%
Urbaan	3.6%	28.7	6	87	416	235	47.2%
Moeras en water	2.6%	17.1	10	80	137	374	50.0%



Figuur 75.5: Paarsgewijze vergelijking tussen jaren voor Putter. Uitleg van de symbolen in tabel 3.1.



Figuur 75.6: Paarsgewijze vergelijking tussen driejarige cycli voor Putter. Uitleg van de symbolen in tabel 3.1.

Tabel 75.2: Data-hashes van de analyses in het kader van traceerbaarheid (zie §4.3).

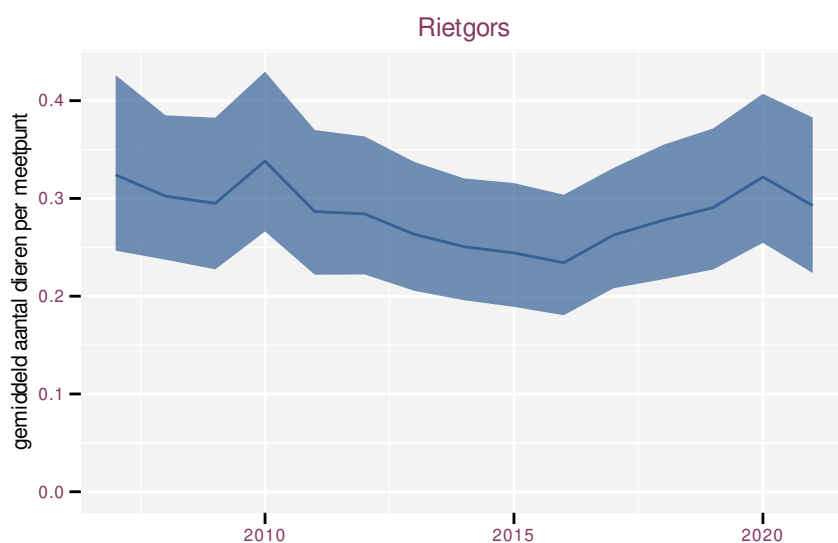
frequentie	model	analyse	status
jaarlijks	niet-lineair	78ef646b74cb099d4a47 2c66ac2b4e6c2504e905	2dea91c661d688e5bde0 79efd113fdd1974d96b4
jaarlijks	lineair	5b624dd83edd6caaae89 2930df4af5e3b7565fab	93b796cfb32501b9c294 a58a7219abd415f5eb3c
driejaarlijks	niet-lineair	f753b1b12e5300870b28 b586e3e566fb79fc7f22	a4ff233173d04480ed16 5316a95746ce1f2eda12
driejaarlijks	lineair	8c97d3984762e48b2f64 8acdf30f66249ed65786	f801448c39d8a7fec235 792fb73f65ac4206cd97



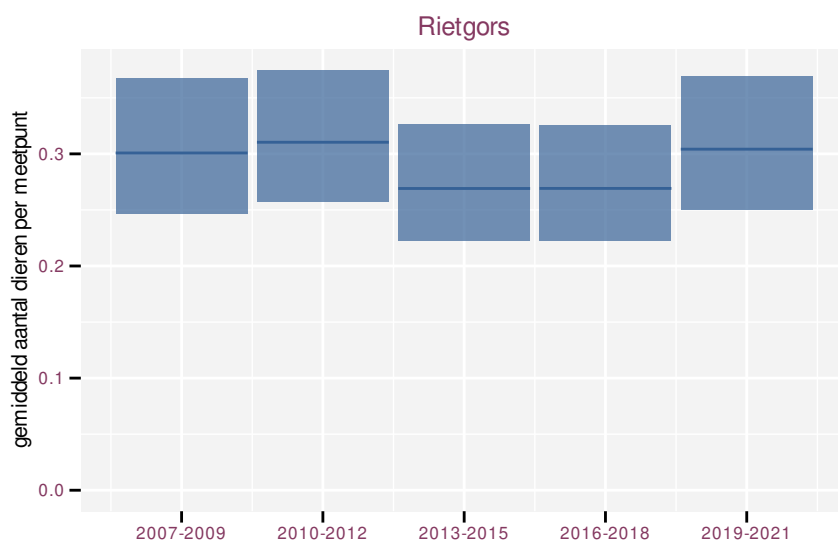
76 RIETGORS

Op basis van jaarlijkse gegevens zien we gemiddeld mogelijke afname -0.5% (-2.4%; +1.4%) per jaar of -7% (-28%; +21%) over de volledige looptijd van het meetnet. Deze trend is niet-lineair.

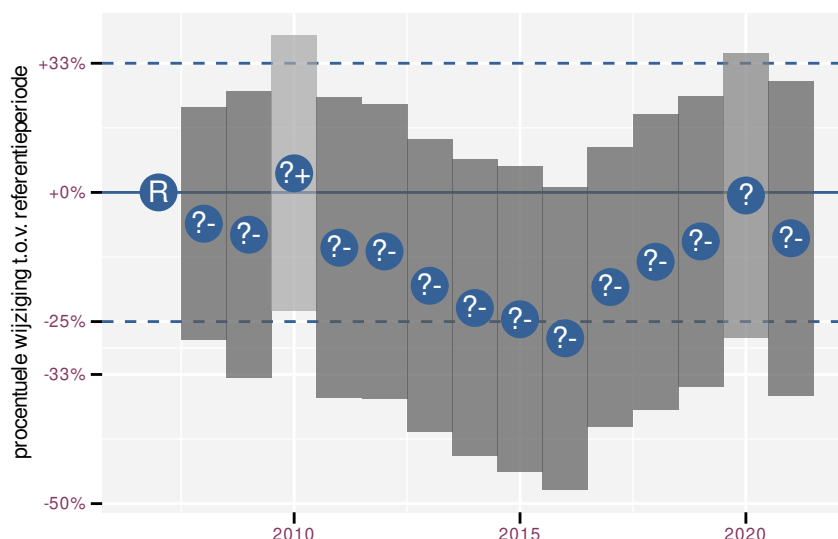
Op basis van driejaarlijkse gegevens zien we gemiddeld mogelijke afname -0.4% (-2.3%; +1.5%) per jaar of -5% (-28%; +24%) over de volledige looptijd van het meetnet. Deze trend is niet-lineair.



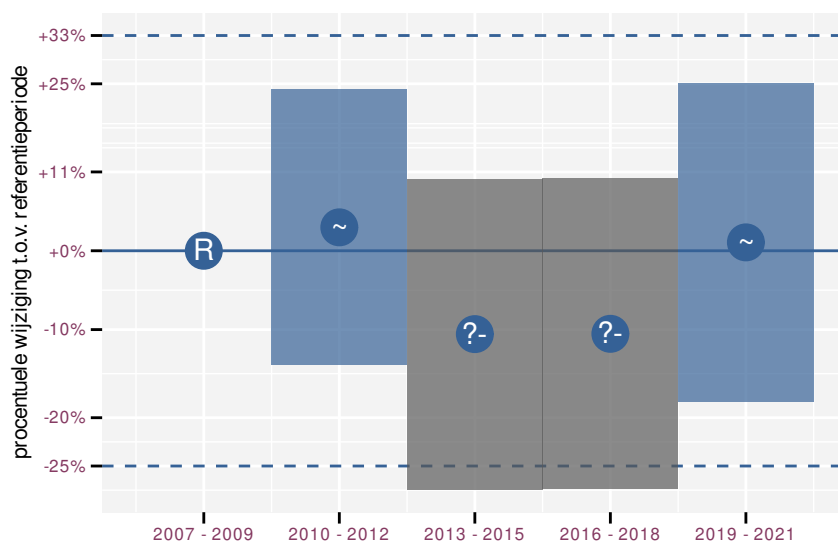
Figuur 76.1: Evolutie van het gemodelleerde gemiddeld aantal waargenomen dieren op een meetpunt voor Rietgors tijdens de referentieperiode. Zie §3.1 voor een verklaring van de intervallen.



Figuur 76.2: Evolutie van het gemodelleerde gemiddeld aantal waargenomen dieren op een meetpunt voor Rietgors tijdens de referentieperiode. Zie §3.1 voor een verklaring van de intervallen.



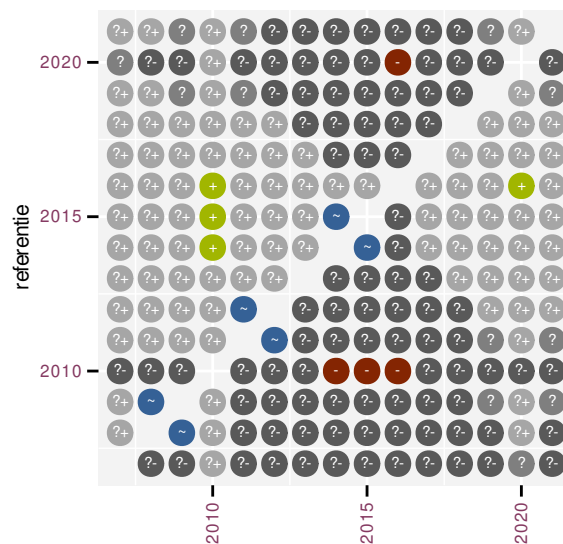
Figuur 76.3: Wijzigingen tussen jaren voor Rietgors. Zie §3.1 voor een verklaring van de intervallen en §3.2 voor uitleg over de symbolen en referentielijnen.



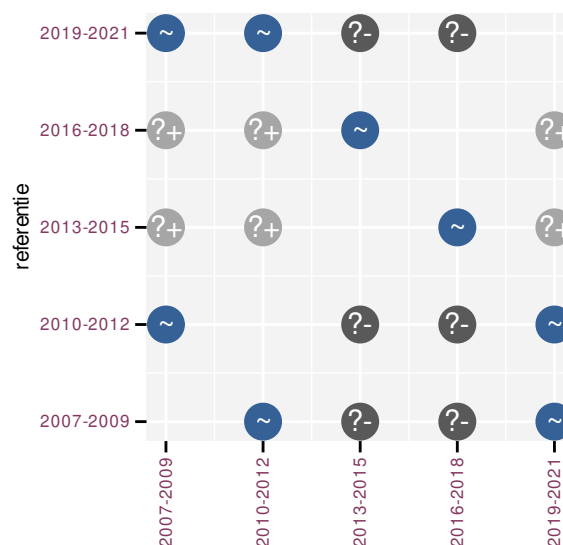
Figuur 76.4: Wijzigingen per driejarige cyclus voor Rietgors. Zie §3.1 voor een verklaring van de intervallen en §3.2 voor uitleg over de symbolen en referentielijnen.

Tabel 76.1: Stratumgewicht, raming aan het aantal hokken waarin de soort aanwezig is, aantal relevant hokken voor de analyse, aantal onderzochte hokken in het stratum, totaal aantal hokken van het stratum in Vlaanderen, aantal bezoeken aan een meetpunt en het gemiddeld aandeel relevante punten per hok voor Rietgors (zie §2.5).

stratum	gewicht	aanwezig	relevant	onderzocht	totaal	bezoeken	punten
Landbouw	80.8%	411.9	28	429	6311	1320	58.9%
Heide en duin	7.9%	40.2	19	94	199	730	54.4%
Moeras en water	7.4%	37.7	22	80	137	942	59.1%
Suburbaan	2.9%	17.7	6	68	201	174	66.7%
Bos	1.0%	6.7	4	190	319	131	33.3%



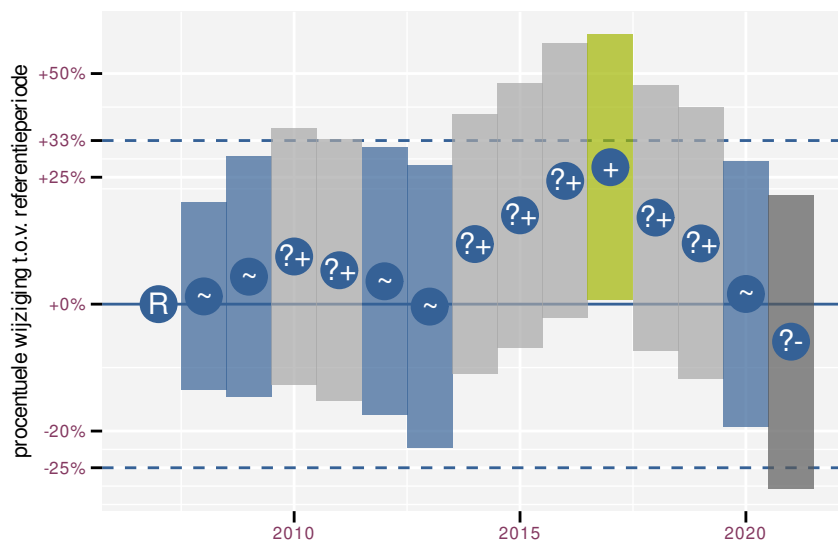
Figuur 76.5: Paarsgewijze vergelijking tussen jaren voor Rietgors. Uitleg van de symbolen in tabel 3.1.



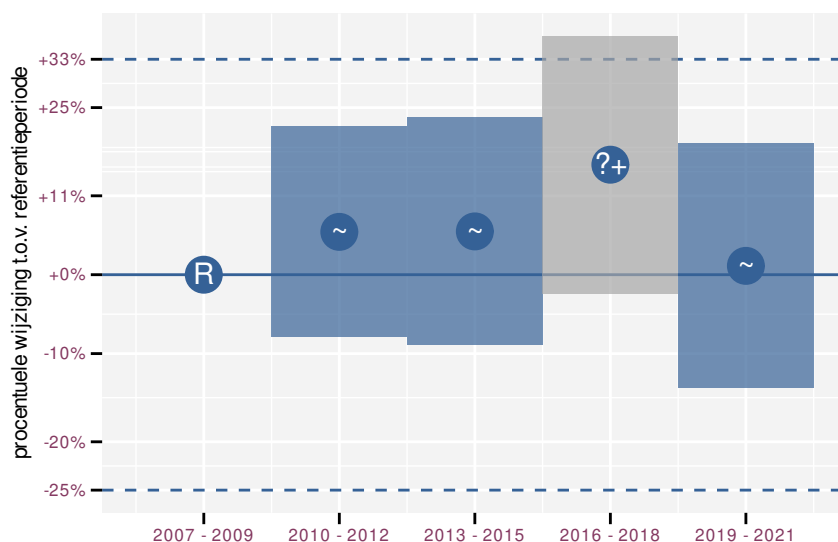
Figuur 76.6: Paarsgewijze vergelijking tussen driejarige cycli voor Rietgors. Uitleg van de symbolen in tabel 3.1.

Tabel 76.2: Data-hashes van de analyses in het kader van traceerbaarheid (zie §4.3).

frequentie	model	analyse	status
jaarlijks	niet-lineair	e38afc74c1e0cad60cde	e9b53fbc00f9e3c3a05
		863ba9d74e571dcf2555	59e47ea09969a8789e8c
jaarlijks	lineair	9328120f510d71ac76ec	68b466ac99151e6018d9
		117d4d1ca47a173d3722	21c9c73edc15e608a64f
driejaarlijks	niet-lineair	954183405c5cca29e3d9	e5aaf4089a96b2abe0b9
		a18d216a6b0dd1e99cd2	9138425d654798d2e5da
driejaarlijks	lineair	11c74d68f6c71e72a058	722e190af12a6fe72f03
		4cf591f1db40e4cf1227	77137942f874f8a0acc6



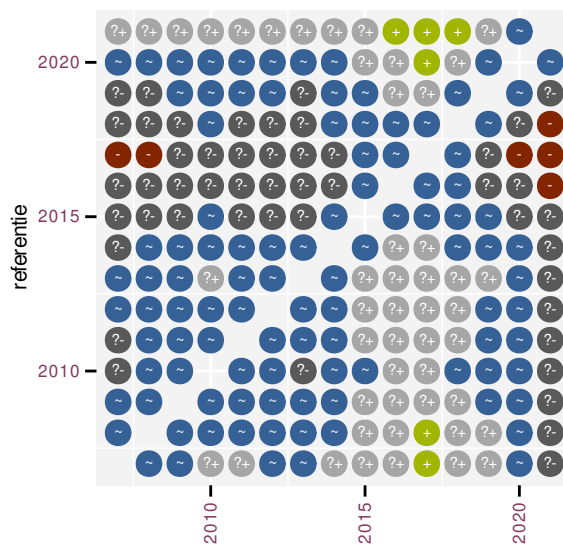
Figuur 77.3: Wijzigingen tussen jaren voor Rietzanger. Zie §3.1 voor een verklaring van de intervallen en §3.2 voor uitleg over de symbolen en referentielijnen.



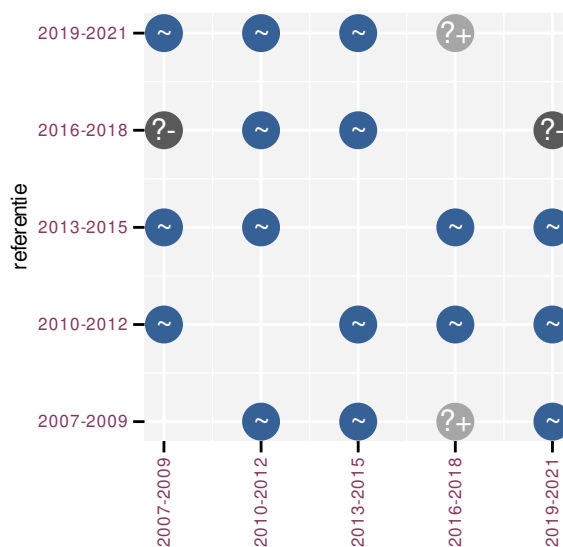
Figuur 77.4: Wijzigingen per driejarige cyclus voor Rietzanger. Zie §3.1 voor een verklaring van de intervallen en §3.2 voor uitleg over de symbolen en referentielijnen.

Tabel 77.1: Stratumgewicht, raming aan het aantal hokken waarin de soort aanwezig is, aantal relevant hokken voor de analyse, aantal onderzochte hokken in het stratum, totaal aantal hokken van het stratum in Vlaanderen, aantal bezoeken aan een meetpunt en het gemiddeld aandeel relevante punten per hok voor Rietzanger (zie §2.5).

stratum	gewicht	aanwezig	relevant	onderzocht	totaal	bezoeken	punten
Landbouw	96.6%	529.6	36	429	6311	1768	62.0%
Moeras en water	3.4%	18.8	11	80	137	388	51.5%



Figuur 77.5: Paarsgewijze vergelijking tussen jaren voor Rietzanger. Uitleg van de symbolen in tabel 3.1.



Figuur 77.6: Paarsgewijze vergelijking tussen driejarige cycli voor Rietzanger. Uitleg van de symbolen in tabel 3.1.

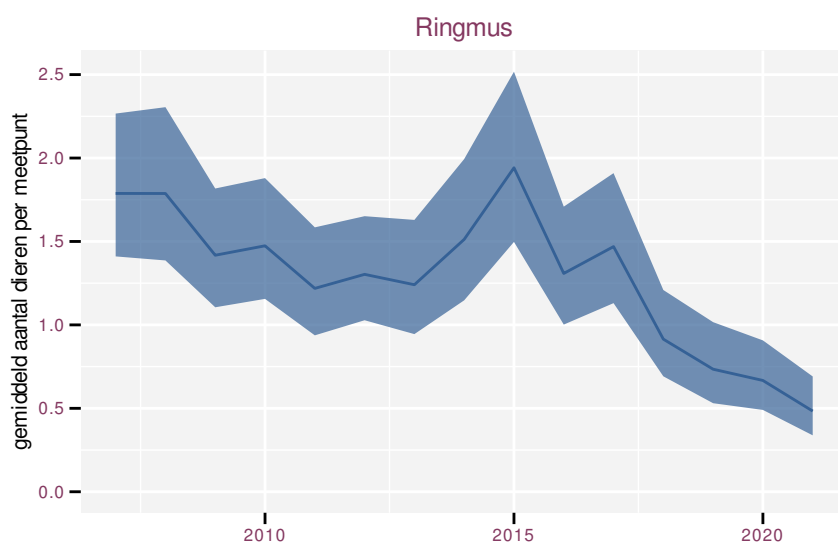
Tabel 77.2: Data-hashes van de analyses in het kader van traceerbaarheid (zie §4.3).

frequentie	model	analyse	status
jaarlijks	niet-lineair	30372ae6df8d86f822c1 91e2ecec29d56e768531	d24e520db9912b65afc4 9d16b35735d6d6efc251
jaarlijks	lineair	e710ac2fa878f86a33b1 60858b951f6903623f6b	cb2b46524a2e42b3eaaf 4288d2be6ca3f78e486c
driejaarlijks	niet-lineair	f5776a1f4878a7d5b7db 01c83282e3e1ae6e4c0e	7ccfa60bb59c61285fc6 1e3c4a622055f8d480bf
driejaarlijks	lineair	8b0c7fdc507a4880bee9 ca6de18fab5e72042f2c	617895039a1256653f2f 6aafdc51fa4df0479ac4

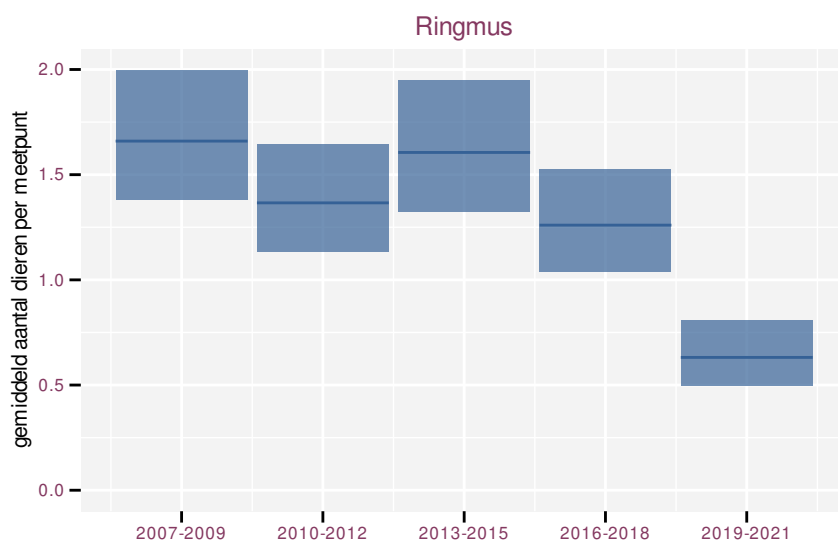
78 RINGMUS

Op basis van jaarlijkse gegevens zien we gemiddeld sterke afname -5.3% (-6.7%; -3.8%) per jaar of -53% (-62%; -42%) over de volledige looptijd van het meetnet. Deze trend is niet-lineair.

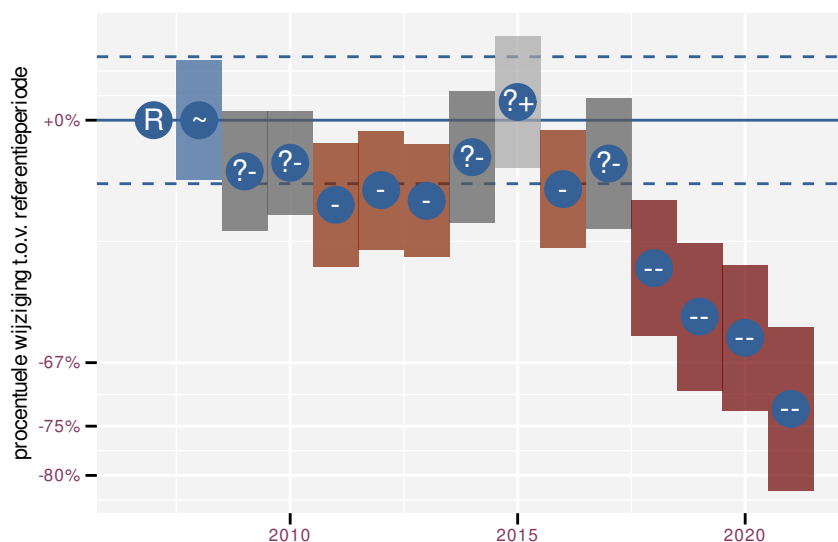
Op basis van driejaarlijkse gegevens zien we gemiddeld sterke afname -5.3% (-6.7%; -3.8%) per jaar of -53% (-62%; -42%) over de volledige looptijd van het meetnet. Deze trend is niet-lineair.



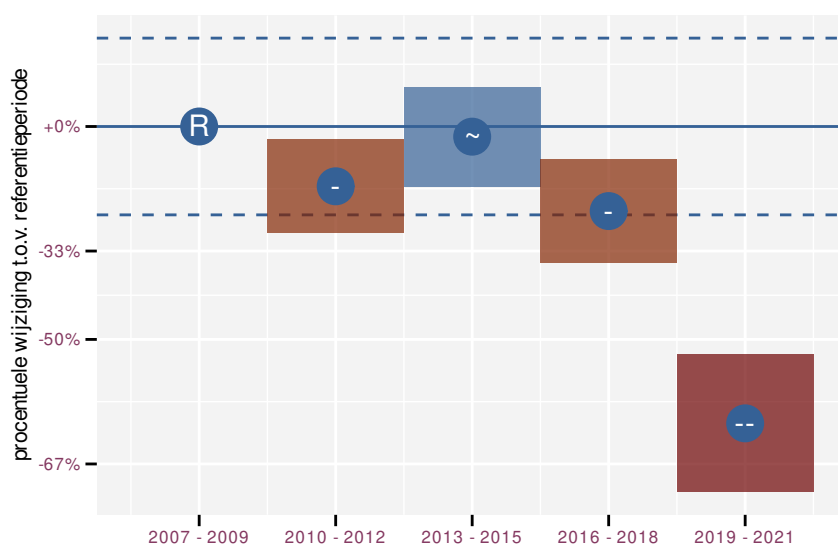
Figuur 78.1: Evolutie van het gemodelleerde gemiddeld aantal waargenomen dieren op een meetpunt voor Ringmus tijdens de referentieperiode. Zie §3.1 voor een verklaring van de intervallen.



Figuur 78.2: Evolutie van het gemodelleerde gemiddeld aantal waargenomen dieren op een meetpunt voor Ringmus tijdens de referentieperiode. Zie §3.1 voor een verklaring van de intervallen.



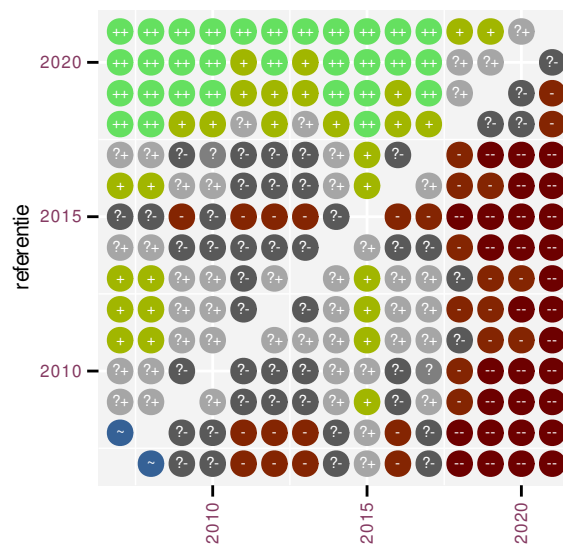
Figuur 78.3: Wijzigingen tussen jaren voor Ringmus. Zie §3.1 voor een verklaring van de intervallen en §3.2 voor uitleg over de symbolen en referentielijnen.



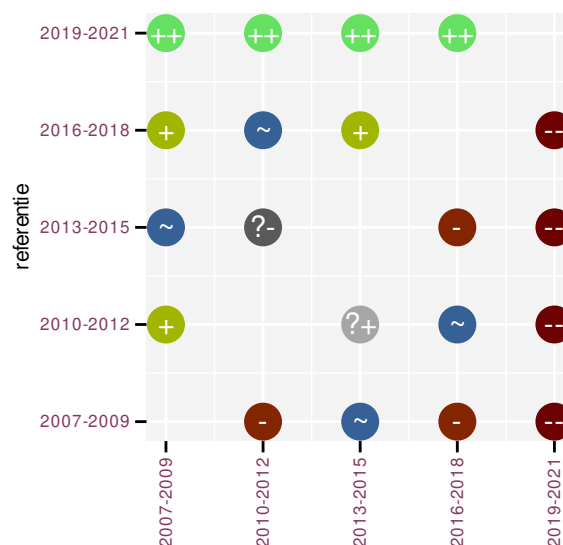
Figuur 78.4: Wijzigingen per driejarige cyclus voor Ringmus. Zie §3.1 voor een verklaring van de intervallen en §3.2 voor uitleg over de symbolen en referentielijnen.

Tabel 78.1: Stratumgewicht, raming aan het aantal hokken waarin de soort aanwezig is, aantal relevant hokken voor de analyse, aantal onderzochte hokken in het stratum, totaal aantal hokken van het stratum in Vlaanderen, aantal bezoeken aan een meetpunt en het gemiddeld aandeel relevante punten per hok voor Ringmus (zie §2.5).

stratum	gewicht	aanwezig	relevant	onderzocht	totaal	bezoeken	punten
Landbouw	99.6%	1279.9	87	429	6311	3332	53.1%
Moeras en water	0.4%	6.8	4	80	137	124	37.5%



Figuur 78.5: Paarsgewijze vergelijking tussen jaren voor Ringmus. Uitleg van de symbolen in tabel 3.1.



Figuur 78.6: Paarsgewijze vergelijking tussen driejarige cycli voor Ringmus. Uitleg van de symbolen in tabel 3.1.

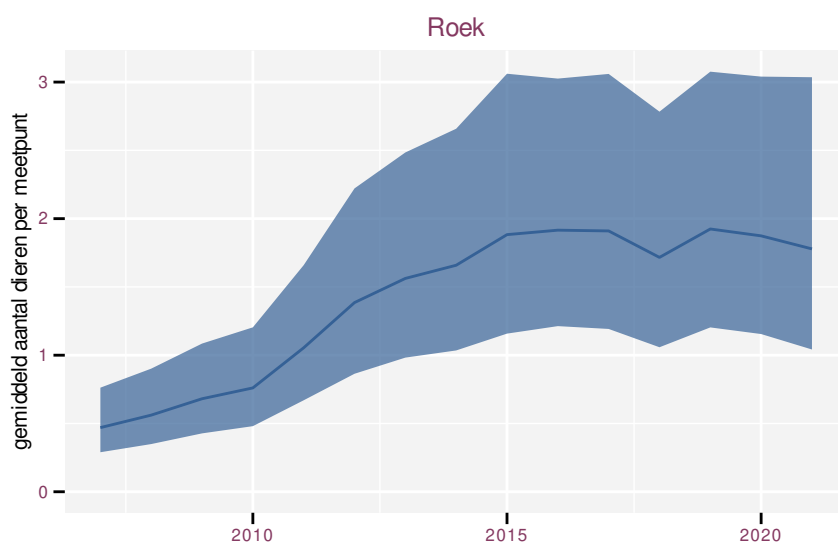
Tabel 78.2: Data-hashes van de analyses in het kader van traceerbaarheid (zie §4.3).

frequentie	model	analyse	status
jaarlijks	niet-lineair	fc3d4f9903e4434b2b9 44949d5cf94b6aa23bb7	44b2f46e73ab15723e57 152d45d28c47f5b17c24
jaarlijks	lineair	13f3f5b257e423528e0c 42847cafedc29143a8f8	49feab21bed049363f40 e685617bcccf03060010
driejaarlijks	niet-lineair	e1369b077f9ab0e2c166 4f36e5dc0201c7bbc368	24dabd80bf1655b92b9c d903ba3d3b1cdcd92c56
driejaarlijks	lineair	ea51f8f4dbc915e16fd3 cb5b5328b232372f6e86	4c898fe053bec8a9184 e828931fa5ab9e643d7c

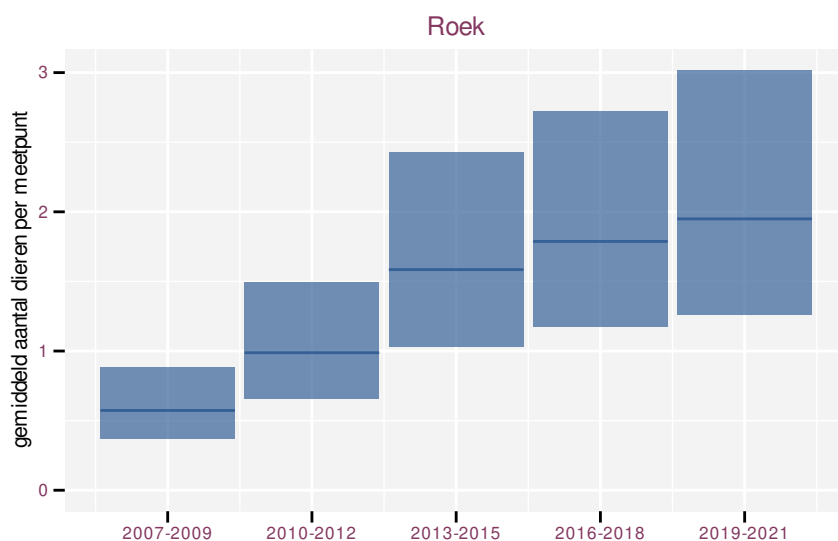
79 ROEK

Op basis van jaarlijkse gegevens zien we gemiddeld sterke toename +13.42% (+9.61%; +17.36%) per jaar of +480% (+260%; +840%) over de volledige looptijd van het meetnet. Deze trend is niet-lineair.

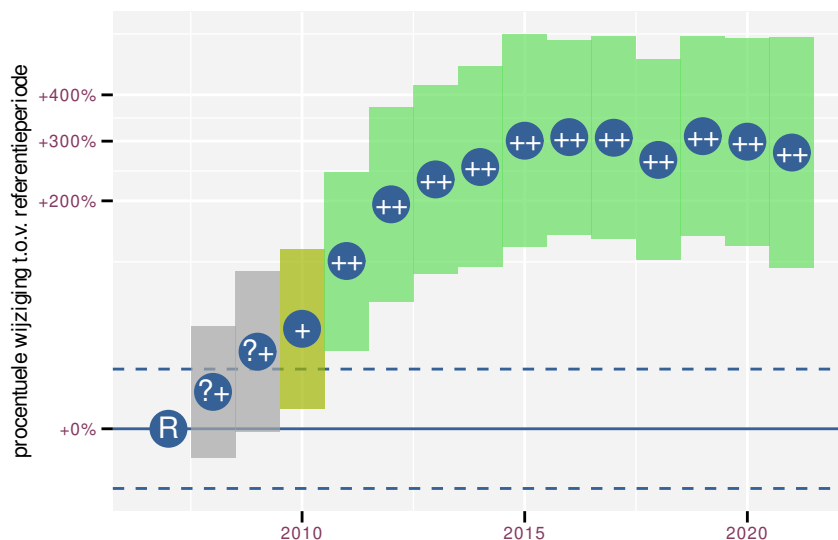
Op basis van driejaarlijkse gegevens zien we gemiddeld sterke toename +12.92% (+9.18%; +16.79%) per jaar of +450% (+240%; +780%) over de volledige looptijd van het meetnet. Deze trend is lineair.



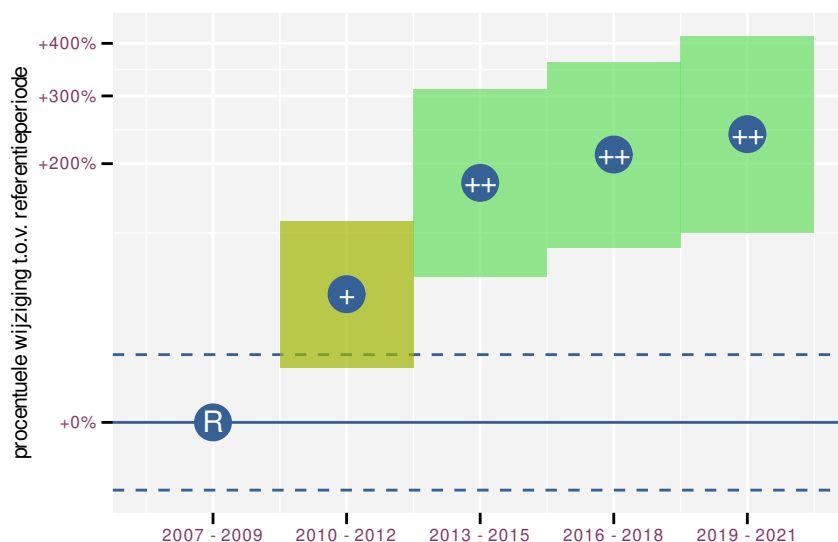
Figuur 79.1: Evolutie van het gemodelleerde gemiddeld aantal waargenomen dieren op een meetpunt voor Roek tijdens de referentieperiode. Zie §3.1 voor een verklaring van de intervallen.



Figuur 79.2: Evolutie van het gemodelleerde gemiddeld aantal waargenomen dieren op een meetpunt voor Roek tijdens de referentieperiode. Zie §3.1 voor een verklaring van de intervallen.



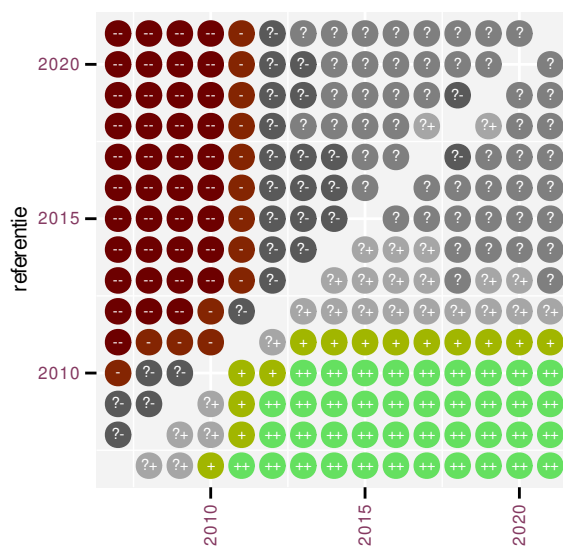
Figuur 79.3: Wijzigingen tussen jaren voor Roek. Zie §3.1 voor een verklaring van de intervallen en §3.2 voor uitleg over de symbolen en referentielijnen.



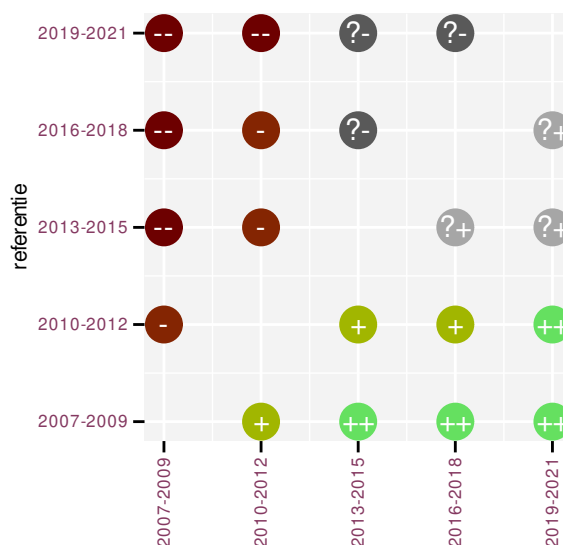
Figuur 79.4: Wijzigingen per driejarige cyclus voor Roek. Zie §3.1 voor een verklaring van de intervallen en §3.2 voor uitleg over de symbolen en referentielijnen.

Tabel 79.1: Stratumgewicht, raming aan het aantal hokken waarin de soort aanwezig is, aantal relevant hokken voor de analyse, aantal onderzochte hokken in het stratum, totaal aantal hokken van het stratum in Vlaanderen, aantal bezoeken aan een meetpunt en het gemiddeld aandeel relevante punten per hok voor Roek (zie §2.5).

stratum	gewicht	aanwezig	relevant	onderzocht	totaal	bezoeken	punten
Landbouw	93.9%	441.3	30	429	6311	1373	66.7%
Urbaan	6.1%	33.5	7	87	416	268	59.5%



Figuur 79.5: Paarsgewijze vergelijking tussen jaren voor Roek. Uitleg van de symbolen in tabel 3.1.



Figuur 79.6: Paarsgewijze vergelijking tussen driejarige cycli voor Roek. Uitleg van de symbolen in tabel 3.1.

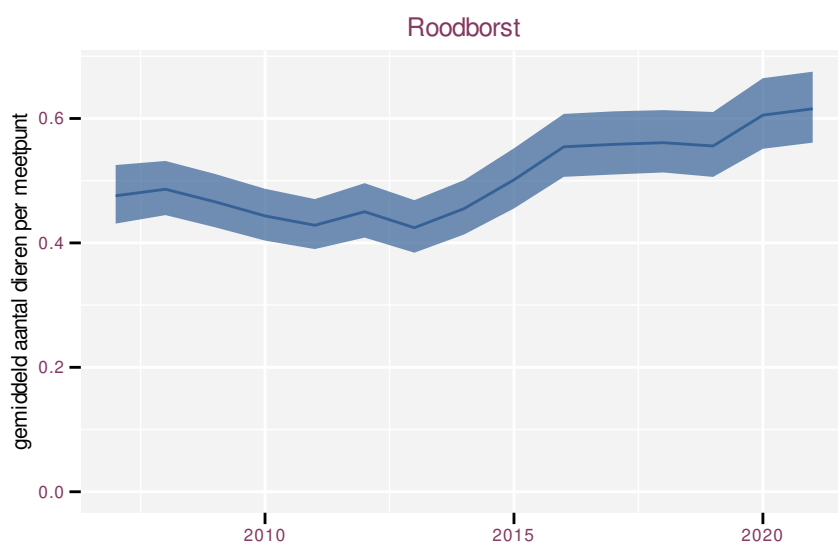
Tabel 79.2: Data-hashes van de analyses in het kader van traceerbaarheid (zie §4.3).

frequentie	model	analyse	status
jaarlijks	niet-lineair	a0560358eb25934ddff8 57b2fa381fb0241c171a	b1878b6fc7c7d915c90c 1184f3524882d383f298
jaarlijks	lineair	83bcae3489c949b9fa03 59b10e9d004daf6a3405	1205c5a9235ad42b3450 0bba9845f34e3f45f0aa
driejaarlijks	niet-lineair	d3105389acd6d6108afc b2c81d0ffa054e275d7e	beec2e7d958cbd1a2dcb d8b556ba3ebc69ea6bc3
driejaarlijks	lineair	e848a97470cb1c83eb79 3c38fe6dbfd72fd83019	faf704b964b083797a8e 938abe1bc65e47e62439

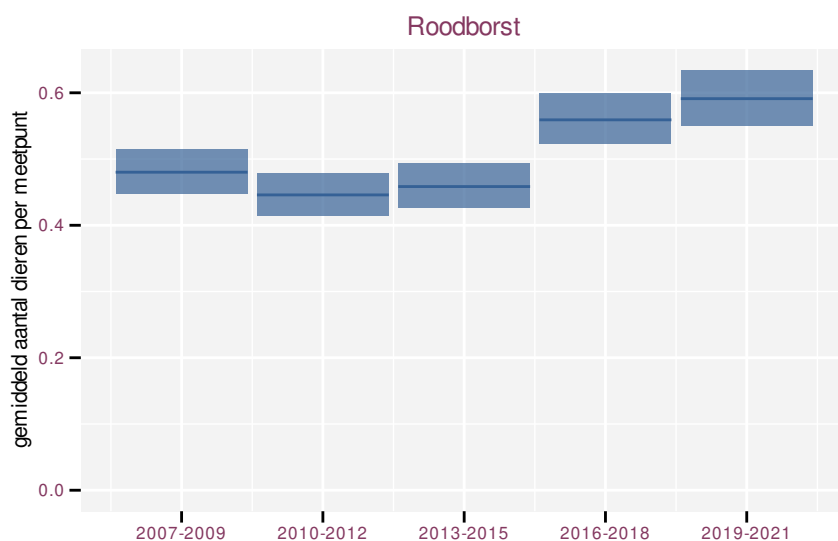
80 ROOBBORST

Op basis van jaarlijkse gegevens zien we gemiddeld toename +2.2% (+1.7%; +2.8%) per jaar of +36% (+26%; +47%) over de volledige looptijd van het meetnet. Deze trend is niet-lineair.

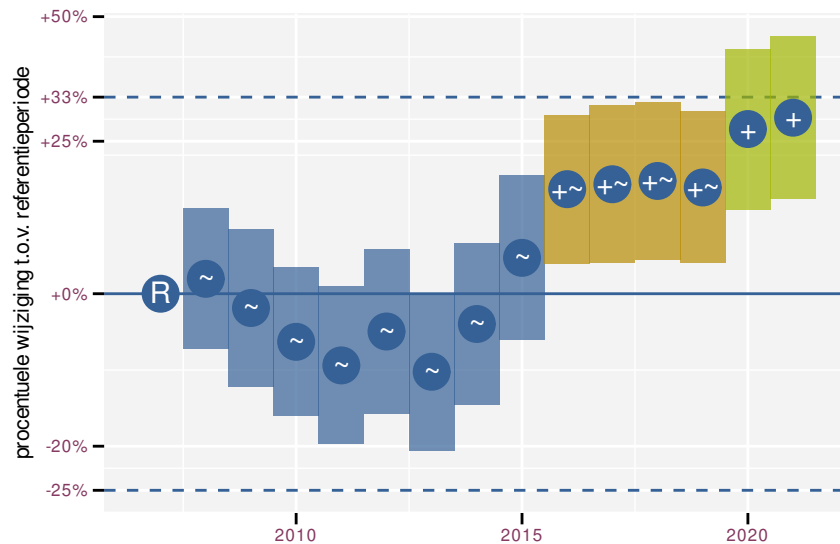
Op basis van driejaarlijkse gegevens zien we gemiddeld toename +2.2% (+1.6%; +2.7%) per jaar of +35% (+25%; +46%) over de volledige looptijd van het meetnet. Deze trend is niet-lineair.



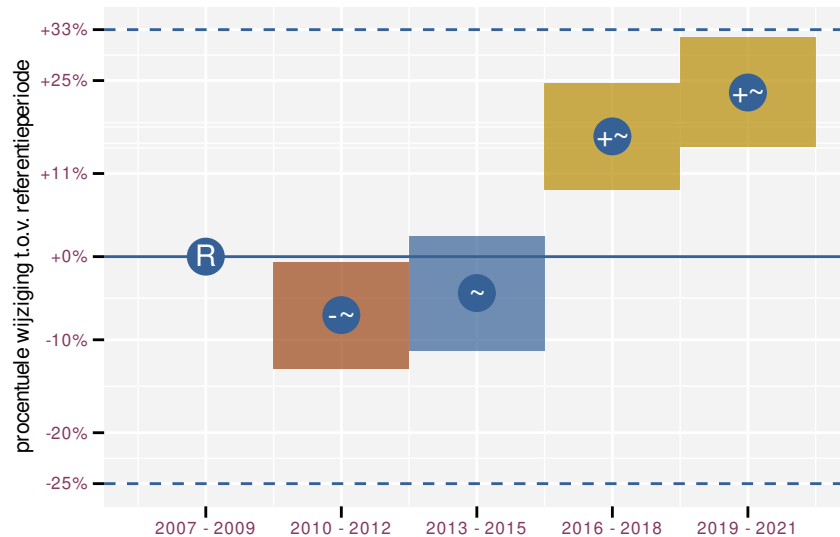
Figuur 80.1: Evolutie van het gemodelleerde gemiddeld aantal waargenomen dieren op een meetpunt voor Roodborst tijdens de referentieperiode. Zie §3.1 voor een verklaring van de intervallen.



Figuur 80.2: Evolutie van het gemodelleerde gemiddeld aantal waargenomen dieren op een meetpunt voor Roodborst tijdens de referentieperiode. Zie §3.1 voor een verklaring van de intervallen.



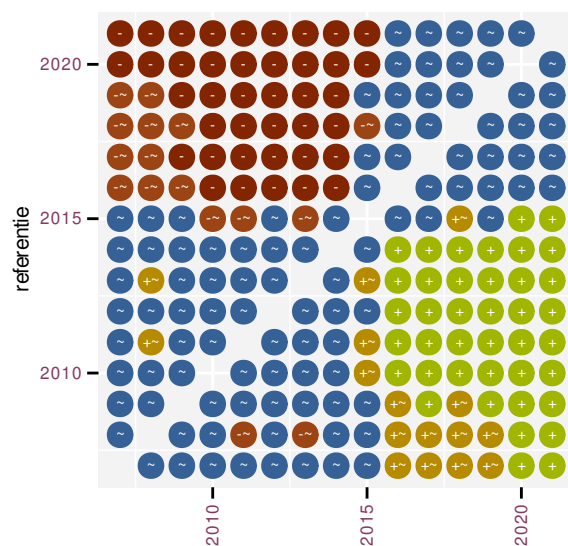
Figuur 80.3: Wijzigingen tussen jaren voor Roodborst. Zie §3.1 voor een verklaring van de intervallen en §3.2 voor uitleg over de symbolen en referentielijnen.



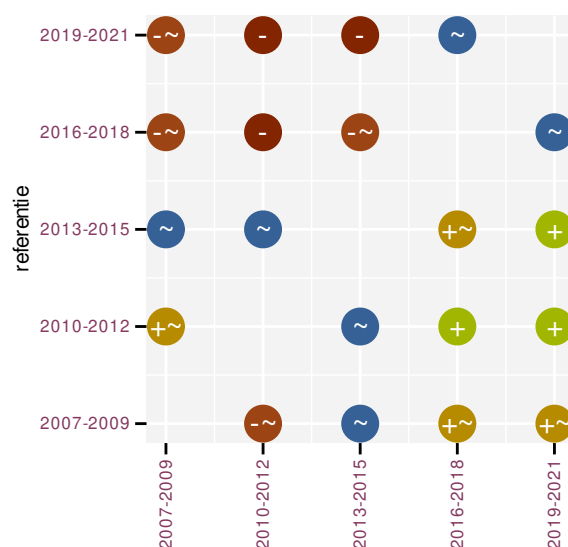
Figuur 80.4: Wijzigingen per driejarige cyclus voor Roodborst. Zie §3.1 voor een verklaring van de intervallen en §3.2 voor uitleg over de symbolen en referentielijnen.

Tabel 80.1: Stratumgewicht, raming aan het aantal hokken waarin de soort aanwezig is, aantal relevant hokken voor de analyse, aantal onderzochte hokken in het stratum, totaal aantal hokken van het stratum in Vlaanderen, aantal bezoeken aan een meetpunt en het gemiddeld aandeel relevante punten per hok voor Roodborst (zie §2.5).

stratum	gewicht	aanwezig	relevant	onderzocht	totaal	bezoeken	punten
Landbouw	77.4%	3177.6	216	429	6311	10110	68.0%
Urbaan	7.5%	306.0	64	87	416	2963	67.4%
Bos	6.0%	246.8	147	190	319	9272	98.0%
Heide en duin	3.7%	152.4	72	94	199	3968	80.3%
Suburbaan	3.2%	133.0	45	68	201	2146	74.8%
Moeras en water	2.2%	90.8	53	80	137	2821	82.1%



Figuur 80.5: Paarsgewijze vergelijking tussen jaren voor Roodborst. Uitleg van de symbolen in tabel 3.1.



Figuur 80.6: Paarsgewijze vergelijking tussen driejarige cycli voor Roodborst. Uitleg van de symbolen in tabel 3.1.

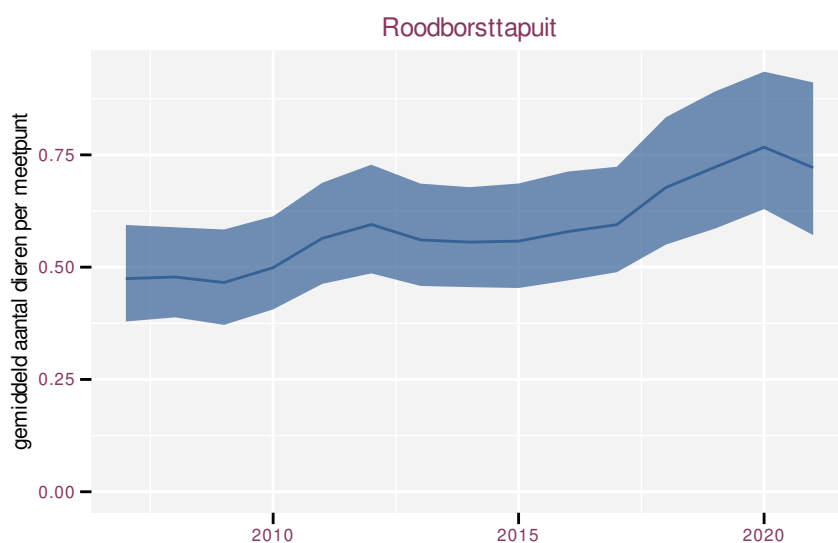
Tabel 80.2: Data-hashes van de analyses in het kader van traceerbaarheid (zie §4.3).

frequentie	model	analyse	status
jaarlijks	niet-lineair	cd217b3148821ac318c1 5535cfbadc6cffdbb9af	db7ec0228909845f5dab 65d4c480c4389f65ecf0
jaarlijks	lineair	bc13270d2b56f9b4c7a0 818a60eb447ee34069c6	9bb626cc1a65f462983b 7d604c09454249701ce0
driejaarlijks	niet-lineair	f4866092a213fda93d19 0dfca9a66c470f23b4a9	07824383d7aa4032200b d1601ec34f42233ce3a2
driejaarlijks	lineair	fcd1f597a4bab9e09703 067e207d6c68b1ad5766	1269d6775f254e829488 fcf9d24fc7390e33d1a5

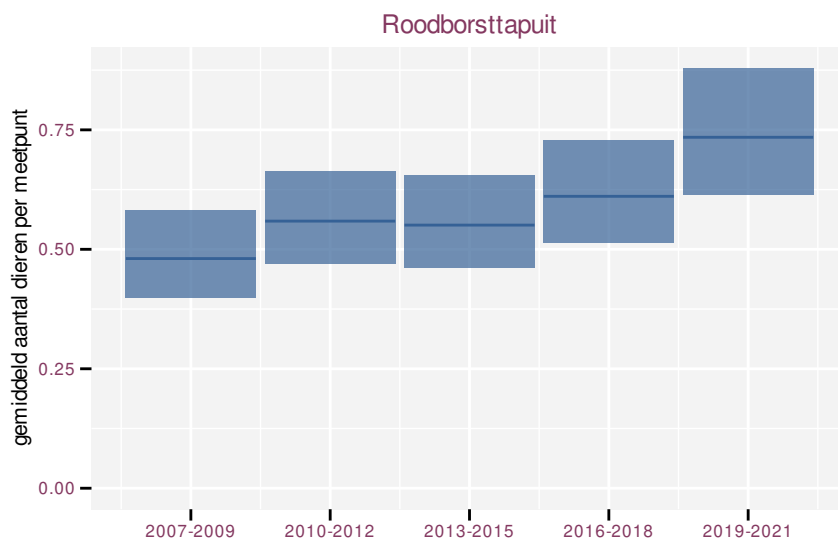
81 ROODBORSTTAPUIT

Op basis van jaarlijkse gegevens zien we gemiddeld toename +3.5% (+1.8%; +5.2%) per jaar of +61.6% (+27.8%; +104.5%) over de volledige looptijd van het meetnet. Deze trend is niet-lineair.

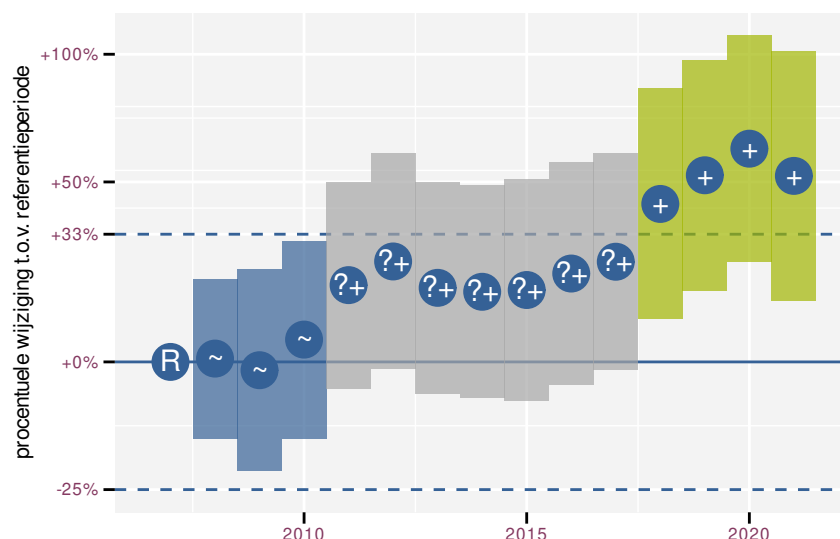
Op basis van driejaarlijkse gegevens zien we gemiddeld toename +3.5% (+1.7%; +5.2%) per jaar of +60.9% (+26.9%; +103.9%) over de volledige looptijd van het meetnet. Deze trend is niet-lineair.



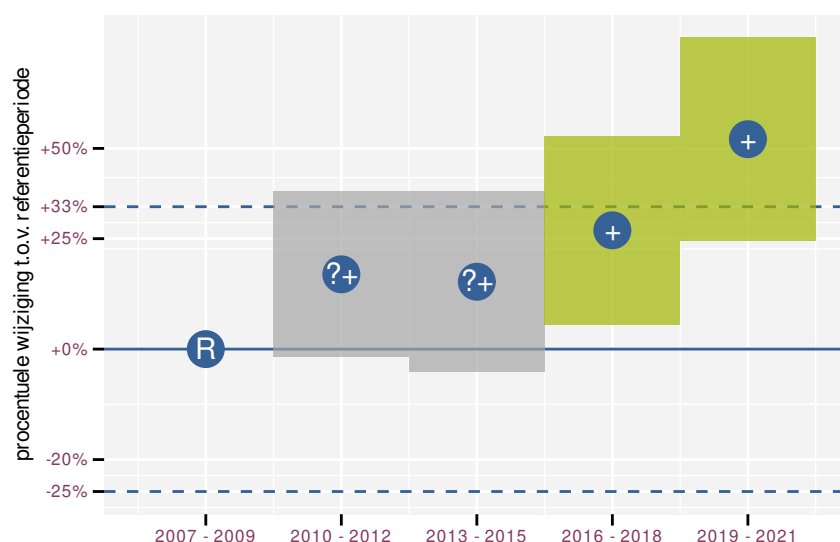
Figuur 81.1: Evolutie van het gemodelleerde gemiddeld aantal waargenomen dieren op een meetpunt voor Roodborsttapuit tijdens de referentieperiode. Zie §3.1 voor een verklaring van de intervallen.



Figuur 81.2: Evolutie van het gemodelleerde gemiddeld aantal waargenomen dieren op een meetpunt voor Roodborsttapuit tijdens de referentieperiode. Zie §3.1 voor een verklaring van de intervallen.



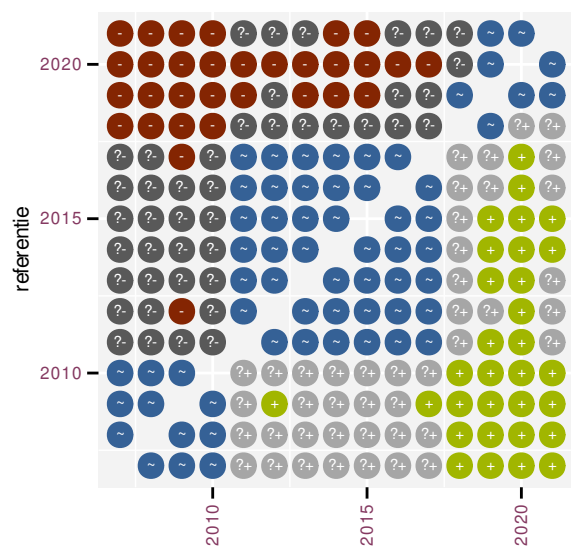
Figuur 81.3: Wijzigingen tussen jaren voor Roodborsttapuit. Zie §3.1 voor een verklaring van de intervallen en §3.2 voor uitleg over de symbolen en referentielijnen.



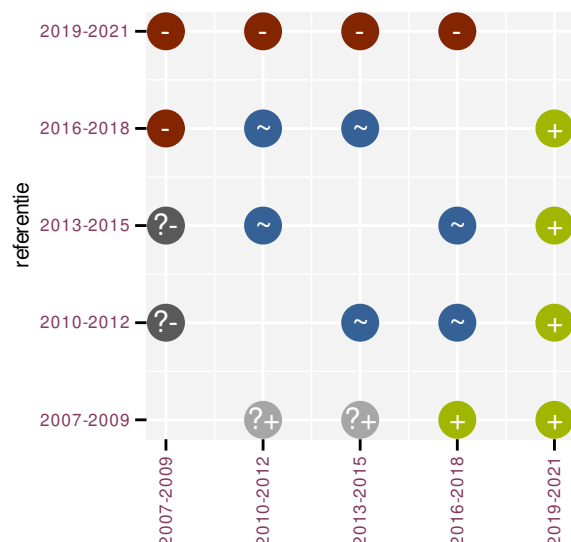
Figuur 81.4: Wijzigingen per driejarige cyclus voor Roodborsttapuit. Zie §3.1 voor een verklaring van de intervallen en §3.2 voor uitleg over de symbolen en referentielijnen.

Tabel 81.1: Stratumgewicht, raming aan het aantal hokken waarin de soort aanwezig is, aantal relevant hokken voor de analyse, aantal onderzochte hokken in het stratum, totaal aantal hokken van het stratum in Vlaanderen, aantal bezoeken aan een meetpunt en het gemiddeld aandeel relevante punten per hok voor Roodborsttapuit (zie §2.5).

stratum	gewicht	aanwezig	relevant	onderzocht	totaal	bezoeken	punten
Landbouw	81.1%	559.0	38	429	6311	1535	50.0%
Heide en duin	14.4%	99.5	47	94	199	2143	64.5%
Bos	1.7%	13.4	8	190	319	230	41.7%
Moeras en water	1.5%	10.3	6	80	137	215	47.2%
Suburbaan	1.3%	11.8	4	68	201	75	37.5%



Figuur 81.5: Paarsgewijze vergelijking tussen jaren voor Roodborsttapuit. Uitleg van de symbolen in tabel 3.1.



Figuur 81.6: Paarsgewijze vergelijking tussen driejarige cycli voor Roodborsttapuit. Uitleg van de symbolen in tabel 3.1.

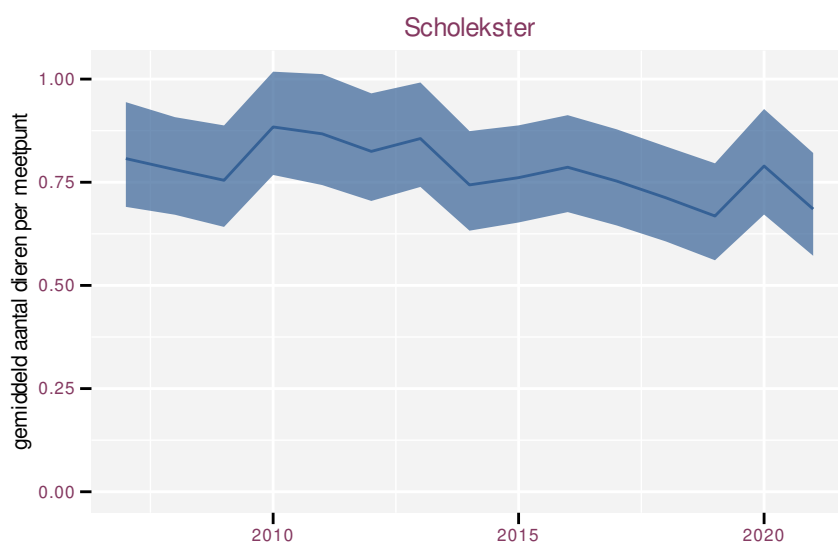
Tabel 81.2: Data-hashes van de analyses in het kader van traceerbaarheid (zie §4.3).

frequentie	model	analyse	status
jaarlijks	niet-lineair	3a2804e96e1ed08b5af1 78891c26059d415d67f2	7efcabe903de933e4759 53747b980bede53dff3d
jaarlijks	lineair	004be727c0aabfe30041 ab645cf2cd8f87290fe3	334048e183cb8479286c 9b17cd05f80d5cc564e0
driejaarlijks	niet-lineair	748e60e84faa787d4dc4 b953c81e9bcb851b5ec4	3b42a79ed6e5b60bd184 315c76a4932f26de6b13
driejaarlijks	lineair	ad2ae4eef52c388da857 4633986d351bfe6e8b23	e4243123d05cf5063423 0087b02b054434f3a7a4

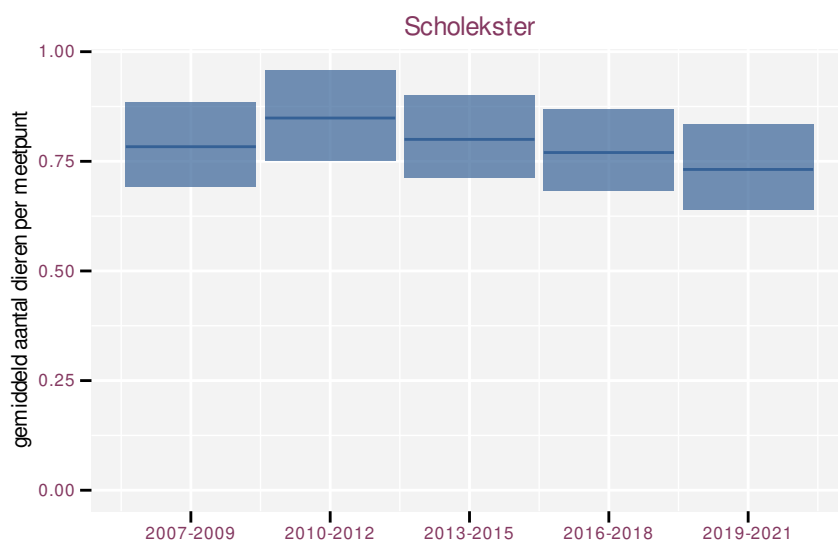
82 SCHOLEKSTER

Op basis van jaarlijkse gegevens zien we gemiddeld matige afname -1.0% (-2.0%; -0.1%) per jaar of -14% (-25%; -1%) over de volledige looptijd van het meetnet. Deze trend is niet-lineair.

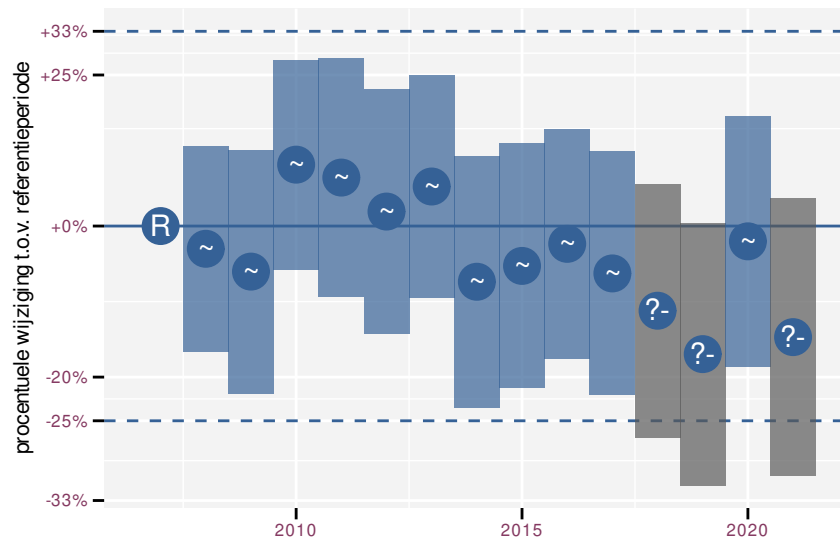
Op basis van driejaarlijkse gegevens zien we gemiddeld stabiel -0.86% (-1.85%; +0.13%) per jaar of -11% (-23%; +2%) over de volledige looptijd van het meetnet. Deze trend is mogelijk niet-lineair.



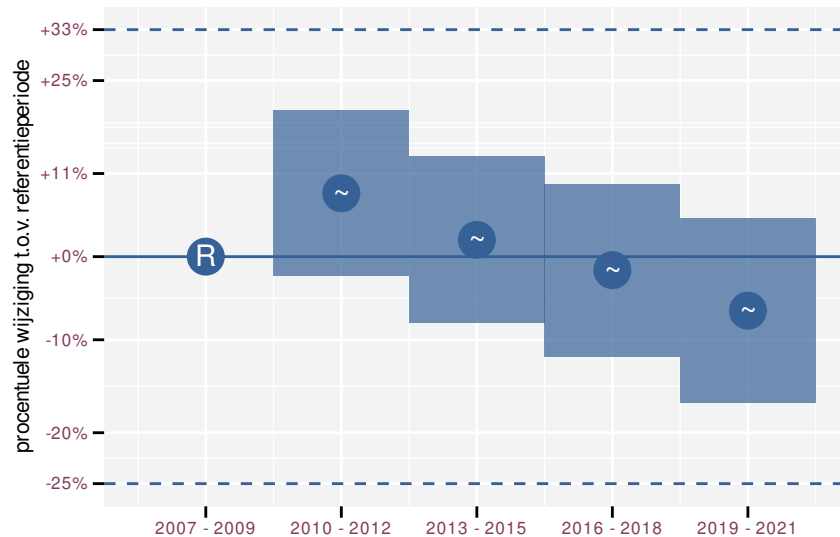
Figuur 82.1: Evolutie van het gemodelleerde gemiddeld aantal waargenomen dieren op een meetpunt voor Scholekster tijdens de referentieperiode. Zie §3.1 voor een verklaring van de intervallen.



Figuur 82.2: Evolutie van het gemodelleerde gemiddeld aantal waargenomen dieren op een meetpunt voor Scholekster tijdens de referentieperiode. Zie §3.1 voor een verklaring van de intervallen.



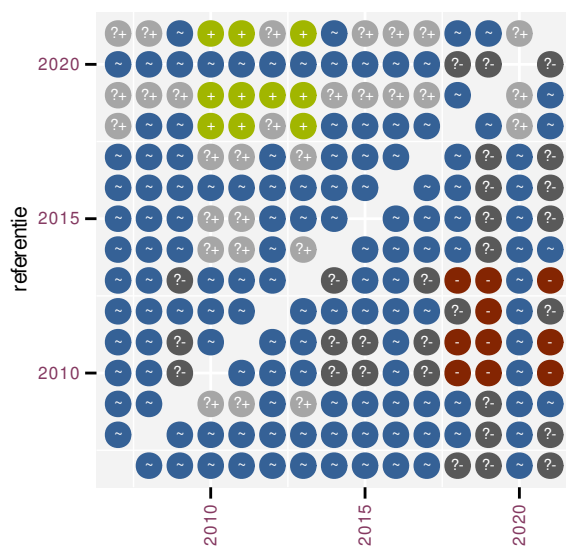
Figuur 82.3: Wijzigingen tussen jaren voor Scholekster. Zie §3.1 voor een verklaring van de intervallen en §3.2 voor uitleg over de symbolen en referentielijnen.



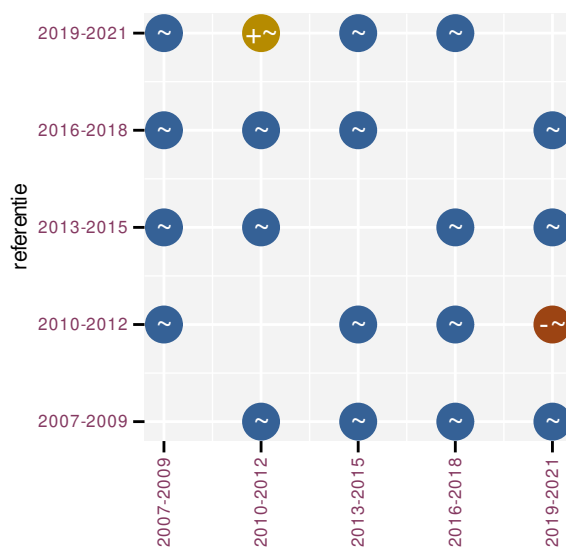
Figuur 82.4: Wijzigingen per driejarige cyclus voor Scholekster. Zie §3.1 voor een verklaring van de intervallen en §3.2 voor uitleg over de symbolen en referentielijnen.

Tabel 82.1: Stratumgewicht, raming aan het aantal hokken waarin de soort aanwezig is, aantal relevant hokken voor de analyse, aantal onderzochte hokken in het stratum, totaal aantal hokken van het stratum in Vlaanderen, aantal bezoeken aan een meetpunt en het gemiddeld aandeel relevante punten per hok voor Scholekster (zie §2.5).

stratum	gewicht	aanwezig	relevant	onderzocht	totaal	bezoeken	punten
Landbouw	94.5%	2089.0	142	429	6311	6768	66.7%
Suburbaan	1.9%	44.3	15	68	201	526	53.3%
Moeras en water	1.6%	36.0	21	80	137	934	64.3%
Urbaan	0.9%	23.9	5	87	416	164	40.0%
Heide en duin	0.8%	19.1	9	94	199	367	46.3%
Bos	0.4%	10.1	6	190	319	208	41.7%



Figuur 82.5: Paarsgewijze vergelijking tussen jaren voor Scholekster. Uitleg van de symbolen in tabel 3.1.



Figuur 82.6: Paarsgewijze vergelijking tussen driejarige cycli voor Scholekster. Uitleg van de symbolen in tabel 3.1.

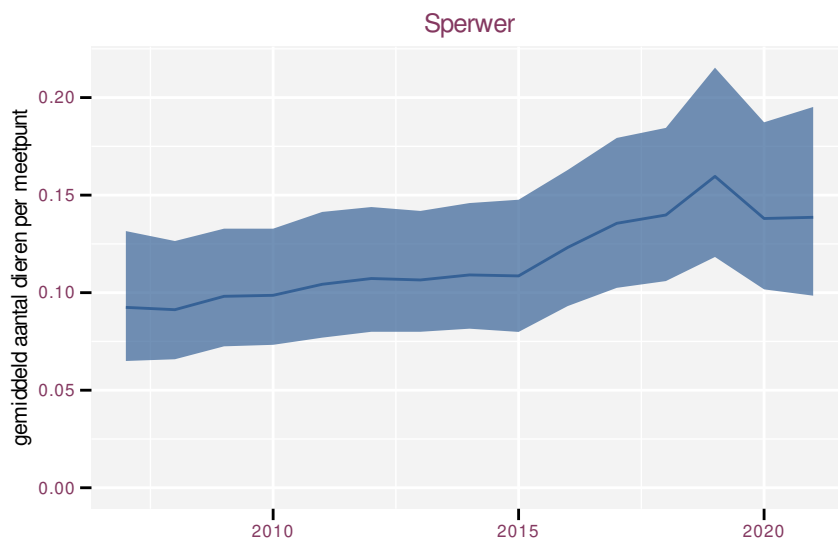
Tabel 82.2: Data-hashes van de analyses in het kader van traceerbaarheid (zie §4.3).

frequentie	model	analyse	status
jaarlijks	niet-lineair	cc0ac8420939c8634da9 fc7f6afd8429b7d7be71	4df2aea1829452ed8b17 6f5dc2dd50e3ec537ca6
jaarlijks	lineair	e68ddf5001a144d65377 427a3ba87c8bddbad02f	1d3cccaf949b5952fd6b e61d34d682d186b4e18b
driejaarlijks	niet-lineair	040a897c20c65ecc0ee1 2f6107ef2187a7da88a6	f82453d4fd9b1621eb41 938fd65f80cb107186a2
driejaarlijks	lineair	d03a5a74a1012f948eab 6387b29371de42d9982b	21907b1f8c13f818794a 8a1165f738e91ae25725

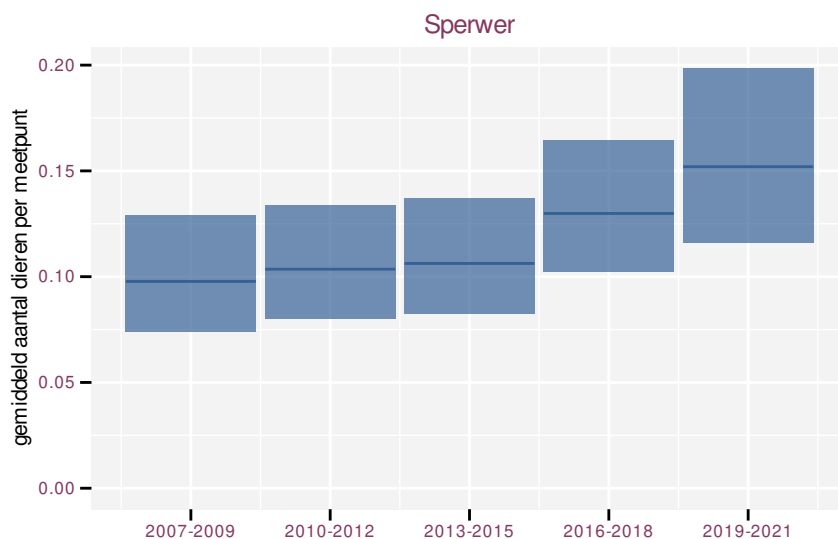
83 SPERWER

Op basis van jaarlijkse gegevens zien we gemiddeld toename +4.2% (+1.1%; +7.3%) per jaar of +77% (+16%; +170%) over de volledige looptijd van het meetnet. Deze trend is niet-lineair.

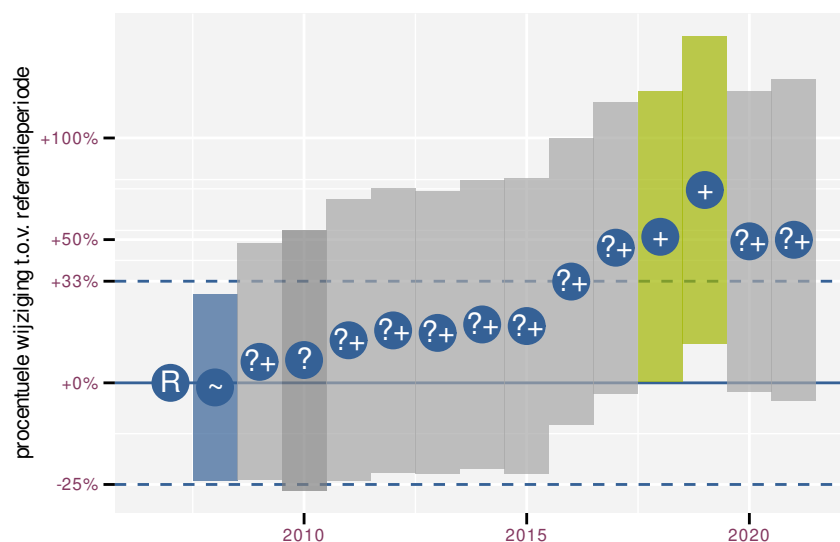
Op basis van driejaarlijkse gegevens zien we gemiddeld toename +4.7% (+1.6%; +8.0%) per jaar of +91% (+24%; +193%) over de volledige looptijd van het meetnet. Deze trend is mogelijk niet-lineair.



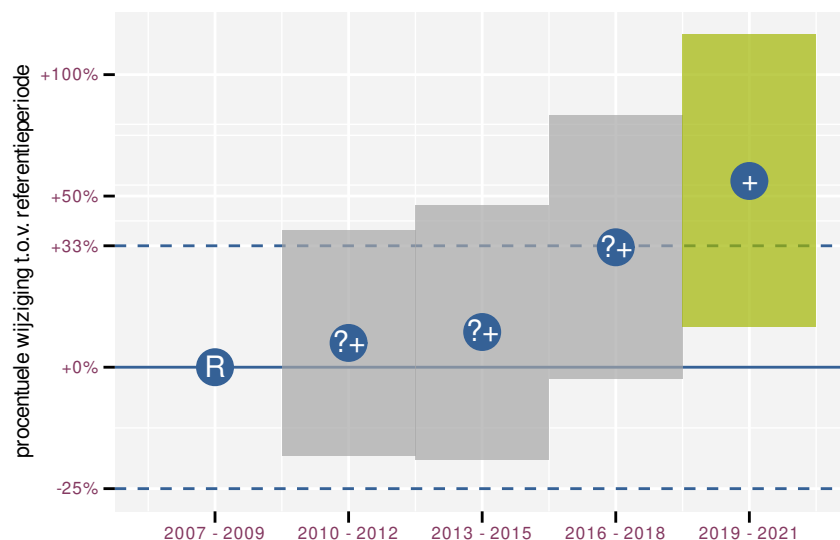
Figuur 83.1: Evolutie van het gemodelleerde gemiddeld aantal waargenomen dieren op een meetpunt voor Sperwer tijdens de referentieperiode. Zie §3.1 voor een verklaring van de intervallen.



Figuur 83.2: Evolutie van het gemodelleerde gemiddeld aantal waargenomen dieren op een meetpunt voor Sperwer tijdens de referentieperiode. Zie §3.1 voor een verklaring van de intervallen.



Figuur 83.3: Wijzigingen tussen jaren voor Sperwer. Zie §3.1 voor een verklaring van de intervallen en §3.2 voor uitleg over de symbolen en referentielijnen.



Figuur 83.4: Wijzigingen per driejarige cyclus voor Sperwer. Zie §3.1 voor een verklaring van de intervallen en §3.2 voor uitleg over de symbolen en referentielijnen.

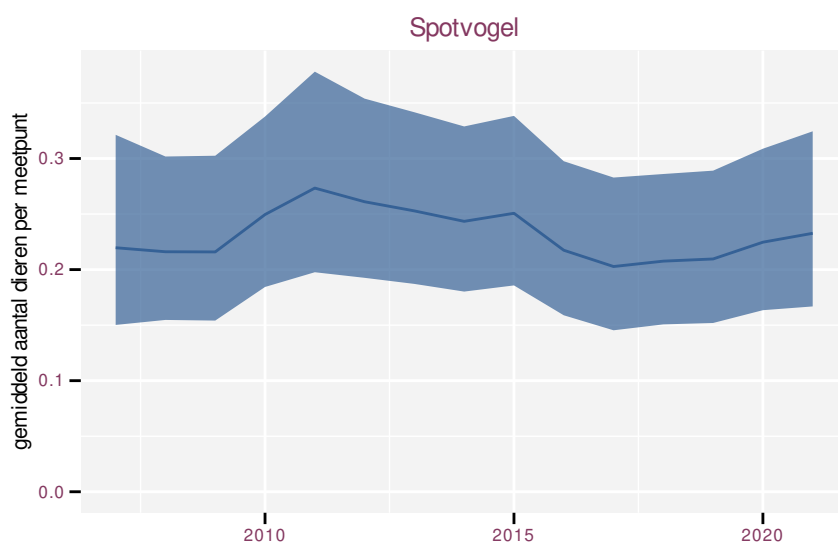
Tabel 83.1: Stratumgewicht, raming aan het aantal hokken waarin de soort aanwezig is, aantal relevant hokken voor de analyse, aantal onderzochte hokken in het stratum, totaal aantal hokken van het stratum in Vlaanderen, aantal bezoeken aan een meetpunt en het gemiddeld aandeel relevante punten per hok voor Sperwer (zie §2.5).

stratum	gewicht	aanwezig	relevant	onderzocht	totaal	bezoeken	punten
Landbouw	87.2%	573.7	39	429	6311	1235	38.9%
Urbaan	4.4%	28.7	6	87	416	144	30.6%
Bos	3.1%	20.1	12	190	319	481	43.1%
Moeras en water	2.1%	15.4	9	80	137	280	44.4%
Heide en duin	1.9%	14.8	7	94	199	124	28.6%
Suburbaan	1.3%	11.8	4	68	201	91	33.3%

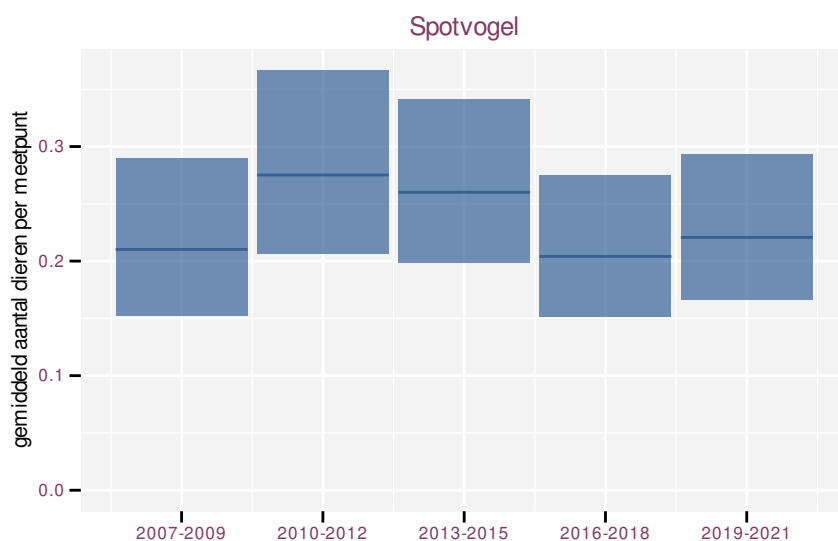
84 SPOTVOGEL

Op basis van jaarlijkse gegevens zien we gemiddeld onduidelijk -0.6% (-3.9%; +2.8%) per jaar of -8% (-43%; +47%) over de volledige looptijd van het meetnet. Deze trend is niet-lineair.

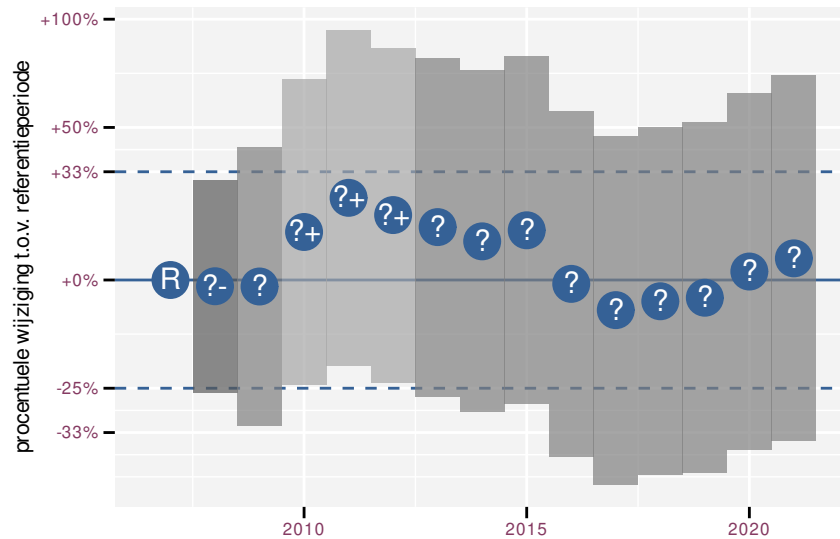
Op basis van driejaarlijkse gegevens zien we gemiddeld onduidelijk -0.9% (-4.2%; +2.6%) per jaar of -11% (-45%; +44%) over de volledige looptijd van het meetnet. Deze trend is niet-lineair.



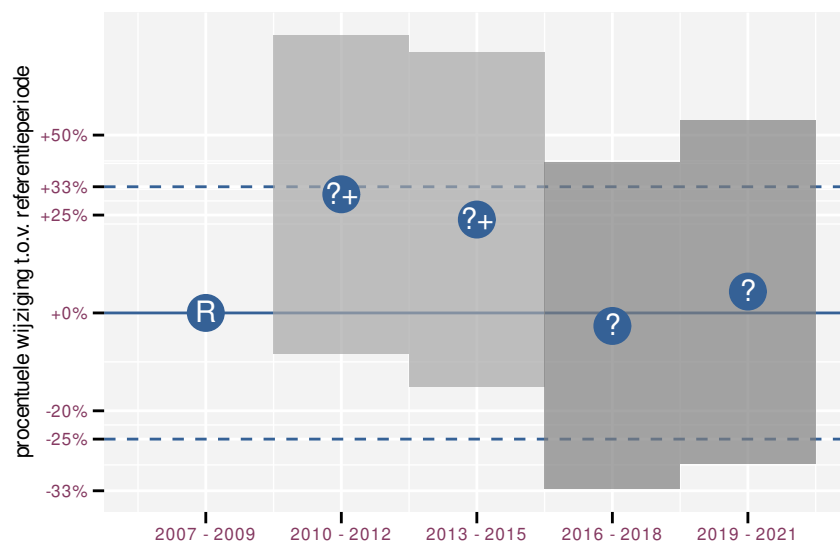
Figuur 84.1: Evolutie van het gemodelleerde gemiddeld aantal waargenomen dieren op een meetpunt voor Spotvogel tijdens de referentieperiode. Zie §3.1 voor een verklaring van de intervallen.



Figuur 84.2: Evolutie van het gemodelleerde gemiddeld aantal waargenomen dieren op een meetpunt voor Spotvogel tijdens de referentieperiode. Zie §3.1 voor een verklaring van de intervallen.



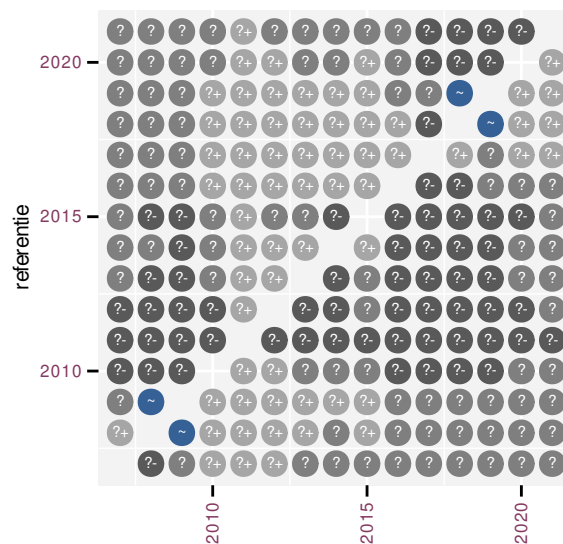
Figuur 84.3: Wijzigingen tussen jaren voor Spotvogel. Zie §3.1 voor een verklaring van de intervallen en §3.2 voor uitleg over de symbolen en referentielijnen.



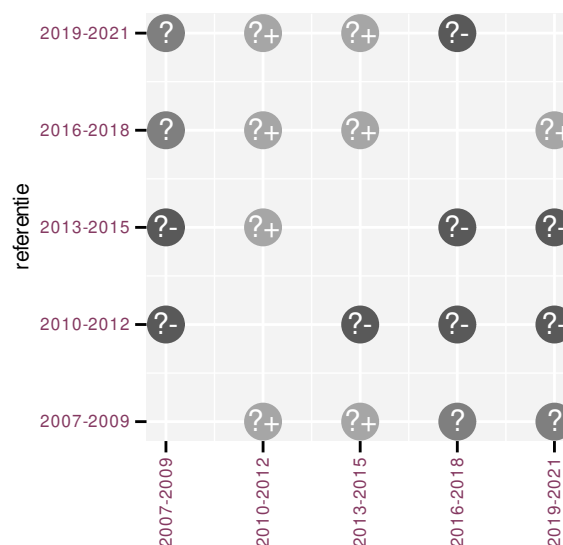
Figuur 84.4: Wijzigingen per driejarige cyclus voor Spotvogel. Zie §3.1 voor een verklaring van de intervallen en §3.2 voor uitleg over de symbolen en referentielijnen.

Tabel 84.1: Stratumgewicht, raming aan het aantal hokken waarin de soort aanwezig is, aantal relevant hokken voor de analyse, aantal onderzochte hokken in het stratum, totaal aantal hokken van het stratum in Vlaanderen, aantal bezoeken aan een meetpunt en het gemiddeld aandeel relevante punten per hok voor Spotvogel (zie §2.5).

stratum	gewicht	aanwezig	relevant	onderzocht	totaal	bezoeken	punten
Landbouw	95.9%	470.8	32	429	6311	564	37.0%
Heide en duin	3.0%	16.9	8	94	199	120	33.3%
Moeras en water	1.0%	6.8	4	80	137	62	29.2%



Figuur 84.5: Paarsgewijze vergelijking tussen jaren voor Spotvogel. Uitleg van de symbolen in tabel 3.1.



Figuur 84.6: Paarsgewijze vergelijking tussen driejarige cycli voor Spotvogel. Uitleg van de symbolen in tabel 3.1.

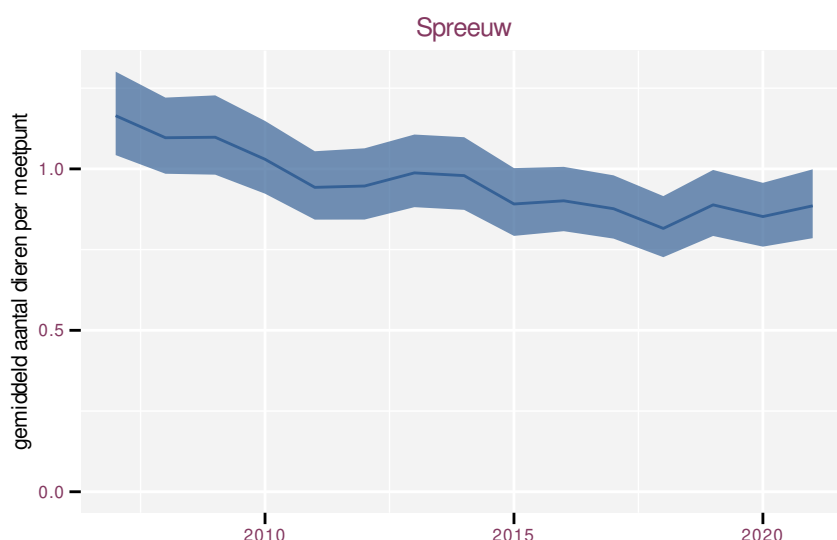
Tabel 84.2: Data-hashes van de analyses in het kader van traceerbaarheid (zie §4.3).

frequentie	model	analyse	status
jaarlijks	niet-lineair	2633f4d74656c9ef5a43	1384a83876f3d4b2a038
		83a208eceb63d6eb8891	544b695a3d214074de45
jaarlijks	lineair	43ea147cf665ef588e3b	901bc7d369f221a9909f
		0a58ed3acfde6cece6a0	c8deacdd64ec82415b6f
driejaarlijks	niet-lineair	e51edfe422b059e0201b	63d386a92afa39c75e98
		998490bec8c41c6bb688	7293fc87d8cd6da51aa5
driejaarlijks	lineair	ed9348b389d1e990597d	47d0375015afbcdb05a5
		4d3b5b3a1b7b84bc6f05	9d6dbf446199780151dc

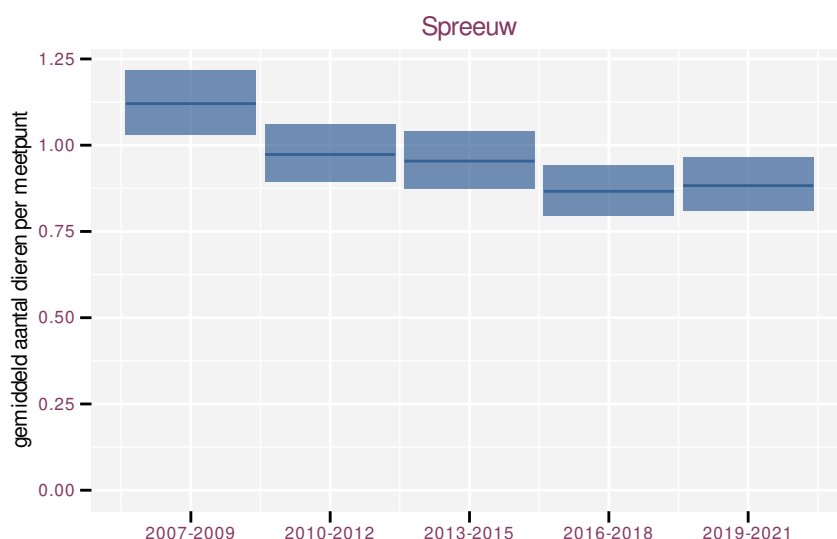
85 SPREEUW

Op basis van jaarlijkse gegevens zien we gemiddeld afname -2.3% (-2.9%; -1.6%) per jaar of -28% (-34%; -21%) over de volledige looptijd van het meetnet. Deze trend is lineair.

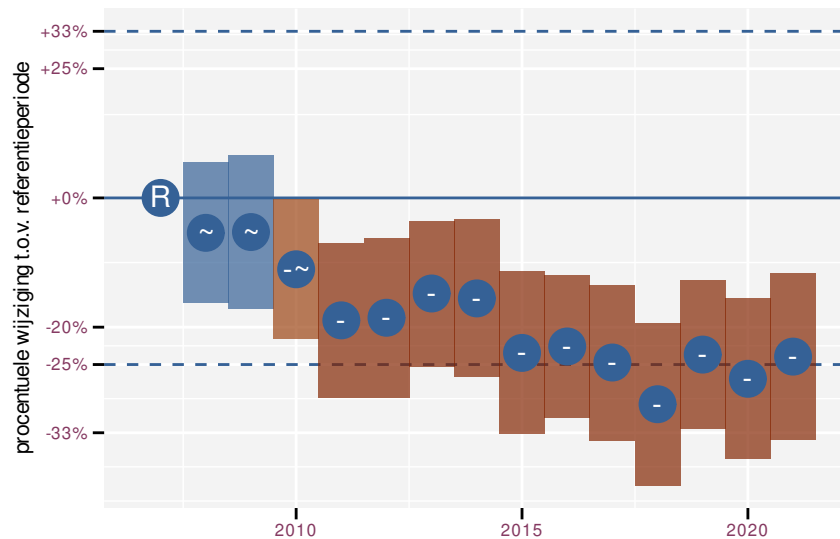
Op basis van driejaarlijkse gegevens zien we gemiddeld afname -2.2% (-2.9%; -1.6%) per jaar of -27% (-34%; -20%) over de volledige looptijd van het meetnet. Deze trend is lineair.



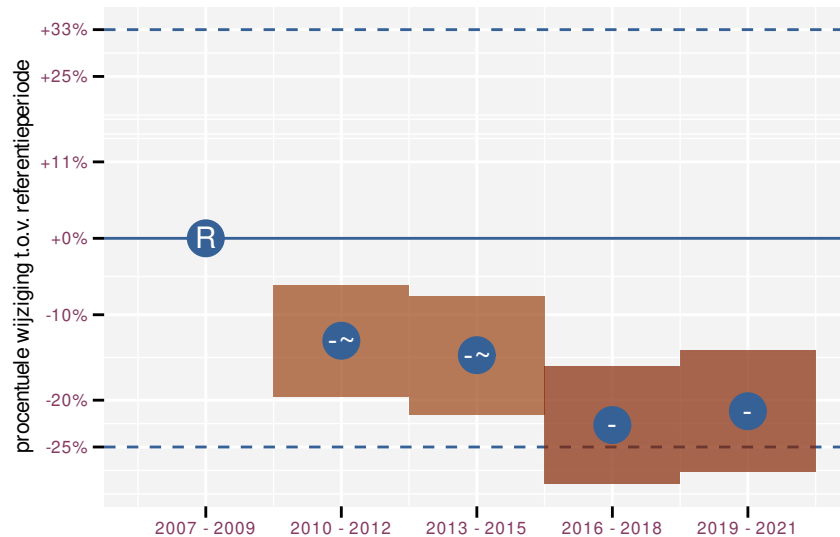
Figuur 85.1: Evolutie van het gemodelleerde gemiddeld aantal waargenomen dieren op een meetpunt voor Spreeuw tijdens de referentieperiode. Zie §3.1 voor een verklaring van de intervallen.



Figuur 85.2: Evolutie van het gemodelleerde gemiddeld aantal waargenomen dieren op een meetpunt voor Spreeuw tijdens de referentieperiode. Zie §3.1 voor een verklaring van de intervallen.



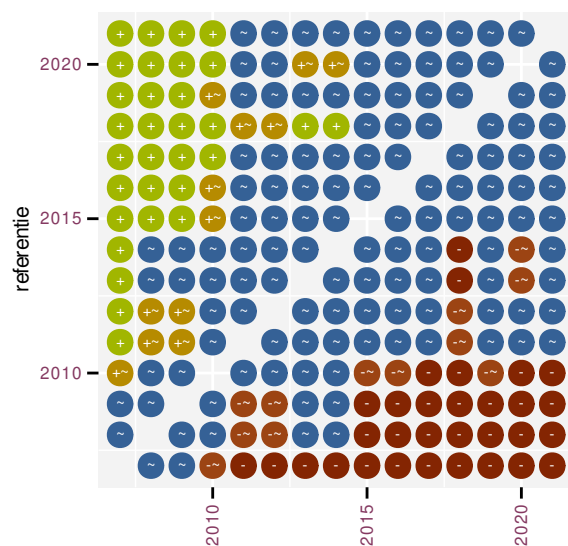
Figuur 85.3: Wijzigingen tussen jaren voor Spreeuw. Zie §3.1 voor een verklaring van de intervallen en §3.2 voor uitleg over de symbolen en referentielijnen.



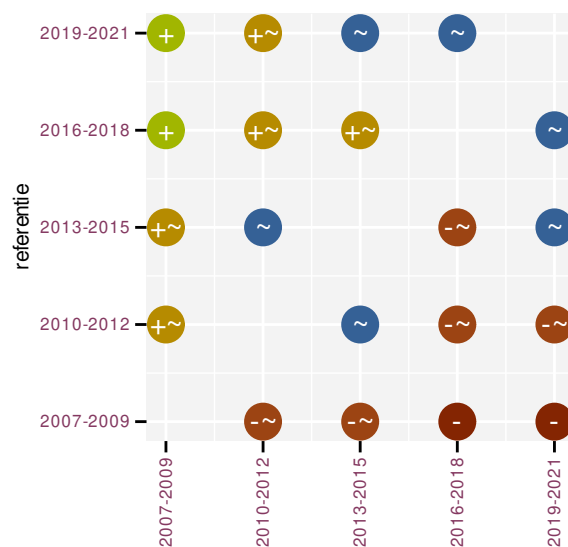
Figuur 85.4: Wijzigingen per driejarige cyclus voor Spreeuw. Zie §3.1 voor een verklaring van de intervallen en §3.2 voor uitleg over de symbolen en referentielijnen.

Tabel 85.1: Stratumgewicht, raming aan het aantal hokken waarin de soort aanwezig is, aantal relevant hokken voor de analyse, aantal onderzochte hokken in het stratum, totaal aantal hokken van het stratum in Vlaanderen, aantal bezoeken aan een meetpunt en het gemiddeld aandeel relevante punten per hok voor Spreeuw (zie §2.5).

stratum	gewicht	aanwezig	relevant	onderzocht	totaal	bezoeken	punten
Landbouw	88.2%	4751.6	323	429	6311	17997	84.1%
Urbaan	5.6%	301.2	63	87	416	3564	87.0%
Suburbaan	2.2%	121.2	41	68	201	2214	79.7%
Heide en duin	1.5%	80.4	38	94	199	1720	62.3%
Moeras en water	1.4%	73.6	43	80	137	2040	67.8%
Bos	1.1%	57.1	34	190	319	1438	57.8%



Figuur 85.5: Paarsgewijze vergelijking tussen jaren voor Spreeuw. Uitleg van de symbolen in tabel 3.1.



Figuur 85.6: Paarsgewijze vergelijking tussen driejarige cycli voor Spreeuw. Uitleg van de symbolen in tabel 3.1.

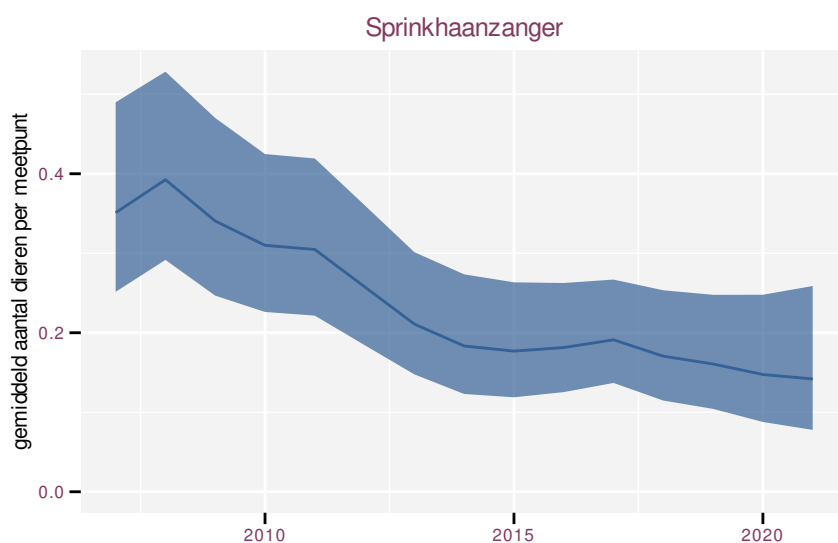
Tabel 85.2: Data-hashes van de analyses in het kader van traceerbaarheid (zie §4.3).

frequentie	model	analyse	status
jaarlijks	niet-lineair	9593e8bcfa7422ea3359 cfb31794a0a1ad9e96cd	9841124966b3c403ad40 6a3de126075f3a55452b
jaarlijks	lineair	3c37528c0a36459d83ae de97d91d941224ea1bdf	efa0a6fa00b1466aeef4 e0eea2519534422e2572
driejaarlijks	niet-lineair	25d3338e04b6f670952a ddbdf2af21e7cf1c5e82	5ceedcca6bc2dc541d64 42c3e255b096721171f7
driejaarlijks	lineair	8fe95b6500fb1570e06a ec6fcf717c18215f119f	d8aead198846cb0f5c33 20bf9ed8dd553df61f57

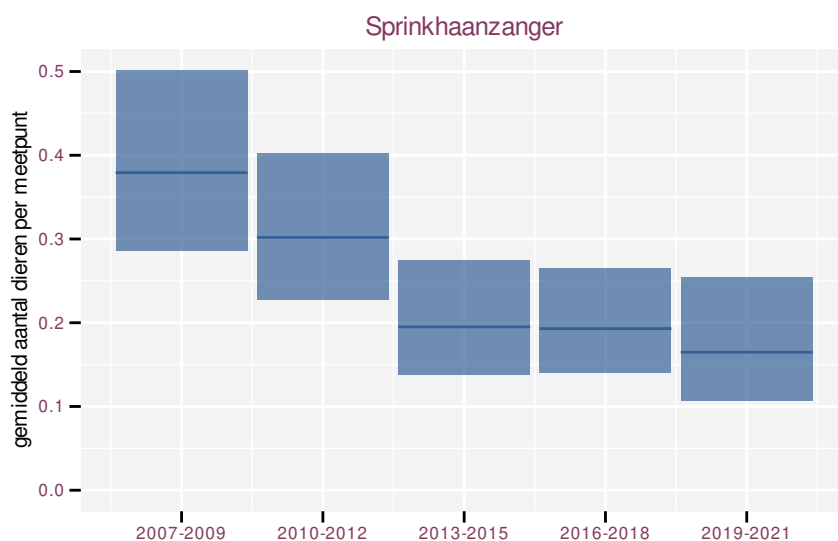
86 SPRINKHAANZANGER

Op basis van jaarlijkse gegevens zien we gemiddeld sterke afname -9.97% (-13.20%; -6.60%) per jaar of -77% (-86%; -62%) over de volledige looptijd van het meetnet. Deze trend is lineair.

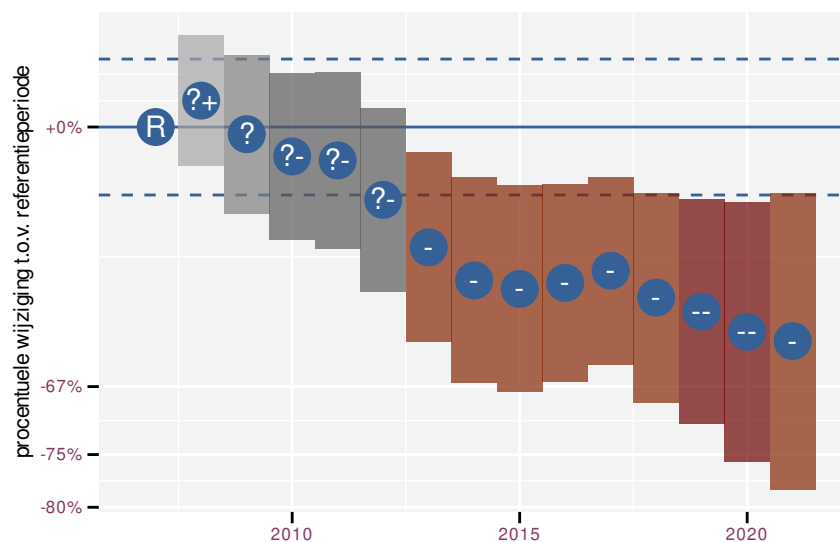
Op basis van driejaarlijkse gegevens zien we gemiddeld sterke afname -10.60% (-13.94%; -7.15%) per jaar of -79% (-88%; -65%) over de volledige looptijd van het meetnet. Deze trend is lineair.



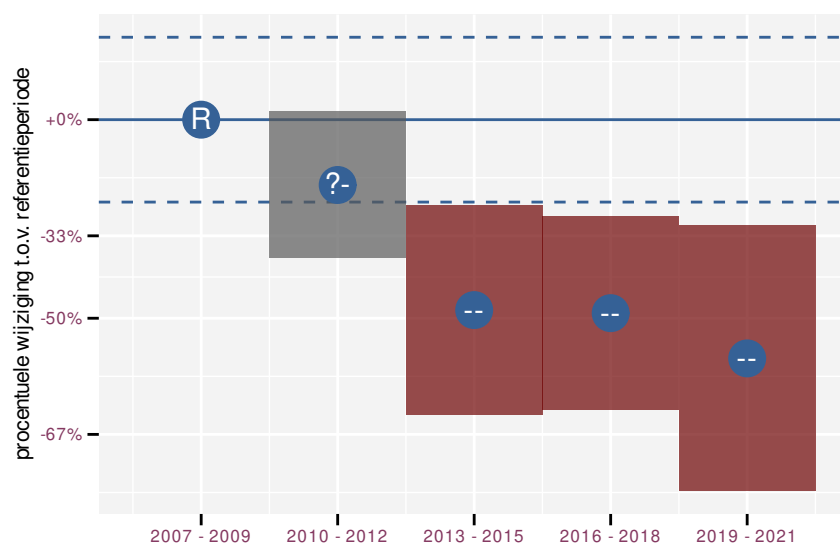
Figuur 86.1: Evolutie van het gemodelleerde gemiddeld aantal waargenomen dieren op een meetpunt voor Sprinkhaanzanger tijdens de referentieperiode. Zie §3.1 voor een verklaring van de intervallen.



Figuur 86.2: Evolutie van het gemodelleerde gemiddeld aantal waargenomen dieren op een meetpunt voor Sprinkhaanzanger tijdens de referentieperiode. Zie §3.1 voor een verklaring van de intervallen.



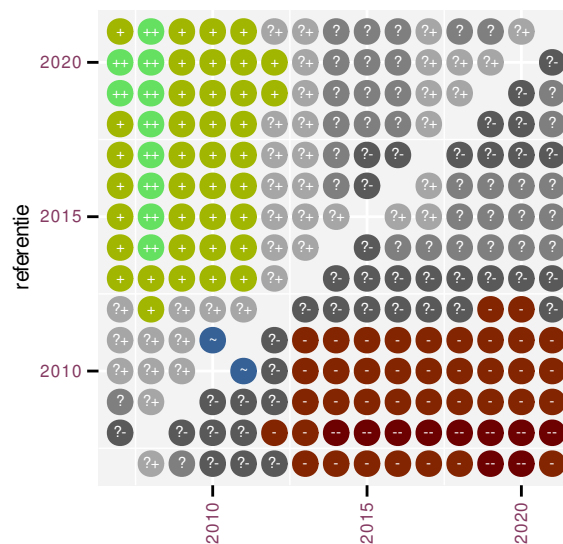
Figuur 86.3: Wijzigingen tussen jaren voor Sprinkhaanzanger. Zie §3.1 voor een verklaring van de intervallen en §3.2 voor uitleg over de symbolen en referentielijnen.



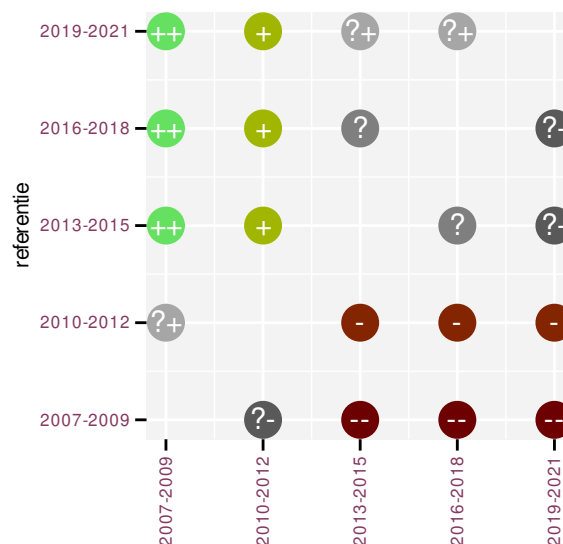
Figuur 86.4: Wijzigingen per driejarige cyclus voor Sprinkhaanzanger. Zie §3.1 voor een verklaring van de intervallen en §3.2 voor uitleg over de symbolen en referentielijnen.

Tabel 86.1: Stratumgewicht, raming aan het aantal hokken waarin de soort aanwezig is, aantal relevant hokken voor de analyse, aantal onderzochte hokken in het stratum, totaal aantal hokken van het stratum in Vlaanderen, aantal bezoeken aan een meetpunt en het gemiddeld aandeel relevante punten per hok voor Sprinkhaanzanger (zie §2.5).

stratum	gewicht	aanwezig	relevant	onderzocht	totaal	bezoeken	punten
Heide en duin	62.4%	31.8	15	94	199	403	46.7%
Moeras en water	20.2%	12.0	7	80	137	189	38.1%
Suburbaan	17.4%	11.8	4	68	201	79	37.5%



Figuur 86.5: Paarsgewijze vergelijking tussen jaren voor Sprinkhaanzanger. Uitleg van de symbolen in tabel 3.1.



Figuur 86.6: Paarsgewijze vergelijking tussen driejarige cycli voor Sprinkhaanzanger. Uitleg van de symbolen in tabel 3.1.

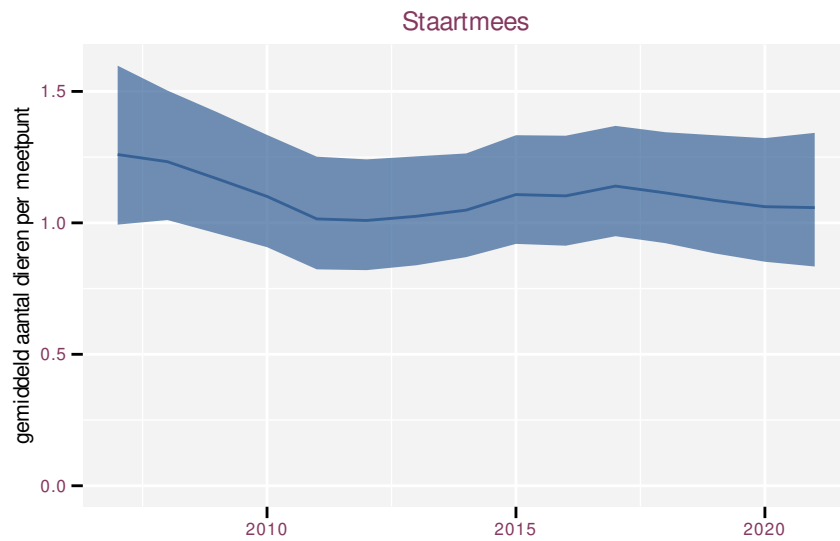
Tabel 86.2: Data-hashes van de analyses in het kader van traceerbaarheid (zie §4.3).

frequentie	model	analyse	status
jaarlijks	niet-lineair	15fb1077b4134c322d5a f92ae680e5077dddf62b	d524dc61a63d2da2a449 5fedacf6ef9f8e5c07ca
jaarlijks	lineair	bb9ba3be8027cbdd89db 14fb854cd94dd43d327b	588333397d8e7cf332dc 6070109ee913f708735f
driejaarlijks	niet-lineair	9804c6a1f423515e58b1 a62107b9d3b052cbfe60	9f12db3d1defbbc546bb d0c121231f3829cba457
driejaarlijks	lineair	877eea94166c6b1a1fbb d9386d5279c9e64ccb5f	d840d67abcc9ede4c4ff 69830826d879f406c734

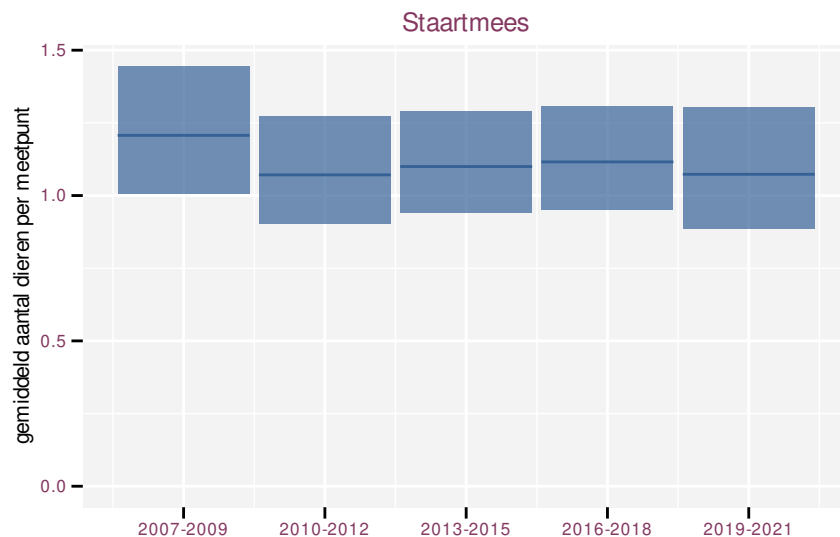
87 STAARTMEES

Op basis van jaarlijkse gegevens zien we gemiddeld mogelijke afname -1.8% (-4.2%; +0.6%) per jaar of -23% (-45%; +9%) over de volledige looptijd van het meetnet. Deze trend is niet-lineair.

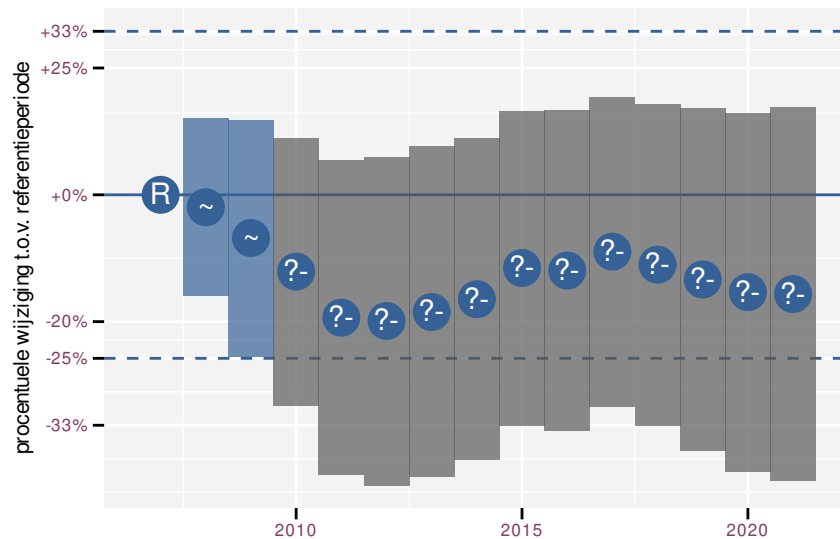
Op basis van driejaarlijkse gegevens zien we gemiddeld mogelijke afname -2.0% (-4.4%; +0.5%) per jaar of -24% (-47%; +7%) over de volledige looptijd van het meetnet. Deze trend is niet-lineair.



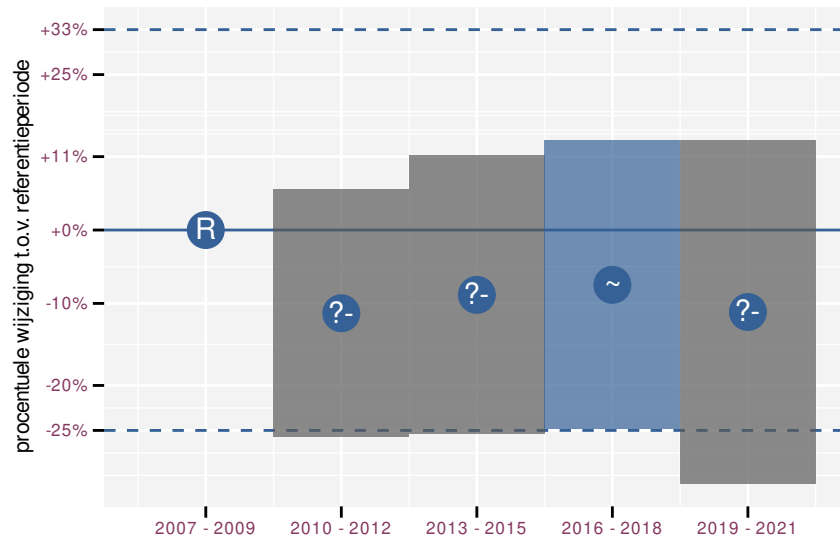
Figuur 87.1: Evolutie van het gemodelleerde gemiddeld aantal waargenomen dieren op een meetpunt voor Staartmees tijdens de referentieperiode. Zie §3.1 voor een verklaring van de intervallen.



Figuur 87.2: Evolutie van het gemodelleerde gemiddeld aantal waargenomen dieren op een meetpunt voor Staartmees tijdens de referentieperiode. Zie §3.1 voor een verklaring van de intervallen.



Figuur 87.3: Wijzigingen tussen jaren voor Staartmees. Zie §3.1 voor een verklaring van de intervallen en §3.2 voor uitleg over de symbolen en referentielijnen.



Figuur 87.4: Wijzigingen per driejarige cyclus voor Staartmees. Zie §3.1 voor een verklaring van de intervallen en §3.2 voor uitleg over de symbolen en referentielijnen.

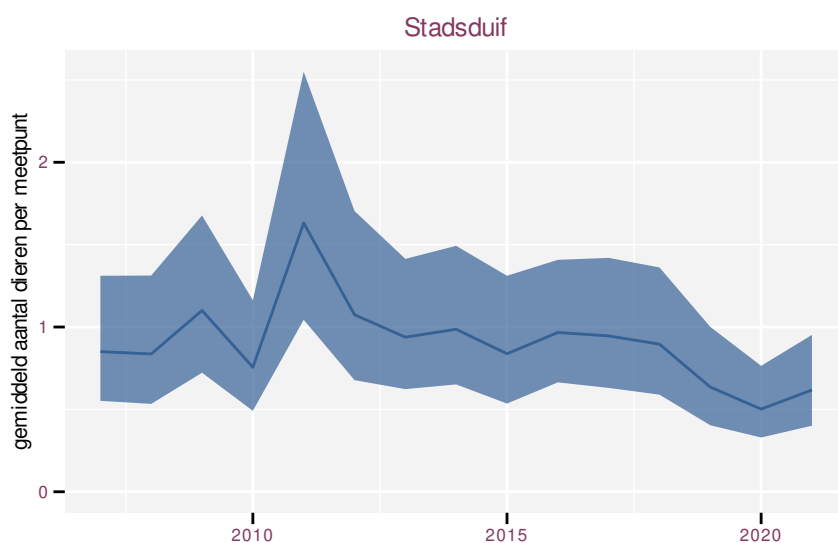
Tabel 87.1: Stratumgewicht, raming aan het aantal hokken waarin de soort aanwezig is, aantal relevant hokken voor de analyse, aantal onderzochte hokken in het stratum, totaal aantal hokken van het stratum in Vlaanderen, aantal bezoeken aan een meetpunt en het gemiddeld aandeel relevante punten per hok voor Staartmees (zie §2.5).

stratum	gewicht	aanwezig	relevant	onderzocht	totaal	bezoeken	punten
Landbouw	70.2%	706.1	48	429	6311	1371	35.1%
Bos	8.3%	83.9	50	190	319	1840	45.3%
Urbaan	6.2%	62.2	13	87	416	461	38.5%
Suburbaan	5.9%	59.1	20	68	201	778	49.2%
Moeras en water	4.8%	48.0	28	80	137	1147	55.4%
Heide en duin	4.6%	46.6	22	94	199	791	43.2%

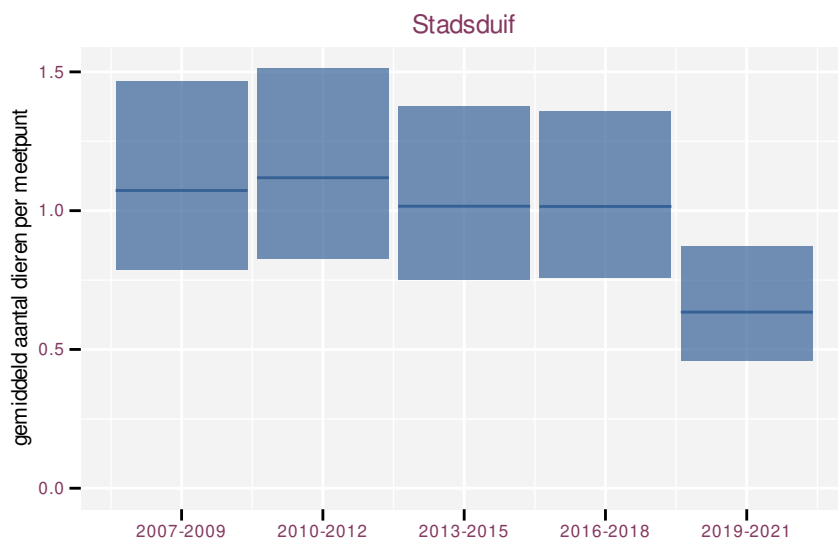
88 STADSDUIF

Op basis van jaarlijkse gegevens zien we gemiddeld afname -3.7% (-6.2%; -1.1%) per jaar of -41% (-59%; -14%) over de volledige looptijd van het meetnet. Deze trend is niet-lineair.

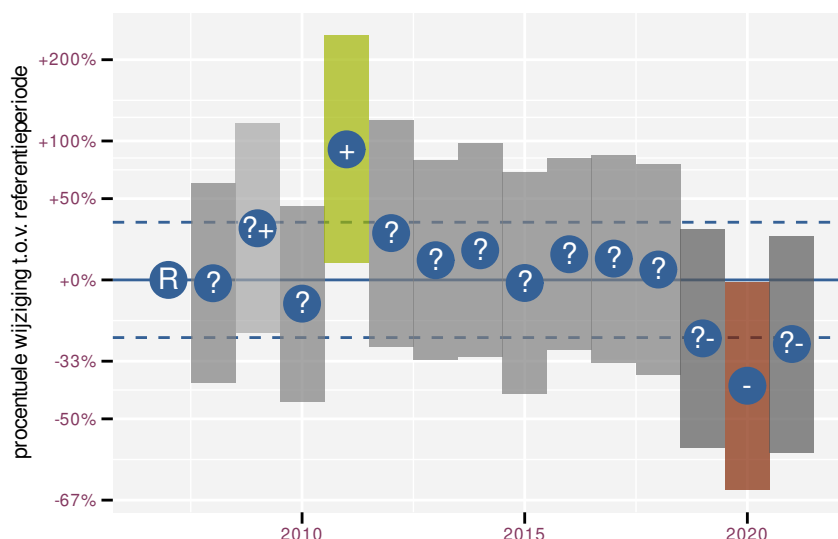
Op basis van driejaarlijkse gegevens zien we gemiddeld afname -3.8% (-6.4%; -1.2%) per jaar of -42% (-61%; -15%) over de volledige looptijd van het meetnet. Deze trend is niet-lineair.



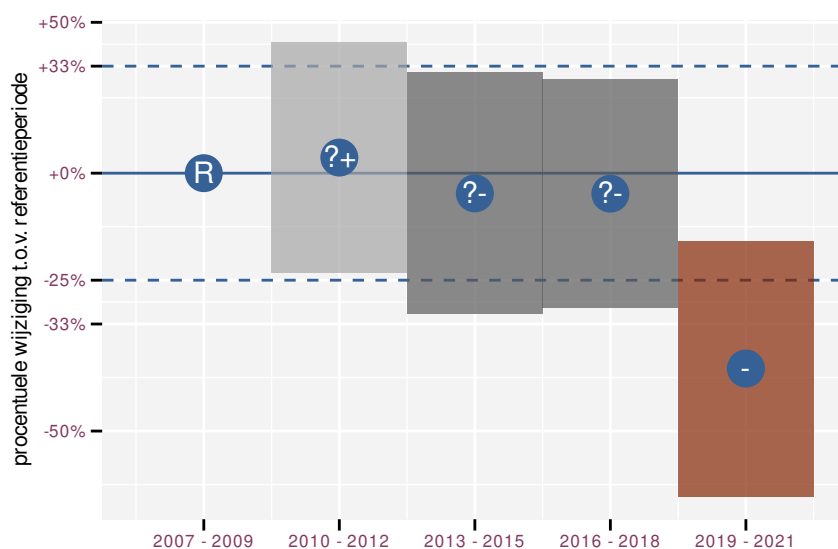
Figuur 88.1: Evolutie van het gemodelleerde gemiddeld aantal waargenomen dieren op een meetpunt voor Stadsduif tijdens de referentieperiode. Zie §3.1 voor een verklaring van de intervallen.



Figuur 88.2: Evolutie van het gemodelleerde gemiddeld aantal waargenomen dieren op een meetpunt voor Stadsduif tijdens de referentieperiode. Zie §3.1 voor een verklaring van de intervallen.



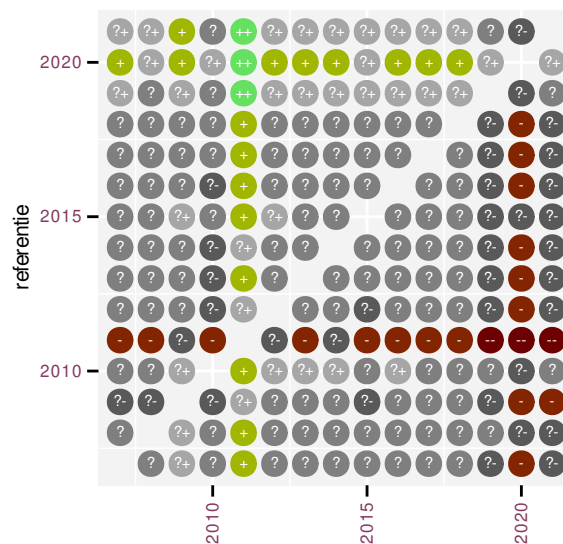
Figuur 88.3: Wijzigingen tussen jaren voor Stadsduif. Zie §3.1 voor een verklaring van de intervallen en §3.2 voor uitleg over de symbolen en referentielijnen.



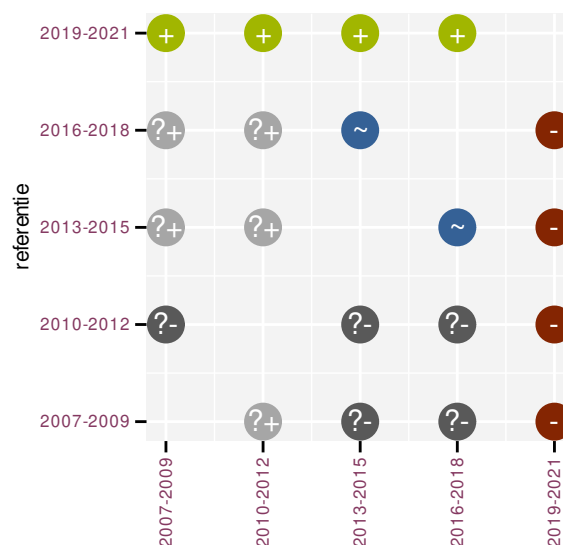
Figuur 88.4: Wijzigingen per driejarige cyclus voor Stadsduif. Zie §3.1 voor een verklaring van de intervallen en §3.2 voor uitleg over de symbolen en referentielijnen.

Tabel 88.1: Stratumgewicht, raming aan het aantal hokken waarin de soort aanwezig is, aantal relevant hokken voor de analyse, aantal onderzochte hokken in het stratum, totaal aantal hokken van het stratum in Vlaanderen, aantal bezoeken aan een meetpunt en het gemiddeld aandeel relevante punten per hok voor Stadsduif (zie §2.5).

stratum	gewicht	aanwezig	relevant	onderzocht	totaal	bezoeken	punten
Landbouw	75.7%	470.8	32	429	6311	1475	62.0%
Urbaan	15.4%	95.6	20	87	416	939	73.3%
Suburbaan	5.2%	32.5	11	68	201	607	71.2%
Moeras en water	1.9%	12.0	7	80	137	323	73.8%
Heide en duin	1.7%	12.7	6	94	199	181	58.3%



Figuur 88.5: Paarsgewijze vergelijking tussen jaren voor Stadsduif. Uitleg van de symbolen in tabel 3.1.



Figuur 88.6: Paarsgewijze vergelijking tussen driejarige cycli voor Stadsduif. Uitleg van de symbolen in tabel 3.1.

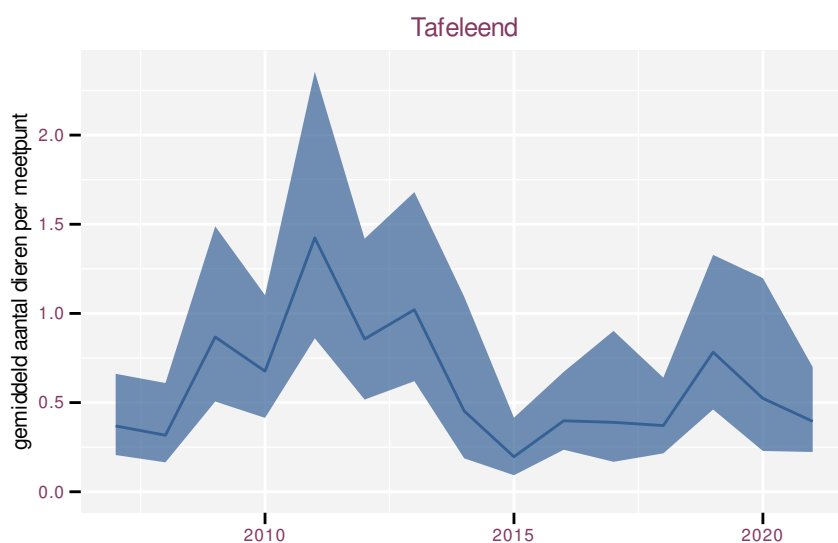
Tabel 88.2: Data-hashes van de analyses in het kader van traceerbaarheid (zie §4.3).

frequentie	model	analyse	status
jaarlijks	niet-lineair	793b2059eee5562b5fba	2d478477c6ecb8133e86
		222e6f997800dec67388	7bd774e2a7902b9555ac
jaarlijks	lineair	51d4b165a81d4c1c0f60	71dd42b8e8513e345cee
		b68e9061cdd9acd9bf87	64b16fc570675da4fc8b
driejaarlijks	niet-lineair	37cc4c61c9470403c0f5	ff867830d1d6aa374a9a
		f7828f98429d4c1d4387	ba9ddc419094bf249c8d
driejaarlijks	lineair	125ed450484e524075b5	6fb7a68b3b1aecfd8965
		ebca6809c871e0839e2a	6ee23bed339c4c079879

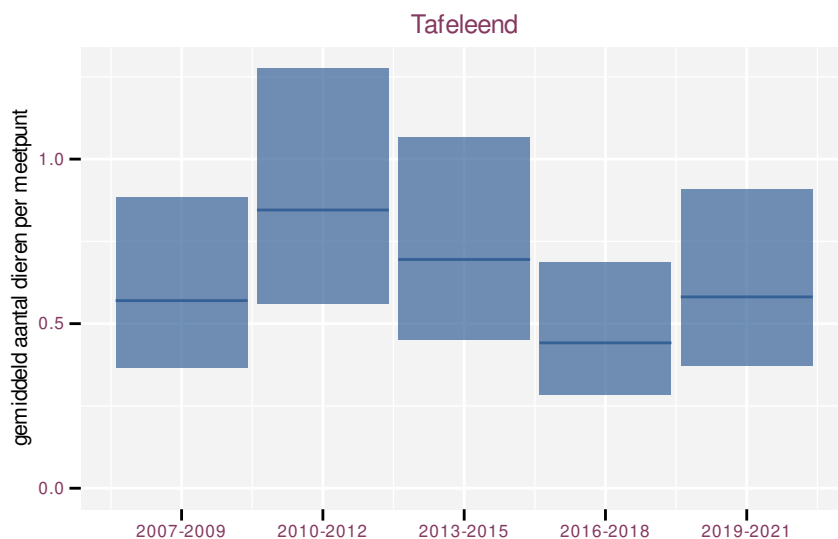
89 TAFELEEND

Op basis van jaarlijkse gegevens zien we gemiddeld onduidelijk +1.0% (-2.9%; +5.1%) per jaar of +16% (-33%; +101%) over de volledige looptijd van het meetnet. Deze trend is niet-lineair.

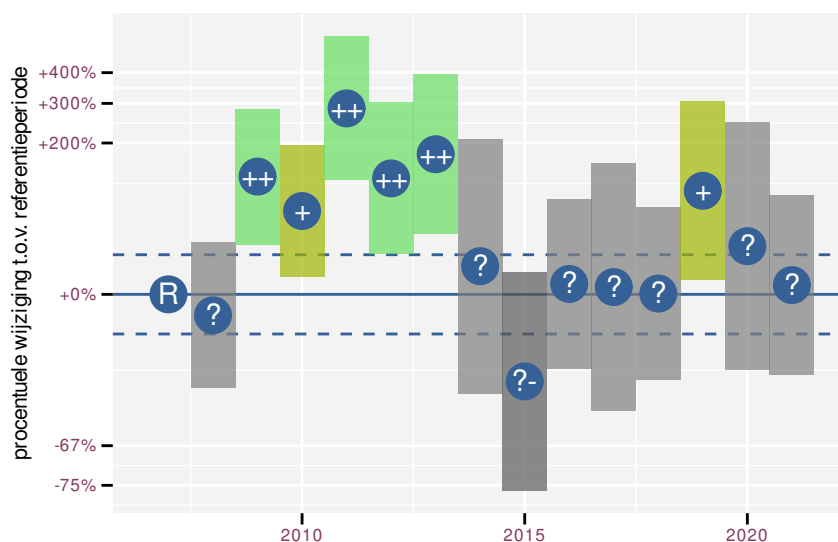
Op basis van driejaarlijkse gegevens zien we gemiddeld onduidelijk +0.5% (-3.2%; +4.3%) per jaar of +10% (-40%; +80%) over de volledige looptijd van het meetnet. Deze trend is niet-lineair.



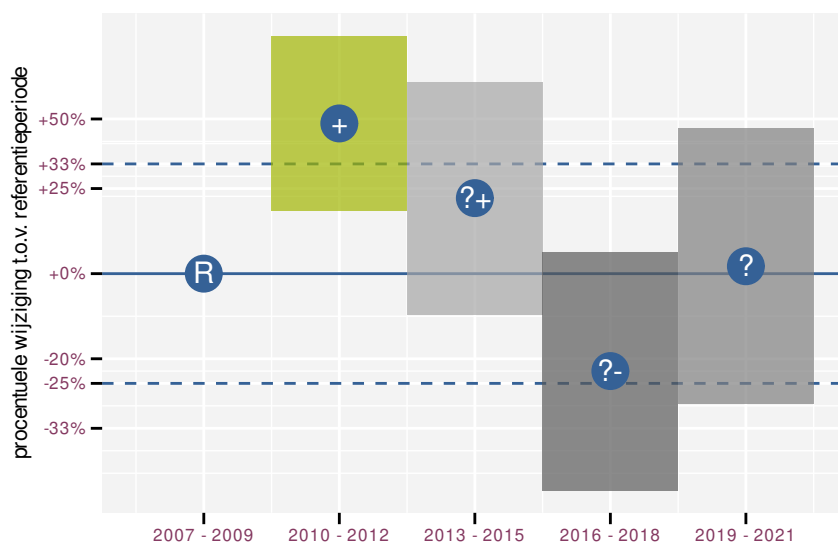
Figuur 89.1: Evolutie van het gemodelleerde gemiddeld aantal waargenomen dieren op een meetpunt voor Tafeleend tijdens de referentieperiode. Zie §3.1 voor een verklaring van de intervallen.



Figuur 89.2: Evolutie van het gemodelleerde gemiddeld aantal waargenomen dieren op een meetpunt voor Tafeleend tijdens de referentieperiode. Zie §3.1 voor een verklaring van de intervallen.



Figuur 89.3: Wijzigingen tussen jaren voor Tafeleend. Zie §3.1 voor een verklaring van de intervallen en §3.2 voor uitleg over de symbolen en referentielijnen.



Figuur 89.4: Wijzigingen per driejarige cyclus voor Tafeleend. Zie §3.1 voor een verklaring van de intervallen en §3.2 voor uitleg over de symbolen en referentielijnen.

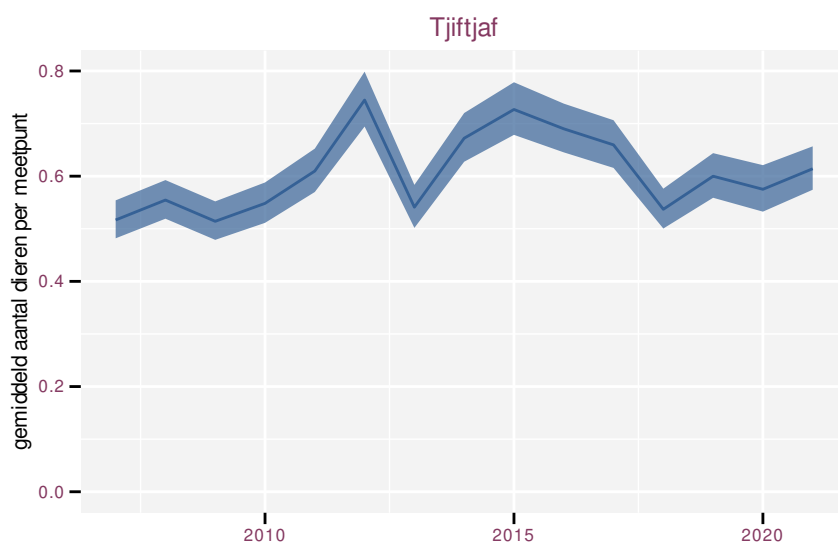
Tabel 89.1: Stratumgewicht, raming aan het aantal hokken waarin de soort aanwezig is, aantal relevant hokken voor de analyse, aantal onderzochte hokken in het stratum, totaal aantal hokken van het stratum in Vlaanderen, aantal bezoeken aan een meetpunt en het gemiddeld aandeel relevante punten per hok voor Tafeleend (zie §2.5).

stratum	gewicht	aanwezig	relevant	onderzocht	totaal	bezoeken	punten
Moeras en water	78.9%	20.6	12	80	137	410	45.8%
Bos	21.1%	6.7	4	190	319	29	16.7%

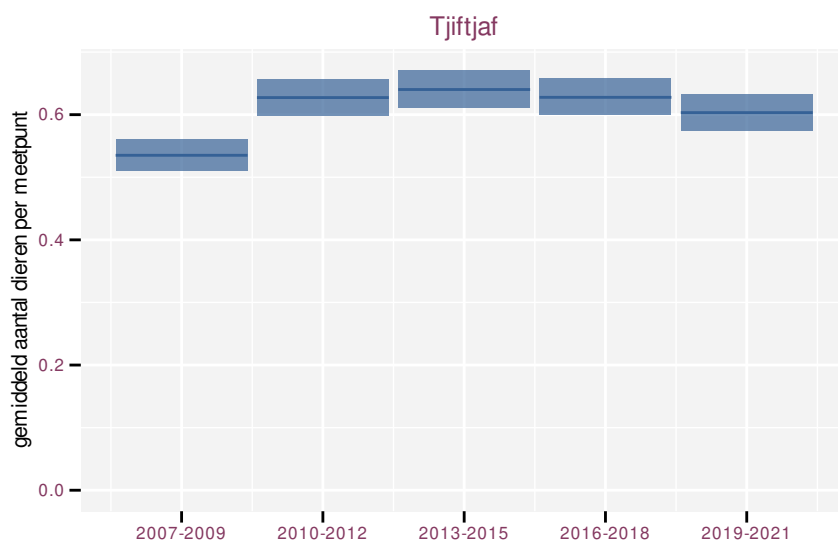
90 TJIFTJAF

Op basis van jaarlijkse gegevens zien we gemiddeld matige toename +0.934% (+0.582%; +1.298%) per jaar of +13.9% (+8.5%; +19.8%) over de volledige looptijd van het meetnet. Deze trend is niet-lineair.

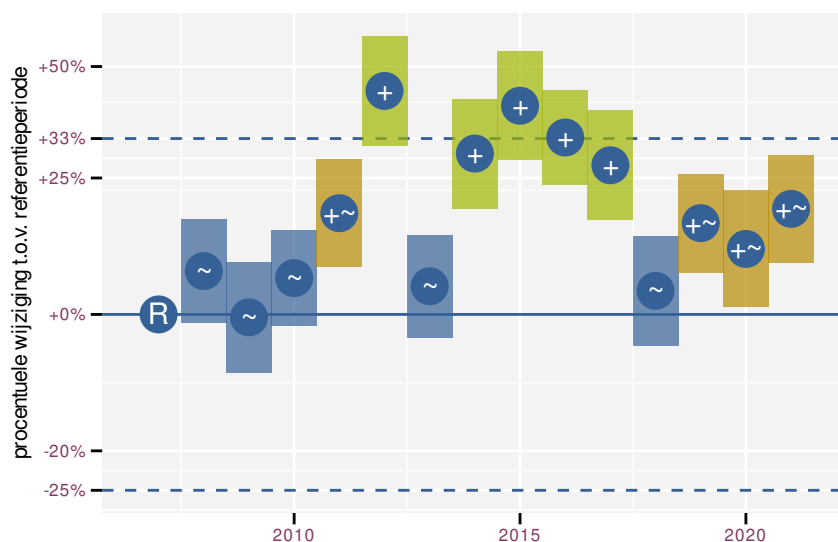
Op basis van driejaarlijkse gegevens zien we gemiddeld matige toename +0.887% (+0.525%; +1.251%) per jaar of +13.2% (+7.6%; +19.0%) over de volledige looptijd van het meetnet. Deze trend is niet-lineair.



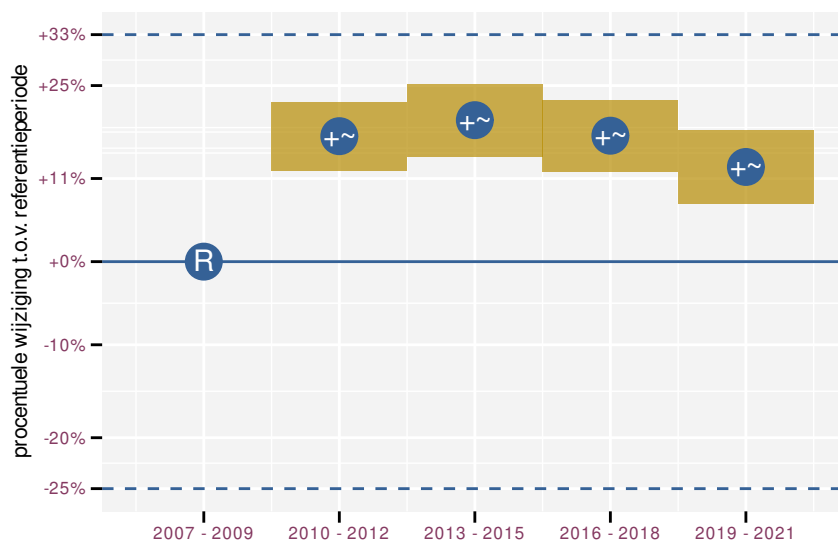
Figuur 90.1: Evolutie van het gemodelleerde gemiddeld aantal waargenomen dieren op een meetpunt voor Tjiftjaf tijdens de referentieperiode. Zie §3.1 voor een verklaring van de intervallen.



Figuur 90.2: Evolutie van het gemodelleerde gemiddeld aantal waargenomen dieren op een meetpunt voor Tjiftjaf tijdens de referentieperiode. Zie §3.1 voor een verklaring van de intervallen.



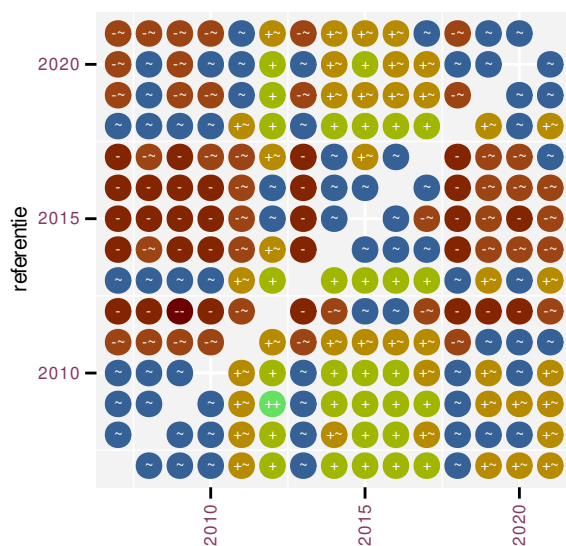
Figuur 90.3: Wijzigingen tussen jaren voor Tjiftjaf. Zie §3.1 voor een verklaring van de intervallen en §3.2 voor uitleg over de symbolen en referentielijnen.



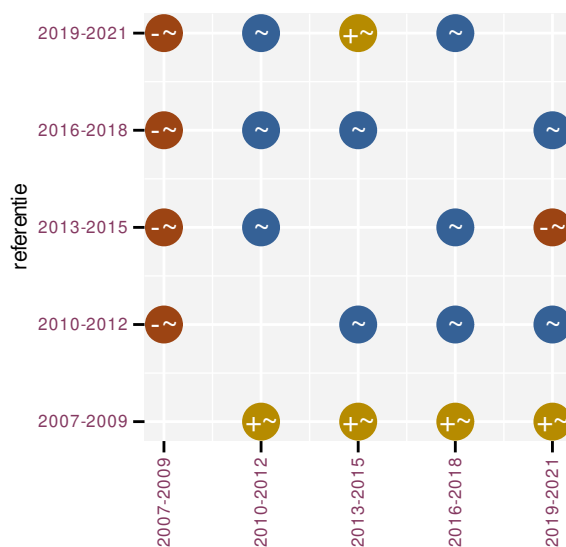
Figuur 90.4: Wijzigingen per driejarige cyclus voor Tjiftjaf. Zie §3.1 voor een verklaring van de intervallen en §3.2 voor uitleg over de symbolen en referentielijnen.

Tabel 90.1: Stratumgewicht, raming aan het aantal hokken waarin de soort aanwezig is, aantal relevant hokken voor de analyse, aantal onderzochte hokken in het stratum, totaal aantal hokken van het stratum in Vlaanderen, aantal bezoeken aan een meetpunt en het gemiddeld aandeel relevante punten per hok voor Tjiftjaf (zie §2.5).

stratum	gewicht	aanwezig	relevant	onderzocht	totaal	bezoeken	punten
Landbouw	81.9%	4486.8	305	429	6311	16709	82.1%
Urbaan	5.9%	320.4	67	87	416	3268	73.6%
Bos	4.4%	241.8	144	190	319	8828	92.5%
Heide en duin	3.0%	165.1	78	94	199	4579	89.1%
Suburbaan	2.9%	156.7	53	68	201	2996	88.1%
Moeras en water	1.9%	104.5	61	80	137	3566	91.0%



Figuur 90.5: Paarsgewijze vergelijking tussen jaren voor Tjiftjaf. Uitleg van de symbolen in tabel 3.1.



Figuur 90.6: Paarsgewijze vergelijking tussen driejarige cycli voor Tjiftjaf. Uitleg van de symbolen in tabel 3.1.

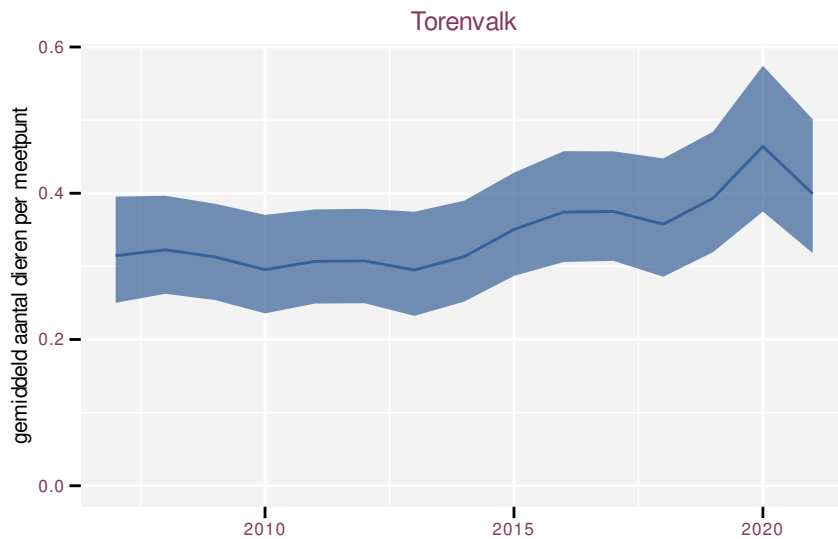
Tabel 90.2: Data-hashes van de analyses in het kader van traceerbaarheid (zie §4.3).

frequentie	model	analyse	status
jaarlijks	niet-lineair	7c4c3f257240e240e14c fd1009e86f1802868af5	4fead486fb5ff78b066b 04a87acc99757bf3859b
jaarlijks	lineair	8a98310c949db8d774cc 1ac8ac8eb005124c692e	5f45a408bf9f2eaefa0e 345b25e21ea23f5bc160
driejaarlijks	niet-lineair	89a7e21f911e7d434897 01c8d8a664d1cb14f5d5	dcc1c35392d9bd90f887 2d20220c1a6f74f077d6
driejaarlijks	lineair	a5ad8f617700f328476d 9af28ab0918faf197a9c	20bc79e166f4a66dd0fc d994beb4fda7a6bc5b23

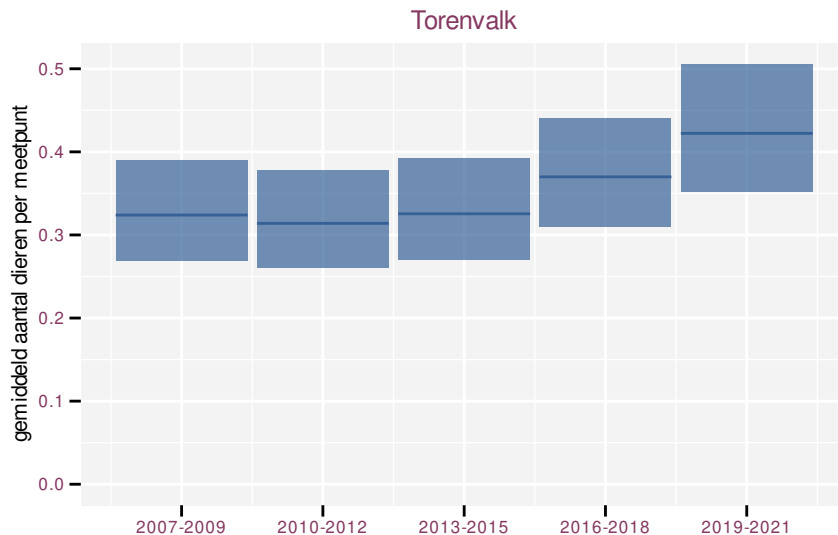
91 TORENVALK

Op basis van jaarlijkse gegevens zien we gemiddeld toename +2.7% (+1.3%; +4.2%) per jaar of +46% (+20%; +78%) over de volledige looptijd van het meetnet. Deze trend is niet-lineair.

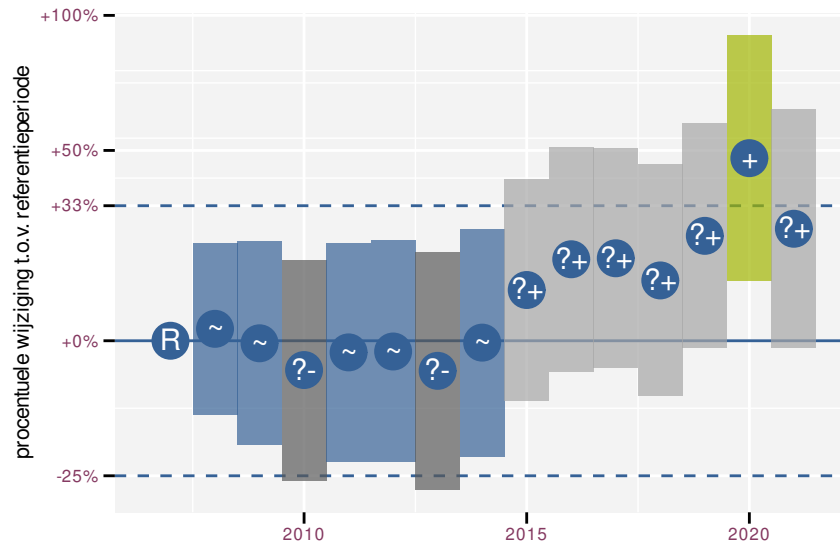
Op basis van driejaarlijkse gegevens zien we gemiddeld toename +2.8% (+1.3%; +4.3%) per jaar of +47% (+20%; +79%) over de volledige looptijd van het meetnet. Deze trend is niet-lineair.



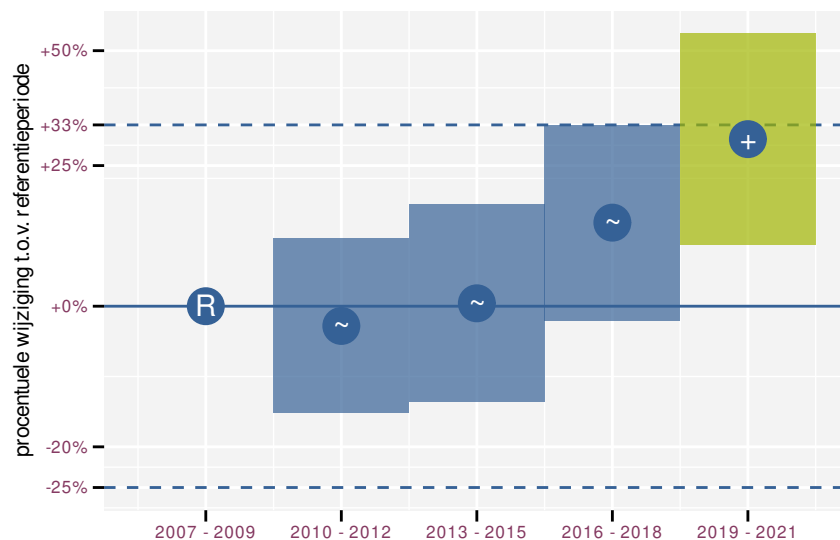
Figuur 91.1: Evolutie van het gemodelleerde gemiddeld aantal waargenomen dieren op een meetpunt voor Torenvalk tijdens de referentieperiode. Zie §3.1 voor een verklaring van de intervallen.



Figuur 91.2: Evolutie van het gemodelleerde gemiddeld aantal waargenomen dieren op een meetpunt voor Torenvalk tijdens de referentieperiode. Zie §3.1 voor een verklaring van de intervallen.



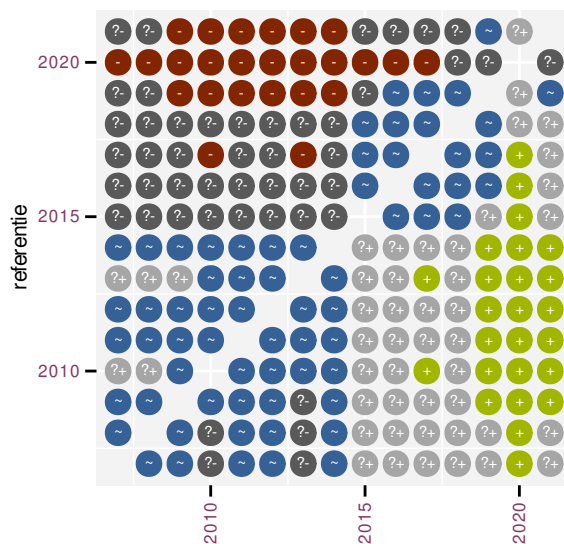
Figuur 91.3: Wijzigingen tussen jaren voor Torenvalk. Zie §3.1 voor een verklaring van de intervallen en §3.2 voor uitleg over de symbolen en referentielijnen.



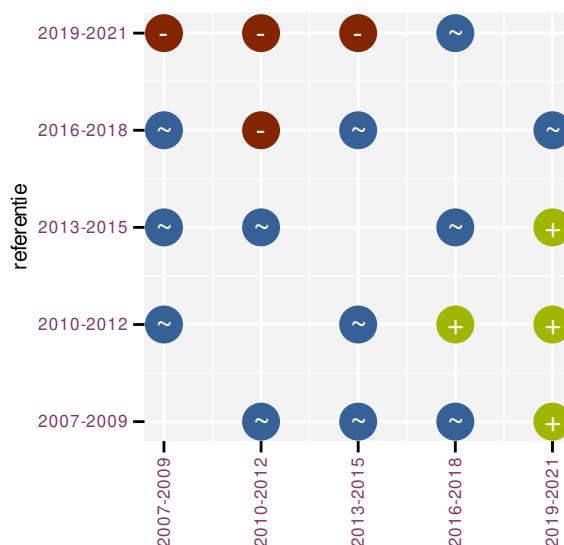
Figuur 91.4: Wijzigingen per driejarige cyclus voor Torenvalk. Zie §3.1 voor een verklaring van de intervallen en §3.2 voor uitleg over de symbolen en referentielijnen.

Tabel 91.1: Stratumgewicht, raming aan het aantal hokken waarin de soort aanwezig is, aantal relevant hokken voor de analyse, aantal onderzochte hokken in het stratum, totaal aantal hokken van het stratum in Vlaanderen, aantal bezoeken aan een meetpunt en het gemiddeld aandeel relevante punten per hok voor Torenvalk (zie §2.5).

stratum	gewicht	aanwezig	relevant	onderzocht	totaal	bezoeken	punten
Landbouw	96.6%	2015.4	137	429	6311	5357	52.7%
Heide en duin	1.3%	27.5	13	94	199	440	44.9%
Suburbaan	1.1%	26.6	9	68	201	276	40.7%
Moeras en water	0.6%	13.7	8	80	137	302	47.9%
Bos	0.3%	8.4	5	190	319	172	46.7%



Figuur 91.5: Paarsgewijze vergelijking tussen jaren voor Torenvalk. Uitleg van de symbolen in tabel 3.1.



Figuur 91.6: Paarsgewijze vergelijking tussen driejarige cycli voor Torenvalk. Uitleg van de symbolen in tabel 3.1.

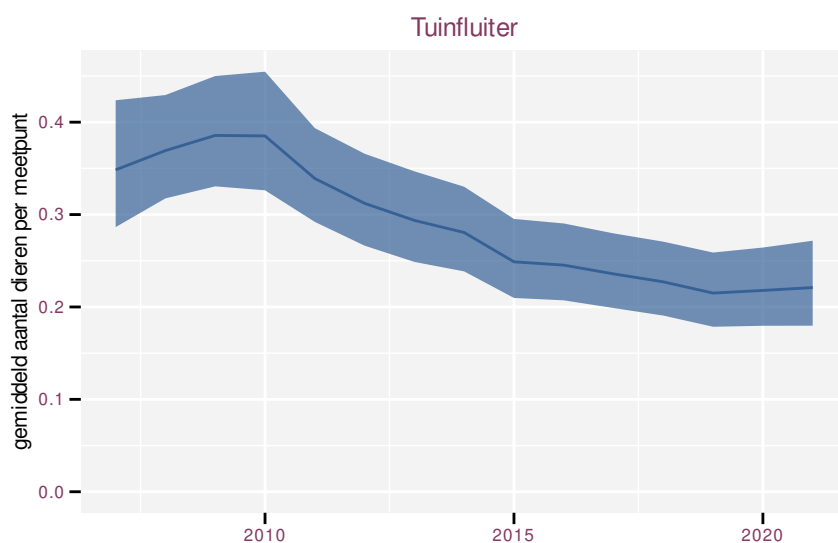
Tabel 91.2: Data-hashes van de analyses in het kader van traceerbaarheid (zie §4.3).

frequentie	model	analyse	status
jaarlijks	niet-lineair	3b37605083ffb7a74a10	f93ca139e0b5a38297e1
		80639817f09e5c252930	945afae8eeaf2bd675fa
jaarlijks	lineair	53defbd471f3bfc84b89	b4d1c1c1a7f60a68fcf2
		0497c580c26ac0bbe8ec	ff378ecccc37989717cc
driejaarlijks	niet-lineair	76c24b80744cc9f5c3d9	73e9e8656eee6da6f4a4
		e03f9de33521f720422d	209a343748922bff5298
driejaarlijks	lineair	35630068051a8ca2ab92	f07fa394e2a9336158d3
		c52575491021e035ffae	d08ab59fb871371ccb04

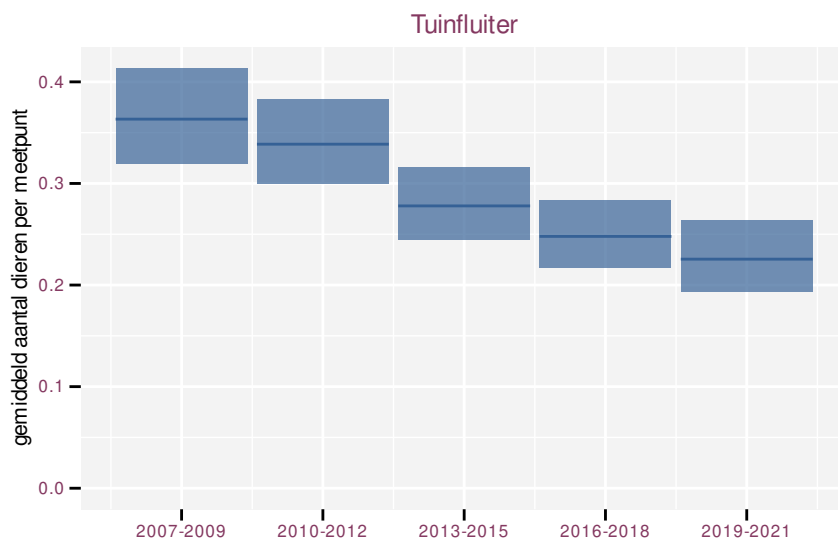
92 TUINFLUITER

Op basis van jaarlijkse gegevens zien we gemiddeld sterke afname -5.7% (-7.3%; -4.0%) per jaar of -56% (-65%; -44%) over de volledige looptijd van het meetnet. Deze trend is niet-lineair.

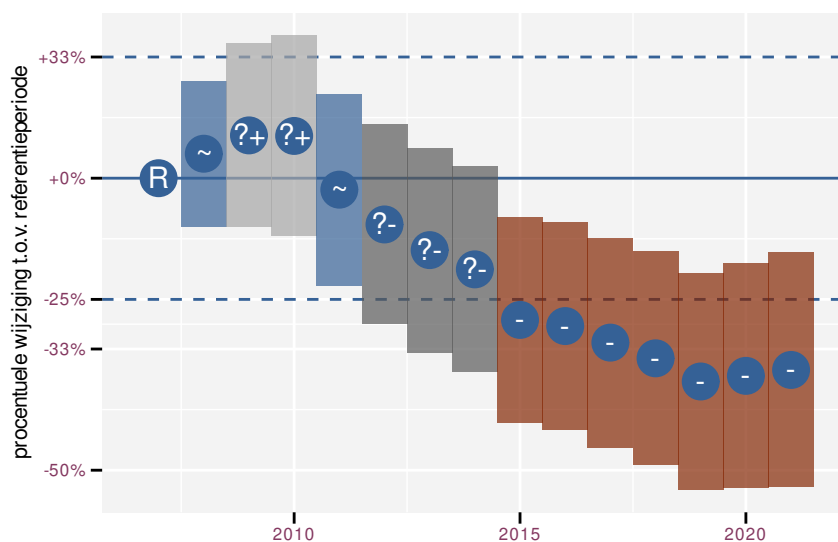
Op basis van driejaarlijkse gegevens zien we gemiddeld sterke afname -5.6% (-7.2%; -4.0%) per jaar of -56% (-65%; -44%) over de volledige looptijd van het meetnet. Deze trend is lineair.



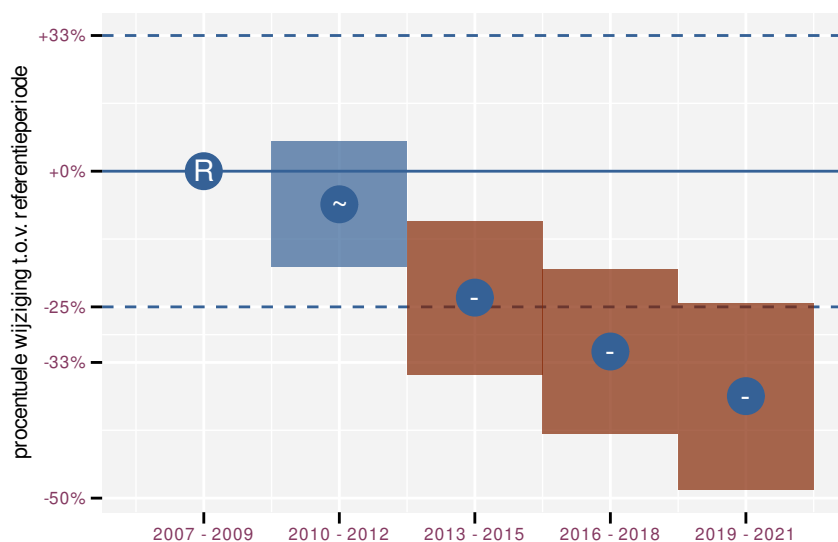
Figuur 92.1: Evolutie van het gemodelleerde gemiddeld aantal waargenomen dieren op een meetpunt voor Tuinfluiter tijdens de referentieperiode. Zie §3.1 voor een verklaring van de intervallen.



Figuur 92.2: Evolutie van het gemodelleerde gemiddeld aantal waargenomen dieren op een meetpunt voor Tuinfluiter tijdens de referentieperiode. Zie §3.1 voor een verklaring van de intervallen.



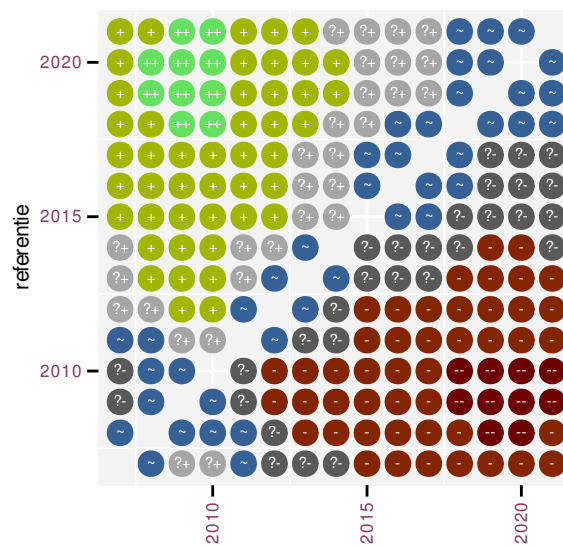
Figuur 92.3: Wijzigingen tussen jaren voor Tuinfluiter. Zie §3.1 voor een verklaring van de intervallen en §3.2 voor uitleg over de symbolen en referentielijnen.



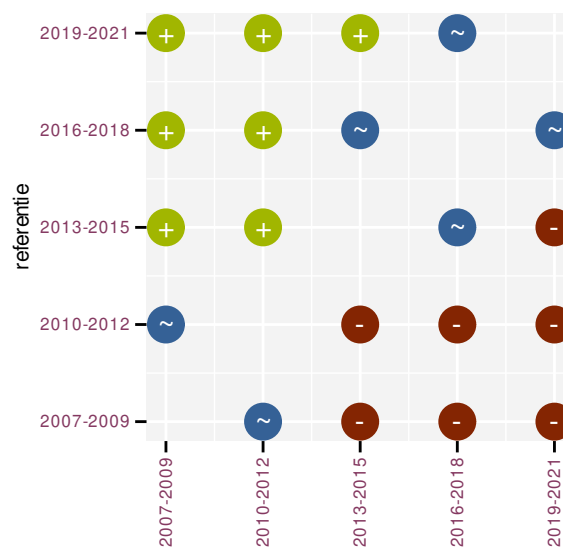
Figuur 92.4: Wijzigingen per driejarige cyclus voor Tuinfluiter. Zie §3.1 voor een verklaring van de intervallen en §3.2 voor uitleg over de symbolen en referentielijnen.

Tabel 92.1: Stratumgewicht, raming aan het aantal hokken waarin de soort aanwezig is, aantal relevant hokken voor de analyse, aantal onderzochte hokken in het stratum, totaal aantal hokken van het stratum in Vlaanderen, aantal bezoeken aan een meetpunt en het gemiddeld aandeel relevante punten per hok voor Tuinfluiter (zie §2.5).

stratum	gewicht	aanwezig	relevant	onderzocht	totaal	bezoeken	punten
Landbouw	84.1%	1176.9	80	429	6311	1702	44.4%
Heide en duin	5.0%	69.9	33	94	199	698	47.0%
Bos	4.9%	68.8	41	190	319	1051	54.9%
Moeras en water	4.0%	56.5	33	80	137	959	58.6%
Suburbaan	1.9%	26.6	9	68	201	151	35.2%



Figuur 92.5: Paarsgewijze vergelijking tussen jaren voor Tuinfluiter. Uitleg van de symbolen in tabel 3.1.



Figuur 92.6: Paarsgewijze vergelijking tussen driejarige cycli voor Tuinfluiter. Uitleg van de symbolen in tabel 3.1.

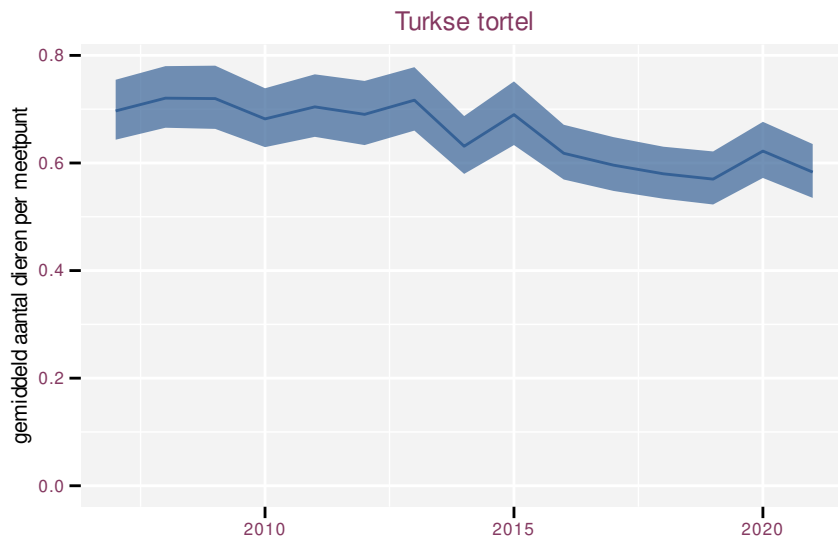
Tabel 92.2: Data-hashes van de analyses in het kader van traceerbaarheid (zie §4.3).

frequentie	model	analyse	status
jaarlijks	niet-lineair	19b34738a66867fbdcb1 ec693f1e3e9ea930d230	438897961b48ec336e95 9de8b081818398f1646a
jaarlijks	lineair	1bd8defa83d09228d5b5 d3e5bbea74bf7b1d501c	9e23a6e9a466b44853d6 8ceab8081737a44b36d0
driejaarlijks	niet-lineair	2e19bcee5f656a79ede9 3039c9f0dd7b9ad8139d	eabf5e5710007c52996c bf112e5fe1c4fc9a454c
driejaarlijks	lineair	842671bb0b64ac939071 e818362a589aee3b07b9	d3c5d2751ffe5d8c6701 5be9961c01771b5a5b3f

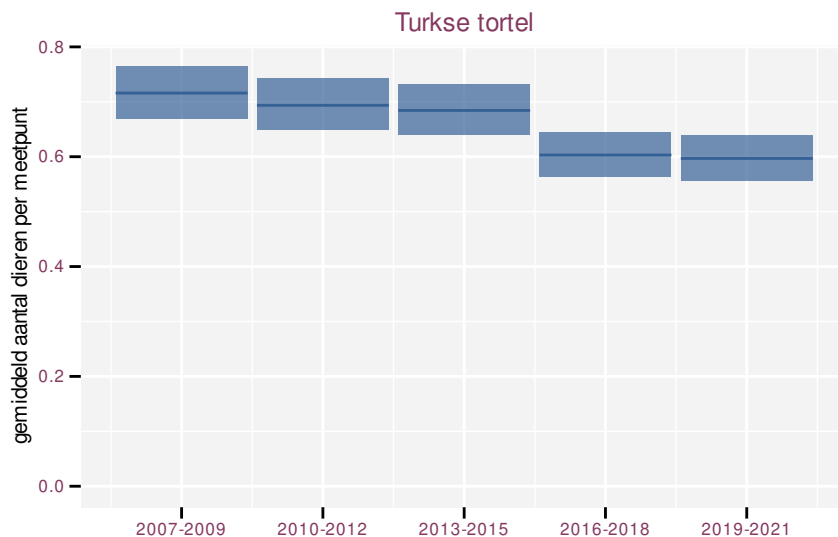
93 TURKSE TORTEL

Op basis van jaarlijkse gegevens zien we gemiddeld matige afname -1.68% (-2.02%; -1.33%) per jaar of -21.1% (-24.8%; -17.1%) over de volledige looptijd van het meetnet. Deze trend is lineair.

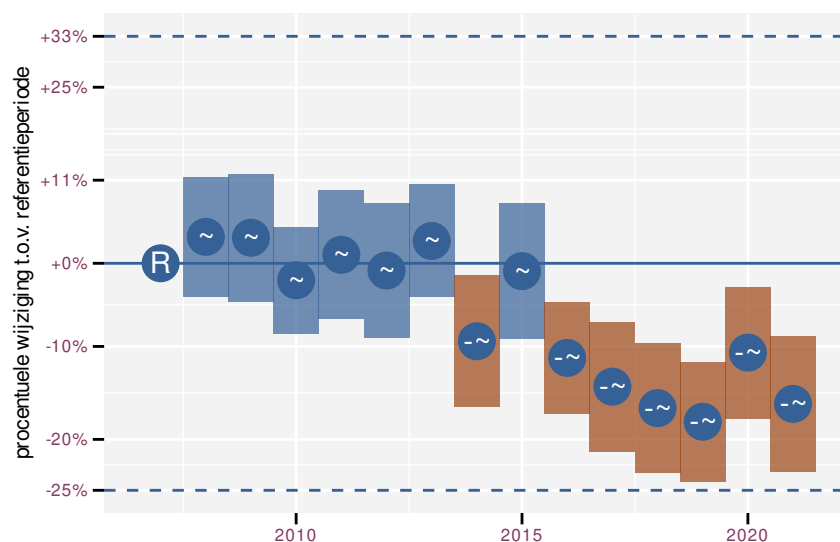
Op basis van driejaarlijkse gegevens zien we gemiddeld afname -1.72% (-2.06%; -1.37%) per jaar of -21.5% (-25.3%; -17.6%) over de volledige looptijd van het meetnet. Deze trend is lineair.



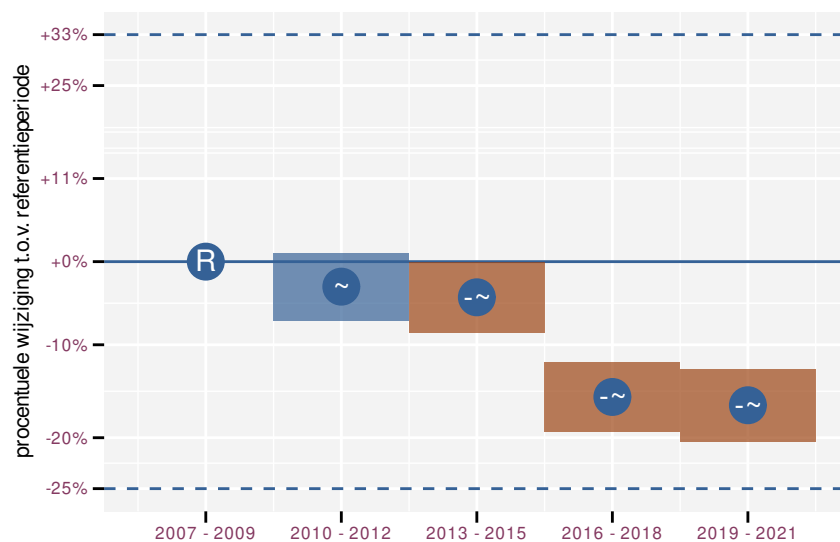
Figuur 93.1: Evolutie van het gemiddelde aantal waargenomen dieren op een meetpunt voor Turkse tortel tijdens de referentieperiode. Zie §3.1 voor een verklaring van de intervallen.



Figuur 93.2: Evolutie van het gemiddelde aantal waargenomen dieren op een meetpunt voor Turkse tortel tijdens de referentieperiode. Zie §3.1 voor een verklaring van de intervallen.



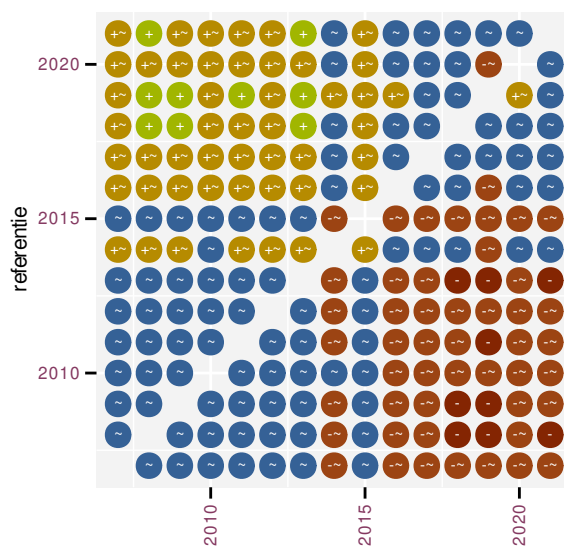
Figuur 93.3: Wijzigingen tussen jaren voor Turkse tortel. Zie §3.1 voor een verklaring van de intervallen en §3.2 voor uitleg over de symbolen en referentielijnen.



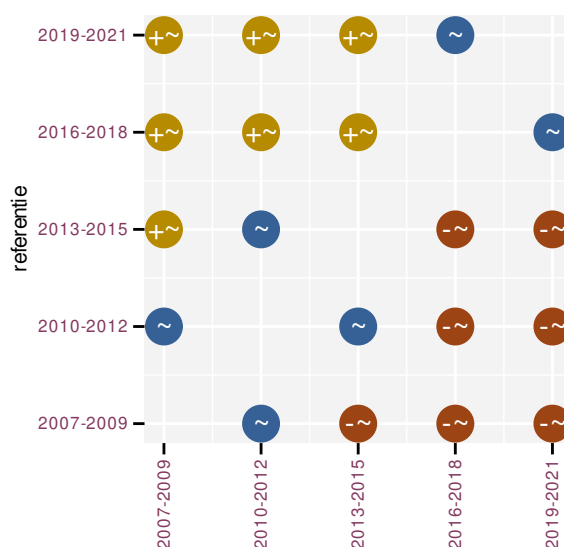
Figuur 93.4: Wijzigingen per driejarige cyclus voor Turkse tortel. Zie §3.1 voor een verklaring van de intervallen en §3.2 voor uitleg over de symbolen en referentielijnen.

Tabel 93.1: Stratumgewicht, raming aan het aantal hokken waarin de soort aanwezig is, aantal relevant hokken voor de analyse, aantal onderzochte hokken in het stratum, totaal aantal hokken van het stratum in Vlaanderen, aantal bezoeken aan een meetpunt en het gemiddeld aandeel relevante punten per hok voor Turkse tortel (zie §2.5).

stratum	gewicht	aanwezig	relevant	onderzocht	totaal	bezoeken	punten
Landbouw	87.2%	4516.3	307	429	6311	15729	77.5%
Urbaan	6.7%	349.1	73	87	416	4527	96.8%
Suburbaan	2.7%	141.9	48	68	201	2749	84.7%
Heide en duin	1.3%	67.7	32	94	199	1192	59.9%
Moeras en water	1.2%	59.9	35	80	137	1382	58.6%
Bos	0.9%	45.3	27	190	319	1105	54.9%



Figuur 93.5: Paarsgewijze vergelijking tussen jaren voor Turkse tortel. Uitleg van de symbolen in tabel 3.1.



Figuur 93.6: Paarsgewijze vergelijking tussen driejarige cycli voor Turkse tortel. Uitleg van de symbolen in tabel 3.1.

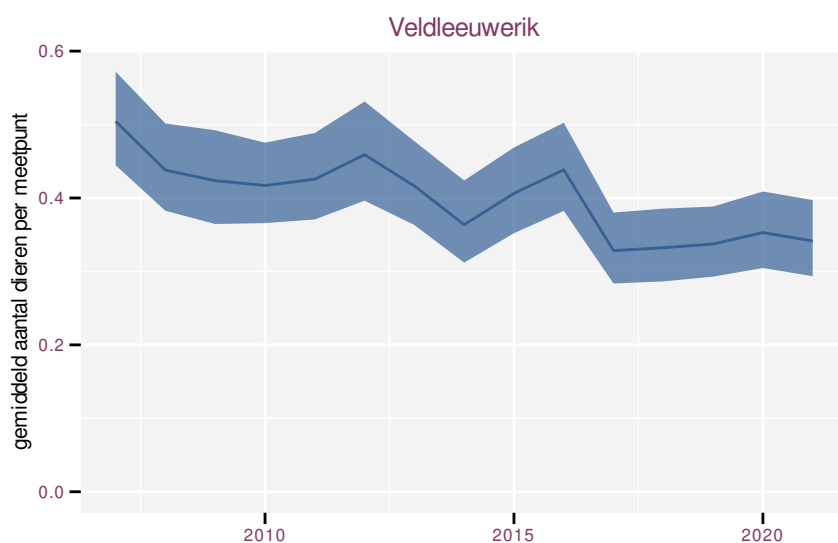
Tabel 93.2: Data-hashes van de analyses in het kader van traceerbaarheid (zie §4.3).

frequentie	model	analyse	status
jaarlijks	niet-lineair	f636b024cc78816ef716	8196eb1f753dfd22c1fb
		fc350a9139453e50db4	255c5ee86c58640e3679
jaarlijks	lineair	c1388ae559870af2b715	3d93a95e1c8550e5406e
		331f03178dfefb1978124	1e82eb299a6ccb247edd
driejaarlijks	niet-lineair	6f29e61fd40b3be18629	5c7e93efc55f444d2a89
		722f64ab8f181f03cc8a	a6c41352d46413100f0a
driejaarlijks	lineair	6ec513dc4caa1b3eef45	c55bedf59d0853915272
		47949195891a7986fa3f	f4be702a2ee2f9c1a664

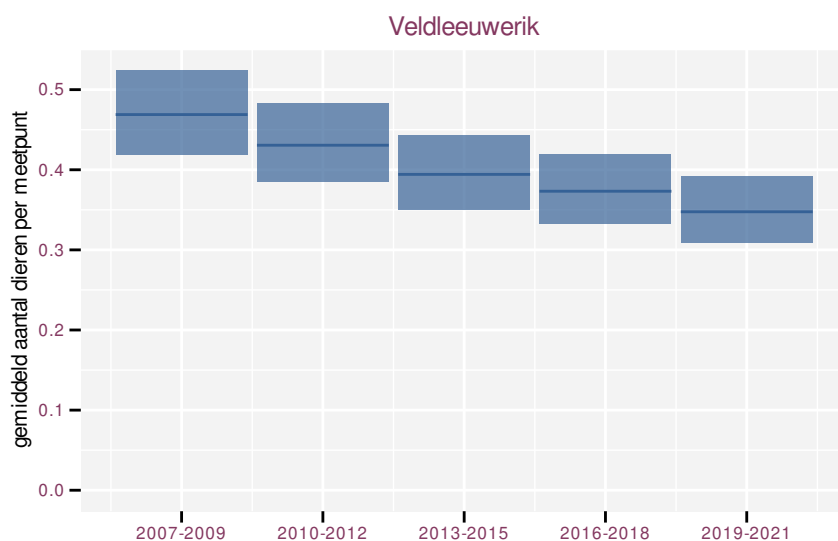
94 VELDLEEUWERIK

Op basis van jaarlijkse gegevens zien we gemiddeld sterke afname -2.6% (-3.2%; -2.1%) per jaar of -31% (-37%; -25%) over de volledige looptijd van het meetnet. Deze trend is niet-lineair.

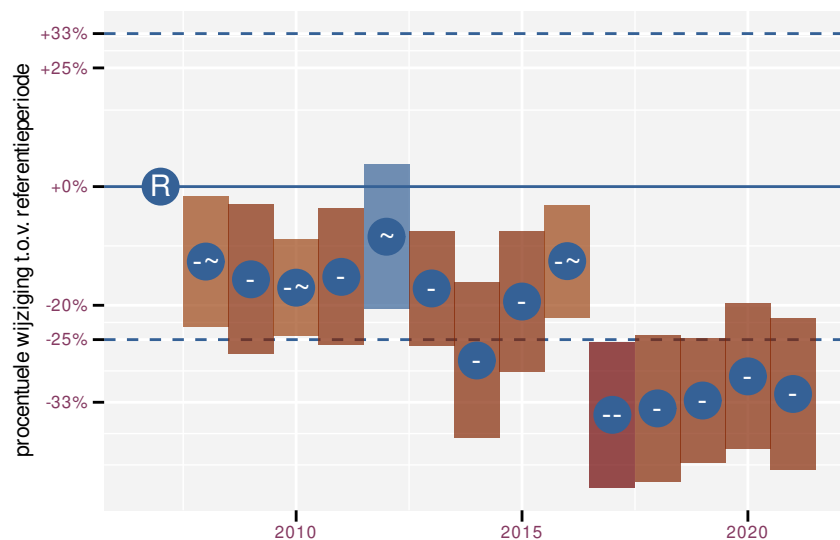
Op basis van driejaarlijkse gegevens zien we gemiddeld sterke afname -2.6% (-3.2%; -2.0%) per jaar of -31% (-37%; -25%) over de volledige looptijd van het meetnet. Deze trend is lineair.



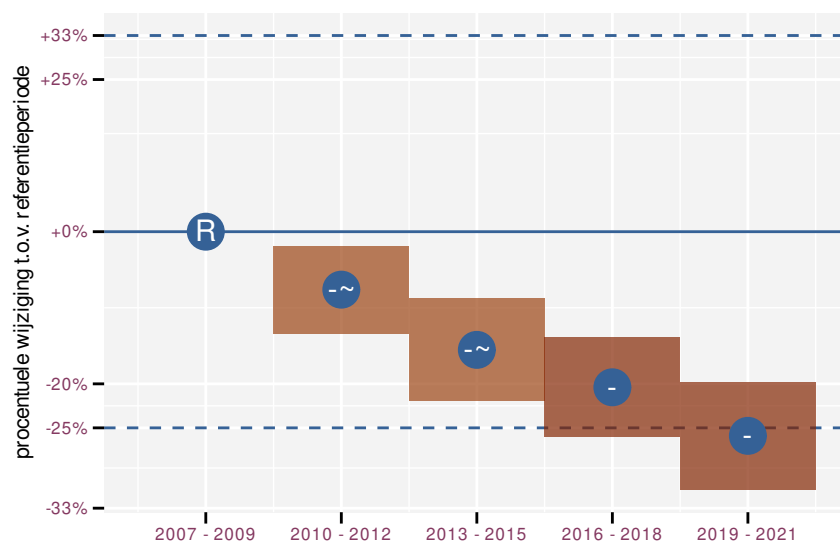
Figuur 94.1: Evolutie van het gemodelleerde gemiddeld aantal waargenomen dieren op een meetpunt voor Veldleeuwerik tijdens de referentieperiode. Zie §3.1 voor een verklaring van de intervallen.



Figuur 94.2: Evolutie van het gemodelleerde gemiddeld aantal waargenomen dieren op een meetpunt voor Veldleeuwerik tijdens de referentieperiode. Zie §3.1 voor een verklaring van de intervallen.



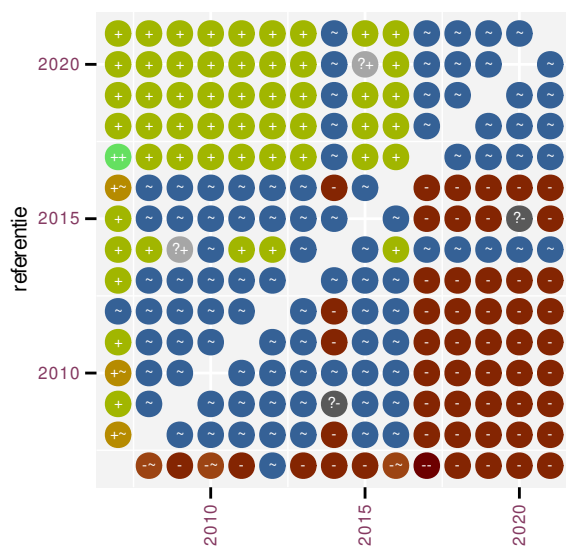
Figuur 94.3: Wijzigingen tussen jaren voor Veldleeuwerik. Zie §3.1 voor een verklaring van de intervallen en §3.2 voor uitleg over de symbolen en referentielijnen.



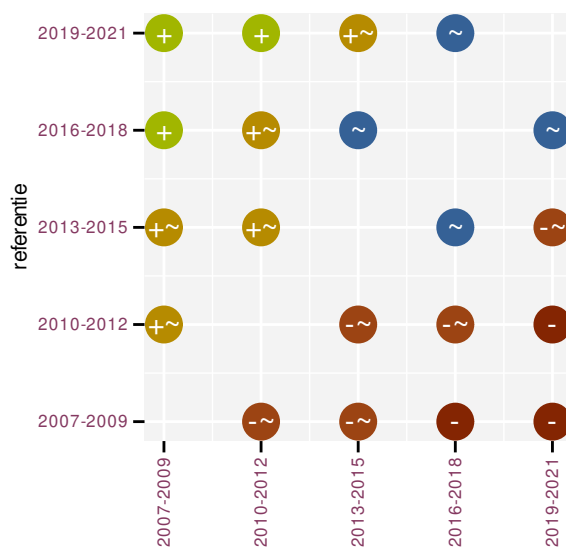
Figuur 94.4: Wijzigingen per driejarige cyclus voor Veldleeuwerik. Zie §3.1 voor een verklaring van de intervallen en §3.2 voor uitleg over de symbolen en referentielijnen.

Tabel 94.1: Stratumgewicht, raming aan het aantal hokken waarin de soort aanwezig is, aantal relevant hokken voor de analyse, aantal onderzochte hokken in het stratum, totaal aantal hokken van het stratum in Vlaanderen, aantal bezoeken aan een meetpunt en het gemiddeld aandeel relevante punten per hok voor Veldleeuwerik (zie §2.5).

stratum	gewicht	aanwezig	relevant	onderzocht	totaal	bezoeken	punten
Landbouw	95.9%	2368.5	161	429	6311	7768	70.8%
Heide en duin	2.5%	61.4	29	94	199	1200	64.9%
Moeras en water	0.7%	18.8	11	80	137	348	48.5%
Suburbaan	0.5%	14.8	5	68	201	104	63.3%
Bos	0.4%	11.8	7	190	319	244	40.5%



Figuur 94.5: Paarsgewijze vergelijking tussen jaren voor Veldleeuwerik. Uitleg van de symbolen in tabel 3.1.



Figuur 94.6: Paarsgewijze vergelijking tussen driejarige cycli voor Veldleeuwerik. Uitleg van de symbolen in tabel 3.1.

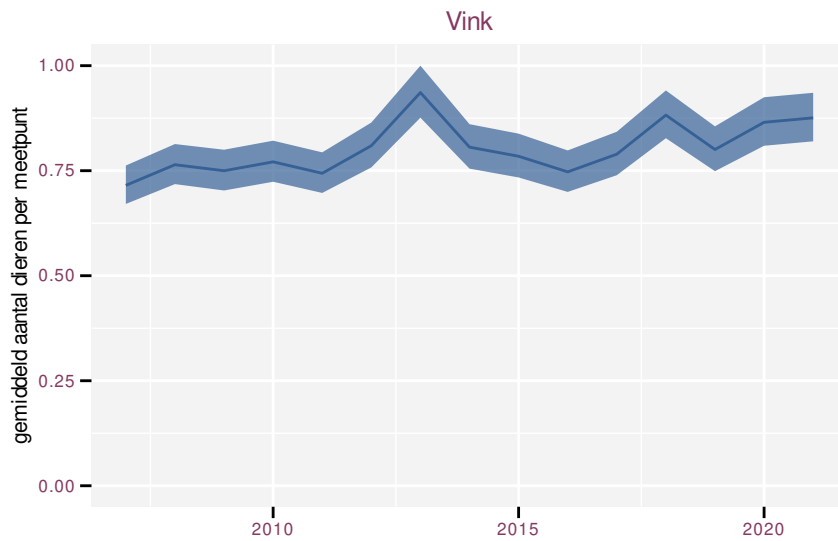
Tabel 94.2: Data-hashes van de analyses in het kader van traceerbaarheid (zie §4.3).

frequentie	model	analyse	status
jaarlijks	niet-lineair	4727102a50e92d0870c5 1b8c29d707ce214a91b1	70346b50b794a1a321d9 4e4e9382b4fbc5fce863
jaarlijks	lineair	5090f7aa1e1874ce51f4 f076e8fbf6545ab15aae	34402bc7c3f72c792345 1f6ae7e2683dc2b66d56
driejaarlijks	niet-lineair	6d43035a19760e9ea7dc ed2d867cc060fe3a0d84	1d30086995fbe18df9ad f231b049be249115f7c3
driejaarlijks	lineair	796283cf25f10a2779e7 6c8ff446245b173ce927	8bc565d357bf66e86419 3ceee109bc269472eaf0

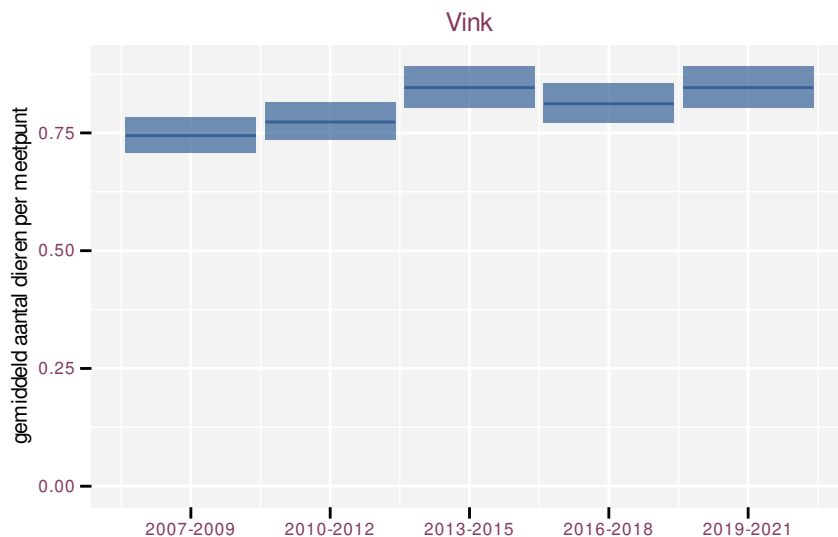
95 VINK

Op basis van jaarlijkse gegevens zien we gemiddeld matige toename +1.045% (+0.753%; +1.329%) per jaar of +15.7% (+11.1%; +20.3%) over de volledige looptijd van het meetnet. Deze trend is niet-lineair.

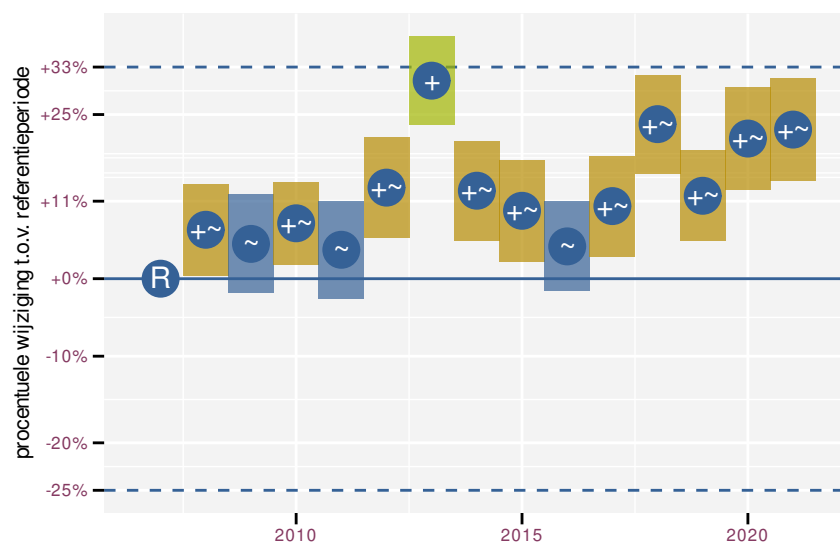
Op basis van driejaarlijkse gegevens zien we gemiddeld matige toename +1.029% (+0.739%; +1.319%) per jaar of +15.4% (+10.9%; +20.1%) over de volledige looptijd van het meetnet. Deze trend is niet-lineair.



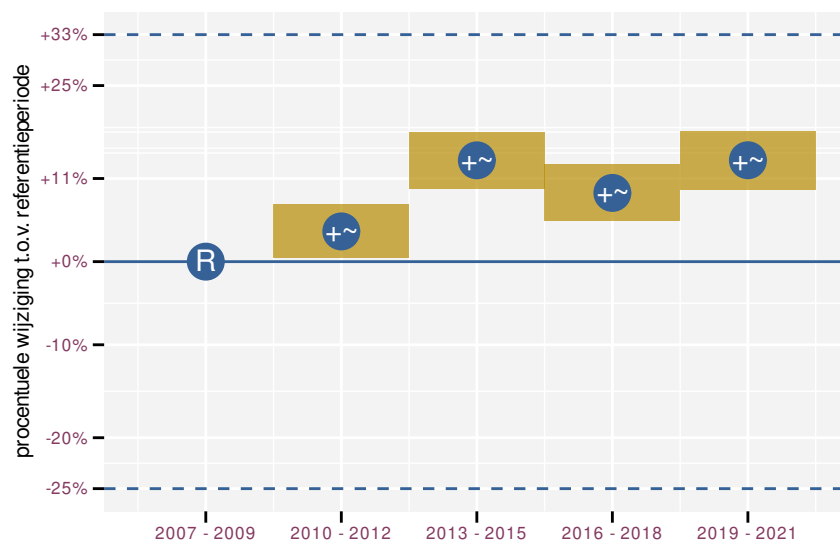
Figuur 95.1: Evolutie van het gemodelleerde gemiddeld aantal waargenomen dieren op een meetpunt voor Vink tijdens de referentieperiode. Zie §3.1 voor een verklaring van de intervallen.



Figuur 95.2: Evolutie van het gemodelleerde gemiddeld aantal waargenomen dieren op een meetpunt voor Vink tijdens de referentieperiode. Zie §3.1 voor een verklaring van de intervallen.



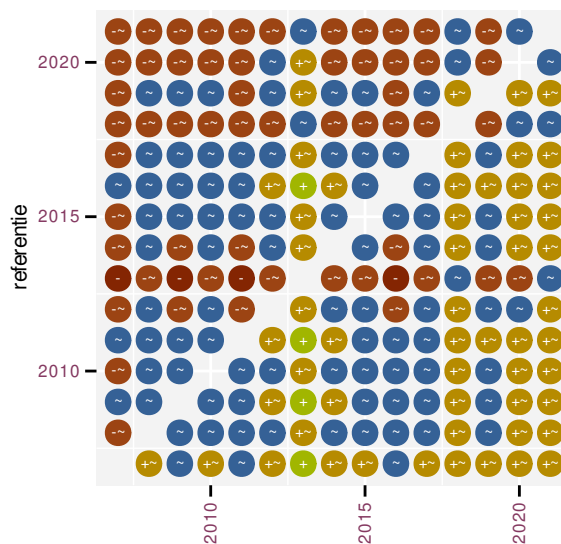
Figuur 95.3: Wijzigingen tussen jaren voor Vink. Zie §3.1 voor een verklaring van de intervallen en §3.2 voor uitleg over de symbolen en referentielijnen.



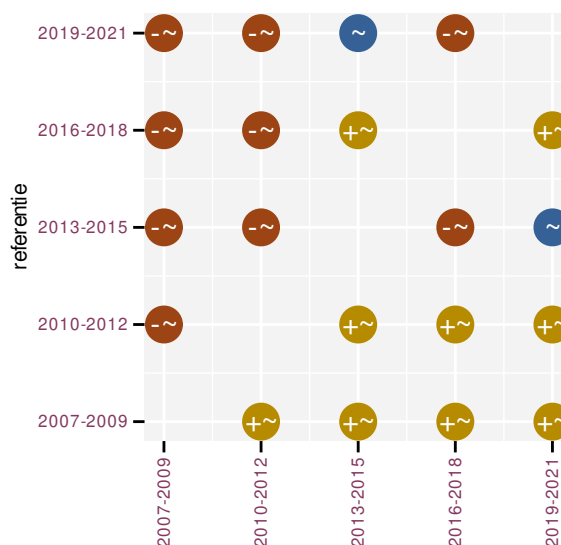
Figuur 95.4: Wijzigingen per driejarige cyclus voor Vink. Zie §3.1 voor een verklaring van de intervallen en §3.2 voor uitleg over de symbolen en referentielijnen.

Tabel 95.1: Stratumgewicht, raming aan het aantal hokken waarin de soort aanwezig is, aantal relevant hokken voor de analyse, aantal onderzochte hokken in het stratum, totaal aantal hokken van het stratum in Vlaanderen, aantal bezoeken aan een meetpunt en het gemiddeld aandeel relevante punten per hok voor Vink (zie §2.5).

stratum	gewicht	aanwezig	relevant	onderzocht	totaal	bezoeken	punten
Landbouw	83.2%	4648.7	316	429	6311	18805	90.6%
Urbaan	5.6%	310.8	65	87	416	3481	81.5%
Bos	4.4%	245.1	146	190	319	9299	99.4%
Heide en duin	2.7%	152.4	72	94	199	4493	93.3%
Suburbaan	2.4%	136.0	46	68	201	2497	87.3%
Moeras en water	1.7%	95.9	56	80	137	3146	86.3%



Figuur 95.5: Paarsgewijze vergelijking tussen jaren voor Vink. Uitleg van de symbolen in tabel 3.1.



Figuur 95.6: Paarsgewijze vergelijking tussen driejarige cycli voor Vink. Uitleg van de symbolen in tabel 3.1.

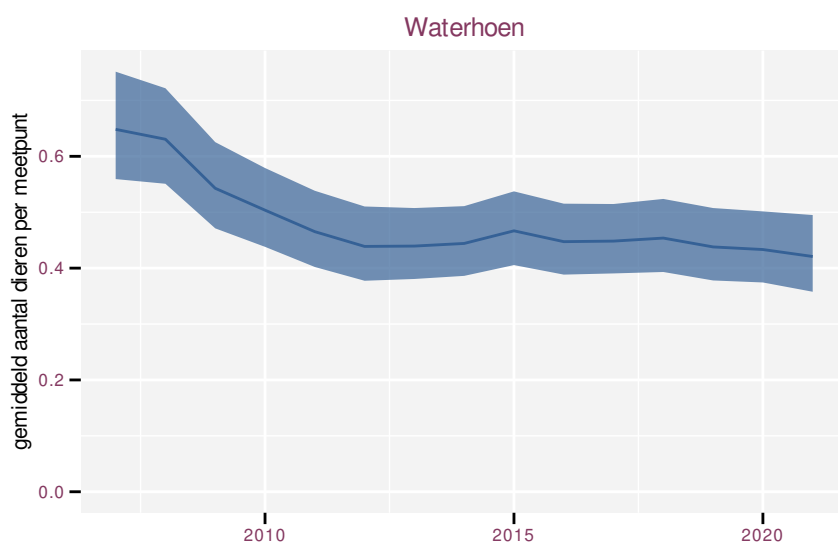
Tabel 95.2: Data-hashes van de analyses in het kader van traceerbaarheid (zie §4.3).

frequentie	model	analyse	status
jaarlijks	niet-lineair	d2d924ad265cf93eed4ae7e0d23b32be74f74bfa	85bfc62e0713fac7d1561104c2c34750906d106e
jaarlijks	lineair	ec0837575295e885faf14d2c0e28e57e6d199bd5	f0ec7a442e1333552fce49722494a22d77141df5
driejaarlijks	niet-lineair	493f653fc5e6f1297a8e8d4b6f56aadf4376b8b0	8efbc3a31a8f28daecad9d627c39795a0b0aa77b
driejaarlijks	lineair	91a9a7dbc2439f0ce8379a876c04e95bdfa4bd48	90cd95a8f01f8f08b34930067805a71ca9b117ef

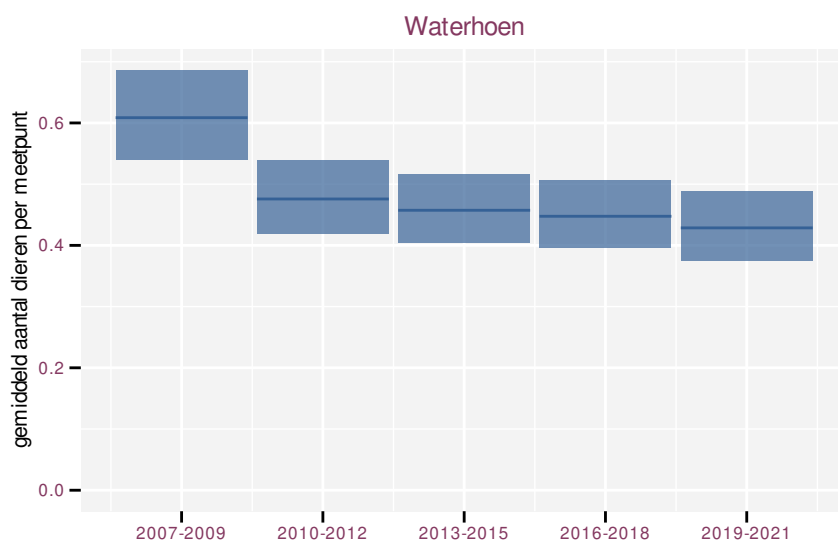
96 WATERHOEN

Op basis van jaarlijkse gegevens zien we gemiddeld sterke afname -3.0% (-3.9%; -2.1%) per jaar of -35% (-43%; -25%) over de volledige looptijd van het meetnet. Deze trend is niet-lineair.

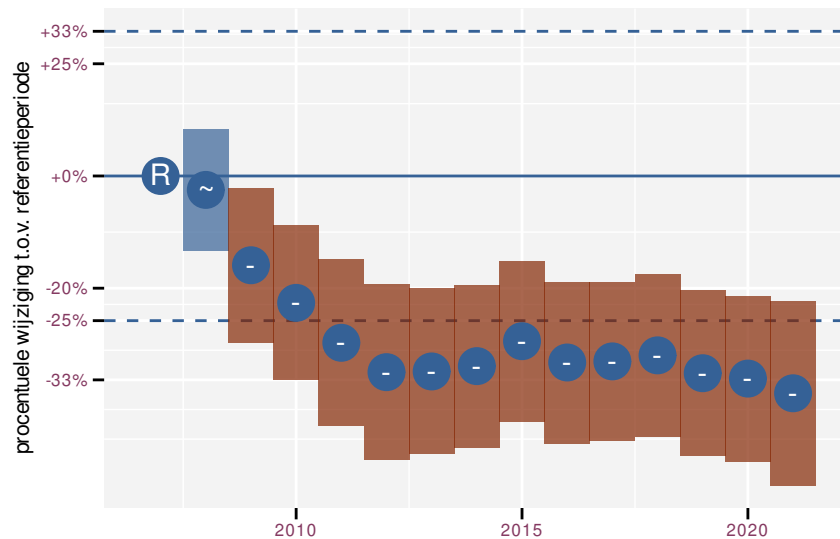
Op basis van driejaarlijkse gegevens zien we gemiddeld sterke afname -3.1% (-4.0%; -2.1%) per jaar of -35% (-43%; -26%) over de volledige looptijd van het meetnet. Deze trend is niet-lineair.



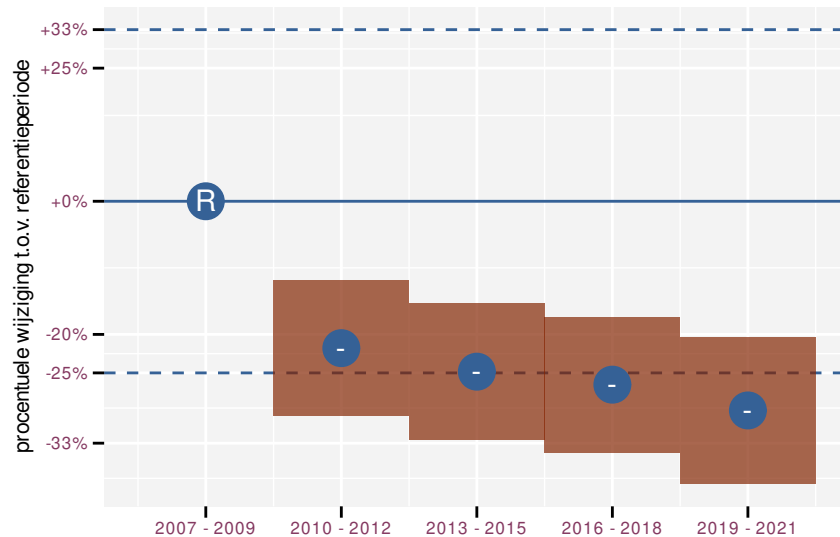
Figuur 96.1: Evolutie van het gemodelleerde gemiddeld aantal waargenomen dieren op een meetpunt voor Waterhoen tijdens de referentieperiode. Zie §3.1 voor een verklaring van de intervallen.



Figuur 96.2: Evolutie van het gemodelleerde gemiddeld aantal waargenomen dieren op een meetpunt voor Waterhoen tijdens de referentieperiode. Zie §3.1 voor een verklaring van de intervallen.



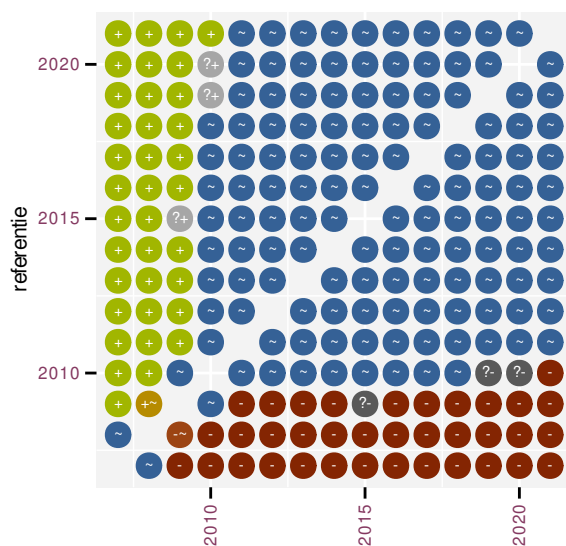
Figuur 96.3: Wijzigingen tussen jaren voor Waterhoen. Zie §3.1 voor een verklaring van de intervallen en §3.2 voor uitleg over de symbolen en referentielijnen.



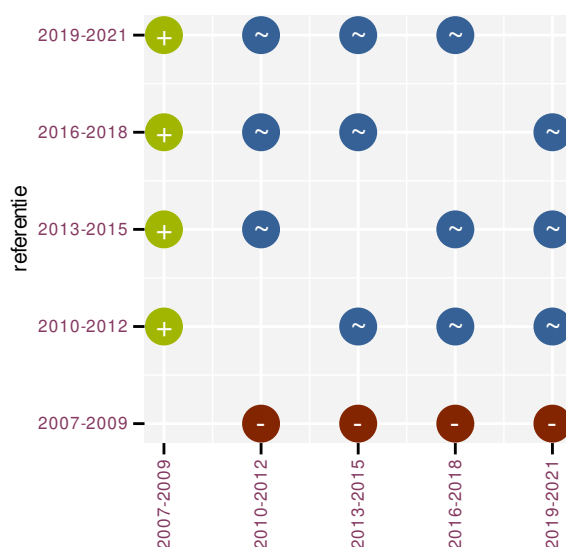
Figuur 96.4: Wijzigingen per driejarige cyclus voor Waterhoen. Zie §3.1 voor een verklaring van de intervallen en §3.2 voor uitleg over de symbolen en referentielijnen.

Tabel 96.1: Stratumgewicht, raming aan het aantal hokken waarin de soort aanwezig is, aantal relevant hokken voor de analyse, aantal onderzochte hokken in het stratum, totaal aantal hokken van het stratum in Vlaanderen, aantal bezoeken aan een meetpunt en het gemiddeld aandeel relevante punten per hok voor Waterhoen (zie §2.5).

stratum	gewicht	aanwezig	relevant	onderzocht	totaal	bezoeken	punten
Landbouw	90.2%	2044.8	139	429	6311	5033	50.2%
Urbaan	3.6%	81.3	17	87	416	354	28.4%
Moeras en water	2.3%	51.4	30	80	137	1215	56.7%
Suburbaan	1.7%	38.4	13	68	201	424	46.2%
Heide en duin	1.1%	27.5	13	94	199	371	42.3%
Bos	1.1%	25.2	15	190	319	465	37.8%



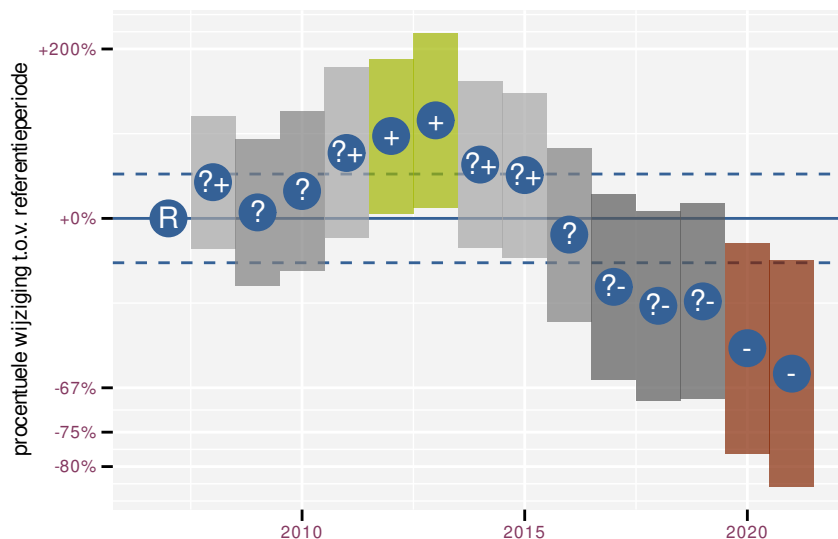
Figuur 96.5: Paarsgewijze vergelijking tussen jaren voor Waterhoen. Uitleg van de symbolen in tabel 3.1.



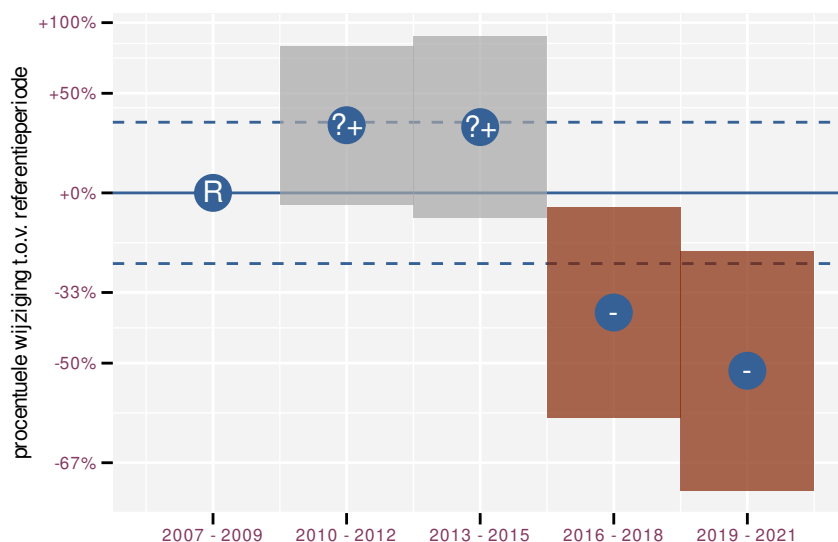
Figuur 96.6: Paarsgewijze vergelijking tussen driejarige cycli voor Waterhoen. Uitleg van de symbolen in tabel 3.1.

Tabel 96.2: Data-hashes van de analyses in het kader van traceerbaarheid (zie §4.3).

frequentie	model	analyse	status
jaarlijks	niet-lineair	90dcb8aa17531028e708 eb527b96be2f3625e5f5	931dfed5e2148077f961 c9a1cac914214f43e154
jaarlijks	lineair	7fe7b02d3cb3e2db3c58 5c316030c27d297f73c6	455725c858d2a192abbc fc9a880e19f0cfe5e6
driejaarlijks	niet-lineair	a80d3efa00b7d6d96cf2 b5d658d31e88af00054c	71b5e8bdd4b76666d4a1 48403d1b085617cbd69d
driejaarlijks	lineair	474179528588376bdbcf 080edd3c5a8b998480d6	d4b2b6e80ef2cfb37beb 20ef9a8fe972086a5887



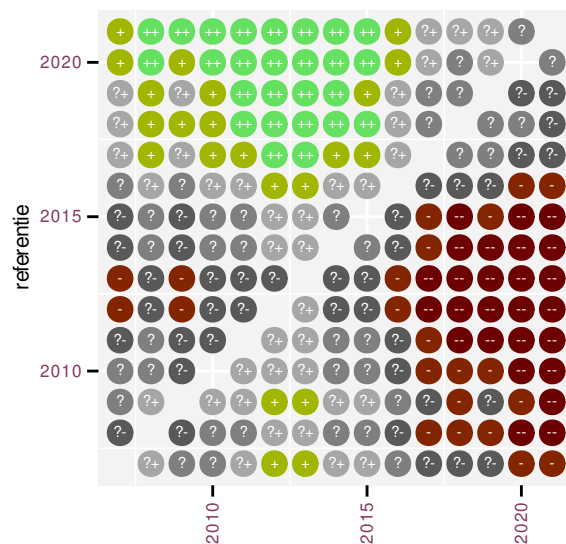
Figuur 97.3: Wijzigingen tussen jaren voor Wielawaal. Zie §3.1 voor een verklaring van de intervallen en §3.2 voor uitleg over de symbolen en referentielijnen.



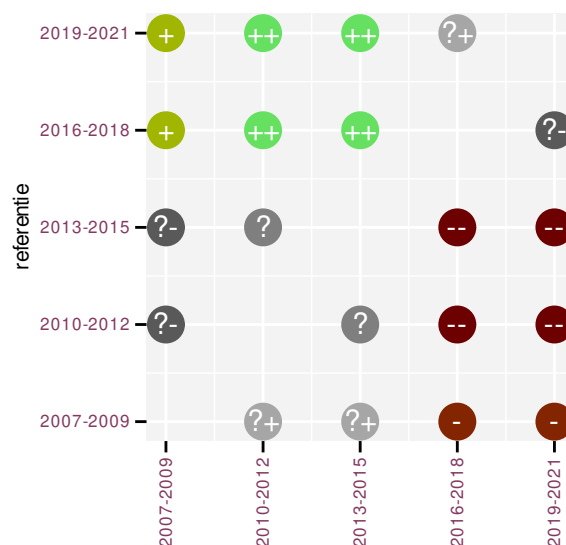
Figuur 97.4: Wijzigingen per driejarige cyclus voor Wielawaal. Zie §3.1 voor een verklaring van de intervallen en §3.2 voor uitleg over de symbolen en referentielijnen.

Tabel 97.1: Stratumgewicht, raming aan het aantal hokken waarin de soort aanwezig is, aantal relevant hokken voor de analyse, aantal onderzochte hokken in het stratum, totaal aantal hokken van het stratum in Vlaanderen, aantal bezoeken aan een meetpunt en het gemiddeld aandeel relevante punten per hok voor Wielawaal (zie §2.5).

stratum	gewicht	aanwezig	relevant	onderzocht	totaal	bezoeken	punten
Landbouw	85.6%	191.2	13	429	6311	396	64.1%
Moeras en water	6.1%	13.7	8	80	137	216	54.2%
Bos	4.5%	11.8	7	190	319	188	57.1%
Heide en duin	3.8%	10.6	5	94	199	107	46.7%



Figuur 97.5: Paarsgewijze vergelijking tussen jaren voor Wielewaal. Uitleg van de symbolen in tabel 3.1.



Figuur 97.6: Paarsgewijze vergelijking tussen driejarige cycli voor Wielewaal. Uitleg van de symbolen in tabel 3.1.

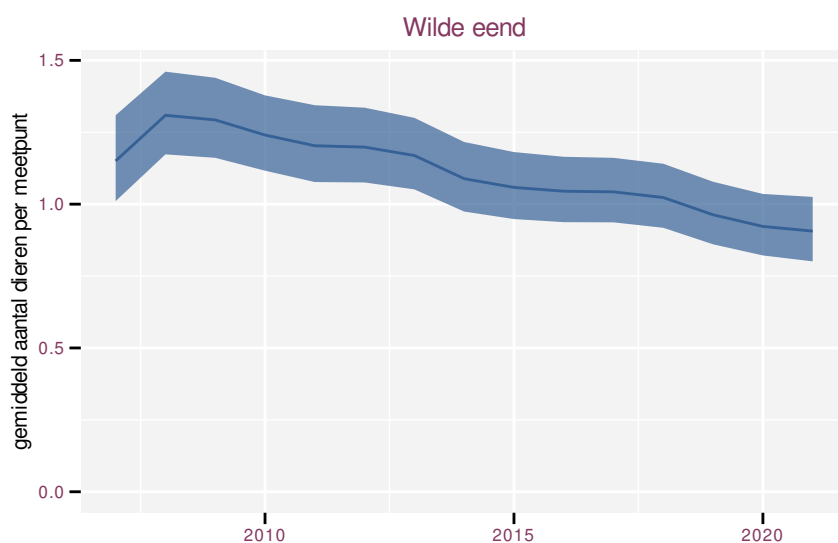
Tabel 97.2: Data-hashes van de analyses in het kader van traceerbaarheid (zie §4.3).

frequentie	model	analyse	status
jaarlijks	niet-lineair	e0f759e996347b44909d	447448451f707f0c8dd5
		2a01a2cc0902c0e62b62	e0db9857c30f65d77f56
jaarlijks	lineair	9bf025bba52f7244c8c7	11c3677474251cc3b73a
		4608cc944cdc36204715	df715f391639e321a35c
driejaarlijks	niet-lineair	cc997c314bfd32f675e8	41ba16870109887a3707
		2ee98f98a99e06c45421	807681405d87101db0f6
driejaarlijks	lineair	68276b930bf3ef0194ca	2a1964152e9f79759535
		daf0b6d33d6dc11971ff	633a2a2fb16d06b9fa74

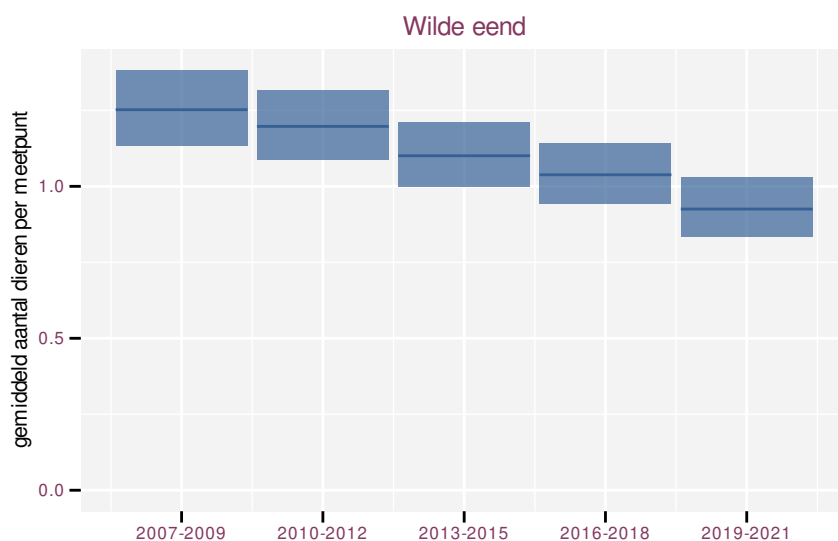
98 WILDE EEND

Op basis van jaarlijkse gegevens zien we gemiddeld sterke afname -2.7% (-3.4%; -2.1%) per jaar of -32% (-38%; -25%) over de volledige looptijd van het meetnet. Deze trend is niet-lineair.

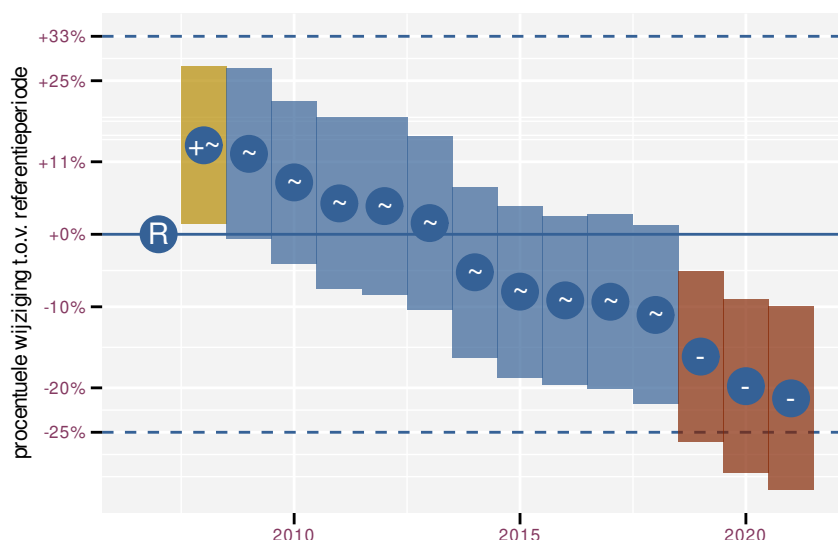
Op basis van driejaarlijkse gegevens zien we gemiddeld sterke afname -2.8% (-3.5%; -2.1%) per jaar of -33% (-39%; -26%) over de volledige looptijd van het meetnet. Deze trend is lineair.



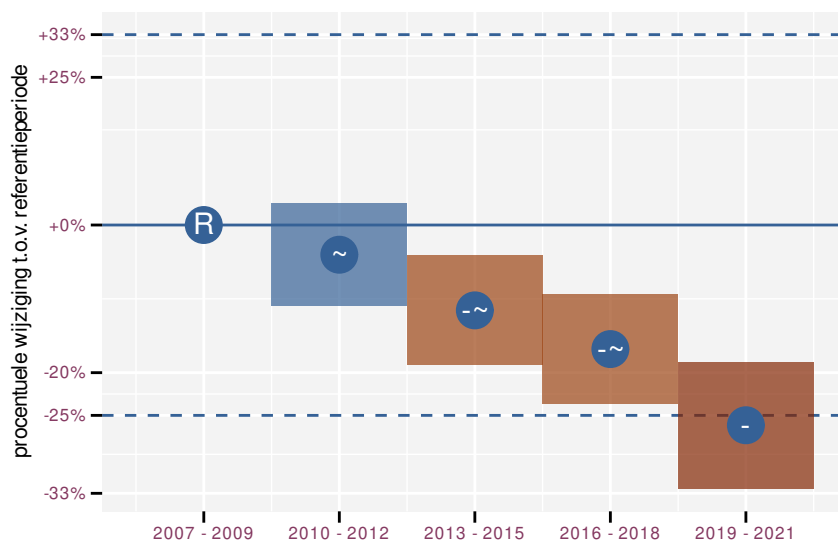
Figuur 98.1: Evolutie van het gemodelleerde gemiddeld aantal waargenomen dieren op een meetpunt voor Wilde eend tijdens de referentieperiode. Zie §3.1 voor een verklaring van de intervallen.



Figuur 98.2: Evolutie van het gemodelleerde gemiddeld aantal waargenomen dieren op een meetpunt voor Wilde eend tijdens de referentieperiode. Zie §3.1 voor een verklaring van de intervallen.



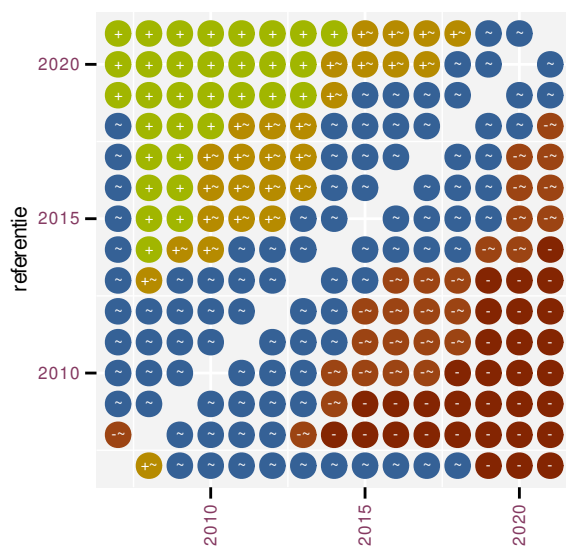
Figuur 98.3: Wijzigingen tussen jaren voor Wilde eend. Zie §3.1 voor een verklaring van de intervallen en §3.2 voor uitleg over de symbolen en referentielijnen.



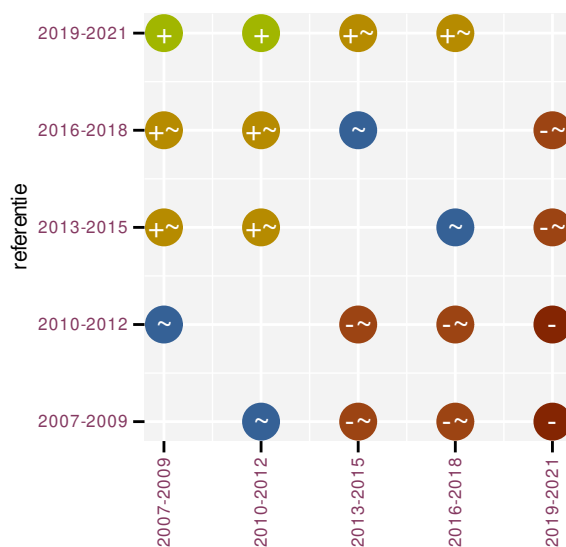
Figuur 98.4: Wijzigingen per driejarige cyclus voor Wilde eend. Zie §3.1 voor een verklaring van de intervallen en §3.2 voor uitleg over de symbolen en referentielijnen.

Tabel 98.1: Stratumgewicht, raming aan het aantal hokken waarin de soort aanwezig is, aantal relevant hokken voor de analyse, aantal onderzochte hokken in het stratum, totaal aantal hokken van het stratum in Vlaanderen, aantal bezoeken aan een meetpunt en het gemiddeld aandeel relevante punten per hok voor Wilde eend (zie §2.5).

stratum	gewicht	aanwezig	relevant	onderzocht	totaal	bezoeken	punten
Landbouw	89.3%	3913.1	266	429	6311	13350	71.9%
Urbaan	2.8%	124.3	26	87	416	794	42.9%
Heide en duin	2.3%	99.5	47	94	199	1934	57.4%
Moeras en water	2.2%	97.6	57	80	137	2887	78.9%
Suburbaan	1.8%	79.8	27	68	201	948	54.3%
Bos	1.5%	67.2	40	190	319	1664	51.7%



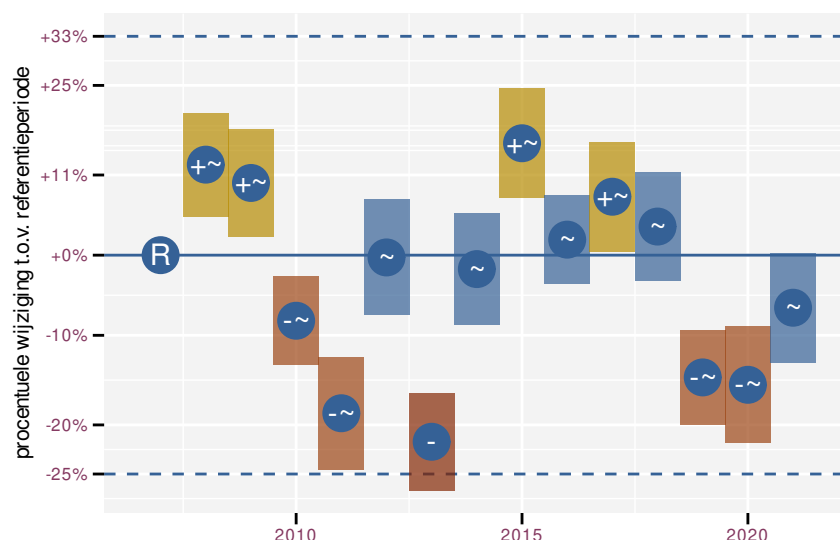
Figuur 98.5: Paarsgewijze vergelijking tussen jaren voor Wilde eend. Uitleg van de symbolen in tabel 3.1.



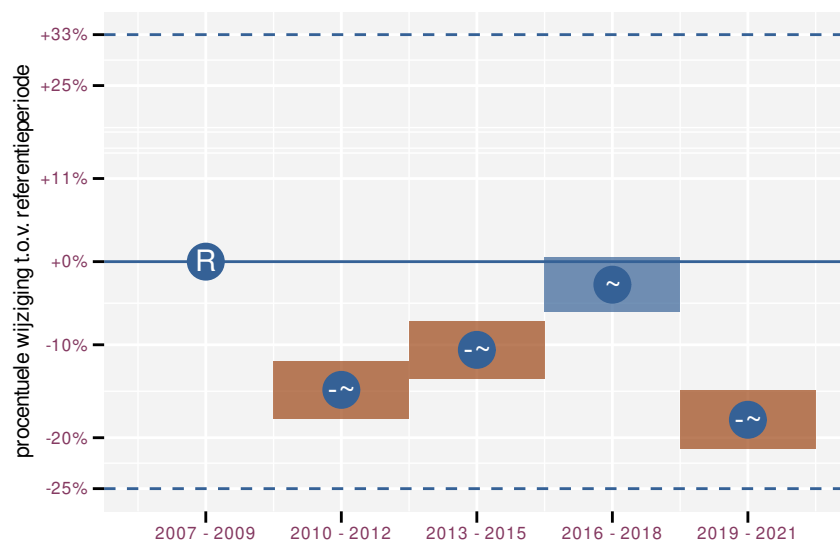
Figuur 98.6: Paarsgewijze vergelijking tussen driejarige cycli voor Wilde eend. Uitleg van de symbolen in tabel 3.1.

Tabel 98.2: Data-hashes van de analyses in het kader van traceerbaarheid (zie §4.3).

frequentie	model	analyse	status
jaarlijks	niet-lineair	336beae8942567dc5752	6f021eefdbf3794a711c
		f4202954b2c358eab4c1	736e52b325f39c712f86
jaarlijks	lineair	7de1b883adf8bb0b98c9	50049682e276b70e8230
		d7be42198f518f5dd23f	e85a324aa2aa43744047
driejaarlijks	niet-lineair	75562fc720ac82df7a61	65adffb3b36e9c2a3ebc
		394b7330444c7fa0bae0	34929a3b3689860e9ef8
driejaarlijks	lineair	21fc297f48e2712aa3d4	8d7d1b24387891a93bca
		68c48246eedb8cb16db2	de165670dff4ae0f02f



Figuur 99.3: Wijzigingen tussen jaren voor Winterkoning. Zie §3.1 voor een verklaring van de intervallen en §3.2 voor uitleg over de symbolen en referentielijnen.



Figuur 99.4: Wijzigingen per driejarige cyclus voor Winterkoning. Zie §3.1 voor een verklaring van de intervallen en §3.2 voor uitleg over de symbolen en referentielijnen.

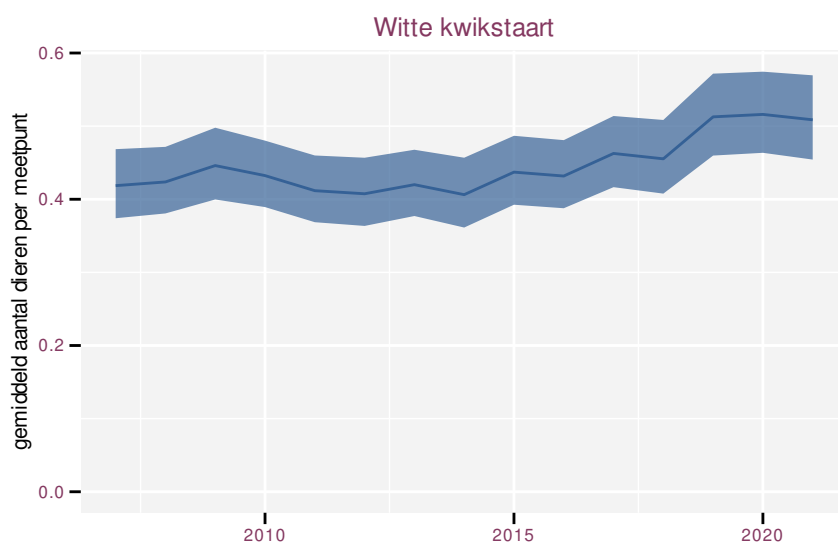
Tabel 99.1: Stratumgewicht, raming aan het aantal hokken waarin de soort aanwezig is, aantal relevant hokken voor de analyse, aantal onderzochte hokken in het stratum, totaal aantal hokken van het stratum in Vlaanderen, aantal bezoeken aan een meetpunt en het gemiddeld aandeel relevante punten per hok voor Winterkoning (zie §2.5).

stratum	gewicht	aanwezig	relevant	onderzocht	totaal	bezoeken	punten
Landbouw	83.0%	4751.6	323	429	6311	19303	90.8%
Urbaan	5.7%	325.1	68	87	416	3868	88.5%
Bos	4.2%	241.8	144	190	319	9118	97.1%
Suburbaan	2.8%	159.6	54	68	201	3045	88.6%
Heide en duin	2.6%	146.1	69	94	199	4095	87.4%
Moeras en water	1.8%	101.0	59	80	137	3395	88.4%

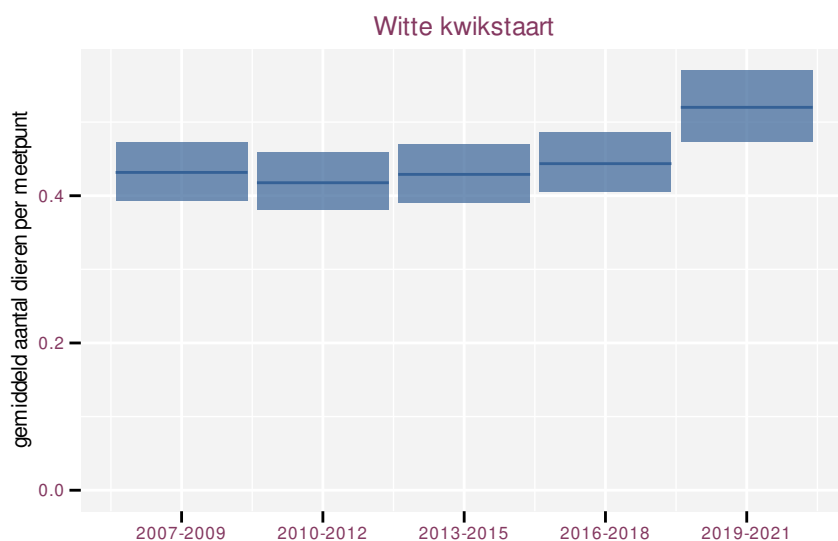
100 WITTE KWIKSTAART

Op basis van jaarlijkse gegevens zien we gemiddeld toename +1.5% (+0.8%; +2.3%) per jaar of +24% (+12%; +37%) over de volledige looptijd van het meetnet. Deze trend is niet-lineair.

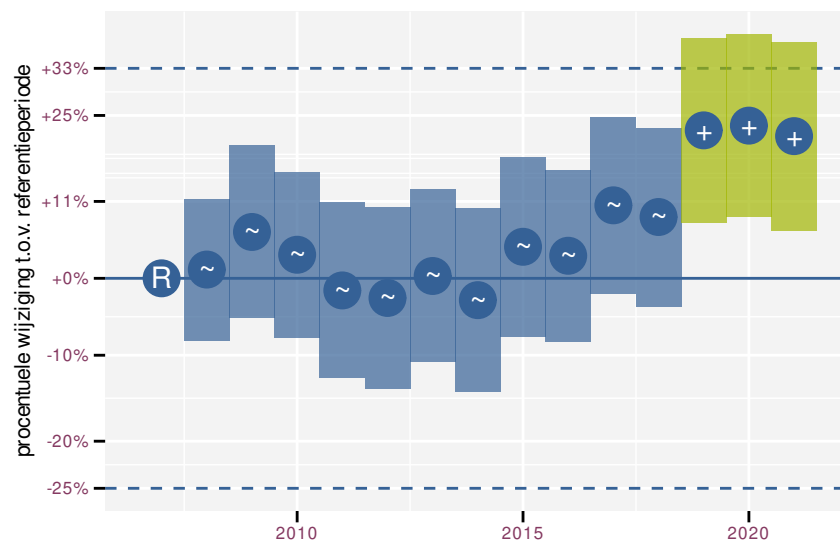
Op basis van driejaarlijkse gegevens zien we gemiddeld toename +1.6% (+0.9%; +2.3%) per jaar of +25% (+13%; +38%) over de volledige looptijd van het meetnet. Deze trend is niet-lineair.



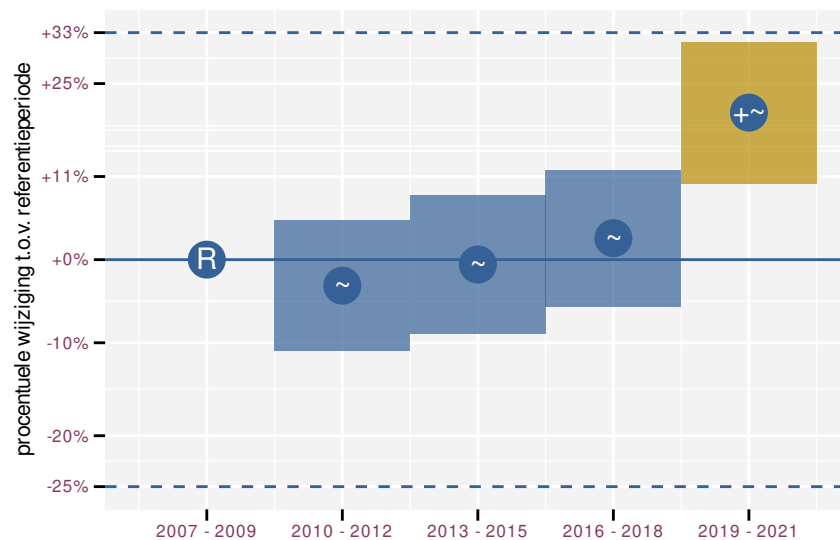
Figuur 100.1: Evolutie van het gemodelleerde gemiddeld aantal waargenomen dieren op een meetpunt voor Witte kwikstaart tijdens de referentieperiode. Zie §3.1 voor een verklaring van de intervallen.



Figuur 100.2: Evolutie van het gemodelleerde gemiddeld aantal waargenomen dieren op een meetpunt voor Witte kwikstaart tijdens de referentieperiode. Zie §3.1 voor een verklaring van de intervallen.



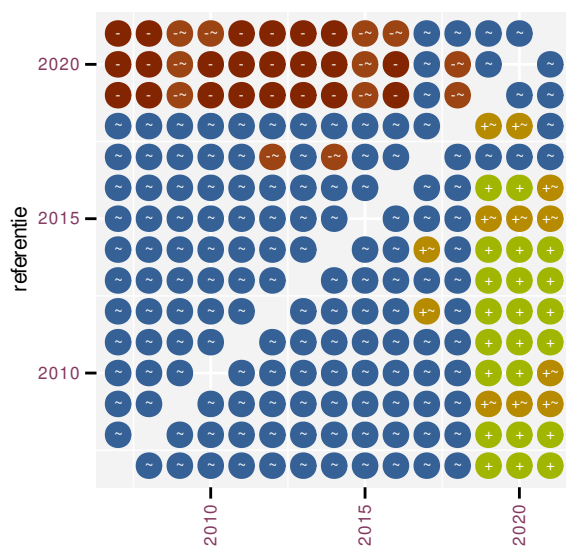
Figuur 100.3: Wijzigingen tussen jaren voor Witte kwikstaart. Zie §3.1 voor een verklaring van de intervallen en §3.2 voor uitleg over de symbolen en referentielijnen.



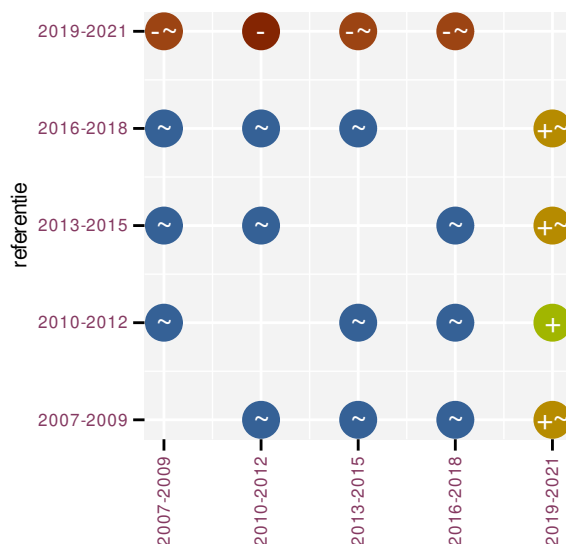
Figuur 100.4: Wijzigingen per driejarige cyclus voor Witte kwikstaart. Zie §3.1 voor een verklaring van de intervallen en §3.2 voor uitleg over de symbolen en referentielijnen.

Tabel 100.1: Stratumgewicht, raming aan het aantal hokken waarin de soort aanwezig is, aantal relevant hokken voor de analyse, aantal onderzochte hokken in het stratum, totaal aantal hokken van het stratum in Vlaanderen, aantal bezoeken aan een meetpunt en het gemiddeld aandeel relevante punten per hok voor Witte kwikstaart (zie §2.5).

stratum	gewicht	aanwezig	relevant	onderzocht	totaal	bezoeken	punten
Landbouw	92.8%	4001.4	272	429	6311	12907	67.5%
Suburbaan	2.0%	85.7	29	68	201	1126	58.0%
Urbaan	1.6%	66.9	14	87	416	546	47.6%
Heide en duin	1.4%	59.3	28	94	199	1166	56.5%
Moeras en water	1.3%	56.5	33	80	137	1320	57.1%
Bos	1.0%	43.7	26	190	319	799	39.1%



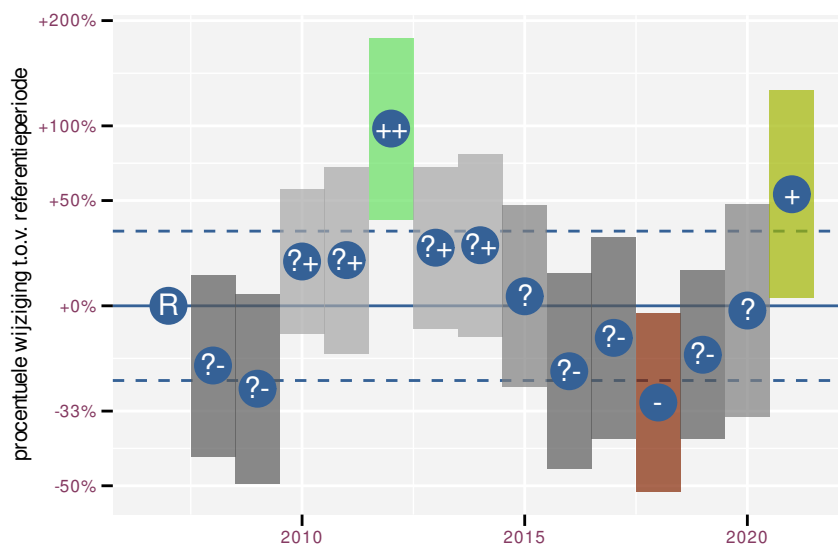
Figuur 100.5: Paarsgewijze vergelijking tussen jaren voor Witte kwikstaart. Uitleg van de symbolen in tabel 3.1.



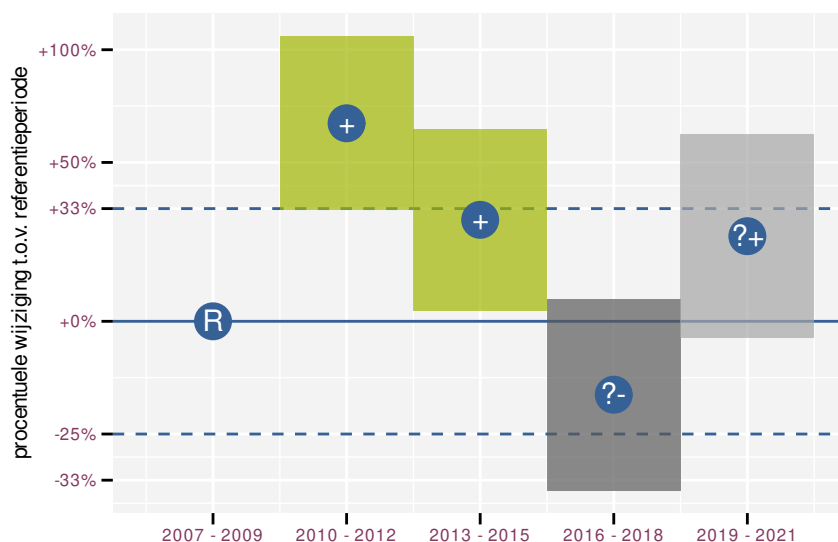
Figuur 100.6: Paarsgewijze vergelijking tussen driejarige cycli voor Witte kwikstaart. Uitleg van de symbolen in tabel 3.1.

Tabel 100.2: Data-hashes van de analyses in het kader van traceerbaarheid (zie §4.3).

frequentie	model	analyse	status
jaarlijks	niet-lineair	3d96004c74e99e9af823	793a5b02c5a998c0b64b
		786c54dbc2992d2f3b52	3b5c183eb2de8be3a46a
jaarlijks	lineair	bd54511f06bd115294c2	2bf7636bea2a910547c2
		5d8fe192b6f0076b250c	7b305d711403a6f8efa4
driejaarlijks	niet-lineair	5f7bb2c94257d2f6ad78	6982e600bfc2a1328d21
		ec756ee7a4311f4c5169	c337974ef8a744f10b16
driejaarlijks	lineair	64303cbc269963f55422	b679bcd344b4242f5514
		9ab468d08982f1f8b6a3	f3017368c9cd08a0359c



Figuur 101.3: Wijzigingen tussen jaren voor Wulp. Zie §3.1 voor een verklaring van de intervallen en §3.2 voor uitleg over de symbolen en referentielijnen.



Figuur 101.4: Wijzigingen per driejarige cyclus voor Wulp. Zie §3.1 voor een verklaring van de intervallen en §3.2 voor uitleg over de symbolen en referentielijnen.

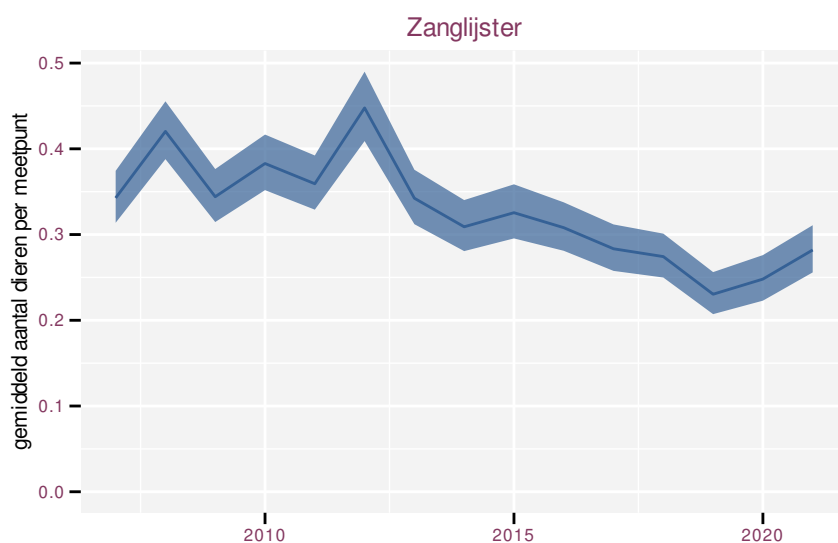
Tabel 101.1: Stratumgewicht, raming aan het aantal hokken waarin de soort aanwezig is, aantal relevant hokken voor de analyse, aantal onderzochte hokken in het stratum, totaal aantal hokken van het stratum in Vlaanderen, aantal bezoeken aan een meetpunt en het gemiddeld aandeel relevante punten per hok voor Wulp (zie §2.5).

stratum	gewicht	aanwezig	relevant	onderzocht	totaal	bezoeken	punten
Landbouw	88.7%	514.9	35	429	6311	1561	61.4%
Heide en duin	8.4%	48.7	23	94	199	1030	60.1%
Moeras en water	1.5%	10.3	6	80	137	203	50.0%
Bos	1.4%	10.1	6	190	319	157	50.0%

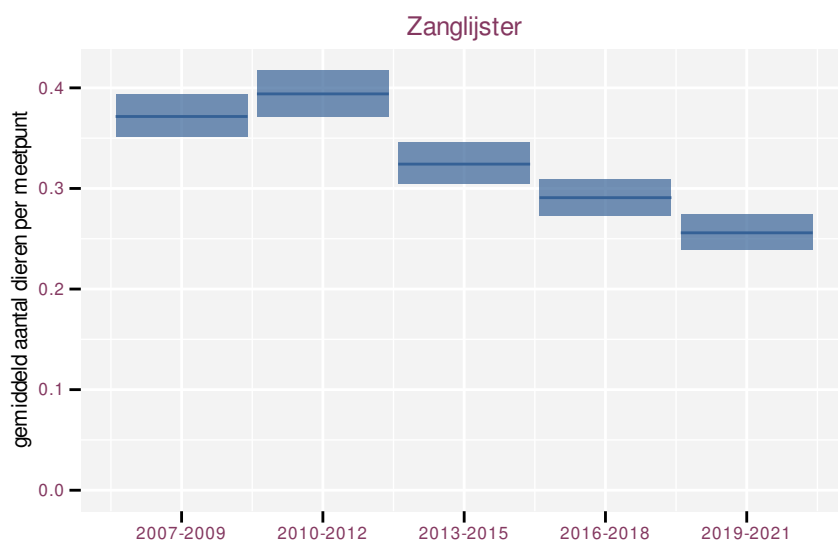
102 ZANGLIJSTER

Op basis van jaarlijkse gegevens zien we gemiddeld sterke afname -3.2% (-3.7%; -2.7%) per jaar of -36.7% (-41.3%; -31.9%) over de volledige looptijd van het meetnet. Deze trend is niet-lineair.

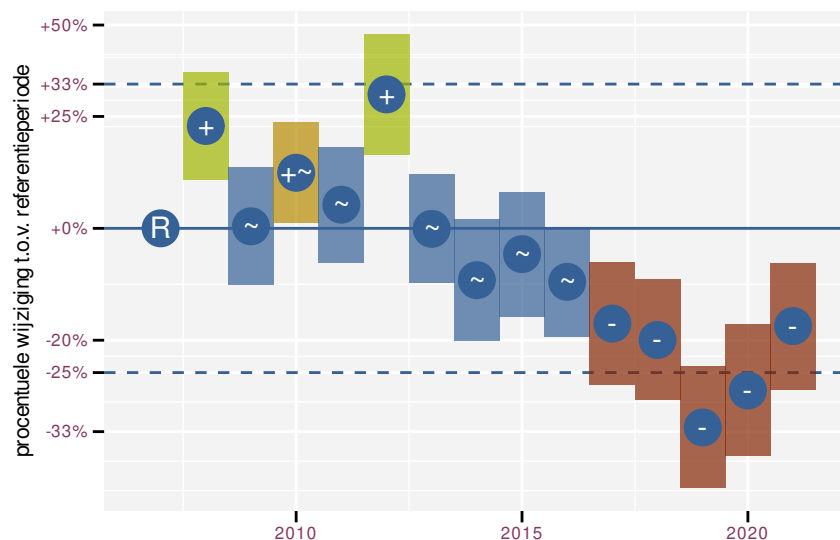
Op basis van driejaarlijkse gegevens zien we gemiddeld sterke afname -3.3% (-3.9%; -2.8%) per jaar of -37.9% (-42.4%; -33.0%) over de volledige looptijd van het meetnet. Deze trend is niet-lineair.



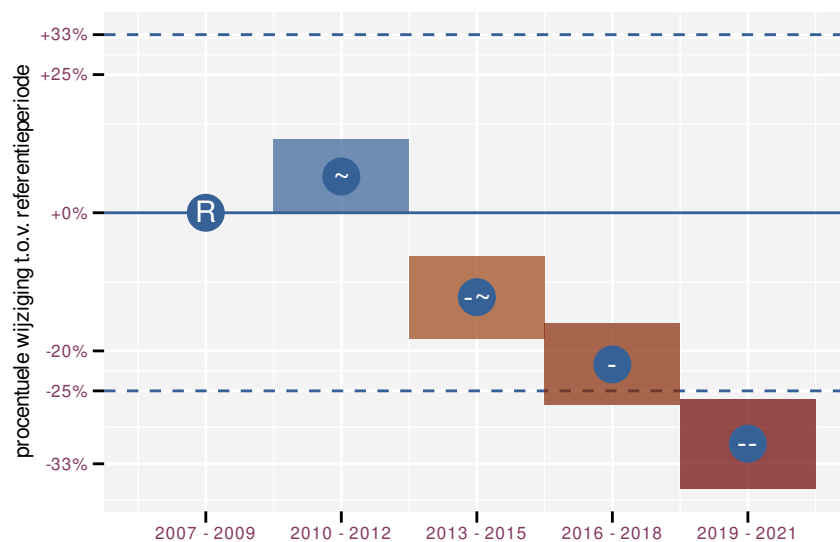
Figuur 102.1: Evolutie van het gemodelleerde gemiddeld aantal waargenomen dieren op een meetpunt voor Zanglijster tijdens de referentieperiode. Zie §3.1 voor een verklaring van de intervallen.



Figuur 102.2: Evolutie van het gemodelleerde gemiddeld aantal waargenomen dieren op een meetpunt voor Zanglijster tijdens de referentieperiode. Zie §3.1 voor een verklaring van de intervallen.



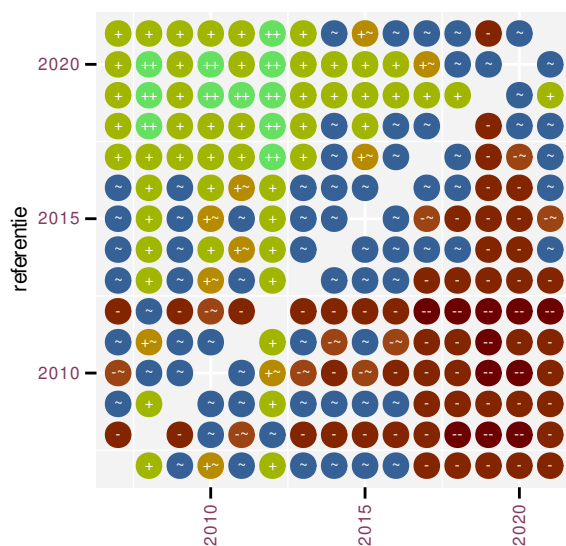
Figuur 102.3: Wijzigingen tussen jaren voor Zanglijster. Zie §3.1 voor een verklaring van de intervallen en §3.2 voor uitleg over de symbolen en referentielijnen.



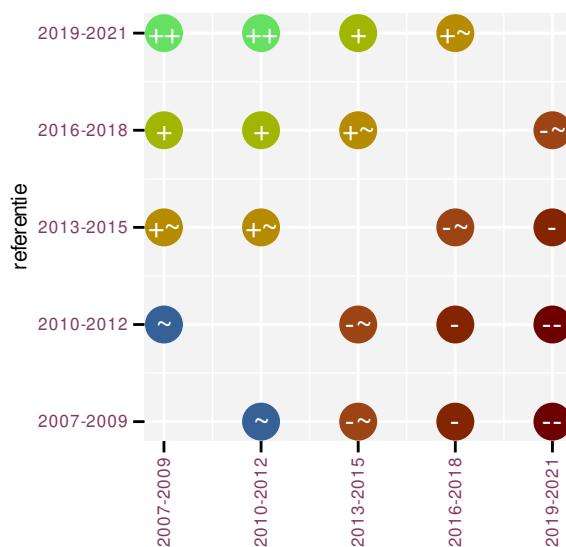
Figuur 102.4: Wijzigingen per driejarige cyclus voor Zanglijster. Zie §3.1 voor een verklaring van de intervallen en §3.2 voor uitleg over de symbolen en referentielijnen.

Tabel 102.1: Stratumgewicht, raming aan het aantal hokken waarin de soort aanwezig is, aantal relevant hokken voor de analyse, aantal onderzochte hokken in het stratum, totaal aantal hokken van het stratum in Vlaanderen, aantal bezoeken aan een meetpunt en het gemiddeld aandeel relevante punten per hok voor Zanglijster (zie §2.5).

stratum	gewicht	aanwezig	relevant	onderzocht	totaal	bezoeken	punten
Landbouw	83.0%	4045.5	275	429	6311	14372	76.1%
Urbaan	5.4%	263.0	55	87	416	2761	73.0%
Bos	4.7%	228.3	136	190	319	7970	85.4%
Heide en duin	2.6%	129.1	61	94	199	3423	78.1%
Suburbaan	2.5%	121.2	41	68	201	2249	78.5%
Moeras en water	1.8%	89.0	52	80	137	2778	78.2%



Figuur 102.5: Paarsgewijze vergelijking tussen jaren voor Zanglijster. Uitleg van de symbolen in tabel 3.1.



Figuur 102.6: Paarsgewijze vergelijking tussen driejarige cycli voor Zanglijster. Uitleg van de symbolen in tabel 3.1.

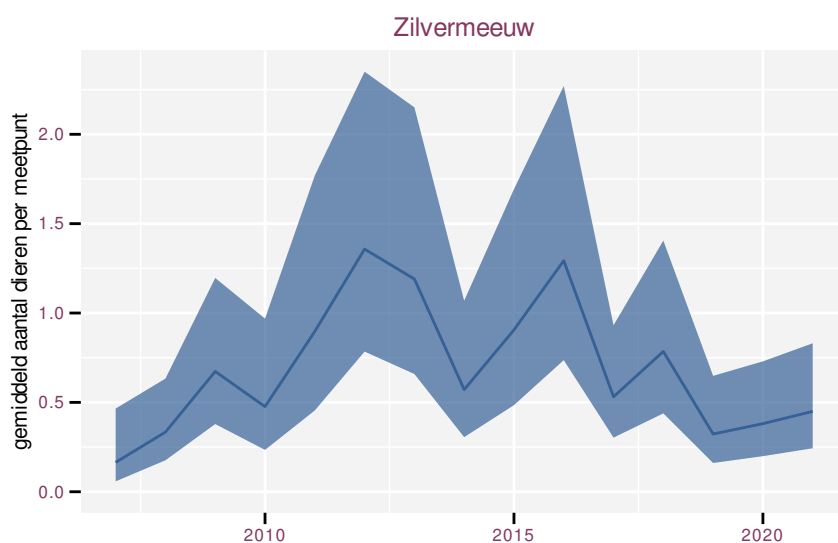
Tabel 102.2: Data-hashes van de analyses in het kader van traceerbaarheid (zie §4.3).

frequentie	model	analyse	status
jaarlijks	niet-lineair	fd14479022a754ed0f16e0966f0927ff9d4946d6	c3e6f1008b1c519b7e067776238e0f3511604f4b
jaarlijks	lineair	466553c085b5de0b59d0b8133598afce0fa0c046	dd9b46a07de1169a0ff9b8a63e7f1f0aa55aaa66
driejaarlijks	niet-lineair	1f63ca4697fac4060f446fb6b510fa88607a0a74	8c6738c8bdc4120fd056159c84e89b7e4aeb76bf
driejaarlijks	lineair	c8e58f02e29db04956a603b990db7274503f8668	96eb774ab36646453a6606dddb12f14b7ab931f5

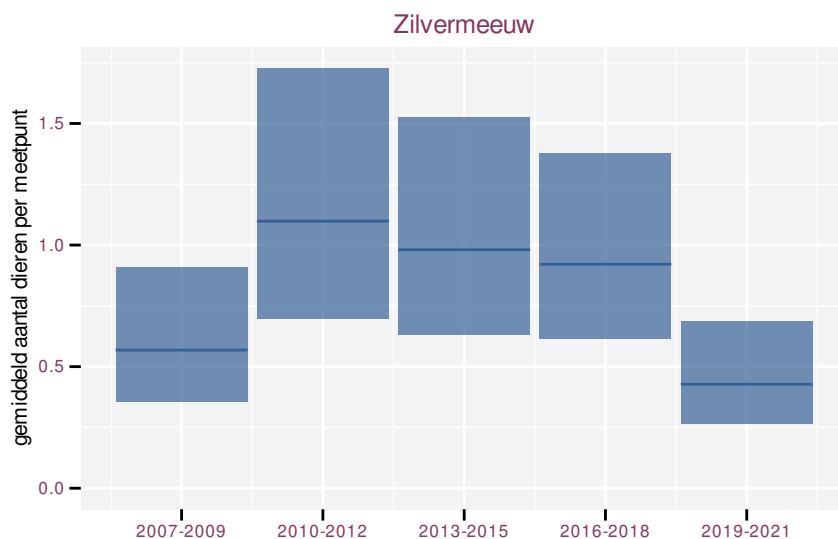
103 ZILVERMEEUW

Op basis van jaarlijkse gegevens zien we gemiddeld mogelijke afname -3.3% (-7.0%; +0.4%) per jaar of -38% (-64%; +6%) over de volledige looptijd van het meetnet. Deze trend is niet-lineair.

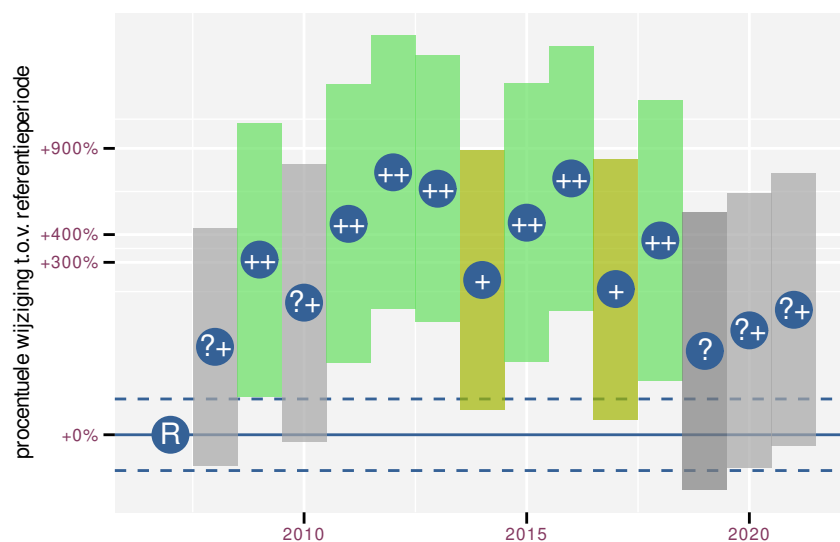
Op basis van driejaarlijkse gegevens zien we gemiddeld afname -3.9% (-7.5%; -0.1%) per jaar of -43% (-66%; -2%) over de volledige looptijd van het meetnet. Deze trend is niet-lineair.



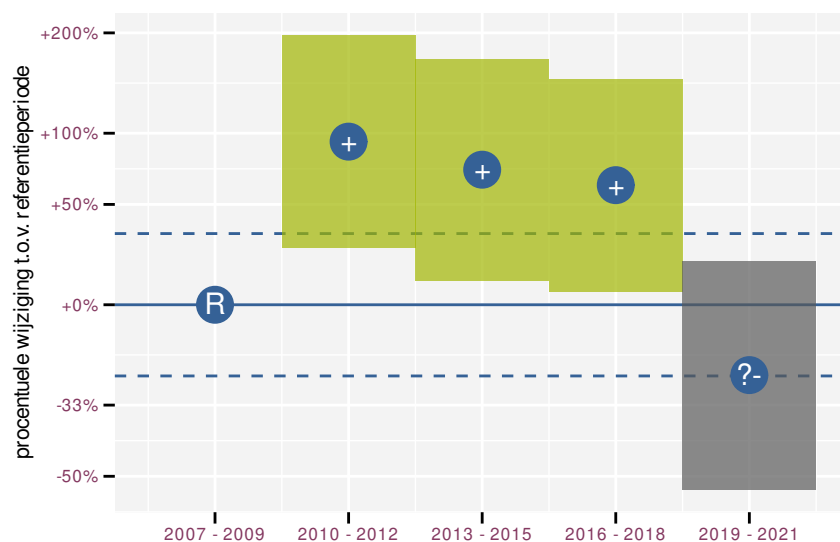
Figuur 103.1: Evolutie van het gemodelleerde gemiddeld aantal waargenomen dieren op een meetpunt voor Zilvermeeuw tijdens de referentieperiode. Zie §3.1 voor een verklaring van de intervallen.



Figuur 103.2: Evolutie van het gemodelleerde gemiddeld aantal waargenomen dieren op een meetpunt voor Zilvermeeuw tijdens de referentieperiode. Zie §3.1 voor een verklaring van de intervallen.



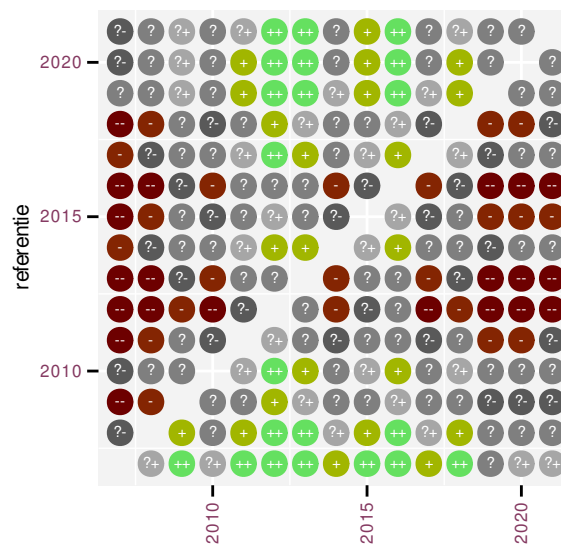
Figuur 103.3: Wijzigingen tussen jaren voor Zilvermeeuw. Zie §3.1 voor een verklaring van de intervallen en §3.2 voor uitleg over de symbolen en referentielijnen.



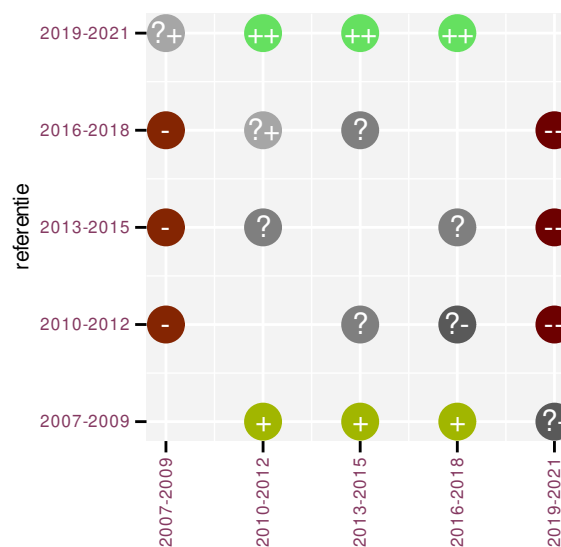
Figuur 103.4: Wijzigingen per driejarige cyclus voor Zilvermeeuw. Zie §3.1 voor een verklaring van de intervallen en §3.2 voor uitleg over de symbolen en referentielijnen.

Tabel 103.1: Stratumgewicht, raming aan het aantal hokken waarin de soort aanwezig is, aantal relevant hokken voor de analyse, aantal onderzochte hokken in het stratum, totaal aantal hokken van het stratum in Vlaanderen, aantal bezoeken aan een meetpunt en het gemiddeld aandeel relevante punten per hok voor Zilvermeeuw (zie §2.5).

stratum	gewicht	aanwezig	relevant	onderzocht	totaal	bezoeken	punten
Landbouw	83.1%	235.4	16	429	6311	810	75.0%
Moeras en water	5.4%	15.4	9	80	137	445	74.1%
Urbaan	5.1%	19.1	4	87	416	157	62.5%
Suburbaan	4.2%	14.8	5	68	201	272	63.3%
Heide en duin	2.2%	8.5	4	94	199	161	58.3%



Figuur 103.5: Paarsgewijze vergelijking tussen jaren voor Zilvermeeuw. Uitleg van de symbolen in tabel 3.1.



Figuur 103.6: Paarsgewijze vergelijking tussen driejarige cycli voor Zilvermeeuw. Uitleg van de symbolen in tabel 3.1.

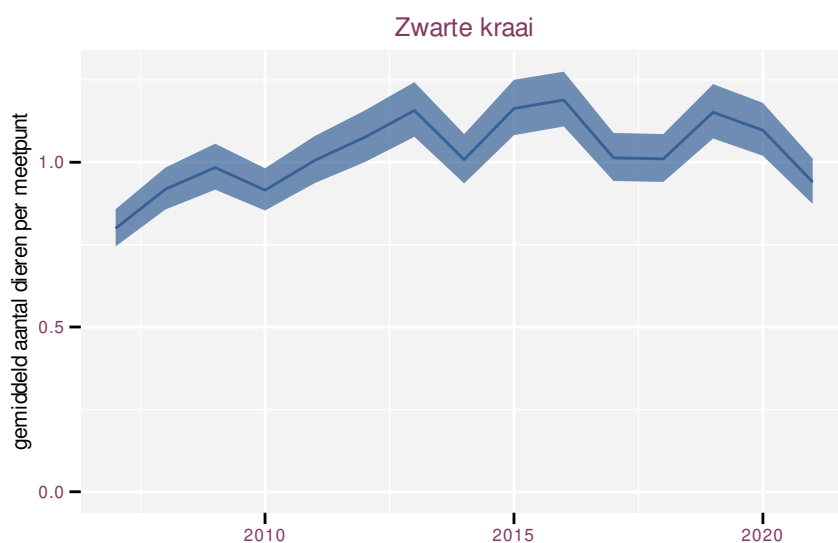
Tabel 103.2: Data-hashes van de analyses in het kader van traceerbaarheid (zie §4.3).

frequentie	model	analyse	status
jaarlijks	niet-lineair	01e773e3850b12276369 09de051586a9f24ac788	1e8b84b5929161aeabac a5546bcf540f0ea97398
jaarlijks	lineair	21e98d0d64d4b1859916 49c5d50171b3eba4523e	502cb89a736798bd2be9 33775f89058d6cb9cc44
driejaarlijks	niet-lineair	4169434c467644a40ba1 7175f4cdb777e2f0c95d	8f1517dff7fde0b48203 f61a7791c3b00c89170d
driejaarlijks	lineair	2f07377878fa0944c512 fd2e96f58bc3ca5feacb	3cdf7e1fcf44ea5d4751 8652de6494c1aa29ea86

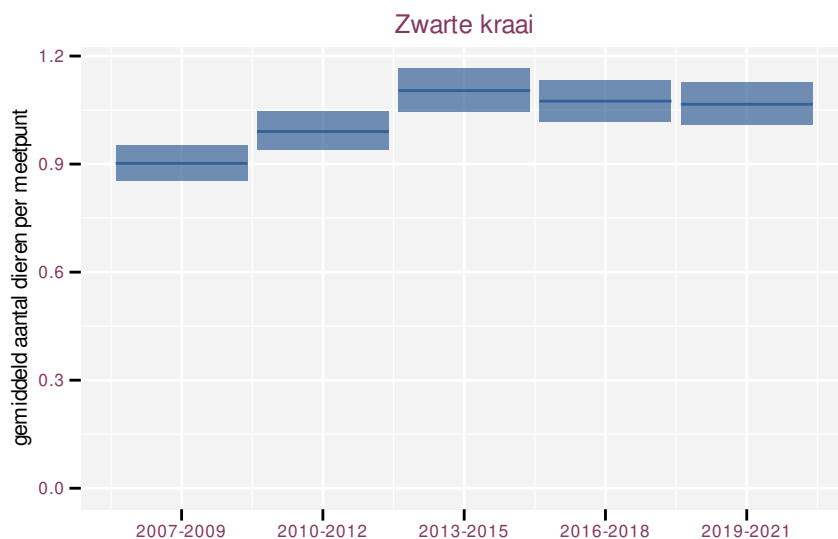
104 ZWARTE KRAAI

Op basis van jaarlijkse gegevens zien we gemiddeld matige toename +1.491% (+1.147%; +1.826%) per jaar of +23% (+17%; +29%) over de volledige looptijd van het meetnet. Deze trend is niet-lineair.

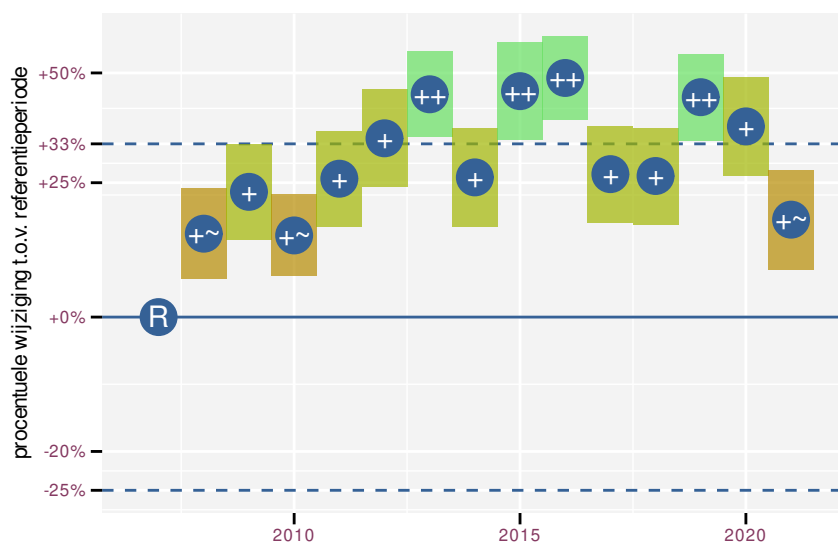
Op basis van driejaarlijkse gegevens zien we gemiddeld matige toename +1.515% (+1.173%; +1.857%) per jaar of +23% (+18%; +29%) over de volledige looptijd van het meetnet. Deze trend is niet-lineair.



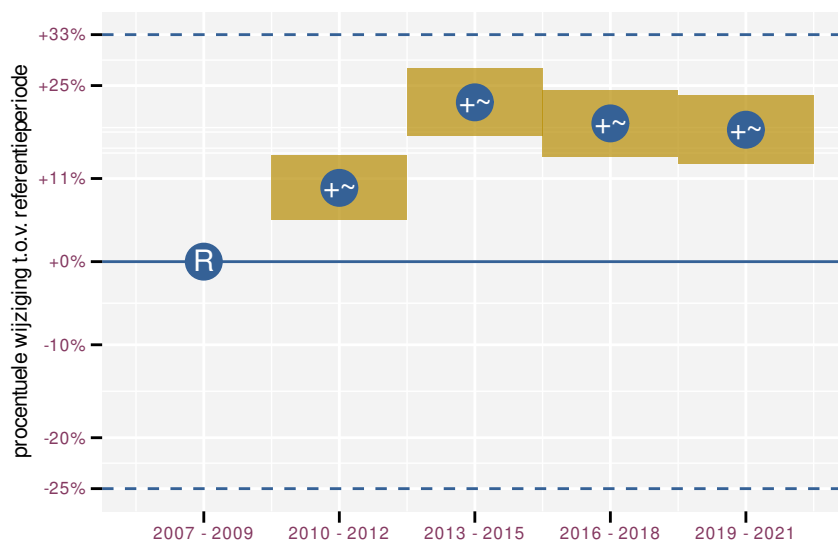
Figuur 104.1: Evolutie van het gemodelleerde gemiddeld aantal waargenomen dieren op een meetpunt voor Zwarte kraai tijdens de referentieperiode. Zie §3.1 voor een verklaring van de intervallen.



Figuur 104.2: Evolutie van het gemodelleerde gemiddeld aantal waargenomen dieren op een meetpunt voor Zwarte kraai tijdens de referentieperiode. Zie §3.1 voor een verklaring van de intervallen.



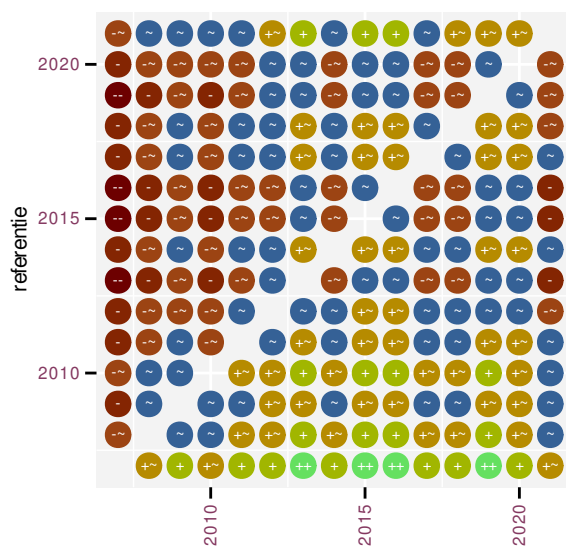
Figuur 104.3: Wijzigingen tussen jaren voor Zwarte kraai. Zie §3.1 voor een verklaring van de intervallen en §3.2 voor uitleg over de symbolen en referentielijnen.



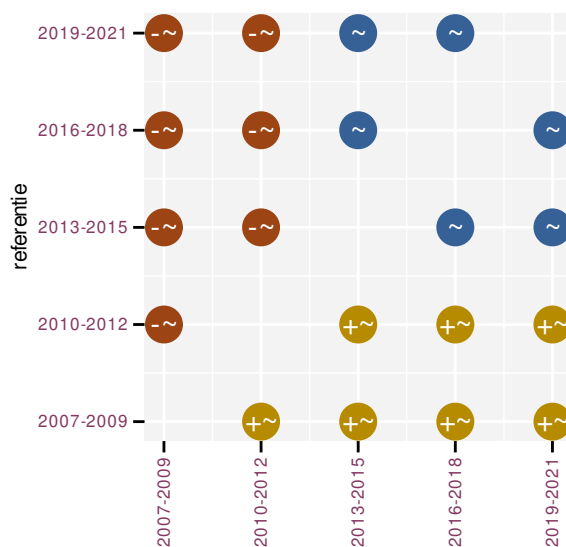
Figuur 104.4: Wijzigingen per driejarige cyclus voor Zwarte kraai. Zie §3.1 voor een verklaring van de intervallen en §3.2 voor uitleg over de symbolen en referentielijnen.

Tabel 104.1: Stratumgewicht, raming aan het aantal hokken waarin de soort aanwezig is, aantal relevant hokken voor de analyse, aantal onderzochte hokken in het stratum, totaal aantal hokken van het stratum in Vlaanderen, aantal bezoeken aan een meetpunt en het gemiddeld aandeel relevante punten per hok voor Zwarte kraai (zie §2.5).

stratum	gewicht	aanwezig	relevant	onderzocht	totaal	bezoeken	punten
Landbouw	83.4%	4884.0	332	429	6311	20847	96.3%
Urbaan	5.4%	315.6	66	87	416	3900	88.6%
Bos	3.9%	228.3	136	190	319	8355	90.9%
Heide en duin	2.9%	167.2	79	94	199	4626	88.6%
Suburbaan	2.7%	159.6	54	68	201	3198	92.3%
Moeras en water	1.8%	104.5	61	80	137	3720	95.1%



Figuur 104.5: Paarsgewijze vergelijking tussen jaren voor Zwarte kraai. Uitleg van de symbolen in tabel 3.1.



Figuur 104.6: Paarsgewijze vergelijking tussen driejarige cycli voor Zwarte kraai. Uitleg van de symbolen in tabel 3.1.

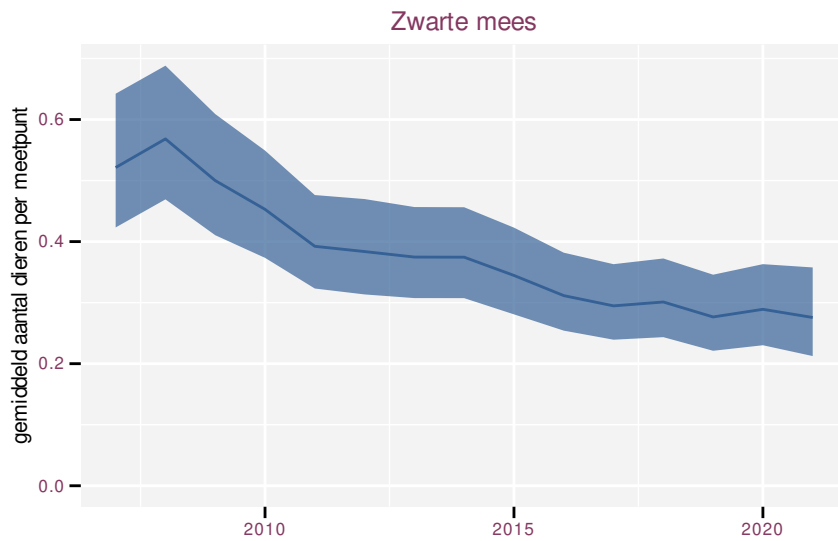
Tabel 104.2: Data-hashes van de analyses in het kader van traceerbaarheid (zie §4.3).

frequentie	model	analyse	status
jaarlijks	niet-lineair	469e6ca359c407383677 3b527fa327f64c63d0c5	ea0e6c6e163cc7b4c8f1 814b676b194b448aa53c
jaarlijks	lineair	eaf0deee54a1e613ecf0 8d172053a35c0ecbe424	c25d906a4ef7c8fb78b8 7a0869abd3ca4e271e54
driejaarlijks	niet-lineair	c55fefaa7cc88057a5fc 2865072c764d560d8654	afab6495aac0de2ca441 f2b90abfb7af82083b0f
driejaarlijks	lineair	930f83e50d74df0ec4d2 162d3471488d749568db	9c1906475842e3f2e0af 111842fb6dfe136456f1

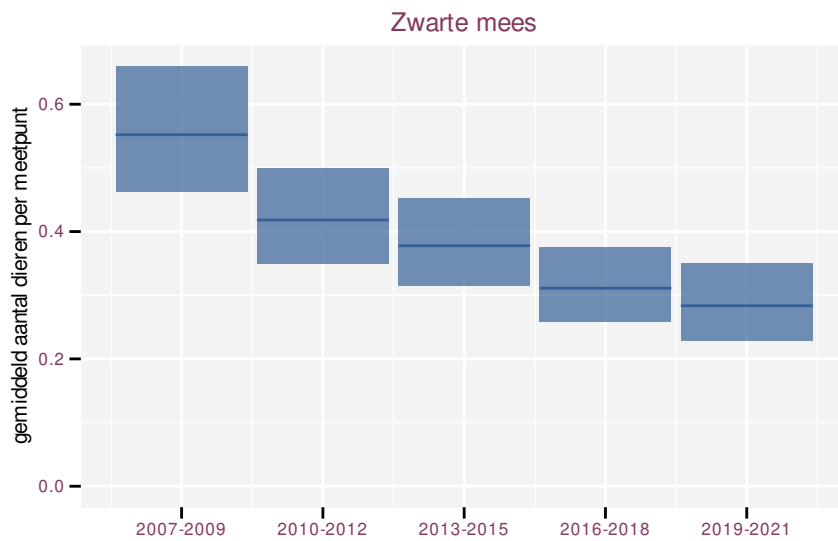
105 ZWARTE MEES

Op basis van jaarlijkse gegevens zien we gemiddeld sterke afname -7.0% (-9.6%; -4.5%) per jaar of -64% (-76%; -47%) over de volledige looptijd van het meetnet. Deze trend is mogelijk niet-lineair.

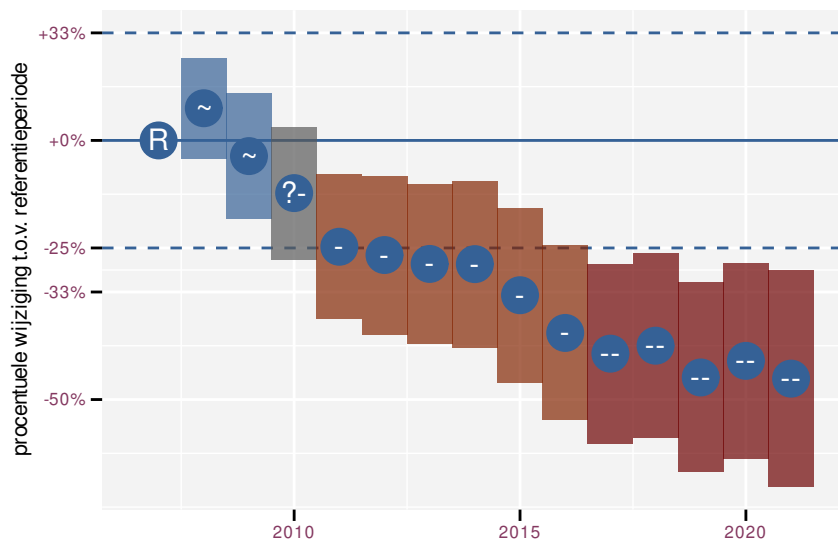
Op basis van driejaarlijkse gegevens zien we gemiddeld sterke afname -7.5% (-10.0%; -4.8%) per jaar of -66% (-77%; -50%) over de volledige looptijd van het meetnet. Deze trend is lineair.



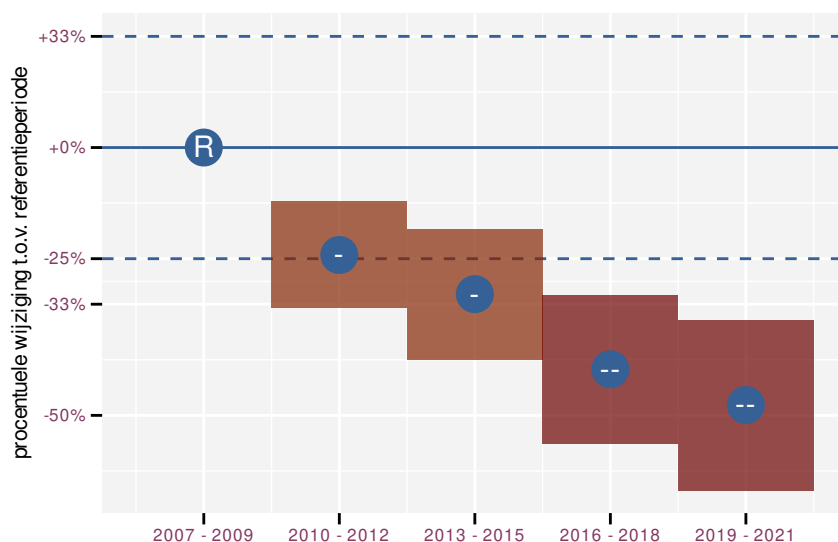
Figuur 105.1: Evolutie van het gemodelleerde gemiddeld aantal waargenomen dieren op een meetpunt voor Zwarte mees tijdens de referentieperiode. Zie §3.1 voor een verklaring van de intervallen.



Figuur 105.2: Evolutie van het gemodelleerde gemiddeld aantal waargenomen dieren op een meetpunt voor Zwarte mees tijdens de referentieperiode. Zie §3.1 voor een verklaring van de intervallen.



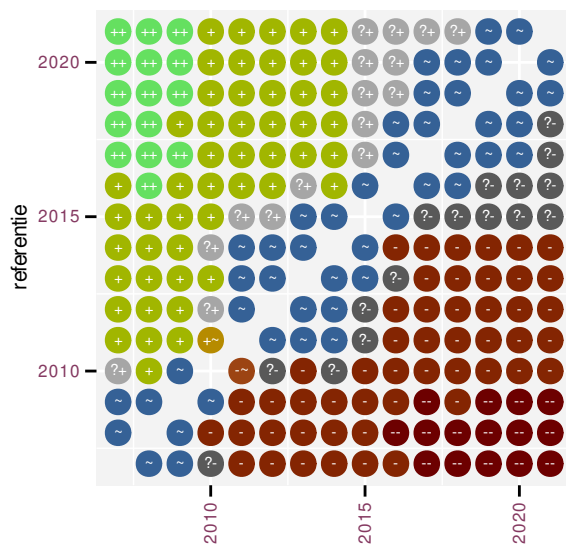
Figuur 105.3: Wijzigingen tussen jaren voor Zwarte mees. Zie §3.1 voor een verklaring van de intervallen en §3.2 voor uitleg over de symbolen en referentielijnen.



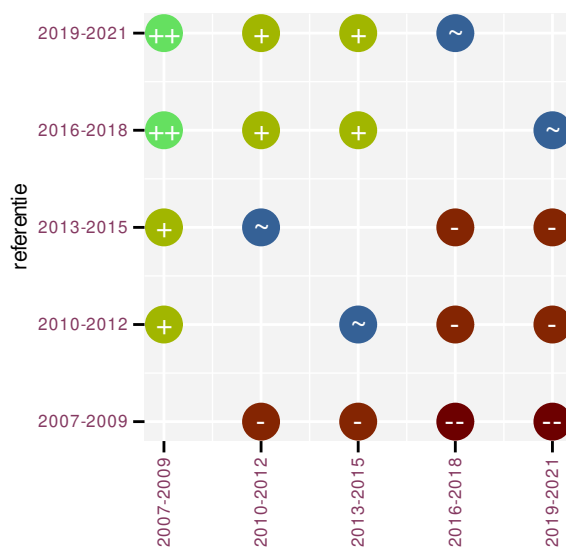
Figuur 105.4: Wijzigingen per driejarige cyclus voor Zwarte mees. Zie §3.1 voor een verklaring van de intervallen en §3.2 voor uitleg over de symbolen en referentielijnen.

Tabel 105.1: Stratumgewicht, raming aan het aantal hokken waarin de soort aanwezig is, aantal relevant hokken voor de analyse, aantal onderzochte hokken in het stratum, totaal aantal hokken van het stratum in Vlaanderen, aantal bezoeken aan een meetpunt en het gemiddeld aandeel relevante punten per hok voor Zwarte mees (zie §2.5).

stratum	gewicht	aanwezig	relevant	onderzocht	totaal	bezoeken	punten
Bos	49.3%	117.5	70	190	319	3820	70.5%
Landbouw	24.7%	73.6	5	429	6311	171	36.7%
Heide en duin	18.6%	44.5	21	94	199	903	49.2%
Suburbaan	7.4%	20.7	7	68	201	159	35.7%



Figuur 105.5: Paarsgewijze vergelijking tussen jaren voor Zwarte mees. Uitleg van de symbolen in tabel 3.1.



Figuur 105.6: Paarsgewijze vergelijking tussen driejarige cycli voor Zwarte mees. Uitleg van de symbolen in tabel 3.1.

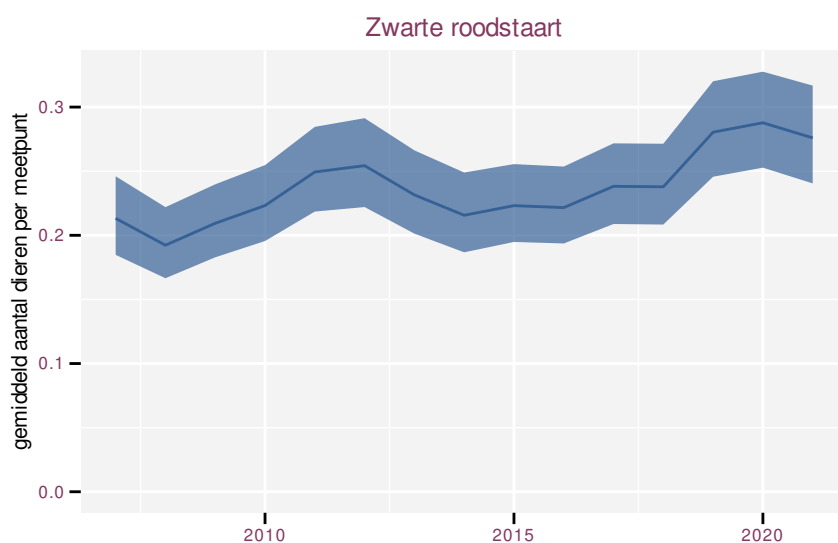
Tabel 105.2: Data-hashes van de analyses in het kader van tracerbaarheid (zie §4.3).

frequentie	model	analyse	status
jaarlijks	niet-lineair	64cbbd9b36de45ae5c55	a2b1d1d62c73368cfcae
		61775fb8676f459251ff	9d09c3b6ea6cd10c5bf6
jaarlijks	lineair	0ae1ccbc42880e02354a	4b2ab0b2034a4eb13d3a
		b33327e404d1b9642f94	19902ddb11958cfce022
driejaarlijks	niet-lineair	1d832d5511fc8aa127d7	536dd31a5477e342f2b5
		29e074567ec461977311	a379737d86e223a1b0ce
driejaarlijks	lineair	4e2c92c4622f21f03e15	0c155b9c4a9de86827a0
		d22238678f5deeb3a3fa	de54cfc0c1a650118d0f

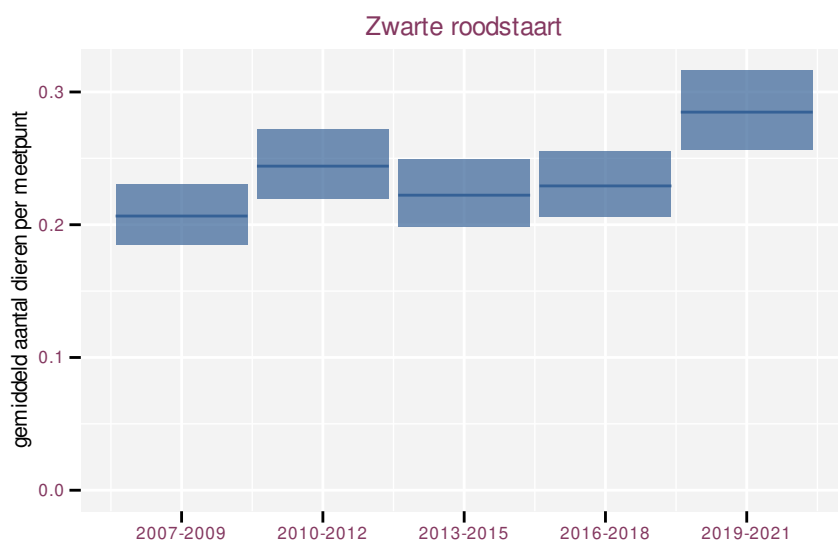
106 ZWARTE ROODSTAART

Op basis van jaarlijkse gegevens zien we gemiddeld toename +1.9% (+1.0%; +2.9%) per jaar of +31% (+15%; +50%) over de volledige looptijd van het meetnet. Deze trend is niet-lineair.

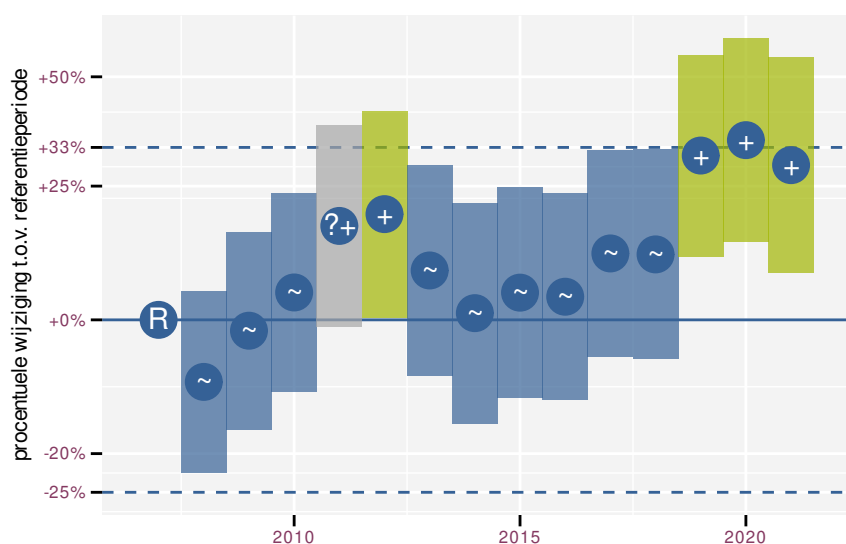
Op basis van driejaarlijkse gegevens zien we gemiddeld toename +2.0% (+1.0%; +3.0%) per jaar of +33% (+16%; +52%) over de volledige looptijd van het meetnet. Deze trend is niet-lineair.



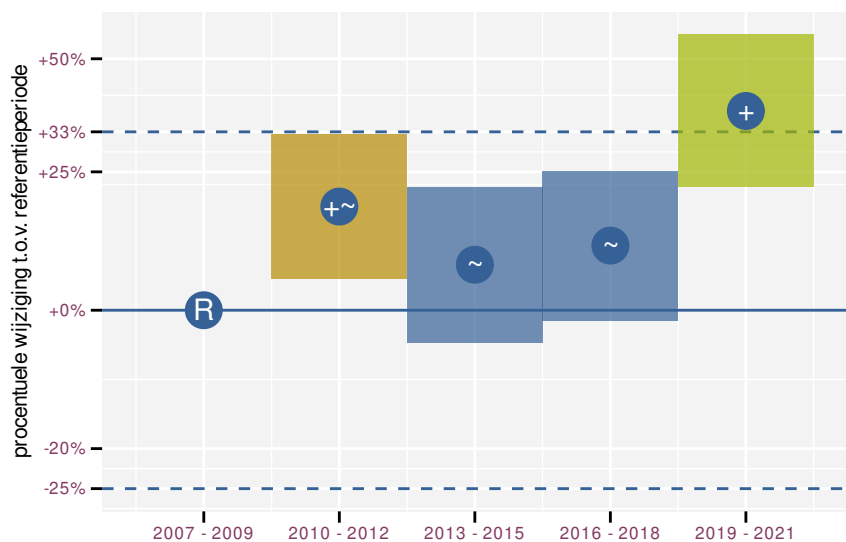
Figuur 106.1: Evolutie van het gemodelleerde gemiddeld aantal waargenomen dieren op een meetpunt voor Zwarte roodstaart tijdens de referentieperiode. Zie §3.1 voor een verklaring van de intervallen.



Figuur 106.2: Evolutie van het gemodelleerde gemiddeld aantal waargenomen dieren op een meetpunt voor Zwarte roodstaart tijdens de referentieperiode. Zie §3.1 voor een verklaring van de intervallen.



Figuur 106.3: Wijzigingen tussen jaren voor Zwarte roodstaart. Zie §3.1 voor een verklaring van de intervallen en §3.2 voor uitleg over de symbolen en referentielijnen.

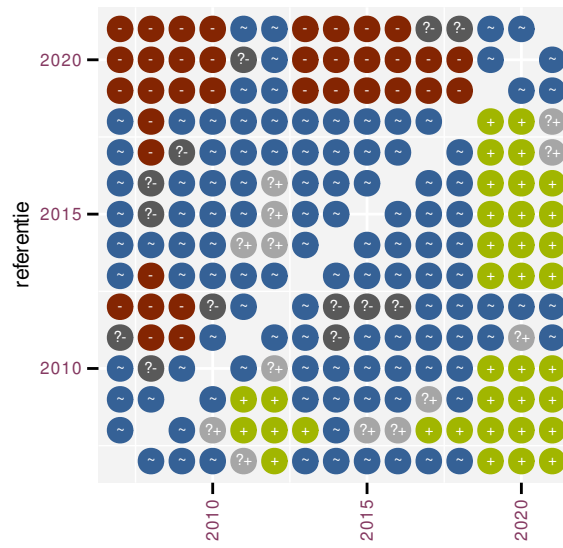


Figuur 106.4: Wijzigingen per driejarige cyclus voor Zwarte roodstaart. Zie §3.1 voor een verklaring van de intervallen en §3.2 voor uitleg over de symbolen en referentielijnen.

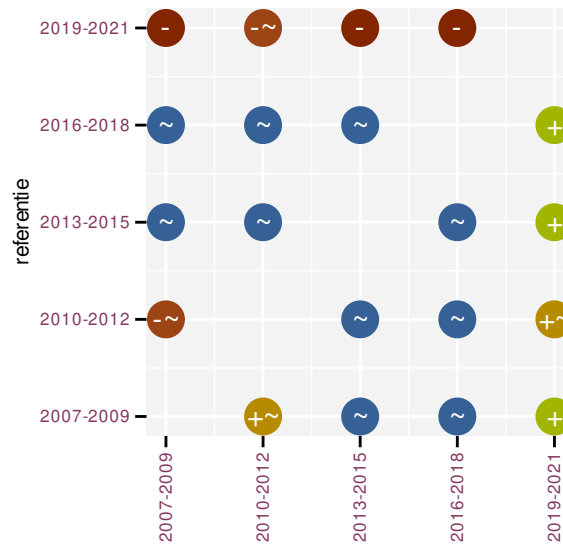
Tabel 106.1: Stratungewicht, raming aan het aantal hokken waarin de soort aanwezig is, aantal relevant hokken voor de analyse, aantal onderzochte hokken in het stratum, totaal aantal hokken van het stratum in Vlaanderen, aantal bezoeken aan een meetpunt en het gemiddeld aandeel relevante punten per hok voor Zwarte roodstaart (zie §2.5).

stratum	gewicht	aanwezig	relevant	onderzocht	totaal	bezoeken	punten
Landbouw	89.6%	2294.9	156	429	6311	6053	52.9%
Urbaan	4.9%	124.3	26	87	416	1015	51.9%
Suburbaan	3.3%	85.7	29	68	201	1500	69.5%
Moeras en water	1.1%	27.4	16	80	137	569	52.1%
Heide en duin	0.7%	19.1	9	94	199	286	44.4%
Bos	0.5%	11.8	7	190	319	229	40.5%





Figuur 106.5: Paarsgewijze vergelijking tussen jaren voor Zwarte roodstaart. Uitleg van de symbolen in tabel 3.1.

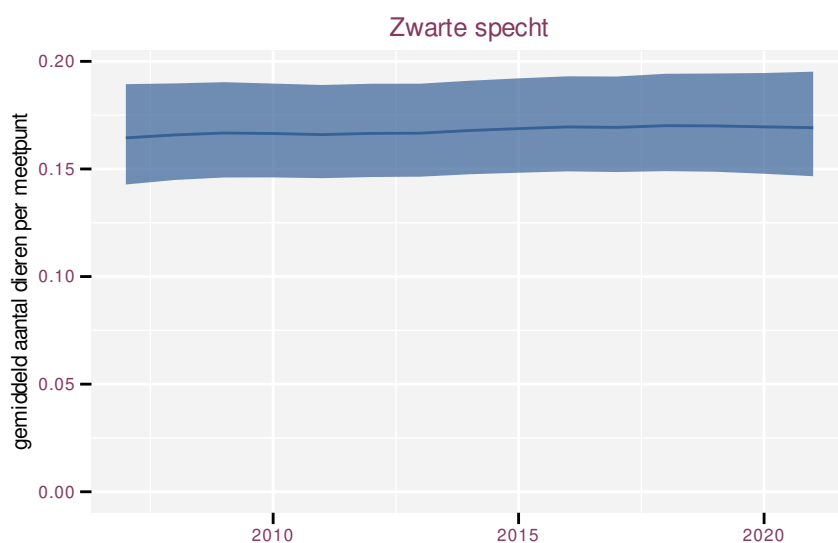


Figuur 106.6: Paarsgewijze vergelijking tussen driejarige cycli voor Zwarte roodstaart. Uitleg van de symbolen in tabel 3.1.

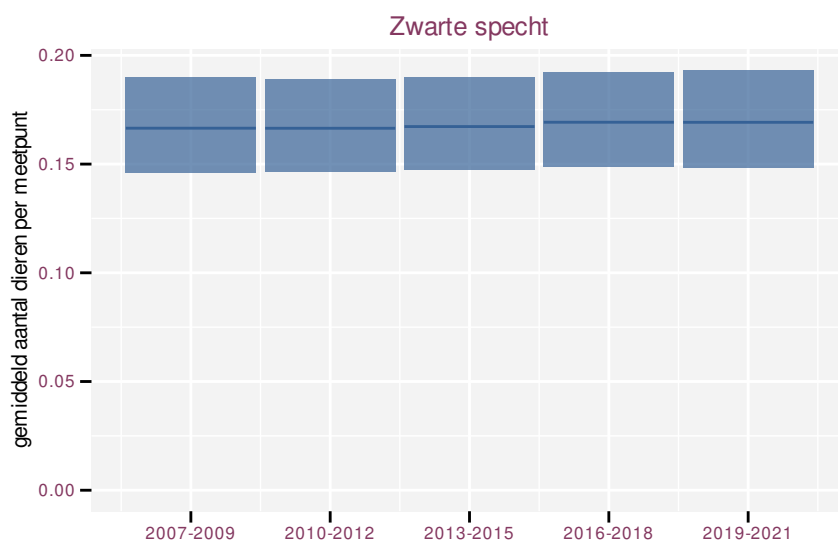
107 ZWARTE SPECHT

Op basis van jaarlijkse gegevens zien we gemiddeld mogelijke afname -0.8% (-3.5%; +2.0%) per jaar of -11% (-39%; +31%) over de volledige looptijd van het meetnet. Deze trend is niet-lineair.

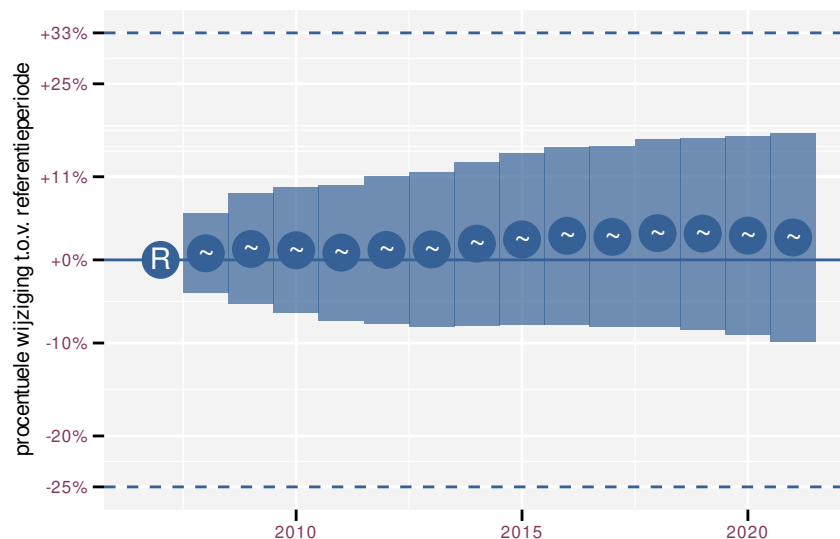
Op basis van driejaarlijkse gegevens zien we gemiddeld mogelijke afname -0.8% (-3.5%; +1.9%) per jaar of -11% (-39%; +30%) over de volledige looptijd van het meetnet. Deze trend is niet-lineair.



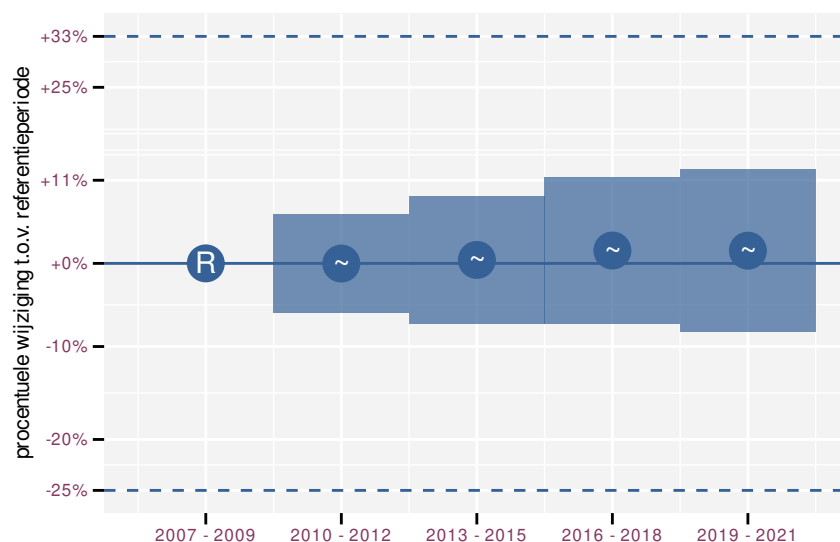
Figuur 107.1: Evolutie van het gemodelleerde gemiddeld aantal waargenomen dieren op een meetpunt voor Zwarte specht tijdens de referentieperiode. Zie §3.1 voor een verklaring van de intervallen.



Figuur 107.2: Evolutie van het gemodelleerde gemiddeld aantal waargenomen dieren op een meetpunt voor Zwarte specht tijdens de referentieperiode. Zie §3.1 voor een verklaring van de intervallen.



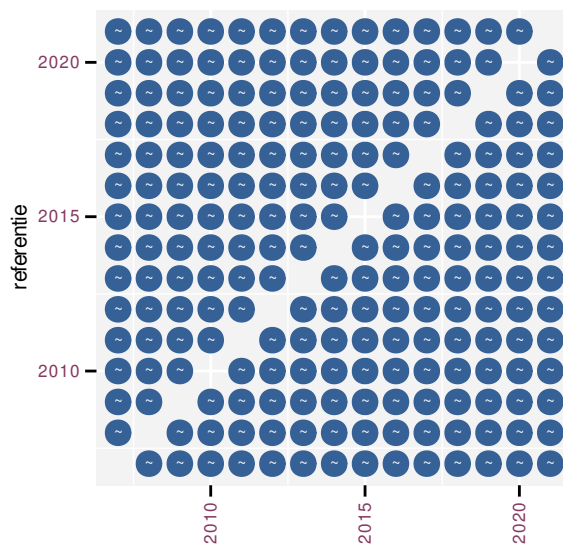
Figuur 107.3: Wijzigingen tussen jaren voor Zwarte specht. Zie §3.1 voor een verklaring van de intervallen en §3.2 voor uitleg over de symbolen en referentielijnen.



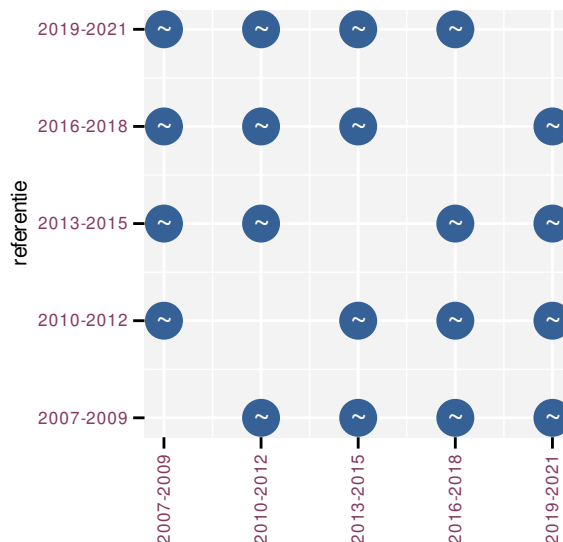
Figuur 107.4: Wijzigingen per driejarige cyclus voor Zwarte specht. Zie §3.1 voor een verklaring van de intervallen en §3.2 voor uitleg over de symbolen en referentielijnen.

Tabel 107.1: Stratumgewicht, raming aan het aantal hokken waarin de soort aanwezig is, aantal relevant hokken voor de analyse, aantal onderzochte hokken in het stratum, totaal aantal hokken van het stratum in Vlaanderen, aantal bezoeken aan een meetpunt en het gemiddeld aandeel relevante punten per hok voor Zwarte specht (zie §2.5).

stratum	gewicht	aanwezig	relevant	onderzocht	totaal	bezoeken	punten
Bos	48.5%	110.8	66	190	319	3159	57.3%
Heide en duin	26.9%	61.4	29	94	199	1301	52.3%
Landbouw	19.3%	58.8	4	429	6311	119	33.3%
Moeras en water	5.2%	12.0	7	80	137	371	64.3%



Figuur 107.5: Paarsgewijze vergelijking tussen jaren voor Zwarte specht. Uitleg van de symbolen in tabel 3.1.



Figuur 107.6: Paarsgewijze vergelijking tussen driejarige cycli voor Zwarte specht. Uitleg van de symbolen in tabel 3.1.

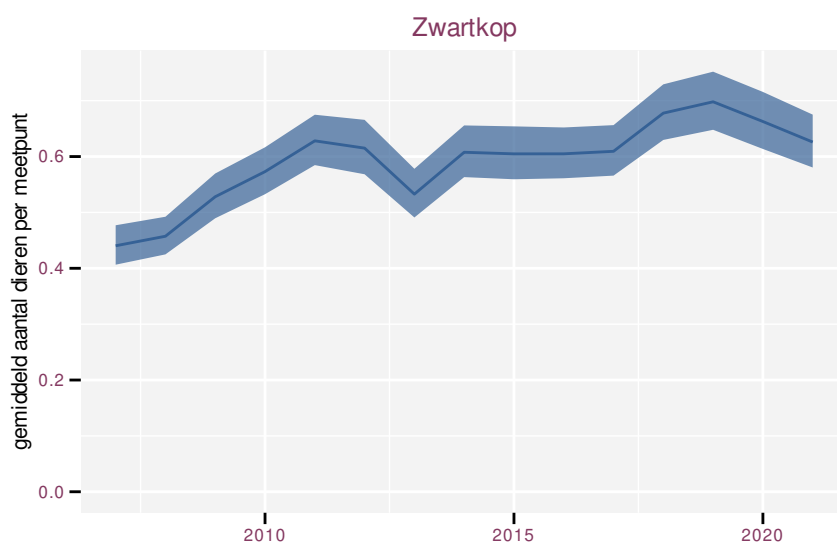
Tabel 107.2: Data-hashes van de analyses in het kader van traceerbaarheid (zie §4.3).

frequentie	model	analyse	status
jaarlijks	niet-lineair	a4b0f1ea354f471983f4 e519447896cd7fc619e3	b6b7424835508d163311 47bda79047037bd1fe9e
jaarlijks	lineair	190204fbe49c75c30634 39abf1d6749080e68437	92afeebf23ddf95af54f 8ffb040adc6fb4edacac
driejaarlijks	niet-lineair	ad636cba1258efff01d5 631367f92ed37ae2dec2	da0d89de5ce5aa475361 ae9a852d8fad370cd55b
driejaarlijks	lineair	948e2d0bb86106f09a0a 025e4bf4334acb12760a	e6fb4dabfeb3c60a73dd d90268971a94009ed0c2

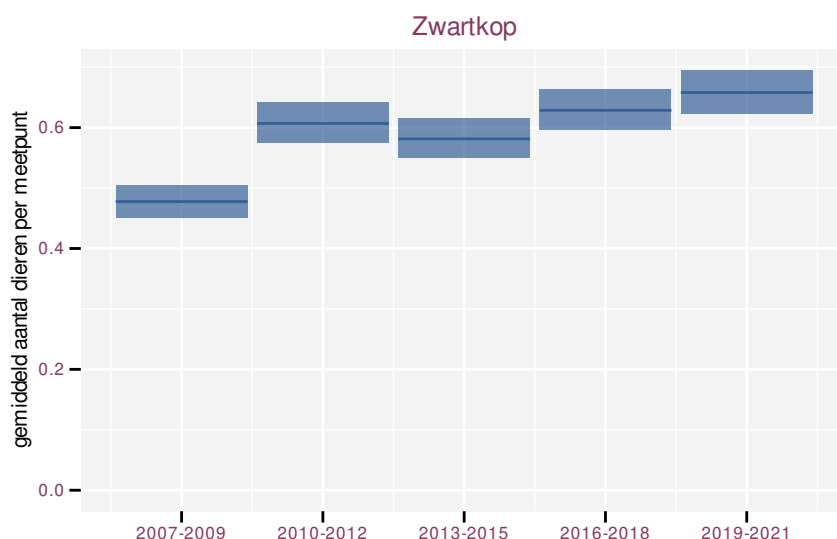
108 ZWARTKOP

Op basis van jaarlijkse gegevens zien we gemiddeld toename +2.46% (+2.03%; +2.88%) per jaar of +41% (+32%; +49%) over de volledige looptijd van het meetnet. Deze trend is niet-lineair.

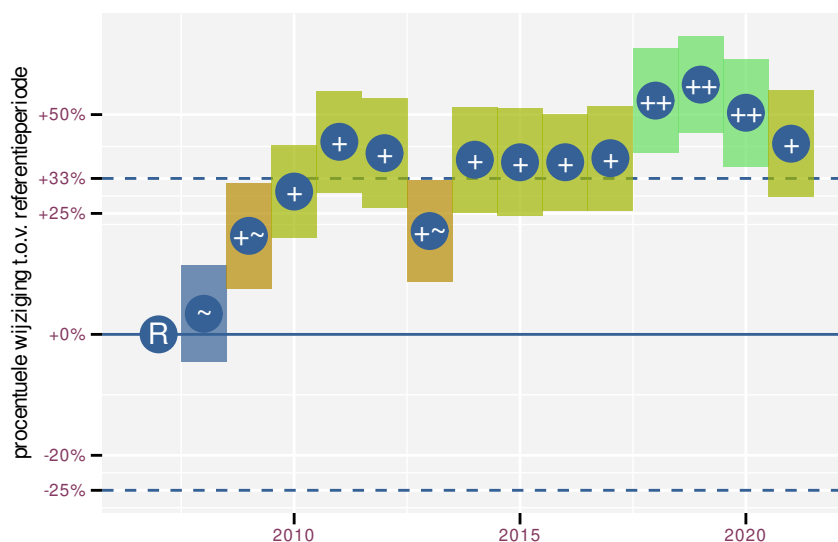
Op basis van driejaarlijkse gegevens zien we gemiddeld toename +2.42% (+1.99%; +2.85%) per jaar of +40% (+32%; +48%) over de volledige looptijd van het meetnet. Deze trend is niet-lineair.



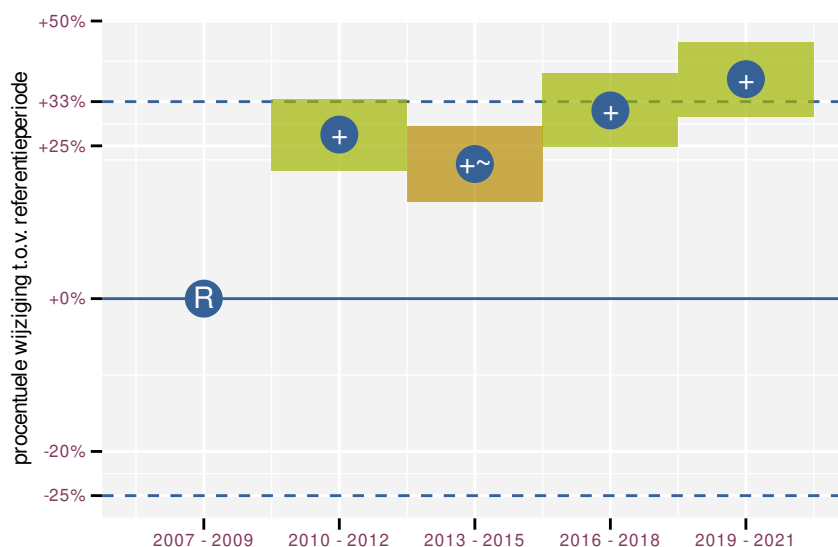
Figuur 108.1: Evolutie van het gemodelleerde gemiddeld aantal waargenomen dieren op een meetpunt voor Zwartkop tijdens de referentieperiode. Zie §3.1 voor een verklaring van de intervallen.



Figuur 108.2: Evolutie van het gemodelleerde gemiddeld aantal waargenomen dieren op een meetpunt voor Zwartkop tijdens de referentieperiode. Zie §3.1 voor een verklaring van de intervallen.



Figuur 108.3: Wijzigingen tussen jaren voor Zwartkop. Zie §3.1 voor een verklaring van de intervallen en §3.2 voor uitleg over de symbolen en referentielijnen.



Figuur 108.4: Wijzigingen per driejarige cyclus voor Zwartkop. Zie §3.1 voor een verklaring van de intervallen en §3.2 voor uitleg over de symbolen en referentielijnen.

Tabel 108.1: Stratumgewicht, raming aan het aantal hokken waarin de soort aanwezig is, aantal relevant hokken voor de analyse, aantal onderzochte hokken in het stratum, totaal aantal hokken van het stratum in Vlaanderen, aantal bezoeken aan een meetpunt en het gemiddeld aandeel relevante punten per hok voor Zwartkop (zie §2.5).

stratum	gewicht	aanwezig	relevant	onderzocht	totaal	bezoeken	punten
Landbouw	82.1%	4163.2	283	429	6311	14703	78.0%
Urbaan	5.4%	272.6	57	87	416	2889	77.2%
Bos	4.7%	240.1	143	190	319	8862	95.6%
Heide en duin	3.0%	152.4	72	94	199	4054	84.5%
Suburbaan	2.9%	144.8	49	68	201	2609	82.0%
Moeras en water	2.0%	99.3	58	80	137	3351	87.9%

Referenties

- Britton E., Fisher P. & Whitley J. (1998). The Inflation Report projections: Understanding the fan chart. Bank of England Quarterly Bulletin 30–37.
- Gelman A., Hwang J. & Vehtari A. (2014). Understanding predictive information criteria for Bayesian models. *Statistics and Computing* 24 (6): 997–1016. <https://doi.org/10.1007/s11222-013-9416-2>.
- Onkelinx T. (2022a). git2rdata: Store and retrieve data.frames in a git repository. Version 0.4.0. <https://ropensci.github.io/git2rdata/>.
- Onkelinx T. (2022b). Abvanalysis: Analysis of the common breeding bird survey. Version 0.2.2. <https://github.com/inbo/abvanalysis>.
- Onkelinx T. (2022c). n2kanalysis: Generic functions to analyse data from the natura 2000 monitoring. Version 0.3.0. <https://doi.org/10.5281/zenodo.3576047>.
- R Core Team (2022). R: A language and environment for statistical computing. R Foundation for Statistical Computing, Vienna, Austria. <https://www.R-project.org/>.
- Rue H., Martino S., Lindgren F., Simpson D. & Riebler A. (2009). INLA: Functions which allow to perform full Bayesian analysis of latent Gaussian models using Integrated Nested Laplace Approximation.
- Simpson D.P., HRue, Martins T.G., Riebler A. & Sørbye S.H. (2017). Penalising model component complexity: A principled, practical approach to constructing priors. *Statistical Science* 32 (1): 1–28. <https://doi.org/10.1214/16-STS576>.
- Vermeersch G., Anselin A., Herremans M. & Brosens D. (2018a). ABV - Common breeding birds in Flanders, Belgium. Version 1.7. Research Institute for Nature and Forest (INBO).
- Vermeersch G., Ledegen H. & Feys S. (2018b). Methodehandleiding bij het project 'Algemene Broedvogelmonitoring Vlaanderen (ABV)'. No. 2018 93. Instituut voor Natuur- en Bosonderzoek, Brussels, Belgium. <https://doi.org/10.21436/inbor.15674942>.
- Vriens L., Bosch H., De Knijf G., De Saeger S., Guelinckx R., Oosterlynck P., Van Hove M. & Paelinckx D. (2011). De biologische waarderingskaart: Biotopen en hun verspreiding in vlaanderen en het brussels hoofdstedelijk gewest. Mededelingen van het instituut voor natuur- en bosonderzoek, No. INBO.M.2011.1. Instituut voor Natuur- en Bosonderzoek, België.